

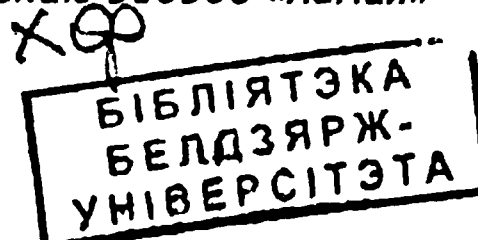
ВЫСШЕЕ ОБРАЗОВАНИЕ

Ю.Д.СЕМЧИКОВ

ВЫСОКОМОЛЕКУЛЯРНЫЕ СОЕДИНЕНИЯ

Допущено

Министерством образования Российской Федерации
в качестве учебника для студентов высших учебных заведений,
обучающихся по специальности 011000 «Химия»
и направлению 510500 «Химия»



1738633

УДК 541.64
ББК 24.7я73
С30

Р е ц е н з е н т ы:

доктор хим. наук, профессор, засл. деятель науки РФ В. П. Шибаев,
доктор хим. наук, профессор, засл. деятель науки РФ В. П. Зубов,
академик РАН Г. А. Абакумов

Семчиков Ю. Д.

С30 Высокомолекулярные соединения: Учеб. для вузов / Юрий Денисович Семчиков. – М.: Издательский центр «Академия», 2003. – 368 с.

ISBN 5-7695-1432-9

В учебнике рассмотрены современные представления о строении, свойствах, синтезе и химических превращениях полимеров, приведены сведения о важнейших природных и синтетических полимерах. Книга содержит все основные разделы физики и химии полимеров включая сведения о последних достижениях в этих областях. Широкий охват материала, наряду с фундаментальностью, доступностью и иллюстративностью изложения, позволит читателю и, прежде всего, студенту, сформировать полную и ясную картину о физической природе и особенностях полимерного состояния вещества, не прибегая к разрозненным сведениям из отдельных учебных пособий.

Учебник предназначается для студентов и аспирантов химических факультетов университетов, а также для студентов и аспирантов химических специальностей других вузов, научных сотрудников и инженеров, работающих в области ВМС.

УДК 541.64
ББК 24.7я73

ISBN 5-7695-1432-9

© Семчиков Ю. Д., 2003
© Издательский центр «Академия», 2003

ОТ АВТОРА

Данный учебник предназначен для обучения студентов химических факультетов университетов по специальности 011000 «Химия» в рамках предлагающей в стране многоуровневой системы образования. Другими словами, он в равной степени может быть использован будущими бакалаврами, магистрами или студентами, выбравшими традиционную пятилетнюю форму обучения. Согласно сложившейся практике, в большинстве случаев они слушают один и тот же курс «Высокомолекулярные соединения» единым потоком. Для его усвоения в полном объеме необходимы предварительное ознакомление с курсами «Органическая химия», «Физика», «Физическая химия» и элементарные знания в области высшей математики.

Учебник в целом соответствует новой программе «Высокомолекулярные соединения», разработанной на одноименной кафедре МГУ. Его основное содержание составляют так называемые базовые знания, при этом особое внимание удалено тем из них, которые раскрывают физическую природу уникальных свойств полимеров. Соответствующие разделы, касающиеся молекулярной физики, упругости и вязкоупругости полимеров, сведены в отдельную главу. В книге приводится также материал, отражающий последние достижения науки о полимерах. Во многих случаях он сопровождается постраничными ссылками, что позволит проявившим интерес студентам получить информацию «из первых рук».

Основной мотив, побудивший меня написать эту книгу, связан с отсутствием до настоящего времени современного учебника для университетов по высокомолекулярным соединениям. Это обстоятельство снижает качество преподавания и создает угрозу утраты бесценного опыта старшего поколения, внесшего значительный вклад в развитие науки о полимерах. Мой 30-летний опыт лектора свидетельствует о том, что полноценное преподавание курса возможно при наличии нескольких учебников, каждый из которых имеет свою сильную сторону.

В заключение я хотел бы выразить глубокую благодарность всем, кто помогал мне в создании книги: академику В. А. Кабанову – за поддержку и ценные советы, моим коллегам профессору Л. А. Смирновой, профессору Д. Н. Емельянову, доценту С. Д. Зайцеву, доценту Н. А. Копыловой, аспиранту Ю. Е. Беганцовой за помощь в подборе материала, оформлении и проверке рукописи.

ГЛАВА 1. ОБЩИЕ СВЕДЕНИЯ О ВЫСОКОМОЛЕКУЛЯРНЫХ СОЕДИНЕНИЯХ

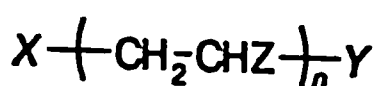
1.1. Особенности полимерного состояния вещества

1.1.1. Полимеры и наука о полимерах

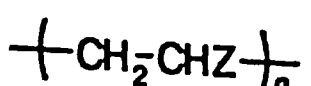
В зависимости от величины относительной молекулярной массы, далее называемой просто молекулярной массой, химические соединения подразделяют на три группы: низкомолекулярные соединения $M < 10^3$, смолы $10^3 < M < 10^4$, высокомолекулярные соединения $10^4 < M < 10^6$. Эти границы достаточно условны, они скорее отражают порядок величины, характерной для каждой группы. Молекулы высокомолекулярных соединений называются макромолекулами. Как правило, они состоят из большого количества повторяющихся звеньев, т. е. одинаковых групп атомов. Высокомолекулярные соединения называются полимерами, если их макромолекулы построены из повторяющихся звеньев одного типа, и сополимерами, если – из нескольких. Аналогично определяются смолы как олигомеры и соолигомеры. Соединения, из которых получаются (со)полимеры и (со)олигомеры, называются мономерами. Корни этих названий взяты из греческого языка, в котором «мер» означает «часть», «поли» – «много», «олиго» – «мало», «моно» – «один».

Процесс образования макромолекул из мономеров называется полимеризацией. В зависимости от механизма этой реакции мономеры объединяются в макромолекулы без изменения химического состава или с незначительными изменениями. Мономеры или мономерные остатки, последовательно связанные в макромолекулу, называются мономерными звеньями. Число мономерных звеньев в макромолекуле называется степенью полимеризации.

Рассмотрим на примере виниловых мономеров $\text{CH}_2=\text{CHZ}$, где Z – алкил, арил или любой другой заместитель, общую формулу полимера и олигомера:



где n – степень полимеризации, X и Y – концевые группы. Принципиальным отличием олигомеров от полимеров является зависимость физических свойств первых от n и природы X и Y. Поэтому приведенная выше формула упрощенный вариант:



Наука о полимерах стала развиваться как самостоятельная область знания к началу Второй мировой войны и сформировалась как единое центрическое технического прогресса и жизнедеятельности биологических объектов.

Она тесно связана с физикой, физической, коллоидной и органической химией и может рассматриваться как одна из базовых основ современной молекулярной биологии, объектами изучения которой являются биополимеры.

Невозможно перечислить всех ученых, внесших вклад в формирование новой науки. Мы можем лишь упомянуть некоторых из тех, чьи имена связаны с развитием ключевых представлений: Г. Штаудингер, Г. Марк, П. Флори, Г. А. Александров, Ю. П. Лазуркин, В. А. Каргин, М. Ф. Волькенштейн. Их работы позволили установить цепной характер и механизм гибкости макромолекул, позволили объяснить и количественно описать основные свойства полимеров и их растворов. Мы не можем также не упомянуть тех ученых, чьи работы привели к открытию полимеров, получивших широкое практическое применение. И в данном случае невозможнее перечислить всех ученых и инженеров, трудами которых созданы наиболее распространенные материалы нашего времени. Упомянем лишь Л. Бакеланда, организовавшего в 1906 г. первое производство синтетического полимера – фенолформальдегидной смолы, а также У. Каузерса, К. Циглера и Д. Натта, открывших человечеству мир полиамидов и полиолефинов.

1.1.2. Различия в свойствах высокомолекулярных и низкомолекулярных соединений

Макромолекулы полимеров, в отличие от молекул низкомолекулярных веществ, являются нелетучими, для них характерны меньшие скорости диффузии, а для растворов полимеров характерны меньшие значения коллагативных свойств по сравнению с растворами низкомолекулярных соединений. Однако наиболее значительные и принципиальные различия в свойствах высокомолекулярных и низкомолекулярных соединений возникают лишь при сочетании большой молекулярной массы с цепным строением макромолекул. Практически все полимеры, производимые промышленностью, и природные полимеры органического происхождения являются цепными. Это означает, что длина макромолекулы намного больше ее поперечного размера. Насколько больше? Это легко оценить, если допустить, что молекулы мономеров, из которых образуются макромолекулы, имеют форму, близкую к сферической. В этом случае поперечный размер макромолекулярной цепи равен диаметру молекулы мономера l , а длина вытянутой цепи L , называемой контурной, равна:

$$L = nl, \quad (1.1)$$

где n – число мономерных звеньев в цепи, равное отношению молекулярной массы полимера и мономера. Наиболее ценные свойства цепных полимеров в полной мере проявляются при $M > 10^5$. Типичные мономеры, из которых получают крупнотоннажные полимеры, имеют молекулярную массу порядка 10^2 . Отсюда следует, что характерным признаком макромолекул цепных полимеров является:

$$(L/l) \geq 10^3. \quad (1.2)$$

Цепное строение макромолекул приводит к анизотропии свойств кристаллических, жидкокристаллических и ориентированных аморфных полимеров. Это явление используется на практике, в частности, при получении прочных волокон и пленок полимеров. Способность к волокно- и пленкообразованию является одним из наиболее ценных потребительских свойств полимеров.

К уникальным фундаментальным свойствам полимеров относятся высокое эластичность и вязкоупругость. Первое проявляется в больших обратимых деформациях – до 800 % под действием малых нагрузок. Это свойство реализуется в таких полимерных материалах как каучук и резина. Второе подразумевает проявление полимерами свойств, присущих твердому телу и жидкости, т.е. сочетание обратимой и необратимой (течение) деформаций. Вязкоупругость приводит к пластичности и пониженной хрупкости полимерных материалов, называемых пластиками, поскольку необратимое перемещение макромолекул под нагрузкой вызывает релаксацию напряжения и предотвращает материал от разрушения.

Для растворов полимеров характерны набухание, при котором объем растворяющего полимера может увеличиваться на порядок и более, большая вязкость и способность к гелеобразованию. Часто достаточно 1–2 % растворенного вещества, например желатины, чтобы раствор потерял текучесть.

Особенности химического поведения макромолекул также связаны с их цепным строением. Это обстоятельство предопределяет повышенную вероятность протекания кооперативных процессов, например, при образовании интерполимерных комплексов, в том числе полиэлектролитных, в которых связаны макромолекулы разной химической природы, а также зависимость реакционной способности функциональных групп цепи от природы соседних звеньев.

Макромолекулы можно рассматривать как исключительно емкие ячейки для хранения информации, которая может быть зашифрована в виде определенной последовательности расположения различных атомных групп вдоль цепи. Этот принцип реализован в природе, где генетическая информация записывается в виде последовательности расположения звеньев, содержащих пуриновые и пиримидиновые основания в макромолекулах дезоксирибонуклеиновой кислоты.

Довольно часто макромолекулы могут быть разветвленными или «сшитыми» между собой химическими связями. Это обстоятельство не лишает полимеры их специфических свойств, отмеченных выше, если длина отрезков цепи, заключенных между сшивками и разветвлениями, намного превышает поперечный размер цепи. В качестве примера можно указать каучук и резину, отличающиеся тем, что в последнем случае макромолекулы являются «сшитыми» серой. Оба полимера проявляют высокую эластичность, причем на практике это свойство эксплуатируется большей частью в резине. Однако густо «сшитый» каучук теряет это свойство. Материал, получаемый добавкой к каучуку 50–60 % серы, известный как эbonит, проявляет свойства, присущие пластикам.

Наличие жесткого трехмерного каркаса химических связей придает полимерным телам исключительную твердость. Не случайно, вещества, построенные по этому принципу, – алмаз, бор, корунд (одна из полимерных форм оксида алюминия), карборунд SiC – возглавляют список материалов в шкале твердости.

Все изложенное выше свидетельствует о качественном различии свойств высокомолекулярных соединений и дает основание рассматривать полимерное состояние как особое состояние вещества.

1.1.3. Образование, получение и распространение полимеров

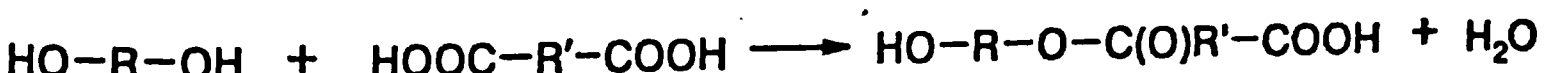
В соответствии с распространностью в окружающем нас мире полимеры располагаются в ряд: природные неорганические полимеры >> природные органические полимеры > синтетические полимеры.

Синтетические полимеры. Искусственные полимерные материалы*. Человек давно использует природные полимерные материалы в своей жизни. Это кожа, меха, шерсть, шелк, хлопок и т. п., используемые для изготовления одежды, различные связующие (цемент, известь, глина), образующие при соответствующей обработке трехмерные полимерные тела, широко используемые как строительные материалы. Однако промышленное производство цепных полимеров началось в начале XX в., хотя предпосылки для этого создавались ранее.

Практически сразу же промышленное производство полимеров развивалось в двух направлениях – путем переработки природных органических полимеров в искусственные полимерные материалы и путем получения синтетических полимеров из органических низкомолекулярных соединений.

В первом случае крупнотоннажное производство базируется на целлюлозе. Первый полимерный материал из физически модифицированной целлюлозы – целлULOид – был получен еще в начале XX в. Крупномасштабное производство простых и сложных эфиров целлюлозы было организовано до и после Второй мировой войны и существует до настоящего времени. На их основе производят пленки, волокна, лакокрасочные материалы и загустители. Необходимо отметить, что развитие кино и фотографии оказалось возможным лишь благодаря появлению прозрачной пленки из нитроцеллюлозы.

Синтетические полимеры получаются путем ступенчатой или цепной полимеризации низкомолекулярных соединений – мономеров. Ступенчатая полимеризация, называемая также поликонденсацией, осуществляется путем реакции функциональных групп мономеров, соединение которых часто сопровождается отщеплением низкомолекулярного продукта, например:



В этом случае чаще употребляется термин поликонденсация. В ходе ступенчатой полимеризации сначала образуются димеры, затем тримеры, тетрамеры и т. д. Эти промежуточные продукты могут быть выделены на любой стадии полимеризации.

* Формулы полимеров, упомянутых в данном разделе, приведены в таблице I.4.

Цепная полимеризация осуществляется путем последовательного присоединения к растущим цепям с активными центрами на конце мономеров в результате раскрытия содержащихся в них ненасыщенных связей или циклов. Характерным признаком цепной полимеризации является очень короткое время жизни (меньше секунды) растущей цепи, несущей активный центр, и невозможность выделить ее в неизменном состоянии. Активным центром в цепной полимеризации может быть радикал, катион или анион, в соответствии с чем различают радикальную, катионную и анионную полимеризации. Ниже приведена реакция присоединения этилена к растущей цепи, несущей на конце свободный радикал:



Из схемы видно, что присоединение мономера сопровождается регенерацией активного центра на конце цепи.

Производство синтетических полимеров началось в 1906 г., когда Л. Бакеланд запатентовал так называемую бакелитовую смолу – продукт конденсации фенола и формальдегида, превращающийся при нагревании в трехмерный полимер. В течение десятилетий он применялся для изготовления корпусов электротехнических приборов, аккумуляторов, телевизоров, розеток и т. п., а в настоящее время чаще используется как связующее и адгезив.

Благодаря усилиям Генри Форда, перед Первой мировой войной началось бурное развитие автомобильной промышленности сначала на основе натурального, затем также и синтетического каучука. Производство последнего было освоено накануне Второй мировой войны в Советском Союзе, Англии, Германии и США. В эти же годы было освоено промышленное производство полистирола и поливинилхлорида, являющихся прекрасными электроизолирующими материалами, а также полиметилметакрилата – без органического стекла под названием «плексиглас» было бы невозможно массовое самолетостроение в годы войны.

После войны возобновилось производство полиамидного волокна и тканей (капрон, нейлон), начатое еще до войны. В течение войны все это производство было переориентировано на выпуск парашютов. В 50-х гг. XX в. было разработано полиэфирное волокно и освоено производство тканей на его основе под названием лавсан или полиэтилентерефталат. Полипропилен синтетических волокон, которые использует современный человек для одежды и производственной деятельности. В первом случае эти волокна очень часто сочетаются с натуральными волокнами из целлюлозы или из белка (хлопок, шерсть, шелк).

Эпохальным событием в мире полимеров явилось открытие в середине 50-х годов XX столетия и быстрое промышленное освоение катализаторов Циглера – Натта, что привело к появлению полимерных материалов на основе полиолефинов и, прежде всего, полипропилена и полиэтилена низкого давления (до этого было освоено производство полиэтилена при давлении порядка 1000 atm), а также стереорегулярных полимеров, способных к кри-

сталлизации. Затем были внедрены в массовое производство полиуретаны – наиболее распространенные герметики, адгезивы и пористые мягкие материалы (поролон), а также полисилоксаны – элементоорганические полимеры, обладающие более высокими по сравнению с органическими полимерами термостойкостью и эластичностью.

Список замыкают так называемые уникальные полимеры, синтезированные в 60–70 гг. XX в. К ним относятся ароматические полиамиды, полиполимеры является наличие у них ароматических циклов и (или) ароматических конденсированных структур. Для них характерно сочетание выдающихся значений прочности и термостойкости.

Период разработки и освоения производства основных полимерных материалов закончился в 70-х гг. К 90-м гг. XX в. ежегодное потребление полимерных материалов на душу населения (кг/год) достигло в развитых странах высокого уровня, который постоянно увеличивается на 2–3 % в год:

Германия	США	Швеция	Япония	Италия	Франция
101,9	75,8	67,9	57,8	53,0	50,6

До настоящего времени массовое производство полимерных материалов базируется на цепных полимерах, объемы производства важнейших из которых в начале 90-х г. XX в. составляли (млн т в год):

полиэтилен.....	31,9	полиуретаны	5,2
поливинилхлорид.....	21,0	фенопласти	3,5
полистирол	12,0	аминопласти	1,0
полипропилен.....	12,0	эпоксидные смолы	0,7
полиамиды.....	4,5		

Природные органические полимеры. Природные органические полимеры образуются в растительных и животных организмах. Важнейшими из них являются полисахариды, белки и нуклеиновые кислоты, из которых в значительной степени состоят тела растений и животных (табл. 1.1) и которые обеспечивают само функционирование жизни на Земле. Считается,

Таблица 1.1

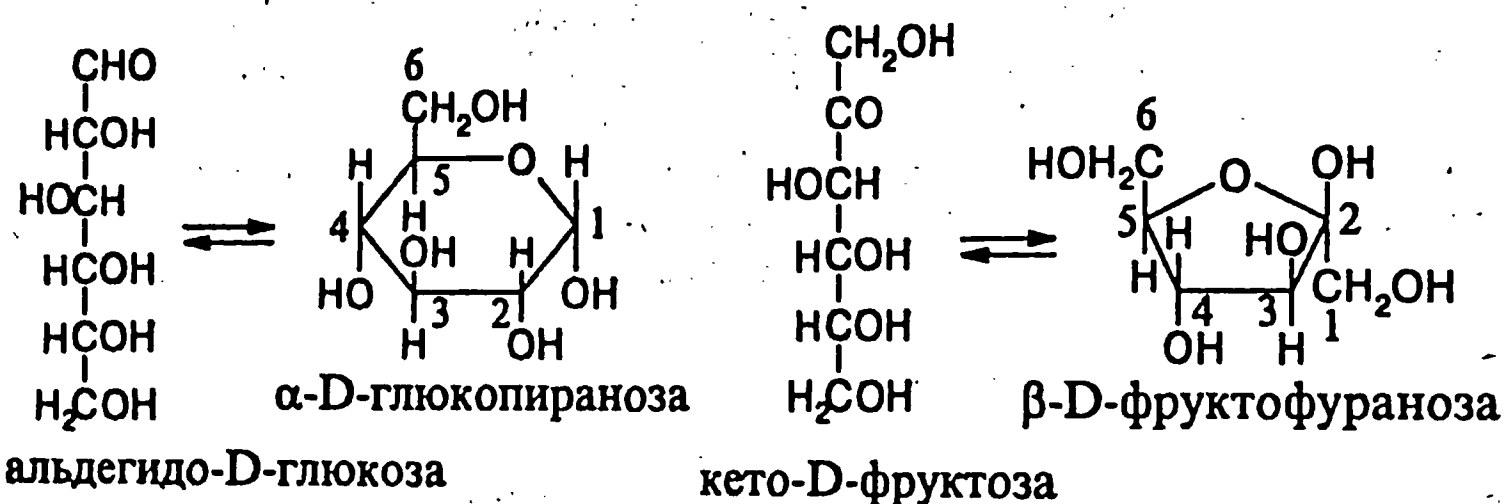
Содержание различных веществ в теле человека

Тип вещества	Массовый, %
Вода	60–80
Сухой остаток:	
белки	20–40
жиры	15–20
полисахариды	3–20
низкомолекулярные соединения	1–15
нуклеиновые кислоты	< 2
	< 0,1

что решающим этапом в возникновении жизни на Земле явилось образование из простых органических молекул более сложных – высокомолекулярных.

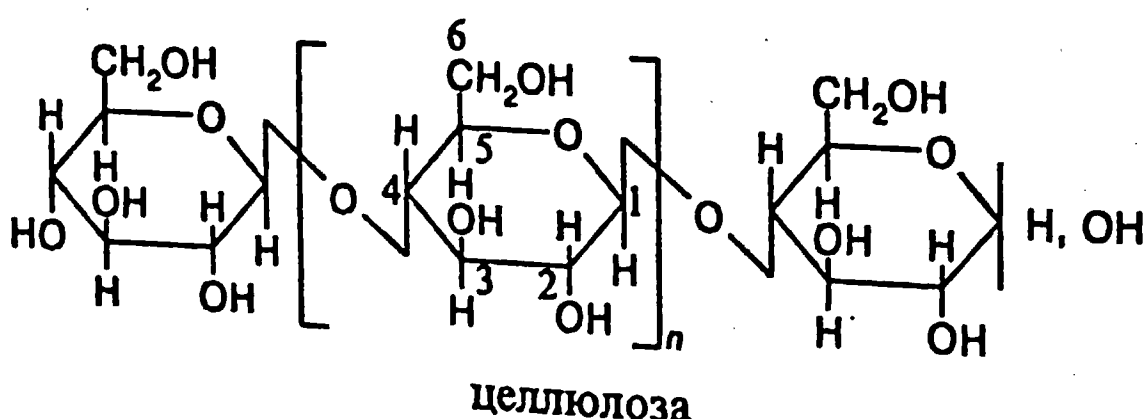
Полисахариды образуются из низкомолекулярных соединений общей формулы $C_nH_{2n}O_n$, называемых сахарами или углеводами. Для сахаров характерно наличие альдегидной или кетонной групп, в соответствии с этим первые называются альдозами, вторые – кетозами. Среди сахаров с $n = 6$, называемых гексозами, имеется 16 изомерных альдогексоз и 16 кетогексоз. Однако только четыре из них (α -галактоза, d -манноза, d -глюкоза, d -фруктоза) встречаются в живой клетке. Биологическая роль сахаров определяется тем, что они являются источником энергии, необходимой организму, которая выделяется при их окислении, и исходным материалом для синтеза макромолекул.

В последнем случае большое значение имеет способность сахаров образовывать циклические структуры, что иллюстрируется ниже на примере глюкозы и фруктозы:



В водном растворе глюкоза содержит 99,976 % циклического изомера. У кетогексоз циклические изомеры пятичленные. Циклические молекулы моносахаридов могут связываться между собой с образованием так называемых гликозидных связей путем конденсации гидроксильных групп.

Наиболее распространены полисахариды, повторяющиеся звенья которых являются остатками α -D-глюкопиранозы или ее производных. Наиболее известна и широко применяема целлюлоза. В этом полисахариде кислородный мостик связывает 1- и 4-й атомы углерода в соседних звеньях, такая связь называется α -1,4-гликозидной:



Химический состав, аналогичный целлюлозе, имеют крахмал, состоящий из амилозы и аминопектина, гликоген и декстран. Отличие первых от целлюлозы в том, что в них имеются гидроксипропиловые группы.

люлозы состоит в разветвленности макромолекул, причем амилопектин и гликоген могут быть отнесены к сверхразветвленным природным полимерам, т.е. дендримерам нерегулярного строения. Точной ветвления обычно является шестой атом углерода α -D-глюкопиранозного кольца, который связан гликозидной связью с боковой цепью. Отличие декстрана от целлюлозы состоит в природе гликозидных связей – наряду с α -1,4-, декстрон содержит также α -1,3- и α -1,6-гликозидные связи, причем последние являются доминирующими.

Химический состав, отличный от целлюлозы, имеют хитин и хитозан, но они близки к ней по структуре. Отличие заключается в том, что при втором атоме углерода α -D-глюкопиранозных звеньев, связанных α -1,4-гликозидными связями, OH-группа заменена группами $-\text{NHCH}_2\text{COO}$ в хитине и группой $-\text{NH}_2$ в хитозане.

Целлюлоза содержится в коре и древесине деревьев, стеблях растений: хлопок содержит более 90 % целлюлозы, деревья хвойных пород – свыше 60 %, лиственных – около 40 %. Прочность волокон целлюлозы обусловлена тем, что они образованы монокристаллами, в которых макромолекулы упакованы параллельно одна другой. Целлюлоза составляет структурную основу представителей не только растительного мира, но и некоторых бактерий.

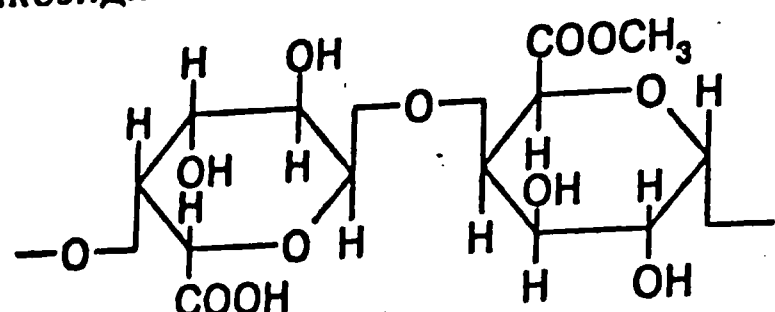
В животном мире в качестве опорных, структурообразующих полимеров полисахариды «используются» лишь насекомыми и членистоногими. Наиболее часто для этих целей применяется хитин, который служит для построения так называемого внешнего скелета у крабов, раков, креветок. Из хитина деацетилированием получается хитозан, который, в отличие от нерастворимого хитина, растворим в водных растворах муравьиной, уксусной и соляной кислот. В связи с этим, а также благодаря комплексу ценных свойств, сочетающихся с биосовместимостью, хитозан имеет большие перспективы широкого практического применения в ближайшем будущем.

Крахмал относится к числу полисахаридов, выполняющих роль резервного пищевого вещества в растениях. Клубни, плоды, семена содержат до 70 % крахмала. Запасаемым полисахаридом животных является гликоген, который содержится преимущественно в печени и мышцах.

Функцию запасаемого питательного продукта выполняет инулин, который содержится в спарже и артишоках, что придает им специфический вкус. Его мономерные звенья пятичленны, поскольку фруктоза относится к кетозам, в целом же этот полимер построен так же, как полимеры глюкозы.

Прочность стволов и стеблей растений, помимо скелета из целлюлозных волокон, определяется соединительной растительной тканью. Значительную ее часть в деревьях составляет лигнин – до 30 %. Его строение точно не установлено. Известно, что это относительно низкомолекулярный ($M \sim 10^4$) сверхразветвленный полимер, образованный в основном из остатков фенолов, замещенных в *ортоположении* группами $-\text{OCH}_3$, в *пара-положении* группами $-\text{CH}=\text{CH}-\text{CH}_2\text{OH}$. В настоящее время накоплено громадное количество лигнинов как отходов целлюлозно-гидролизной промышленности, но проблема их утилизации не решена. К опорным элементам расти-

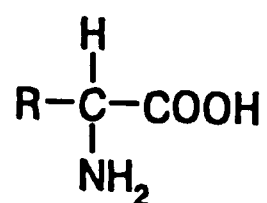
на-
тельной ткани относятся пектиновые вещества и, в частности пектин, на-
ходящийся в основном в стенках клеток. Его содержание в кожуре яблок и
белой части кожуры цитрусовых доходит до 30 %. Пектин относится к ге-
терополисахаридам, т. е. сополимерам. Его макромолекулы в основном по-
строены из остатков D-галактуроновой кислоты и ее метилового эфира,
связанных α -1,4-гликозидными связями:



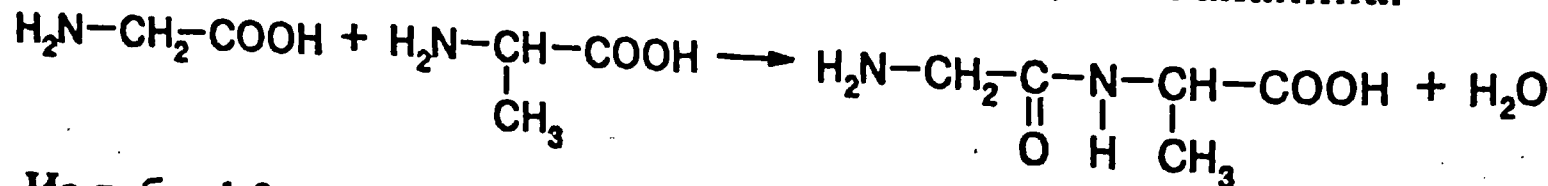
Из пентоз значение имеют полимеры арабинозы и ксилоэзы, которые об-
разуют полисахариды, называемые арабинами и ксиланами. Они, наряду с
целлюлозой, определяют типичные свойства древесины.

Упомянутый выше пектин относится к гетерополисахаридам. Помимо
него, известны гетерополисахариды, входящие в состав животного организ-
ма. Гиалуроновая кислота входит в состав стекловидного тела глаза, а так-
же жидкости, обеспечивающей скольжение в суставах (она находится в сус-
тавных сумках). Другой важный полисахарид животных – хондроитинсуль-
фат – содержится в ткани и хрящах. Оба полисахарида часто образуют в ор-
ганизме животных сложные комплексы с белками и липидами.

Белки. В животном мире в качестве опорного, структурообразующего
полимера обычно выступают белки. Эти полимеры построены из 20 типов
так называемых α -аминокислот общей формулы:



В табл. 1.2 представлены важнейшие аминокислоты, образующие белки.
Остатки аминокислот связаны в макромолекулы белка пептидными связями,
возникающими в результате реакции карбоксильных и аминогрупп. Ниже
этота реакция приведена для двух аминокислот – глицина и аланина:



Из табл. 1.2 видно, что большинство аминокислот, из остатков которых
построен белок, имеют достаточно простое строение и алифатический ради-
каль. Реже встречаются аминокислоты, содержащие ароматические и насы-
щенные циклы. Практически все аминокислоты содержат атомы С, Н, О, N,
и только цистеин содержит, наряду с ними, атом серы. Образование суль-
фидных мостиков играет важную роль в процессах структурообразования в
белках. В результате соответствующей реакции, протекающей за счет суль-
«шивки» макромолекул белка. Помимо карбоксильной и аминогрупп,

Таблица 1.2

Некоторые аминокислоты, входящие в состав белков

Название	Формула
Аланин	$\text{CH}_3-\text{CH}-\text{COOH}$ NH_2
Аспарагиновая кислота	$\text{HOOC}-\text{CH}_2-\overset{\text{NH}_2}{\underset{ }{\text{CH}}}-\text{COOH}$
Цистеин	$\text{HS}-\text{CH}_2-\overset{\text{NH}_2}{\underset{ }{\text{CH}}}-\text{COOH}$
Глутаминовая кислота	$\text{HOOC}-\text{CH}_2-\text{CH}_2-\overset{\text{NH}_2}{\underset{ }{\text{CH}}}-\text{COOH}$
Глутамин	$\text{H}_2\text{N}-\overset{ }{\underset{\text{O}}{\text{C}}}-\text{CH}_2-\text{CH}_2-\overset{\text{NH}_2}{\underset{ }{\text{CH}}}-\text{COOH}$
Глицин	$\text{H}_2\text{N}-\text{CH}_2-\text{COOH}$
Лейцин	$\begin{array}{c} \text{H}_3\text{C} \\ \\ \text{CH}-\text{CH}_2-\overset{\text{NH}_2}{\underset{ }{\text{CH}}}-\text{COOH} \\ \\ \text{H}_3\text{C} \end{array}$
Фенилаланин	$\text{C}_6\text{H}_5-\text{CH}_2-\overset{\text{NH}_2}{\underset{ }{\text{CH}}}-\text{COOH}$
Пролин	$\begin{array}{c} \text{CH}_2-\overset{\text{CH}}{\underset{ }{\text{CH}}}-\text{COOH} \\ \\ \text{CH}_2-\overset{\text{NH}}{\underset{ }{\text{CH}}}-\text{CH}_2 \end{array}$
Серин	$\text{HO}-\text{CH}_2-\overset{\text{NH}_2}{\underset{ }{\text{CH}}}-\text{COOH}$
Тreonин	$\begin{array}{c} \text{H}_3\text{C}-\overset{\text{OH}}{\underset{ }{\text{CH}}}-\overset{\text{NH}_2}{\underset{ }{\text{CH}}}-\text{COOH} \\ \quad \end{array}$
Тирозин	$\text{HO}-\text{C}_6\text{H}_4-\text{CH}_2-\overset{\text{NH}_2}{\underset{ }{\text{CH}}}-\text{COOH}$

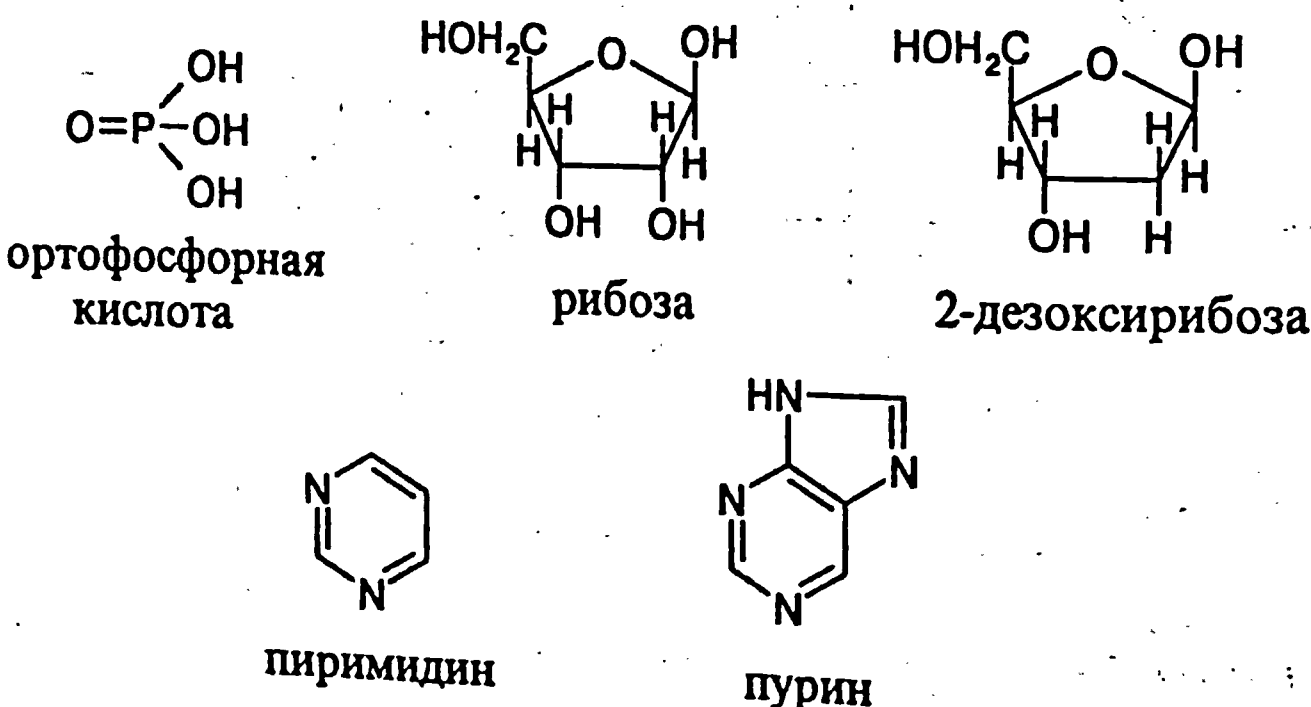
аминокислоты белка могут содержать также гидроксильные группы, как, например в серине и треонине.

Значение белков в живой природе трудно переоценить. Это строительный материал живых организмов, биокатализаторы – ферменты, обеспечивающие протекание реакций в клетках, и энзимы, стимулирующие определенные биохимические реакции, т. е. обеспечивающие избирательность биокатализа. Наши мышцы, волосы, кожа состоят из волокнистых белков. Белок крови, входящий в состав гемоглобина, способствует усвоению кислорода воздуха, другой белок – инсулин – ответственен за расщепление сахара в организме и, следовательно, за его обеспечение энергией. Молекулярная масса белков колеблется в широких пределах. Так, инсулин – первый из бел-

ков, строение которого удалось установить Ф. Сэнгеру в 1953 г., содержит около 60 аминокислотных звеньев, а его молекулярная масса составляет лишь 12000. К настоящему времени идентифицировано несколько тысяч белков, молекулярная масса некоторых из них достигает 10^6 и более.

Следует подчеркнуть, что многообразие форм жизни обусловлено несомненно большим числом изомерных макромолекул, которые могут быть получены из аминокислот 20 типов. Согласно расчету биохимика Р. Синджа, белок, содержащий 288 аминокислотных остатков, может содержать 10^{300} изомеров. Каждая из жизненно важных функций, например катализ биохимических реакций, выполняется белком определенного строения и только им. Классическим примером является белок гемоглобина. Изменение порядка чередования около 300 аминокислотных остатков, входящих в его макромолекулу, путем перестановки местами хотя бы пары из них, приводит к тяжелому заболеванию животных — серповидной анемии.

Нуклеиновые кислоты. В 1868 г. швейцарский ученый Фридрих Мишер выделил из ядер клеток фосфорсодержащее вещество, которое он назвал нуклеином. Позднее это и подобные ему вещества получили название нуклеиновых кислот. Их молекулярная масса может достигать 10^9 , но чаще колеблется в пределах 10^5 — 10^6 . Исходными веществами, из которых построены нуклеотиды — звенья макромолекул нуклеиновых кислот, являются: сахар, фосфорная кислота, пуриновые и пиридиновые основания. В одной группе кислот в качестве сахара выступает рибоза, в другой — дезоксирибоза:

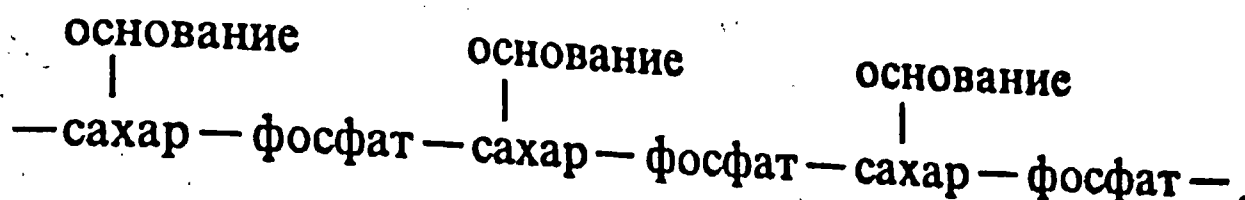


В соответствии с природой сахара, входящего в их состав, нуклеиновые кислоты называются рибонуклеиновой и дезоксирибонуклеиновой кислотами. Общеупотребительными сокращениями являются РНК и ДНК. Нуклеинки делятся на две группы:

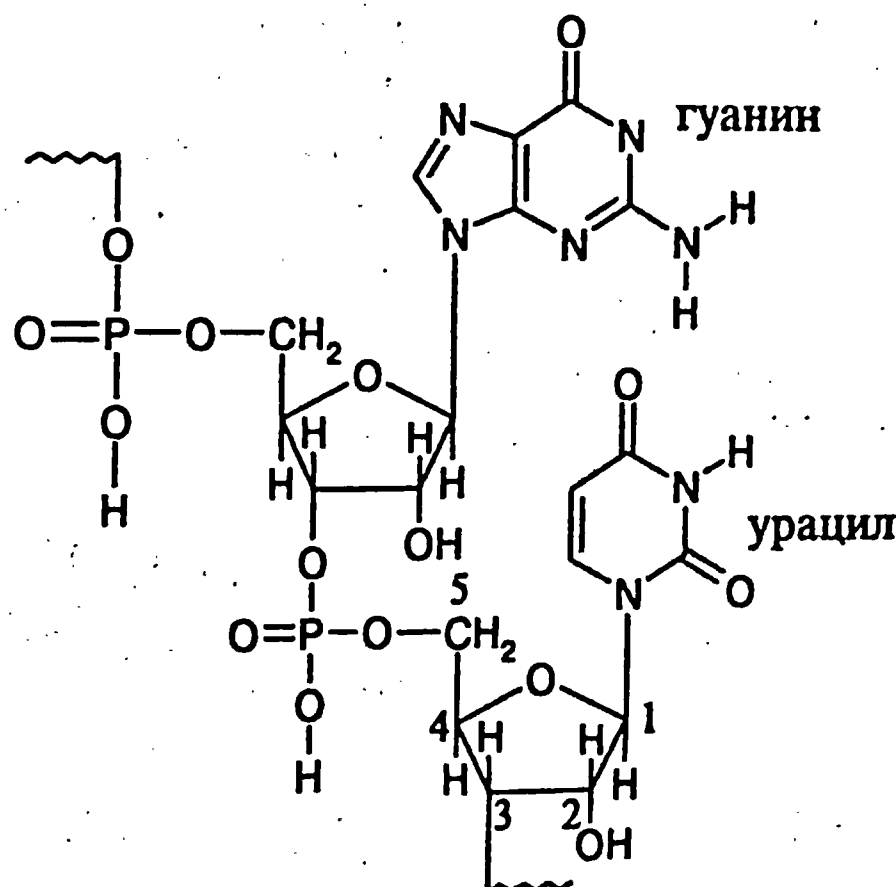
прокариоты, к которым относятся одноклеточные, т. е. древние и существующие ныне бактерии, их единственная клетка не имеет ядра и содержит одну двухнитевую спираль ДНК;

эукариоты, которые включают животных, растения, грибы и простейшие, их клетки содержат ядра, в которых сконцентрирована ДНК, тогда как РНК находится как внутри, так и вне ядра.

Как уже упоминалось выше, звенья нуклеиновых кислот, называемые нуклеотидами, содержат остатки фосфорной кислоты, сахара и оснований. Образование цепи из нуклеотидов происходит в результате катализируемой ферментами конденсации групп $-OH$ остатков сахара и фосфорной кислоты. В результате макромолекулы всех нуклеиновых кислот имеют цепи с регулярным чередованием остатков сахара и фосфорной кислоты, что схематически может быть представлено следующим образом:



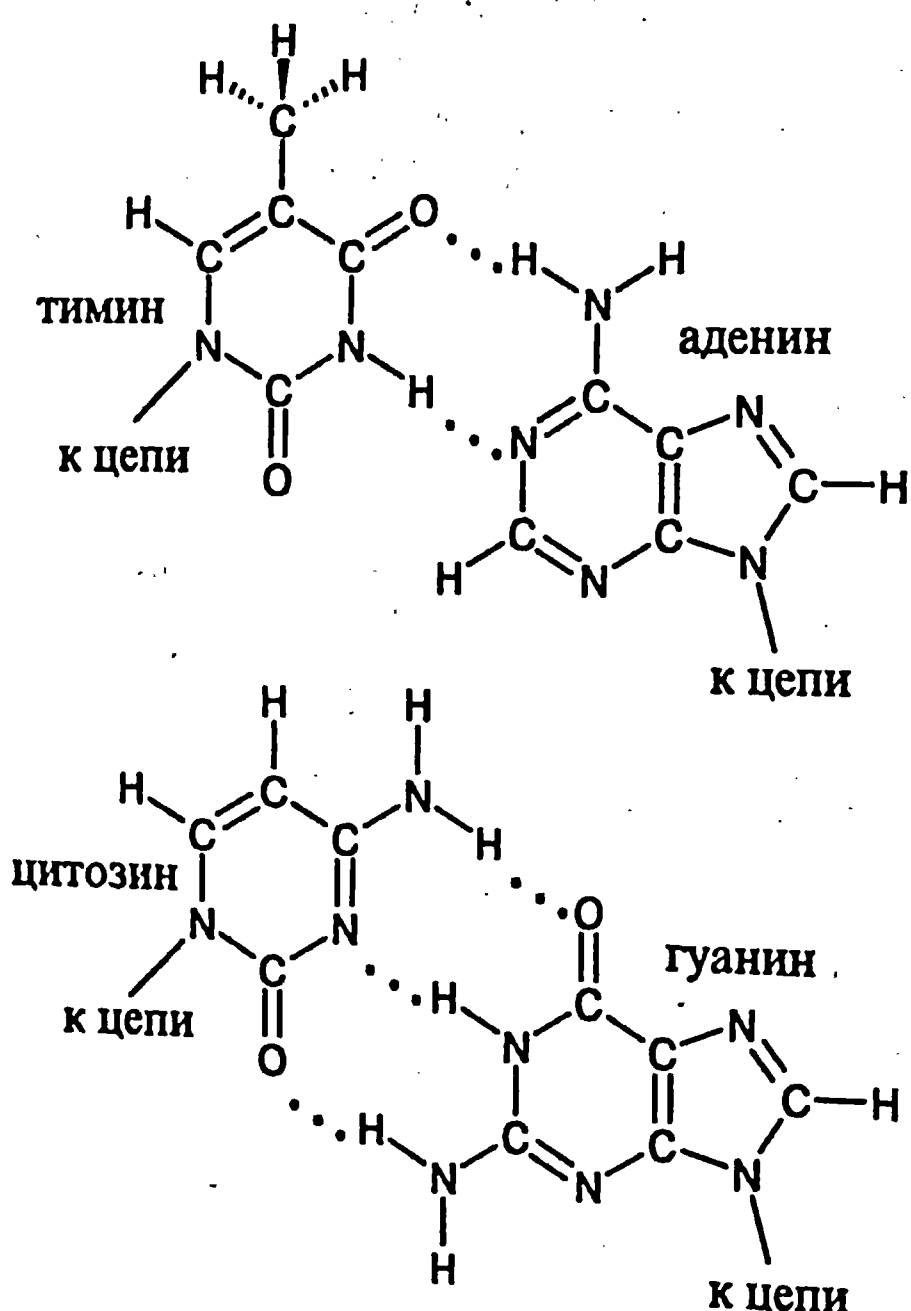
Сахара относятся к группе пентоз (см. полисахариды в этом же разделе), основания — к рядам пуринина и пуринина. Упомянутые соединения представлены на схеме. Каждая из нуклеиновых кислот построена из четырех типов нуклеотидов, которые отличаются химической природой основания. ДНК содержит два основания пуринового ряда — аденин и гуанин и два основания пиримидинового ряда — цитозин и тимин. В РНК пуриновые основания те же, пиримидиновые основания несколько отличаются, это цитозин и урацил. Все эти основания присутствуют на приведенных далее схемах, на первой из них изображен фрагмент макромолекулы РНК:



Из этого примера видно, что основная цепь нуклеиновых кислот образуется в результате конденсации гидроксильных групп, связанных с 3'- и 5'-атомами углерода сахара рибозы в РНК (представлено на схеме) и дезоксирибозы в ДНК — с группами OH фосфорной кислоты. Основание во всех случаях присоединено к 1'-атому сахара. Одна из групп OH фосфорной кислоты не участвует в реакции поликонденсации. Для дважды этерифицированных нуклеиновых кислот это означает, что одна из групп OH фосфорной кислоты не участвует в реакции поликонденсации.

ванной фосфорной группы найдено $pK = 1,5$, следовательно, нуклеиновые кислоты, содержащие несвязанные Р-ОН-группы, могут быть отнесены к достаточно сильным кислотам.

В 1953 г. Уотсон и Крик установили, что ДНК образует вторичную структуру в виде двойной спирали. Такая спираль образуется при скручивании двух макромолекул ДНК вокруг общей оси и фиксируется водородными связями между основаниями, связанными с разными цепями. Всегда попарно связываются пуриновые и пиримидиновые основания, поскольку только при этом условии сечение двойной спирали остается неизменным по длине. Исходя из принципа достижения максимальной энергии водородных связей, всегда оказываются попарно связанными тимин с аденином и цитозин с гуанином. Из схемы видно, что только в этой комбинации образуется максимальное количество водородных связей из числа возможных, и их энергия близка к максимальной, поскольку три атома, связанные водородной связью, во всех случаях лежат на линии, близкой к прямой:



Нуклеиновые кислоты играют наиболее ответственную роль в процессах жизнедеятельности. С их помощью решаются две важнейшие задачи: хранение и передача наследственной информации и матричный синтез макромолекул ДНК, РНК и белка. Наследственная информация зашифрована в макромолекулах ДНК в виде последовательности расположения четырех типов нуклеотидов, содержащих четыре разных основания. Такие последовательности называются генами. Они расположены в виде «отдельных островов»

вдоль всей цепи ДНК, их суммарная длина составляет 3–5 % от общей длины макромолекулы.

К важнейшим процессам матричного синтеза относятся:

- репликация, в ходе которой двойная спираль «расплетается» (сразу во многих местах) и на каждой материнской ДНК синтезируется дочеря, комплементарная первой, таким образом, из исходной спирали образуются две идентичные ей; одна из них переносит в новую клетку, образующуюся при делении материнской, наследственную информацию;
- транскрипция или синтез на молекулах ДНК так называемой информационной м-РНК, при котором генетическая информация, заложенная в ДНК, «сбрасывается» на м-РНК и кодируется там в виде последовательности расположения нуклеотидов;
- трансляция или синтез белка на молекулах м-РНК, в данном случае используется трехбуквенный код, т. е. последовательность из трех нуклеотидов матричной м-РНК определяет тип очередной аминокислоты из 20 возможных, которая должна присоединиться к растущей полипептидной цепи белка.

Все перечисленные реакции катализируются ферментами – белками, а иницирование многих процессов осуществляется с помощью РНК.

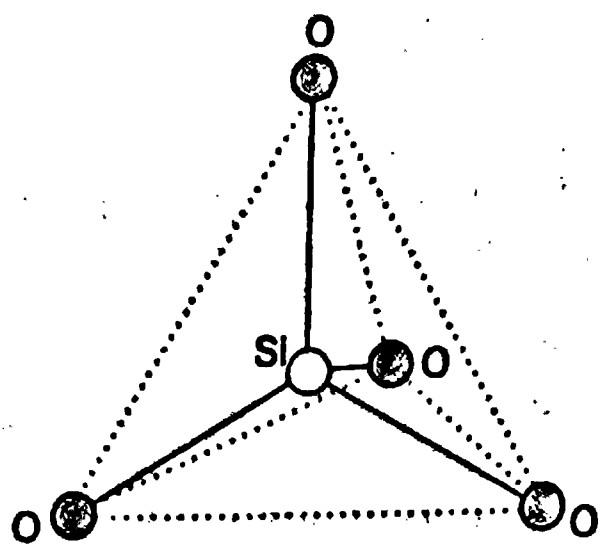
Природные неорганические полимеры. Природные неорганические полимеры составляют основу земной коры, толщина которой достигает 15 км (литосфера). Литосфера образовалась и образуется при выходе на поверхность Земли расплавленной магмы, в которой химические реакции протекают при высокой температуре и давлении. Основной горной породой являются базальты. В табл. 1.3 приведены данные по составу базальтовых горных пород, полученных из проб, взятых со дна океанов Земли и лунных морей. Видно, что состав базальтовых пород Земли и ее спутника весьма близок, он состоит в основном из оксида кремния и в значительно меньшей степени из оксидов железа и алюминия. Оксид кремния является типичным полимерным кристаллическим телом, т. е. трехмерным полимером. Наряду с этим, для него известны двухмерные (подобные графиту) и цепные полимеры (рис. 1.1).

Основной структурной единицей всех полисиликатов является тетраэдр SiO_4 , в вершинах которого расположены атомы кислорода, в центре – атом

Таблица 1.3

Содержание различных оксидов в базальтовых породах, мас. %

Оксид	Лунный грунт	Земная кора
SiO_2	41–46	44–53
Al_2O_3	7–14	13–19
FeO	18–22	7–14
TiO_2	1–12	0,9–3,3
MgO	7–16	4–10
CaO	8–12	8–12



Тетраэдр SiO_4 – структурная единица полисиликатов

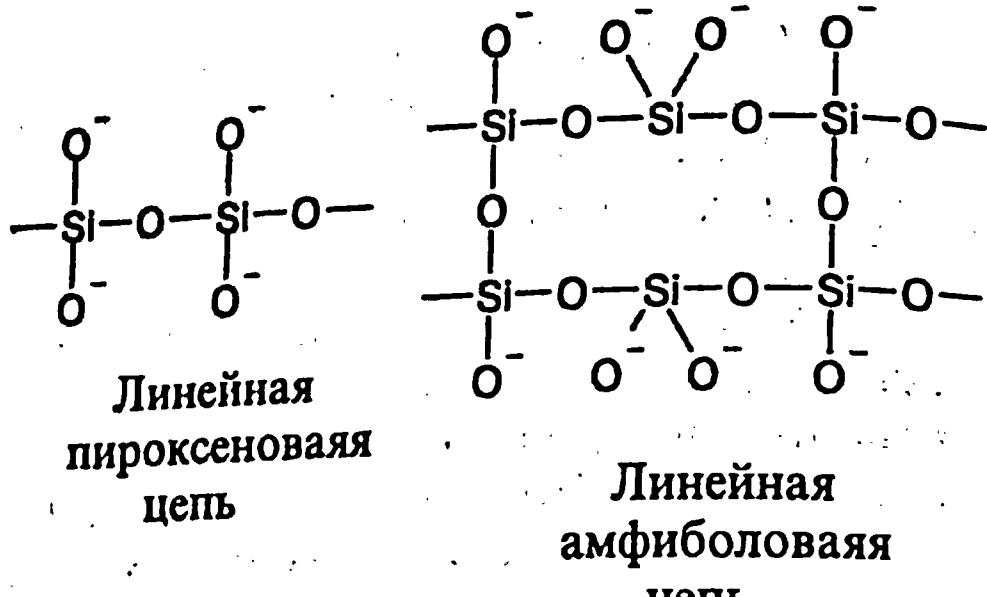


Рис. 1.1. Строение макромолекул силикатов

кремния. Структура полимерного кристаллического тела с регулярной трехмерной структурой из SiO_2 аналогична структуре алмаза – трехмерного полимера углерода. В обоих случаях регулярная трехмерная структура может быть получена при совмещении граней структурных единиц – тетраэдров. Подобный полимер встречается в природе в виде прозрачного минерала кварца, известного также как горный хрусталь. Полимерное тело с регулярной трехмерной структурой под названием корунд образует также одна из модификаций Al_2O_3 . Окрашенные формы (за счет примесей) кварца и корунда встречаются в природе в виде драгоценных камней. К наиболее известным из них относятся аметист, топаз, опал (кварц), рубин, сапфир (корунд).

На рис. 1.1 представлены также фрагменты макромолекул линейных и двухмерно сшитых линейных двухтяжевых полисиликатов. Такие структуры могут быть получены при сочетании тетраэдров SiO_4 вершинами, при этом, ионам кислорода должны соответствовать свободные вершины. Слоистые структуры SiO_4 образуются при сочетании тетраэдров ребрами, при этом один атом кислорода должен оставаться свободным. Линейные макромолекулы SiO_2 входят в состав минералов пироксен, энстатит, диопсид, сподуловолокнистого неорганического материала, известного как асбест. В состав многих минералов входят слоистые полимерные структуры SiO_2 , например в состав талька и каолинита (белой глины), где они чередуются со слоями пово втором.

Помимо полисиликатов в природе широко распространены полимеры алюмосиликатов – линейные, двухмерно и трехмерно сшитые. Среди последних наиболее известны цеолиты с общей формулой $\text{MO} \cdot \text{Al}_2\text{O}_3 \cdot x\text{SiO}_2 \cdot y\text{H}_2\text{O}$, где M – металл I или II групп. Цеолиты являются прекрасными сорбентами, их удельная поверхность выше, чем угля. Благодаря этому цеолиты широки и используются на практике в качестве так называемых молекулярных сит.

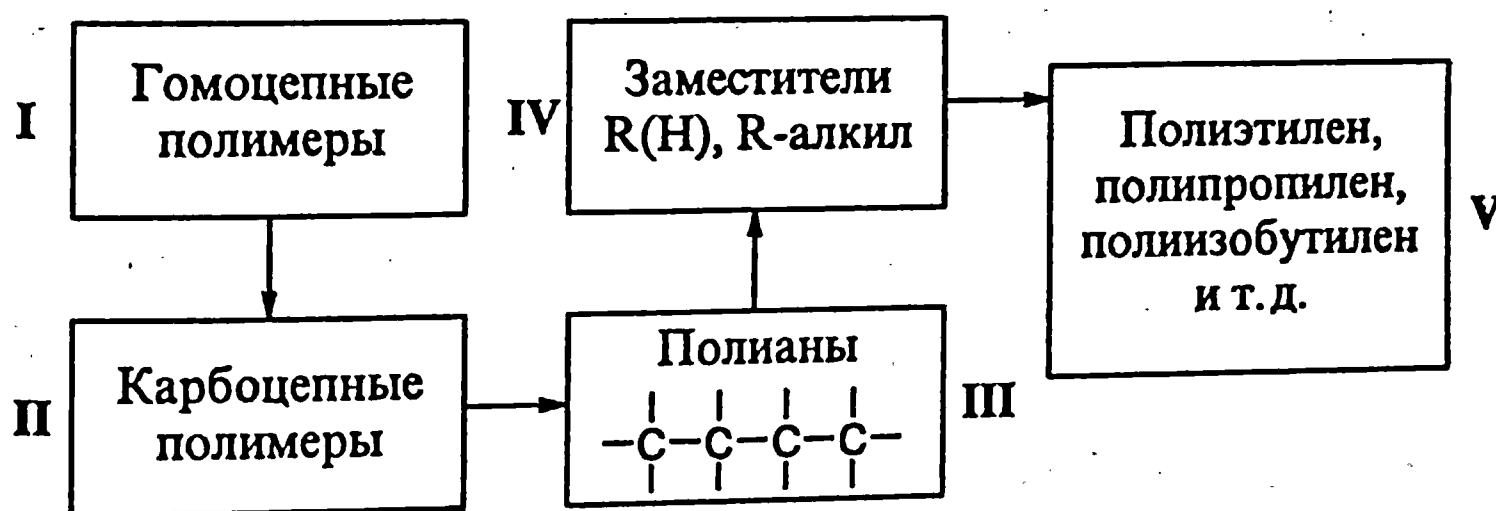
1.2. Классификация и номенклатура полимеров

1.2.1. Принципы классификации полимеров

Наиболее развита классификация, основанная на химическом строении полимера*. Последовательность деления полимеров на классы, подклассы, группы, подгруппы и виды основана на следующих классификационных признаках, соответствующих пяти ступеням детализации:

I	Класс	наличие одинаковых или разных атомов в основной цепи
II	Подкласс	природа элементов основной цепи
III	Группа	тип связей и структур основной цепи
IV	Подгруппа	природа заместителей в основной цепи
V	Вид	строение повторяющегося звена

В соответствии с этой классификацией полимеры «разделяют» на два больших класса – гомоцепные и гетероцепные полимеры. Первый из них делится на несколько подклассов – карбоцепные, кремнийцепные (полисилины), полимеры серы, олова и некоторые другие. Во всех случаях основная цепь построена из одинаковых молекул. Класс гетероцепных полимеров разделяется на значительно большее число подклассов – оксикарбоцепные, азоткарбоцепные, оксиалюминийцепные, оксикарбоазотцепные и др. В соответствии с природой связей и структур основной цепи подклассы делятся на группы, содержащие в основной цепи одинарные (полианы), двойные (полиены) и тройные (полиини) связи, ароматические (поликарбарилены) и гетероциклы и т. д. По природе заместителя группы делятся на подгруппы, например, полиолефины, галоидсодержащие полианы и т. п. Строение повторяющегося звена является пятой конечной ступенью данной классификации, которая приводит к конкретному полимеру. Ниже приведены все ступени классификации карбоцепных полимеров вплоть до конкретных полимеров – полиолефинов:



Данная система позволяет систематизировать накопленную информацию по полимерам и проводить их автоматизированный поиск.

* Коршак В. В., Платэ Н. А., Ренард Т. Л. и др. Общая классификация полимеров и ее применение для поиска информации о полимерах // ЖВХО им. Д. И. Менделеева. 1977. Т. 22. № 4. С. 393 – 397.

Помимо рассмотренной классификации существуют и другие – менее детализированные. Так, по происхождению полимеры делятся на *синтетические* и *природные*, последние, в свою очередь, делятся на *неорганические* и *органические*, называемые также *биополимерами*. В соответствии с химической природой полимеры делятся на *органические*, *неорганические* и *элементоорганические*.

Органические полимеры содержат атомы углерода, водорода, азота, кислорода, галогенов. Примером карбоцепных органических полимеров являются полиолефины и полимеры виниловых мономеров общей формулы $[-\text{CH}_2-\text{CHX(H)}-]_n$, где X – арил, галоген, эфирная, нитрильная или другая функциональная группа.

Неорганические полимеры не содержат связей С–Н. К гомоцепным неорганическим полимерам относятся линейные модификации серы и селена, к гетероцепным – полифосфонитрилхлорид $[-\text{PCl}_2=\text{N}-]_n$.

Элементоорганические полимеры содержат как органические, так и неорганические группы. Примером гетероцепного элементоорганического полимера является полидиметилсилоксан $[-\text{Si}(\text{CH}_3)_2\text{O}-]_n$. К элементоорганическим полимерам можно также отнести полиорганофосфазены $[-\text{PR}_2=\text{N}-]_n$, которые получаются при замене атомов хлора в полифосфонитрилхлориде на органические группы.

Помимо классификации, основанной на химической природе полимера, весьма распространена классификация, рассматривающая строение макромолекулы в целом. Для макромолекул цепных полимеров характерна большая или меньшая гибкость, поэтому пространственные формы макромолекул определяются как порядком расположения атомов, так и гибкостью макромолекулярной цепи. В связи с этим различают такие понятия, как *конфигурация* и *конформация* цепи.

Конфигурация цепи отражает химическую структуру макромолекулы. Под конфигурацией понимается взаимное расположение атомов вытянутой цепи, определяемое фиксированными значениями длин связей и валентных углов. Конфигурация цепи может быть изменена лишь путем разрыва химической связи, т. е. путем химической реакции. Вращение вокруг связей основной цепи не может ее изменить. Вследствие теплового движения отрезки гибкой цепи макромолекулы принимают различные, постоянно меняющиеся формы или конформации.

Под конформацией понимается пространственное расположение атомов макромолекулы в данный момент времени, определяемое фиксированными значениями длин связей, валентных углов и углов вращения вокруг связей основной цепи. Одна конформация переходит в другую путем простого вращения вокруг связей основной цепи, поэтому макромолекула может реализовать последовательно множество конформаций.

Строение макромолекулы цепного полимера определяет конфигурация основной цепи, т. е. хребта или скелета макромолекулы. Основные группы приведены на рис. 1.2, здесь же приведено условное изображение конфигурации дендримера – сверхразветвленного полимера с регулярным ветвлением.

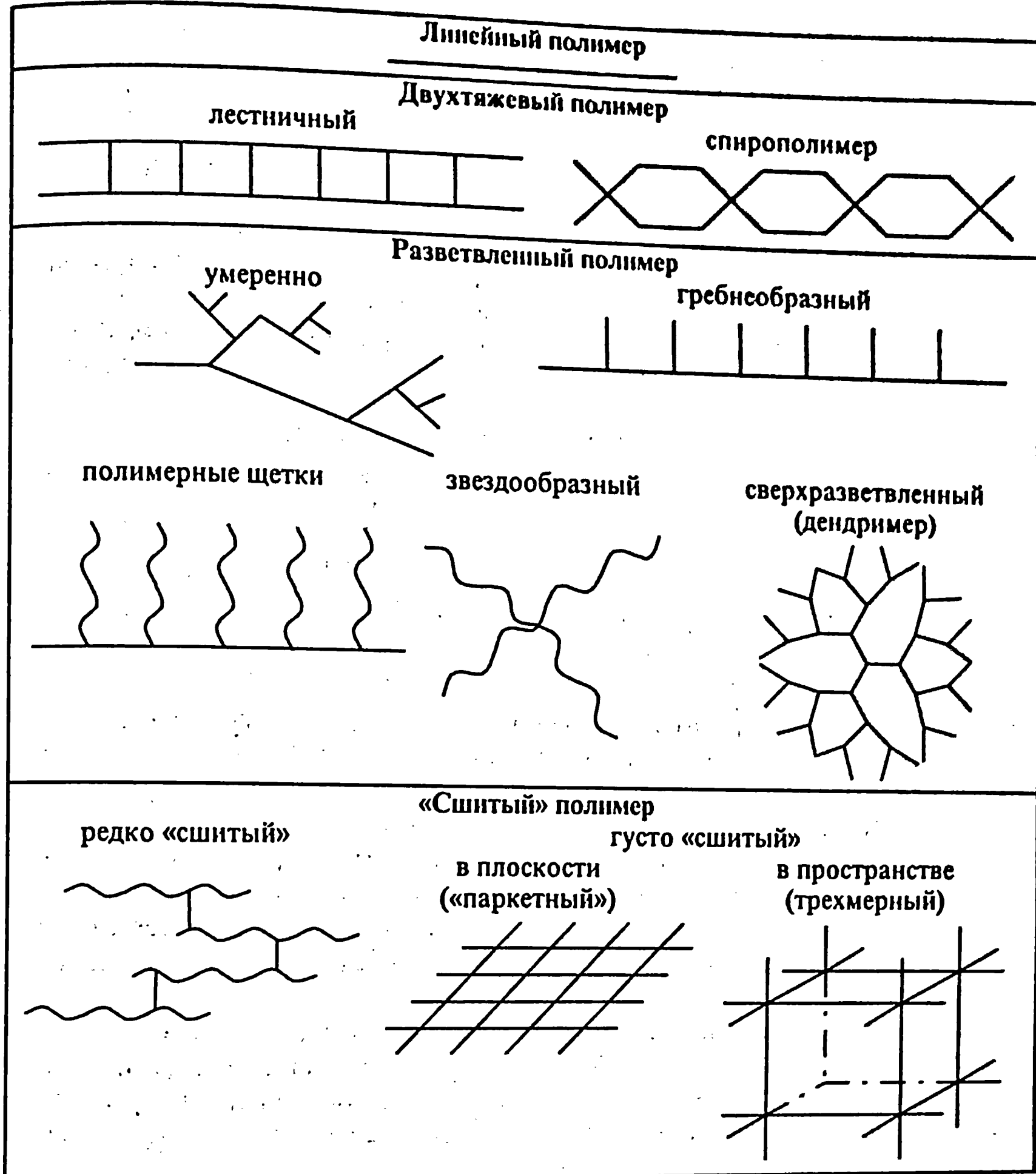
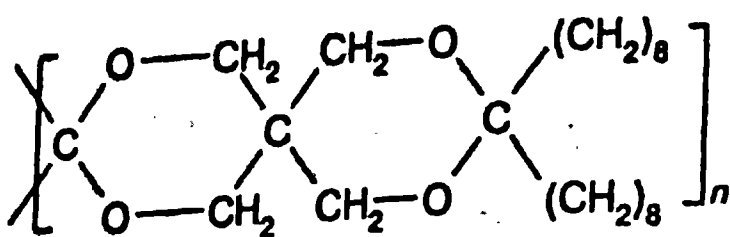
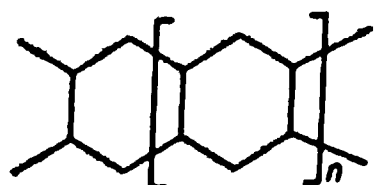


Рис. 1.2. Схематическое изображение различных структур полимерных молекул

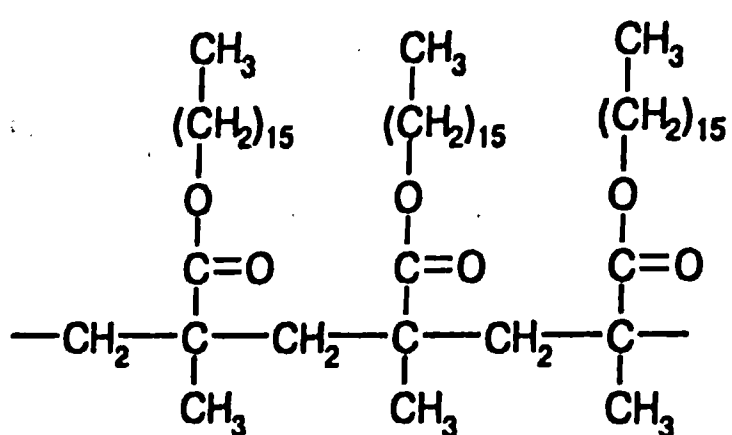
Промышленное производство полимеров практически полностью базируется на цепных полимерах, среди которых наиболее распространены линейные, а среди последних – карбоцепные линейные полимеры. К ним относятся наиболее крупнотоннажные полимеры – полиолефины $[-\text{CH}_2-\text{CH}_2(\text{R})-]_n$, поливинилхлорид $[-\text{CH}_2-\text{CHCl}-]_n$, полистирол $[-\text{CH}_2-\text{CHC}_6\text{H}_5-]_n$.

Лестничные и спирополимеры имеют общее в строении. Формально их можно рассматривать как полимеры циклов, соединенных в одном случае через атом, в другом – через два атома. К лестничным полимерам относятся циклизированные полидиены, например циклизованный полибутадиен:



Примером спирополимера является полиспирокеталь, приведенный на схеме. Наиболее ценным свойством лестничных и, в меньшей степени, спирополимеров является высокая термостабильность.

Распространенными представителями гребнеобразных полимеров являются полимеры акриловых и метакриловых эфиров, имеющих в качестве заместителя в эфирной группе производные длинноцепочных спиртов, например цетилового:



У гребнеобразных полимеров указанного типа боковые группы способны к кристаллизации, что приводит к жидкокристаллическому состоянию полимера в целом. Макромолекулы гребнеобразных полимеров содержат относительно короткие ответвления. Если этими ответвлениями являются макромолекулярные цепи, то соответствующая структура называется щеткой. Последняя может быть сформирована на сферической или плоской поверхности. Особенностью этой структуры являются вытянутые цепи щетки, тогда как линейные гибкоцепные макромолекулы самопроизвольно свертываются в клубки.

Наиболее известным примером статистически разветвленного полимера является полиэтилен, полученный методом высокого давления. При синтезе этого полимера вследствие протекания реакции передачи цепи на полимер цепи, от последнего вновь образуются ответвления от основной вах полиэтилена с линейными и разветвленными макромолекулами весьма заметна. Первый имеет большие плотность, прочность и меньшую прозрачность, что связано с повышенной степенью кристалличности по сравнению с полиэтиленом высокого давления. Макромолекулы сверхразветвленных полимеров, в отличие от разветвленных, не имеют явно выраженной основной цепи. Редко сшитые полимеры относятся к цепным, они, как правило, обладают большой прочностью и твердостью по сравнению с линейными, в чем «Сшивка» в плоскости приводит к образованию так называемых «паркетных» полимеров. Вещества, находящиеся в данном полимерном состоянии, проявляют тенденцию к расслаиванию, что характерно для таких материалов, как графит и слюда. В графите гибридизация атомов углеро-

да – sp^2 , он имеет плоскосшитую или паркетную конфигурацию макромолекулы. Повторяющейся геометрической фигурой этой конфигурации является правильный шестигранник, макромолекулы расположены в плоскости, так как такое расположение обеспечивает сопряжение и делокализацию p -электронов углерода. Благодаря последнему обстоятельству, графит является очень хорошим проводником электрического тока. В алмазе атомы углерода имеют sp^3 -гибридизацию, каждый атом углерода связан σ -связью с четырьмя другими атомами, следовательно, алмаз является пространственным «сшитым» полимером углерода с предельной плотностью «сшивки». Алмаз является самым твердым из известных материалов, графит – один из наиболее мягких.

Приведенная выше классификация рассматривает лишь «скелет» макромолекулы. Если же учитывать пространственное расположение заместителей основной цепи, то линейные полимеры разделяются на стереорегулярные, в макромолекулах которых существует строгий порядок в расположении заместителей относительно плоскости зигзага основной цепи, и стереонерегулярные. Первые, как правило, являются кристаллическими полимерами, вторые – за редким исключением аморфны. Например, поливинилхлорид является стереонерегулярным полимером, однако, содержит некоторое количество кристаллической фракции.

В соответствии со свойствами, определяющими область применения, полимеры делятся на *волокнообразующие, пластомеры и эластомеры*.

Одним из важнейших свойств, определяющих область применения полимеров, является обратимая деформация. В соответствии с величиной обратимой деформации растяжения полимеры указанных классов располагаются в ряд:

эластомеры >> пластомеры > волокна,

которому отвечает относительная деформация порядка 10^3 , 1, 10^{-3} %.

Волокна производятся из весьма ограниченного круга полимеров. К ним относятся целлюлоза и белки из природных полимеров, полиамиды, полиэфиры, полипропилен и полиакрилонитрил – из синтетических.

Пластомеры используются в виде полимерных материалов, называемых пластмассами или пластиками, которые подразделяются на пластики общего назначения и инженерные, или конструкционные, пластики. К пластомерам относится весьма широкий круг полимеров. Наиболее крупнотоннажными являются полимеры и сополимеры на основе олефинов, винилхлорида, стирола, акрилатов (производных акриловой и метакриловой кислот), формилацетата, а также полиамиды, фенопласти (полимеры фенола и формальдегида), аминопласти (полимеры мочевины или меламина и формальдегида).

Эластомеры образуют материалы, называемые каучуками и резиной («сшитый» каучук). Круг полимеров, относимых к эластомерам, достаточно узок. К крупнотоннажным относятся полимеры диеновых мономеров (изопрен, бутадиен), полисилоксаны. В меньшем количестве производятся

акриловые (сополимер бутилакрилата с акрилонитрилом) и полисульфидные каучуки, содержащие атомы серы в основной цепи. Типичными эластомерами являются такие неорганические полимеры, как линейная сера $[-S-]$, и полифосфонитрилхлорид $[-PCl_2=N-]$.

В соответствии со способом переработки в изделия или полуфабрикаты полимеры подразделяются на термопласти и реактопласти. К *термопластам* относятся полимеры, перерабатываемые путем расплава, такие полимеры имеют относительно небольшую молекулярную массу (порядка 10^5). Один и тот же полимер может быть переработан через расплав несколько раз, что имеет значение с точки зрения утилизации отходов полимеров. К *реактопластам* относятся полимеры, изделия из которых получаются в результате химического формования, т.е. при нагревании в форме низкомолекулярного полимера с реакционноспособными группами (преполимер). Образующийся при этом «сшитый» полимер не может быть переработан вторично, что затрудняет его утилизацию.

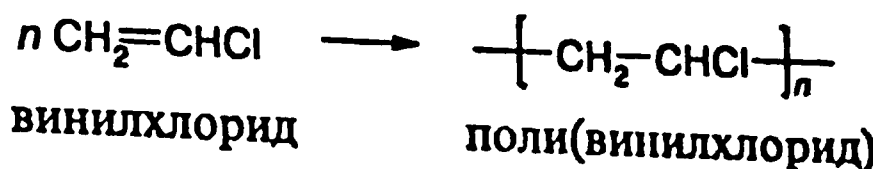
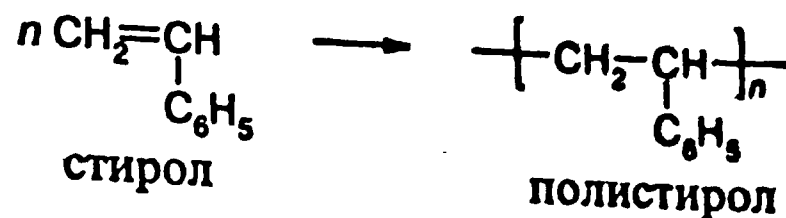
1.2.2. Тривиальная, рациональная и систематическая номенклатура полимеров

Номенклатура, т.е. принципы и правила образования названий полимеров и сами названия, должна выполнять две основные задачи: позволять воспроизвести химическое строение полимера, исходя из его названия, и сделать наиболее распространенные полимеры легко узнаваемыми. Одна номенклатура не может выполнить эти задачи, поэтому в настоящее время существует несколько номенклатур, и такое положение, по-видимому, сохранится в будущем.

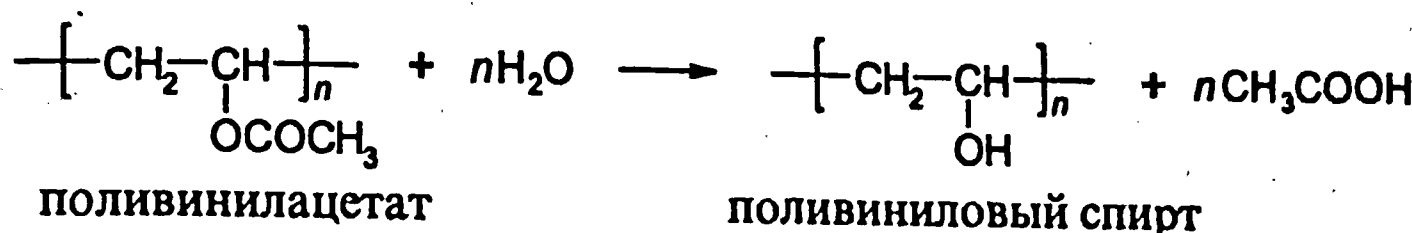
Номенклатура, включающая торговые названия полимеров. Тривиальная номенклатура имеет то несомненное преимущество, что делает полимер узнаваемым для широкого круга специалистов и потребителей. В качестве примера можно привести политетрафторэтилен, который широко известен под названием тефлон. У всех на слуху также такие названия, как фенопласти, аминопласти, поликарбонаты и некоторые другие. Как правило, такие названия не содержат информации о химическом строении полимера, но в данном случае это несущественно, поскольку за этими названиями стоят холимеры. Иногда торговые названия дают достаточно полную информацию о полимере. Например, такие названия, как нейлон 6, нейлон 66 говорят о том, что имеются в виду линейные ациклические полиамиды. В первом случае полимер получен из одного мономера – ϵ -капролактама, цифра 6 означает, что амидные группы в цепи разделены шестью метиленовыми группами. Во втором случае полимер получен из двух мономеров – гексаметилендиамина и адипиновой кислоты. Первая цифра в названии полимера показывает число атомов углерода в диамине, вторая – в дикарбоновой кислоте.

Рациональная номенклатура. Рациональная номенклатура широко применяется в настоящее время по отношению к полимерам, получаемым методом цепной полимеризации. Перед названием мономера ставится приставка

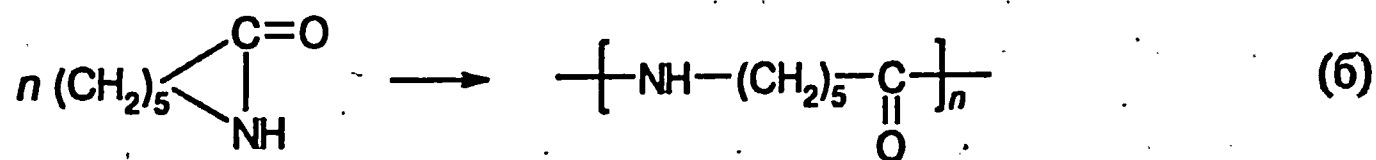
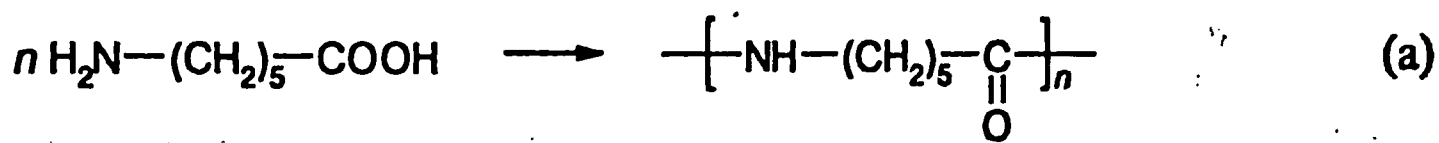
«поли-», если название мономера включает несколько слов, то оно берется в скобки:



Название полимера может быть образовано, исходя из гипотетического мономера. Так, поливиниловый спирт называют по виниловому спирту, который неустойчив и существует как фенольная форма ацетальдегида. Получают же поливиниловый спирт гидролизом поливинилацетата:

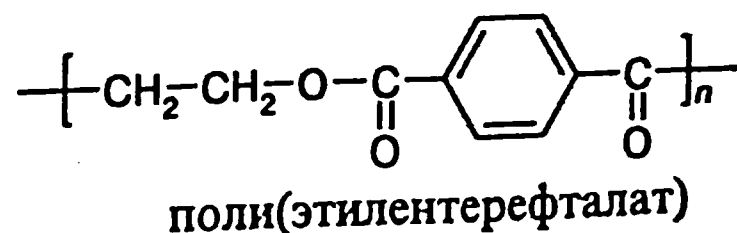


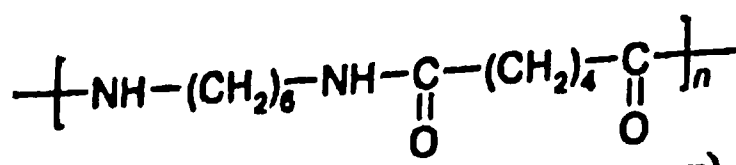
Когда один и тот же полимер может быть получен из различных мономеров, возникает двойственность в его названии; это характерно для полизифиров и полiamидов. Например, полимер, полученный из б-аминокапроновой кислоты, называют поли(б-аминокапроновой кислотой) (а), а тот же полимер, синтезированный из ε-капролактама – поли(ε-капролактамом) (б):



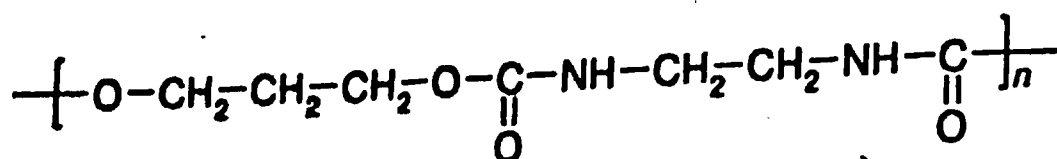
Данную номенклатуру целесообразно применять к достаточно известным полимерам, название которых часто используют специалисты.

Более общей является номенклатура, основанная на строении мономерного звена, поскольку она может применяться к полимерам, полученным из двух мономеров, что является обычным для поликонденсации. В этом случае после приставки «поли-» в скобках приводится название мономерного звена, причем, та часть названия, которая определяет принадлежность данного полимера к определенному классу, приводится последней. Например, в приведенных ниже названиях полимеров последние слова в скобках указывают на принадлежность полимеров к классам полизифиров, полiamидов и полиуретанов. Первые слова характеризуют второй мономер:





поли(гексаметиленадипоамид)



поли(триметиленэтиленуретан)

Систематическая номенклатура, рекомендованная ИЮПАК*. В 70-х гг. XX в. Международным союзом теоретической и прикладной химии – ИЮПАК (International Union and Applied Chemistry – IUPAC) была разработана систематическая номенклатура однотяжевых полимеров, основанная на описании строения составного повторяющегося звена полимерной цепи (СПЗ) в соответствии с определенными правилами**. СПЗ представляет собой наименьшую группу атомов с двумя валентностями, повторением которой может быть образована полимерная цепь. В большинстве случаев СПЗ совпадает с мономерным звеном, но в отдельных случаях – не совпадает, что приводит к изменению привычных названий полимеров. Например, полиэтилен в соответствии с этой номенклатурой называется полиметиленом, а СПЗ является группа $-\text{CH}_2-$.

Название полимера начинается с приставки «поли-», за которой в скобках следует название СПЗ. Следовательно, чтобы дать название полимеру, необходимо:

- идентифицировать СПЗ,
- ориентировать СПЗ,
- дать название СПЗ.

СПЗ может быть простым или состоять из нескольких подзвеньев. В качестве подзываются наибольшая группа атомов (или циклов основной цепи), которая может быть названа в соответствии с номенклатурными правилами ИЮПАК для низкомолекулярных органических соединений. Атомы и подзвенья располагаются в СПЗ в порядке убывания старшинства слева направо, путь между подзвеньями должен быть наиболее коротким. Правила старшинства состоят в следующем:

1. Все гетероатомы являются старшими по отношению к углероду. Среди них старшинство определяется положением в периодической системе, оно убывает при движении от правого верхнего угла периодической таблицы к левому нижнему по группам. Ряд старшинства начинается со фтора, старшинство убывает в последовательности: F, Cl, Br, ..., O, S, Se, ..., N, P, As, Sb, ..., Fr.

2. Старшинство подзвеньев определяется рядом: гетероциклы > гетероатомы или линейные подзвенья, включающие гетероатомы > карбоциклы > ациклические подзвенья. Наличие любых заместителей не изменяет порядок старшинства подзвеньев. При прочих равных условиях преимуществом

* IUPAC. Macromolecules, 6, 149 (1973).

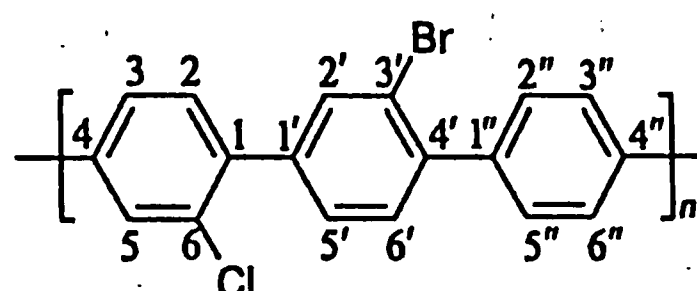
** ИЮПАК. Номенклатура органических соединений, разд. A, B, C. 3 изд. Лондон, 1971.

обладают те из них, у которых число, характеризующее положение заместителя, является наименьшим.

3. Гетероциклы по старшинству расположены в ряд: азотсодержащие > гетероциклы, содержащие, наряду с азотом, другие гетероатомы, старшинство которых определяется в соответствии с пунктом 1 > системы с наибольшим количеством колец > системы с наибольшим циклом > цикл с наибольшим количеством гетероатомов > системы с наибольшим количеством гетероатомов > системы с наибольшим ассортиментом гетероатомов. При иных равных условиях ненасыщенные циклы имеют преимущество.

4. Среди карбоциклических группировок главенствуют имеющие наибольшее количество циклов, далее идут системы: с наибольшим индивидуальным циклом > с наибольшим количеством общих атомов у всех циклов > с наименьшим числом, характеризующим места соединения циклов, > системы с наибольшей ненасыщенностью.

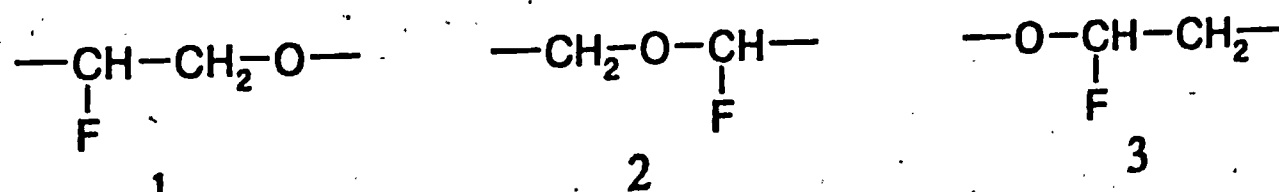
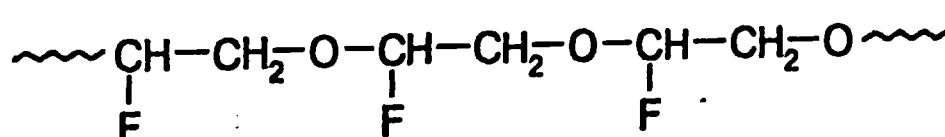
Если в основной цепи имеются атомы и циклы одного типа, последовательность их расположения определяется алфавитным порядком названия заместителей, например:



поли-3'-бром-6-хлор-*n*-терфенил-4,4"-илен

Данный пример иллюстрирует еще одно правило: направление нумерации атомов в циклах должно приводить к наименьшей цифре, характеризующей положение заместителя.

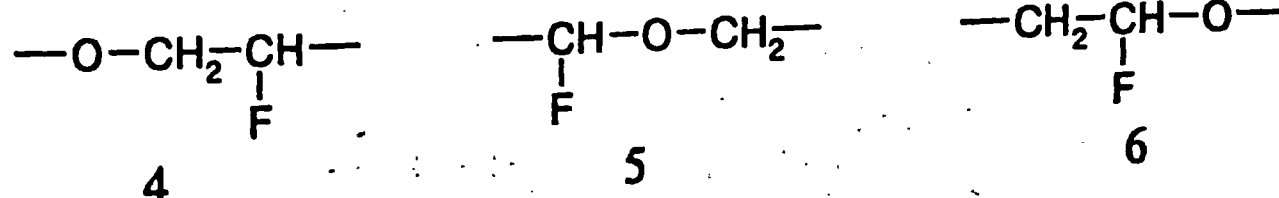
Рассмотрим примеры. Ниже приведены варианты СПЗ полимера



1

2

3

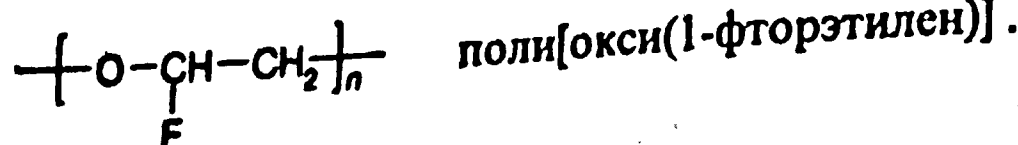


4

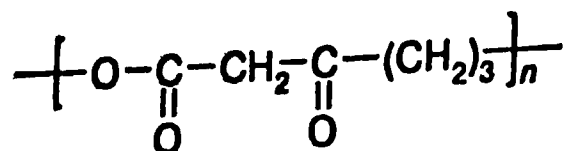
5

6

Поскольку, согласно правилу 1, в основной цепи полимера старшим является кислород, все структуры, кроме 3 и 4, исключаются из дальнейшего рассмотрения. По правилу 2 предпочтение отдается структуре с наименьшим числом, определяющим положение заместителя, в данном случае, атомом фтора. Поэтому в качестве СПЗ рассматриваемого полимера выбирается структура 3, полимер обозначается и называется следующим образом:

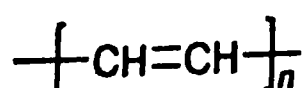


Приведено ниже соединение

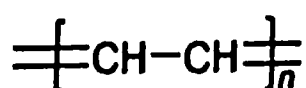


следует называть поли-1,3-диоксигексаметилен, но не полималонилтритметилен, так как первое название включает наибольшую цепь атомов углерода.

Полимер

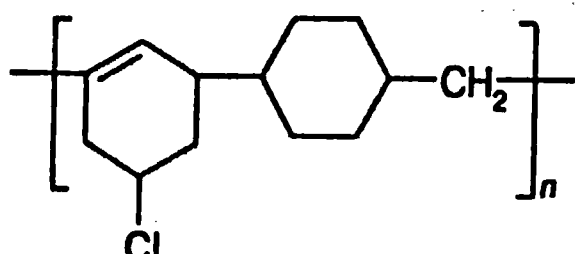


должен быть назван поливинилен, а не полиэтандииден



которому соответствует СПЗ с четырьмя валентностями.

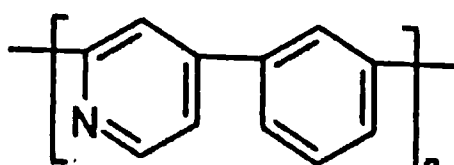
В приведенной далее формуле полимера содержатся циклы в основной цепи:



поли[5-хлор-1-циклогексен-1,3-илен-1,4-циклогексилен-метилен]

В первом случае проявляется старшинство ненасыщенного цикла по сравнению с насыщенным, а также преимущество циклического подзвена перед ациклическим (правила 2, 4).

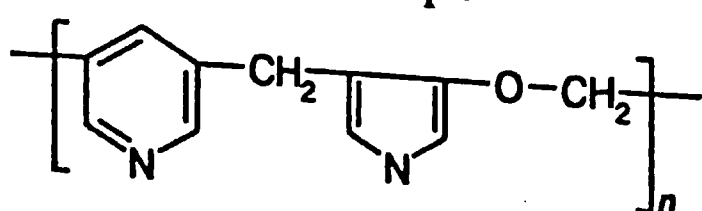
В следующем примере иллюстрируется старшинство азотсодержащего цикла:



поли[2,4-пиридиндиил-4,4-фенилен]

Последний пример относится к правилу «кратчайшего пути» между подзвеньями в названии.

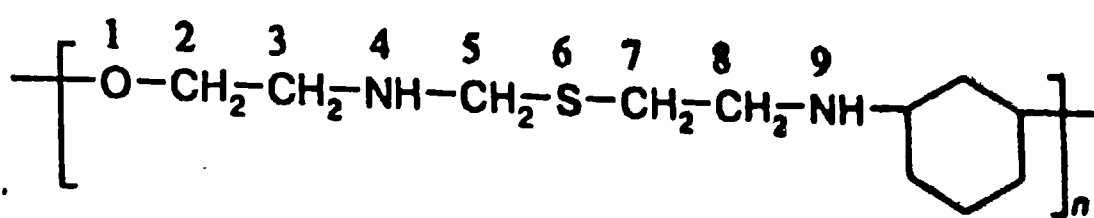
Ниже приводятся два названия полимера



поли[3,5-пиридиндиилметиленпиррол-3,4-диоксиметилен] или
поли[3,5-пиридиндиилметиленоксипиррол-3,4-дииметилен]

Второе – неудачно, поскольку не обеспечивает кратчайшего пути от пиридинового к пиррольному циклу.

В отдельных случаях, наряду с систематической номенклатурой, рекомендованной ИЮПАК, могут быть использованы и другие номенклатуры. Так, для полимера



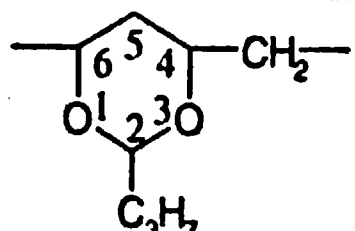
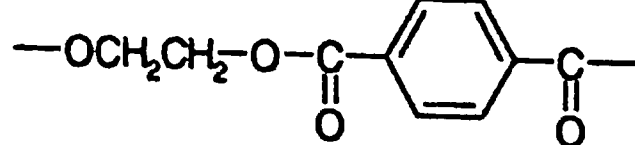
с систематическим названием полиоксиэтилениминометилентиленамино-1,3-циклогексен может быть применима так называемая заместительная номенклатура. В соответствии с ней СПЗ основной цепи дается название, исходя из аналогичного по количеству и порядку нумерации атомов ациклического углеводорода с соответствующими приставками у гетероатомов «аза», «окса», «тиа» и т. д. Согласно данной номенклатуре полимер будет называться поли-1-окса-6-тиа-4,9-диазанонаметилен-1,3-циклогексен. В табл. 1.4 приведены рациональные и систематические названия наиболее распространенных полимеров. Названия полимеров виниловых мономеров после приставки «поли-» начинаются в скобках с цифры 1, что является характерным признаком данного ряда.

Номенклатура неорганических и элементоорганических полимеров. Название полимеров в данном случае может быть дано по рациональной и систематической номенклатуре. В обоих случаях старшинство элементов в цепях прямо противоположно старшинству элементов, принятых для органических соединений. Так, для неорганических и элементоорганических полимеров старшим из приведенного ранее фрагмента периодической системы будет Fr, младшим – F (т. е. чем выше электроположительность элемента, тем выше старшинство).

Таблица 1.4

Названия некоторых регулярных линейных полимеров

Формула СПЗ	Название по номенклатуре	
	рациональной	систематической
$-\text{CH}_2-\text{CH}_2-$	Полиэтилен	Полиметилен
$\begin{array}{c} \text{---CH---CH}_2 \\ \\ \text{CH}_3 \end{array}$	Полипропилен	Полипропилен
$\begin{array}{c} \text{CH}_3 \\ \\ \text{---C---CH}_2 \\ \\ \text{CH}_3 \end{array}$	Полизобутилен	Поли-1,1-диметилэтилен
$-\text{CH}=\text{CH---CH}_2-\text{CH}_2-$	Полибутадиен	Поли-1-бутенилен
$\begin{array}{c} \text{---C}=\text{CH---CH}_2-\text{CH}_2 \\ \\ \text{CH}_3 \end{array}$	Полиизопрен	Поли-1-метил-1-бутенилен
$\begin{array}{c} \text{---CH---CH}_2 \\ \\ \text{---C}_6\text{H}_5 \end{array}$	Полистирол	Поли-1-фенилэтилен

Формула СПЗ	Название по номенклатуре	
	рациональной	систематической
$\text{---CH---CH}_2\text{---}$ CN	Полиакрилонитрил	Поли-1-цианоэтилен
$\text{---CH---CH}_2\text{---}$ OH	Поливиниловый спирт	Поли-1-гидроксиэтилен
$\text{---CH---CH}_2\text{---}$ OCOCH ₃	Поливинилацетат	Поли-1-ацетоксиэтилен
$\text{---CH---CH}_2\text{---}$ Cl	Поливинилхлорид	Поли-1-хлорэтилен
$\text{---CF}_2\text{---CF}_2\text{---}$	Политетрафторэтилен	Полидифторметилен
$\text{---CH---CH}_2\text{---}$ COOCH ₃	Полиметилакрилат	Поли-1-(метоксикарбонил)этилен
$\begin{array}{c} \text{CH}_3 \\ \\ \text{---C---CH}_2\text{---} \\ \\ \text{COOCH}_3 \end{array}$	Полиметилметакрилат	Поли-(1-метоксикарбонил)-1-метилэтилен
	Поливинилбутираль	Поли-(2-пропил-1,3-диксантан-4,6-диил)-метилен
$\text{---O---CH}_2\text{---CH}_2\text{---}$	Полиэтиленоксид, полиэтиленгликоль	Полиоксиэтилен
	Полиэтилентерефталат	Полиоксиэтиленокситефталоил (полиоксиэтиленокси-1,4-диоксифенилен)
$\text{---NH---(CH}_2)_5\text{---C---}$ O	Поли-ε-капроамид	Полимино-(1-оксогексаметилен)
$\text{---NH(CH}_2)_6\text{NH---C---(CH}_2)_4\text{---C---}$ O O	Полигексаметиленадипамид	Полимино-(1,6-диоксогексаметилен)-иминогексаметилен
$\text{---O---CH}_2\text{---}$	Полиформальдегид	Полиоксиметилен

В случае рациональной номенклатуры название полимеров с неорганической главной цепью складывается из:
 приставки «поли-»;
 числа и названия боковых радикалов, присоединенных к каждому из атомов основной цепи;
 корневых названий элементов, образующих основную цепь;

суффикса, указывающего на характер связи между элементами основной цепи («-ан» – одинарная связь, «-си» – двойная, «-ин» – тройная); в случае разных радикалов у одного атома их названия дают в алфавитном порядке латинского алфавита.

В соответствии с Номенклатурными правилами ИЮПАК систематическая номенклатура неорганических, элементоорганических и координационных полимеров базируется на тех же основных принципах, что и номенклатура однотяжевых органических полимеров, а именно, их название складывается из приставки «поли-» и помещенного в квадратные скобки названия составного повторяющегося звена, которое складывается из названий его составных фрагментов. Если число повторяющихся звеньев известно, вместо префикса «поли-» может быть использован нужный числительный префикс, например, додека-СПЗ. Линейный полимер обозначается перед названием префиксом «катена» (от латинского *catena* – цепь).

Название СПЗ, состоящего из центрального атома с несколькими заместителями, включая мостиковый, начинается с перечисления заместителей,

Таблица 1.5

Названия некоторых элементоорганических и неорганических полимеров

Формула СПЗ	Название по номенклатуре	
	рациональной	систематической
—S—	Полимерная сера	Катена-поли[сера]
$\begin{array}{c} n-\text{C}_6\text{H}_{13} \\ \\ \text{Si}- \\ \\ \text{CH}_3 \end{array}$	Полиметил- <i>n</i> -гексилсилан	Катена-поли[метил- <i>n</i> -гексилкремний]
$\begin{array}{c} \text{CH}_3 \\ \\ \text{Sn}- \\ \\ \text{CH}_3 \end{array}$	Полидиметилсттаннан	Катена-поли[диметилолово]
$\begin{array}{c} \text{CH}_3 \\ \\ \text{Si}-\text{O}- \\ \\ \text{C}_6\text{H}_5 \end{array}$	Полиметилфенилсилюксан, полиокси[метилфенилсилилен]	Катена-поли[метилфенилкремний- μ -оксо]
$\begin{array}{c} \text{Cl} \\ \\ \text{N}=\text{P}- \\ \\ \text{Cl} \end{array}$	Полидихлорфосфазен, поли[нитрилодихлорфосфорилиден]	Катена-поли[дихлорфосфор- μ -нитрило]
$\begin{array}{c} \text{F} \quad \text{CH}_3 \\ \quad \\ \text{Si}-\text{Si}- \\ \quad \\ \text{F} \quad \text{CH}_3 \end{array}$	Поли-1,1-дифтор-2,2-диметилдисильтан-1,2-диил	Катена-поли[дифторокремнийдиметилкремний]
$\begin{array}{c} \text{CH}_3 \\ \\ \text{BH}_2-\text{N}- \\ \\ \text{CH}_3 \end{array}$	Поли-бор-диметилазан	Катена-поли[(дигидробор)- μ -(диметиламидо)]

затем идет название центрального атома и далее, после префикса μ , название мостикового заместителя (лиганда). Если последний состоит из нескольких атомов, входящих в основную цепь, то тот из них, который связан с центральным атомом СПЗ, отделяется от других двоеточием. В табл. 1.5 приведены формулы некоторых полимеров и их названия, иллюстрирующие изложенные выше правила.

1.2.3. Классификация и номенклатура сополимеров

В 1985 г. Комиссия ИЮПАК^{*} предложила номенклатуру сополимеров, основанную на их происхождении, т. е. исходных мономерах.

По определению, сополимеры являются полимерами, полученными из мономеров более чем одного типа. Классификация сополимеров основана на расположении мономерных звеньев в молекулах. Для обозначения мономерных звеньев в соответствии с тривиальной, рациональной или систематической номенклатурой ниже приведены классы сополимеров и предлагаемые современной номенклатурой названия, два типа мономеров условно обозначены как А и В:

Тип	Пример
неустановленный (т. е. неизвестный)	поли(А-со-В),
статистический	поли(А-стат-В),
случайный	поли(А-сл-В),
чередующийся	поли(А-чер-В),
периодический	поли(А-период-В-период-С),
блочный	поли А-блок-поли В,
привитой	поли А-прив-поли В.

Статистическими сополимерами называются сополимеры, в которых последовательность расположения мономерных звеньев в цепях подчиняется законам статистики, например, статистике цепей Маркова нулевого (статистика Бернулли), первого и второго порядков.

Случайный сополимер^{**} представляет особый случай статистического сополимера. Распределение звеньев в цепи случайного сополимера описывается статистикой Бернулли. Это означает, что присоединение того или другого мономера к цепи сополимера определяется лишь законом случая и не зависит от каких-либо параметров их реакционной способности.

Чередующиеся сополимеры имеют регулярное строение, так как в цепи за А всегда следует В и наоборот. Поэтому их можно также назвать в соответствии с номенклатурой однотяжевых линейных полимеров.

* Ring W., Mita I., Jenkins A. D., and Bikales N.M. // Pure Appl. Chem., 57, 1427 (1985).
Тальрозе Р. В. Номенклатура сополимеров, базирующаяся на их происхождении // Высокомолек. соед. А. 1986. Т. 28. № 5. С. 1096.

** Более детально статистические и случайные сополимеры охарактеризованы в разделе 6.1.1.

В периодических сополимерах звенья цепи также располагаются регулярным образом, например:

-ABCABCABC-	или	(ABC) _n
-ABBABBABB-	или	(ABB) _n
-AABAABAAABA -	или	(AABA) _n
-ABACABACABAC-	или	(ABAC) _n

Для блок- и привитых сополимеров характерно блочное расположение мономерных звеньев в макромолекуле. Под блоком понимается участок макромолекулы, содержащий один тип мономерных звеньев. Ниже показано расположение блоков в привитых и блок-сополимерах:

<i>Тип сополимера</i>	<i>Строение цепи</i>
Статистический	-A-A-B-A-B-B-A-
Блок-сополимер	-AAAAAAAABBBBBBB-
Привитой	-AAAAAAABBBBBB-

B B B
B B B
B B B
B B B
B B B

Когда блоки соединены фрагментом (атомом) X, не являющимся частью блоков, название соединительного звена помещается в соответствующем месте, а соединительное слово **блок-** может быть опущено, например поли A-блок-X-блок-поли C или поли A-X-поли C.

При названии привитых сополимеров первое название (A) соответствует звеньям, образующим основную цепь, второе (B) – образующим боковые цепи: поли A-прив-поли B. Если привитые цепи содержат разные мономерные звенья, они разделяются в названии точкой с запятой: поли A-прив-(поли B; поли C).

Параллельно широко используется альтернативная номенклатура, основные положения которой следующие:

1. Сополимер обозначается приставкой «сополи-», за которой следуют названия мономеров (номенклатура, базирующаяся на происхождении). Пример: сополи(стирол/бутадиен).

2. Уточнение типа сополимера (сокращения «блок», «чер» и т. д.) производится с помощью префикса, предшествующего приставке «сополи-» выделенного курсивом. Пример: блок-сополи(стирол/бутадиен).

3. В основную часть названия сополимера включаются только названия мономеров; концевые звенья уточняются до основного названия (с помощью префиксов α или ω), а звенья, соединяющие блоки, упоминают после основного названия, используя символ μ . Например: блок-сополи(стирол/бутадиен)- μ -диметилсилилен; α -бутил- ω -карбокси-блок-сополи(стирол/бутадиен).

4. Массовую долю, мольную долю, молекулярную массу или степень полимеризации мономерных звеньев в сополимерах обозначают отдельно: в скобках после названия.

Таблица 1.6

Названия основных типов сополимеров

Тип (класс) сополимера	Сосед- тельное слово	Исходные мономеры	Названия	
			по номенклатуре систематической	альтернативной
Неустанов- ленный (т.е. неиз- вестный)	-ко-	Стирол, ме- тилметакри- лат	Поли(стирол-ко- метилметакрилат)	сополи(стирол/ме- тилметакрилат)
Статисти- ческий	-стат-	Стирол, бу- тадиен сти- рол, бутади- ен, акрило- нитрил	Поли(стирол-стат- бутадиен) поли(стирол-стат- бутадиен-стат- акрилонитрил)	стат-сополи(сти- рол/бутадиен) стат-сополи(сти- рол/бутадиен/акри- лонитрил)
Случайный	-сл-	Этилен, ви- нилацетат	Поли(этилен-сл- внилацетат)	сл-сополи(этилен/ви- нилацетат)
Чередую- щийся	-чер-	Стирол, ма- леиновый ангирид	Поли(стирол-чер- малеиновый ан- гирид)	чер-сополи(сти- рол/малеиновый ан- гирид)
Периоди- ческий	-период-	Этиленфенил фосфонит, метилакри- лат, двуокись углерода	Поли(этапенфенил фосфонит-период- метилакрилат- период-диоксид углерода)	период-сополи(эти- ленфенилфосфонит/ метилакрилат/ди- оксид углерода)
Блок- сополимер	-блок-	Стирол, бу- тадиен, ме- тилметак- рилат	Поли(стирол-блок- бутадиен-блок-ме- тилметакрилат)	блок-сополи(сти- рол/бутадиен/метил- метакрилат)
Привитой сополимер	-прив-	Бутадиен, стирол	Полибутадиен- прив-полистирол	прив-сополи(бутади- ен/стирол)

В табл. 1.6 приведены названия сополимеров разного типа, образованные в соответствии с той и другой номенклатурой.

1.3. Молекулярно-массовые характеристики полимеров

1.3.1. Распределение макромолекул по молекулярным массам

Согласно ИЮПАК рекомендуется применять два основных термина*: молярная масса (M) – масса вещества, деленная на его количество (масса одного моля вещества);

относительная молекулярная масса или молекулярный вес (M_r) – отношение средней массы вещества, соответствующей его формуле, к $1/12$ массы ядра атома углерода ^{12}C .

* Manual of Symbols and Terminology for Physicochemical Quantities and Units // Pure Appl. Chem., 51, 1 (1979).

Молярная масса выражается в г/моль или кг/моль. Первое предпочтительней, поскольку при этом численные значения молярной массы и относительной молекулярной массы вещества совпадают. Относительная молекулярная масса или молекулярный вес – безразмерная величина. Индекс «*n*» в ее обозначении обычно опускается, если это не ведет к путанице.

Равноправность таких понятий, как молярная масса и относительный молекулярный вес приводит к возможности появления смешанных терминов, таких как средневесовая молярная масса или среднемассовый молекулярный вес, чего рекомендовано избегать так же, как и применения дальтоновских единиц измерения массы, идентичной единице измерения атомной массы. В настоящее время в научной и учебной литературе преимущественно применяется термин «молекулярная», при этом подразумевается относительная молекулярная масса и приводятся ее безразмерные значения. Такая ситуация характерна, например, для наиболее распространенного учебника В. В. Киреева «Высокомолекулярные соединения», изданного в 1992 г. В настоящей книге сохранен традиционный подход, т. е. под термином «молекулярная масса», ее сокращенными обозначениями ММ и *M* подразумевается безразмерная величина – относительная молекулярная масса.

Практически все полимеры за редким исключением содержат макромолекулы разной молекулярной массы. Это специфическое свойство полимеров называется полидисперсностью, а макромолекулы одного химического состава, но разной молекулярной массы называются полимергомологами. Основными молекулярно-массовыми характеристиками полидисперсных полимеров являются средние молекулярные массы (ММ), функции молекулярно-массового распределения (ММР) и кривые распределения, соответствующие этим функциям.

В простейших случаях ММР полимера может быть представлено табличными значениями. Для того, чтобы количественно охарактеризовать распределение полимера по ММ, необходимо рассчитать относительное количество фракций, содержащих макромолекулы одинаковой ММ. Это можно сделать двумя способами – исходя из числа или суммарной массы макромолекул. В первом случае находят числовую долю фракции:

$$q_{n(i)} = \frac{n_i}{\sum_i n_i}, \quad (1.3)$$

где n_i – число макромолекул фракции *i*, имеющих ММ, равную M_i ; $\sum_i n_i$ – общее число макромолекул в полимере.

Во втором случае находят массовую долю:

$$q_{w(i)} = \frac{m_i}{\sum_i m_i} = \frac{n_i M_i}{\sum_i n_i M_i}, \quad (1.4)$$

где $m_i = n_i M_i$ – масса фракции *i*, т. е. суммарная масса макромолекул, имеющих ММ, равную M_i ; $\sum_i n_i M_i$ – общая масса полимера. Рассмотрим в качестве

в примера образец полидисперсного полимера общей массой 1 г, состоящий из пяти фракций массой 0,2 г каждая. Ниже приведены данные, характеризующие ММР полимера в рассматриваемом примере.

i	# фракции				
	1	2	3	4	5
M_i	$0,4 \cdot 10^4$	$0,8 \cdot 10^4$	$2 \cdot 10^4$	$6 \cdot 10^4$	10^5
q_n	0,554	0,277	0,111	0,036	0,022
q_w	0,2	0,2	0,2	0,2	0,2

Видно, что картина распределения весьма существенно зависит от способа оценки относительного количества фракций. В случае числового распределения более существенен вклад фракций с меньшей ММ, в случае массового распределения – вклад фракций с большей ММ.

Средняя ММ полидисперсного полимера является средневзвешенной величиной, вклад в которую каждой из фракций определяется ее ММ и относительным количеством. Следовательно, для полидисперсного полимера характерны две средние ММ – среднечисловая \bar{M}_n :

$$\bar{M}_n = \sum_i q_{n(i)} M_i = \frac{\sum_i n_i M_i}{\sum_i n_i} \quad (1.5)$$

и среднемассовая \bar{M}_w :

$$\bar{M}_w = \sum_i q_{w(i)} M_i = \frac{\sum_i q_{w(i)} M_i^2}{\sum_i q_{n(i)} M_i} \quad (1.6)$$

Из выражения (1.5) следует, что среднечисловая ММ равна общей массе макромолекул, деленной на их число. Расчеты по данным таблицы приводят к $\bar{M}_n = 1,1 \cdot 10^4$, $\bar{M}_w = 3,84 \cdot 10^4$, т. е. $\bar{M}_w > \bar{M}_n$. Как мы увидим в дальнейшем, это общее правило для полидисперсных полимеров.

Существуют дискретные и непрерывные функции распределения. Дискретная дифференциальная числовая функция распределения выражает зависимость числовой доли макромолекул от их ММ. Дискретная дифференциальная массовая функция распределения выражает зависимость массовой доли макромолекул от ММ. Дискретные функции распределения обычно применяются при теоретических расчетах и выводах. При экспериментальном изучении ММР обычно имеют дело с непрерывными кривыми и функциями распределения.

Значение непрерывной дифференциальной числовой функции распределения $f_n(M)$ равно числовой доле макромолекул с ММ от M до $M+dM$, деленной на dM ; значение непрерывной массовой функции распределения $f_w(M)$ равно массовой доле макромолекул с ММ от M до $M+dM$, деленной на dM .

Непрерывные дифференциальные числовые и массовые функции связаны между собой, как и соответствующие дискретные функции, простым соотношением:

$$f_w(M) = \left(M / \bar{M}_n \right) \cdot f_n(M). \quad (1.7)$$

Помимо дифференциальных, широко используются интегральные функции распределения:

значение (ордината) интегральной числовой функции распределения $F_n(M)$ равно числовой доле макромолекул, имеющих ММ от минимальной до заданной M ;

значение (ордината) интегральной массовой функции распределения $F_w(M)$ равно массовой доле макромолекул, имеющих ММ от минимальной до заданной M .

Дискретные и непрерывные интегральные функции практически совпадают. Дифференциальные непрерывные функции могут быть получены из интегральных путем дифференцирования, наоборот – путем интегрирования.

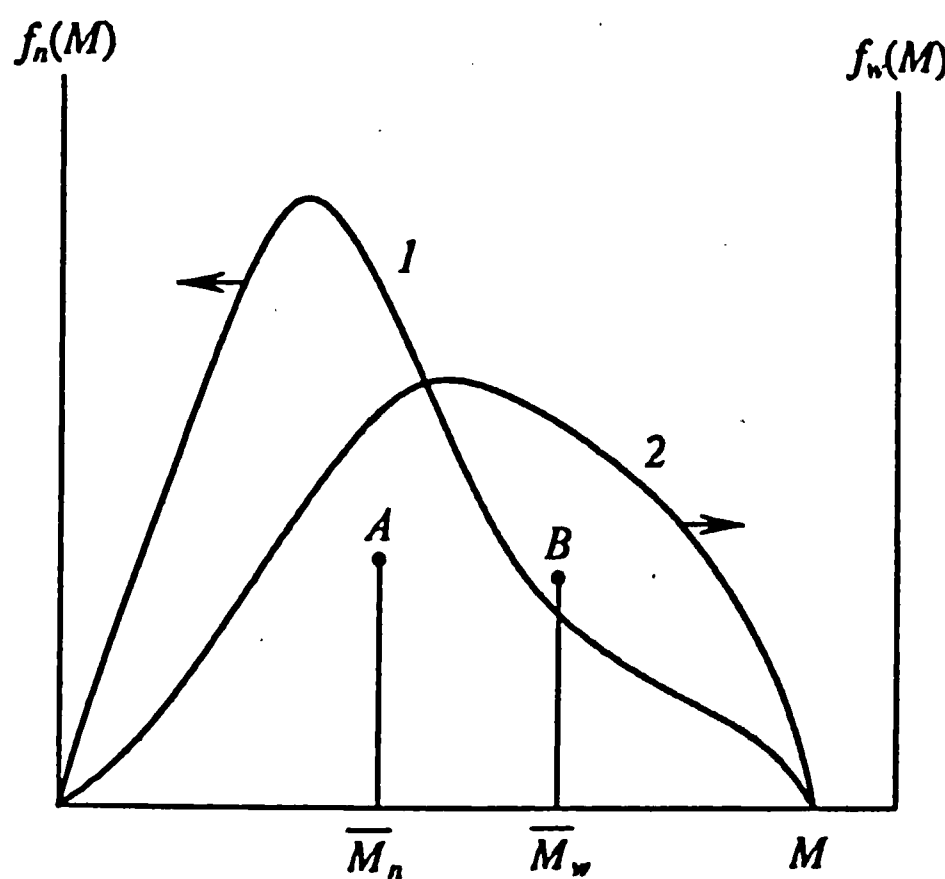


Рис. 1.3. Кривые числового (1) и массового (2) молекулярно-массовых распределений одного образца полимера

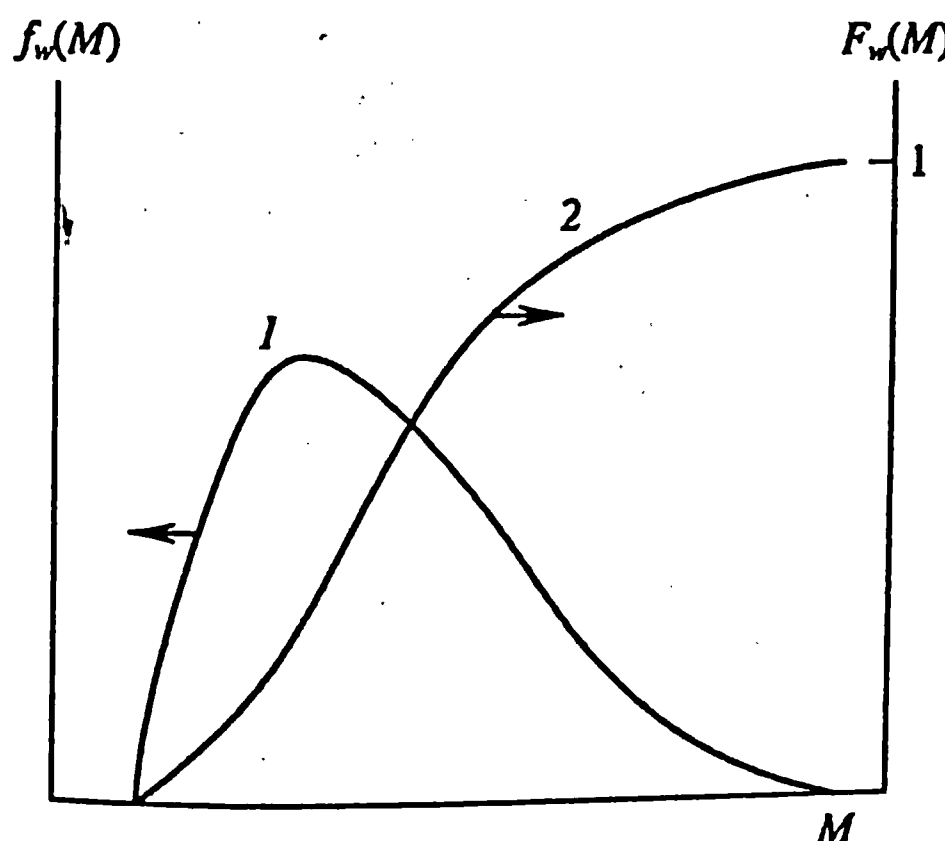


Рис. 1.4. Кривые дифференциального (1) и интегрального (2) молекулярно-массового распределения одного образца полимера

Графической формой аналитической функции распределения является кривая ММР полимеров. На рис. 1.3 приведены дифференциальные кривые ММР, отвечающие рассмотренным выше непрерывным функциям. Кривые дифференциального распределения могут иметь один максимум, соответствующее распределение называется унимодальным, два или более максимумов, что отвечает полимодальному распределению, могут не иметь максимумов. Площади фигур, ограниченные кривыми дифференциального распределения и отрезком оси абсцисс, равны 1 или 100%, геометрический центр тяжести этих фигур (точки A , B) соответствует \bar{M}_n или \bar{M}_w (см. рис. 1.3). Интегральные кривые ММР имеют предельное значение ординаты, равной единице, т.е. $F_n(M) \rightarrow 1$, $F_w(M) \rightarrow 1$ при $M \rightarrow \infty$ (рис. 1.4).

Кривые дифференциального распределения могут быть построены из интегральных путем графического дифференцирования, и наоборот, интегральные кривые могут быть построены из дифференциальных путем графического интегрирования. Первая задача решается в том случае, когда ММР полимеров изучается методами препаративного фракционирования – дробного осаждения или последовательного растворения. По полученным таким образом данным о количестве и ММ фракций полимеров строится интегральная кривая распределения, затем путем построения касательных к этой кривой – дифференциальная кривая распределения. В настоящее время препаративное фракционирование применяется лишь в тех случаях, когда необходимо получить узкие фракции полимеров для дальнейших исследований. Обычно применяются менее трудоемкие методы с автоматической записью дифференциальной кривой распределения, например гель-хроматография.

1.3.2. Моменты распределения и средние молекулярные массы

Определение понятия средней ММ полимера при непрерывном распределении базируется на теории случайных величин, каковыми являются значения ММ макромолекул для большинства полимеризационных процессов. В теории случайных величин существует понятие момента распределения случайной величины ω , который, применительно к рассматриваемому случаю, выражается следующим образом:

$$\omega = \int_0^{\infty} M^n f_n(M) dM, \quad (1.8)$$

где n – любое целое число.

По определению, отношение любого момента к предыдущему равно среднему значению случайной величины:

$$\bar{M} = \frac{\int_0^{\infty} M^{n+1} f_n(M) dM}{\int_0^{\infty} M^n f_n(M) dM}. \quad (1.9)$$

Таким образом, согласно теории случайных величин, существует множество значений средних ММ полидисперсного полимера с непрерывным распределением. Практически используют первые три члена ряда средних ММ:

$$\overline{M}_n = \frac{\int_0^{\infty} M f_n(M) dM}{\int_0^{\infty} f_n(M) dM}, \quad (1.10)$$

$$\overline{M}_w = \frac{\int_0^{\infty} M^2 f_w(M) dM}{\int_0^{\infty} f_w(M) dM}, \quad (1.11)$$

$$\overline{M}_z = \frac{\int_0^{\infty} M^3 f_z(M) dM}{\int_0^{\infty} M^2 f_z(M) dM}. \quad (1.12)$$

$$\int_0^{\infty} f_n(M) dM = 1, \text{ тогда}$$

$$\overline{M}_n = \int_0^{\infty} M f_n(M) dM. \quad (1.13)$$

Далее, учитывая (1.7) и (1.13), получаем

$$\overline{M}_w = \int_0^{\infty} M f_w(M) dM. \quad (1.14)$$

Выражение (1.13) по содержанию аналогично (1.5), следовательно, первое выражает среднечисловую ММ. То же самое можно сказать о (1.14) и (1.6), следовательно, (1.14) выражает среднемассовую ММ полимера. \overline{M}_z называется z-средней или среднеседиментационной ММ. Эта характеристика не имеет такого наглядного истолкования, как среднечисловая и среднемассовая ММ.

Величины \overline{M}_n , \overline{M}_w , \overline{M}_z находятся экспериментально. Так, \overline{M}_n определяется через так называемые коллигативные свойства растворов полимеров, т.е. методами осмометрии, эбулиоскопии, криоскопии, а также по концевым группам; \overline{M}_w определяется методами светорассеяния, седиментации и гель-хроматографии, \overline{M}_z – методом равновесной седиментации. На практике широкое распространение получил вискозиметрический метод определения ММ, который приводит к средневязкостной ММ – \overline{M}_{η} , близкой к \overline{M}_w .

1.3.3. Параметр полидисперсности

Важной характеристикой полидисперсного полимера является ширина ММР. Известно, что мерой отклонения значений случайных величин от среднего является дисперсия или средневзвешенная сумма квадратичных отклонений. Применительно к непрерывному ММР:

$$\Delta = \int_0^{\infty} (M - \bar{M}_n)^2 f_n(M) dM. \quad (1.15)$$

Путем преобразования (1.15) получаем:

$$\Delta = \int_0^{\infty} M^2 f_n(M) dM - 2\bar{M}_n \int_0^{\infty} M f_n(M) dM + \bar{M}_n^2 = \bar{M}_w \bar{M}_n - \bar{M}_n^2. \quad (1.16)$$

Разделив выражение (1.16) на \bar{M}_n^2 , имеем:

$$\frac{\Delta}{\bar{M}_n^2} = \bar{M}_w / \bar{M}_n - 1, \quad (1.17)$$

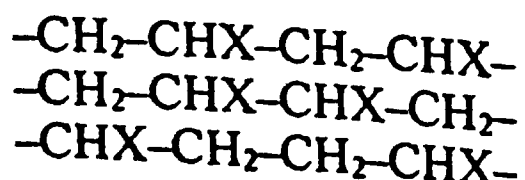
откуда следует, что дисперсия, характеризующая ширину ММР, пропорциональна величине отношения \bar{M}_w / \bar{M}_n . По этой причине отношение \bar{M}_w / \bar{M}_n так же, как и выражение $\bar{M}_w / \bar{M}_n - 1$, называемое коэффициентом полидисперсности Шульца, используется в качестве параметра, характеризующего ширину ММР. В заключение необходимо отметить, что часто в соотношениях, характеризующих ММР полимера, вместо ММ используется степень полимеризации $p = M/M_0$, где M и M_0 – молекулярные массы полимера и мономера.

1.4. Стереохимия полимеров

При одном и том же химическом составе мономерных звеньев или повторяющихся групп из нескольких звеньев конфигурация, т. е. пространственное расположение атомов соответствующего отрезка цепи, может существенно различаться, что отражается на свойствах полимера. Причина этого явления связана с химической, геометрической (*цис-транс*) и энантиоморфной изомерией.

1.4.1. Химическая изомерия звеньев

Этот вид изомерии может быть обусловлен изомеризацией мономерных звеньев в процессе полимеризации, что особенно характерно для олефинов, а также связан с различной ориентацией мономерных звеньев в цепи. Такие мономеры, как виниловые, винилдиеновые, диены, ненасыщенные циклы звена, где находятся заместители, условно принято называть «головой», другую – «хвостом». Например, у мономера $\text{CH}_2=\text{CHX}$ и соответствующего мономерного звена $-\text{CH}_2-\text{CHX}-$ группа CH_2 является «головой», а группа CHX – «хвостом». При полимеризации мономеры могут соединяться любым из возможных способов:



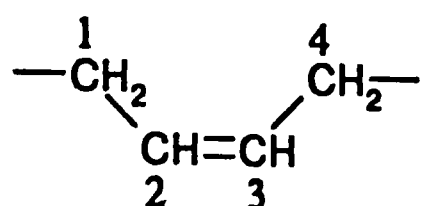
«голова» к «хвосту»,
«голова» к «голове»,
«хвост» к «хвосту».

Однако опыт показал, что в большинстве случаев присоединение идет по типу «голова» к «хвосту». Макромолекулы, в которых ориентация звеньев вдоль цепи одного типа (это возможно лишь в случае присоединения мономеров по типу «голова» к «хвосту»), называются регуларными.

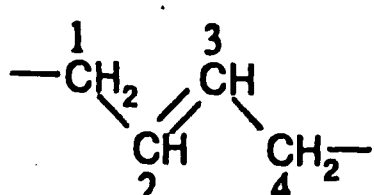
Изменение химического состава повторяющегося участка цепи может оказать заметное влияние на свойства полимера. Так, наличие заместителей у соседних атомов углерода в группировке $-\text{CH}_X-\text{CH}_X-$ оказывает неблагоприятное влияние на термическую стойкость полимера.

1.4.2. Цис-, транс-изомерия

Полимеризация диенов с присоединением к основной цепи первого и четвертого атомов углерода приводит к образованию макромолекул с ненасыщенными связями в основной цепи и, следовательно, возникновению *цис*-*транс*-изомерии. Полимеры диенов в этом случае называются *транс*-1,4-полиизопрен и *цис*-1,4-полиизопрен, *транс*-1,4-полибутадиен и *цис*-1,4-полибутадиен и т. п.

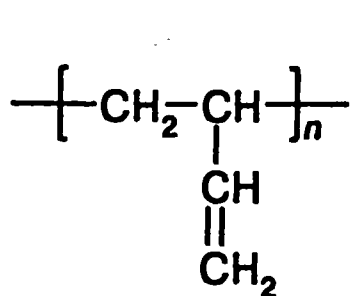


цис-изомер

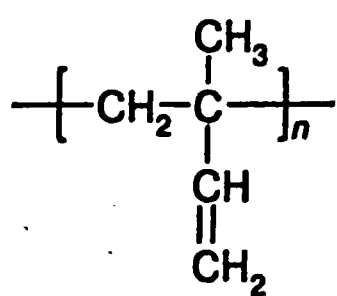


транс-изомер

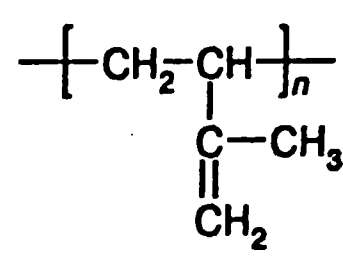
При 1,2-полимеризации участвует лишь одна из двойных связей диенов. Другая двойная связь входит в состав заместителей при атомах углерода основной цепи. При полимеризации изопрена и хлоропрена при 1,2- и 3,4-присоединении образуются два разных заместителя, как это показано ниже на примере изопрена:



1,2-полимеризация



3,4-полимеризация



Таким образом, при полимеризации диена возможно образование трех типов химически изомерных звеньев, при полимеризации изопрена – четырех.

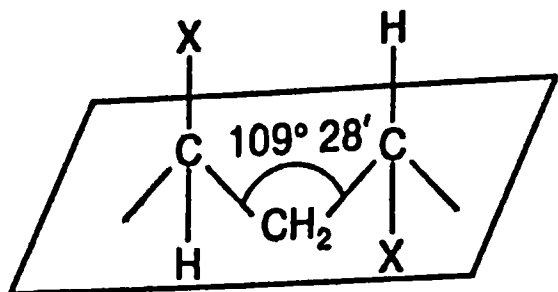
Еще большее разнообразие изомерных звеньев возможно при полимеризации дизамещенных диенов. Относительное содержание 1,2-, 3,4-, *чис*-1,4- и *транс*-1,4-звеньев в полимерах 1,3-диенов обычно определяется методом ИК-спектроскопии*.

* Coleman M. M., Peteravich R. J. and Painter P. C. // Polymer, 19, 1243 (1978).

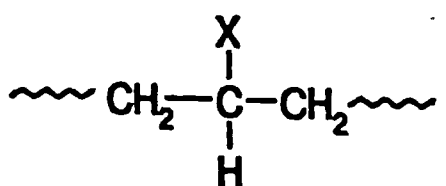
Tosi C. and Giannelli E. // *Adv. Polym. Sci.*, 12, 87 (1973).

1.4.3. Стереоизомерия

Рассмотрим возможное пространственное положение звеньев в полимерах, полученных из монозамещенных этиленов, т. е. в полимерах виниловых мономеров. Каждый из третичных атомов углерода в макромолекулах таких полимеров является асимметричным или иначе – центром пространственной изомерии (стереоцентром). Предельно вытянутая цепь имеет конфигурацию плоского зигзага. Из приведенных схем видно, что асимметричный атом углерода может существовать в двух конфигурациях, при этом заместитель X находится по разные стороны плоскости зигзага основной цепи:



Две разные конфигурации асимметричного атома углерода обозначаются в разных источниках по-разному: *r* и *s* или *d* и *l*. Рассматриваемые третичные атомы углерода не являются асимметричными в истинном смысле слова, поскольку не проявляют оптической активности. Для того, чтобы понять причину такого несоответствия, следует напомнить понятие истинной асимметричности или хиральности. Оно предполагает, что стереоконфигурация асимметричного атома углерода изменяется при перемене местами любых двух заместителей. У третичного асимметричного атома углерода, находящегося в полимерной цепи, в качестве двух разных заместителей рассматриваются отрезки полимерной цепи разной длины (от данного атома до концов цепи). Однако для проявления оптической активности асимметричного атома углерода имеет значение ближайшее окружение этого атома, а оно практически одинаково у заместителей, являющихся отрезками полимерной цепи:



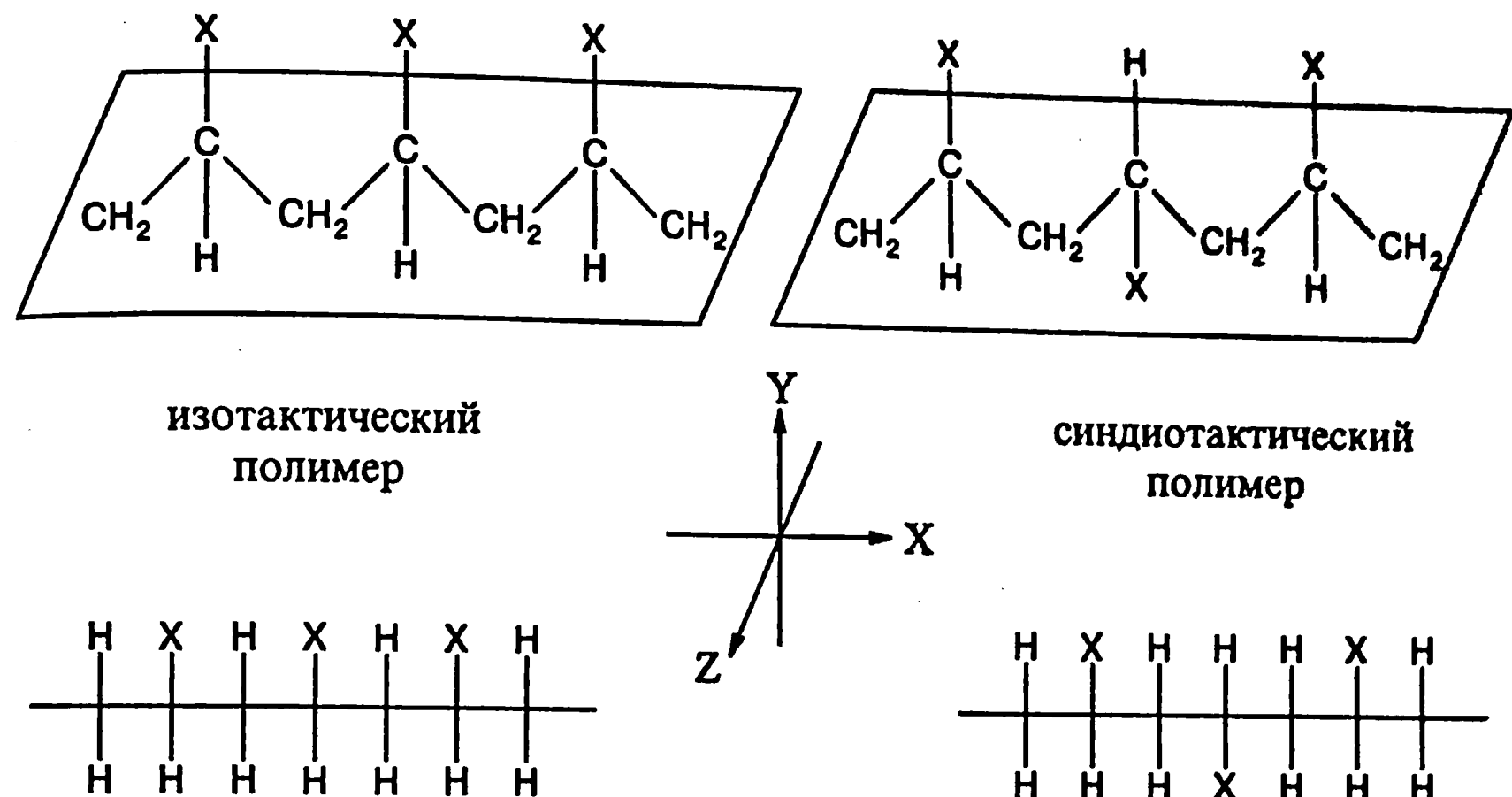
Поэтому третичный асимметричный атом углерода, находящийся в основной цепи полимера, не проявляет оптической активности, т. е. является псевдоасимметричным или псевдохиральным.

Регулярность в расположении асимметричных атомов углерода в основной цепи определяется понятием **тактичность**. Возможны следующие случаи:

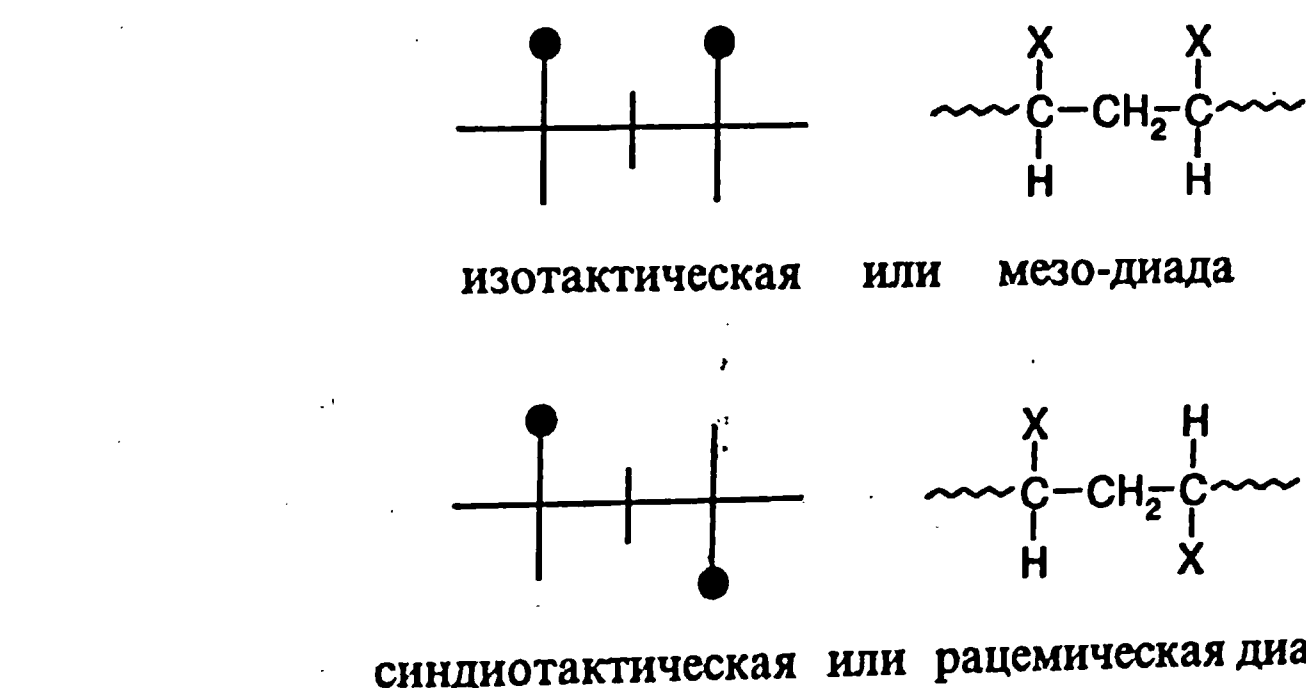
- атактический полимер – *d*- и *l*-атомы распределены по цепи случайно;
- тактический полимер – *d*- и *l*-атомы расположены вдоль цепи регулярно одним из двух возможных способов;
- в изотактическом полимере имеются асимметричные атомы лишь одной цепи;

В синдиотактическом полимере регулярно чередуются *d*- и *l*-конфигурации асимметричных атомов углерода вдоль цепи, заместители расположены по обе стороны плоскости зигзага цепи, регулярно чередуясь. Полимеры с тактической структурой цепи называются стереорегулярическими.

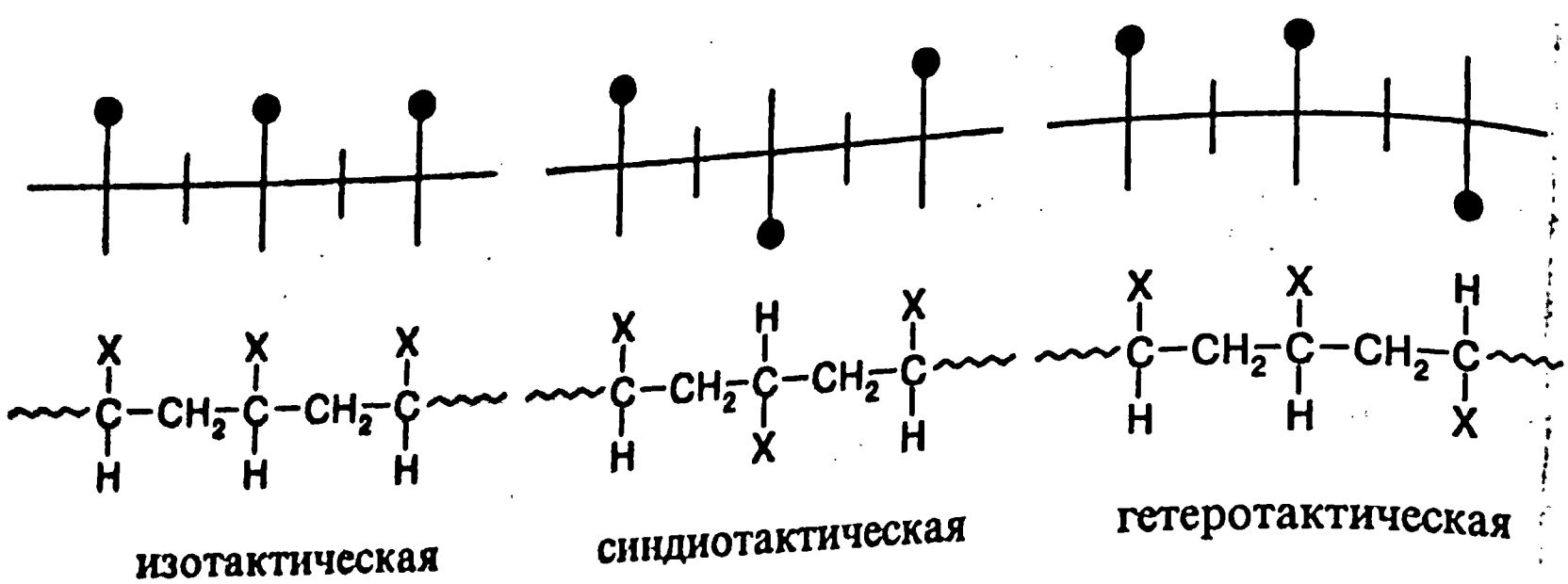
Конфигурацию макромолекулы часто изображают проекциями Фишера. Допустим, макромолекула лежит в плоскости XZ в декартовой системе координат XYZ. Тогда проекции Фишера изображаются прямыми линиями на плоскости XY.



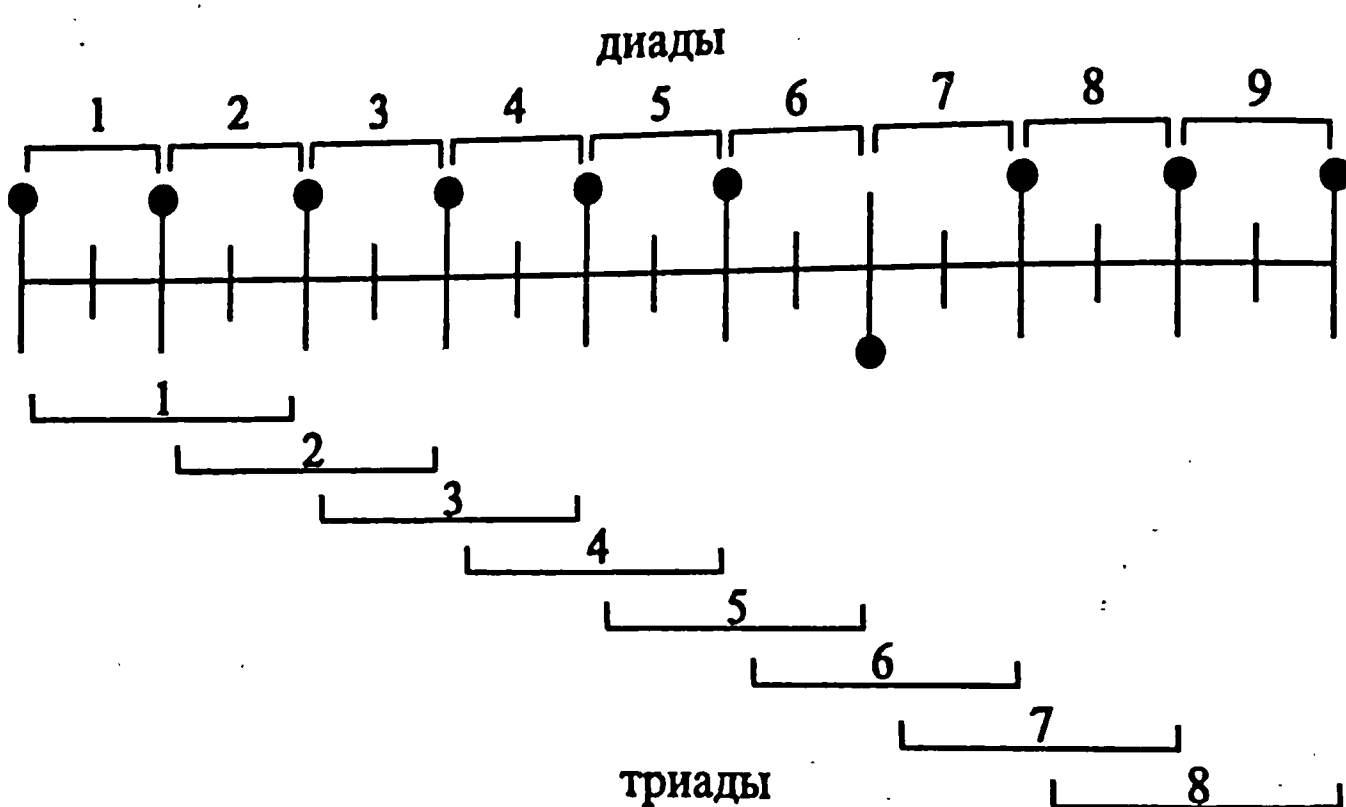
Количественно стереоизомерия мономерных звеньев с одним стереоцентром, например, в полимере $(-\text{CH}_2-\text{CHX}-)_n$, может быть охарактеризована через относительное содержание диад и триад определенной конфигурации. Диады условно изображаются следующим образом:



Доли изо- и синдио-диад обозначаются как (*m*) и (*r*) или *i* и *s*. Далее приведены три возможных типа триад:



Их доли обозначаются как ttt , rr , mr или как I , S , H . Рассмотрим пример расчета диадного и триадного состава отрезка цепи полимера, приведенного ниже:



Данный отрезок включает 10 мономерных звеньев, которые образуют 9 диад и 8 триад. Из девяти диад семь относятся к мезо- и две – к рацемическим диадам. Следовательно, $(m) = 7/9$, $(r) = 2/9$, $(m) + (r) = 1$. Из восьми триад пять являются изотактическими, две – гетеротактическими и одна – синдиотактической, т.е. $(mm) = 5/8$, $(mr) = 1/4$, $(rr) = 1/8$ и $(mm) + (mr) + (rr) = 1$. Доли диад и триад связаны между собой соотношениями:

$$(m) = (mm) + 0,5(mr), \quad (1.18)$$

$$(r) = (rr) + 0,5(mr), \quad (1.19)$$

которые являются строгими для цепи с большим количеством звеньев и приближенными для отрезка цепи с относительно малым количеством звеньев.

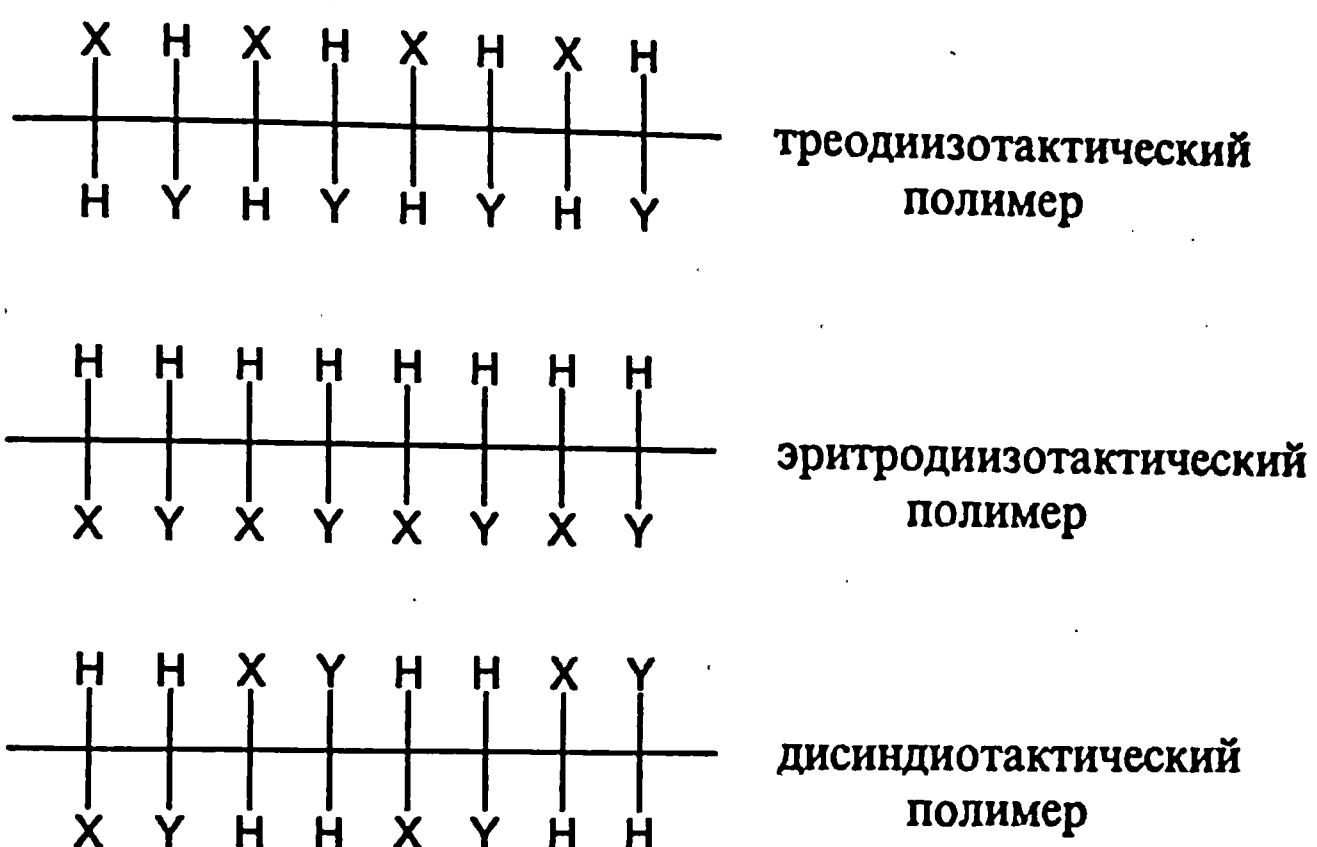
Полимер является стереорегулярным при $(m) = (mm) = 1$ или $(r) = (rr) = 1$. В первом случае это изотактический, во втором – синдиотактический полимер. Для атактического полимера должно быть характерно

$$(m) = (r) = 0.5.$$

$$(mm) = (rr) = 0,25, (mr) = 0,5$$

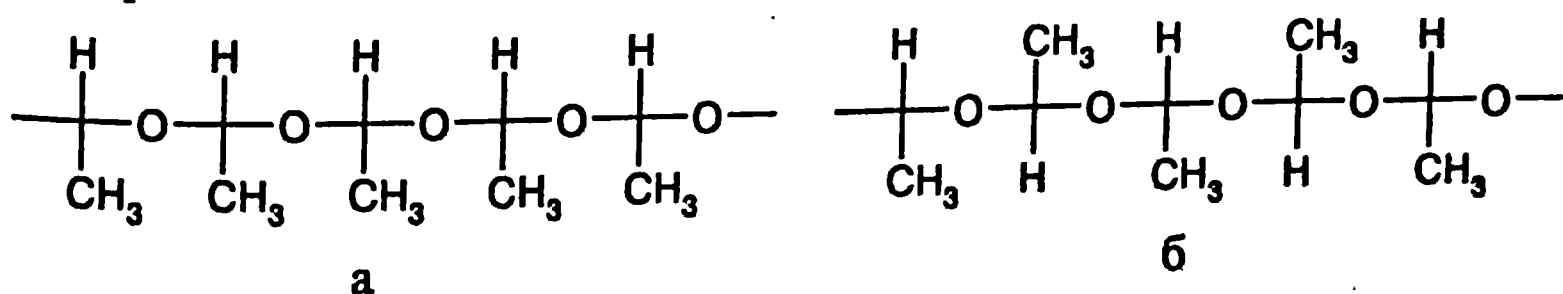
Однако на самом деле содержание синдио-диад и триад в реальных полимерах несколько более высокое, и эта разница увеличивается с понижением температуры синтеза полимера. Экспериментально стереоизомерия звеньев в полимерах количественно характеризуется методом ЯМР.

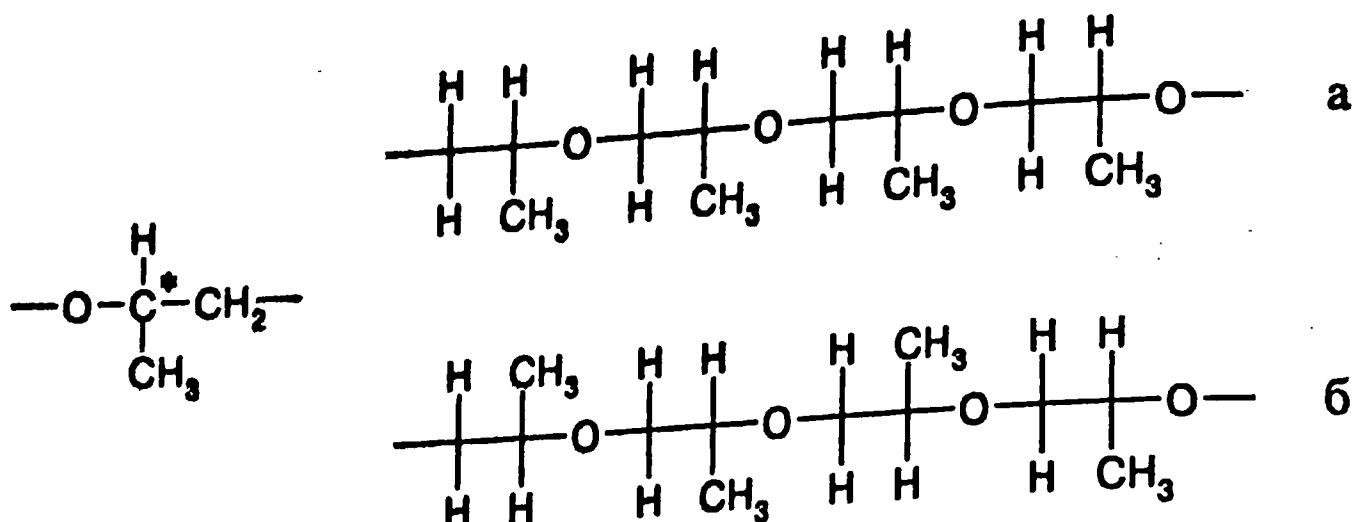
В случае полимеров 1,2-дизамещенных этиленов $\text{CHX}=\text{CHY}$ в основных цепях макромолекул присутствуют два типа стереоцентров (асимметричных атомов углерода), поэтому понятие тактичность заменяется понятием дитактичность. Дизотактические макромолекулы дитактических полимеров имеют две стереоизомерные формы. Эритродизотактические макромолекулы имеют одинаковую конфигурацию обоих асимметричных атомов мономерного звена. У треодизотактических макромолекул конфигурация асимметричных атомов мономерного звена противоположна:



В дисиндиотактическом полимере имеет место синдиотактическое расположение одинаковых заместителей, т.е. регулярное чередование конфигурации асимметричных атомов с одинаковыми заместителями. В данном случае два варианта дисиндиотактической структуры практически не отличимы, если не принимать во внимание конечные группы. Следовательно, при полимеризации 1,2-дизамещенных мономеров могут быть получены полимеры с тремя типами стереорегулярной пространственной структуры.

Гетероцепные полимеры. В некоторых гетероцепных полимерах также могут возникнуть стереоизомерные структуры. На схемах приведены изотактическая (а) и синдиотактическая (б) структуры полиацетальдегида и полиоксипропилена:





В первом случае структуры относятся к разряду тех, что были рассмотрены ранее, т. е. содержат псевдоасимметричные атомы углерода. Иная ситуация характерна для полиоксипропилена. Асимметричный атом углерода в этом полимере отличается от рассмотренных ранее тем, что его ближайшее окружение различно: с одной стороны, он соседствует с атомом кислорода, с другой – с атомом углерода. Такой тип псевдосимметричного атома углерода (стереоцентра) в цепи полимера является хиральным.

Изомерия мономерных звеньев макромолекул оказывает большое влияние на свойства полимеров. Прежде всего, необходимо указать, что стереорегулярная структура оказывает влияние на способность полимера к кристаллизации. Разница в свойствах кристаллических и аморфных полимеров настолько велика, что можно говорить о качественно различных материалах.

Рассмотрим несколько показательных примеров. Изотактический кристаллический полипропилен – высокоплавкий, прочный материал, широко используемый для изготовления волокон и в качестве пластика. Атактический полипропилен является мягким материалом, находит некоторое применение в качестве различных добавок к покрышкам и адгезивам. Синдиотактический полипропилен является кристаллическим, но его температура плавления низка (порядка 20 °С), что накладывает отпечаток на его свойства и области использования.

Цис-, транс--изомерия оказывает большое влияние на свойства диеновых каучуков. Из табл. 1.7 видно, что особенно сильно отличаются их температуры плавления, которые существенно выше для *транс*-изомеров.

Таблица 1.7

Температуры кристаллизации и плавления полидиенов

Полимер	Изомер	T _к , °С	T _{пл} , °С
1,4-полибутадиен	<i>цис</i> -	-95	6
	<i>транс</i> -	-83	145
1,4-полиизопрен	<i>цис</i> -	-73	28
	<i>транс</i> -	-58	74

Это объясняется, как правило, большей степенью кристалличности *транс*-по сравнению с *цис*-изомерами. 1,4-*цис*-полиизопрен используется в качестве каучука, по свойствам близкого к натуральному, 1,4-*транс*-полиизопрен аналогичен балате и гуттаперче, выделяемым из латекса некоторых растений. Эти природные полимеры по свойствам напоминают кожу. Аналогично в качестве каучука используется 1,4-*цис*-полибутадиен, тогда как 1,4-*транс*, 1,2-изотактический и 1,2-синдиотактический полибу-тадиены являются жесткими кристаллизующимися пластиками.

ГЛАВА 2. ФИЗИКА ПОЛИМЕРОВ

2.1. Физика макромолекул

2.1.1. Идеальный клубок

Многие свойства цепных макромолекул и полимеров в целом, а также форма и размер первых могут быть предсказаны теоретически на основе анализа модели идеальной цепи. Физической моделью идеальной цепи является свободно сочлененная цепь или цепь из «бусинок». Первая составлена из n отрезков длиной l , шарнирно соединенных друг с другом, вторая – из n «бусинок» одинаковой массы, нанизанных на гибкую нить и расположенных на расстоянии l одна от другой.

Свободно сочлененная цепь. Построить такую цепь, т. е. зафиксировать одну из ее возможных конформаций, можно путем последовательного наращивания числа связанных отрезков, ориентированных случайным образом. Закрепим один конец первого отрезка в начале координат (рис. 2.1), другой его конец может находиться в любой точке сферы, описываемой радиусом l . Закрепим второй конец отрезка в точке с координатами X_1 и шарнирно соединим в этой точке первый отрезок со вторым. Свободный конец второго отрезка также может находиться в любой точке сферы, описываемой радиусом l . Первый отрезок не ограничивает ориентацию второго, поскольку цепь является бестелесной, гипотетической, что допускает наложение и пересечение отрезков. Закрепим свободный конец второго отрезка в точке с координатой X_2 и соединим с третьим отрезком. Продолжая подобную процедуру сколь угодно долго, мы можем построить фиксированную конформацию свободно сочлененной цепи с любым количеством звеньев. Для ориентации свободных концов отрезков цепи можно использовать любой механизм реализации закона случая.

Положение в пространстве свободно сочлененной цепи определяется набором координат $X_1, X_2 \dots X_n$, а вероятность определенной конформации – выражением:

$$P_{(X_1, X_2, \dots, X_n)} = P_{X_1} P_{X_2} \dots P_{X_n}, \quad (2.1)$$

где $P_{X_1}, P_{X_2} \dots P_{X_n}$ – вероятности определенной ориентации отрезков цепи.

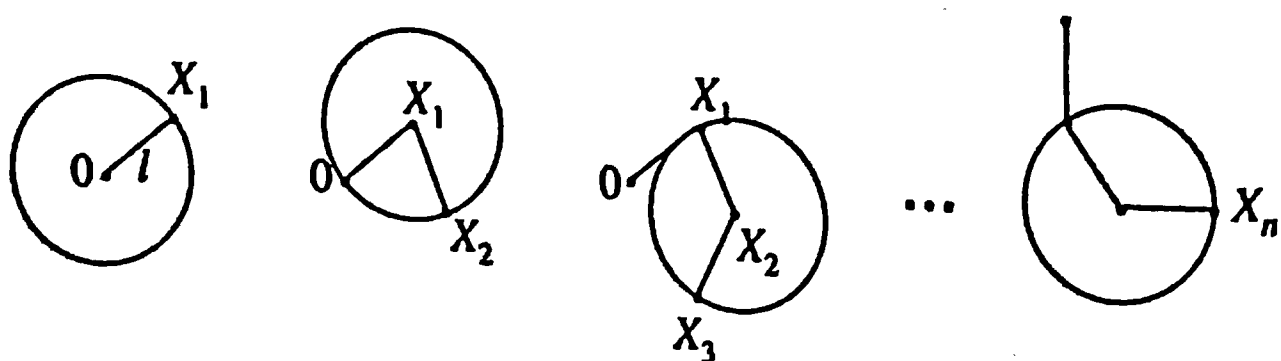


Рис. 2.1. Построение свободно сочлененной цепи

Для бестелесной цепи $P_{X_1} = P_{X_2} = \dots = P_{X_n} = P_X$, откуда

$$P_{(X_1, X_2, \dots, X_n)} = P_X^n. \quad (2.2)$$

Поскольку $P_X < 1$, то

$$P_{(X_1, X_2, \dots, X_n)} \ll 1, \quad (2.3)$$

при этом

$$\sum P_{(X_1, X_2, \dots, X_n)} = 1. \quad (2.4)$$

С учетом (2.2) и (2.4) число возможных конформаций свободно сочлененной цепи равно:

$$N = 1/P_X^n. \quad (2.5)$$

Из (2.5) следует, что с увеличением числа звеньев в цепи число возможных конформаций возрастает экспоненциально.

Полученные соотношения позволяют сделать однозначный вывод о наиболее вероятном типе конформации полимерной цепи. На рис. 2.2 приведены три типа конформаций свободно сочлененной цепи – предельно вытянутая, свернутая и плотно свернутая. В последнем случае предельно свернутая конформация будет выглядеть как одно звено, так как бестелесная свободно сочлененная цепь допускает совмещение звеньев. Поскольку вероятности всех конформаций одинаковы и чрезвычайно малы, можно с уверенностью утверждать, что вытянутые и предельно свернутые, а также близкие к ним конформации (очень сильно вытянутые и свернутые) практически отсутствуют в конформационном наборе (множестве возможных конформаций). Число умеренно свернутых конформаций очень велико, поэтому именно они последовательно реализуются, несмотря на то, что вероятность каждой конкретной конформации очень мала. Таким образом, анализ модели идеальной цепи приводит к выводу о том, что макромолекулы гибкоцепных полимеров свернуты в клубок. Этот вывод подтверждается экспериментально. Длина вытянутой конформации, т. е. контурная длина цепи полимеров с молекуллярной массой $\sim 10^6$ составляет величину порядка 10^3 нм. Прямые измерения показывают, что размер гибкоцепных макромолекул в растворах и полимерных телах ограничен пределами 10–100 нм. Из этого следует, что для макромолекул предпочтительны свернутые конформации.

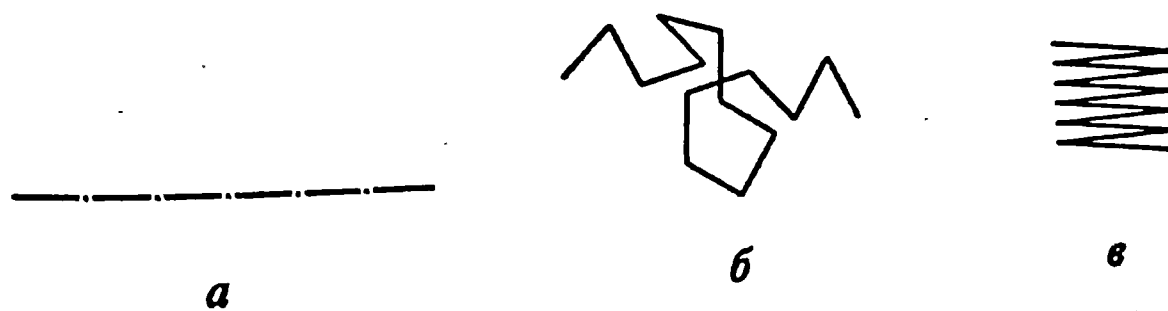


Рис. 2.2. Предельно вытянутая (а), свернутая (б) и плотно свернутая (сложенная) (в) конформации свободно сочлененной цепи

Идеальный (гауссов) клубок. Размер идеальной цепи характеризуется расстоянием между ее концами. Обозначим эту величину, отвечающую конкретной конформации, через R , а величину, усредненную по всем конформациям, через $\langle R^2 \rangle^{1/2}$. При теоретическом рассмотрении идеальной цепи расстояние между ее концами выражается вектором \vec{R} . Поскольку, ввиду случайного характера ориентации цепи, равновероятны значения \vec{R} и $-\vec{R}$, то при усреднении следует пользоваться среднеквадратичной величиной $\langle R^2 \rangle$, где скобки означают знак усреднения.

Для вытянутой цепи

$$R = nl = L, \quad (2.6)$$

где L – контурная длина цепи.

Задача установления размера свернутой свободно сочлененной цепи относится к типу задач, хорошо известных в физике. Такая задача встречалась, в частности, при описании броуновского движения, поэтому она известна как задача «случайного блуждания».

Представим координаты начала и конца звеньев цепи радиусами-векторами r_i и r_{i+1} (рис. 2.3, *a*). Тогда звено цепи будет являться вектором \vec{l} , величина и направление которого определяются условием $\vec{l} = r_{i+1} - r_i$. Соединим концы цепи вектором \vec{R} (рис. 2.3, *б*). По правилу сложения векторов

$$\vec{R} = \sum_i^n \vec{l}, \quad (2.7)$$

тогда

$$\langle \vec{R}^2 \rangle = \langle (\sum_i^n \vec{l})^2 \rangle = \sum_i^n \langle \vec{l}_i^2 \rangle + 2 \sum_{1 \leq i < j \leq n} \langle \vec{l}_i \vec{l}_j \rangle, \quad (2.8)$$

где $\langle \vec{l}_i \vec{l}_j \rangle = l^2 \langle \cos \theta_{ij} \rangle$.

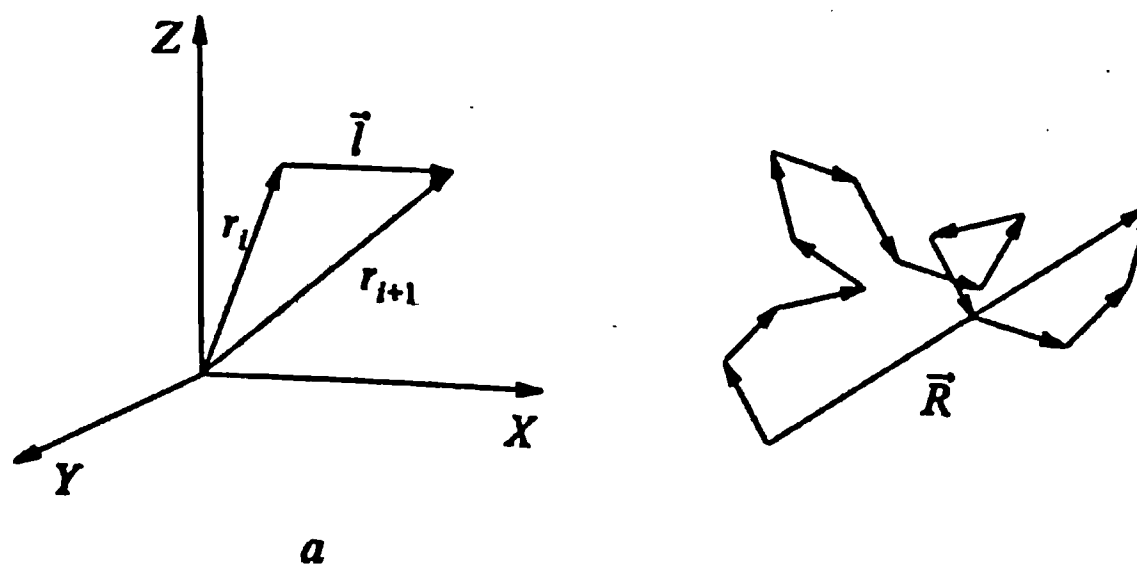


Рис. 2.3. Построение свободно сочлененной цепи в векторной форме

Таблица 2.1

Невозмущенные размеры клубков поли-2-винилнафталина
в идеальном растворителе толуол – декалин, 30,2 °C

$M \cdot 10^{-6}$	$\langle R_g^2 \rangle^{1/2}$, нм	$\langle R_g^2 \rangle^{1/2}/M^{1/2}$
1,57	103	0,082
1,00	79	0,079
0,78	70	0,079
0,64	64	0,080
0,43	54	0,082
0,24	40	0,082

В свободно сочлененной цепи ориентация отрезков случайна и не скоррелирована, угол θ между векторами \vec{l}_i и \vec{l}_j ($i \neq j$) может принимать любое равновероятное значение от 0 до 2π , а косинус угла – от 1 до -1. Следовательно, усредненное значение $\langle \cos \theta_{ij} \rangle = 0$, поэтому имеем:

$$\langle \vec{R}^2 \rangle = nl^2 \quad (2.9)$$

или

$$\langle R^2 \rangle^{1/2} = ln^{1/2}. \quad (2.10)$$

«Правило квадратного корня», выведенное теоретически на основе физической модели свободно сочлененной цепи, выполняется и для реальных макромолекул, находящихся в идеальном растворителе, понятие о котором будет рассмотрено в следующем разделе. Как следует из (2.9), при соблюдении правила «квадратного корня» $\langle R^2 \rangle^{1/2}/M^{1/2} = \text{const}$. Из табл. 2.1 следует, что данные по размерам и молекулярным массам макромолекул в растворе поли-2-винилнафталина в смеси толуола с декалином удовлетворяют этому условию.

Сравнение выражений (2.6) и (2.10) показывает, что среднее расстояние между концами свободно сочлененной цепи меньше по сравнению с ее контурной длиной. Это указывает на то, что подавляющее большинство конформаций такой цепи отвечает рыхлому клубку.

Выражение (2.10) иногда называется «правилом квадратного корня». По форме оно напоминает известное соотношение Эйнштейна–Смолуховского для среднего смещения частицы при броуновском движении: $\Delta X = \sqrt{2Dt}$, где D – коэффициент диффузии, t – время. Такое совпадение закономерно, поскольку в том и другом случае проявляется закон «случайного блуждания». По этой же причине траектория случайного блуждания броуновской частицы аналогична конформации свободно сочлененной цепи.

Среднеквадратичное расстояние между концами цепи является наиболее фундаментальной, но не единственной характеристикой размера цепи. Экспериментально размер цепи определяется методами светорассеяния, вископриметрии и скоростной седиментации. При упругом рассеянии света, когда

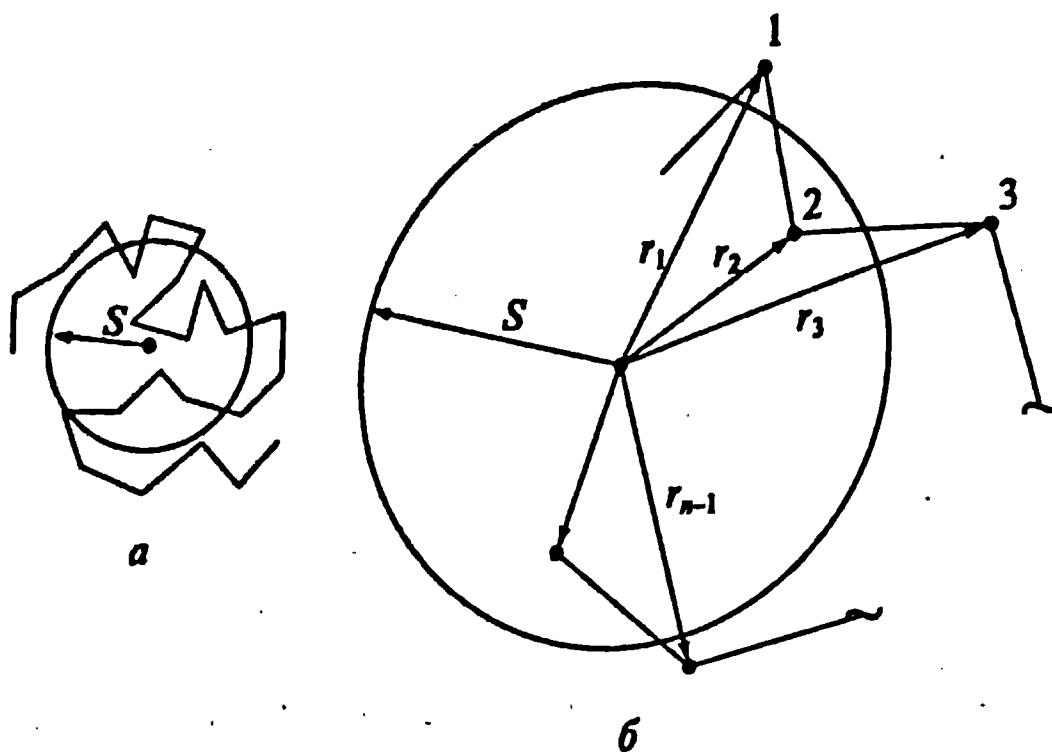


Рис. 2.4. К понятию о радиусе инерции макромолекулы

длины волн падающего и рассеянного света одинаковы, определяется радиус инерции макромолекулы:

$$\langle S^2 \rangle = \frac{1}{n} \sum_{i=1}^n r_i^2, \quad (2.11)$$

где r_i – расстояние от центра массы макромолекулы до каждого из ее звеньев. Иллюстрацией к выражению (2.11) является рис. 2.4.

Две фундаментальные характеристики размеров макромолекул связаны соотношением Дебая:

$$\langle R^2 \rangle = 6 \langle S^2 \rangle. \quad (2.12)$$

Следует иметь в виду, что для разветвленных цепей единственной характеристикой размера является радиус инерции.

Для полного представления о геометрических характеристиках макромолекулы необходимо знать не только ее средний наиболее вероятный размер, но и распределение по размерам. Из изложенного ясно, что размер цепи является случайной величиной, а число конформаций очень велико. Это дает основание применить центральную предельную теорему вероятностей, согласно которой распределение большого числа случайных величин является гауссовым, т. е. экспоненциальным. В результате почти сразу получаем:

$$P_{(R)} = \left[\frac{3}{2\pi\langle R^2 \rangle} \right]^{\frac{3}{2}} \cdot e^{-\frac{3}{2} \cdot \frac{R^2}{\langle R^2 \rangle}} \quad (2.13)$$

или

$$P_{(R)} = \left[\frac{3}{2\pi u l^2} \right]^{\frac{3}{2}} \cdot e^{-\frac{3}{2} \cdot \frac{R^2}{u l^2}}, \quad (2.14)$$

где $P_{(R)}$ – вероятность пребывания макромолекулы в состоянии с заданным R . Предэкспоненциальный множитель в выражении (2.13) устанавливается из условия нормировки: $\int P_{(R)} \cdot d^3x = 1$.

Клубок, для которого выполняется соотношение (2.13), называется идеальным или гауссовым.

На рис. 2.5 приведена зависимость, соответствующая формуле (2.13). Видно, что при $R > \langle R^2 \rangle^{1/2}$, вероятность существования клубков быстро уменьшается с ростом R . Это соответствует сделанному ранее выводу о малой вероятности вытянутых конформаций. Бестелесность идеальной цепи объясняет $P_{(R)} \neq 0$ при $\langle R^2 \rangle^{1/2} = 0$.

Плотность звеньев в клубке. Для понимания особенностей строения макромолекулы очень важно знать распределение плотности звеньев в образованном ею клубке. В результате теоретических расчетов было показано, что распределение плотности звеньев в клубке относительно центра его массы близко к гауссовому:

$$\rho_{(S)} = n \left[\frac{3}{2\pi\langle S^2 \rangle} \right]^{3/2} \cdot e^{-\frac{3}{2}\frac{S^2}{\langle S^2 \rangle}}, \quad (2.15)$$

где $\rho_{(S)}$ – плотность звеньев, т. е. число звеньев, приходящихся на единицу объема, S – расстояние от центра массы клубка.

Рассмотрим конкретный пример гибкоцепного полимера $-(\text{CH}_2-\text{CHX})_n-$ со степенью полимеризации $n = 1000$, что соответствует $M \approx 10^5$ для таких распространенных полимеров, как полиметилметакрилат или полистирол. На рис. 2.6 приведены зависимости плотности мономерных звеньев от расстояния от центра массы клубка.

Из рис. 2.6 следует, что плотность звеньев максимальна в области, близкой к центру массы клубка, и быстро уменьшается к его периферии. Средняя плотность звеньев в клубке может быть рассчитана путем деления числа звеньев на объем сферы, очерченной радиусом инерции. В результате получаем соотношение:

$$\bar{\rho} = \frac{n}{4/3\pi\langle S^2 \rangle^{3/2}} = \text{const} \cdot \frac{1}{\sqrt{n}}, \quad (2.16)$$

из которого следует, что средняя плотность звеньев в клубке обратно пропорциональна квадратному корню из числа его звеньев или молекулярной массы.

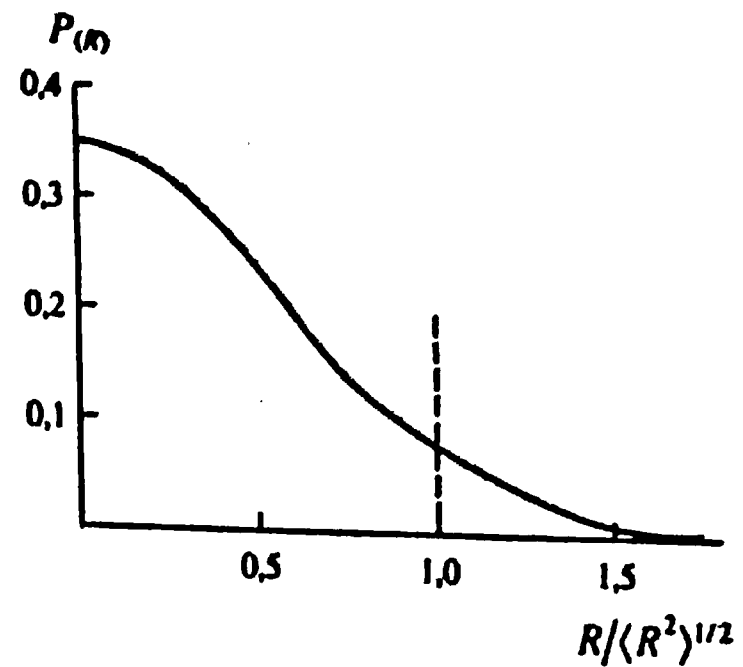


Рис. 2.5. Гауссово распределение вероятностей размеров свободно сочлененной цепи. Графический вид зависимости (2.13)

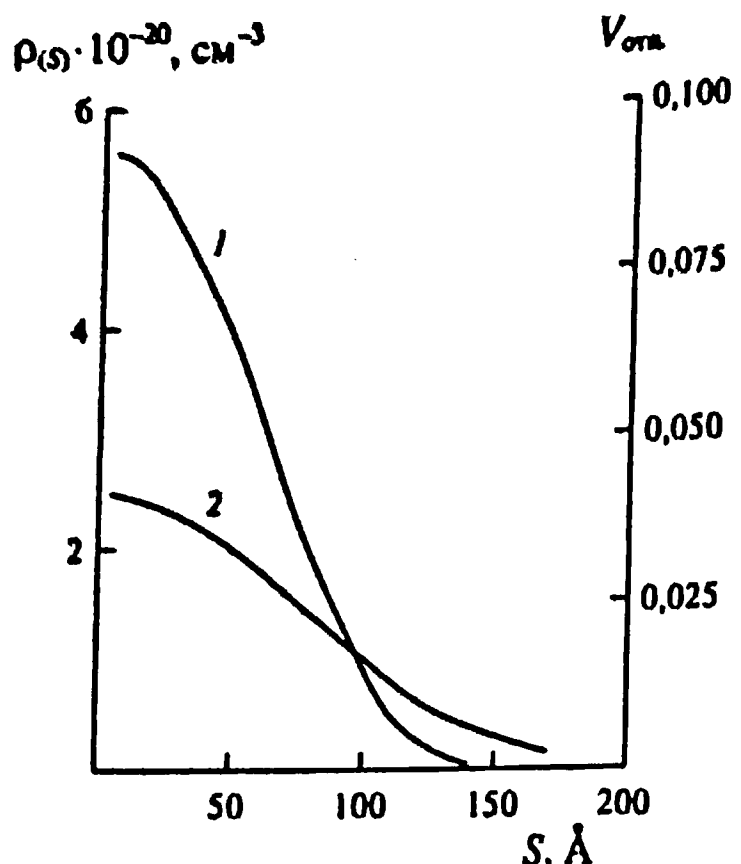


Рис. 2.6. Распределение звеньев относительно центра массы клубка. $\rho(s)$ – число сегментов в 1 см^3 , $V_{отн}$ – доля объема, занимаемого полимерными сегментами, S – расстояние от центра массы. 1 – идеальный растворитель, 2 – хороший растворитель

Переходя от модели идеальной цепи к реальным макромолекулам, следует отметить, что для последних характерны несколько вытянутые конформации вдоль оси, соединяющей концы цепи. Таким образом, «мгновенный» снимок такой макромолекулы по форме будет напоминать эллипс. Однако, благодаря микроброуновской диффузии кинетически независимых отрезков цепи, называемых сегментами, ее конформация постоянно изменяется, поэтому усредненная по времени форма макромолекулярного клубка близка к сферической.

2.1.2. Реальные цепи. Эффект исключенного объема

Реальные цепи отличаются от идеальных взаимодействием звеньев между собой и с молекулами растворителя. Эти взаимодействия могут быть как физическими, так и химическими, простейшими из них являются столкновения звеньев. Последний вид взаимодействия, несмотря на кажущуюся простоту, приводит к существенным отклонениям свойств клубка от идеального. Во-первых, это связано с тем, что реальные цепи в отличие от гипотетической, бестелесной свободно сочлененной цепи обладают собственным объемом. Поэтому взаимодействия, связанные со столкновениями звеньев, называются объемными. Они определяются так же, как эффект исключенного объема, т. к. при столкновении звеньев объем одного из них исключается как место возможного расположения другого. В результате конформационный набор реальных цепей по сравнению с идеальными заметно сужается из-за невозможности самопересечений и складывания отрезков цепи. Исключение соответствующих конформаций приводит к увеличению среднеквадратичного размера клубка. Выше говорилось о том, что свернутая конформация свободно сочлененной цепи соответствует траектории частицы при броуновском движении. На рис. 2.7 приведена эта траектория, наряду с траекторией (конформацией), реализуемой при запрете на самопересечение.

Второе обстоятельство, определяющее влияние объемных взаимодействий на размер клубка, связано с характером столкновений звеньев. Результат этих столкновений зависит от соотношения между кинетической энергией теплового движения звеньев и энергией когезии (притяжения). При «повышенных» температурах первая преобладает, столкновение звеньев приводит к их отталкиванию, т. е. носит упругий характер, в результате клубок увеличивается, разбухает по сравнению с идеальным. При «пониженных» температурах величина кинетической энергии недостаточна для того, чтобы преодолеть силы сцепления звеньев. В результате столкновение звеньев приводит к их притяжению, слипанию. Клубок в этом случае сжимается по сравнению с идеальным, возникает тенденция к агрегации клубков и выделению полимерной фазы (выпадение полимера в осадок). Продолжая рассуждения, мы приходим к логическому выводу о том, что существует промежуточная температура, при которой тенденции к разбуханию и сжатию клубка уравновешены, и он ведет себя как невозмущенный, т. е. идеальный. Подобное состояние макромолекул реализуется при определенной температуре и в определенных растворителях. Такая температура называется Θ -температурой, а растворители – Θ -растворителями. Представления о Θ -условиях, в которых макромолекулярные клубки по размерам и другим свойствам аналогичны идеальным, так называемым невозмущенным или гауссовым, впервые введены Флори.

Особую группу представляют системы, в которых растворитель сольватирует цепи. Сольватные оболочки препятствуют сближению звеньев (рис. 2.8) и, тем самым, увеличивают исключенный объем и среднеквадратичный раз-

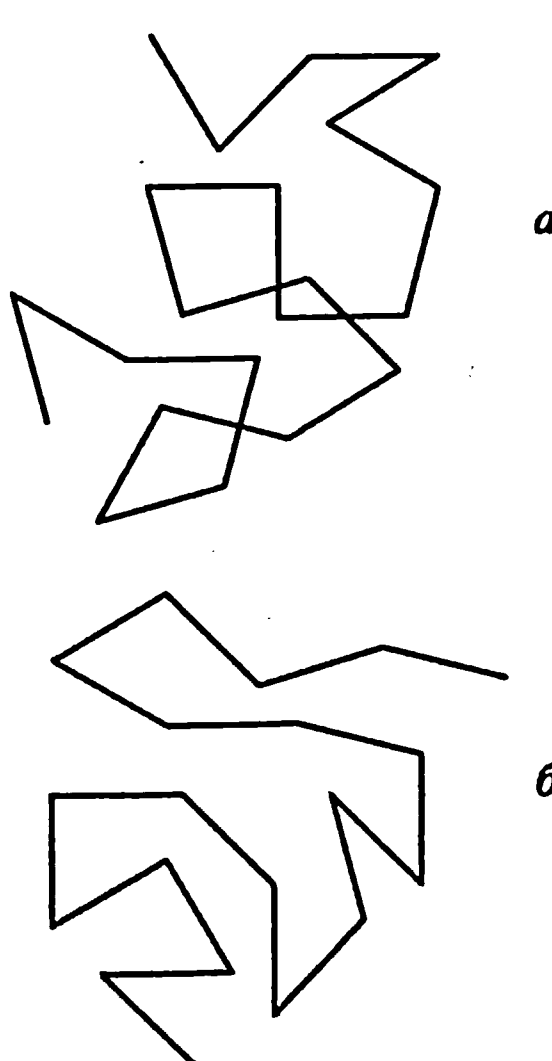


Рис. 2.7. Конформации свободно со-
чененной цепи с самопересечениями
(*а*) и без пересечений (*б*)

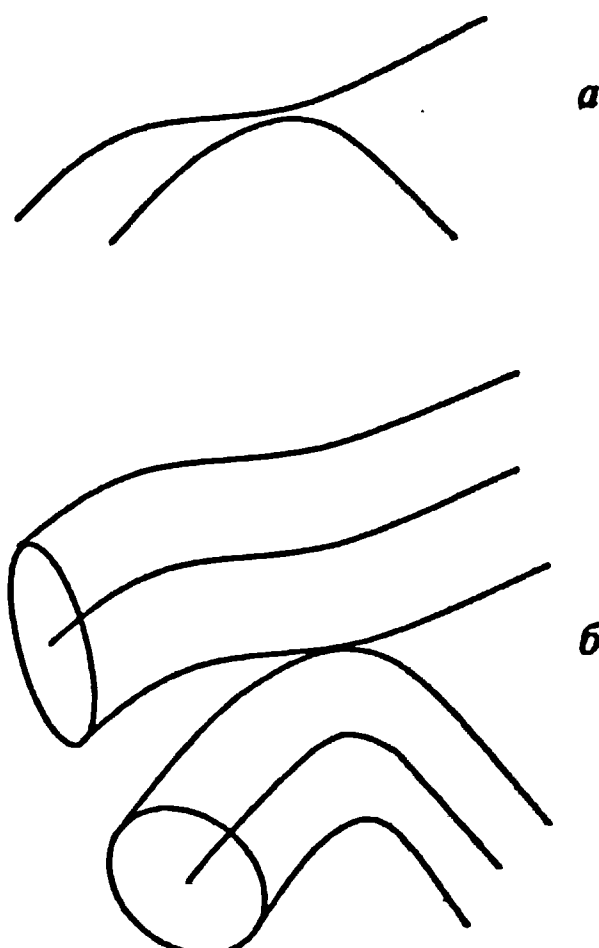


Рис. 2.8. Сближение несольватированных
(*а*) и сольватированных (*б*) цепей

мер клубка. При экзотермическом растворении, когда энергия межмолекулярного взаимодействия молекул растворителя со звеньями макромолекул велика, клубки являются разбухшими по сравнению с идеальными при любых температурах; в этих системах отсутствуют θ -условия и фазовое разделение. Количественно эффект разбухания клубка характеризуется коэффициентом набухания:

$$\alpha = \frac{\langle R^2 \rangle^{1/2}}{\langle R_0^2 \rangle^{1/2}}, \quad (2.17)$$

где $\langle R_0^2 \rangle^{1/2}$ – среднеквадратичное расстояние между концами цепи в θ -условиях. При преобладании отталкивания звеньев $\alpha > 1$, притяжения – $\alpha < 1$, в идеальном растворителе (θ -условиях) $\alpha = 1$.

Экспериментально коэффициент набухания клубка наиболее просто может быть определен путем вискозиметрических измерений. Соответствующие соотношения будут рассмотрены далее. Величина α оказывает влияние на характер зависимости размера цепи от молекулярной массы. Возможные случаи отражены ниже:

$$\alpha = 1, \langle R^2 \rangle^{1/2} \sim M^{0.5}, \quad (2.18)$$

$$\alpha > 1, \langle R^2 \rangle^{1/2} \sim M^{0.6}, \quad (2.19)$$

$$\alpha < 1, \langle R^2 \rangle^{1/2} \sim M^{0.3}. \quad (2.20)$$

Из приведенных зависимостей следует, что в растворах полимеров в хороших растворителях, для которых характерно условие $\alpha > 1$, правило «квадратного корня» не выполняется, размер клубков связан с молекулярной массой цепи в степени, большей 0,5. Этот вывод подтвержден экспериментально. Так, для растворов полиметилметакрилата в ацетоне и поли-2,5-дихлорстиrola в диоксане получено $\langle R^2 \rangle^{1/2} \sim M^{0.58}$, что достаточно близко к ожидаемому результату, исходя из (2.19).

В хороших растворителях имеет место слабая зависимость коэффициента набухания от молекулярной массы макромолекулы:

$$\alpha = \text{const} \cdot M^{0.10}. \quad (2.21)$$

В плохих растворителях эту зависимость проследить не удается, так как при $\alpha < 1$ растворы полимеров термодинамически неустойчивы.

Набухание клубков в хорошем растворителе приводит к существенному изменению вида зависимости $P_{(R)} - R$ по сравнению с той, что была получена на основе модели идеальной цепи. Из рис. 2.9 следует, что в отличие от макромолекулы близка к нулю.

Из предыдущего следует, что значение α определяется природой растворителя и температуры. Следовательно, макромолекула в одном и том же растворителе в зависимости от температуры может иметь конформации трех типов, условное изображение которых приведено на рис. 2.10: набухшего клубка, идеального (гауссового) клубка и сжатого клубка, называемого глобулой ($\alpha < 1$), для которых характерны существенно отличные зависимости размера от молекулярной массы. Поэтому можно ожидать, что изменение температуры в интервале, достаточном для изменения конформации клубка, оказывает сильное влияние на его размер. Изменение размера отдельных макромолекул можно наблюдать методами упругого и неупругого рассеяния света и нейtronов, поляризованной люминесценции, вискозиметрии, осмометрии и некоторыми другими. Во всех случаях необходимо использовать растворы полимеров очень малой концентрации. Это объясняется тем, что при $T < \theta$, как отмечалось выше, раствор полимера агрегативно неустойчив, и легко может выделиться в осадок. Для того, чтобы этого не произошло, необходимо работать с очень разбавленными растворами полимеров. Одной из крайне ограниченного числа систем, изученных в этих условиях, является система полистирол–циклогексан, θ -температура для которой равна 35 °С. Из рис. 2.11 видно, что в интервале температур, равном всего лишь нескольким градусам, коэффициент α уменьшается в несколько раз, что отвечает уменьшению объема клубка на порядок. Конформационный переход при $T \approx \theta$, сопровождающийся резким изменением объема клубка, называется переходом клубок–глобула. Этот переход выражен тем в большей степени, чем более жесткой является цепь.

Уравнение состояния набухшего клубка. Рассмотренное выше явление разбухания клубка ($\alpha > 1$) в хорошем растворителе может быть наглядно интерпретировано, если рассматривать макромолекулярный клубок как миниатюрную осмотическую ячейку. Известно, что осмотический эффект заключается в диффузии растворителя через мембрану в ячейку и возникновении вследствие этого осмотического давления. В случае макромолекулярного клубка осмотический эффект будет приводить к увеличению размера, т. е. разбуханию клубка. Деформация клубка, вызванная его набуханием, приводит к возникновению силы упругости, которая препятствует его дальнейшему набуханию. В результате устанавливается некое равновесное состояние клубка, которому соответствует равновесное значение коэффициента набухания. Выражение для равновесного коэффициента набухания клубка впервые получено Флори. В упрощенной форме оно может быть представлено следующим образом:

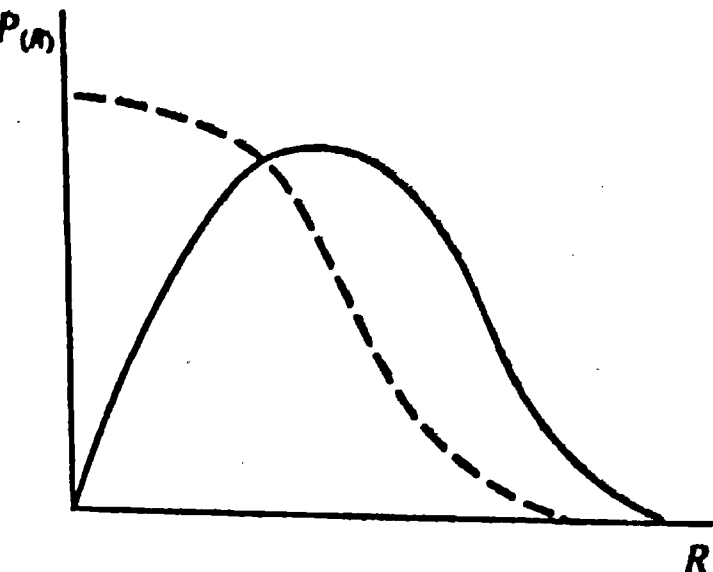


Рис. 2.9. Распределение вероятностей размеров цепи с объемным взаимодействием звеньев ($\alpha > 1$). Пунктир – гауссово распределение для модели идеального клубка

$$\alpha^5 - \alpha^3 = z, \quad (2.22)$$

где z – параметр, характеризующий исключенный объем раствора полимера. В простейших случаях величина исключенного объема может быть легко рассчитана. Рассмотрим, например, заполнение раствора макромолекулами радиуса R , моделирующими глобулярные белки. Ясно, что центры массы плотных шарообразных молекул могут сближаться на расстояние $2R$. Отсюда:

$$V_{\text{искл}} = \frac{8M_2V_2}{N_A}, \quad (2.23)$$

где $V_{\text{искл}}$ – исключенный объем; M_2 – молекулярная масса растворенного вещества; V_2 – удельный объем частиц растворенного вещества; N_A – число Авогадро. Аналогичный подход по отношению к раствору плотных стержней приводит к

$$V_{\text{искл}} = \frac{2LM_2V_2}{N_Ad}, \quad (2.24)$$

где L – длина; d – диаметр стержня.

Задача расчета исключенного объема в случае гибкоцепных полимеров является более сложной, она будет рассмотрена в разд. 3.1.6, наряду с со-

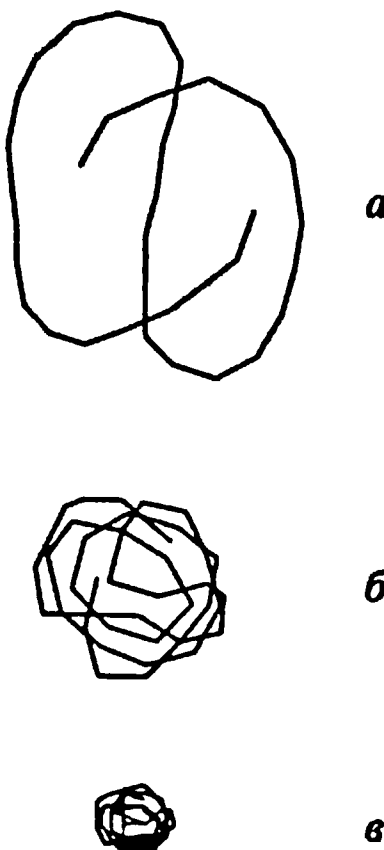


Рис. 2.10. Условное изображение набухшего клубка (а), идеального клубка (б) и глобулы (в). Во всех случаях контурная длина цепи одинакова

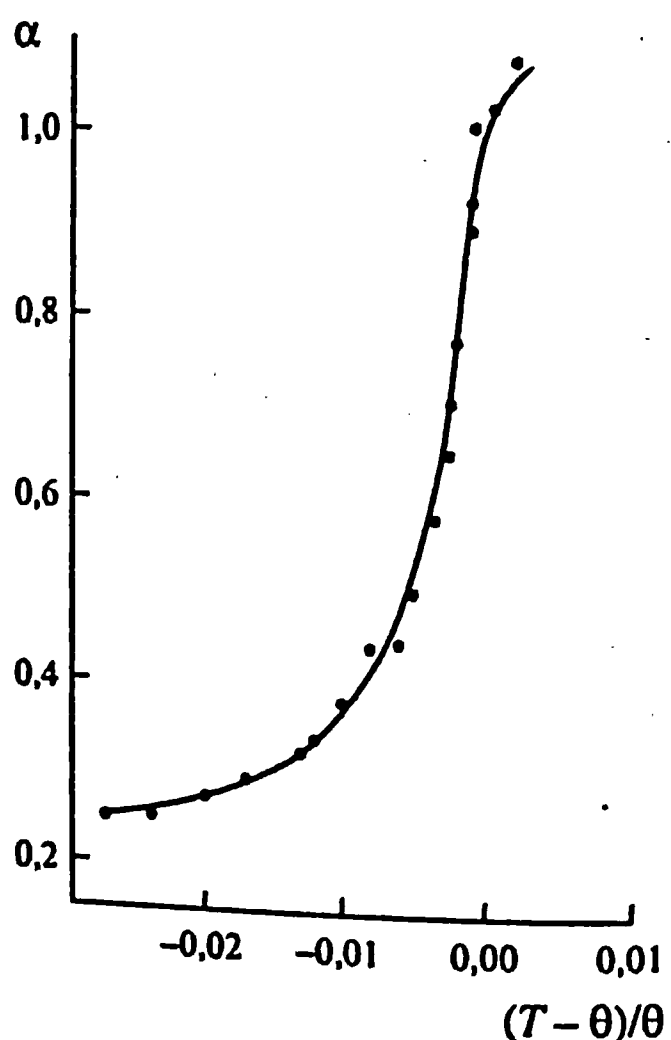


Рис. 2.11. Зависимость размера макромолекулы от температуры при переходе глобула – клубок (точки – экспериментальные данные, сплошная линия – теория). Пояснения в тексте

длением параметра z . Здесь же необходимо обратить внимание на то, что параметр z включает множитель $(1 - \theta/T)$. Отсюда:

$$\alpha^3 - \alpha^3 \sim (1 - \theta/T), \quad (2.25)$$

$$\alpha = 1 \text{ при } T = \theta. \quad (2.26)$$

Концентрационные эффекты. Все рассмотренное выше относится к разбавленным растворам полимеров, в которых макромолекулярные клубки не перекрываются. Ясно, что такая ситуация будет сохраняться до тех пор, пока средняя плотность звеньев в клубке не превысит плотность собственных звеньев в нем. Последняя величина определяется формулой (2.16), следовательно, исходя из нее, можно вычислить некую критическую концентрацию $\Phi_{2\text{кр}}$ (Φ_2 – объемная доля полимера в растворе), выше которой клубки начинают перекрываться. Расчеты показывают, что в растворах полимеров с молекулярной массой $10^5 - 10^6$ $\Phi_{2\text{кр}}$ не превышает 0,01 (1 %) для идеальных растворов полимеров с молекулярной массой порядка 10^5 . Растворы полимеров называются разбавленными при условии $\Phi_2 < \Phi_{2\text{кр}}$ и полуразбавленными при $\Phi_2 > \Phi_{2\text{кр}}$.

Каким образом отразится увеличение концентрации раствора на объемных взаимодействиях? На этот вопрос можно ответить вполне определенно, исходя из чисто умозрительных рассуждений. Объемные взаимодействия есть результат притяжения или отталкивания звеньев одной цепи. С увеличением концентрации раствора в клубок все больше проникает звеньев другой цепи, что иллюстрируется рис. 2.12. Следовательно, контакты звеньев одного клубка все в большей степени заменяются на контакты звеньев разных клубков. Это должно привести к прогрессивному уменьшению эффектов объемного взаимодействия, в частности уменьшению исключенного объема и уменьшению α . В расплаве любое звено цепи окружено «чужими». Поэтому можно утверждать, что в расплаве роль объемных взаимодействий сведена на нет. Впервые подобные рассуждения высказал Флори; на основании их он заключил, что в расплаве реализуются θ -условия, и клубок является идеальным. Это утверждение называется теоремой Флори. Расплавы аморфных полимеров при охлаждении стекают, в результате конформации идеальных клубков фиксируются, «замораживаются». Следовательно, θ -состояние, т. е. состояние идеального клубка, характерно не только для разбавленных растворов и расплавов, но и для стекол полимеров. Этот вывод подтверждают, в частности, значения среднеквадратичных радиусов инерции макромолекул полистирола различной молекулярной массы в блоке и в разбавленных растворах в θ -растворителе циклогексане; радиусы инерции измерены методом рассеяния нейtronов:

$\bar{M}_W \cdot 10^{-3}$	$\langle S^2 \rangle^{1/2}, \text{ нм (раствор)}$	$\langle S^2 \rangle^{1/2}, \text{ нм (блок)}$
21	3,8	4,2
160	10,7	11,7
1100	29,7	29,3

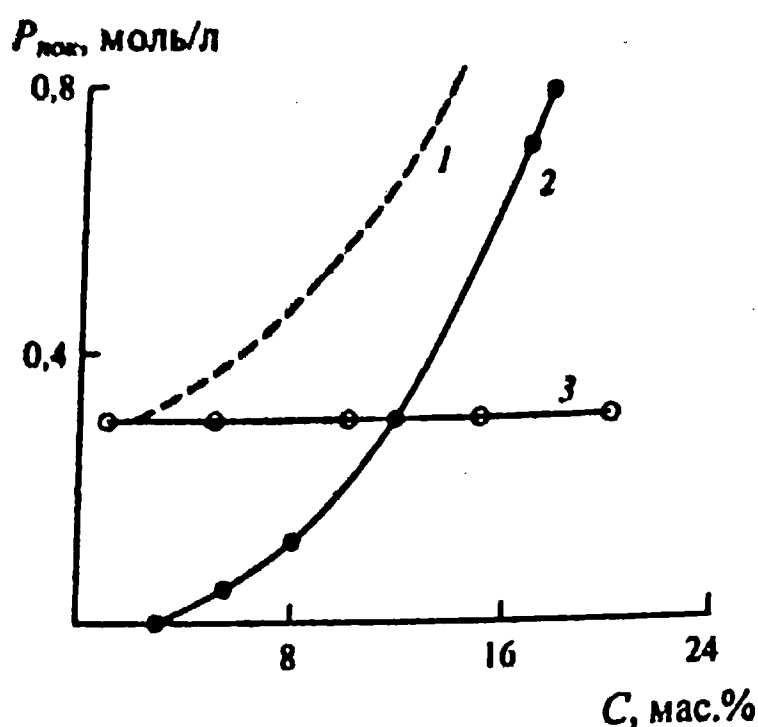


Рис. 2.12. Зависимость локальной плотности мономерных звеньев в клубке макромолекулы от концентрации полимера в растворе. Локальная плотность: 1 – суммарная мономерных звеньев в клубке; 2 – мономерных звеньев «чужих» макромолекул; 3 – собственных мономерных звеньев

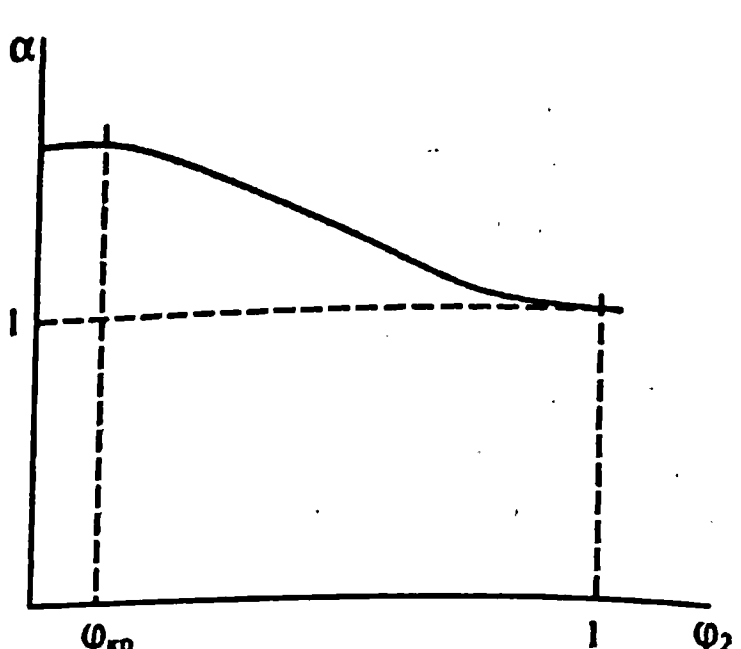


Рис. 2.13. Влияние концентрации раствора полимера в хорошем растворителе на величину коэффициента набухания макромолекул

Аналогично в случае полиметилметакрилата было найдено, что в растворе *n*-бутилхлорида (θ -растворитель) $\langle S^2 \rangle^{1/2} = 12,5$ нм, тогда как в блоке $\langle S^2 \rangle^{1/2} = 11,0$ нм.

Теоретические расчеты, а также прямой эксперимент подтверждают теорему Флори. На рис. 2.13 приведена качественная зависимость α от концентрации раствора полимера в хорошем растворителе. Из этого рисунка следует, что с увеличением концентрации раствора величина α и, следовательно, значение объемных эффектов уменьшается. При $\Phi_2 = 1$, что соответствует состоянию расплава или полимерного стекла, $\alpha = 1$, т. е. макромолекулярные клубки являются идеальными, гауссовыми.

2.1.3. Гибкость цепи

Различают два вида гибкости цепи: термодинамическую (статистическую) и кинетическую (динамическую). Первая является равновесной, она определяется химическим строением макромолекул и реализуется в результате теплового движения отрезков цепи. Макромолекулы в растворах участвуют в тепловом движении посредством макроброуновского и микроброуновского движения. В первом случае макромолекулы перемещаются как целое, во втором – перемещаются отдельные кинетически независимые отрезки цепи, называемые сегментами. Микроброуновское движение осуществляется за счет столкновений сегментов макромолекул с другими сегментами или молекулами растворителя. В каждый момент времени сегмент пре-

терпевает множество столкновений. Как правило, результирующий момент силы не равен нулю, в результате сегмент движется в направлении результирующего момента, а вместе с ним в эту сторону выгибаются макромолекула. Многократные изгибы макромолекулы, являющиеся следствием ее участия в тепловом молекулярно-кинетическом движении, приводят к свертыванию конформационных переходов, т.е. времени, необходимое для смены локальных конформаций. Существует два механизма термодинамической гибкости, один из которых применим для гибкоцепных полимеров, другой – для жесткоцепных.

Поворотно-изомерный механизм гибкости цепи. К гибкоцепным полимерам относятся полиолефины, большинство полимеров виниловых и винилдиеновых мономеров общей формулы $-(\text{CH}_2-\text{CHX})-$, $-(\text{CH}_2-\text{CHXY})-$, где X, Y – заместители основной цепи. Гибкость таких полимеров обусловлена свободой вращения вокруг простых связей основной цепи, механизм гибкости называется поворотно-изомерным. Рассмотрим детали этого механизма на примере *n*-бутана, который можно представить как фрагмент цепи полиэтилена (рис. 2.14). При вращении связи C₁–C₂ или C₃–C₄ описывается конус с образующей, направленной под углом δ к оси вращения. Угол δ является дополнительным к валентному, т.е. $\delta = \pi - 190^\circ$. При вращении связи C₃–C₄ атом C₄ описывает окружность, в плоскости которой лежит угол вращения γ , отсчитываемый относительно *транс*-положения. Расстояние между конечными атомами C₁ и C₄ при вращении изменяется и составляет, как показывает расчет, 0,2 нм для *цис*- и 0,38 для *транс*-формы. Поскольку радиусы Ван-дер-Ваальса метильной группы примерно равны 0,2 нм, можно ожидать стерического напряжения *цис*-формы. В этом случае вращение вокруг связи C₂–C₃ не будет свободным. Вследствие взаимного отталкивания заместителей в *цис*-положении возникают потенциальные барьеры вращения.

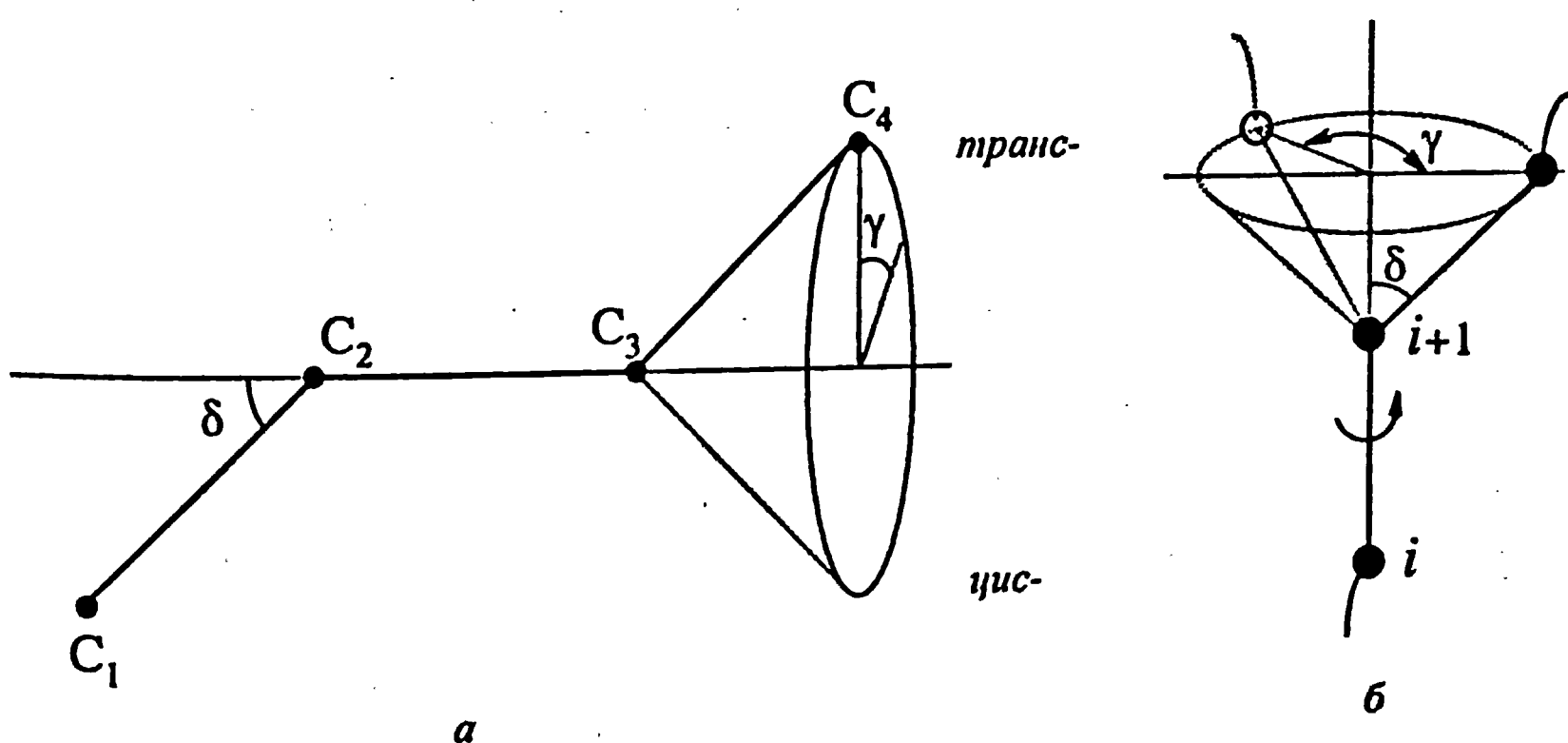


Рис. 2.14. Вращение вокруг связей C₂–C₃ в *n*-бутане (а)
и в карбоцепном полимере (б)

Наличие заторможенного вращения вокруг связей С–С нормальных парафинов впервые было экспериментально обнаружено М. С. Ньюменом. По методу Ньюмена изменение формы молекул в результате вращения связей изображают проекциями связей на плоскость, нормальную к оси вращения (рис. 2.15).

Если смотреть вдоль оси С₃–С₂, то при вращении связи С₃–С₄ возможны заслоненные конформации, когда проекции связей на плоскость совпадают (*цис*- и *цис-гош*), и заторможенные (скрещенные) конформации (*транс*- и *транс-гош*) (на рис. 2.15 заслоненные конформации обозначены скобками). При вращении вокруг связи С₂–С₃ потенциальная энергия системы периодически изменяется – *транс*-конформациям отвечают минимумы энергии, *цис*-конформациям – максимумы (рис. 2.16). Наиболее глубокий минимум отвечает *транс*-конформации, от которой отсчитывается угол γ. При вращении по часовой стрелке *гош*-конформациям приписывается знак «+», при вращении против часовой стрелки – знак «–». Аналогично обозначение конформаций, возникающих при вращении вокруг связей С–С основной цепи полимеров виниловых мономеров (см. рис. 2.14, б).

Разница между максимальной энергией, отвечающей заслоненной *цис*-конформации, и минимальной энергией, отвечающей скрещенной *транс*-конформации в *н*-бутане, настолько значительна, что свободного полного вращения вокруг связи С₂–С₃ не происходит. Молекула находится в одной из

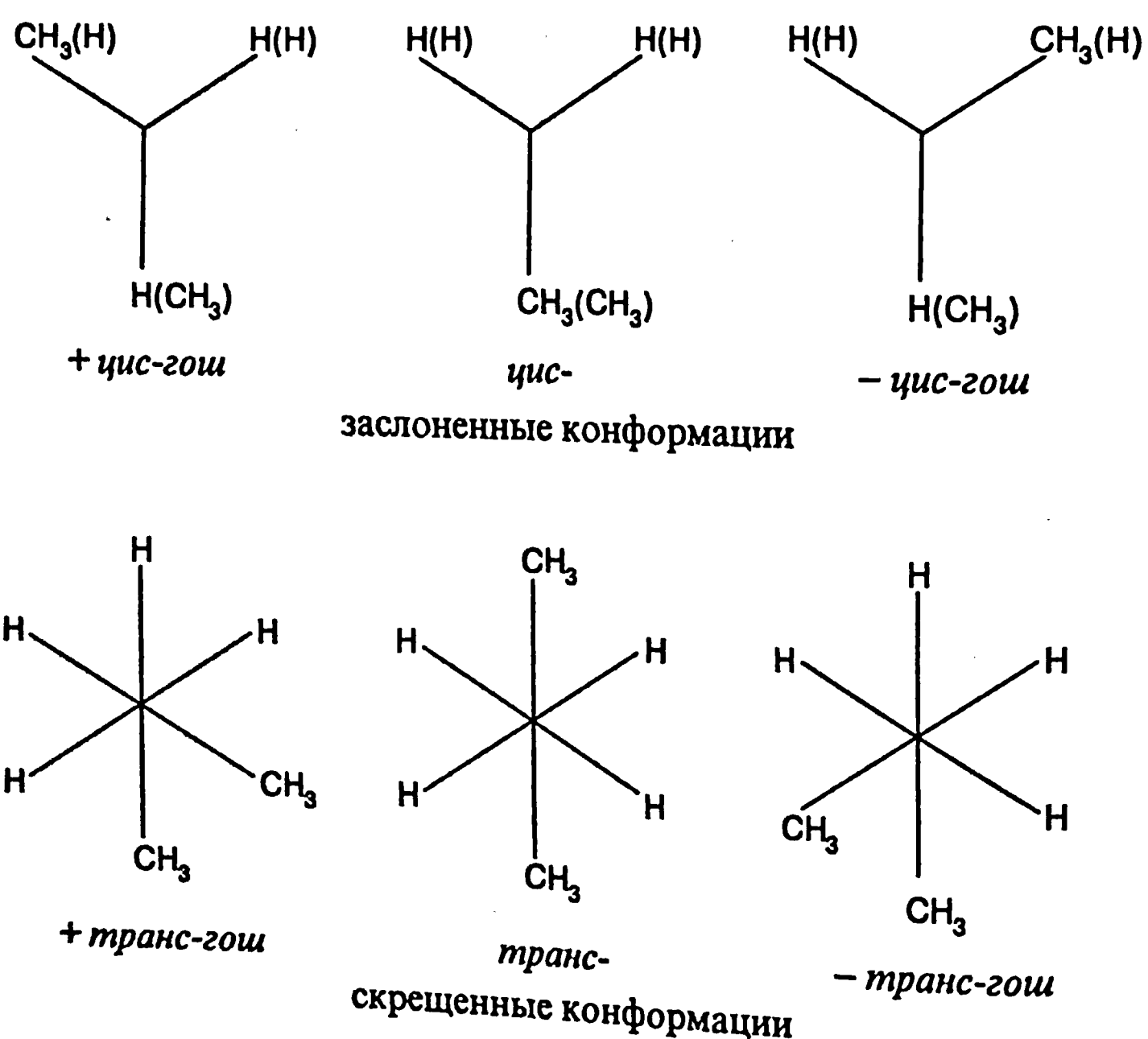


Рис. 2.15. Проекции Ньюмена

конформаций с минимальными значениями энергии: *транс*-, *-транс-гош* и *+транс-гош* формах. Энергии этих конформаций отличаются всего на 2,5 кДж/моль ($\Delta\epsilon$), а потенциальные барьеры (ΔE), разделяющие их, равны 14 кДж/моль, т.е. также относительно невелики, поэтому происходит постоянная смена конформаций в результате частичного неполного заторможенного вращения вокруг связи C_2-C_3 . Потенциальные барьеры заторможенного вращения получили название потенциалов торможения. Представления о конформационной изомерии молекул алканов распространены на макромолекулы М. В. Волькенштейном, который впервые предложил поворотно-изомерную модель полимерной цепи. Согласно этой модели, заторможенное вращение вокруг связей основной цепи осуществляется дискретно, в результате чего фиксируются конформации *транс*-, *+транс-гош*, *-транс-гош*. Конформацией с наименьшей энергией является плоский зигзаг основной цепи, отвечающий *транс*-конформации, и $\gamma = 0$. Вращение вокруг любой из ее σ -связей приводит к излому плоской ленты в том месте, где $\gamma \neq 0$. Совокупность изломов вызывает свертывание цепи в клубок (рис. 2.17).

В случае макромолекул потенциальные барьеры внутреннего вращения связей становятся зависящими от состояния (углов вращения) соседних связей. Наиболее значимым эффектом является запрет на *гош*-повороты противоположного знака в соседних связях (так называемый «пентановый эффект»). На рис. 2.18 приведены конформации, получаемые поворотами вокруг внутренних связей $C-C$ в *н*-пентане. Из рис. 2.18, б видно, что при g^+g^- поворотах конечные группы CH_3 находятся по одну сторону плоскости, в которой лежат две внутренние $C-C$ -связи, и на достаточно близком расстоянии друг от друга. Пространственные модели показывают, что это расстояние равно 0,25 нм. Выше упоминалось, что радиус Ван-дер-Ваальса метильной группы равен 0,2 нм. Из этого следует, что при сближении метильных групп стерическое отталкивание должно возникать на расстояниях,

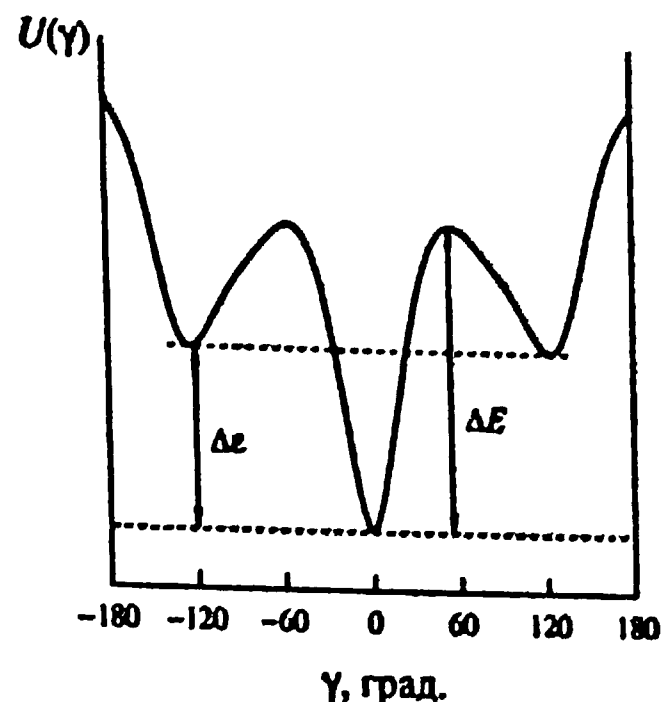


Рис. 2.16. Зависимость потенциальной энергии молекулы *н*-бутана от внутреннего угла вращения

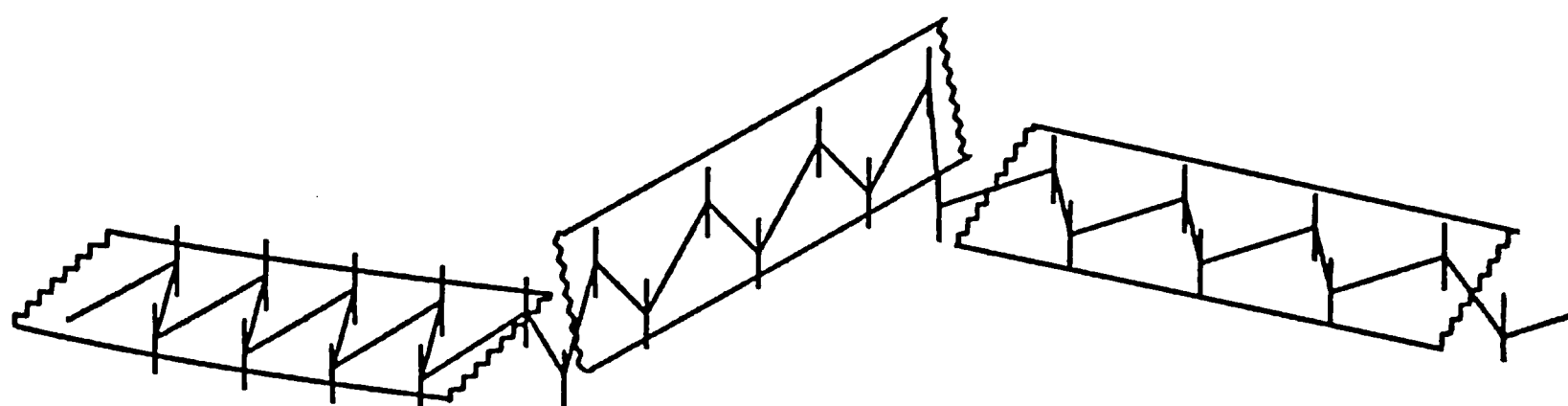


Рис. 2.17. К поворотно-изомерному механизму гибкости

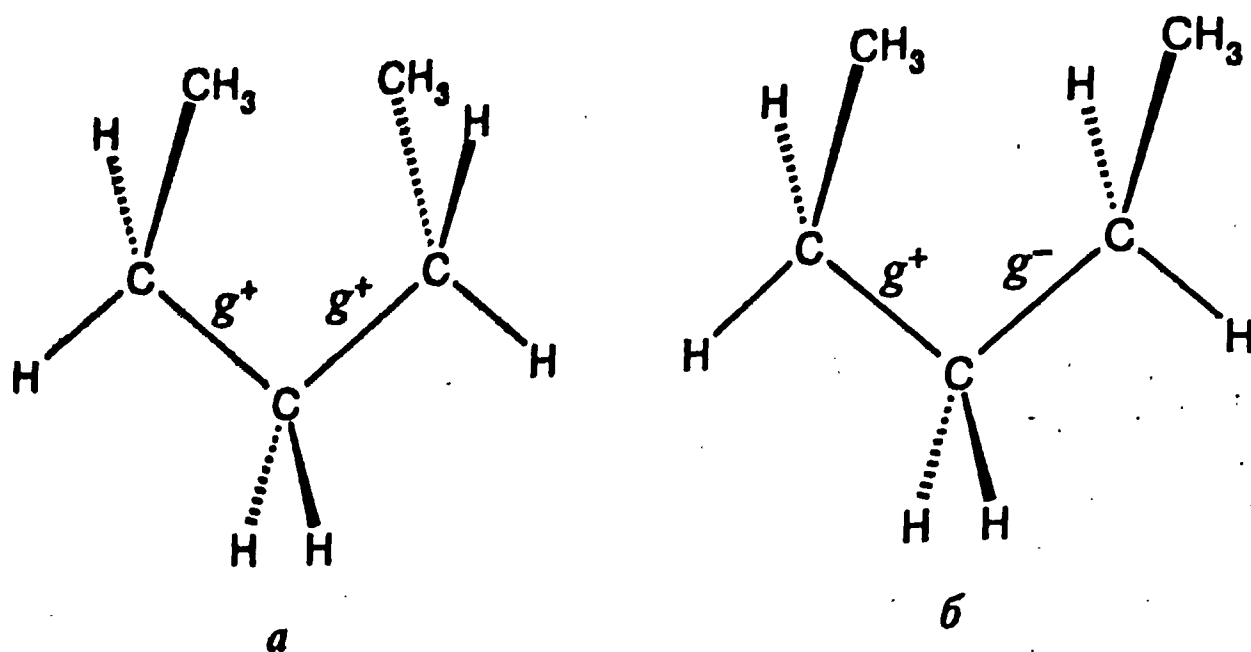


Рис. 2.18. Конформации, получаемые поворотами вокруг внутренних связей С–С в *n*-пентане

меньших 0,4 нм, и для g^+g^- конформации *n*-пентана оно должно быть весьма значительно.

В случае стереорегулярных изотактических полимеров энергетически наиболее выгодной конформацией является спираль, для которой в наименьшей степени проявляется отталкивание заместителей в изо-триадах звеньев. Так, в макромолекуле изотактического полипропилена каждое звено повернуто относительно другого на 120° , т. е. в триаде последовательно представлены +*транс*-гоши, *транс*- и –*транс*-гоши конформеры. После упаковки в кристалл спиральные конформации цепей не изменяются, однако, в растворе или расплаве спирали также свертываются в клубки в результате изменения углов вращения вокруг связей основной цепи.

Как термодинамическая, так и кинетическая гибкость зависят от соотношения величин $\Delta\epsilon$ и ΔE с тепловой энергией. Если $\Delta\epsilon < kT$, то цепь является термодинамически гибкой. В этом случае, как показано выше, в отдельных местах плоского зигзага основной цепи возникают изломы, и в целом она выглядит как рыхлый клубок. При $\Delta\epsilon \ll kT$ цепь является предельно гибкой, она сворачивается в более плотные клубки по сравнению с предыдущим случаем. В качестве примера можно указать на полиметилсиликоновый каучук, макромолекулы которого сворачиваются в плотные клубки.

Применительно к изложенному механизму гибкости, «формула квадратного корня» трансформируется в следующие выражения:

$$R_{cs} = l_n^{1/2} \left(\frac{1 + \cos\delta}{1 - \cos\delta} \right), \quad (2.27)$$

$$R_{tp} = l_n^{1/2} \left(\frac{1 + \cos\delta}{1 - \cos\delta} \right) \left(\frac{1 + \cos\gamma}{1 - \cos\gamma} \right). \quad (2.28)$$

Первое из них относится к цепи со свободным вращением вокруг связей ($\Delta\epsilon \ll kT$), здесь δ – угол, дополнительный к валентному. Второе относится

к цепям с ограниченным вращением вокруг связей – на угол γ . В обоих выражениях l – длина, n – число звеньев. Существуют зависимости, связывающие углы вращения вокруг связей основной цепи с потенциалами торможения. В некоторых достаточно простых случаях потенциалы торможения удается рассчитать. Тогда выражение (2.28) может быть использовано непосредственно для расчета размера макромолекул. Однако более часто выражения (2.27) и (2.28) используются для оценки гибкости цепи. Отношение

$$\frac{R_{\text{тр}}}{R_{\text{св}}} = \frac{1 + \cos \gamma}{1 - \cos \gamma} \quad (2.29)$$

является мерой гибкости цепи. Величина $R_{\text{св}}$ может быть легко рассчитана, т. к. величины валентных углов известны. Величина $R_{\text{тр}}$ определяется экспериментально. В последнем случае необходимо использовать идеальный, так называемый θ -растворитель, который не оказывает возмущающего влияния на размеры клубков. С учетом этого

$$\sigma = \frac{R_0}{R_{\text{св}}}, \quad (2.30)$$

где σ – стерический фактор или фактор гибкости.

Термодинамический сегмент Куна. Модель идеальной свободно сочлененной цепи в определенных условиях может быть применена к реальным макромолекулам. Хотя в последних полная свобода вращения вокруг одной связи в большинстве случаев отсутствует, последовательность нескольких связей обеспечивает полную свободу ориентации, т. е. кинетическую независимость связываемых ими отрезков цепи. В качестве примера можно указать на цепь из канцелярских скрепок. Две скрепки можно повернуть относительно одна другой на угол, примерно равный 180° , однако последовательность нескольких скрепок обеспечивает полную свободу вращения и независимость ориентации связываемых ими отрезков цепи. Из сказанного следует, что любую реальную цепь гибкоцепного полимера условно можно представить в виде последовательности кинетически независимых отрезков цепи – сегментов. Очевидно, что, чем гибче цепь, тем меньше длина сегмента и наоборот. Следовательно, длина сегмента характеризует термодинамическую гибкость цепи. Поэтому он называется термодинамическим или сегментом Куна – по имени ученого, впервые предложившего изложенный подход.

Длина термодинамического сегмента Куна l^* или связанная с ней величина числа звеньев в сегменте n^* определяется, исходя из двух простых соотношений:

$$L = l^* (n/n^*), \quad (2.31)$$

$$\langle R^2 \rangle^{1/2} = l^* (n/n^*)^{1/2}, \quad (2.32)$$

где L – контурная длина; $\langle R^2 \rangle^{1/2}$ – расстояние между концами; n – число звеньев в макромолекуле. Величина $\langle R^2 \rangle^{1/2}$, как уже говорилось, определя-

ется методами вискозиметрии, седиментации и светорассеяния. Контурная длина цепи для полимеров виниловых мономеров определяется, исходя из простого соотношения:

$$L = 2nd \sin \frac{\pi - \delta}{2}, \quad (2.33)$$

где δ – угол, дополнительный к валентному; d – длина связи С–С; n – число мономерных звеньев в цепи. Смысл формулы становится понятным из рассмотрения рис. 2.19.

Перsistентная гибкость. Другой механизм реализуется в случае цепей равномерной гибкости жесткоцепных полимеров. К ним относятся макромолекулы двухтяжевых полимеров, в частности, двойная спираль ДНК. Общей причиной равномерной гибкости является незначительная, в пределах нескольких градусов, деформация валентных углов, а также малые (до 3 %) колебания длин связей. Эта гибкость невелика, тем не менее, благодаря ей достаточно удаленные отрезки цепи могут ориентироваться независимо. В качестве примера рассмотрим стальную проволоку. Короткий отрезок проволоки не только не имеет изломов, но и его кривизна незначительна, практически не заметна на глаз. Тем не менее длинный отрезок проволоки самопроизвольно принимает форму неупорядоченной спирали. Изложенный механизм гибкости называется персистентным. Количественной характеристикой персистентной гибкости является так называемая персистентная длина \tilde{l} , определяемая соотношением (2.34), которое, в свою очередь, иллюстрируется рис. 2.20. Здесь S – контурная длина отрезка цепи постоянной гибкости, θ – угол между касательными, проведенными к концам отрезка, характеризующий его изгибание, $\cos \theta$ – средний косинус угла изгиба (закручивания в случае цепи):

$$\cos \theta = e^{-S/\tilde{l}}. \quad (2.34)$$

Анализ формулы (2.34) приводит к следующим выводам. При $\tilde{l} \gg S$ $\cos \theta \rightarrow 1$, это означает, что данный отрезок близок к форме стержня. При $\tilde{l} \ll S$ $\cos \theta \rightarrow 0$, что соответствует неупорядоченному искривлению S и потере корреляции между концами. В данном случае $\cos \theta$ может принимать

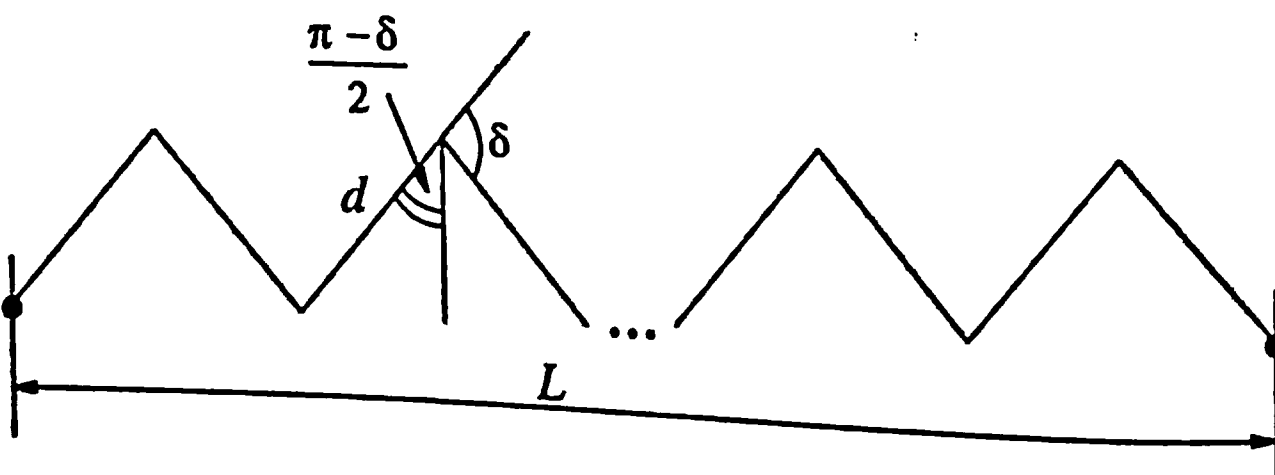


Рис. 2.19. К расчету контурной длины цепи

любые значения – положительные и отрицательные. Поскольку ни одна из конформаций не имеет преимуществ, то среднее значение $\cos \theta$ равно нулю. Строго доказано, что длина термодинамического сегмента Куна связана с персистентной длиной соотношением:

$$l^* = 2\bar{l}. \quad (2.35)$$

В табл. 2.2 приведены значения стерического фактора и длины сегмента Куна, характеризующие термодинамическую гибкость цепи для некоторых классов полимеров и отдельных представителей. Напомним, что увеличение значений обоих параметров свидетельствует об ухудшении гибкости цепи. Из табл. 2.2 следует, что наибольшей гибкостью обладают гетероцепи, содержащие атомы серы и кислорода. Ясно, что причина аномально большой гибкости таких цепей связана со свободой вращения вокруг связей атомов, не имеющих заместителей. Причина достаточно большой гибкости цепей полимеров диенов связана с большей, по сравнению с полимерами виниловых мономеров, свободой вращения вокруг связей, примыкающих к двойным.

К снижению гибкости цепи приводит наличие в ней циклов и сопряжение атомов, входящих в состав основной цепи. Первое можно видеть на примере целлюлозы и ее производных, а также поли-*n*-бензамидов. Значения параметров гибкости обоих классов намного превышают те, что характерны для

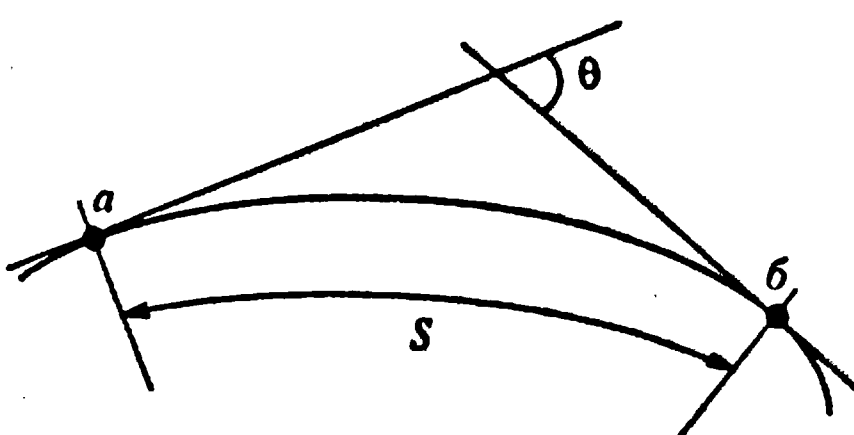


Рис. 2.20. К определению персистентной длины цепи

Таблица 2.2

Количественные характеристики гибкости цепи различных классов полимеров

Полимеры	Строение цепи	σ	Сегмент Куна, нм
Полисилоксаны	$-\text{O}-\text{Si}-$		
Поликарбоксиды	$-\text{O}-\text{C}-$	1,4–1,6	1,4–1,5
Поликарбосульфиды	$-\text{S}-\text{C}-$		
Сложные полиэфиры	$\begin{array}{c} \text{O} \\ \\ -\text{C}-\text{O}- \end{array}$	1,3–1,8	
Полимеры диенов	$-\text{CH}_2-\overset{\text{I}}{\underset{\text{I}}{\text{C}}}=\text{C}-\text{CH}_2-$	1,5–1,7	
Алифатические полiamиды	$\begin{array}{c} \text{O} \quad \text{H} \\ \quad \\ -\left(\text{CH}_2\right)_n\text{C}-\text{N}- \end{array}$	1,65–2,1	1,7–2,0

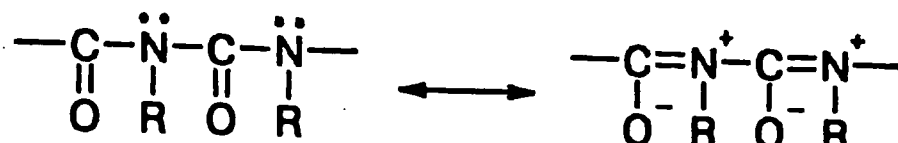
Полимеры	Строение цепи	σ	Сегмент Куна, нм
Полимеры виниловых и винилиденовых мономеров	$-\text{CH}_2-\text{CHX}-$ $-\text{CH}_2-\text{CXY}-$	1,8–2,6	1,5–4,0
Полималдинимиды	$\begin{array}{c} \text{---CH---CH---} \\ \qquad \\ \text{O}=\text{C} \quad \text{N} \quad \text{C}=\text{O} \end{array}$	4,0	
Целлюлоза и ее производные		4	10,0–20,0
Лестничные полисилоксаны	$\begin{array}{c} \text{R} \qquad \text{R} \\ \qquad \\ \text{---Si---O---Si---O---} \\ \qquad \\ \text{O} \qquad \text{O} \\ \qquad \\ \text{---Si---O---Si---O---} \\ \qquad \\ \text{R} \qquad \text{R} \end{array}$		20,0–30,0
Ароматические поламииды: поли- <i>n</i> -бензамид	$-\text{NH}-\text{C}_6\text{H}_4-\text{C}(=\text{O})-$		62,0
поли- <i>n</i> -фенилентерефталамид	$-\text{NH}-\text{C}_6\text{H}_4-\text{NH}-\text{C}(=\text{O})-\text{C}_6\text{H}_4-\text{C}(=\text{O})-$		50,0
поли- <i>m</i> -фенилизофталамид	$-\text{NH}-\text{C}_6\text{H}_4-\text{NH}-\text{C}(=\text{O})-\text{C}_6\text{H}_4-\text{C}(=\text{O})-$		5,0
Полиалкилизоцианаты (поли- <i>n</i> -бутилизоцинат)	$\begin{array}{c} \text{O} \\ \\ \text{---N---C---} \\ \\ \text{i-C}_4\text{H}_9 \end{array}$		100,0
Полиарилизоцианаты (поли- <i>m</i> -толилизоцинат)	$\begin{array}{c} \text{O} \\ \\ \text{---N---C---} \\ \\ \text{m-C}_6\text{H}_4\text{CH}_3 \end{array}$		2,0

полимеров виниловых мономеров. Однако само по себе наличие циклов в цепи не всегда приводит к существенному ужесточению цепи. Этому может помешать наличие гибких мостиков между циклами или отсутствие сопряжения между ними. Так, из табл. 2.2 видно, что поли-*n*-фенилентерефталамид имеет существенно более жесткую цепь по сравнению с соответствующим мета-полимером. Это объясняется большей энергией сопряжения в цепи в первом случае, из-за чего вращение вокруг связей цепи, нарушающее

это сопряжение, является энергетически невыгодным. Еще более ярко это проявляется в поли-алкил(арил)-изоцианатах. Это обусловлено затрудненностью вращения вокруг связи C-N в амидной группе, что хорошо видно из мезомерной структуры, указывающей на увеличение двоесвязанности этой связи в результате p - π -сопряжения (напомним, что вращение вокруг кратных связей невозможно):

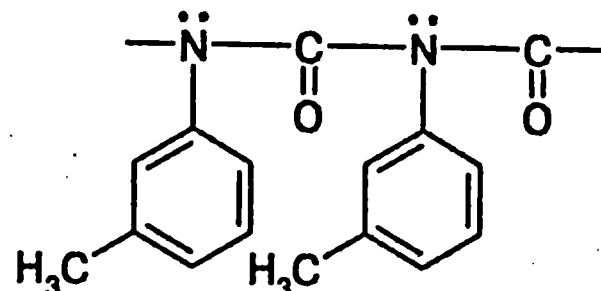


Поли-*n*-бутилизоцианат имеет одну из наиболее жестких цепей, поскольку последняя образована амидными связями, сопряженными между собой. В случае p - π -сопряжения этот эффект наиболее наглядно может быть выражен мезомерными, т. е. резонансными структурами:



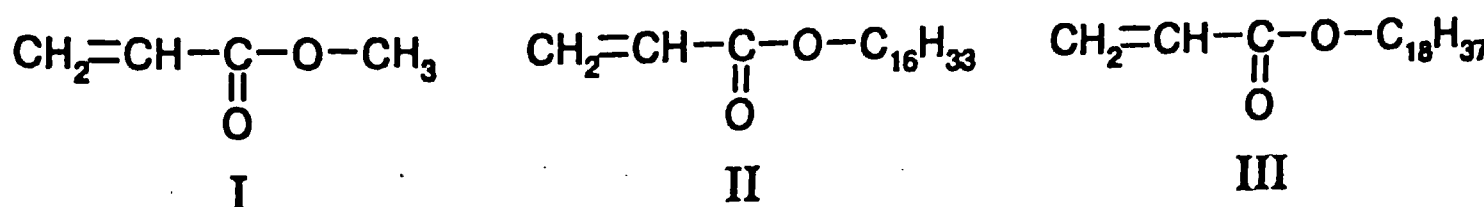
где R – *n*-C₄H₉. Наличие сопряжения и двоесвязанности между атомами цепи препятствует вращению вокруг любой ее связи.

Иная ситуация характерна для поли-*m*-толилизоцианата:



Сопряжение в основной цепи этого полимера отсутствует, поскольку энергетически более выгодным оказывается p - π -сопряжение неподеленной пары азота с ароматическим заместителем. Поэтому вращение вокруг связей основной цепи достаточно свободно, так как оно не изменяет столь существенно внутренней энергии системы, как в предыдущем случае, и цепь является существенно менее жесткой.

Заместители оказывают меньшее влияние на гибкость основной цепи по сравнению с ее строением и химическим составом. Из рис. 2.21 видно, что увеличение молярного объема заместителя приводит к закономерному возрастанию жесткости цепи в ряду полиметакрилатов. При переходе от полиметил- (I) к полицетил- (II) и полиоктил- (III) акрилатам длина сегмента Куна возрастает от 2 до 5–6 нм, при этом объем заместителя возрастает на порядок.



При сравнении полимеров разнотипных мономеров значение этого фактора проявляется менее определенно, но все же упомянутая выше тенденция прослеживается (табл. 2.3). Более существенно на гибкость цепи влияет полярность заместителя, о чем можно судить, сравнив параметры гибкости

Таблица 2.3

Количественные характеристики гибкости некоторых полимеров

Полимер	Строение звена	Молярный объем заместителя, см ³ /моль	σ
Полистирол	$-\text{CH}_2-\text{CH}(\text{C}_6\text{H}_5)-$	89	2,2
Поли-3,4-дихлорстирол	$-\text{CH}_2-\text{CH}(\text{C}_6\text{H}_3\text{Cl}_2)-$	115	2,7
Поли- <i>n</i> -третбутилфенилметакрилат	$\begin{array}{c} \text{CH}_3 \\ \\ -\text{CH}_2-\text{C}-\text{C}-\text{O}-\text{C}_6\text{H}_4-\text{C}(\text{CH}_3)_3 \\ \\ \text{O} \end{array}$	200	2,7
Поли-2-винилнафталин	$-\text{CH}_2-\overset{\text{CH}}{\underset{ }{\text{CH}}}-\text{C}_{10}\text{H}_7$	131	3

полипропилена и полиакрилонитрила. Оба полимера имеют близкие объемы заместителя, но полярность заместителя выше у полиакрилонитрила. Группа $-\text{C}\equiv\text{N}$ является одной из наиболее полярных, ее дипольный момент близок к 4 D.

Гибкость цепи оказывает влияние на многие свойства полимера, в частности, на температуру стеклования (см. разд. 4.2.2).

Кинетическая гибкость цепи. Кинетическая гибкость цепи определяется, в первую очередь, величиной потенциальных барьеров вращения, а также внутри- и межмолекулярным взаимодействием. Последнее особенно существенно для конденсированного состояния полимеров. Потенциальные барьеры вращения простых молекул определяются спектральными методами по температурной зависимости интенсивности поглощения. В табл. 2.4 приведены потенциальные барьеры вращения для некоторых соединений.

В случае *n*-бутана приведенное значение относится ко второму, меньшему максимуму (см. рис. 2.16). Из таблицы следует, что наиболее низки потенциальные барьеры вращения вокруг связей C—O, C—S, C—Si, C—C=C. Известно, что еще более низкими являются потенциальные барьеры вращения вокруг связей Si—O, P—O, P—N. Полимеры, содержащие в основной цепи упомянутые связи, имеют большую кинетическую гибкость. Для реализации кинетической гибкости необходимо, чтобы величина потенциального барьера вращения была соизмерима с кинетической энергией теплового движения сегментов. Кинетическая гибкость определяется как

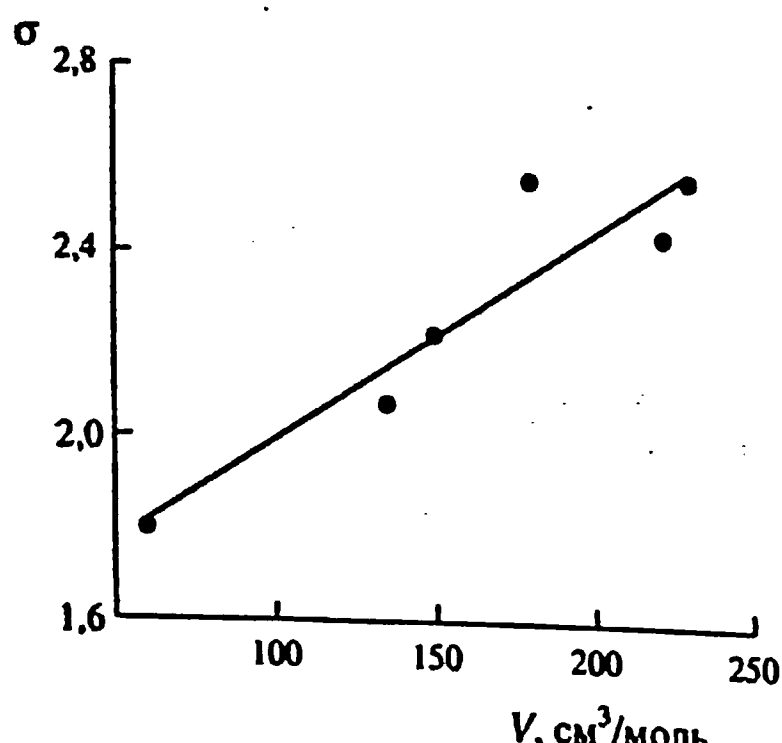


Рис. 2.21. Зависимость фактора гибкости полиметакрилатов от молярного объема заместителей основной цепи

Таблица 2.4

Высоты барьеров для типичных потенциалов внутреннего вращения

Соединение и связь	Высота барьера, кДж/моль	Соединение и связь	Высота барьера, кДж/моль
CH_3-CH_3	11,7	CH_3-SH	4,45
$\text{CH}_3-\text{CH}(\text{CH}_3)_2$	16,4	CH_3-NH_2	8,0
$\text{CH}_3-\text{C}(\text{CH}_3)_3$	18,5	CH_3-SH_3	7,1
$\text{CH}_3-\text{CH}=\text{CH}_2$	8,2	CF_3-CF_3	18,3
$\text{CH}_3\text{CH}_2-\text{CH}_2\text{CH}_3$	14,6	$\text{CH}_3-\text{CH}=\text{O}$	4,9
CH_3-CF_3	15,5	CH_3-OCH_3	11,4
CH_3-OH	4,5	CH_3-PH_2	8,2

нетическая или динамическая гибкость цепи зависит от высоты потенциального барьера ΔE , разделяющего *транс-* и *транс-гош* состояния. Если $\Delta E \approx kT$, то переход между двумя локальными конформациями или *транс-гош*-изомеризация может происходить за время τ_p порядка 10^{-11} с, что отвечает кинетической гибкости цепи. В общем случае:

$$\tau_p = \tau_0 \cdot \exp\left\{\frac{\Delta E}{kT}\right\}, \quad (2.36)$$

где τ_p – время, необходимое для изменения локальной конформации; τ_0 – величина, близкая 10^{-14} с.

Макромолекулы могут обладать значительной термодинамической и малой кинетической гибкостью, например макромолекулы с гибкой основной цепью и объемными или полярными заместителями. В этом случае клубок «заторможен» в одном из конформационных состояний. Кинетическая гибкость, т. е. скорость изменения конформаций может быть увеличена в результате воздействия на макромолекулу внешних сил.

Помимо химического состава и строения основной цепи и заместителей, кинетическая гибкость зависит от следующих факторов:

а) межцепного физического взаимодействия – в полимерных телах кинетическая гибкость всегда меньше по сравнению с растворами;

б) сшивки макромолекул – с увеличением плотности сшивки кинетическая гибкость падает;

в) молекулярной массы полимера – макромолекулы большей длины имеют более высокую гибкость по сравнению с менее длинными.

Кинетическая гибкость может проявляться как в растворе, так и в конденсированных полимерных телах. В первом случае она проявляется наиболее ярко в гидродинамическом поле. При действии больших напряжений сдвига макромолекулы разворачиваются. Кинетическая гибкость макромолекул в растворе характеризуется величиной кинетического сегмента, т. е. минимальным отрезком цепи, который может изменять форму под действием внешней силы. Длина кинетического сегмента зависит от скорости воз-

действия, с ее уменьшением длина кинетического сегмента уменьшается и стремится к длине термодинамического сегмента.

В конденсированном состоянии полимеров кинетическая гибкость цепи начинает проявляться при температурах, превышающих температуру стеклования. Кинетическую гибкость макромолекул в полимерных телах характеризуют длиной механического сегмента, равной длине цепи, при которой исчезает зависимость температуры стеклования полимера от молекулярной массы.

Гибкость цепи оказывает большое влияние на свойства полимеров и определяет области их использования. Например, кинетическая гибкость приводит к возникновению у полимеров такого уникального и технически важного свойства, как высокозластичность, кроме того, она обусловливает способность макромолекул к ориентации, что имеет огромное значение при формировании волокон. Термодинамическая гибкость проявляется в процессах кристаллизации, плавления и растворения полимеров.

2.2. Природа упругости полимеров

Свойство, проявляющееся в обратимости деформации, называется упругостью. Для кристаллических тел обратимые деформации не превышают 1 %. Для полимеров, находящихся в высокозластичном состоянии*, обратимые деформации могут достигать 1000 %. Способность тела к большим обратимым деформациям определяют понятием «эластичности». Полимеры, обладающие этим свойством, относятся к классу эластомеров или каучуков.

2.2.1. Термодинамические составляющие упругой силы

Природа упругой силы, вызывающей обратимость деформаций, может быть выявлена при анализе термодинамики обратимого растяжения упругого тела. В этом случае при условии $V = \text{const}$ работа внешних сил равна $f \cdot dl$, где f – приложенная сила; dl – удлинение тела. Согласно первому и второму закону термодинамики,

$$f \cdot dl = dU - TdS, \quad (2.37)$$

откуда

$$f = \left(\frac{\partial U}{\partial l} \right)_T - T \left(\frac{\partial S}{\partial l} \right)_T. \quad (2.38)$$

Таким образом, упругая сила имеет две составляющие. Первая из них $(\partial U / \partial l)_T$ соответствует силе, действие которой направлено на снижение внутренней энергии деформированного тела, вторая – $(\partial S / \partial l)_T$ направлена на повышение его энтропии.

* Одно из трех физических состояний аморфных полимеров (см. разд. 4.2).

Наиболее универсальной характеристикой упругости является модуль Юнга E – коэффициент пропорциональности закона Гука:

$$\sigma = E \cdot \varepsilon, \quad (2.39)$$

где σ – напряжение; ε – относительная деформация.

Ниже приведены значения модуля упругости ряда материалов и идеального газа в Па:

Сталь	Медь	Кварц	Каучук	Газ
$2 \cdot 10^{11}$	$1 \cdot 10^{11}$	$1 \cdot 10^{11}$	$5 \cdot 10^5$	$1 \cdot 10^5$

По величине модуля упругости все приведенные материалы разбиваются на две группы, одну из которых составляют газы и каучуки, модуль которых намного порядков меньше по сравнению с металлами или стеклом (или в более общей форме по сравнению с кристаллами и переохлажденной застеклованной жидкостью), следовательно, их намного легче деформировать. Кроме того, оказалось, что температура принципиально различным образом влияет на модуль упругости двух различных групп материалов – нагревание приводит к уменьшению модуля упругости кристаллов, в том числе металлов, и увеличению модуля упругости газов и каучуков.

2.2.2. Упругость идеального газа

Рассмотрим один моль идеального газа, находящегося в цилиндре с поршнем (рис. 2.22), при двух состояниях: p_1, V_1 и p_2, V_2 , причем $p_1 > p_2$ и $V_1 < V_2$. Из опыта известно, что самопроизвольно газ может только расширяться, следовательно, состояние 2 термодинамически более выгодно. Причина этого заключается в том, что более разряженное состояние газа характеризуется большей термодинамической вероятностью и, следовательно, большей энтропией. Для расчета термодинамической вероятности используем простейшую объемную решетку, полагая, что в каждой ее ячейке объемом a^3 (a – длина ребра кубической ячейки) находится одна молекула газа. Тогда для состояния 1 число способов расположения N молекул газа в объеме V_1 , трактуемое в данном случае как термодинамическая вероятность, равно $(V_1/a^3)^N$, а для состояния 2 – $(V_2/a^3)^N$. Следовательно, относительное изменение термодинамической вероятности газа при переходе из состояния 1 в состояние 2 можно оценить отношением:

$$\frac{W_2}{W_1} = \left(\frac{V_2}{V_1} \right)^N. \quad (2.40)$$

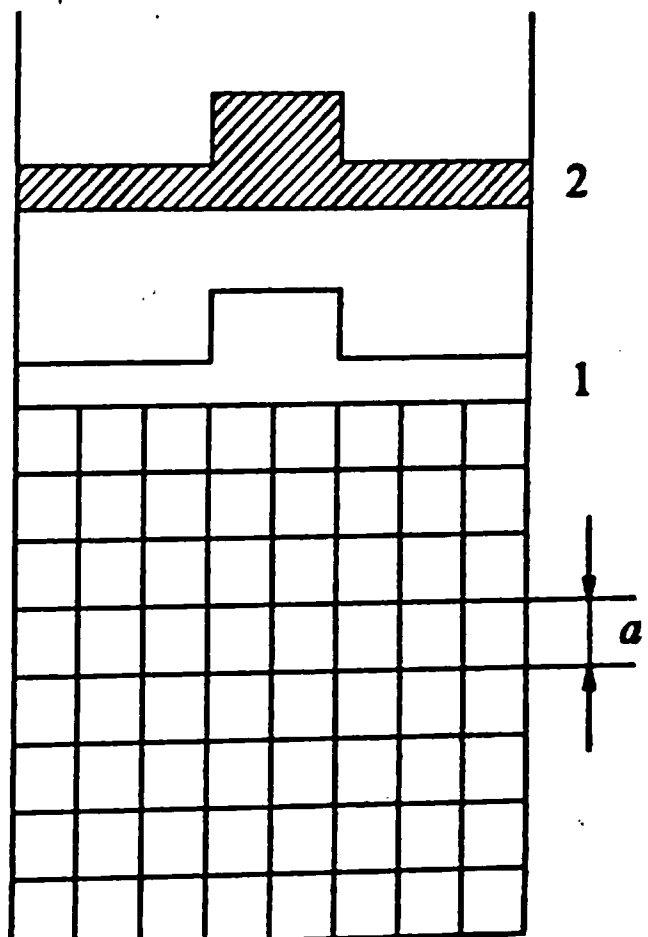


Рис. 2.22. К энтропийной природе упругости газа

Поскольку $V_2/V_1 > 1$ и $N \gg 1$, то число W_2/W_1 очень велико, например, при $V_2/V_1 = 1,01$, $W_2/W_1 = 1,01^{6 \cdot 10^{23}}$.

Таким образом, чтобы деформировать (сжать) газ, нужно увеличить давление, т. е. приложить силу. После прекращения воздействия газ самопроизвольно расширяется до исходного состояния, которому отвечают большая термодинамическая вероятность и, следовательно, энтропия. Если при фиксированном объеме газ нагревать, то его давление увеличится. В результате для его сжатия следует приложить большее усилие, что означает увеличение модуля упругости газа с ростом температуры.

2.2.3. Упругость идеального клубка

Первая теория эластичности каучука, так называемая кинетическая теория, была предложена в 1932 г. швейцарским ученым Мейером, далее она получила развитие и подтверждение в работах Марка, Джоуля, Куна. В этой теории предполагается, что энтропия каучука складывается аддитивно, исходя из энтропии отдельных цепей. Этот принцип позволяет, учитывая молекулально-кинетическое движение сегментов макромолекул, сразу же выявить причину обратимости высокоэластической деформации в каучуках.

Как термодинамическая система, изолированный макромолекулярный клубок напоминает газовое облако, в котором роль молекул выполняют кинетически не зависимые отрезки цепи – сегменты. Самопроизвольное тепловое движение сегментов не меняет внутренней энергии системы, поэтому

$$F \equiv -TS. \quad (2.41)$$

Энтропию идеальной цепи можно вычислить, исходя из уравнения Больцмана:

$$S = k \cdot \ln W, \quad (2.42)$$

где W – термодинамическая вероятность. В данном случае речь идет о конформационной энтропии, т. е. энтропии, связанной с возможностью реализации клубком множества конформаций. Величина W пропорциональна числу конформаций, возможных при заданном R . Поэтому $W \sim P_{(R)}$. Учитывая это и привлекая (2.13), имеем:

$$S = \text{const} - \frac{3}{2} k \frac{R^2}{\langle R^2 \rangle}. \quad (2.43)$$

Подставляя (2.43) в (2.41), получаем:

$$F = \text{const} + \frac{3}{2} kT \frac{R^2}{\langle R^2 \rangle}. \quad (2.44)$$

Растяжение клубка под действием внешней силы приводит к отклонению R от наиболее вероятной величины $\langle R^2 \rangle^{1/2}$, уменьшению числа возможных кон-

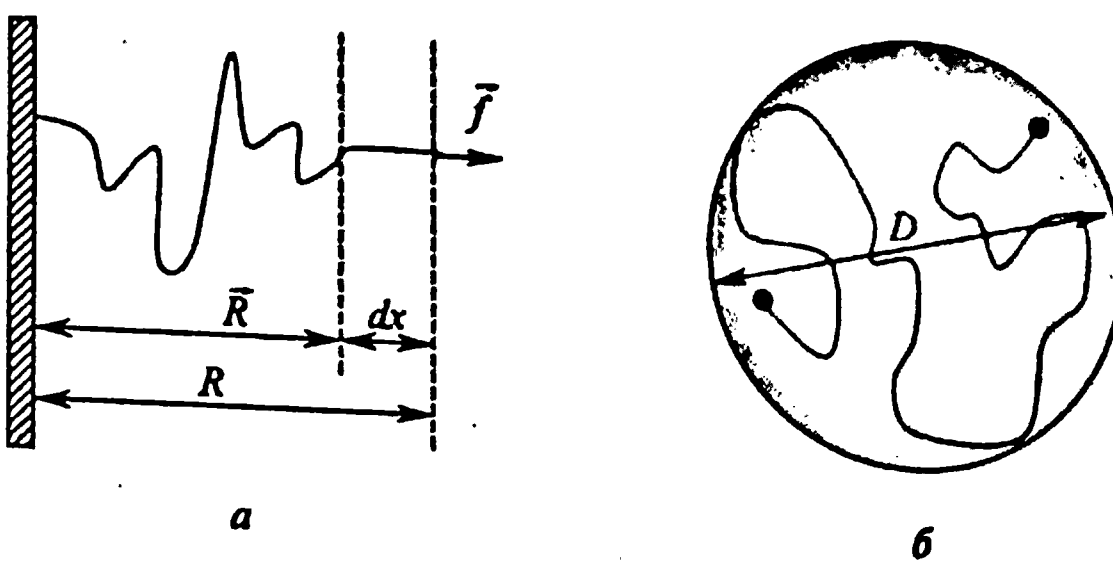


Рис. 2.23. Модели деформированного клубка:
а – растяжение, б – всестороннее сжатие

формаций и, следовательно, уменьшению энтропии. Последнее прямо следует из формулы (2.43). В результате, возникает упругая сила, противодействующая растягивающей и стремящаяся вернуть клубок к состоянию с исходным $\langle R^2 \rangle^{1/2}$ и максимумом энтропии. Выражение для величины упругой силы может быть получено, исходя из следующих соображений. Допустим, что один конец цепи закреплен, а к другому приложена сила f (рис. 2.23).

Под действием этой силы конец цепи стремится на расстояние dx , дальнейшему смещению будет препятствовать упругая сила $-f$, равная по величине, но противоположная по направлению приложенной силе. Поскольку при $V = \text{const}$, $F = df/dx$ и в данном случае $dx = dR$, то

$$f = -\frac{TdS}{dR} = 3kT \frac{R}{\langle R^2 \rangle}. \quad (2.45)$$

В рассматриваемой модели векторы \vec{f} и \vec{R} параллельны. Поэтому отношение $R/\langle R^2 \rangle$ можно рассматривать как относительную деформацию, и тогда уравнение (2.45) по содержанию становится аналогичным уравнению Гука. Из этой аналогии следует, что модуль упругости изолированного идеального клубка пропорционален $3kT$, следовательно, он увеличивается с повышением температуры. Такое поведение также характерно для идеального газа.

При сжатии клубка изменение функции Гиббса удобнее оценивать, пользуясь другой моделью. Рассмотрим идеальный гауссов клубок, содержащий n звеньев, помещенный внутрь непроницаемой для него сферы с диаметром D , причем

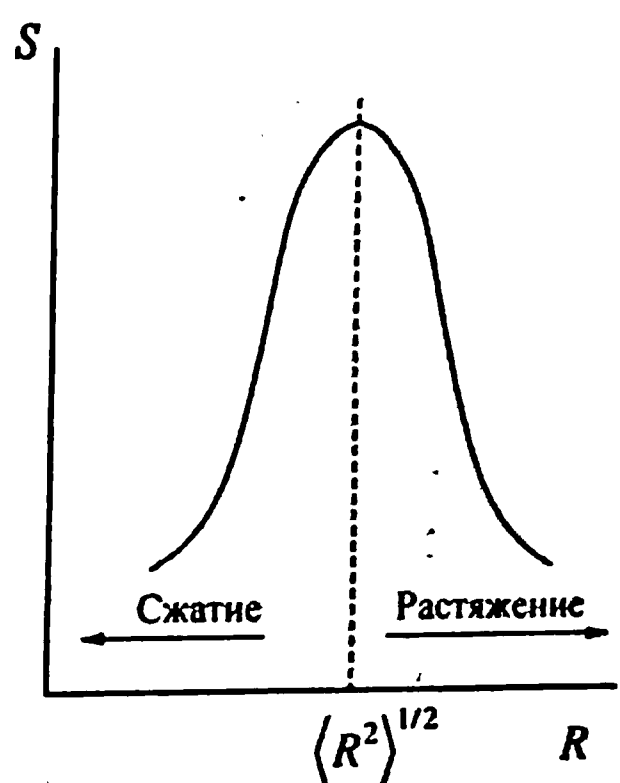


Рис. 2.24. Вид зависимости энтропии изолированного макромолекулярного клубка от его размера

$D < \langle R^2 \rangle^{1/2}$ (рис. 2.23, б). Очевидно, что в таких условиях цепь будет касаться стенок сферы в нескольких точках. Пусть средний отрезок цепи, заключаясь между двумя контактами со стенкой, содержит в среднем n^* звеньев. Тогда, очевидно, что число контактов клубка со сферой равно n/n^* , и на каждого из этих контактов макромолекулярный клубок теряет половину своего конформационного набора*. Следовательно, изменение энтропии, вызванное сжатием клубка в сфере, исходя из формулы Больцмана, будет равно:

$$dS = S - S_0 = -k \cdot \ln 2^{n/n^*}, \quad (2.46)$$

где S и S_0 – энтропия деформированного и невозмущенного клубка.

Таким образом, как растяжение, так и сжатие клубка приводят к уменьшению энтропии и возникновению упругой силы, которая стремится вернуть систему к исходному состоянию с максимумом энтропии, соответствующему среднеквадратичному размеру недеформированного клубка (рис. 2.24).

2.2.4. Упругость полимерной сетки

Чрезвычайно важное в практическом отношении свойство эластичности материально реализуется в резинах, т. е. сшитых каучуках, которые мы далее будем называть полимерными сетками. При теоретическом рассмотрении свойств полимерных сеток в условиях, когда реализуется подвижность сегментов (концентрированные растворы, гели, эластомеры), исходят из того, что отрезок цепи между двумя соседними сшивками, называемый субцепью, сворачивается в клубок, называемый субклубком, свойства которого аналогичны свойствам невозмущенного гауссова клубка. Такая модель позволяет качественно объяснить природу упругости резин аналогично тому, как это было сделано в предыдущем случае, т. е. как энтропийную. При действии приложенного напряжения, например растягивающего, размеры субклубка увеличиваются, что вызывает возникновение упругой силы, стремящейся вернуть клубки к исходному состоянию. По прекращении воздействия субклубки возвращаются к исходным размерам, при этом энтропия достигает максимально возможного значения.

Для количественного описания упругости полимерной сетки представим ее определенный объем в виде параллелепипеда, стороны которого ориентированы вдоль осей координат (рис. 2.25).

При растяжении сетки ее размеры вдоль каждой из осей a_{0x} , a_{0y} , a_{0z} изменяются соответственно в λ_x , λ_y , λ_z раз:

$$a_x = a_{0x} \cdot \lambda_x, \quad a_y = a_{0y} \cdot \lambda_y, \quad a_z = a_{0z} \cdot \lambda_z, \quad (2.47)$$

где λ_x , λ_y , λ_z – так называемые коэффициенты вытяжки. Изменение размеров сетки приводит к изменению размеров субклубков. Размер последних так же,

* Это становится ясно при выполнении процедуры построения свободно сочлененной цепи, рассмотренной в разд. 2.1.1 с учетом выражений (2.1), (2.2) и (2.5).

как и в случае изолированной цепи, может быть охарактеризован радиусом-вектором \vec{R}_0 , который связан с его проекциями на оси координат соотношением:

$$\vec{R}_0^2 = \vec{R}_{0x}^2 + \vec{R}_{0y}^2 + \vec{R}_{0z}^2. \quad (2.48)$$

При деформации сетки проекции R_{0x}, R_{0y}, R_{0z} изменяются в такой же степени, как и линейные размеры сетки в направлении осей координат:

$$R_x = R_{0x} \cdot \lambda_x, \quad R_y = R_{0y} \cdot \lambda_y, \\ R_z = R_{0z} \cdot \lambda_z.$$

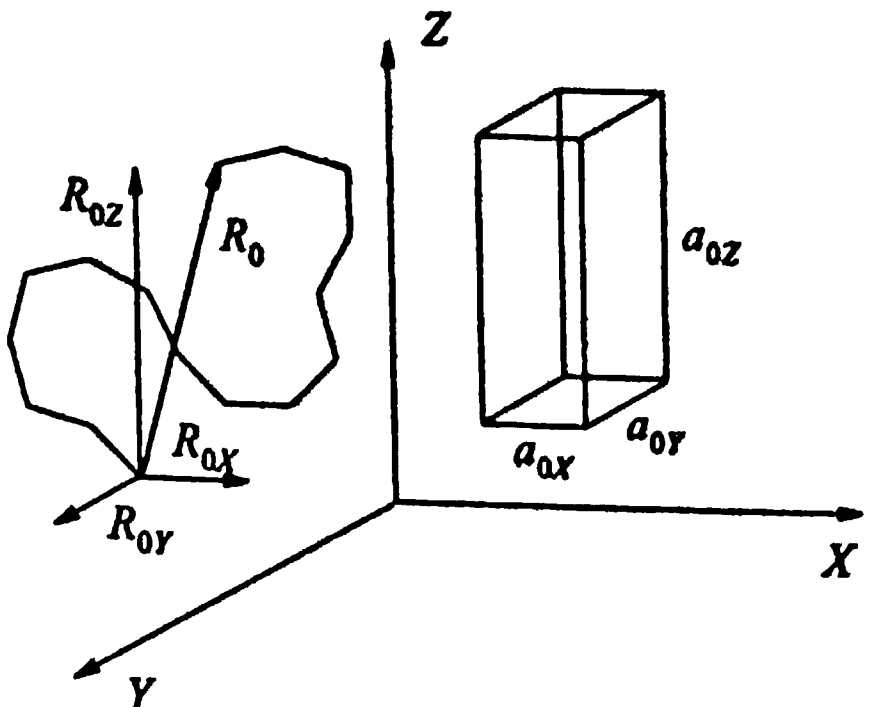


Рис. 2.25. К упругости полимерной сетки
(пояснения в тексте)

Изменение энтропии субклубка при изменении его размеров от R_0 до R , вызванном деформацией, можно учесть с помощью выражения (2.43), связывающего энтропию изолированного гауссова клубка с его размерами. В результате имеем:

$$\Delta S = S(R) - S(R_0) = -\frac{3k}{2nl^2} [(R_x^2 - R_{0x}^2) + (R_y^2 - R_{0y}^2) + (R_z^2 - R_{0z}^2)] = \\ = -\frac{3k}{2nl^2} [(\lambda_x^2 - 1)R_{0x}^2 + (\lambda_y^2 - 1)R_{0y}^2 + (\lambda_z^2 - 1)R_{0z}^2], \quad (2.49)$$

где n – число звеньев в субцепи, l – длина звена. Далее необходимо перейти от отдельной субцепи к полимерной сетке. Для этого выражение (2.49) необходимо умножить на число субцепей в единице объема v , равное количеству сшивок, и на общий объем полимерной сетки V . Кроме того, нужно учесть, что все направления равновероятны, и поэтому, с учетом (2.48), $R_{0x}^2 =$

$= R_{0y}^2 = R_{0z}^2 = \frac{nl^2}{3}$. Тогда для полимерной сетки в целом

$$\Delta S = -kvV \frac{\lambda_x^2 + \lambda_y^2 + \lambda_z^2 - 3}{2}. \quad (2.50)$$

На практике наиболее часто встречается одноосное растяжение или сжатие, например вдоль оси X . Связанные с этим возможности изменения размеров сетки вдоль других осей легко установить, исходя из того фундаментального факта, что каучук и резина при деформации не изменяют объема. Отсюда легко рассчитать, что если $\lambda_x = \lambda$, то $\lambda_y = \lambda_z = \lambda^{-1/2}$. После подстановки этих значений в уравнение (2.50) получаем:

$$\Delta S = -kvV \frac{\lambda^2 + (2/\lambda) - 3}{2}. \quad (2.51)$$

Ранее было показано, что при растяжении гауссовой цепи $\Delta F = -T \cdot \Delta S$, $f = -\partial F / \partial R$. Применимально к рассматриваемой системе упругая сила может быть представлена выражением:

$$f = -\frac{T \cdot \Delta S}{\Delta a_x} = -\frac{T \cdot \Delta S}{\Delta \lambda \cdot a_{0x}} = -\frac{T \cdot S'_\lambda}{a_{0x}}. \quad (2.52)$$

Для того, чтобы перейти к напряжению, необходимо разделить приложенную силу, равную по величине, но противоположную по знаку (направлению) силе упругости, на площадь образца:

$$\sigma = \frac{f}{a_{0y} \cdot a_{0z}} = \frac{T \cdot S'_\lambda}{a_{0x} \cdot a_{0y} \cdot a_{0z}} = \frac{T \cdot S'_\lambda}{V}. \quad (2.53)$$

Раскрывая значение производной S'_λ , окончательно имеем:

$$\sigma = kT\nu(\lambda - \lambda^{-2}). \quad (2.54)$$

Соотношение (2.54) является одним из главных результатов теории эластичности полимерных сеток. Следующая из него зависимость деформации резин от величины приложенного напряжения в основном соответствует экспериментальным данным в области $5 > \lambda > 1$ (рис. 2.26).

Выражение для модуля упругости может быть получено из (2.54) для области малых деформаций, когда можно приблизенно принять

$$\lambda - \lambda^{-2} = (\lambda - 1) + (1 - \lambda^{-1})(1 + \lambda^{-1}) \approx (\lambda - 1) + \frac{2(\lambda - 1)}{\lambda} \approx 3(\lambda - 1), \quad (2.55)$$

что ведет к

$$\sigma = 3kT\nu(\lambda - 1). \quad (2.56)$$

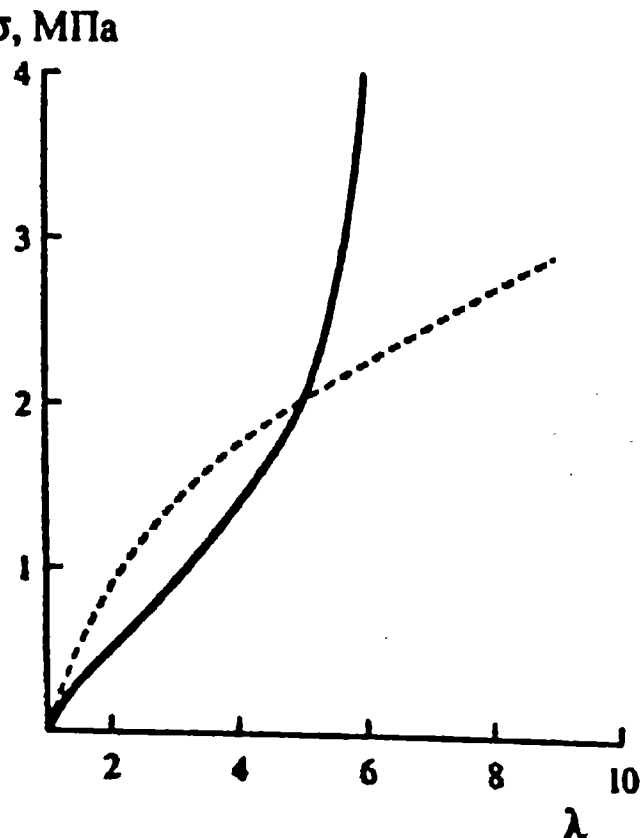


Рис. 2.26. Деформационная кривая «сшитого» каучука. Сплошная линия – эксперимент, пунктир – теория (формула (2.54))

Величина $(\lambda - 1) = \frac{a_x - a_{0x}}{a_{0x}}$ является относительным удлинением, следовательно, модуль упругости полимерной сетки равен

$$E = 3kT\nu, \quad (2.57)$$

где ν – количество сшивок в единице объема. Из уравнения (2.57) следует:

упругость полимерной сетки, определяемая величиной модуля, пропорциональна количеству сшивок в единице объема;

модуль упругости полимерной сетки повышается с увеличением температуры.

Таким образом, из рассмотренного следует, что газы и каучуки, в том числе и «сшитые» (резины), имеют сходные характеристики упругости – их модули упруго-

сти близки и в обоих случаях повышаются с увеличением температуры; кроме того, известно, что сжатие приводит к повышению температуры как газов, так и каучуков. Эта аналогия объясняется одинаковой природой упругости, которая, с одной стороны, может быть охарактеризована как энтропийная, с другой – как молекулярно-кинетическая. Первое указывает на природу обратимости деформации, второе – на способ ее реализации, который связан с перемещением молекул газа и сегментов молекул.

2.3. Вязкоупругость полимерных систем

Характерной особенностью полимерного состояния вещества является то, что все полимерные материалы, а также расплавы и концентрированные растворы полимеров обладают свойствами как упругого тела, так и жидкости. Это общее явление определяется как вязкоупругость, оно ответственно за особый комплекс свойств, присущих полимерным материалам.

2.3.1. Модель Максвелла. Релаксация напряжения

Идеально упругое тело. Поведение идеально упругого тела описывается законом Гука (2.39), а универсальной характеристикой упругости является модуль Юнга E – коэффициент пропорциональности между деформацией и напряжением.

Ньютоновская жидкость. Основным законом, описывающим течение «идеальной», так называемой ньютоновской жидкости, является закон Ньютона–Стокса, иллюстрацией к которому служит рис. 2.27. Слой жидкости толщиной d помещен между двумя плоскопараллельными пластинами, из которых одна с площадью S является подвижной, другая – неподвижной. К верхней подвижной пластине приложена сила f , под действием которой она движется со скоростью v . Благодаря трению, движение передается жидкости, слои которой движутся с убывающей скоростью. Сила f и скорость v связаны уравнением:

$$f = \eta \frac{S \cdot v}{d}, \quad (2.58)$$

где η – коэффициент пропорциональности, называемый вязкостью, который характеризует внутреннее трение в жидкости при ее течении.

Из рис. 2.27 видно, что слои жидкости вовлекаются в течение путем приложения к ним силы (трения) по касательной. В этом случае приложенная сила, отнесенная к единице площади, называется напряжением сдвига, а градиент скорости в направлении, перпендикулярном приложенной силе (пото-

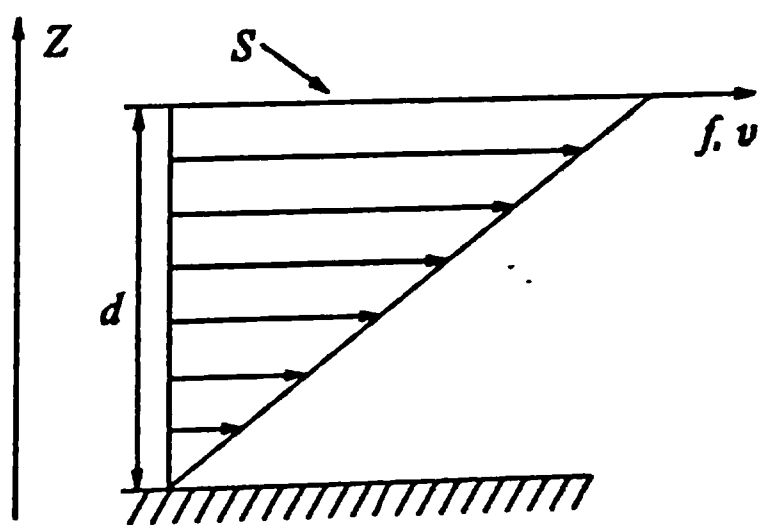


Рис. 2.27. К закону Ньютона–Стокса (пояснения в тексте)

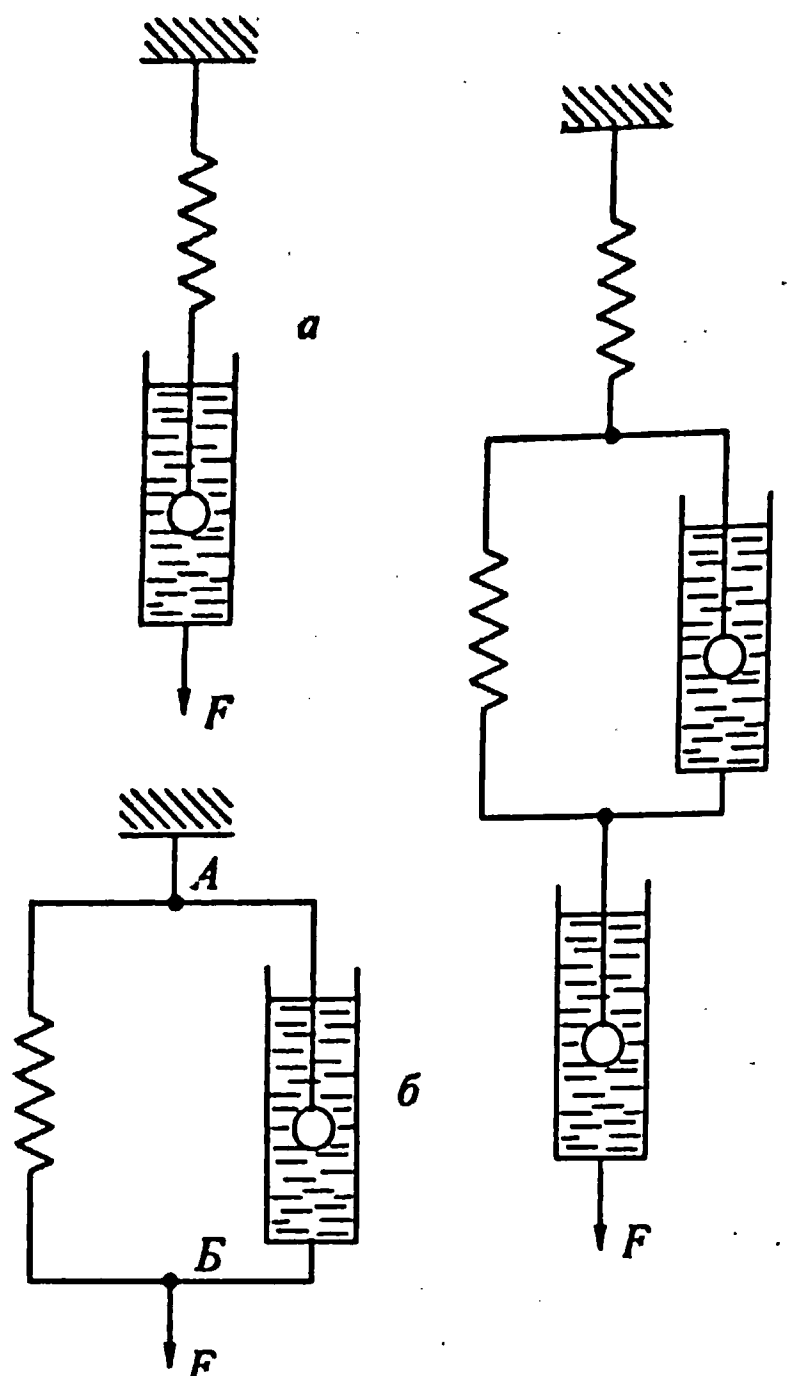


Рис. 2.28. Модели Максвелла (а), Кельвина (б) и объединенная модель (в)

трения движение передается пружине, которая растягивается на определенную величину, запасая упругую энергию. По окончании деформации модели пружина возвращается к исходному состоянию, высвобождая запасенную упругую энергию (упругое последействие), а смещение поршня в цилиндре необратимо.

К упруговязким жидкостям относятся достаточно концентрированные растворы полимеров, жидкие каучуки, расплавы полимеров. Рассмотрим простой опыт, который доказывает наличие упругого последействия в подобных жидкостях. На рис. 2.29 изображена система из двух коаксиальных цилиндров, способных к независимому вращению. Эта система является прообразом ротационного вискозиметра, широко применяемого на практике для измерения вязкости.

Если в зазор между цилиндрами поместить ньютоновскую жидкость, то при вращении внутреннего цилиндра внешний цилиндр также будет вращаться с некоторой постоянной, но меньшей скоростью за счет трения перемещающихся слоев жидкости. При прекращении вращения внутреннего цилиндра сразу остановится. В случае упруговязкой жидкости по прекращении вращения внутреннего цилиндра внешний останавливается не сразу.

ка), – скоростью сдвига. С учетом сказанного уравнение Ньютона–Стокса можно переписать в следующем виде:

$$\sigma = \eta \cdot \gamma, \quad (2.59)$$

где $\sigma = f/S$ – напряжение сдвига, $\eta = v/d$ – скорость сдвига. Жидкости, вязкость которых не зависит от напряжения сдвига, называются ньютоновскими. К ньютоновским жидкостям относят растворы полимеров с малой концентрацией растворенного вещества.

Упруговязкая жидкость, т.е. жидкость, при течении которой накапливаются упругие (обратимые) деформации, может быть представлена механической моделью Максвелла (рис. 2.28), которая состоит из последовательно соединенных пружины (упругий элемент) и демпфера – поршня, передвигающегося в цилиндре с вязкой жидкостью (элемент, представляющий необратимую деформацию).

При нагружении модели поршень передвигается в цилиндре с вязкой жидкостью. За счет силы

Перед остановкой он повернется на несколько градусов в обратную сторону, что является доказательством наличия упругости у жидкости. Выше упоминалось, что параметрами, характеризующими упругое тело и ньютоновскую жидкость, являются модуль упругости E и вязкость η . Какой параметр характеризует упруговязкую жидкость? Ответить на этот вопрос можно с помощью модели, легко поддающейся математическому описанию.

Обозначим модуль упругости пружины через E , вязкость демпфера через η , суммарное напряжение на пружине и поршне – через σ . Тогда, с учетом уравнений (2.39) и (2.58), скорость развития деформации ε можно описать следующим соотношением:

$$\frac{d\varepsilon}{dt} = \frac{d(\varepsilon_{\text{упр}} + \varepsilon_{\text{тек}})}{dt} = \frac{1}{E} \frac{d\sigma}{dt} + \frac{\sigma}{\eta}. \quad (2.60)$$

Рассмотрим случай, когда деформация модели фиксируется, т. е. $\varepsilon = \text{const}$ и напряжение начнет постепенно уменьшаться в результате возвращения пружины к исходному состоянию. Процесс этот является замедленным, поскольку связан с перемещением поршня в вязкой жидкости. Если в начальный момент, отвечающий фиксации деформации, $t = 0$, $\varepsilon = \varepsilon_0$, $\sigma = \sigma_0$ и $d\varepsilon/dt = 0$, то в результате интегрирования уравнения (2.60) получаем:

$$\sigma(t) = E\varepsilon_0 \exp\left\{-\frac{t}{\tau}\right\} \quad (2.61)$$

или

$$\sigma(t) = \sigma_0 \exp\left\{-\frac{t}{\tau}\right\}, \quad (2.62)$$

где

$$\tau = \eta/E. \quad (2.63)$$

Параметр τ называется временем релаксации. Согласно (2.62), τ можно определить как время, в течение которого напряжение уменьшается в «e» раз. Согласно более общему определению, τ можно представить как время, необходимое для перестройки структуры системы, подвергающейся воздействию, из исходного равновесного состояния к конечному. Явление уменьшения напряжения при фиксированной деформации упруговязкого тела называется релаксацией напряжения.

2.3.2. Теория релаксаций

Из уравнения (2.63) следует, что свойства упруговязкой жидкости определяются временем релаксации τ . Для того, чтобы теоретически рассчитать τ концентрированного раствора или расплава полимера, необходимо иметь

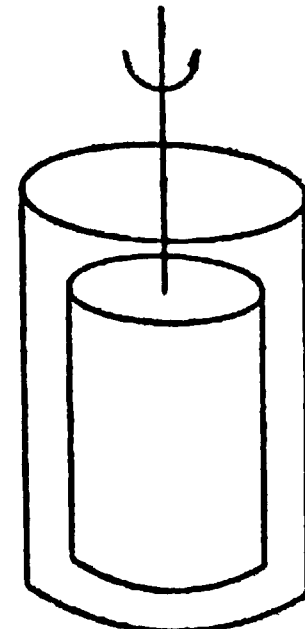


Рис. 2.29. Схема ротационного вискозиметра

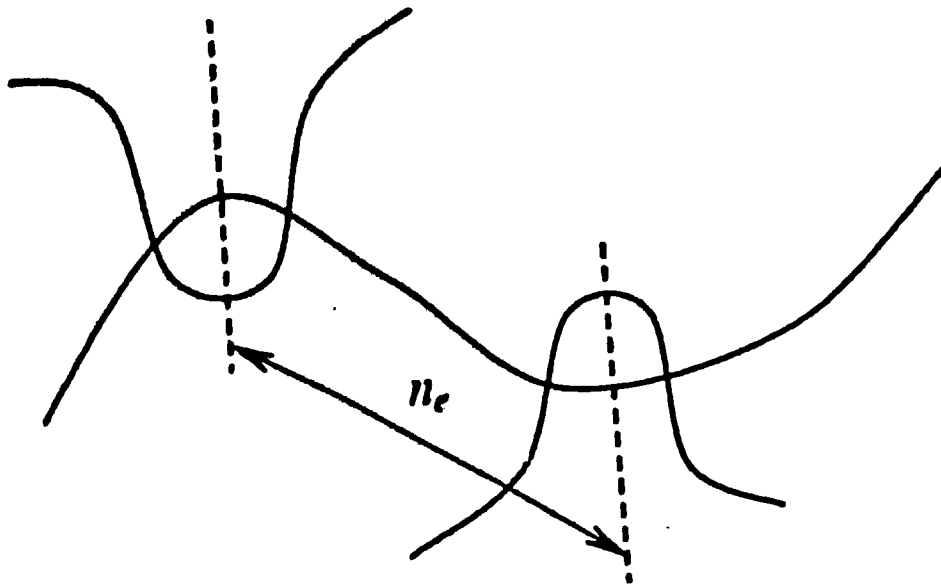


Рис. 2.30. Зацепления макромолекул

их физическую модель. Первое положение, касающееся этой модели, состоит в том, что в концентрированных растворах и расплавах полимеров макромолекулы образуют сплошную флюктуационную сетку зацеплений, подобных тем, что изображены на рис. 2.30.

Образование такой сетки объясняет возникновение упругих свойств у раствора при достижении определенной концентрации полимера. Второе положение касается характера движения макромолекул в окружении себе подобных. Согласно теории рептаций, разработанной в 70-х годах XX века Де Женом, Эдвардсом и Доем, макромолекула в таких условиях движется подобно ужу в куче хвороста, т. е. совершает змееподобные движения в трубке, образованной окружением других макромолекул.

Рассмотрим механизм образования трубы. Для этого необходимо представить, что конформации всех цепей, кроме рассматриваемой нами так называемой «пробной», заморожены. Это и приведет к образованию трубы, поскольку «пробная» макромолекула не может двигаться в направлении, перпендикулярном оси трубы, она может двигаться лишь вдоль этой оси путем змееподобной диффузии, называемой рептацией. Расчеты показывают, что «размораживание» конформаций соседних цепей принципиально не изменяет ситуацию – основным способом перемещения макромолекул остается рептация.

Соседние цепи, образующие стенки трубы, периодически обновляются. Существует характерное время τ^* , аналогичное по физическому смыслу времени релаксации, называемое временем обновления трубы. Его можно также охарактеризовать как время пребывания «пробной» цепи в трубке. Механизм проявления вязкоупругости в рассмотренной модели можно представить на рис. 2.31 следующим образом:

при $t < \tau^*$ упруговязкая полимерная жидкость* проявляет упругий отклик благодаря наличию сетки зацеплений;

при $t > \tau^*$ трубы обновляются, макромолекула успевает выползать из зацеплений, и полимерная жидкость проявляет вязкий отклик.

* Концентрированный раствор полимера с зацеплениями.

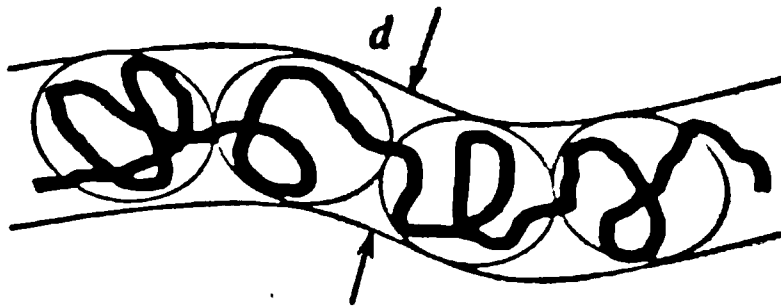


Рис. 2.31. К вычислению параметров трубы согласно теории рептаций

Для того, чтобы вычислить τ на основе рассматриваемой модели, следует оценить параметры трубы. Считается, что флюктуационная сетка зацеплений, присущая упруговязким полимерным жидкостям, образуется при достижении определенной плотности физических сшивок, которая оценивается параметром n_e , равным числу звеньев между двумя сшивками. Для гибкоцепных полимеров $500 > n_e > 50$, что соответствует $10^5 > \bar{M}_n > 10^4$. Для столь длинных участков цепей справедливы все соображения, изложенные в разделе 2.1 о неизбежности сворачивания макромолекул в рыхлые клубки. Отрезок цепи между двумя зацеплениями образует так называемый субклубок или «блоб» с характерным размером

$$d \sim l \cdot n_e^{1/2}, \quad (2.64)$$

который задает толщину трубы. Сама трубка при этом может быть представлена последовательностью n/n_e блобов, где n – число звеньев в цепи, ее длина L_T равна:

$$L_T = (l \cdot n_e^{1/2}) \frac{n}{n_e} = \frac{l \cdot n}{n_e^{1/2}}. \quad (2.65)$$

Естественно, что длина трубы много меньше контурной длины цепи $L = n \cdot l$.

В современной динамической теории полимерных жидкостей, основанной на модели рептаций, принимается, что время релаксации τ^* равно времени выхода макромолекулы из трубы. Из этого следует, что за время τ^* молекула должна продиффундировать на расстояние, равное L_T . Поскольку движение является диффузионным, броуновским, следует применять известное уравнение, описывающее броуновское движение:

$$\Delta x^2 = 2Dt, \quad (2.66)$$

где Δx – смещение в избранном направлении; D – коэффициент диффузии, t – время. Согласно выводу Эйнштейна:

$$D = \frac{kT}{\mu}, \quad (2.67)$$

где μ – коэффициент трения диффундирующей частицы. Коэффициент трения макромолекулы μ_m слагается аддитивно из коэффициентов трения звеньев цепи μ , поэтому

$$D_M = \frac{kT}{\mu l}, \quad (2.68)$$

где D_M – коэффициент диффузии макромолекулы. Объединяя (2.65) и (2.68), получаем:

$$\tau \sim \frac{L_T^2}{D_M} \sim \frac{n^3 l^2 \mu}{n_e kT} \quad (2.69)$$

или, выделяя главное,

$$\tau \sim n^3. \quad (2.70)$$

Последний результат дает возможность найти зависимость вязкости концентрированных растворов и расплавов полимеров от молекулярной массы, используя (2.63). Это важно сделать потому, что полученный результат легко проверить экспериментально. Необходимое для этого выражение для модуля упругости может быть легко получено, исходя из теории эластичности полимерных сеток, рассмотренной в разделе 2.2.4, согласно которой модуль упругости пропорционален плотности сшивки. Применим это положение к флюктуационной сетке зацеплений макромолекул, полагая, что число сшивок в единице объема обратно пропорционально n_e и объему звена цепи l^3 , где l – длина цепи. Тогда:

$$E \sim \frac{kT}{n_e l^3}. \quad (2.71)$$

Подставив (2.71) в (2.63), получаем:

$$\eta = \tau E \sim \frac{\mu}{l \cdot n_e} n^3, \quad (2.72)$$

или

$$\eta \sim n^3 \sim M^3, \quad (2.73)$$

где M – молекулярная масса цепи. Опыт в целом подтверждает зависимость, однако в отдельных случаях наблюдается и несколько более сильная зависимость $\eta \sim M^{3.4}$.

Поскольку многие физические свойства полимеров определяются их большим временем релаксации, целесообразно вернуться к соотношению (2.69). Оно может быть записано в следующем виде:

$$\tau \sim \frac{n^3}{n_e} \tau', \quad (2.74)$$

где $\tau' = \mu l^2 / kT$ можно рассматривать как время релаксации низкомолекулярной жидкости, молекулы которой соизмеримы по величине со звеньями полимерной цепи. Этот вывод следует из допущения по аналогии с опреде-

лением τ для макромолекулы в трубке, что время релаксации низкомолекулярных жидкостей равно времени перемещения молекул на расстояние порядка их размера.

Следует ожидать, что вязкоупругость какого-либо материала или жидкости будет проявляться в том случае, когда время воздействия на него t соизмеримо со временем релаксации τ . Если $t > \tau$, будут проявляться упругие свойства, при $t > \tau$ – течение. Рассмотрим с этой точки зрения низкомолекулярные и полимерные жидкости. Используя типичные значения $t = 0,5$ нм и $D \sim 2 \cdot 10^{-7}$ м²/с, характерные для низкомолекулярных жидкостей, получим $\tau \sim 10^{-12}$ с. Это означает, что при столь малых временах релаксации низкомолекулярные жидкости могут проявлять вязкоупругие свойства лишь при сверхкратких временах воздействия.

Для полимерных жидкостей время релаксации τ в n^3/n_e раз больше по сравнению с низкомолекулярными. Если $n_e \sim 10^2$, $n \sim 10^4$, то n^3/n_e составляет порядка 10^{10} , что приводит ко времени релаксации полимерных жидкостей $\tau \sim 10^{-2}$ с. Сама по себе эта величина уже макроскопическая, однако, как правило, сильные межмолекулярные взаимодействия или водородные связи приводят к значительному увеличению τ (до нескольких секунд) в результате увеличения μ . Поэтому вязкоупругие свойства многих полимерных жидкостей проявляются в макроскопических экспериментах.

2.3.3. Модель Кельвина. Ползучесть

В модели Кельвина упругий и вязкий элементы соединены параллельно (см. рис. 2.28, б). Сила, прилагаемая к модели, эквивалентна напряжениям, развивающимся в вязкоупругом теле, а смещение точек *A* и *B* относительно друг друга – деформации. Данная модель описывает закономерности деформации вязкоупругого тела, которому наиболее полно отвечает сшитый каучук или резина. При приложении к модели силы растягивается пружина и перемещается поршень в цилиндре. Благодаря параллельному соединению упругого и вязкого элементов возникают две характерные особенности деформации:

пружина не может мгновенно растягиваться и сжиматься, поскольку поршень перемещается в вязкой жидкости;

после снятия нагрузки цилиндр в поршне возвращается пружиной к исходному положению, т. е. деформация носит обратимый характер.

Таким образом, в данном случае мы имеем дело с обратимой деформацией, отличающейся от деформации идеально упругого тела тем, что она протекает во времени. Такой вид упругости называется эластичностью или высокоеэластичностью.

При мгновенном задании какого-либо напряжения $\sigma = \text{const}$ развитие деформации происходит с запаздыванием, т. е. со временем деформация будет возрастать. Это явление называется ползучестью. Оно описывается уравнением:

$$\varepsilon = \varepsilon_0 (1 - e^{-t/\theta}), \quad (2.75)$$

где ϵ_0 – предельно достигаемая деформация, которая зависит от модуля упругости пружины $E_{\text{упр}}$:

$$\epsilon = \lim_{t \rightarrow \infty} \epsilon = \sigma / E_{\text{упр}}, \quad (2.76)$$

а θ – время запаздывания – параметр, характеризующий скорость ползучести; он равен времени, за которое деформация достигнет значения, равного $(1 - 1/e) \approx 0,63$ от предельного равновесного. Параметр θ связан с характеристиками модели соотношением:

$$\theta = \eta / E. \quad (2.77)$$

2.3.4. Динамическая вязкоупругость

При постоянной нагрузке или определенной деформации моделей или материалов вязкоупругость называется статической, при переменных нагрузках и деформациях – динамической. Переменные нагрузки изучаются с помощью модели Кельвина, переменные деформации – с помощью модели Максвелла.

Упругий гистерезис. Упругий гистерезис проявляется при периодическом деформировании, а также при электрической поляризации полимеров. Упругий механический гистерезис оказывает большое влияние на эксплуатационные свойства полимеров. На рис. 2.32 приведена зависимость напряжения как функции циклически изменяющейся деформации. Зависимость имеет форму петли, одна часть которой отвечает растяжению образца, другая – сокращению. Несовпадение зависимостей, отвечающих растяжению – сжатию, свидетельствует о потере части упругой энергии, которая превращается в тепло и необратимо рассеивается в результате трения, возникающего при перемещении сегментов и при определенных условиях макромолекул. В последнем случае в системе накапливается необратимая деформация. Следует иметь в виду, что приведенная на рис. 2.32 петля гистерезиса соответствует одному циклу нагружения, для нескольких следующих

циклов форма петли изменится, что связано, главным образом, с разогревом образца вследствие механических потерь. При установленном тепловом режиме петля приобретает форму эллипса и остается неизменной.

Наибольшее практическое значение имеет проявление упругого гистерезиса при циклическом нагружении по гармоническому закону:

$$\sigma = \sigma_0 \sin \omega t, \quad (2.78)$$

где ω – круговая частота, связанная с периодом колебания v соотношением $\omega = 2\pi/v$; σ_0 – амплитудное значение напряжения. В данном

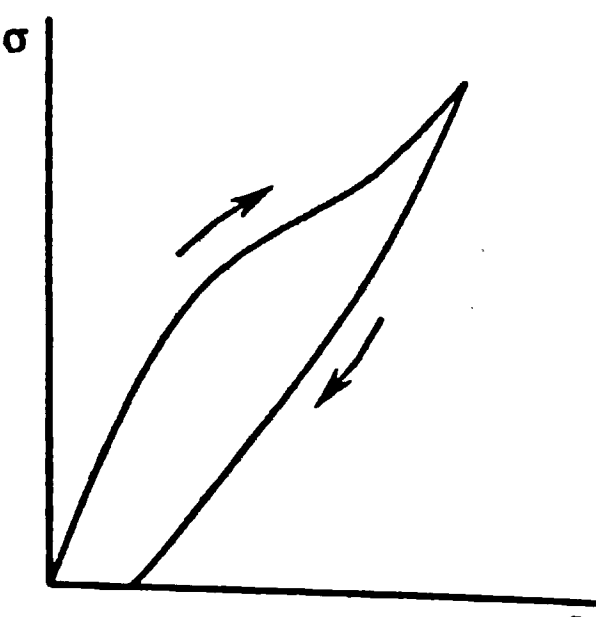


Рис. 2.32. Механический упругий гистерезис

случае упругий гистерезис проявляется в отставании ε от σ на некоторый угол сдвига фаз δ :

$$\sigma = \sigma_0 \sin(\omega t - \delta). \quad (2.79)$$

Угол сдвига фаз связан с так называемыми механическими потерями, т. е. долей упругой энергии, превращенной в тепловую, которые пропорциональны площади петли гистерезиса, изображенной на рис. 2.32.

Динамическая вязкоупругость и, в частности, обусловленные ею динамические потери, могут быть охарактеризованы с помощью комплексного модуля. Зададим модели Максвелла деформацию по гармоническому закону, выраженному функцией с комплексной переменной:

$$\varepsilon = \varepsilon_0 \exp\{i\omega t\}, \quad (2.80)$$

где $i = \sqrt{-1}$, из (2.61) получаем:

$$\sigma(t) = E\varepsilon_0 \frac{i\omega t}{1 + i\omega t} \exp\{i\omega t\}. \quad (2.81)$$

Учитывая, что $E = \sigma/\varepsilon$, имеем:

$$E^* = E' + iE'', \quad (2.82)$$

где E^* – комплексный модуль упругости; E' – динамический модуль упругости, E'' – модуль механических потерь, характеризующий внутреннее трение в системе. Два последних соответственно равны:

$$E' = E \frac{\omega^2 \tau^2}{1 + \omega^2 \tau^2}, \quad (2.83)$$

$$E'' = E \frac{\omega \tau}{1 + \omega^2 \tau^2}, \quad (2.84)$$

где τ – время релаксации, а E отвечает максимальному значению модуля упругости, когда $\omega \rightarrow \infty$ и релаксационные процессы сведены к минимуму, при этом $E'' = 0$, $E^* = E' = E$.

Для угла δ , характеризующего в модели Максвелла сдвиг фаз периодических зависимостей деформации и напряжения, справедливо соотношение:

$$\operatorname{tg} \delta = E''/E', \quad (2.85)$$

а для механических потерь цикла соотношение:

$$A = \pi \sigma_0 \varepsilon_0 E''/E'. \quad (2.86)$$

Поскольку $\operatorname{tg} \delta \sim A$, то $\operatorname{tg} \delta$, называемый тангенсом угла механических потерь, является мерой последних.

Аналогичный подход разработан по отношению к модели Кельвина. В данном случае в соответствии с гармоническим законом задается напряжение

$$\sigma = \sigma_0 \exp\{i\omega t\}, \quad (2.87)$$

при этом деформация отстает и ее изменение во времени описывается зависимостью:

$$\varepsilon = \frac{\sigma_0}{E} \frac{1}{1 + i\omega\theta} \exp\{i\omega t\}, \quad (2.88)$$

где θ – время запаздывания. Используем в данном случае податливость – величину, обратную модулю $C = 1/E$. Комплексная податливость C^* равна:

$$C^* = C' - iC'', \quad (2.89)$$

где C' – динамическая податливость; C'' – податливость потерь, которые, в свою очередь, равны:

$$C' = \frac{1}{E} \frac{1}{(1 + \omega^2\theta^2)}, \quad (2.90)$$

$$C'' = \frac{1}{E} \frac{\omega\theta}{(1 + \omega^2\theta^2)}. \quad (2.91)$$

В модели Кельвина деформация запаздывает от прилагаемого напряжения. Угол сдвига фаз соответствующих гармонических колебаний равен:

$$\delta = \arctg C''/C'. \quad (2.92)$$

На рис. 2.33 приведены некоторые зависимости динамических модуля упругости и податливости, наряду с модулем потерь и податливостью потерь.

Видно, что с увеличением частоты модуль потерь и податливость потерь уменьшаются до нуля. Это означает, что при большой частоте и, следовательно, малом времени воздействия макромолекулы и сегменты не вовлекаются в движение, вследствие чего потери упругой энергии, связанные с внутренним трением, отсутствуют. По той же причине при больших частотах динамиче-

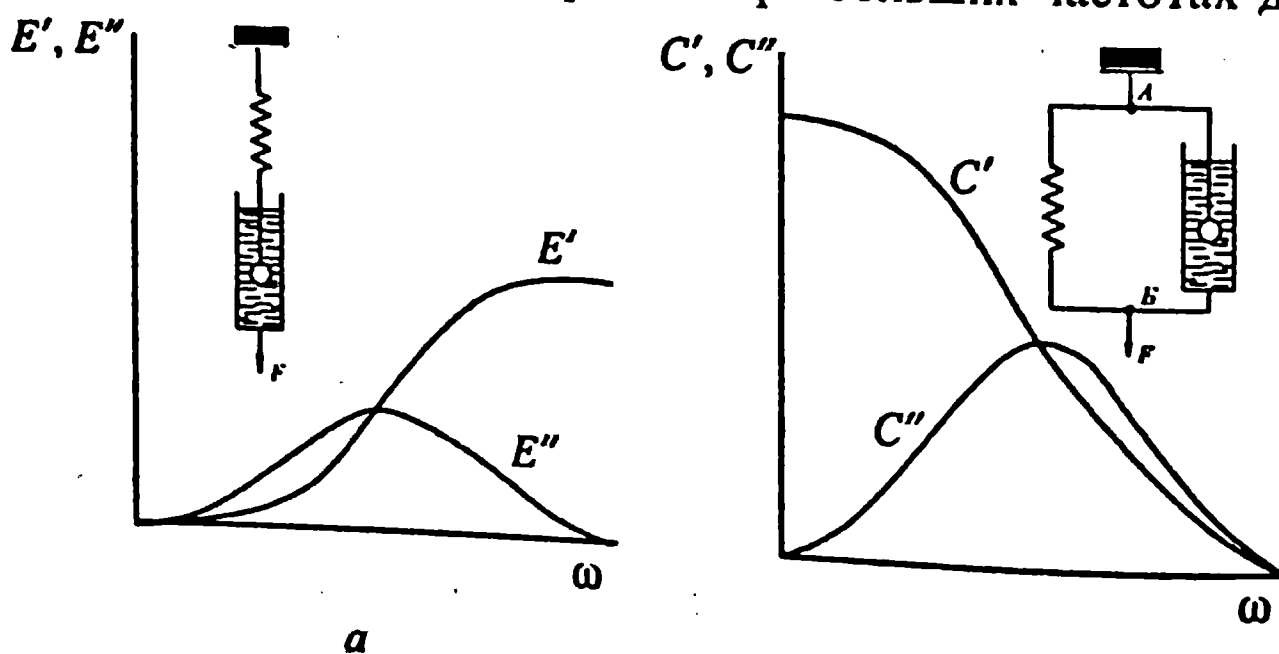


Рис. 2.33. Частотная зависимость динамического модуля упругости и модуля потерь (а), динамической податливости и податливости потерь (б)

ский модуль достигает максимального значения, а динамическая податливость сводится к нулю. Это означает, что как вязкоупругое тело, так и упруговязкое, при больших частотах воздействия ведут себя как идеально упругое.

2.3.5. Релаксационные свойства полимеров. Принцип суперпозиции

В общем случае под релаксационными явлениями в полимерах понимают изменение их свойств во времени, обусловленное достижением равновесного состояния. В принципе релаксационные явления должны иметь место при любых процессах, протекающих в полимерных системах, связанных с подвижностью макромолекул или ее фрагментов. Известны электрические, магнитные, механические релаксационные явления, явления, наблюдаемые при плавлении, кристаллизации, стекловании, растворении, набухании полимеров. При изучении свойств полимеров в широком интервале температур проявляются так называемые релаксационные переходы, связанные с возникновением или исчезновением подвижности тех или иных фрагментов макромолекул или макромолекулы в целом.

В основе механических релаксационных явлений в полимерах, которые проявляются как зависимость упругости и вязкости от времени, лежит явление вязкоупругости. Выше с использованием моделей Максвелла и Кельвина были охарактеризованы важнейшие вязкоупругие свойства полимеров:

релаксация напряжения и ползучесть при статическом характере нагружения;

отставание деформации от напряжения (или наоборот) при динамических нагрузках или деформациях.

Для описания релаксационных свойств реального полимера, т. е. зависимости тех или иных его свойств от времени, необходимо:

а) использовать обобщенную модель (см. рис. 2.28, в) для того, чтобы отразить все возможные виды деформаций;

б) увеличить количество вязких и упругих элементов в модели с различными E и η пружины и демпферов. При этом будет получен спектр времен релаксации τ и времен запаздывания θ , позволяющий со сколь угодно большой точностью приблизиться к количественному описанию релаксационных свойств полимеров.

На рис. 2.34 приведена зависимость, отражающая развитие деформации во времени обобщенной модели вязкоэластоупругого полимерного тела.

Как видно из рис. 2.34, при приложении напряжения $\sigma_0 = \text{const}$ начинает развиваться деформация, включающая три составляющие:

$\epsilon_{\text{упр}}$ – обратимая упругая деформация, развивающаяся мгновенно, обусловлена деформацией упругого элемента – пружины с модулем E_1 , последовательно присоединенной к модели, она равна σ_0/E_1 . В полимере развивается за счет незначительного изменения значений углов и длины связей;

$\epsilon_{\text{эл}}$ – высокоеэластичная обратимая деформация, обусловленная растяжением пружины с модулем E_2 и демпфера, связанных параллельно, равна σ_0/E . В полимерном теле реализуется за счет подвижности сегментов;

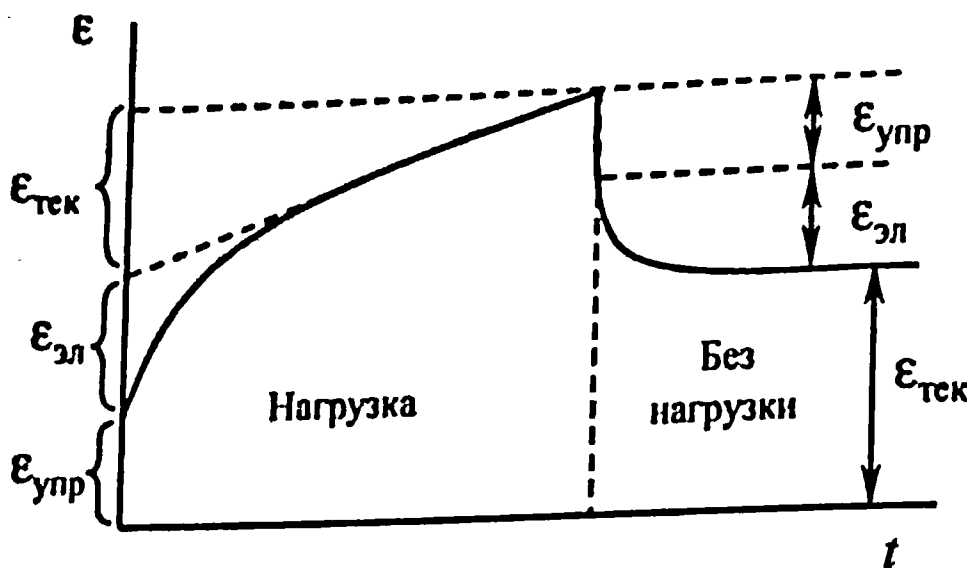


Рис. 2.34. Изменение во времени деформации объединенной модели

$\epsilon_{тек}$ – необратимая деформация течения, развивается за счет растяжения демпфера, присоединенного к модели последовательно, в полимерном теле – за счет перемещения макромолекул.

После сброса нагрузки мгновенно исчезает $\epsilon_{упр}$, затем в течение некоторого времени исчезает $\epsilon_{эл}$, $\epsilon_{тек}$ – необратима.

На рис. 2.35 представлены кривые изменения относительной деформации нагруженного полипропилена во времени. Такие кривые обычно называют кривыми ползучести, однако, это не совсем корректно, ибо к истинной ползучести относят лишь ту, которая связана с эластичностью (см. разд. 2.3.3).

Можно сделать вывод, что:

1. $\epsilon_{упр}$ достигает 3–5 %;
2. $\epsilon_{эл}$ развивается за время, порядка минут, в этом случае эластичность характеризуется модулем эластичности $E_{эл} = \left(\frac{\partial \epsilon}{\partial T} \right)_{\epsilon \rightarrow 0}$;

3. Большие деформации достигаются за счет «холодного течения», которое обычно называют установившейся ползучестью.

Из рис. 2.35 видно, что в области установившейся ползучести деформация возрастает быстрее, чем это следует из закона Ньютона.

Принцип температурно-временной суперпозиции. Результаты динамических испытаний полимеров показывают, что влияние температуры и частоты на отставание деформации от напряжения эквивалентно. Из рис. 2.36

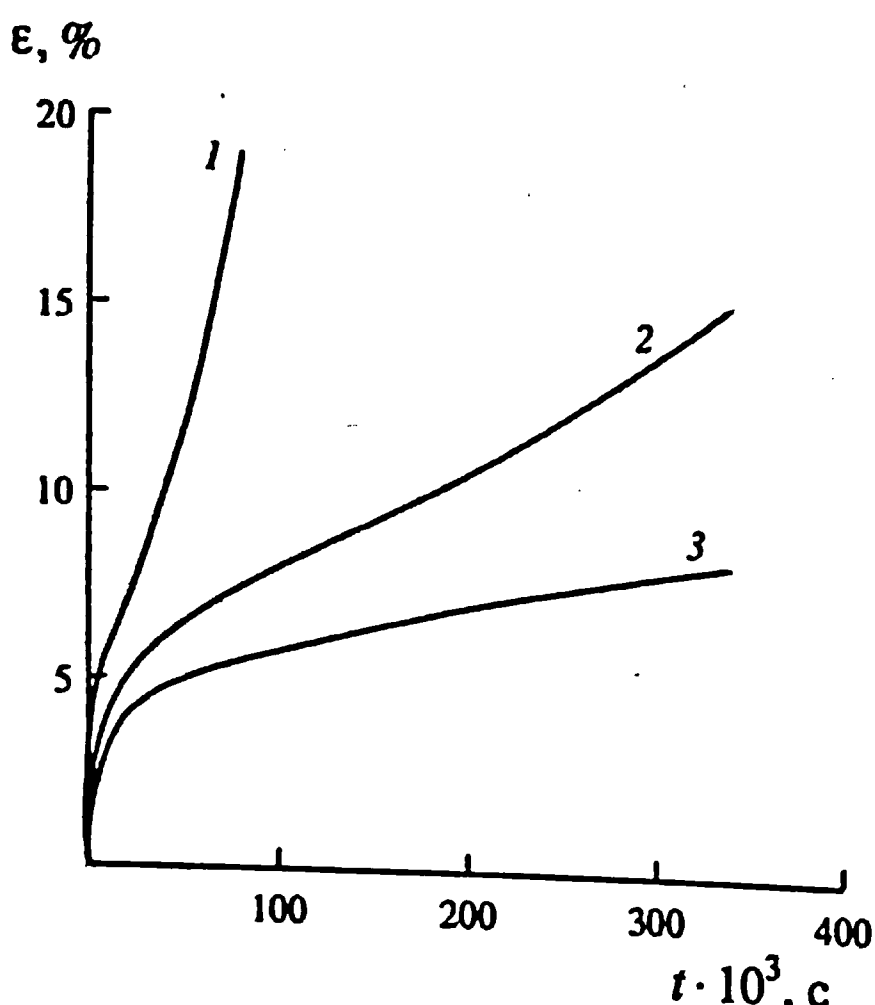


Рис. 2.35. Кривые изменения относительной деформации полипропилена при температуре испытаний -50°C и различных нагрузках: 1 – 20,69; 2 – 18,97; 3 – 17,24 МПа

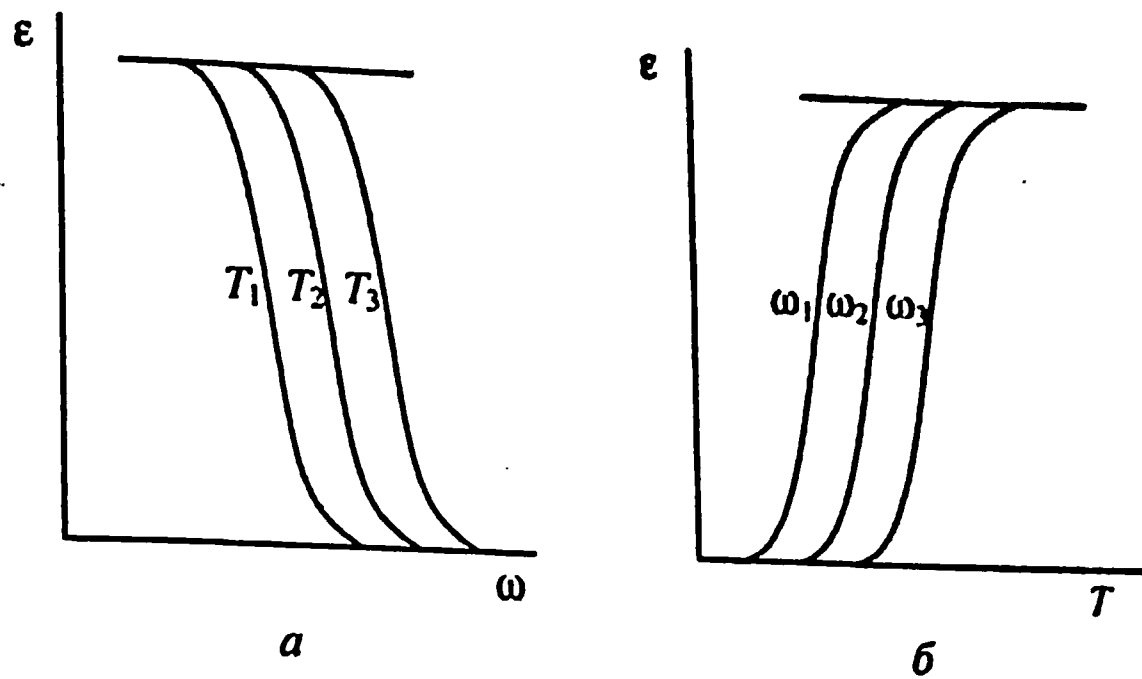


Рис. 2.36. Частотная (а) и температурная (б) зависимости амплитуды деформации.
 $T_1 > T_2 > T_3, \omega_1 > \omega_2 > \omega_3$

следует, что при больших частотах и низких температурах деформация не успевает развиваться из-за малого времени воздействия и малой подвижности сегментов макромолекул. При малых частотах и высоких температурах деформация достигает максимально возможного (равновесного) значения, так как в этих условиях подвижность сегментов реализуется полностью.

Отставание деформации от напряжения в этих опытах обусловлено тем, что время релаксации, понимаемое как время перестройки полимера, отстает от времени воздействия порядка периода колебаний. Однако это время можно существенно сократить путем повышения температуры, т.к. при этом происходит увеличение интенсивности различных форм молекулярного движения. В общем случае:

$$\tau = B \cdot \exp\{E_0/kT\}, \quad (2.93)$$

где B – постоянная, зависящая от объема структурного элемента. Следовательно, глубина релаксации определяется двумя факторами – временем и температурой и их влияние эквивалентно. Эквивалентность факторов времени и температуры позволяет осуществлять взаимный пересчет вязкоупругих характеристик полимерных материалов, такой подход носит название принципа температурно-временного приведения или температурно-временной суперпозиции.

Вернемся к разд. 2.3.1, в котором описана релаксация напряжения. Уменьшение напряжения во времени при фиксированной деформации означает уменьшение модуля упругости, который в этом случае называется релаксационным модулем упругости и обозначается $E_{(t)}$. Предположим, что мы хотели бы иметь значения $E_{(t)}$ в широком временном интервале при $T = T_0$. Для этого целесообразно в целях экономии времени воспользоваться методом приведения. За основу берутся экспериментальные данные по временной зависимости $E_{(t)}$ в узком интервале при $T > T_0$ и $T < T_0$.

Поскольку большие времена эквивалентны высоким температурам с точки зрения влияния на глубину релаксации, то для получения зависимости $E_{(t)}$ при $T = T_0$ при больших временах по сравнению с изученными необходимо

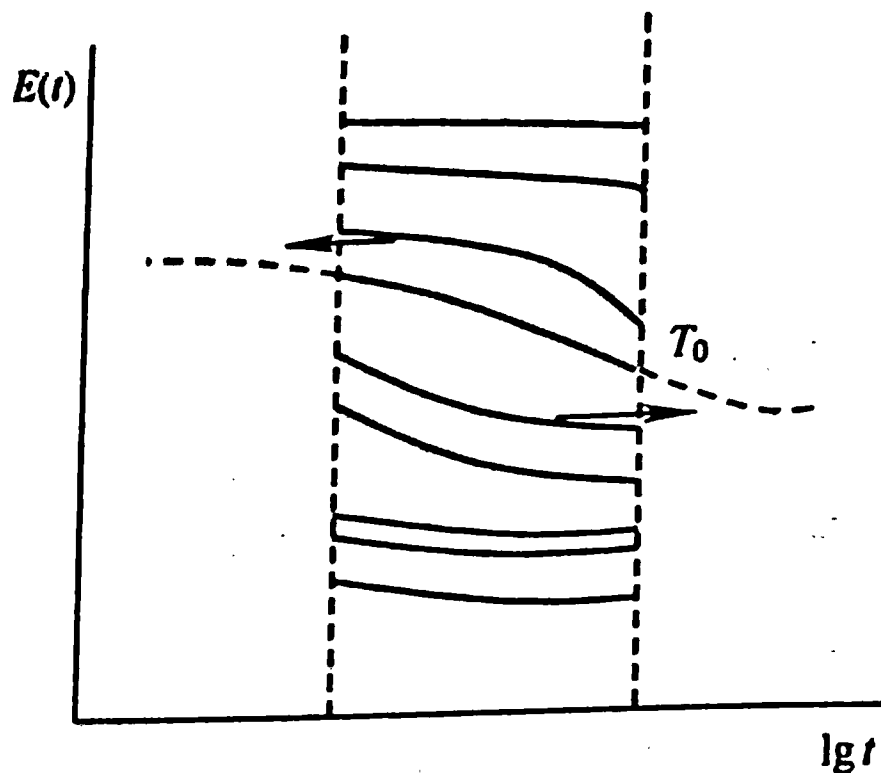


Рис. 2.37. К методу температурно-временной суперпозиции

одну из экспериментальных зависимостей, отвечающих условию $T > T_0$ (они лежат ниже базовой кривой, соответствующей T_0), сдвинуть вправо до совпадения с базовой кривой. Если нас интересует изменение $E(t)$ при малых временах, то необходимо сдвинуть одну из кривых, лежащих над базовой кривой ($T = T_0$) и отвечающих условию $T < T_0$, влево. В результате получается обобщенная кривая зависимости релаксационного модуля упругости в интервале от очень больших до очень малых времен. На рис. 2.37 экспериментальная часть кривой проведена сплошной линией, расчетные – пунктирной. Пересчет рассмотренных в предыдущих системах релаксационного модуля упругости и податливости, составляющих комплексного модуля упругости и комплексной податливости от температуры T к стандартной температуре T_0 производится по следующим формулам:

$$E_{T_0}\left(\frac{t}{\alpha_T}\right) = \frac{T_0\rho_0}{T\rho} E_T(t), \quad (2.94)$$

$$C_{T_0}\left(\frac{t}{\alpha_T}\right) = \frac{T\rho}{T_0\rho_0} C_T(t), \quad (2.95)$$

$$E'_{T_0}(\omega\alpha_T) = \frac{T_0\rho_0}{T\rho} E'_T(\omega), \quad (2.96)$$

$$E''_{T_0}(\omega\alpha_T) = \frac{T_0\rho_0}{T\rho} E''_T(\omega), \quad (2.97)$$

$$C'_{T_0}(\omega\alpha_T) = \frac{T\rho}{T_0\rho_0} C'_T(\omega), \quad (2.98)$$

$$C''_{T_0}(\omega \alpha_T) = \frac{T\rho}{T_0\rho_0} C''_T(\omega), \quad (2.99)$$

где уравнения (2.94), (2.95) относятся к статическим испытаниям, (2.96)–(2.99) – к динамическим; во всех случаях t – время, ρ и ρ_0 – плотности при температурах T и T_0 , обычно $T\rho/T_0\rho_0 \approx 1$.

Фактор сдвига или приведения α_T зависит только от температуры, он рассчитывается из соотношения:

$$\lg \alpha_T = -\frac{C_1(T - T_s)}{C_2 - (T - T_s)}, \quad (2.100)$$

где $C_1 = 8,86$, $C_2 = 101,6$ – постоянные, практически не зависящие от природы полимера, T_s – температура приведения, превышающая температуру стеклования T_c полимера на 50 °С: $T_s = T_c + 50$ °С (установлено опытом).

Физический смысл коэффициента α_T определяется отношением:

$$\alpha_T = \frac{\tau_T}{\tau_{T_0}}, \quad (2.101)$$

где τ_T и τ_{T_0} – времена релаксации, отвечающие температуре T , от которой приводятся данные, и температуре T_0 , к которой приводятся данные. По-

Таблица 2.5

Характеристические температуры T_s для ряда полимеров и стеклющихся жидкостей

Полимер	T_s , °С	$T_s - T_c$
Полиизобутилен	-30	41
Полистирол	145	45
Поливинилацетат	76–78	44–46
Полиметилакрилат	51	48
Полиметилметакрилат	158–160	53–57
Поливинилхлорид	123	49
Сополимер (бутадиен – стирол, 75:25)	-5	57
Натуральный каучук:		
– невулканизированный	-22	51
– слабо вулканизированный	-22	51
Низкомолекулярные соединения:		
глюкоза	78	46
$\text{H}-\text{пропиловый спирт}$	-130	45
пропиленгликоль	-56	57
глицерин	-35	51

скольку время релаксации определяется, прежде всего, вязкостью системы, то, согласно полуэмпирическому уравнению,

$$\alpha_T = \frac{(\eta/T\rho)}{(\eta_0/T_0\rho_0)} = \frac{\eta T_0 \rho_0}{\eta_0 T \rho}, \quad (2.102)$$

где η_0 , ρ_0 и η , ρ – вязкость и плотность полимера или его концентрированного раствора при температурах T и T_0 .

Принцип температурно-временной суперпозиции разработан в трудах Вильямса, Ландела и Ферри. Этот принцип является универсальным по отношению к системам с вязкоупругими свойствами – полимерам, расплавам и растворам полимеров, переохлажденным низкомолекулярным жидкостям, о чем можно судить, в частности, по близости значений $T_s - T_c$ (табл. 2.5).

ГЛАВА 3. РАСТВОРЫ ПОЛИМЕРОВ

Длительное время растворы высокомолекулярных соединений относили к лиофильным коллоидным. Считалось, что дисперсная фаза таких растворов состоит из мицелл-агрегатов макромолекул. Еще в 30-е гг. XX в. немецкий химик Г. Штаудингер одним из первых указывал, что полимеры в растворах диспергированы до макромолекул.

Решающее влияние на изменение взглядов на природу растворов высокомолекулярных соединений оказало построение первых фазовых диаграмм состояния растворитель – полимер и применение к ним правила фаз в работах Каргина, Папкова, Роговина. Из их опытов с очевидностью вытекало, что растворы высокомолекулярных соединений являются термодинамически обратимыми и, следовательно, истинными.

Для растворов высокомолекулярных соединений, так же как для коллоидных, характерны существенно меньшие величины скоростей диффузии, осмотического давления, изменения температур замерзания и кипения по сравнению с растворами низкомолекулярных соединений. Напротив, интенсивность светорассеяния растворов высокомолекулярных соединений и коллоидных на несколько порядков больше по сравнению с растворами низкомолекулярных веществ.

Вместе с тем растворы высокомолекулярных соединений имеют специфические, присущие только им свойства, наиболее важными из которых являются большая вязкость и наличие стадии набухания растворяемого вещества, предшествующего растворению.

Концентрацию растворов высокомолекулярных соединений обычно выражают в массовых, объемных долях или процентах растворенного вещества, а также числом граммов полимера в 100 мл раствора.

3.1. Термодинамика растворов полимеров

3.1.1. Используемые термодинамические понятия и величины

При изложении термодинамики растворов часто используют парциальные величины, которые характеризуют изменение экстенсивных свойств системы при добавлении бесконечно малого количества одного из компонентов. Так, парциальный мольный объем \bar{V}_i определяется выражением:

$$\bar{V}_i = \left(\frac{\partial V}{\partial n_i} \right)_{p,T,n_j(i \neq j)}, \quad (3.1)$$

где V – объем компонента i в смеси; n_i – число молей компонента i .

Парциальный мольный объем в общем случае не равен объему одного моля вещества. Если мы имеем смесь двух веществ, содержащую n_1 моль компонента 1 и n_2 моль компонента 2, то общий объем смеси должен быть выражен лишь через парциальные объемы:

$$V = \bar{V}_1 n_1 + \bar{V}_2 n_2 \quad (3.2)$$

и лишь для очень разбавленных растворов ($n_1 \gg n_2$) можно записать:

$$V = V_1^0 n_1 + \bar{V}_2 n_2. \quad (3.3)$$

Парциальная мольная функция Гиббса \bar{G}_i называется химическим потенциалом и обозначается как μ_i :

$$\mu_i = \bar{G}_i = \left(\frac{\partial G_i}{\partial n_i} \right)_{p,T,n_j(i \neq j)} \quad (3.4)$$

Если смесь состоит из нескольких компонентов, количество каждого из которых определяется числом молей n_i , то функция Гиббса системы равна:

$$G = \sum_i \bar{G}_i n_i = \sum_i \mu_i n_i. \quad (3.5)$$

Аналогично определяются понятия парциальной мольной энталпии и энтропии:

$$\bar{H}_i = \left(\frac{\partial H_i}{\partial n_i} \right)_{p,T,n_j(i \neq j)}, \quad (3.6)$$

$$\bar{S}_i = \left(\frac{\partial S_i}{\partial n_i} \right)_{p,T,n_j(i \neq j)} \quad (3.7)$$

Для парциальных величин справедливы все известные термодинамические соотношения.

Согласно определению, для идеального раствора:

$$d\mu_i = RT(d \ln X_i), \quad (3.8)$$

где X_i – мольная доля компонента i в смеси. После интегрирования (3.8) получаем:

$$\mu_i = \mu_i^0 + RT \ln X_i, \quad (3.9)$$

где μ_i^0 является константой, называемой стандартным химическим потенциалом. Если уравнение (3.9) справедливо при всех значениях X_i , то $\mu_i^0 = G_i^0$, т. е. величина μ_i^0 равна мольной функции Гиббса чистого компонента i , отсюда:

$$\Delta\mu_i = \mu_i - G_i^0 = RT \ln X_i, \quad (3.10)$$

где $\Delta\mu_i$ можно рассматривать как изменение химического потенциала растворителя при образовании раствора. Для реальных растворов в уравнении

(3.9) вместо концентрации используется активность a . Для предельно разбавленных растворов принимают, что активность равна концентрации. Наиболее общей термодинамической характеристикой раствора при постоянной температуре и давлении является функция Гиббса. Образование смеси из нескольких компонентов происходит в том случае, когда функция Гиббса системы уменьшается:

$$\Delta G = \Delta H - T\Delta S < 0. \quad (3.11)$$

Величины ΔG , ΔH , ΔS называются соответственно функцией Гиббса, энтальпией и энтропией смешения, они определяются соотношениями:

$$\Delta G_{\text{см}} = G - \sum_i n_i \mu_i^0, \quad (3.12)$$

$$\Delta H_{\text{см}} = H - \sum_i n_i \bar{H}_i^0, \quad (3.13)$$

$$\Delta S_{\text{см}} = S - \sum_i n_i \bar{S}_i^0, \quad (3.14)$$

где \bar{H}_i^0 , \bar{S}_i^0 равны мольным значениям H_i^0 , S_i^0 для чистых компонентов при тех же условиях, когда $\mu_i^0 = G_i^0$; G , H и S относятся к раствору.

3.1.2. Принципы расчета энтальпии и энтропии смешения

Принципы расчета энтальпии и энтропии смешения были развиты в работах Гильдебранда, Ван-Лаара, Лоренца и др. в 20–30 гг. XX в. применительно к растворам низкомолекулярных соединений и в 40-х гг. – Флори для растворов высокомолекулярных соединений.

Энтальпия смешения. При растворении происходит разрыв слабых межмолекулярных физических связей между одинаковыми молекулами, что приводит к поглощению тепла и образованию новых связей между разными молекулами, что сопровождается выделением тепла. Следовательно, суммарный тепловой эффект будет зависеть от энергии межмолекулярных контактов каждого типа и от числа контактов, приходящихся на одну молекулу. Рассмотрим процесс смешения двух веществ, молекулы которых имеют равные объемы. Обозначим через e_{ij} энергию одного контакта, т. е. энергию, необходимую для разделения двух молекул, и через E_{ij} – энергию, необходимую для разделения одного моля пар молекул. Пусть один моль компонента 2 переносится в большой избыток компонента 1. Тогда необходимая для этого энергия ΔE будет связана с энергиями межмолекулярных контактов следующим образом:

$$\Delta E = Z \left(\frac{E_{11}}{2} + \frac{E_{22}}{2} - E_{12} \right), \quad (3.15)$$

где E_{11} , E_{22} , E_{12} – мольные энергии взаимодействия одинаковых и разных молекул, Z – число контактов одной молекулы с окружающими ее молекулами. Величина ΔE или аналогичная ей $\Delta e = \Delta E/N_A$, где N_A – число Авогадро, называется энергией взаимообмена. Исходя из (3.15), можно выделить три случая.

При $E_{12} = (E_{11} + E_{22})/2$ растворение является атермическим, такая ситуация характерна для смешения неполярных веществ.

При $E_{12} > (E_{11} + E_{22})/2$ растворение является экзотермическим, т. е. происходит с выделением энергии в форме теплоты. Такая ситуация характерна для сильного межмолекулярного взаимодействия разных молекул, вызванного, например, образованием водородных связей.

Наибольший интерес представляет третий случай. В 1925 г. Ван-Лааром и Лоренцем было высказано предположение, что для веществ умеренной полярности

$$\Delta E_{12} = \sqrt{E_{11}E_{22}} \leq \frac{E_{11} + E_{22}}{2}. \quad (3.16)$$

Считается, что соотношение (3.16) хорошо описывает межмолекулярное взаимодействие посредством наиболее универсальных дисперсионных сил, следовательно, оно применимо к широкому кругу систем.

Из (3.16) следует, что тепловой эффект смешения малополярных веществ является эндотермическим, поскольку среднее геометрическое всегда меньше среднего арифметического.

Энергии межмолекулярных контактов непосредственно измерить невозможно, однако, они могут быть выражены через макровеличины. При парообразовании или сублимации тепловой эффект обусловлен затратой (расходом) энергии на разрыв межмолекулярных связей, следовательно:

$$\Delta_v H_1 = \frac{ZE_{11}}{2}, \quad \Delta_v H_2 = \frac{ZE_{22}}{2}, \quad (3.17)$$

где $\Delta_v H_1$, $\Delta_v H_2$ – мольные энталпии парообразования или сублимации компонентов 1 и 2. Объединяя уравнения (3.16)–(3.18), получаем:

$$\Delta E = \Delta_v H_1 + \Delta_v H_2 - 2\sqrt{(\Delta_v H_1) \cdot (\Delta_v H_2)} = (\Delta_v H_1^{1/2} - \Delta_v H_2^{1/2})^2. \quad (3.18)$$

В более сложном случае, когда мольные объемы смешивающихся веществ V_1^0 и V_2^0 различаются, следует использовать другое уравнение. Оно может быть легко получено, исходя из аналогичных рассуждений на основе решеточной модели. При этом допускается, что число контактов молекулы с окружающими ее другими молекулами пропорционально мольному объему первой. Подобным путем было получено:

$$\Delta E = V_1 \Phi_1 \Phi_2 \left[\left(\frac{\Delta_v H_1}{V_1} \right)^{1/2} - \left(\frac{\Delta_v H_2}{V_2} \right)^{1/2} \right]^2 \quad (3.19)$$

или

$$\Delta E = V \varphi_1 \varphi_2 (\delta_1 - \delta_2)^2, \quad (3.20)$$

где V – объем смеси (раствора); φ_1, φ_2 – объемные доли компонентов. Величина $\Delta_v H/V$, равная энергии парообразования единицы объема жидкости или сублимации единицы объема твердого вещества, называется плотностью энергии когезии.

Величина

$$\delta = (\Delta_v H/V)^{1/2} \quad (3.21)$$

называется параметром растворимости Гильдебранда. В настоящее время это единственный количественный параметр, на основе которого можно сделать вывод о вероятности смешения (растворения) веществ. Считается, что вероятность образования истинного, т. е. термодинамически устойчивого рас-

Таблица 3.1

Значения параметров растворимости некоторых растворителей, полимеров и мономеров

Растворители	$\delta \cdot 10^{-3}$, (Дж/м ³) ^{0.5}	Полимеры	$\delta \cdot 10^{-3}$, (Дж/м ³) ^{0.5}	Мономеры	$\delta \cdot 10^{-3}$, (Дж/м ³) ^{0.5}
н-Гексан	14,6	Политетрафторэтилен	12,5	Изопрен	14,8
Диэтиловый эфир	14,8	Полидиметилсилоксан	14,6	Бутилметакрилат	17,0
н-Октан	15,1	Полизобутилен	15,8	Винилхлорид	17,8
Этилацетат	18,2	Полиэтилен	15,9	Метилакрилат	18,2
Бензол	18,3	Полизопрен	16,3	Стирол	18,3
Хлороформ	18,6	Полибутилметакрилат	17,6	Метилметакрилат	18,4
Дихлорэтан	19,6	Полистирол	18,2	Винилацетат	18,4
Тетрагидрофуран	19,8	Полиметилметакрилат	18,6	Акрилонитрил	21,4
Нитробензол	20,0	Поливинилакетат	18,8	N-Винилпирролидон	22,2
Ацетон	20,2	Поливинилхлорид	19,1		
Диметилформамид	24,2	Полиэтилентерефталат	20,2		
Этанол	25,4	Эпоксидная смола	21,8		
Метанол	29,0	Полиоксиметилен	22,0		
Вода	46,4	Полиакрилонитрил	30,8		

твора тем больше, чем меньше разница в величинах параметров растворимости компонентов, и максимальна при $\delta_1 = \delta_2$.

Рассмотренные представления были перенесены на растворы высокомолекулярных соединений, однако в этом случае, ввиду нелетучести макромолекул, параметры растворимости полимера приходится определять косвенным путем. Один из них состоит в том, что слабо сшитые образцы полимера помещают в разные растворители и за значение его параметра растворимости принимают значение параметра растворимости того растворителя, в котором полимер набухает в наибольшей степени. Согласно другому методу, измеряют характеристическую вязкость полимера в различных растворителях и за величину его параметра растворимости принимают величину параметра растворимости того растворителя, где характеристическая вязкость раствора полимера максимальна. В табл. 3.1 приведены значения параметров растворимости ряда растворителей, полимеров и мономеров.

Параметры растворимости оказались полезными при подборе растворителей полимеров, особенно в лакокрасочной промышленности, пластификаторов, приготовлении смесей полимеров. Существуют способы расчета параметров растворимости низкомолекулярных соединений и полимеров, исходя из вкладов функциональных групп. В случае смесей растворителей параметр растворимости рассчитывается по аддитивной схеме. Однако, как следует из рис. 3.1, параметры растворимости некоторых смесей далеки от аддитивности.

Со временем представления о природе параметра растворимости расширились. Согласно Хансону, величина параметра растворимости определяется всеми составляющими сил межмолекулярного взаимодействия:

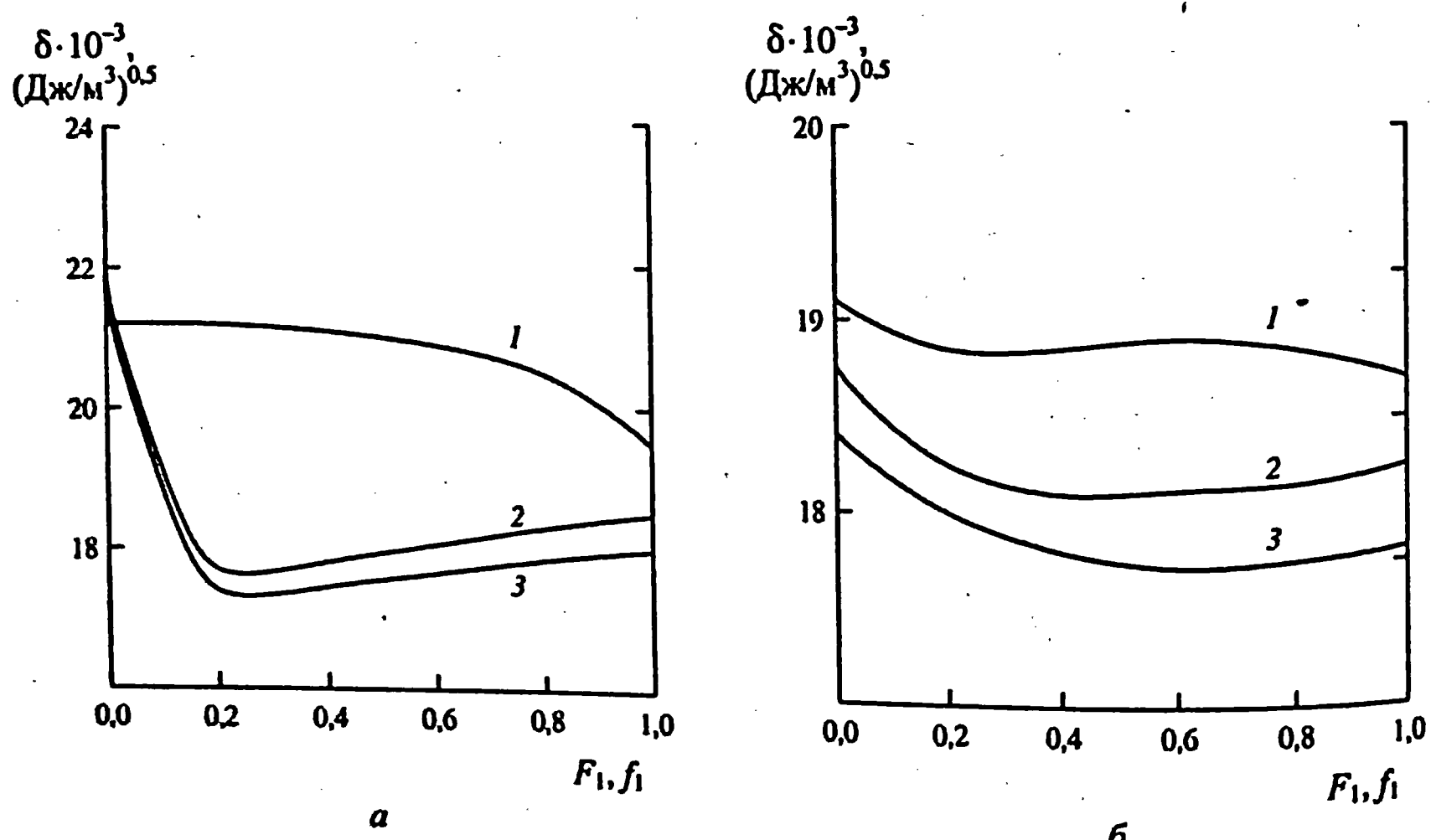


Рис. 3.1. Зависимость параметров растворимости смеси мономеров (1) и сополимера (2 – 25 °C, 3 – 45 °C) от состава; а – винилацетат – N-винилпирролидон, б – стирол – метилметакрилат. F_1, f_1 – мольные доли винилацетата и стирола в сополимере и мономерной смеси

$$\delta = \sqrt{\delta_d^2 + \delta_h^2 + \delta_i^2}, \quad (3.22)$$

где δ_d , δ_h , δ_i – вклады, определяемые дисперсионными силами, водородными связями и индукционным эффектом.

В общем случае энергия взаимообмена ΔE определяет изменение внутренней энергии системы при смешении компонентов. И лишь в том случае, когда объем не меняется, тепловой эффект растворения практически равен энергии взаимообмена, т. е.

$$\Delta E \approx -\Delta H. \quad (3.23)$$

Энтропия смешения. Рассмотрим изменение энтропии при смешении двух компонентов с одинаковым размером молекул и одинаковой энергией взаимодействия всех молекул ($\Delta E = 0$). В этом случае можно ожидать, что останутся неизменными составляющие энтропии, обусловленные вращательным, поступательным и колебательным движениями молекул, и, кроме того, в смеси появится новая составляющая энтропии, связанная с возможностью перестановок молекул относительно друг друга. Это специфическое прращение энтропии при образовании смеси носит название конфигурационной энтропии S_k . Исходя из сказанного выше, можно полагать, что для идеальных смесей именно этот вклад практически полностью обуславливает энтропию смешения, т. е.

$$\Delta S_{cm} = S_k. \quad (3.24)$$

Для расчета S_k представим, что каждая из молекул смеси расположена в ячейке плоской решетки. Если мы имеем N_1 молекул компонента 1 и N_2 молекул компонента 2, то число возможных перестановок в $N_1 + N_2$ ячейках решетки равно:

$$W = \frac{(N_1 + N_2)!}{N_1! \cdot N_2!}. \quad (3.25)$$

Рассматривая число перестановок как число микросостояний и, следовательно, как термодинамическую вероятность системы, мы можем применить формулу Больцмана:

$$S_k = k \ln W, \quad (3.26)$$

где k – постоянная Больцмана. Преобразовав (3.25) при помощи формулы Стирлинга ($y! = y/e^y$) и используя полученный результат в правой части (3.26), окончательно получаем:

$$\Delta S = S_k = -k(N_1 \ln X_1 + N_2 \ln X_2) \quad (3.27)$$

или

$$\Delta S = S_k = -R(n_1 \ln X_1 + n_2 \ln X_2), \quad (3.28)$$

где N_1, N_2 – число молекул; n_1, n_2 – число молей; X_1, X_2 – мольные доли компонентов 1 и 2; R – универсальная газовая постоянная, связанная с постоянной Больцмана k через число Авогадро $k = R/N_A$.

3.1.3. Теория Флори–Хаггинса

Первая термодинамическая теория растворов полимеров была разработана независимо Флори и Хаггинсом в 40–50 гг. XX в. Эта теория сыграла большую роль в понимании физической природы растворов полимеров, многие ее положения используются до настоящего времени.

В теории Флори–Хаггинса предполагается, что раствор является регулярным*, а звенья цепей распределены равномерно по всему объему. Это условие не может быть выполнено для очень разбавленных растворов, так как в таком растворе клубки разделены чистым растворителем. Поэтому, строго говоря, теория Флори–Хаггинса применима лишь к умеренно концентрированным или полуразбавленным растворам, для которых характерно заметное перекрывание клубков.

Расчет энтропии и энтальпии смешения в теории Флори–Хаггинса проводится на основе модели квазикристаллической решетки, каждая ячейка которой может быть занята либо молекулой растворителя, либо сегментом макромолекулы. В данном случае под сегментом понимается отрезок цепи, объем которого равен объему молекулы растворителя. На рис. 3.2 приведено двухмерное изображение заполненной решетки. Предполагается, что $\Delta V_{\text{см}} = 0$. Общее количество ячеек в решетке равно $N_1 + \sigma N_2$, где

$N_1 = n_1 \cdot N_A$, $N_2 = n_2 \cdot N_A$; n_1, n_2 – число молей молекул растворителя и растворенного вещества; $\sigma = \bar{V}_2 / \bar{V}_1$ – число сегментов цепи.

Каждая ячейка окружена определенным числом ближайших ячеек. Это число, называемое координационным, обозначается как Z . Оно зависит от типа решетки, однако, на конечные результаты теории влияния не оказывает.

Обозначим через f_i долю ячеек, занятых сегментами:

$$f_i = \sigma N_2^i / (N_1 + \sigma N_2), \quad (3.29)$$

где N_2^i – i молекул N_2 . Рассмотрим число возможных способов размещения $(N_2^i + 1)$ -й макромолекулы, по-

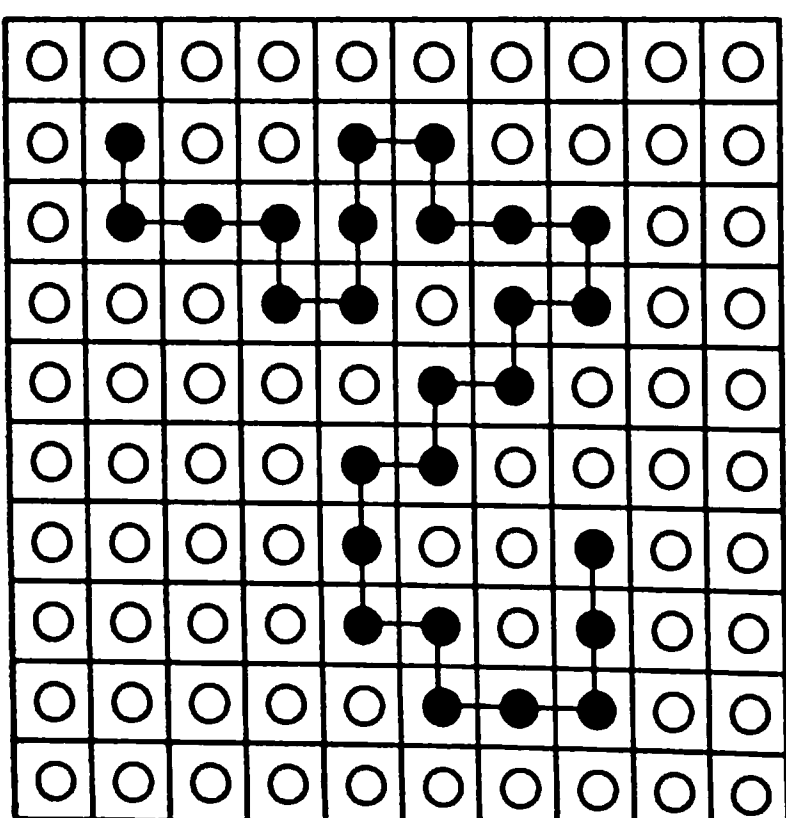


Рис. 3.2. Решеточная модель раствора полимера

* Регулярный раствор, в отличие от идеального, не является атермическим, но имеет такое же случайное распределение молекул растворенного вещества и растворителя.

следовательно заполняя ячейки сегментами. Первый сегмент может быть помещен в любую свободную ячейку, т. е. $(1 - f_i)(N_1 + \sigma N_2)$ способами. Второй сегмент необходимо поместить в одну из Z ячеек, окружающих первый сегмент. Третий сегмент необходимо поместить в $Z - 1$ ячейку из окружающих второй сегмент. В теории Флори-Хаггинаса принимается, что число способов размещения сегментов не отличается, начиная с третьего, оно обозначается как $(1 - f_i)y$, где y зависит от гибкости цепи. Из рассмотренного следует, что число способов размещения $(N_2^i + 1)$ -ой макромолекулы в решетке пропорционально произведению чисел способов размещения последовательно связанных сегментов:

$$v_{i+1} = \frac{1}{2}(1 - f_i)^\sigma(N_1 + \sigma N_2)Zy^{\sigma-2}. \quad (3.30)$$

Множитель $1/2$ вводится по той причине, что концы макромолекулы неразличимы, а при изложенном подходе каждая макромолекула помещается в решетку два раза, начиная с одного и другого конца.

После завершения расположения макромолекул на оставшиеся места (свободные ячейки) помещаются молекулы растворителя. Однако они не отличаются друг от друга, поэтому имеется лишь один способ их размещения. В итоге общее число возможных вариантов размещения сегментов в растворе, т. е. число микросостояний выражается произведением:

$$W = \frac{1}{N_2!} \prod_{i=0}^{N_2-1} v_{i+1}, \quad (3.31)$$

где член $1/N_2!$ введен для того, чтобы учесть перестановки макромолекул между собой, которые не влияют на W . После логарифмирования уравнения (3.31) и ряда преобразований*, включающих использование формулы Стирлинга и уравнения (3.26), получаем:

$$\Delta S = Rn_1 \ln \frac{n_1 + \sigma n_2}{n_1} + Rn_2 \ln \frac{n_1 + \sigma n_2}{n_2}. \quad (3.32)$$

Поскольку в рассматриваемой модели предполагается равенство объемов, занимаемых молекулой растворителя и сегмента макромолекулы, то:

$$\varphi_1 = \frac{n_1}{n_1 + \sigma n_2}, \quad \varphi_2 = \frac{\sigma n_2}{n_1 + \sigma n_2}, \quad (3.33)$$

где φ_1, φ_2 – объемные доли растворителя и растворенного полимера. С учетом этого уравнение (3.32) приобретает следующий вид:

$$\Delta S_{\text{см}} = -R(n_1 \ln \varphi_1 + n_2 \ln \varphi_2). \quad (3.34)$$

* Тенфорд Ч. Физическая химия полимеров. М.: Химия, 1965.

На основе решеточной модели раствора была также рассчитана энталпия смешения $\Delta H_{\text{см}}$. Обозначим e_{11} , e_{22} , e_{12} энергию одного контакта, т.е. энергию, необходимую для разделения двух молекул растворителя, двух сегментов макромолекул и молекулы растворителя с сегментом полимера. Каждая молекула растворителя имеет в своем непосредственном окружении (координационной сфере) из Z ячеек

$Z \frac{N_1}{N_1 + \sigma N_2}$ молекул растворителя
и $Z \frac{\sigma N_2}{N_1 + \sigma N_2}$ сегментов макромолекул.

То же самое можно сказать о сегментах макромолекул, но, поскольку их контакты с растворителем учтены выше, отметим лишь то, что каждый сегмент контактирует с

$Z \frac{\sigma N_2}{N_1 + \sigma N_2}$ другими сегментами.

С учетом обозначенных выше контактов энталпия смешения n_1 моль и n_2 моль растворенного вещества (полимера) будет описываться следующим выражением:

$$\Delta H_{\text{см}} = -\frac{ZN_A}{n_1 + \sigma n_2} \left(\frac{1}{2} n_1^2 e_{11} + \sigma n_1 n_2 e_{12} + \frac{1}{2} \sigma^2 n_2^2 e_{22} \right) + \\ + \frac{ZN_A}{2} (n_1 e_{11} + \sigma n_2 e_{22}). \quad (3.35)$$

Это выражение можно переписать в более простой форме:

$$\Delta H_{\text{см}} = n_1 \Phi_2 \Delta E, \quad (3.36)$$

где ΔE – энергия взаимообмена, в данном случае равная:

$$\Delta E = ZN_A \left(\frac{1}{2} e_{11} + \frac{1}{2} e_{22} - e_{12} \right). \quad (3.37)$$

Поскольку число Z не может быть определено в рамках теории Флори–Хаггинса, вводится полуэмпирический параметр χ , называемый параметром взаимодействия Флори–Хаггинса. Согласно определению:

$$\chi_1 = \frac{\Delta e}{kT} = \frac{\Delta E}{RT}, \quad (3.38)$$

где Δe и ΔE – молекулярная и молярная энергии взаимообмена. Из (3.38) следует, что χ_1 численно равен энергии, необходимой для переноса одной молекулы или одного моля растворителя из чистого растворителя в полимер, отнесенной к «тепловой» энергии kT или RT . С учетом (3.38)

$$\Delta H_{\text{см}} = n_1 \Phi_2 \chi_1 RT. \quad (3.39)$$

Используя выражение для $\Delta S_{\text{см}}$ (3.34) и для $\Delta H_{\text{см}}$ (3.39), легко может быть получено выражение для функции Гиббса смешения:

$$\Delta G_{\text{см}} = RT(n_1 \ln \varphi_1 + n_2 \ln \varphi_2 + \chi_1 n_1 \varphi_1). \quad (3.40)$$

Выражение, описывающее изменение химического потенциала растворителя в растворе полимера, Флори и Хаггинс получили через парциальную энталпию и энтропию смешения \bar{H}_1 и \bar{S}_1 , поскольку

$$\Delta \mu_1 = \Delta \bar{H}_1 - T \Delta \bar{S}_1. \quad (3.41)$$

Конечный результат имеет вид:

$$\Delta \mu_1 = RT[\ln(1 - \varphi_2) + (1 - \frac{1}{\sigma})\varphi_2 + \chi_1 \varphi_2^2]. \quad (3.42)$$

Выражения для активности компонентов получены Хаггинсом. Ниже приводится одно из них, описывающее активность растворителя в растворе полимера:

$$\ln a_1 = \ln \varphi_1 + (1 - \bar{V}_1/\bar{V}_2)\varphi_2 + \chi_1 \varphi_2^2. \quad (3.43)$$

Уравнения (3.40), (3.42), (3.43) наиболее значимы в рассматриваемой теории. Знак $\Delta G_{\text{см}}$ определяет принципиальную возможность растворения, а значения $\Delta \mu_1$ и $\ln a_1$ определяют экспериментально изучаемые свойства растворов полимеров – осмотическое давление и упругость пара растворителя над раствором.

Теория Флори – Хаггинса, несмотря на недостатки, некоторые из которых будут отражены ниже, по праву считается классической, а параметр взаимодействия χ_1 до настоящего времени остается основным параметром, характеризующим термодинамические свойства растворов и смесей полимеров. Значения этого параметра для некоторых систем приведены в табл. 3.2, откуда следует, что имеет место некоторая зависимость χ_1 от концентрации раствора и молекулярной массы полимера, хотя теория не предусматривает ни того, ни другого. Существует несколько вариантов «улучшенной» теории. Один из них разработан Флори и Киргбаумом для разбавленных растворов полимеров.

В модели Флори – Хаггинса предполагалось, что заполнение любой ячейки решетки равновероятно для молекулы или сегмента. Такое допущение справедливо лишь при $\Delta E \approx 0$. Если $\Delta E \neq 0$, то некоторые из контактов являются более предпочтительными, а это означает, что энтропия смешения не равна в точности конфигурационной энтропии. Эти соображения привели к необходимости корректировки теории, которая была проведена Флори и Киргбаумом путем введения некоторых дополнительных параметров. Было предположено, в частности, что параметр взаимодействия χ имеет две составляющие – энергетическую и энтропийную, обозначенные как κ_1 и ψ_1 . Их физический смысл определяется уравнениями:

$$\Delta \bar{H}_1 = RT\kappa_1\phi_2^2. \quad (3.44)$$

$$\Delta \bar{S}_1 = R\psi_1\phi_2^2. \quad (3.45)$$

Рассмотрим происхождение второго параметра. В первоначальной теории для парциальной энтропии растворителя получено:

$$\Delta \bar{S}_1 = \frac{\partial \Delta S}{\partial n} = -R \ln(1 - \phi_2) - R \left(1 - \frac{1}{\sigma}\right) \phi_2. \quad (3.46)$$

Разложив $\ln(1 - \phi_2)$ в ряд и ограничившись двумя его первыми членами, получаем:

$$\Delta \bar{S}_1 = -R \left(-\frac{\phi_2^2}{2} - \frac{\phi_2}{\sigma}\right). \quad (3.47)$$

При большом числе σ вторым членом уравнения можно пренебречь, следовательно:

$$\Delta \bar{S}_1 = R \frac{\phi_2^2}{2}. \quad (3.48)$$

Поскольку оказалось, что парциальная энтропия смешения зависит от природы растворителя, авторы ввели множитель ψ_1 , чтобы учесть это явление. В результате было получено уравнение (3.45), приведенное выше.

Если в первоначальном варианте теории энергия взаимообмена Δe была выражена через параметр χ_1 , то в усовершенствованном варианте Флори и

Таблица 3.2

**Параметр термодинамического взаимодействия χ_1
для некоторых растворов полимеров**

Полимер	χ_1 , растворитель		
Полиэтилен	0,36 бензол	-0,02 циклогексан	-0,05 <i>n</i> -декан
Полизобутилен	0,55 <i>n</i> -пентан $\phi_2 = 0,297$	0,673 ...	0,630 ...
Полистирол	0,434 дихлорэтан $M = 2,4 \cdot 10^4$	0,468 $\phi_2 = 0,496$	0,478 $\phi_2 = 0,744$
Полиметилметакрилат	0,437 бензол	$M = 5,1 \cdot 10^5$	$M = 1,8 \cdot 10^6$
Поливинилхлорид	0,770 бензол	0,452 толуол	0,478 ацетон
Натуральный каучук	0,418 бензол	0,457 диоксан	0,506 хлорбензол
		0,444 <i>n</i> -декан	1,36 ацетон

Киргбаум связали Δe с параметрами ψ_1 , κ_1 и θ -температурой следующим образом:

$$\frac{1}{2} - \frac{\Delta e}{RT} = \psi_1 - \kappa_1 = \psi_1 \left(1 - \frac{\theta}{T} \right). \quad (3.49)$$

Связь между упомянутыми выше параметрами дается соотношением:

$$\kappa_1 = \psi_1 \theta / T. \quad (3.50)$$

3.1.4. Коллигативные свойства растворов полимеров. Осмотическое давление

К коллигативным свойствам относятся:

снижение давления пара растворителя в растворе по сравнению с чистым растворителем;

понижение температуры замерзания раствора по сравнению с температурой замерзания растворителя;

повышение температуры кипения раствора по сравнению с температурой кипения растворителя;

осмотическое давление.

Общее определение коллигативных свойств состоит в том, что они являются количественной мерой химического потенциала растворителя в растворе.

Другое определение коллигативных свойств состоит в том, что они являются количественной мерой числа частиц растворенного вещества. Под частицами в данном случае понимаются молекулы, коллоидные частицы, макромолекулы. Для того, чтобы убедиться в справедливости такого определения, преобразуем уравнение (3.9). Для очень разбавленных растворов полимеров, когда $X_2 \rightarrow 0$, можно записать:

$$\ln X_1 = \ln(1 - X_2) = -X_2 - \frac{1}{2}X_2^2 - \dots, \quad (3.51)$$

что приводит к

$$\Delta\mu_1 = -RT \left(X_2 + \frac{1}{2}X_2^2 + \dots \right). \quad (3.52)$$

Выразим концентрацию растворенного вещества через молярную концентрацию. В рассматриваемом случае ($X_2 \rightarrow 0$) объем раствора практически равен $n_1 V_1^0$, где n_1 – число молей растворителя, а V_1^0 – его молярный объем. Поскольку при $n_1 \gg n_2$ $X_2 \approx n_2/n_1$, то $C_2 = \frac{n_2}{n_1 V_1^0} 1000$, где V_1^0 выражен в миллилитрах. С практической точки зрения целесообразно использовать

вать массовые концентрации, поскольку это дает возможность определять по значениям коллигативных свойств молекулярные массы растворенного вещества. Если выражать массовую концентрацию через количество граммов растворенного вещества в 1 мл раствора, то:

$$c_2 = C_2 M_2 / 1000, \quad (3.53)$$

где c_2, C_2 – массовая и молярная концентрации; M_2 – молекулярная масса растворенного вещества. С учетом рассмотренного, уравнение (3.52) может быть записано следующим образом:

$$\Delta\mu_1 = -RTV_1^0 \left(\frac{1}{M_2} c_2 + \frac{V_1^0}{2M_2^2} c_2^2 + \dots \right). \quad (3.54)$$

Из уравнения (3.54) следует, что $\Delta\mu_1$ растворителя и, следовательно, значения коллигативных свойств растворов определяются числом частиц (c_2/M_2) растворенного вещества.

Коллигативные свойства обычно используются для определения молекулярной массы растворенных веществ. Значения этих свойств малы для растворов полимеров по сравнению с растворами низкомолекулярных соединений с одинаковыми массовыми концентрациями растворенного вещества. Однако значения осмотического давления разбавленных растворов (порядка 10 мм рт. ст.) вполне пригодны для измерения. Поэтому данный метод широко используется для нахождения среднечисловой молекулярной массы полимеров и термодинамической характеристики их растворов.

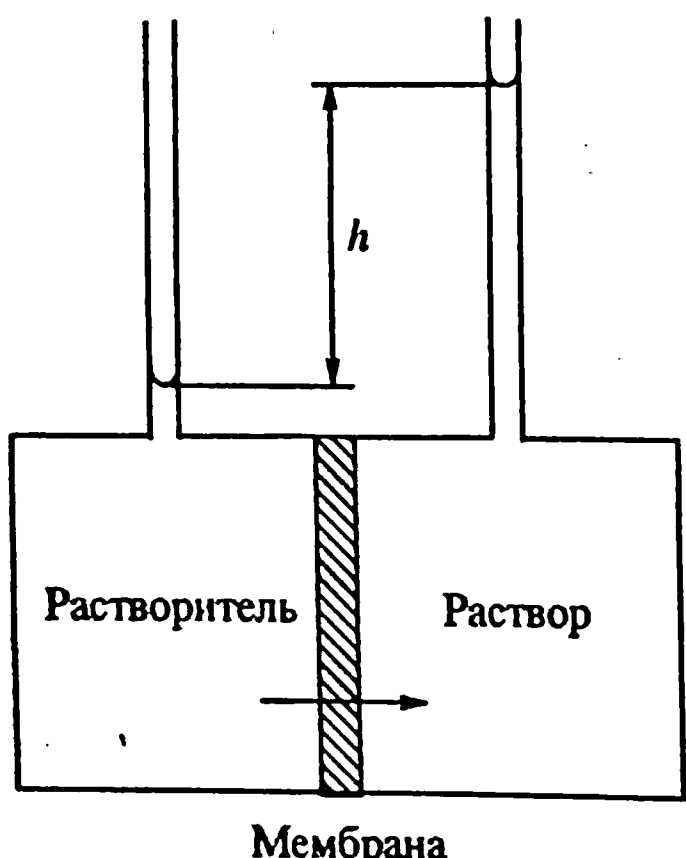


Рис. 3.3. Принципиальная схема осмометра; h – высота столба жидкости, уравновешивающего осмотическое давление

Осмотическое давление возникает вследствие самопроизвольной диффузии растворителя из раствора меньшей концентрации (или растворителя) в раствор большей концентрации через полупроницаемую перегородку (рис. 3.3). Избыточное гидростатическое давление, возникающее в той области, куда переносится растворитель, препятствует его диффузии, в результате чего в течение определенного времени устанавливается равновесие. Величина осмотического давления принимается равной гидростатическому давлению столба жидкости в капилляре, погруженном в жидкость той камеры осмометра (прибор для измерения), в которую направлен диффузионный поток растворителя (рис. 3.3).

При установлении равновесия химический потенциал растворителя по обе стороны мембранны, т. е. в растворе и растворе-

рителе, должен быть одинаков. Следовательно, осмотическое давление можно определить как давление, которое следует приложить к раствору с тем, чтобы увеличить химический потенциал растворителя в нем до величины, характерной для чистого растворителя, т.е. $\mu_1^0 = G_1^0$:

$$\Delta\mu_1 = \mu_1 - \mu_1^0 = \mu_1 - G_1^0 = \int_{P_0}^{P_0 + \pi} \left(\frac{\partial\mu_1}{\partial P} \right)_{T,P} dP. \quad (3.55)$$

Поскольку $\partial\mu_1/\partial P = \bar{V}_1$, и последняя величина практически не зависит от давления, то:

$$\Delta\mu_1 = -\pi \cdot \bar{V}_1. \quad (3.56)$$

В пределе, для очень разбавленных растворов, близких по свойствам к идеальным, используя (3.54) и ограничиваясь первым членом ряда в скобках, можно получить уравнение Вант-Гоффа:

$$\lim_{c \rightarrow 0} \left(\frac{\pi}{c_2} \right) = \frac{RT}{M_2}. \quad (3.57)$$

Среднечисловая молекулярная масса полимеров. Уравнение (3.57) необходимо скорректировать с учетом полидисперсности полимера. Рассмотрим пример, содержащий n_1, n_2, n_3, \dots моль макромолекул с молекулярными массами M_1, M_2, M_3, \dots . Суммарные массы макромолекул с одинаковой молекулярной массой в этом случае будут равны $c_1 = n_1 M_1, c_2 = n_2 M_2, c_3 = n_3 M_3 \dots$, а суммарная масса полимера $c = c_1 + c_2 + c_3 + \dots = \sum n_i M_i$.

Уравнение (3.57) можно записать в виде:

$$\pi = nRT, \quad (3.58)$$

где n – число молей растворенного вещества, тогда для раствора полидисперсного полимера

$$\pi = \sum_i n_i RT. \quad (3.59)$$

Разделив уравнение (3.59) на $c = \sum_i n_i M_i$ и учитывая, что, согласно определению, среднечисловая молекулярная масса полимера равна $\overline{M}_n = \frac{\sum_i n_i M_i}{\sum_i n_i}$, окончательно получаем:

$$\lim_{c \rightarrow 0} \left(\frac{\pi}{c_2} \right) = \frac{RT}{\overline{M}_n}. \quad (3.60)$$

3.1.5. Уравнение состояния. Термодинамическая характеристика раствора

В том случае, когда нужно охарактеризовать осмотическое давление раствора полимера в достаточно широком диапазоне концентраций, раствор нельзя рассматривать как идеальный с невзаимодействующими молекулами растворенного вещества. Химический потенциал растворителя в реальном растворе наилучшим образом может быть представлен степенным рядом, т. е. путем вириального разложения.

Применительно к разбавленному реальному раствору указанный подход приводит к следующему выражению для химического потенциала растворителя:

$$\Delta\mu_1 = -RTV_1^0 c \left(\frac{1}{M_2} + A_2 \cdot c + A_3 \cdot c^2 + \dots \right). \quad (3.61)$$

Исходя из (3.61) и с учетом (3.56), зависимость осмотического давления раствора от концентрации растворенного вещества будет представлена следующим выражением:

$$\frac{\pi}{c} = RT \left(\frac{1}{M_2} + A_2 \cdot c + A_3 \cdot c^2 + \dots \right), \quad (3.62)$$

где A_1, A_2, \dots или соответствующие им B, C, \dots в других, также принятых обозначениях, являются константами, зависящими от температуры и природы растворенного вещества, которые называются вириальными коэффициентами.

Для теории растворов полимеров особое значение имеет второй вириальный коэффициент, обозначаемый как A_2 или B . Под первым вириальным коэффициентом подразумевается первый член в скобках уравнения (3.61), равный $1/M_2$.

Значения вириальных коэффициентов могут быть определены, исходя из выражения для химического потенциала растворителя, полученного как конечный результат теории Флори–Хаггинса. Из (3.42) с учетом (3.56) имеем:

$$\pi = -\frac{RT}{V_1} \left[\ln(1 - \varphi_2) + \left(1 - \frac{1}{\sigma} \right) \varphi_2 + \chi_1 \varphi_2^2 \right]. \quad (3.63)$$

При малых концентрациях полимера член $\ln(1 - \varphi_2)$ можно разложить в ряд по степеням φ_2 , тогда:

$$\pi = \frac{RT}{V_1} \left[\frac{\varphi_2}{\sigma} + \left(\frac{1}{2} - \chi_1 \right) \varphi_2^2 + \frac{\varphi_2^3}{3} + \dots \right]. \quad (3.64)$$

Поскольку $\Phi_2 = c_2 \cdot \bar{v}_2$, где $\bar{v}_2 = \frac{\partial V}{\partial c_2}$ – парциальный удельный объем полимера, то $\frac{\Phi_2}{V_1} = \frac{c_2 \cdot \bar{v}_2}{V_1} = \frac{c_2}{M_2}$ и уравнение (3.64) можно записать в виде:

$$\frac{\pi}{c} = RT \left[\frac{1}{M_2} + \frac{\bar{v}_2^2}{V_1} \left(\frac{1}{2} - \chi_1 \right) c + \frac{\bar{v}_2^3}{3V_1} c^2 + \dots \right]. \quad (3.65)$$

Сравнивая (3.61) с (3.65), приходим к выводу:

$$A_1 = \frac{1}{M_2}, \quad A_2 = \frac{\bar{v}_2^2}{V_1} \left(\frac{1}{2} - \chi_1 \right) \quad (3.66)$$

или

$$A_2 = \frac{\rho_1}{\rho_2^2 \cdot M_1} \left(\frac{1}{2} - \chi_1 \right), \quad (3.67)$$

где ρ_1, ρ_2 – плотности растворителя и полимера; M_1 – молекулярная масса растворителя. При достаточно малой концентрации полимера членами ряда в скобках, начиная с третьего, в уравнении (3.65) можно пренебречь, тогда:

$$\frac{\pi}{c} = RT \left[\frac{1}{M_2} + A_2 c \right]. \quad (3.68)$$

Уравнения (3.65), (3.68) относятся к **уравнениям состояния**, поскольку они связывают значения параметров раствора и его термодинамических характеристик со свойствами, доступными для измерения, в данном случае – с осмотическим давлением.

Зависимость, вытекающая из уравнения (3.68), используется для термодинамической характеристики качества растворителя в растворе. На рис. 3.4 приведены три возможных случая:

кривые 1, 2 $A_2 > 0, \chi < 1/2$ – хороший растворитель;

кривая 3 $A_2 = 0, \chi = 1/2$ – идеальный растворитель;

кривая 4 $A_2 < 0, \chi > 1/2$ – плохой растворитель.

Экспериментально найдено, что в хороших растворителях величина A_2 обратно пропорциональна молекулярной массе полимера в степени 0,05–

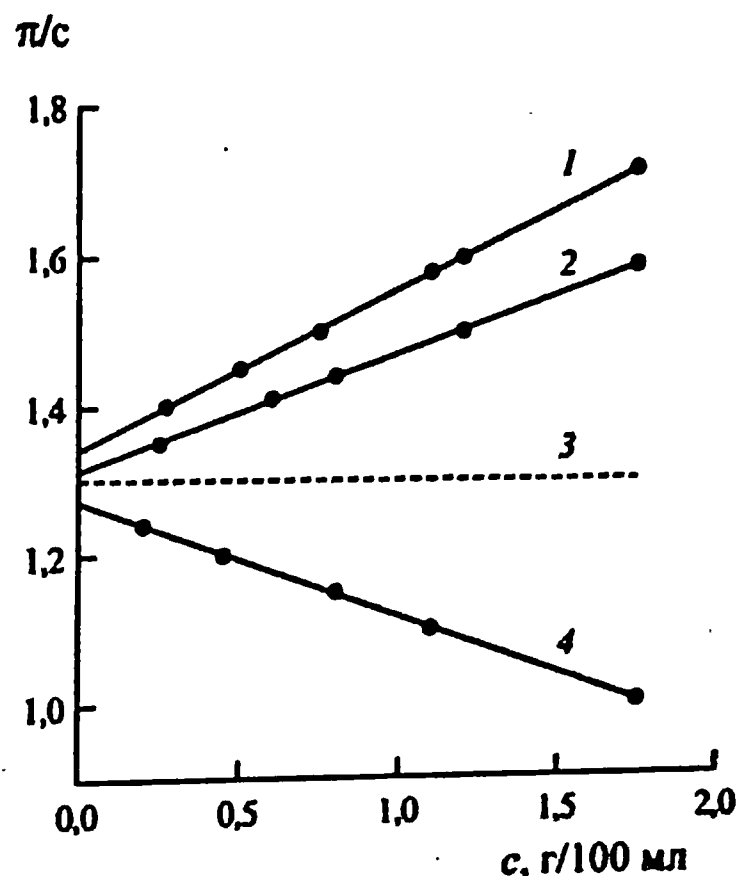


Рис. 3.4. Зависимость приведенного осмотического давления раствора полистирола в циклогексане от концентрации: 1 – 50 °C; 2 – 40 °C; 3 – 35 °C (интерполяция); 4 – 30 °C

0,25, т. е. $A_2 \sim 1/M^{0.1}$. Напомним, что состояние, отвечающее термодинамически плохому растворителю, реализуется в очень узком интервале, т. к. при $T < \theta$ раствор становится термодинамически неустойчивым и разделяется на две фазы.

3.1.6. Исключенный объем и термодинамические свойства раствора

Вернемся вновь к проблеме исключенного объема (2.1.2) с тем, чтобы выявить влияние на него параметров, характеризующих термодинамическое качество растворителя.

Исключенный объем макромолекулы β_M определяется исключенным объемом сегмента β^* :

$$\beta_M = (n^*)^2 \beta^*, \quad (3.69)$$

где n^* – число сегментов*. Эффективный исключенный объем сегмента β^* учитывает вероятность того, что в элементарном объеме, занятом одним сегментом, не может находиться другой сегмент. Он определяется соотношением:

$$\beta^* = 4\pi \int_0^\infty (1 - e^{-U(r)/kT}) r^2 dr, \quad (3.70)$$

где r – расстояние между взаимодействующими сегментами; $U(r)$ – потенциальная энергия взаимодействия двух сегментов в растворе. Эффективный исключенный объем сегмента определяется балансом сил притяжения и отталкивания. Из рассмотренного ранее ясно, что при θ -условиях $\beta^* = 0$, в хороших растворителях $\beta^* > 0$.

В теории Флори–Хаггинса влияние исключенного объема учитывается параметром z , который для гауссова клубка описывается соотношением:

$$z = \left(\frac{3}{2\pi} \right)^{3/2} (n^*)^{1/2} \frac{\beta^*}{(l^*)^3}, \quad (3.71)$$

где l^* – длина сегмента Куна. Из (3.71) следует, что параметр z пропорционален исключенному объему сегмента и обратно пропорционален объему макромолекулы. Последнее указывает на то, что параметр z зависит от частоты столкновений сегментов в макромолекулярном клубке.

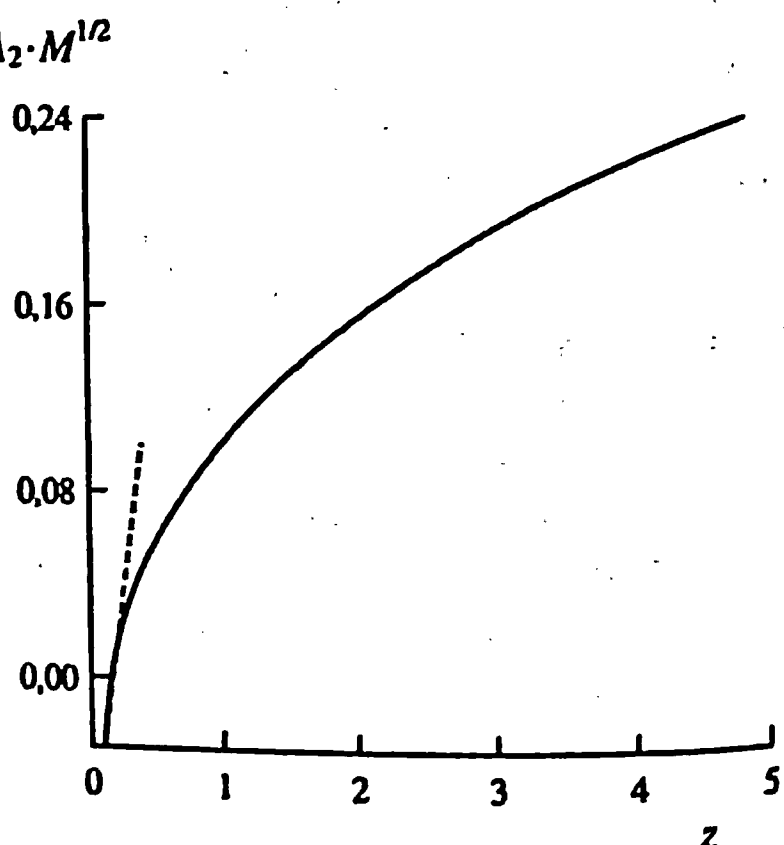


Рис. 3.5. Зависимость $A_2 \cdot M^{1/2}$ от z для полистирола в декалине (пунктирная прямая – асимптота при малых z)

* Имеется в виду термодинамический сегмент Куна.

Решеточная модель Флори–Хаггинса позволяет рассчитать величину параметра z теоретически. Было получено следующее выражение:

$$z = \left(\frac{3}{2\pi} \right)^{3/2} \frac{2\bar{v}_2^2}{V_1 N_A} \Psi_1 \left(1 - \frac{\theta}{T} \right) \left(\frac{M}{\langle R^2 \rangle_0} \right)^{3/2} M^{1/2} = C \Psi_1 \left(1 - \frac{\theta}{T} \right) M^{1/2}, \quad (3.72)$$

где \bar{v}_2 – парциальный удельный объем полимера. Параметр z связан определенным образом со вторым вироальным коэффициентом A_2 . Типичная для растворов полимеров зависимость приведена на рис. 3.5.

Связь параметра z с коэффициентом набухания клубка α была отмечена нами ранее (2.25). Более строгие по сравнению с теорией Флори–Хаггинса расчеты показывают, что числовой коэффициент в этом уравнении должен быть несколько изменен. Таким образом, имеем окончательно:

$$\alpha^5 - \alpha^3 = 1,276z. \quad (3.73)$$

3.1.7. Ограниченнная растворимость. Фракционирование

Для растворов высокомолекулярных соединений, как и для смесей низкомолекулярных веществ, характерно явление ограниченной растворимости. При достижении предельной растворимости полимеров в результате изменения температуры или концентрации раствор разделяется на две фазы. Здесь возможны два случая. Если полимер способен кристаллизоваться, то при определенных условиях выделяется твердая кристаллическая фаза. Растворы аморфных полимеров разделяются на две жидкые фазы – разбавленный и концентрированный растворы полимера. Такое разделение называется жидкостным. На рис. 3.6 приведены типичные фазовые диаграммы состояния растворов полимеров в координатах температура – состав. Кривые, называемые бинодалью, разделяют каждую из диаграмм на две области. Область внутри бинодали соответствует двухфазному раствору. При определенных температурах ветви бинодали сходятся. Такие температуры называются критическими, в этих точках составы соответствующих фаз равны. Максимум бинодали отвечает верхней критической температуре смешения (ВКТС), а минимум – нижней (НКТС).

Выше было показано, что в зависимости от температуры растворитель может быть плохим, идеальным и хорошим для одного и того же полимера. Ясно, например, что, в окрестности ВКТС, когда полимер выделяется из раствора, растворитель является плохим, $A_2 < 0$. Последнее условие не может реализоваться в достаточно широком температурном интервале, поэтому θ -температура ($A_2 = 0$) должна быть достаточно близка к ВКТС.

Для растворов полимеров НКТС и ВКТС наблюдаются для одной системы, как и для смесей низкомолекулярных жидкостей. Однако если в последнем случае $\text{ВКТС} > \text{НКТС}$ и диаграмма состояния раствора является замкнутой фигурой, близкой к овалу, то для растворов полимеров часто характерной

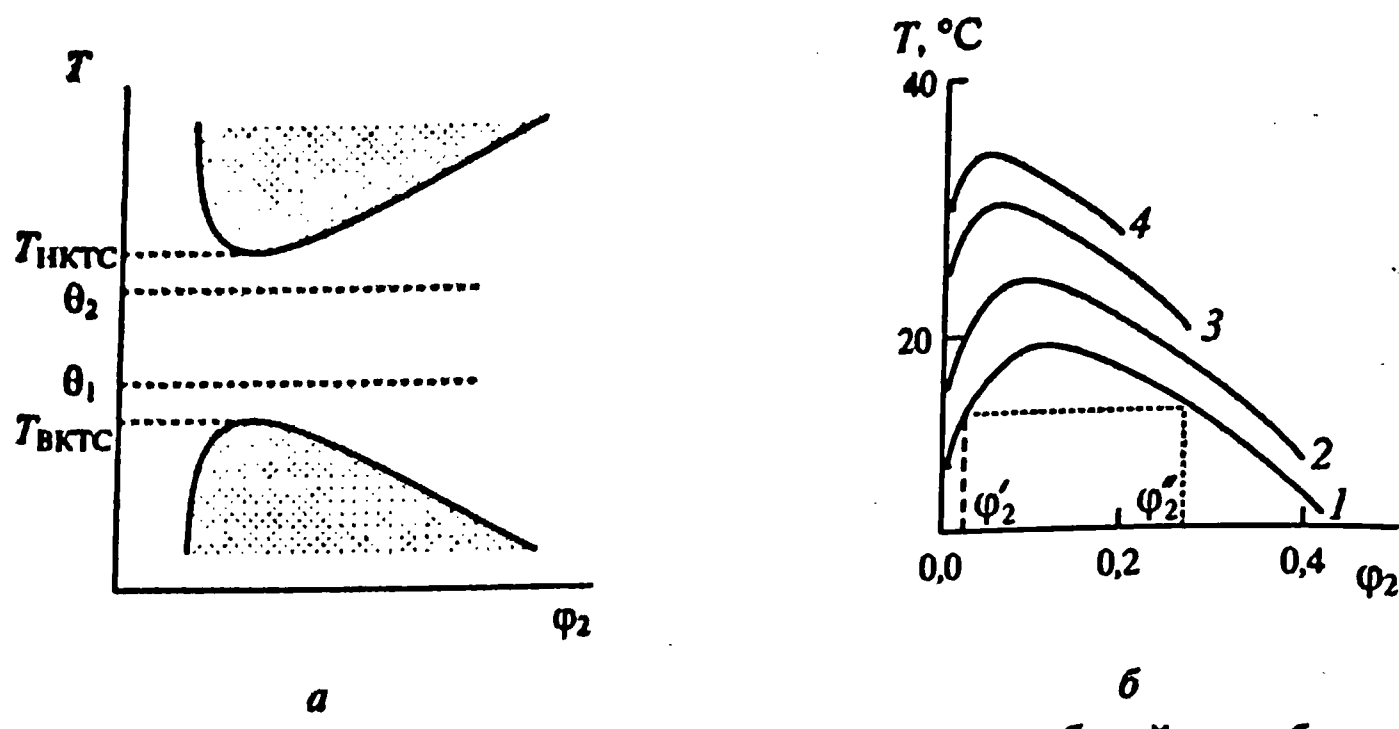


Рис. 3.6. Фазовые диаграммы растворов полимеров: *а* – общий вид; *б* – раствор полистирола в циклогексане. Молекулярные массы $M \cdot 10^{-4}$: 1 – 4,4; 2 – 8,9; 3 – 25; 4 – 127. ϕ'_2 и $T_{\phi'_2}$ – концентрации полимера в менее и более концентрированных фазах

терно $NKTC > VKTC$, что приводит к необычному виду диаграммы (рис. 3.6). Обычно $NKTC$ реализуются при высоких температурах (табл. 3.3), как правило, превышающих температуру кипения растворителя, вследствие чего система оказывается под значительным давлением. Для систем с $VKTC$ и $NKTC$ существуют две θ -температуры; та, что соответствует $VKTC$, называется θ -температурой Флори, вторая – θ -температурой Роуланса. Последняя обычно близка к критической температуре растворителя.

Термодинамическим условием существования $VKTC$ и $NKTC$ является соответственно $\Delta H > 0$, $\Delta S > 0$ и $\Delta H < 0$, $\Delta S < 0$. Теория Флори–Хаггинса рассматривает системы с $\Delta H \geq 0$, поэтому эта теория может предсказать существование лишь $VKTC$. Согласно теории, положение точки $VKTC$ (ϕ_{2k}) определяется выражением:

Таблица 3.3

Критические температуры смешения и θ -температуры для некоторых растворов полимеров, °C

Раствор	T_{VKTC}	θ	T_{NKTC}
Полистирол – циклогексан	30	34,0	180 – 210
Полизобутилен – бензол	23	24,0	160
Полистирол – этилбензол	-6		295
Полистирол – цикlopентан	6		150
Поливинилацетат – метanol	-3		210
Поливиниловый спирт – вода	70		240
Поливинилхлорид – диметилформамид		36,3	
Полиметилметакрилат – ацетонитрил		27,6	
Полипропилен – фениловый эфир		153,0	

$$\Phi_{2k} = \frac{1}{1 + \sqrt{\bar{V}_2/\bar{V}_1}}. \quad (3.74)$$

Поскольку парциальный мольный объем полимера \bar{V}_2 пропорционален его молекулярной массе и по этой причине намного больше парциального мольного объема растворителя \bar{V}_1 , при $M_2 \rightarrow \infty$ ($\bar{V}_2/\bar{V}_1 \rightarrow \infty$) и $\Phi_{2k} \rightarrow 0$. Отсюда следует, что точка ВКТС наблюдается при малом содержании полимера, и следовательно, диаграммы фазового состояния растворов полимеров смещены в область малых концентраций по сравнению с аналогичными диаграммами для растворов низкомолекулярных веществ. Второй вывод относится к термодинамической характеристике раствора в точке ВКТС. Величина параметра взаимодействия в этой точке описывается выражением:

$$\chi_1 = \frac{1}{2} + \sqrt{\frac{\bar{V}_1}{\bar{V}_2}} + \frac{\bar{V}_1}{2\bar{V}_2}. \quad (3.75)$$

При $M_2 \rightarrow \infty$ ($\bar{V}_1/\bar{V}_2 \rightarrow 0$) и $\chi_1 \rightarrow 1/2$, следовательно, ВКТС может рассматриваться как θ -температура раствора полимера с бесконечно большой молекулярной массой, и в этих условиях растворитель можно охарактеризовать как идеальный.

Из рис. 3.6 видно, что растворимость полимера зависит от его молекулярной массы. Это обстоятельство широко используется на практике для фракционирования – разделения полидисперсного полимера по молекулярным массам.

Теория фракционирования разработана Бренстедом и Шульцем. Выше упоминалось, что при жидкостном разделении раствора полимера образуются две фазы – разбавленная и концентрированная. Согласно теории фракционирования,

$$\frac{\phi_2^{\text{II}}}{\phi_2^{\text{I}}} = e^{\alpha x}, \quad (3.76)$$

где $\phi_2^{\text{II}}, \phi_2^{\text{I}}$ – объемные доли полимера в концентрированной и разбавленной фазах, x – параметр, пропорциональный молекулярной массе полимера. В том случае, когда молекулярные массы звена полимера и растворителя совпадают, $x = p = M/M_0$, где p – число звеньев в цепи, M и M_0 – молекулярные массы полимера и мономерного звена. Величина параметра σ связана с термодинамическим качеством растворителя, из которого выделяется полимер, следующим образом:

$$\sigma = 2\chi_1(\phi_2^{\text{I}} - \phi_2^{\text{II}}) - \ln\left(\frac{\phi_2^{\text{II}}}{\phi_2^{\text{I}}}\right), \quad (3.77)$$

где χ_1 – параметр взаимодействия Флори–Хаггинса. Из уравнения (3.76) следует, что отношение $\phi_2^{\text{II}}/\phi_2^{\text{I}}$ растет экспоненциально с увеличением молекулярной массы, следовательно, наиболее высокомолекулярные макромолекулы будут преимущественно находиться в концентрированной фазе.

На практике фракционирование из раствора проводят, уменьшая термодинамическое качество растворителя, путем изменения температуры или добавлением осадителя. При этом последовательно выделяются фракции полимера в порядке уменьшения их средней молекулярной массы. Последнее нужно подчеркнуть особо, так как выделяющиеся фракции не являются монодисперсными.

3.2. Свойства растворов полимеров

3.2.1. Набухание. Гели

Как уже отмечалось, растворению полимера предшествует его набухание, т. е. увеличение объема и массы высокомолекулярного соединения, находящегося в контакте с растворителем или его парами. Набухание вызвано проникновением молекул растворителя в полимер и является необходимой стадией процесса растворения. Это объясняется тем, что макромолекулы в полимере перепутаны. Растворитель, накапливаясь в полимере, увеличивает подвижность сегментов и уменьшает их межмолекулярное взаимодействие. Возникающая вследствие этого сегментальная диффузия способствует распутыванию клубков и последующему их разделению. Набухание может быть неограниченным и ограниченным, как например, в случае сшитых полимеров или при набухании полимеров в жидкостях, не являющихся для них растворителями. Неограниченное набухание обычно сопровождается растворением. Для относительно низкомолекулярных полимеров скорости этих процессов близки, поэтому их набухание не сопровождается значительным изменением объема. Для очень высокомолекулярных полимеров ($M \geq 10^6$) скорость растворения существенно меньше скорости набухания, поэтому объем полимера увеличивается весьма значительно, а процессом растворения на начальной стадии набухания можно пренебречь.

Количественно набухание характеризуется степенью набухания:

$$\alpha = \frac{m - m_0}{m_0} \quad \text{или} \quad \alpha = \frac{V - V_0}{V_0}, \quad (3.78)$$

где m_0 , V_0 – масса и объем исходного полимера; m , V – набухшего. Для гибкоцепных полимеров с очень большой молекулярной массой величина α может достигать порядка 10^2 .

В наиболее простом случае кинетическая кривая набухания напоминает известную кривую изотермы адсорбции Ленгмюра. Тогда, при ограничении набухания

$$\frac{dV}{dt} = K(\alpha_{\max} - \alpha) \quad (3.79)$$

или в интегральной форме

$$K = \frac{1}{t} \ln \left(\frac{\alpha_{\max}}{\alpha_{\max} - \alpha} \right), \quad (3.80)$$

где α_{\max} , α – максимальная степень набухания и соответствующая времени t ; K – константа скорости набухания.

К более сложным случаям относится набухание анизотропных полимеров, например, ориентированных волокон, и набухание, сопровождающееся синерезисом. В первом случае размеры образца изменяются более существенно в направлении ориентации оси. Во втором случае набухание облегчает перестройку структуры полимера, в результате чего часть жидкости оказывается лишней и выделяется из набухшего полимера.

Явление набухания используется для определения величины параметра растворимости, плотности сшивки, степени ориентации. Очень большое практическое значение имеет процесс набухания полимеров в пластификаторах, что реализовано, в частности, в так называемой пластизольной технологии получения покрытий и пленок.

Гели. Гелями называются нетекущие или малотекущие растворы полимеров обладающие упругими свойствами. К первому типу относятся гели, образующиеся при набухании сшитых полимеров, в которых пространственный каркас образуется за счет химических связей. При набухании сшитого полимера участки цепей между сшивками распрямляются. Этот эффект достигает максимального значения при равновесном набухании. Примером образования гелей этого типа является набухание резины.

Ко второму типу относятся гели с пространственным каркасом, образованным слабыми межмолекулярными связями, обусловленными действием сил Ван-дер-Ваальса или водородными связями. Гели этого типа образуются при расслаивании раствора на две фазы в результате изменения температуры или добавки осадителя. Более концентрированная фаза образует каркас, в котором находятся микрокапли менее концентрированной фазы. При этом вязкость концентрированной фазы должна быть достаточно высока для того, чтобы предотвратить слияние капель менее концентрированной фазы и расслоение системы. В растворах частично кристаллизующихся полимеров, например в растворах поливинилового спирта, узлами сшивки макромолекул являются кристаллические образования.

Физико-химические свойства гелей в значительной степени определяются их природой. Так, для гелей первого типа обратимая деформация достигает сотен процентов и имеет энтропийную природу, т. е. связана с изменением конформаций участков цепей. Для гелей второго типа обратимая деформация достигает меньших величин (50–100 %) и имеет энергетическую природу, что связано с упругим изгибом элементов каркаса при приложении внешней силы. При приложении больших нагрузок и длительном времени действия в гелях обоих типов возникает остаточная необратимая де-

формация, т.е. течение. Необратимая деформация гелей первого типа сопровождается разрывом химических связей и образованием новых за счет рекомбинации частиц. Этот процесс называется химическим течением.

По отношению к изменению температуры гели делятся на обратимые и необратимые. Гели первого рода являются необратимыми. Гели второго рода обратимы, их температуры плавления (застудневания) близки к температурам фазового расслоения системы и, следовательно, могут быть представлены диаграммами состояния, приведенными на рис. 3.6.

Оптические свойства гелей двух типов принципиально отличны. Гели первого типа прозрачны, второго – мутны или отличаются большим светорассеянием.

Старение гелей связано с развитием двух процессов – кристаллизации полимера и синерезиса. Явление синерезиса наблюдается при изменении температуры или увеличении плотности сшивок гелей первого рода. Для гелей второго рода синерезис – самопроизвольное явление, вызванное слиянием частиц разбавленной фазы.

Гели играют большую роль в природе и производственной деятельности человека. Формообразование в живых организмах, а также в различных технологических процессах, например при приготовлении пищи, часто происходит путем гелеобразования. Велика его роль при переработке полимеров, например, при формировании волокон, пленок, полупроницаемых мембран из растворов.

3.2.2. Вязкость разбавленных растворов полимеров

Существуют две модели движения макромолекулярного клубка в жидкости. Согласно модели Рауза, звенья (сегменты) цепи испытывают при движении трение, но не увлекают за собой жидкость. Согласно модели Зимма, существует гидродинамическое взаимодействие между звеньями и жидкостью, которая, благодаря этому, вовлекается в движение. В результате макромолекулярный клубок становится «непротекаемым», т.е. движется как единое целое с растворителем внутри себя. Ряд экспериментальных данных свидетельствует в пользу модели Зимма. Так, согласно модели Рауза, коэффициент диффузии макромолекулы обратно пропорционален числу звеньев, т.е. $D \sim 1/n$, согласно модели Зимма – обратно пропорционален квадратному корню из числа звеньев $D \sim 1/n^{1/2}$. Эксперимент согласуется с последним выводом. Таким образом, в качестве модели движения макромолекулярного клубка мы будем использовать модель Рауза (модель Зимма справедлива для коротких жестких цепей).

Макромолекулярные клубки гибкоцепных полимеров с заключенным в них растворителем при движении в потоке жидкости врачаются вокруг центра массы, что связано с градиентом скорости прилегающих слоев жидкостей и что является одной из основных причин повышенной вязкости растворов полимеров. Основным законом, описывающим ламинарное течение

$$F = -\eta S \frac{dv}{dx}, \quad (3.81)$$

где F – сила трения слоев жидкости; S – площадь соприкасающихся слоев; dv/dx – градиент скорости, нормальный к направлению течения, η – коэффициент вязкости. В отличие от выражения (2.58), в данном случае в правой части уравнения стоит знак минус. Это связано с тем, что сила трения противоположна направлению движения.

Единицей измерения вязкости является 1 Па·с. Вязкость воды и глицерина при 20 °C соответственно равна $1 \cdot 10^{-3}$ и 1,5 Па·с. Высокие вязкости растворов полимера объясняются значительным эффективным объемом клубков макромолекул, их вращением в разбавленных растворах и зацеплениями в концентрированных.

Вязкость жидкостей определяют с помощью специального прибора, называемого вискозиметром. В наиболее простых капиллярных вискозиметрах измеряют время истечения определенного объема жидкости через капилляр вискозиметра. Этот метод основан на уравнении Пуазейля, которое является частным случаем закона Ньютона:

$$\eta = \frac{\pi R^2}{8dV} \Delta p t, \quad (3.82)$$

где R и d – радиус и длина капилляра, V – объем жидкости, протекающей через капилляр за время t , Δp – разность давлений на концах капилляра.

Если жидкость течет через капилляр под действием силы тяжести, то ее вязкость η рассчитывается через соотношение, являющееся следствием из закона Пуазейля:

$$\frac{t}{t_0} = \frac{\eta \rho_0}{\eta_0 \rho}, \quad \frac{\eta}{\eta_0} = \frac{t \rho}{t_0 \rho_0}, \quad (3.83)$$

где t_0 , t и ρ_0 , ρ – соответственно время истечения и плотности стандартной (с известным значением вязкости η_0) и исследуемой жидкостей. Для разбавленных растворов полимеров обычно рассчитывают так называемую относительную вязкость:

$$\eta_{\text{отн}} = \frac{\eta}{\eta_0} = \frac{t}{t_0}, \quad (3.84)$$

где η , t и η_0 , t_0 – соответственно вязкость и время истечения раствора и чистого растворителя (плотности раствора полимера и растворителя приняты равными). Через $\eta_{\text{отн}}$ рассчитывается удельная и приведенная вязкости растворов полимеров:

$$\eta_{\text{уд}} = \frac{\eta - \eta_0}{\eta_0} = \eta_{\text{отн}} - 1, \quad \eta_{\text{пр}} = \frac{\eta_{\text{уд}}}{c} = \frac{\eta_{\text{отн}} - 1}{c}. \quad (3.85)$$

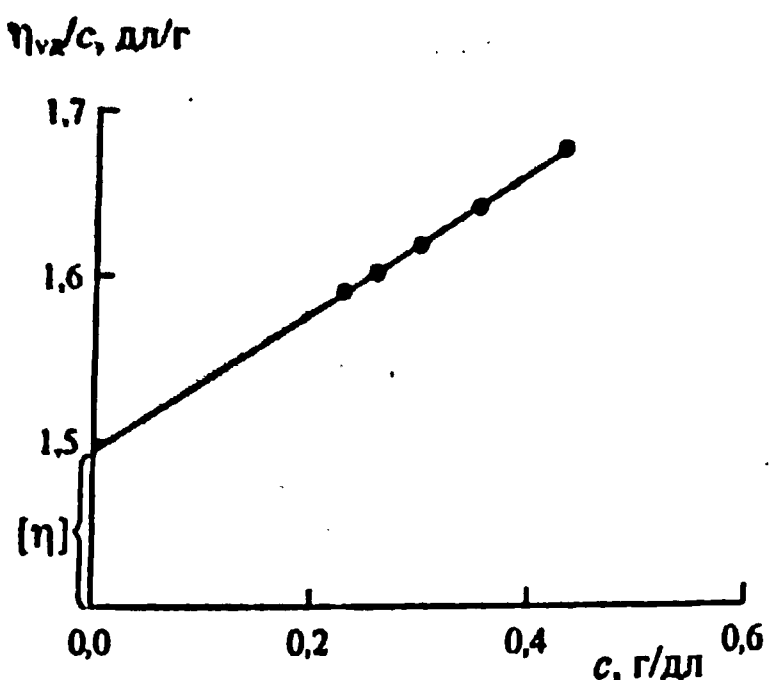


Рис. 3.7. Зависимость приведенной вязкости раствора полистирола в бензоле от концентрации полимера

Как видно из рис. 3.7, приведенная вязкость линейно зависит от концентрации раствора полимера. Экстраполяция этой зависимости до нулевой концентрации позволяет определить характеристическую вязкость полимера $[\eta]$:

$$[\eta] = \lim_{c \rightarrow 0} \left(\frac{\eta_{\text{уд}}}{c} \right). \quad (3.86)$$

Обычно применяемая размерность этой величины дл/г (десилитры на грамм), что соответствует концентрации раствора, выраженной в $\text{г}/100 \text{ мл}$.

Зависимость приведенной вязкости раствора полимера от его концентрации описывается уравнением Хаггинса:

$$\frac{\eta_{\text{уд}}}{c} = [\eta] + K'[\eta]^2 c, \quad (3.87)$$

где K' – константа, зависящая от взаимодействия полимера с растворителем (константа Хаггинса). Величина и наклон прямой зависимости (3.87) чувствительны к природе растворителя и температуре. С ухудшением качества растворителя макромолекулярные клубки сжимаются, что приводит к уменьшению $[\eta]$ и увеличению константы Хаггинса.

Согласно модели Зимма, полимерный клубок в растворе можно рассматривать как непроницаемую сферу. Для раствора непроницаемых сфер Эйнштейн вывел соотношение:

$$\eta = \eta_0 (1 + 2,5\varphi_2), \quad (3.88)$$

где φ_2 – объемная доля растворенного вещества; η_0 – вязкость растворителя. Характерной особенностью данного уравнения, описывающего вязкость суспензий, состоит в том, что она не зависит от размера частиц.

Для раствора полимера

$$\varphi_2 = \frac{c}{n} \cdot \frac{4\pi \langle R^2 \rangle^{3/2}}{3}, \quad (3.89)$$

где c – концентрация звеньев в растворе; n – число звеньев в одном клубке. Таким образом, в случае растворов полимеров η/η_0 зависит как от размеров клубков, так и от числа звеньев в них, другими словами, от молекулярной массы полимера. Это принципиальное обстоятельство позволило разработать вискозиметрические методы определения молекулярной массы и размера макромолекул полимера. Используя это и исходя из уравнения

Эйнштейна, Флори и Фокс установили зависимость характеристической вязкости $[\eta]$ от размера макромолекулы:

$$[\eta] = \Phi \frac{\langle R^2 \rangle^{3/2}}{\bar{M}}, \quad (3.90)$$

где Φ – постоянная Флори, равная $2,84 \cdot 10^{21}$ моль⁻¹ при выражении $[\eta]$ в дL/g, \bar{M} – средняя молекулярная масса. Если измерения $[\eta]$ проводятся в θ -растворителе, где объемные эффекты исключены, то по формуле Флори–Фокса могут быть рассчитаны невозмущенные размеры макромолекулы:

$$[\eta]_0 = \Phi \frac{\langle R_0^2 \rangle^{3/2}}{\bar{M}}. \quad (3.91)$$

Разделив соотношение (3.90) на (3.91) и учитывая зависимость (2.17), получаем простую формулу, которая позволяет определить коэффициент набухания α макромолекулярных клубков вискозиметрическим методом:

$$\frac{[\eta]}{[\eta]_0} = \frac{\langle R^2 \rangle^{3/2}}{\langle R_0^2 \rangle^{3/2}} = \alpha^3. \quad (3.92)$$

Проблема нахождения невозмущенных размеров макромолекулы усложняется тем, что не всегда удается подобрать подходящий θ -растворитель. Поэтому невозмущенные размеры цепи часто определяются в хорошем растворителе с экстраполяцией измерений к $M \rightarrow 0$ с использованием уравнения Штокмайера–Фиксмана:

$$\frac{[\eta]}{M^{1/2}} = K_0 + 0,51BM^{1/2}, \quad (3.93)$$

где $K_0 = \Phi \left(\frac{\langle R_0^2 \rangle}{\bar{M}} \right)^{3/2}$, B – так называемый параметр дальнодействия, связанный с параметром χ_1 Флори–Хаггинса следующим образом:

$$B = \bar{v}_2(1 - 2\chi_1)\bar{V}_1 N_A. \quad (3.94)$$

Наиболее часто измерения характеристической вязкости используются для определения молекулярной массы полимеров вискозиметрическим методом. В этом случае применяется уравнение Марка–Куна–Хаувинка, которое первоначально было получено эмпирически:

$$[\eta] = KM^a, \quad (3.95)$$

где K – постоянная, зависящая от природы растворителя, полимера и температуры; a – постоянная, определяемая конформацией макромолекулы в растворе (табл. 3.4). Величина a может служить приближенной характеристикой меры свернутости макромолекул в растворе. Для гибкоцепных полимеров

Таблица 3.4

Константы K и a уравнения $[\eta] = KM^a$ (концентрация полимера в растворе – г/дл)

Полимер	Растворитель	$K \cdot 10^4$	a	$T, ^\circ C$
Полиэтилен	1-Хлорнафталин	5,55	0,684	130
	1,2,4-Трихлорбензол	3,92	0,725	130
Полипропилен	Декалин	7,40	0,64	135
Полиметилакрилат	Ацетон	0,56	0,75	25
Поливинилхлорид	Циклогексанон	1,37	0,78	25
Поливиниловый спирт	Вода	2,00	0,77	25
Полистирол	Бензол	1,15	0,73	30
Полиоксиэтилен	Тетрахлорметан	6,20	0,64	25
Ацетат целлюлозы	Ацетон	1,60	0,82	25
Полидиметилсилоксан	Бензол	1,29	0,68	25
Поливинилацетат	Ацетон	1,90	0,66	25
Полиметилметакрилат	Бензол	2,25	0,635	35

ров $0,5 < a < 0,8$, в θ -растворителе при $T = \theta$ $a = 0,5$, поэтому в последнем случае

$$[\eta] = KM^{1/2}, \quad (3.96)$$

для жестких сферических частиц $a = 0$ (глобулярные белки), для менее жестких сфер (сверхразветвленные полимеры и дендримеры) $0 < a < 0,2$, для палочкообразных жесткоцепных полимеров $a = 1,8$.

3.2.3. Концентрированные растворы полимеров

В общем случае свойства растворов полимеров зависят от концентрации, молекулярной массы полимера и природы растворителя. Два последних фактора в определенной степени учитываются величиной характеристической вязкости. Поэтому области концентраций удобно характеризовать произведением $[\eta]_c$. При $[\eta]_c \leq 1$ раствор считается разбавленным ($c \sim 0,1 - 1\%$), макромолекулы разделены растворителем, и контакты между ними незначительны.

При $1 < [\eta]_c \leq 10$ раствор является полуразбавленным, т. е. умеренно концентрированным, для такого раствора характерно взаимодействие и взаимное проникновение макромолекулярных клубков.

При $[\eta]_c > 10$ раствор является высококонцентрированным. Макромолекулы в таком растворе настолько сближены и переплетены, что образуют пространственную флюктуационную сетку зацеплений. Такие растворы, а также расплавы полимеров, называют полимерными жидкостями. Обычно характер течения какой-либо жидкости наиболее полно может быть охарактеризован зависимостью вязкости от напряжения сдвига или пропорциональной ей величине скорости сдвига.

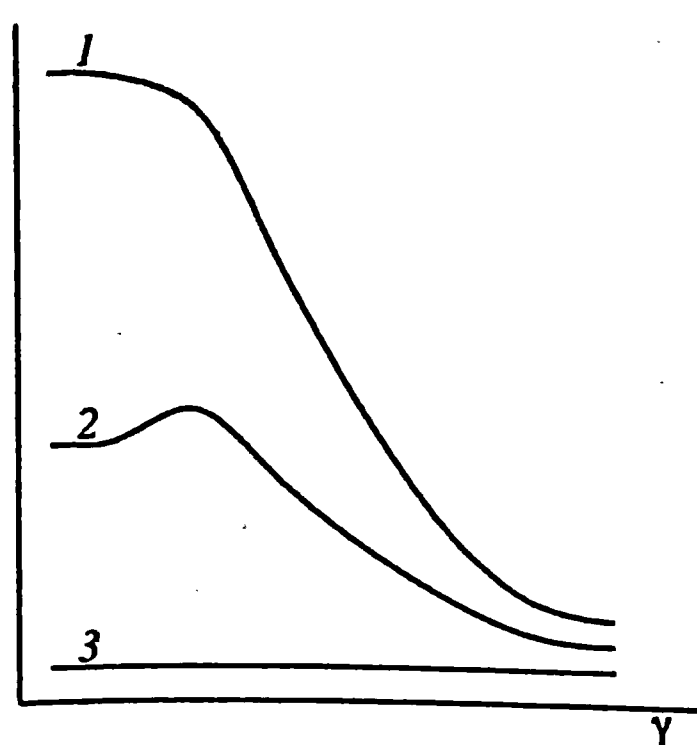


Рис. 3.8. Зависимость вязкости от скорости сдвига. 1, 2 – неニュ顿овские жидкости; 3 – ньютоновская жидкость

Течение, вызываемое напряжением сдвига, наиболее наглядно можно представить при рассмотрении сосуда, в котором перемешивание осуществляется вращательной мешалкой. На аналогичном принципе построены ротационные вискозиметры – приборы, служащие для измерения вязкости концентрированных растворов полимеров (см. рис. 2.29). Жидкость в этом приборе помещается в зазор между двумя вращающимися цилиндрами. При вращении одного из них вращательный момент за счет вязкости жидкости (трения) передается на другой, величина этого момента является мерой вязкости жидкости.

На рис. 3.8 приведены кривые зависимости вязкости различных жидкостей от скорости сдвига, рассчитанные по уравнению Ньютона (2.59). Ньютоновской жидкости отвечает кривая 3, вязкость такой жидкости не зависит от скорости сдвига. Кривая 1 наиболее характерна для неニュ顿овской жидкости. Вязкость такой жидкости остается постоянной лишь при очень малых значениях скорости сдвига и с ее ростом уменьшается, часто на несколько порядков. Наибольшая вязкость, проявляющаяся при $\gamma \rightarrow 0$, называется наибольшей ньютоновской вязкостью.

Она обозначается как $\eta_{\text{нб}}$. Наименьшее значение вязкости, наблюдаемое при $\gamma \rightarrow \infty$, называется наименьшей ньютоновской вязкостью $\eta_{\text{нм}}$; вязкость, значение которой отвечает условию $\eta_{\text{нб}} > \eta > \eta_{\text{нм}}$, называется эффективной вязкостью. В некоторых случаях наблюдаются аномалии вязкости в виде максимума на кривой течения (кривая 2).

Как правило, по прекращении воздействия на раствор, т. е. при прекращении течения, вязкость вновь принимает значение, равное $\eta_{\text{нб}}$. Эффект обратимого уменьшения вязкости называется тиксотропией. Эффект обратимого увеличения вязкости (кривая 2) называется дилатансией.

Зависимость вязкости растворов полимеров от концентрации приведена на рис. 3.9. Из рисунка видно, что кривая разбивается на ряд участков, для каждого последующего из которых характерна более сильная зависимость вязкости от концентрации.

Область «а» соответствует разбавленным растворам полимеров, когда $[\eta]_c \leq 1$, такие растворы ведут себя как ньютоновские жидкости, поэтому их физическое состояние характеризуется как вязко-ニュ顿овское.

Область «б» соответствует умеренно-концентрированным растворам, для которых $[\eta]_c \leq 10$. Изменение их вязкости с увеличением напряжения сдвига объясняется или обратимым разрушением структуры, образованной зацеплениями макромолекул (тиксотропия) или, наоборот, перестройкой струк-

туры, приводящей к ее упрочнению под действием относительно малых напряжений сдвига (дилатансия). Связь вязкости со структурой раствора отражается в определении его физического состояния в данной области, которое характеризуется как структурно-вязкое.

Область «в» относится к концентрированным растворам полимеров, для которых $[\eta]_c > 10$, их физическое состояние принципиальным образом отличается от рассмотренных выше, что проявляется в наличии двух видов деформации – необратимой (течения) и обратимой (упругой). Возникновение последней является следствием образования сплошной трехмерной флюктуационной (подвижной) сетки зацепления макромолекул. Сочетание свойств, присущих твердому телу (упругость) и жидкости (текучесть), называется вязкоупругостью (см. разд. 2.3).

Как уже упоминалось, для концентрированных растворов полимеров $\eta \sim M^{3.4}$. Концентрационная зависимость отвечает степенному закону:

$$\eta \sim c^n, \quad (3.97)$$

где n зависит от концентрации. Для области «а» $n=1$, «б» – $1 < n < 6$, «в» – $6 < n < 20 - 50$.

Обычно вязкость концентрированных растворов полимеров изучают в ротационных вискозиметрах, изменяя в широком диапазоне скорость сдвига. Получаемая при этом зависимость $\sigma - \gamma$ называется кривой течения, которая описывается уравнением вида:

$$\sigma = \eta \gamma^n, \quad (3.98)$$

где n называется индексом течения. Этот показатель является важной с практической точки зрения характеристикой растворов и расплавов полимеров.

3.3. Полиэлектролиты

3.3.1. Влияние зарядов на конформации макромолекул

Полиэлектролитами называют высокомолекулярные соединения, макромолекулы которых содержат ионогенные группы, способные к диссоциации на ионы. В зависимости от природы и степени диссоциации ионогенных групп полиэлектролиты делятся на сильные и слабые поликислоты и поликарбонаты.

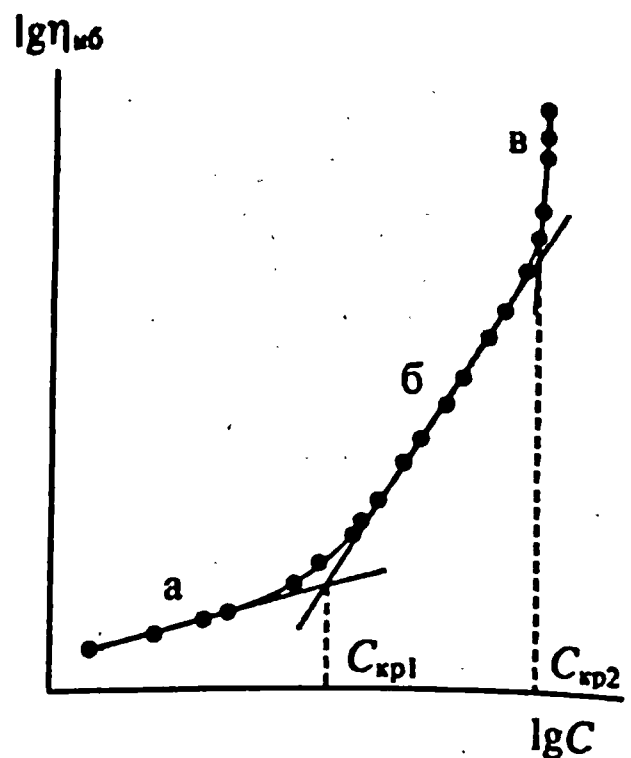
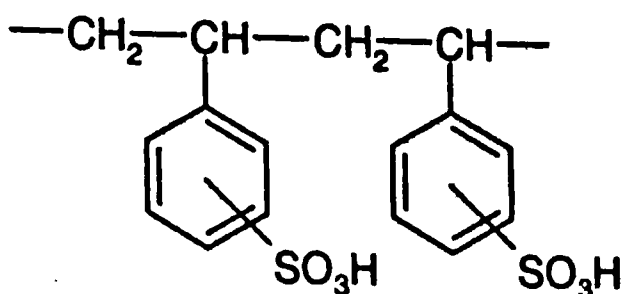
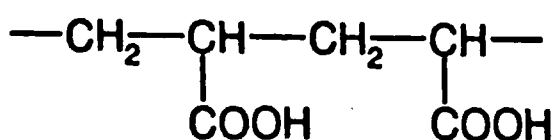


Рис. 3.9. Зависимость логарифма наибольшей вязкости концентрированного раствора полимера от логарифма концентрации

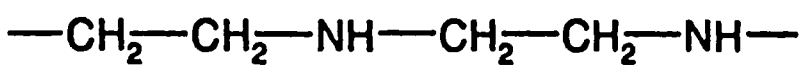
основания, а также на полиамфолиты. Полиэлектролиты последнего типа содержат основные и кислотные группы. Известно много синтетических и природных полиэлектролитов. Из последних особенно большое значение имеет белок, который образуется из аминокислот различного строения (см. табл. 1.2) и содержит полипептидную цепь с повторяющейся группировкой $-\text{CO}-\text{NH}-$. Некоторые из заместителей полипептидной цепи содержат кислотные и основные группы, поэтому белок является полиамфолитом. Ниже приведены примеры отдельных полиэлектролитов:



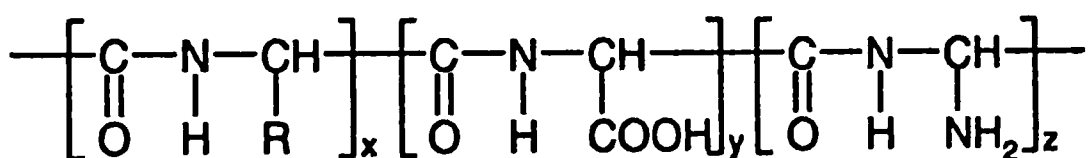
Полистиролсульфокислота – сильная поликислота



Полиакриловая кислота – слабая поликислота



Полиэтиленимин – слабое полиоснование.



Белок – полиамфолит

Свойства заряженных макромолекул качественно отличаются в зависимости от суммарной величины заряда каждой макромолекулы: различают сильно заряженные полиэлектролиты, например ДНК, и слабо заряженные (слабые полиэлектролиты), например полиакриловая кислота. В сильно заряженных макромолекулах ионизирована большая часть звеньев, поэтому их свойства в основном определяются электростатическими (кулоновскими) взаимодействиями. В слабо заряженных макромолекулах ионизирована меньшая часть звеньев, их свойства определяются как электростатическими, так и неэлектростатическими взаимодействиями, среди последних, помимо рассмотренного ранее столкновения незаряженных звеньев, следует отметить для водных растворов так называемое гидрофобное взаимодействие, играющее большую роль в биологических системах. Под этим термином подразумеваются силы притяжения между неполярными группами в полярной водной среде. Чередование микрообластей с полярными и неполярными взаимодействиями приводит к появлению регулярных неоднородностей в растворах полиэлектролитов.

Кулоновское взаимодействие между двумя зарядами в растворе описывается потенциалом Дебая – Хюкеля:

$$U(r) = \frac{e^2}{\epsilon r} \exp\left\{-\frac{r}{r_D}\right\}, \quad (3.99)$$

где ϵ – диэлектрическая постоянная растворителя, r – расстояние между зарядами e ; $r_D = \left(\frac{\epsilon kT}{4\pi n e^2}\right)^{1/2}$ – так называемый дебаевский радиус, в выражении для которого n равно суммарной концентрации низкомолекулярных ионов. Дебаевский радиус учитывает экранирование электростатического взаимодействия между двумя ионами, так как с увеличением n r_D и $U(r)$ уменьшаются.

Из теории двойного электрического слоя известно, что с уменьшением концентрации электролита диффузное облако противоионов, локализованное вблизи границы раздела заряженных фаз, «размывается» – в пределе по всему объему жидкой фазы. По аналогии можно считать, что с уменьшением концентрации растворов полиэлектролитов заряженные макромолекулы все в большей степени лишаются противоионов. Кроме того, в случае слабых полиэлектролитов константа диссоциации ионогенных групп увеличивается с разбавлением. В результате в разбавленных растворах полиэлектролитов электростатическое взаимодействие зарядов цепи достигает максимальной величины. Отталкивание зарядов одного знака приводит к максимально возможному распрямлению цепи, следовательно, в разбавленных растворах сильных электролитов

$$\langle R^2 \rangle^{1/2} \sim n, \quad (3.100)$$

где n – число звеньев в цепи.

В случае слабо заряженных макромолекул расстояние между двумя соседними зарядами достаточно велико, поэтому энергия электростатического взаимодействия оказывается меньшей, чем энергия теплового движения звеньев, и недостаточной для распрямления цепи. Однако, и в этом случае электростатическое взаимодействие приводит к заметному изменению конформационного набора слабо заряженной цепи по сравнению с невозмущенной. Для того, чтобы оценить эти изменения, удобно представить рассматриваемый клубок в виде последовательности клубков меньшего размера (рис. 3.10) – субклубков или блобов. Величина блоба обычно выбирается, исходя из конкретных условий, но в любом случае блоб рассматривается как гауссов субклубок, т. е. невозмущенный клубок со свободным блужданием звеньев. В рассматриваемом случае размер блоба задается, исходя из приложенной энергии, т. к. электростатическое отталкивания блобов и теплоблов, а тепловое движение препятствует этому.

Допустим, что каждый блоб содержит q зарядов, число звеньев между зарядами σ , тогда электростатическая энергия взаимодействия соседних по

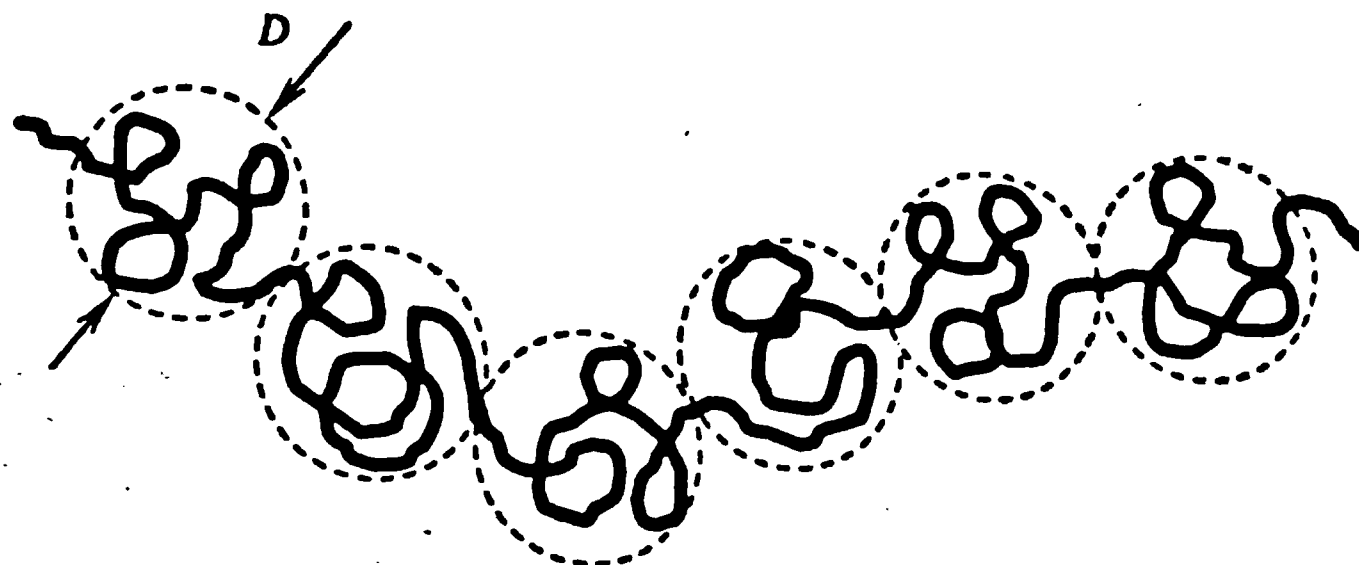


Рис. 3.10. Вытянутая макромолекула слабо заряженного полиэлектролита как система субклубков – блобов. D – характерный размер блоба, соизмеримый с «толщиной» цепи

цепи блобов равна $q^2e^2/\epsilon D$, где D – расстояние между центрами заряда двух соседних блобов, равное размеру блоба. Поскольку тепловая энергия пропорциональна T , из сказанного выше следует:

$$\frac{q^2e^2}{\epsilon D} \sim T. \quad (3.101)$$

Рассмотрим два возможных случая. Плотность заряда внутри блоба недостаточна для его деформации, поэтому его размер может оцениваться, исходя из известной ранее зависимости (2.10) для гауссова клубка:

$$D \sim l(q\sigma)^{1/2}, \quad (3.102)$$

где l – длина звена; $(q\sigma)$ – число звеньев блоба.

Суммарный заряд блоба достаточен для того, чтобы отталкивание таких зарядов вызвало некоторое вытягивание умеренно заряженной цепи. В таком случае необходимо учитывать два ее размера – продольный R_{\parallel} и поперечный R_{\perp} (рис. 3.10). Первый пропорционален числу блобов n/q , второй – квадратному корню из этого числа:

$$R_{\parallel} \sim \frac{n}{q} D, \quad (3.103)$$

$$R_{\perp} \sim \left(\frac{n}{q} \right)^{1/2} D. \quad (3.104)$$

Таким образом, макромолекулы как сильного, так и слабого электролита в предельно разбавленных растворах вытянуты, причем, первые можно уподобить вытянутым нитям, тогда как вторые похожи на вытянутые эллипсоиды.

С увеличением концентрации раствора полиэлектролита вокруг зарядов на макромолекулах формируется диффузная оболочка противоионов, кото-

рая уменьшает электростатическое взаимодействие между зарядами цепи, в результате цепи приобретают конформацию клубка, более рыхлого по сравнению с гауссовым. В присутствии постороннего электролита макромолекулы полиэлектролита сворачиваются в клубки при любой концентрации последнего.

3.3.2. Взаимодействие заряженных цепей с противоионами. Коллапс сеток

Из теории двойного электрического слоя известно, что часть ионов адсорбируется на границе раздела, образуя так называемый слой Гельмгольца. В случае полиэлектролитов часть противоионов также находится в непосредственной близости от заряженной макромолекулы, что было показано Онзагером в 1947 г. Это явление называется конденсацией противоионов (контрионов). В случае слабых полиэлектролитов относительное количество противоионов, связанных с заряженными макромолекулами, очень сильно зависит от термодинамического качества растворителя. В хороших растворителях «прилипания» ионов к макромолекулам практически не происходит. При ухудшении термодинамического качества растворителя, вызванного изменением температуры или добавками осадителя, начинается кооперативный процесс поглощения противоионов, сопровождаемый переходом «ожерелья» блобов в шарообразную глобулу.

Коллапс полимерных сеток. В разд. 3.1 было показано, что с уменьшением температуры в окрестностях θ -точки происходит фазовый переход клубок–глобула. Можно было полагать, что аналогичный переход приведет к значительному изменению объема набухшей полимерной сетки в окрестностях θ -точки, поскольку отрезок цепи между узлами сшивки по свойствам не отличается от гауссова клубка. Действительно, в 1978 г. Танакой было открыто явление, которое получило название коллапса полимерной сетки, заключающееся в колоссальном обратимом изменении объема набухшей полимерной сетки (1000 %) при незначительном изменении условий, определяющих термодинамическое качество растворителя.

Зависимость, представленная на рис. 3.11, была получена для набухшего сшитого полиакриламида, в качестве растворителя использовалась смесь вода–ацетон, причем последний компонент ухудшал растворяющую способность смешанного растворителя. Однако, последующие исследования показали, что в данном случае полимер представляет собой сополимер акриламида и акриловой кислоты, который образуется вследствие гидролиза амидных звеньев:

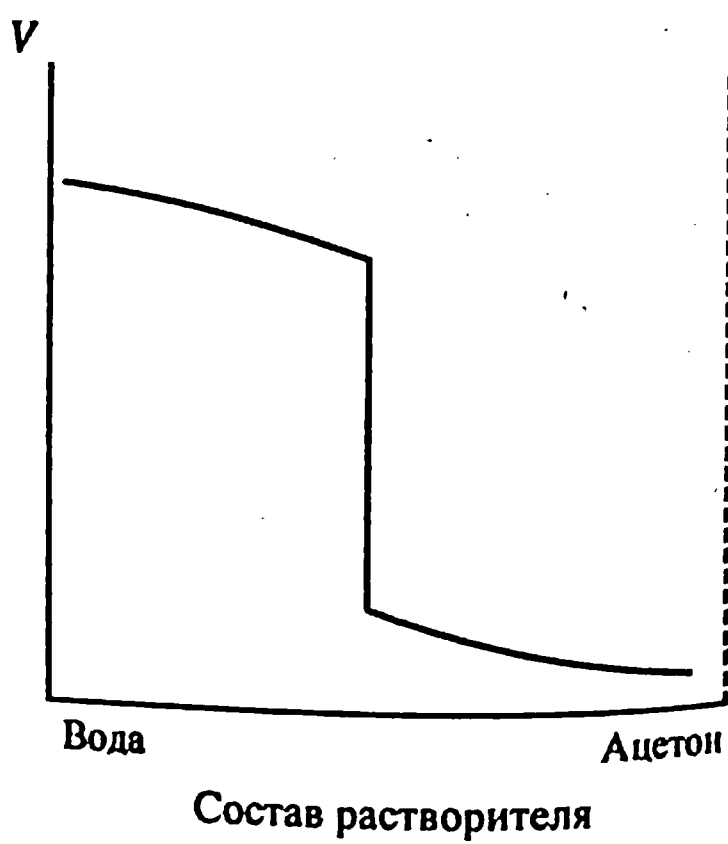
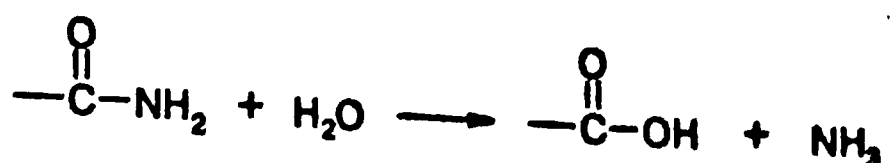


Рис. 3.11. Зависимость объема геля сшитого полиакриламида от состава растворителя

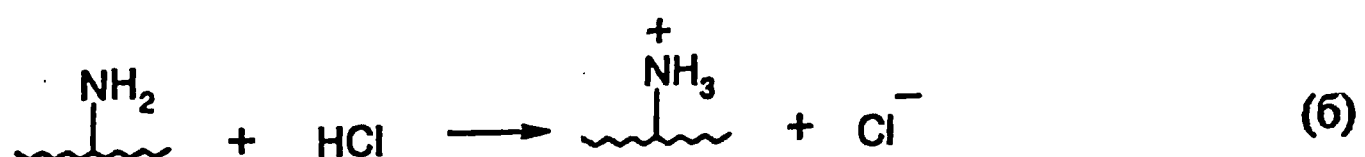
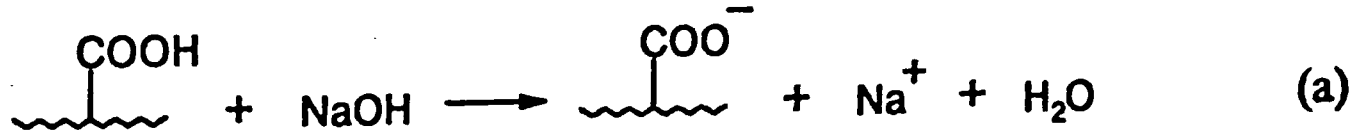


Таким образом, в данном случае мы имеем дело с коллапсом полимерной сетки слабого полиэлектролита. Наличие даже небольшой доли заряженных звеньев приводит к более ярко выраженному явлению коллапса полимерных сеток, как с точки зрения относительной величины изменения объема, так и с точки зрения дискретности перехода. Усиление эффекта связано с существованием облака противоионов внутри слабо заряженной набухшей полимерной сетки. Осмотическое давление противоионов придает дополнительную упругость сетке, подобно тому, как некоторое избыточное давление придает упругость надутому резиновому мячу. При ухудшении качества растворителя происходит поджатие субцепей, расположенных между узлами сетки, вследствие чего объем сетки в целом уменьшается. Но не этот эффект определяет явление коллапса. Как указывалось выше, при ухудшении качества растворителя происходит «прилипание» противоионов к цепям, в результате чего облако противоионов конденсируется и вместе с ним исчезает обусловленное ими осмотическое давление.

3.3.3. Свойства растворов полиэлектролитов

Наиболее ярко влияние зарядов проявляется при изучении вязкостных свойств полиэлектролитов. Рассмотрим зависимость вязкости раствора желатины (белка) от pH среды (рис. 3.12). Минимальной вязкостью обладают растворы при pH 4,7, отвечающем изоэлектрической точке. В изоэлектрическом состоянии число диссоциированных кислотных и основных групп макромолекулы амфолита равно и минимально, вследствие чего суммарный заряд макромолекулы равен нулю. При этих условиях для цепи характерны свернутые конформации.

При изменении pH (по сравнению с pH изоэлектрической точки), вызванном добавкой низкомолекулярного электролита (кислоты или щелочи), степень диссоциации ионогенных групп желатины увеличивается. Увеличение pH приводит к диссоциации кислотных групп (а), уменьшение pH вызывает диссоциацию основных групп (б):



В обоих случаях цепь разворачивается в результате возникновения и отталкивания одноименных зарядов в ней. Это приводит к значительному возрастанию вязкости раствора. По достижении определенной степени диссоциации кислотных или основных групп, равной примерно 0,8, вязкость раствора при дальнейшем изменении pH начинает уменьшаться. Это проис-

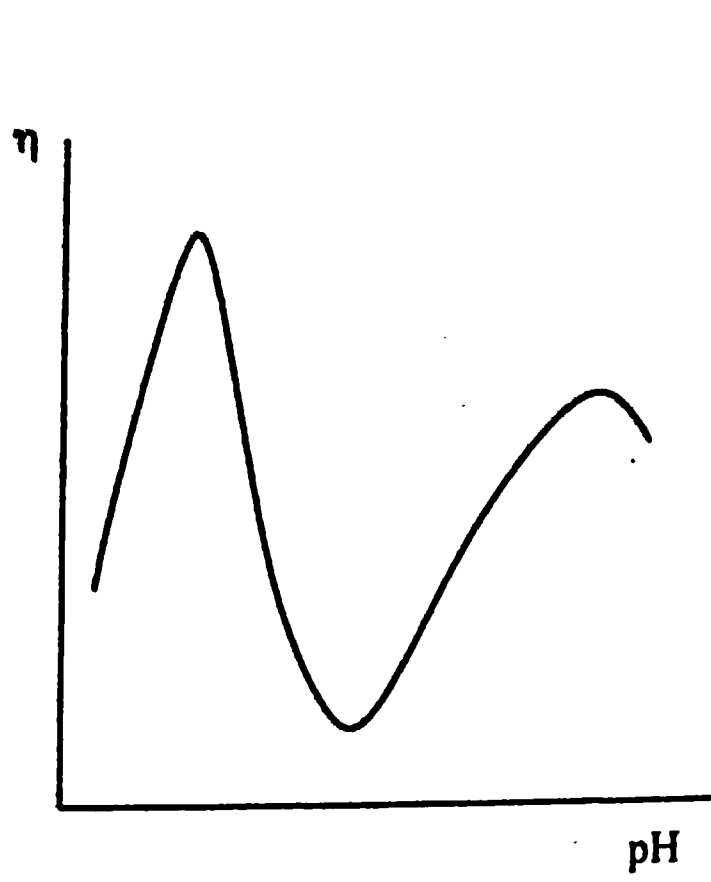


Рис. 3.12. Вид зависимости вязкости раствора амфотерного полиэлектролита (раствор желатины) от pH среды

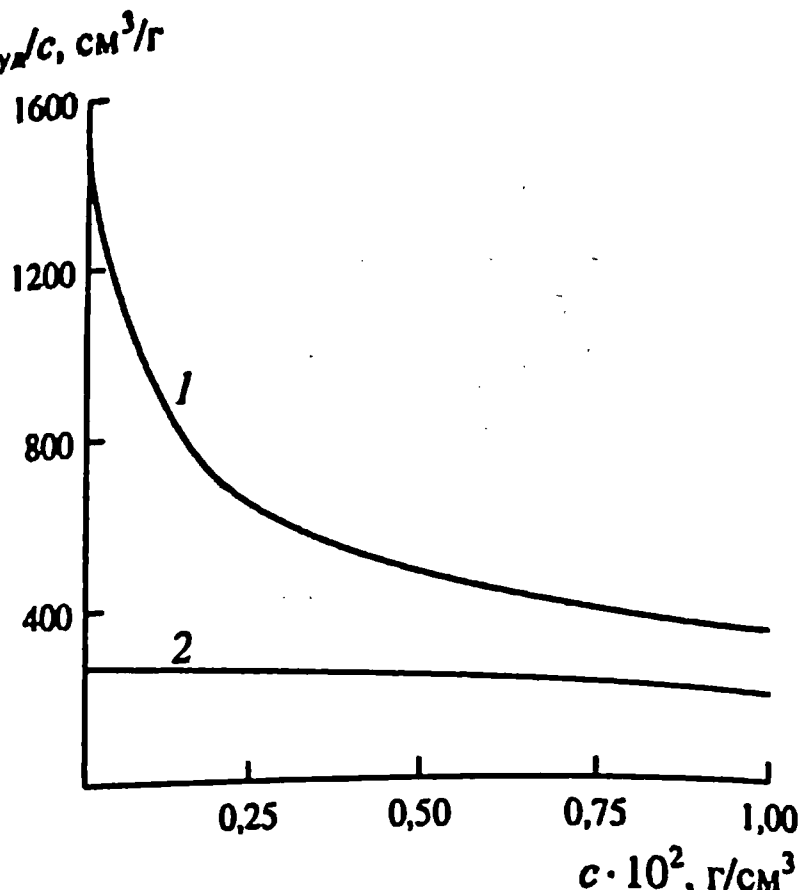


Рис. 3.13. Зависимость приведенной вязкости от концентрации раствора полиэлектролита: 1 – водный раствор поли-4-винил-N-бутилпиридиний-бромида, 2 – то же, с добавкой КBr

ходит из-за уменьшения электростатического отталкивания зарядов цепи вследствие их экранирования противоионами добавляемого электролита.

Взаимодействие полииона с низкомолекулярными противоионами приводит также к необычному виду зависимости приведенной вязкости раствора полиэлектролита от концентрации. Из рис. 3.13 видно, что с уменьшением концентрации раствора полиэлектролита его приведенная вязкость не уменьшается, как в случае растворов электронейтральных полимеров, а увеличивается. Этот эффект объясняется тем, что разбавление раствора приводит к уменьшению степени экранирования заряда полииона. В результате электростатическое отталкивание зарядов цепи увеличивается, и она разворачивается. Описанный эффект получил название полиэлектролитного набухания. Он может быть устранен добавками электролита, ионы которого вызывают дополнительное экранирование зарядов полииона.

Благодаря взаимодействию полиионов с противоионами, поликислоты и полиоснования являются более слабыми полиэлектролитами по сравнению с низкомолекулярными аналогами. Так, в процессе титрования полиакриловой кислоты отрыв ионов водорода затрудняется из-за возрастающего притяжения их к полианиону. Поэтому поликислота ведет себя по мере дальнейшего ее титрования как все более слабый полиэлектролит.

В случае полимерного основания, например поливинилпиридина, по мере протонирования основных групп положительно заряженная цепь все сильнее отталкивает ионы водорода, в результате ее основность уменьшается. Отсюда понятно, что измеряемая константа диссоциации полиэлектролита является усредненной, кажущейся величиной. От величины молекуляр-

ной массы полиэлектролита его кажущаяся константа диссоциации не зависит, за исключением области очень малых значений молекулярных масс.

Большое теоретическое и практическое значение имеют данные потенциометрического титрования полиэлектролитов. С их помощью могут быть рассчитаны электростатические характеристики полиэлектролитов и определены области pH, в которых они наиболее эффективно могут быть использованы в качестве ионообменников. Рассмотрим характерные особенности кривых потенциометрического титрования полиэлектролитов на примере поликислот. При малых концентрациях растворенного вещества в термодинамических выражениях могут быть использованы не активности, а аналитически определяемые концентрации:

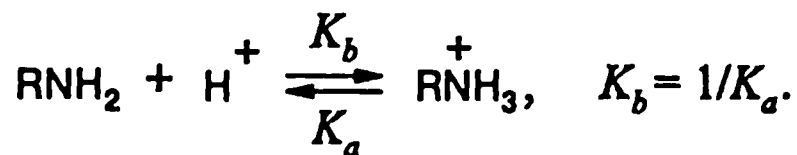
$$K = \frac{[H^+][-COO^-]}{[-COOH]} = [H^+] \frac{\alpha}{1 - \alpha}, \quad (3.105)$$

где α – степень диссоциации. После логарифмирования получаем:

$$pH = pK_a + \lg\left(\frac{\alpha}{1 - \alpha}\right), \quad (3.106)$$

где $pH = -\lg[H^+]$, $pK_a = -\lg K_a$.

Различают рK кислот (pK_a) и оснований (pK_b). Для кислоты, сопряженной с основанием, $pK_a = -pK_b$. Например, для реакции кислотно-основного взаимодействия



Уравнение (3.106) может быть применено к слабым основаниям при замене pK_a на pK_b . В случае полиэлектролитов электростатическое взаимодействие полиионов с низкомолекулярным ионом, участвующим в кислотно-основном взаимодействии, учитывается введением специального члена в уравнение (3.106). Так, при учете электростатического взаимодействия полииона с ионом водорода уравнение (3.106) принимает следующий вид:

$$pH = pK_a^0 + \lg\left(\frac{\alpha}{1 - \alpha}\right) + 0,43\left(\frac{G_{el}}{RT}\right), \quad (3.107)$$

где $pK_a^0 = pK_a$ при $\alpha \rightarrow 0$. В общем случае величина G_{el} может быть определена из данных потенциометрического титрования при известном значении pK^0 . Последнее также определяется из данных потенциометрического

титрования в результате экстраполяции зависимости $pH - \lg\left(\frac{\alpha}{1 - \alpha}\right) = f(\alpha)$

к $\alpha = 0$. При последнем условии $pK = pK^0$. Описанным методом было найдено, что G_{el} практически не зависит от молекулярной массы полииона, но

весьма чувствительна к его конформации, микроструктуре цепи, а также наличию в растворе ионов низкомолекулярного электролита. Во многих случаях было обнаружено, что величина G_m пропорциональна $\lg \alpha / (1 - \alpha)$ в области $0,1 < \alpha < 0,9$. Это означает, что кривые потенциометрического титрования большинства полиэлектролитов описываются уравнением:

$$pH = pK^0 + n \cdot \lg \left(\frac{\alpha}{1 - \alpha} \right), \quad (3.108)$$

где $n > 1$, причем, величина отклонения n от единицы характеризует величину электростатического эффекта.

На рис. 3.14 приведены кривые потенциометрического титрования стерорегулярной полиакриловой кислоты и ее низкомолекулярного аналога – пропионовой кислоты. Как и следовало ожидать, полиакриловая кислота является более слабой по сравнению с пропионовой. Ее кривые потенциометрического титрования располагаются в области более высоких значений pH. Вид кривых потенциометрического титрования зависит от микроструктуры цепи полиэлектролита. Полион с фиксированными зарядами стремится принять форму спирали – в случае изотактической цепи и форму плоского вытянутого зигзага в случае синдио- или атактической цепи. Изотактическая цепь характеризуется более высокой плотностью заряда. Следовательно, при одинаковых значениях α энергия электростатического взаимодействия такой цепи с противоионами будет наибольшей по сравнению с цепями другой микроструктуры, а кривая потенциометрического титрования расположена правее (кривая 3).

Термодинамические свойства растворов полиэлектролитов заметно отличаются от термодинамических свойств растворов низкомолекулярных электролитов. Специфичным для растворов полиэлектролитов является так называемое равновесие Доннана или мембранные равновесие. Равновесие Доннана устанавливается в системах, имеющих границу раздела и содержащих ионы, способные и неспособные переходить через эту границу. К последним относятся полионы и органические ионы большого размера. Равновесие Доннана с участием полионов, например полианионов, может возникнуть в двух типах систем:

а) раствор полиэлектролита M^+R^- разделен с раствором низкомолекулярного электролита M^+A^- полупроницаемой перегородкой;

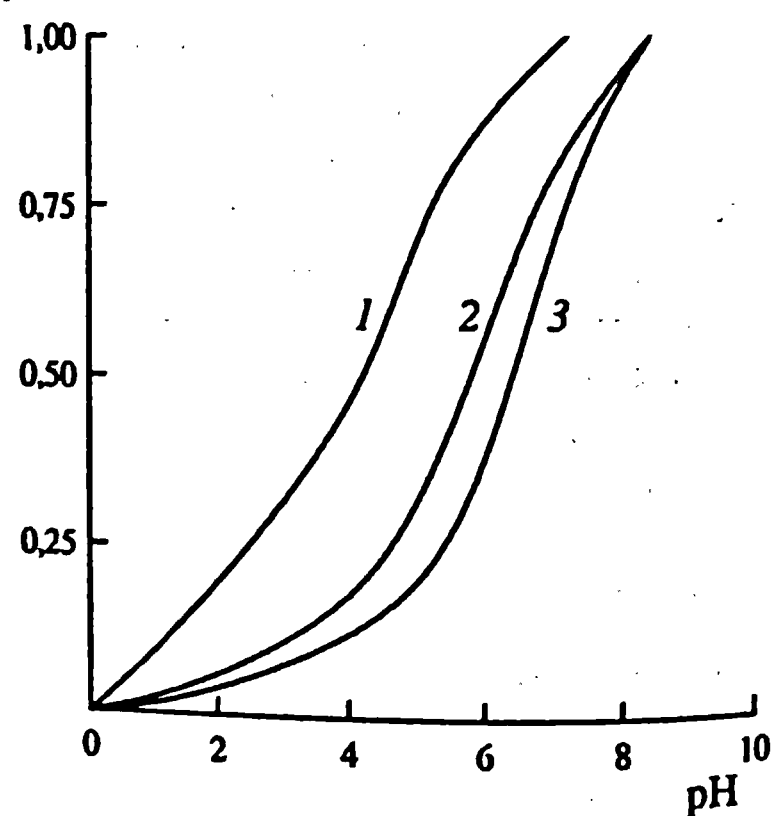


Рис. 3.14. Кривые потенциометрического титрования растворов:
1 – пропионовой кислоты в воде;
2, 3 – синдио- и изотактической полиакриловой кислоты в воде

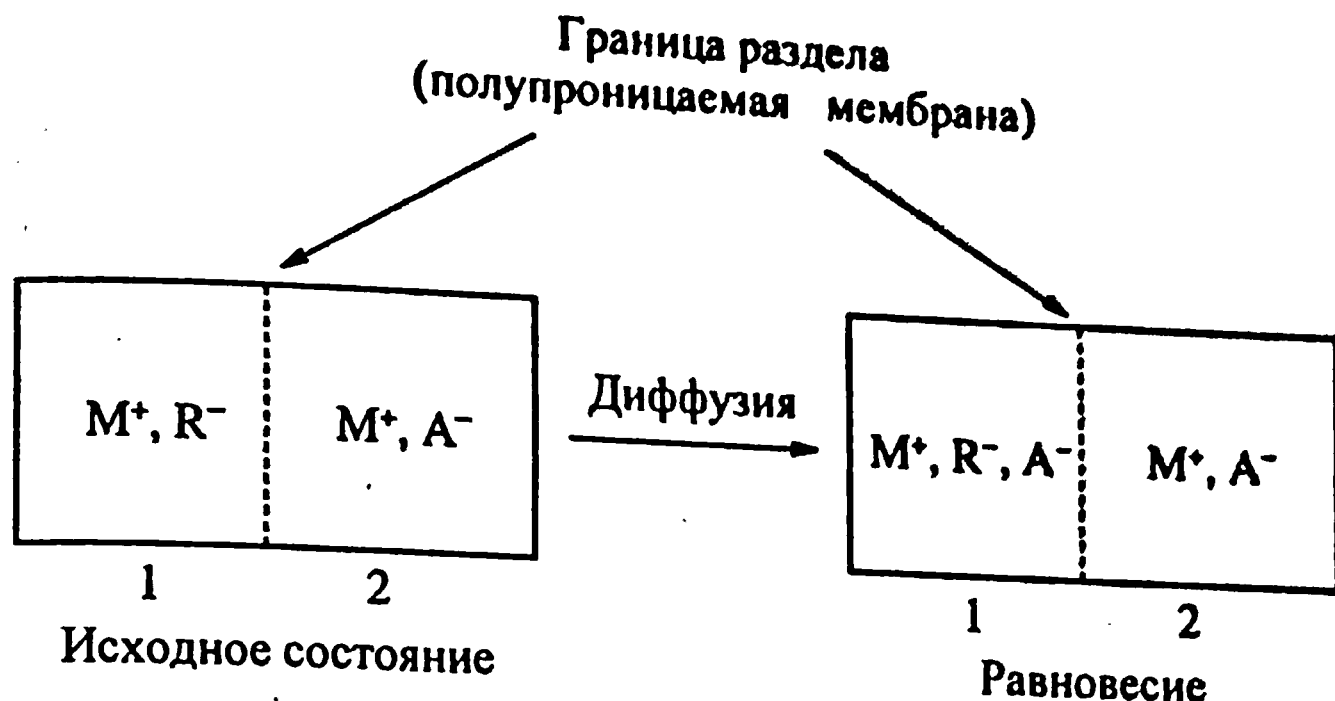


Рис. 3.15. К равновесию Доннана

б) ограниченно набухший «сшитый» полиэлектролит M^+R^- (гель) находится в растворе низкомолекулярного электролита M^+A^- .

В обоих случаях систему можно представить следующей условной схемой (рис. 3.15), где R^- – полианионы, не способные переходить из области I в область 2; M^+ , A^- – низкомолекулярные ионы, способные диффундировать через границу раздела областей I и 2.

По установлению равновесия электролит M^+A^- должен иметь одинаковую активность по обе стороны границы раздела, т. е.

$$([M^+][A^-]\gamma_{\pm})_1 = ([M^+][A^-]\gamma_+)_2. \quad (3.109)$$

При относительно малых концентрациях можно принять, что коэффициенты активности $\gamma_+ = 1$, тогда:

$$([M^+][A^-])_1 = ([M^+][A^-])_2. \quad (3.110)$$

Обозначим исходную молярную концентрацию ионогенных групп полиэлектролита c_1 , электролита c_2 . До установления равновесия часть низкомолекулярного электролита перейдет из области 2 в область 1, вследствие чего его концентрация в области 2 уменьшится на Δc . На эту же величину возрастет концентрация иона M^+ в области 1. После подстановки принятых значений концентраций в уравнение (3.110) получаем:

$$[(c_1 + \Delta c) \cdot \Delta c]_1 = [(c_2 - \Delta c)^2]_2, \quad (3.111)$$

откуда:

$$\Delta c = \frac{c_2^2}{c_1 + 2c_2}. \quad (3.112)$$

Анализ выражения (3.111) приводит к трем возможным результатам:

$$c_1 \gg c_2, \quad \Delta c \rightarrow 0;$$

$$c_1 \ll c_2, \quad \Delta c = \frac{c_2}{2};$$

$$c_1 = c_2, \quad \Delta c = \frac{c_2}{3}.$$

Таким образом, при концентрации полиэлектролита, соизмеримой с концентрацией низкомолекулярного электролита, последний распределяется по обе стороны полупроницаемой мембраны неравномерно. При более высокой концентрации полиэлектролита в занятую им область внешний электролит практически не проникает. Биологические клетки содержат относительно большое количество полиэлектролитов (до 10 %) преимущественно амфотерного характера. Концентрация ионогенных групп полиэлектролитов внутри клетки на порядок выше концентрации ионов в среде, окружающей клетку. Поэтому «внешние» ионы проникают внутрь клетки в незначительной степени, благодаря чему ее солевой состав сохраняется практически неизменным.

Растворы полиэлектролитов еще более далеки от идеальных по сравнению с растворами электронейтральных полимеров. Это связано, в первую очередь, с наличием в них противоионов. Поэтому величины коллигативных свойств растворов (т. е. зависящих от числа частиц) определяются вкладом как полиионов, так и противоионов, причем вклад последних более существен.

Рассмотрим в качестве примера осмотическое давление растворов полиэлектролитов. В первом приближении неидеальность таких растворов можно связать только с наличием низкомолекулярных противоионов. Тогда:

$$\pi = cRT + \Phi c\bar{r}\alpha RT = cRT(1 + \alpha\bar{r}\Phi), \quad (3.113)$$

где c – концентрация макромолекул; \bar{r} – степень полимеризации; α – степень диссоциации ионогенных групп; Φ – осмотический коэффициент, характеризующий степень отклонения растворов от идеальности. Обычно $0 < \Phi < 1$. Поскольку $\bar{r} \gg 1$, при α , существенно отличной от нуля, произведение $\alpha\bar{r}\Phi \gg 1$ и, следовательно, $\pi \approx \Phi c\bar{r}\alpha RT$. Это означает, что осмотическое давление раствора полиэлектролита в первом приближении равно осмотическому давлению, обусловленному противоионами.

3.4. Жидкокристаллическое состояние полимеров

3.4.1. Природа жидкокристаллического состояния вещества

Структура веществ в жидкокристаллическом состоянии является промежуточной между структурой жидкости и кристалла. Это промежуточное состояние называется мезомерным, от «мезос» – промежуточный. Существует несколько типов мезофаз:

жидкие кристаллы, которые могут быть названы позиционно неупорядоченными кристаллами или ориентационно упорядоченными жидкостями, они образуются молекулами анизотропной формы (вытянутыми), в том числе жесткоцепными макромолекулами;

пластические кристаллы, образуемые молекулами с малой анизотропией формы, полимерными глобулами, для них характерно наличие позиционного и отсутствие ориентационного порядка;

кондис-кристаллы, образуемые гибкоцепными макромолекулами и органическими циклическими структурами.

Молекулы или фрагменты макромолекул, образующие мезофазы, называются мезогенными, а соответствующие кристаллы – мезоморфными. Наиболее общее свойство жидких кристаллов состоит в анизотропии свойств, что приводит, в частности, к их помутнению. Именно благодаря этой особенности, жидкие кристаллы были открыты в конце XIX в. Ф. Рейнитцером – при понижении температуры жидкое вещество холестерилбензоат мутнело и затем при ее повышении становилось прозрачным. Существование температуры просветления является одним из характерных признаков наличия жидкокристаллического упорядочения. Другим характерным признаком образования мезофазы является незначительный тепловой эффект. Тип молекулярной упаковки, ее характерный рисунок – «текстура», определяются в поляризационном микроскопе. Параметры жидкокристаллической структуры определяются рентгеноструктурным анализом. Жидкие кристаллы, образующиеся в расплавах при плавлении кристаллических тел, называют термотропными. Жидкие кристаллы, возникающие в растворах при изменении их концентрации, называют лиотропными.

Первыми учеными, которые предсказали возможность образования полимерами мезофазы, были В. А. Каргин и П. Флори. В 1960-х гг. жидкокристаллическое упорядочение было обнаружено сначала для жесткоцепных, затем для гибкоцепных полимеров. Важным преимуществом жидкокристаллических полимеров перед низкомолекулярными жидкими является способность первых к стеклованию, благодаря чему жидкокристаллическая структура фиксируется в твердом состоянии. Данное обстоятельство существенно расширяет области практического использования рассматриваемого явления, в частности, в устройствах для записи и хранения информации.

Основным критерием возможности перехода полимеров в мезоморфное состояние является отношение длины сегмента или фрагмента заместителя к диаметру $x = L/d \gg 1$, которому удовлетворяют ароматические полиамиды, эфиры целлюлозы, α -спиральные полипептиды, ДНК, гребнеобразные полимеры и др. Приведенное характерное отношение позволяет рассчитать концентрацию фазового перехода:

$$\phi_2^* = A/x, \quad (3.114)$$

где A – постоянная, равная 5–10. Это соотношение хорошо выполняется для лиотропных систем, т. е. растворов жесткоцепных полимеров с различными механизмами гибкости – персистентным, поворотно-изомерным, свободно сочлененным.

Известны три основных вида кристаллической фазы: нематическая, смектическая и холестерическая (рис. 3.16). В первой молекулы стремятся ориентироваться вдоль одного преимущественного направления; во второй – вдоль преимущественного направления, представленного спиралью; в третьей – наряду с ориентацией молекул, имеется дальний трансляционный порядок в одном или нескольких измерениях, другими словами, слоевая упорядоченность.

Жидкокристаллическая фаза может образовываться в растворах и расплавах жесткоцепных полимеров, а также сополимерах, макромолекулы которых содержат гибкие и жесткие участки. Жидкокристаллическое упорядочение полимеров полифосфазена, полидиэтилсилоксана и полидипропилсилоксана, которые явно не соответствуют критерию $L \gg d$, заставило предположить, что в определенных условиях возможно ожесточение цепи, самопроизвольное ее распрямление и последующая укладка в так называемые

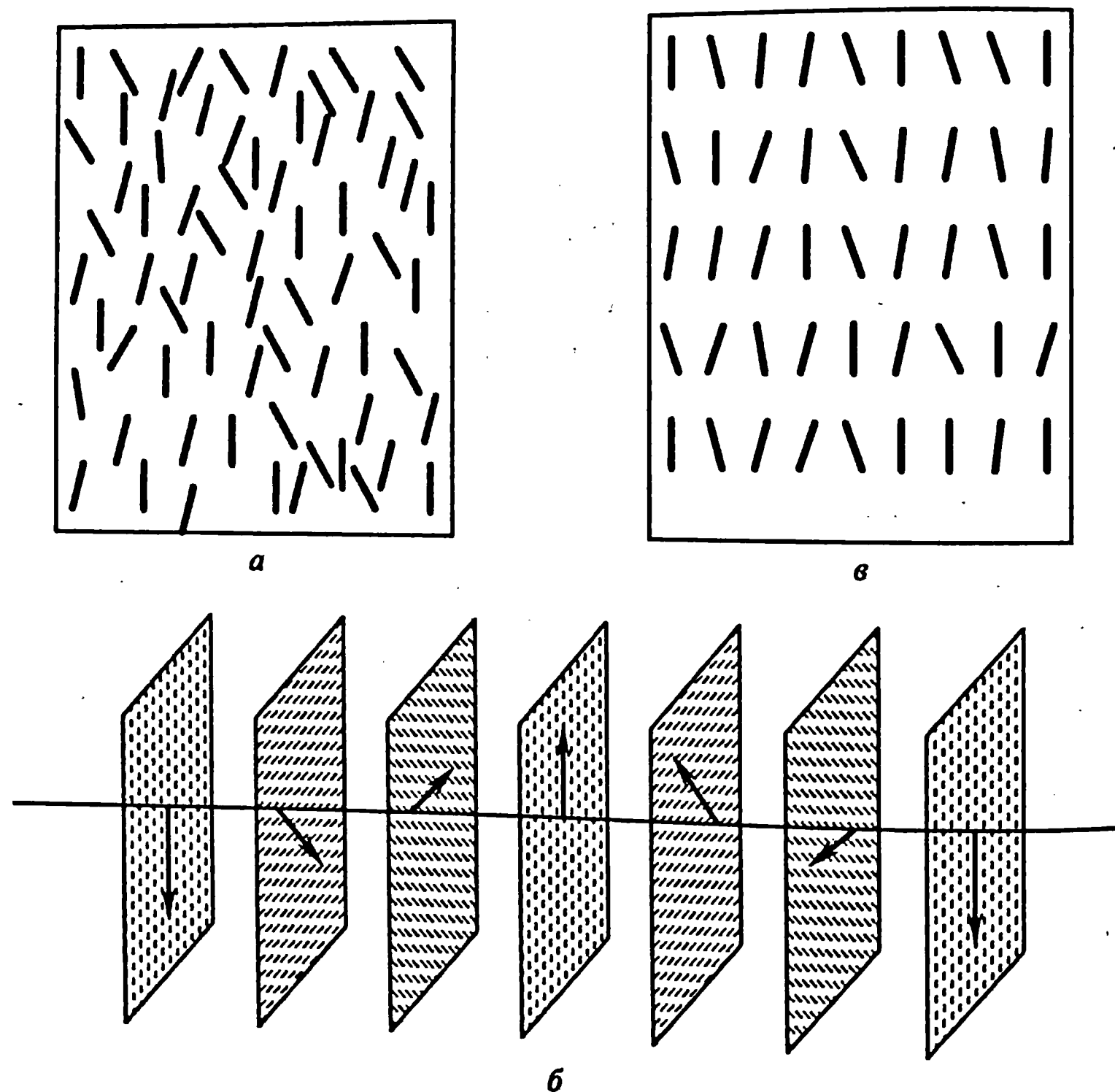


Рис. 3.16. Три типа жидкокристаллического упорядочения: а – нематическое, б – смектическое; в – холестерические жидкие кристаллы. Стрелкой указано направление директора – вектора преимущественной ориентации

мый кондис-кристалл. Под этим термином понимается конформационно разупорядоченный кристалл с вытянутыми цепями.

Первая теория жидкокристаллического нематического упорядочения полимера предложена Л. Онзагером в 1949 году для модельного раствора цилиндрических длинных стержней длиной L и диаметром d при условии $L \gg d$. Если в растворе объемом V содержится N стержней, то их концентрация c и объемная доля ϕ соответственно равны:

$$c = \frac{N}{V}, \quad \phi = \frac{\pi c L d^2}{4}. \quad (3.115)$$

Вследствие теплового движения макромолекул ориентация их длинных осей вдоль одного направления при жидкокристаллическом упорядочении не может быть строгой, их распределение по направлениям относительно заданного характеризуется функцией распределения $f(\vec{u})$. Для рассматриваемой системы произведение $c f(\vec{u}) d\Omega$ равно числу стержней в единице объема с направлениями, лежащими внутри малого телесного угла $d\Omega$ вокруг вектора \vec{u} . Вектор \vec{u} может принимать любое направление, при этом, для изотропного раствора $f(\vec{u}) = \text{const}$, для упорядоченного $f(\vec{u})$ имеет максимум при направлении \vec{u} , совпадающим с направлением ориентации.

В теории Онзагера функция Гиббса раствора стержней выражается суммой трех слагаемых:

$$G = G_1 + G_2 + G_3, \quad (3.116)$$

где G_1 представляет вклад в функцию Гиббса, связанный с перемещением стержней, G_2 учитывает энтропийные потери, неизбежные при переходе к упорядоченному состоянию. Наибольший интерес представляет третье слагаемое G_3 , относящееся к функции Гиббса (свободной энергии) взаимодействия стержней. Согласно Онзагеру,

$$G_3 = cNT \iint f(\vec{u}_1) f(\vec{u}_2) B(\gamma) d\Omega_1 d\Omega_2, \quad (3.117)$$

где $B(\gamma)$ – второй вириальный коэффициент взаимодействия стержней, длинные оси которых составляют между собой угол γ . В данном случае взаимодействие стержней ограничивается лишь их возможным отталкиванием вследствие взаимной непроницаемости. Поэтому величина $B(\gamma)$ равна объему, исключенному одним стержнем для движения другого. Из рис 3.17 следует, что исключенный объем и, следовательно, $B(\gamma)$ равны:

$$B(\gamma) = L^2 d |\sin \gamma|, \quad (3.118)$$

что соответствует параллелепипеду, изображенному на рис. 3.17.

Из (3.118) видно, что при $\gamma \rightarrow 0$, $G_3 \rightarrow 0$, следовательно, ориентационное упорядочение или, другими словами, параллельное друг другу расположение стержней термодинамически выгодно, т. к. оно приводит к уменьшению функции Гиббса системы. Этот вывод имеет общий характер. Тип молеку-

лярной упаковки мезофазы, ее текстура, сколь бы она ни была причудливой, всегда соответствуют минимальному значению функции Гиббса.

В теории Онзагера получены следующие конечные результаты.

1. Ориентационное упорядочение в растворе длинных жестких стержней является фазовым переходом второго рода.

2. При $\phi > \phi_a$, раствор изотропен, при $\phi < \phi_a$ – анизотропен, при

$\phi_i < \phi < \phi_a$ раствор разделяется на две фазы – изотропную и анизотропную.

3. Области перехода связаны с характеристиками асимметрии макромолекулы:

$$\phi_i = 3,34 \frac{d}{L}, \quad \phi_a = 4,49 \frac{d}{L}, \quad \frac{\phi_a}{\phi_i} - 1 = 0,34. \quad (3.119)$$

Жидкокристаллическое упорядочение в растворе жестких стержней было теоретически изучено также Флори на основе решеточной модели раствора. Им выведено следующее соотношение, связывающее критическую концентрацию ϕ_2^* и параметр асимметрии x :

$$\phi_2^* = \frac{8}{x} \left(1 - \frac{2}{x} \right). \quad (3.120)$$

При достижении концентрации стержней или стержнеподобных жесткоцепных макромолекул, равной ϕ_2^* , раствор разделяется на две фазы – изо-

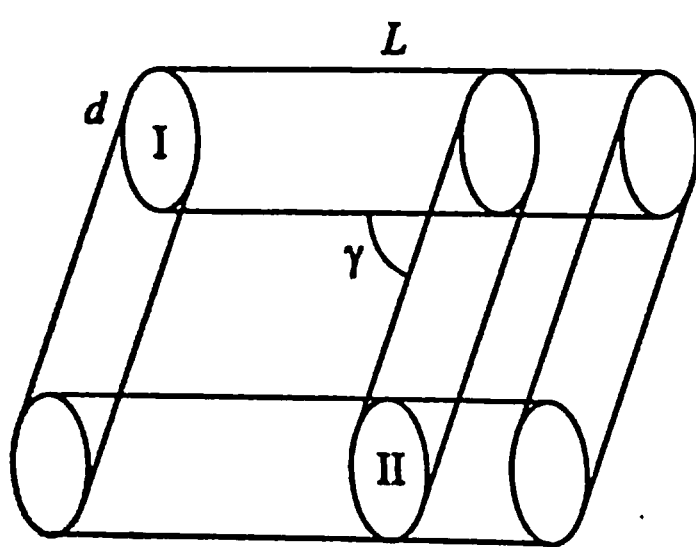


Рис. 3.17. К расчету исключенного объема стержнеобразных макромолекул, $L \gg d$

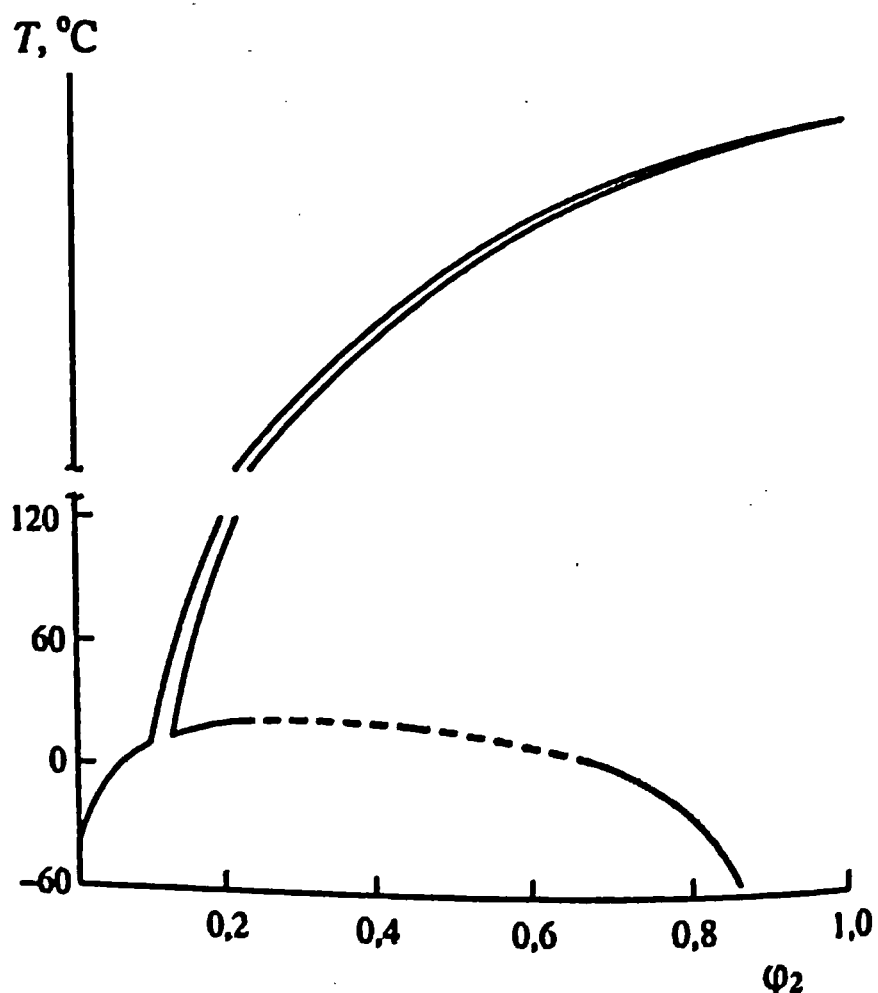


Рис. 3.18. Диаграмма фазового состояния системы поли- γ -бензил- L -глутамат – диметилформамид в координатах состав – температура (ϕ_2 – объемная доля полимера; пунктиром показана область недостоверных данных)

тропную и анизотропную (жидкокристаллическую). С увеличением $\phi_2 > \phi_2^*$ относительное количество первой убывает, второй – возрастает, в пределе раствор станет жидкокристаллическим. Общий вид фазовой диаграммы кул получен впервые Флори. Ей соответствует приведенная на рис. 3.18 диаграмма фазового состояния раствора синтетического полипептида полигамил-*L*-глутамата. Левая верхняя часть диаграммы соответствует изотропной фазе, правая верхняя – анизотропной фазе, средняя часть, ограниченная кривыми, отвечает сосуществованию изотропной и анизотропной фаз.

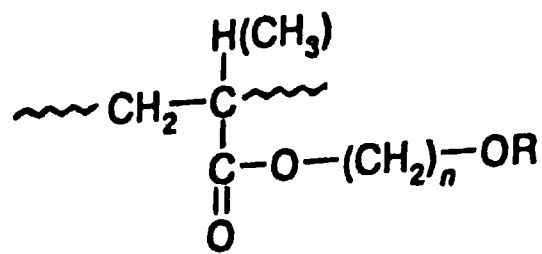
Для диаграмм подобного рода характерно существование узкого коридора фазового расслоения. Считается, что он должен сходиться в точке, отвечающей гипотетической температуре перехода полимера из изотропного в жидкокристаллическое состояние. Ясно, что эта точка должна быть расположена в правом верхнем углу диаграммы, отсюда следует, что с повышением температуры коридор должен сужаться и поворачивать вправо. При повышении температуры выше 15 °С (начало коридора) отношение концентраций полимера в сосуществующих изотропной и анизотропной фазах отличается относительно мало – $(\phi_2)_\text{из} / (\phi_2)_\text{аниз} = 1,5$. Этот результат был предсказан Флори. При $T < 15$ °С в широкой двухфазной области концентрация полимера в анизотропной фазе ($\phi_2 \approx 0,7 - 0,85$) значительно выше по сравнению с изотропной ($\phi_2 \approx 0,01 - 0,05$).

3.4.2. Влияние температуры и полей на жидкокристаллические системы

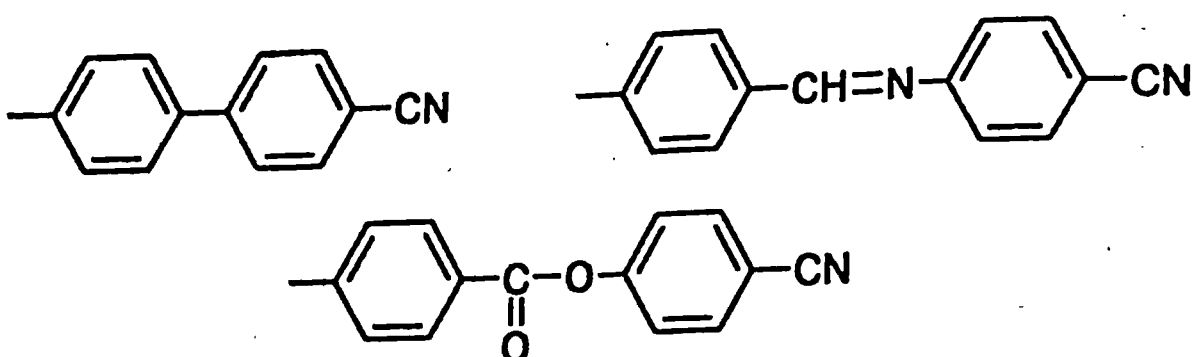
Шаг холестерической спирали l имеет порядок длины волны видимого света и зависит от температуры. Кроме того, соответствующие мезофазы способны селективно отражать свет с длиной волны nl , где n – средний коэффициент преломления. Поэтому цвет холестерического материала зависит от температуры, что широко используется при создании термоиндикаторов. Жидкие кристаллы способны претерпевать структурные превращения под действием электрического и магнитного полей. В основе так называемых полевых электро- и магнитооптических эффектов, нашедших практическое применение, лежит переориентация директора L , т. е. оптической оси определенного объема жидкого кристалла под действием поля. Непосредственной причиной ориентации является анизотропия электрических и магнитных свойств среды. Переориентация вызывает упругие деформации жидкого кристалла, которые ей препятствуют. Поэтому переориентация наступает при определенных значениях напряженности электрического и магнитного полей, которые зависят от анизотропии диэлектрической проницаемости $\Delta\epsilon$ и диамагнитной восприимчивости $\Delta\chi$.

Поведение гребнеобразных полимеров во внешних полях напоминает реакцию на них низкомолекулярных жидких кристаллов. В расплавах гребнеобразных полимеров, строение которых приведено ниже, полевые эффекты обусловлены ориентационными процессами в жидкокристаллической фазе,

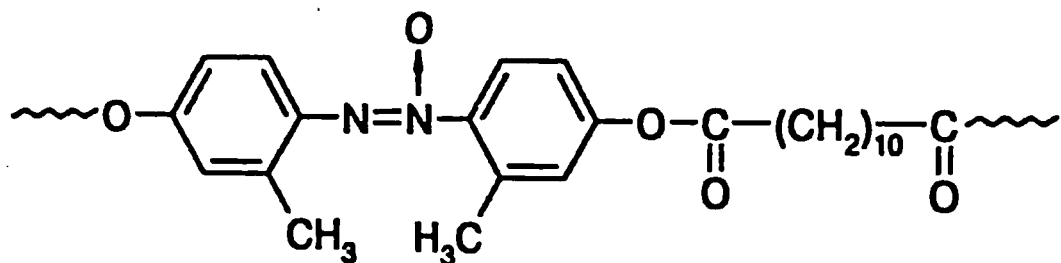
образованной ответвлениями (гребнями), для которой характерна диэлектрическая и диамагнитная анизотропия:



где R:



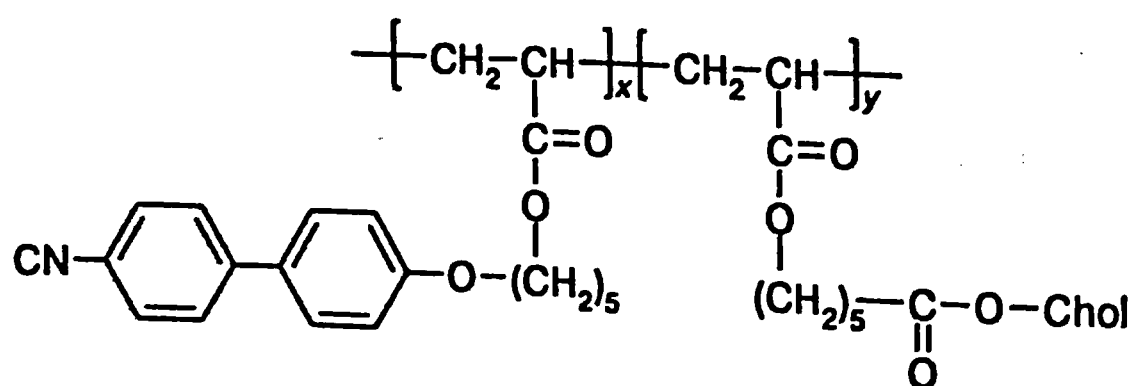
Взаимодействие боковых групп с внешним полем приводит к движению сегментов основной цепи, что, однако, не отражается на ориентации макромолекулы в целом. Принципиально иной результат наблюдается в том случае, когда мезогенные группы включены в состав линейной цепи. На примере нематического азоксипроизводного полизфира рентгенографическим методом была доказана ориентация макромолекул линейного полимера в магнитном поле напряженностью 1,17 Тл. Аналогичные результаты были получены и для других жидкокристаллических полимеров, при этом было замечено:



а) эффект ориентации уменьшается с увеличением числа групп $-\text{CH}_2-$ в гибкой развязке (блоке) основной цепи;

б) упорядочение структуры линейных полимеров за счет мезогенных групп в основной цепи приводит к повышению упругих характеристик.

В холестерических сополимерах, подобных представленному ниже,



где Chol – холестериновый фрагмент, структурные превращения, вызванные действием электрического поля, приводят к раскрутке спирали. Необходимым условием является значительное $\Delta\epsilon$, что обеспечивается введением в

цепь звеньев, содержащих полярные группы $-CN$ (звенья второго типа) обеспечивают холестерический тип мезофазы). На первом этапе изменяется ориентация спирали в целом – от положения, нормального к плоскости пленки, к положению вдоль плоскости пленки. На втором этапе происходит раскрутка спирали и формирование смектической мезофазы.

Структурные изменения и ориентационные процессы, протекающие в жидкокристаллической фазе под действием полей, приводят к изменению ее прозрачности и окраски. Данное обстоятельство широко используется в технике при создании различных индикаторных устройств. Жидкокристаллическим полимерам трудно конкурировать в данной области с низкомолекулярными соединениями из-за малого быстродействия. Однако, их способность к последующей фиксации вновь образованной структуры в застекленной матрице позволяет использовать жидкокристаллические полимеры при разработке материалов для записи и хранения информации.

3.4.3. Вязкость растворов жидкокристаллических полимеров

Жидкокристаллическое упорядочение в растворах приводит к появлению максимума на зависимости вязкости от концентрации. На рис. 3.19 приведена подобная зависимость для растворов поли-*n*-бензамида различной молекулярной массы. В области критических концентраций, отвечающих жидкокристаллическому упорядочению раствора, наблюдается четкий максимум, положение которого закономерно связано с молекулярной массой для предельно жестких полимеров:

$$c^* \sim 1/M, \quad (3.121)$$

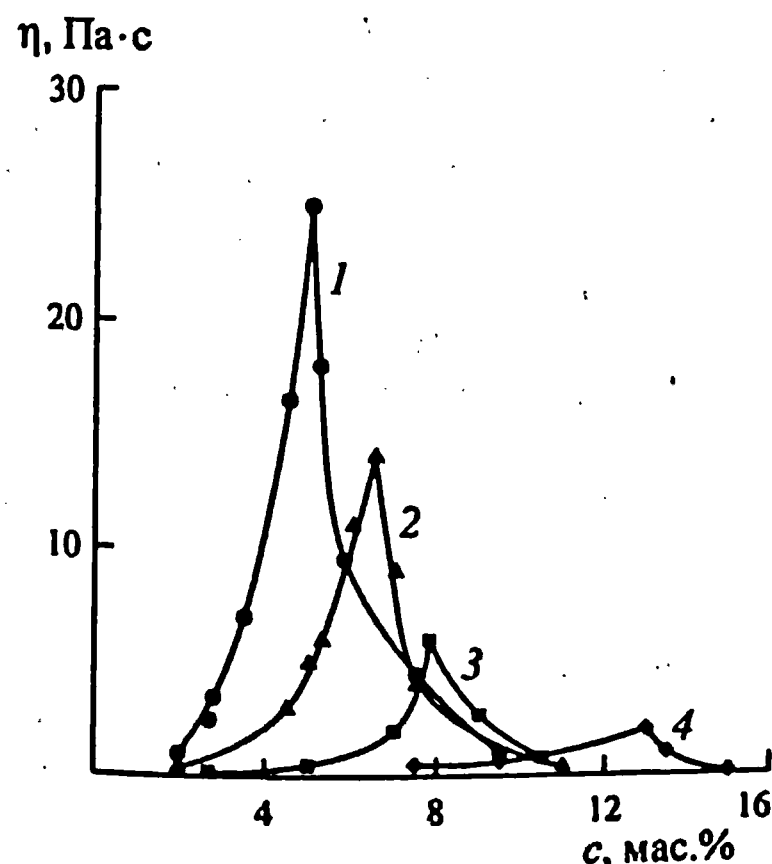


Рис. 3.19. Концентрационные зависимости вязкости для растворов поли-*n*-бензамида с $M \cdot 10^{-3}$: 1 – 29,4; 2 – 22,2; 3 – 17,5, 4 – 11,0

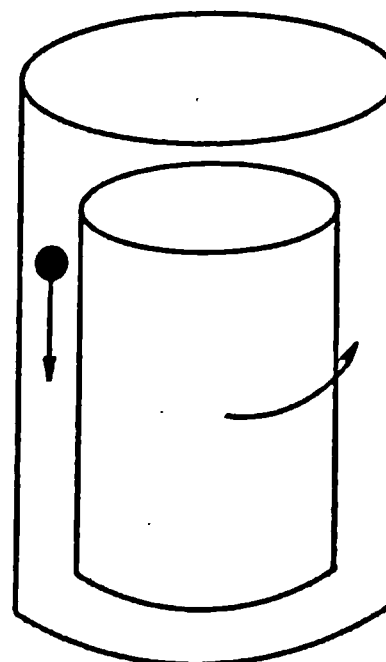


Рис. 3.20. Схема определения поперечной и продольной вязкости раствора поли-*n*-бензамида при $\gamma_1 \rightarrow 0$ $\eta_p/\eta_L \rightarrow 6$

и асимметричностью сегмента $x = L/d$ для менее жестких:

$$c^* \sim 1/x. \quad (3.122)$$

В анизотропных растворах жидкокристаллических полимеров вязкость зависит от направления движения. В одном из опытов «поперечная» вязкость определялась путем измерения крутящего момента на подвижном цилиндре вискозиметра, продольная – по скорости падения шарика в зазоре между цилиндрами (рис. 3.20). Для анизотропных растворов поли-*n*-бензамида были получены зависимости η_1 и η_1 от скорости сдвига γ_1 , сильно отличающиеся при малых значениях последнего. Для изотропных растворов значения η_1 и η_1 были одинаковы для всех скоростей сдвига.

3.4.4. Высокопрочные и высокомодульные волокна из жидкокристаллических полимеров

Впервые высокопрочные и высокомодульные волокна из растворов жидкокристаллических полимеров поли-*n*-бензамида и поли-*n*-фенилентерефталата были получены в 1960-х гг. Синтез этих полимеров описан в разд. 5.6.8. Волокна из пара-амидных полимеров объединяются в группу арамидных, волокна из упомянутых выше полимеров получили товарное название «Кевлар» и «Таврон», ставшие к настоящему времени широко известными. В том случае, когда жесткоцепной полимер не плавится вплоть до температуры разложения, формование волокон возможно лишь из лиотропных жидкокристаллических систем, как это имеет место в описанных примерах. К настоящему времени синтезированы термотропные волокнообразующие полимеры – ароматические сополиэфиры, ароматические полиазометины. Из расплава указанных полимеров также получены высокопрочные волокна. Однако, их промышленное производство (менее 100 тыс. т в год) освоено в основном первым методом. Область применения – армирование резинотехнических изделий, легкие композиты для авиации и космоса, сверхпрочные тросы, мягкая броневая защита (бронежилеты).

Ароматические полиамиды в процессе синтеза растворяются в амидных растворителях. Для переработки в волокно высаженный и очищенный полимер растворяется в 100 %-ной серной кислоте. Растворению способствует кислотно-основное взаимодействие, так как амиды являются по отношению к кислоте сильными основаниями.

Для того, чтобы усилить ориентационный эффект, обусловленный жидкокристаллическим упорядочением прядильного раствора, формование волокна проводят через воздушную прослойку. Высокая кратность растяжения струй в воздушной прослойке обуславливает значительный дополнительный ориентационный эффект. Оптимальная температура переработки 18–20 %-х растворов полиамидов заключена в пределах 75–85 °С. Высокодостигнутое ванну (водный раствор серной кислоты концентрацией 0–30 %) с низкой температурой (0–5 °С). Из табл. 3.5, где представлены свойства

Таблица 3.5

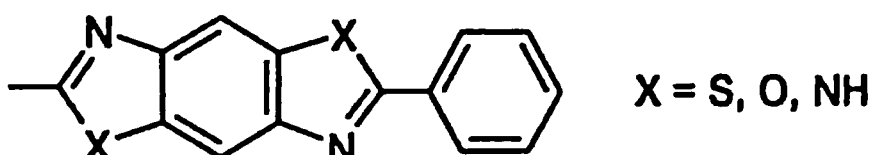
Механические свойства основных типов волокон технического назначения

Показатели	Кевлар-49	Терлон	Нейлон 6,6	Полиэфирное	Вискозное
Разрывная прочность, сН/текс	264	250–260	120	80	55
Разрывное удлинение, %	2,4–4,0	2–4	21,0–25,0	14,5	11,0
Начальный модуль упругости, ГПа	130,0	135–145	5,0–5,5	13,4	16,5
Прочность в узле	30–50	40	60–80	55,0	34

разных типов волокон, видно явное преимущество волокон из жидкокристаллических полимеров (Кевлар-49, Терлон), за исключением такого показателя, как прочность в узле.

Преимущества формования высокопрочных волокон из растворов жидкокристаллических полимеров обусловлены тем, что достигается высокая степень ориентации макромолекулярных цепей и, следовательно, высокие прочностные показатели, благодаря жидкокристаллическому упорядочению прядильных растворов и фильтерному вытягиванию. Последующая тепловая обработка приводит к существенному повышению их модуля.

Вслед за арамидными были освоены в производстве высокомодульные волокна из жидкокристаллических растворов гетероциклических полиариленов общей формулы:



получение которых описано в разд. 5.6.8. При $X = S$ получен полимер, превосходящий Кевлар по величине модуля (300 ГПа), что связано с большей жесткостью цепи. Персистентная длина его макромолекул составляет 64 нм против 15–20 нм у арамидов.

ГЛАВА 4. ПОЛИМЕРНЫЕ ТЕЛА

4.1. Кристаллические полимеры

4.1.1. Условия кристаллизации. Строение полимерного кристалла

Все полимеры делятся на аморфные и кристаллические. Необходимым условием кристаллизации полимеров является наличие дальнего порядка в расположении звеньев цепи, что наблюдается у стереорегулярных полимеров. Далее должно соблюдаться основное термодинамическое условие самопроизвольного процесса $\Delta G < 0$. Поскольку при кристаллизации имеет место распрямление участков цепи, оно сопровождается уменьшением энтропии, т.е. $\Delta S < 0$. Поэтому энталпия кристаллизации всегда отрицательна, $\Delta H < 0$. Это обеспечивается тем, что в кристаллических полимерах энергия межмолекулярного взаимодействия больше, чем в аморфных вследствие более плотной упаковки макромолекул. Последняя характеризуется коэффициентом упаковки $K = V_3/V$, где V – общий объем, V_3 – объем полимера (вещества), а $(V - V_3)$ – его свободный объем. Для кристаллических полимеров $K = 0,71–0,75$, а для аморфных $K = 0,63–0,68$.

Кристаллические полимеры, как правило, не являются однородными и содержат, наряду с кристаллической, аморфную фазу. Поэтому для характеристики таких полимеров используется понятие степени кристалличности, характеризующейся отношением объемов кристаллической и аморфной фаз. Степень кристалличности для большинства полимеров колеблется от 20 до 80 %; она определяется по величине какого-либо физического свойства полимера, различного для кристаллической и аморфной фаз.

Принципиальным является то обстоятельство, что кристаллическую и аморфную фазы полимера никогда не удается разделить полностью. Оно указывает на двухфазное строение кристаллов полимеров.

В 1958 г. А. Келлером были впервые выделены из разбавленных растворов полиэтилена в ксиоле (0,01–0,1 %) при температурах 80–100 °C пластинчатые ромбовидные монокристаллы. Позже монокристаллы были выделены из разбавленных растворов других полимеров. В электронном микроскопе было видно, что пластинчатые кристаллы состоят из тонких слоев или ламелей толщиной порядка 10–20 нм и линейными размерами, достигающими нескольких микрон. Из рентгенограмм следовало, что оси макромолекул расположены перпендикулярно плоскости первичных пластин. Поскольку контурная длина макромолекулы на 1–2 порядка превышает толщину ламели, это означает, что макромолекулы в монокристаллах находятся в складчатой конформации.

Складывание макромолекул в кристалле может быть регулярным и нерегулярным. В первом случае (рис. 4.1) макромолекула, после выхода из монокристалла, сразу возвращается обратно. Петля, состоящая из 5–6 атомов основной цепи, локализована на грани кристалла, здесь же преимущественно располагаются начало и конец цепи. Во втором случае по выходе из монокристалла полимерная цепь изгибается далеко от грани и описывает петлю гораздо большего размера. Вследствие этого она возвращается в моно-

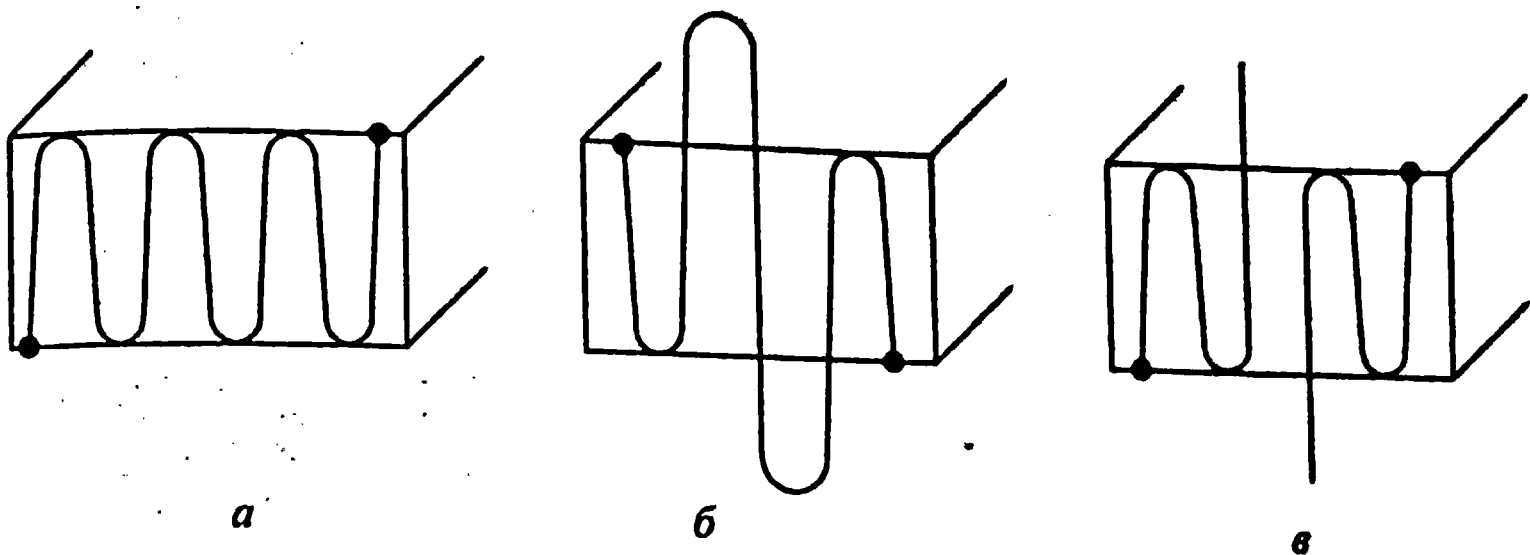


Рис. 4.1. Складывание макромолекул в кристалле:
а – регулярное; б, в – нерегулярное

кристалл далеко от места выхода или вообще не возвращается. В последнем случае полимерная цепь может участвовать в построении другого монокристалла. Такие полимерные цепи называются проходными. Так, в изотактическом кристаллическом полипропилене с молекулярной массой $1,54 \cdot 10^6$ макромолекула складывается в одном монокристалле в среднем двадцать пять раз и участвует в построении восемнадцати монокристаллов.

Нерегулярное складывание макромолекул в кристалл встречается гораздо чаще. Оно приводит к тому, что упорядоченные (кристаллические) и неупорядоченные области полимерного тела прочно связаны между собой и образуют единое целое. Именно поэтому кристаллическая и аморфная фазы полимера не могут быть полностью разделены, о чем говорилось выше.

Способ укладки макромолекул в кристаллах определяется условиями кристаллизации. В разбавленных растворах полимеров с относительно небольшой молекулярной массой в маловязких растворителях подвижность макромолекул достаточно высока. В таких случаях складывание цепи проходит в равновесных условиях и является по существу регулярным. Гораздо чаще кристаллизация развивается в условиях малой подвижности макромолекул – из концентрированных растворов или расплавов, при низкой температуре и большой молекулярной массе полимера. В таких условиях скорость укладки макромолекулы в кристалл значительно превышает скорость диффузии ее сегментов и в кристалл входят лишь некоторые из них. Поскольку в концентрированных растворах и расплавах клубки макромолекул перепутаны, в один монокристалл одновременно складываются несколько макромолекул.

Первичные ламели имеют значительную поверхностную энергию, поэтому происходит их агрегация, приводящая к образованию монокристаллов и более сложных надмолекулярных образований. При кристаллизации полимеров из разбавленных растворов пластинчатые монокристаллы обычно образуют структуры типа ступенчатых террас, т.е. они как бы налагаются друг на друга. В определенных условиях длина ламелей существенно превосходит их ширину. В этом случае формируются фибриллы – тонкие и простирающиеся образования в виде лент или игл (нитей). Оси макромолекул в фибриллах расположены перпендикулярно главной оси последних. В том случае, когда макромолекулы не могут складываться, например, в случае

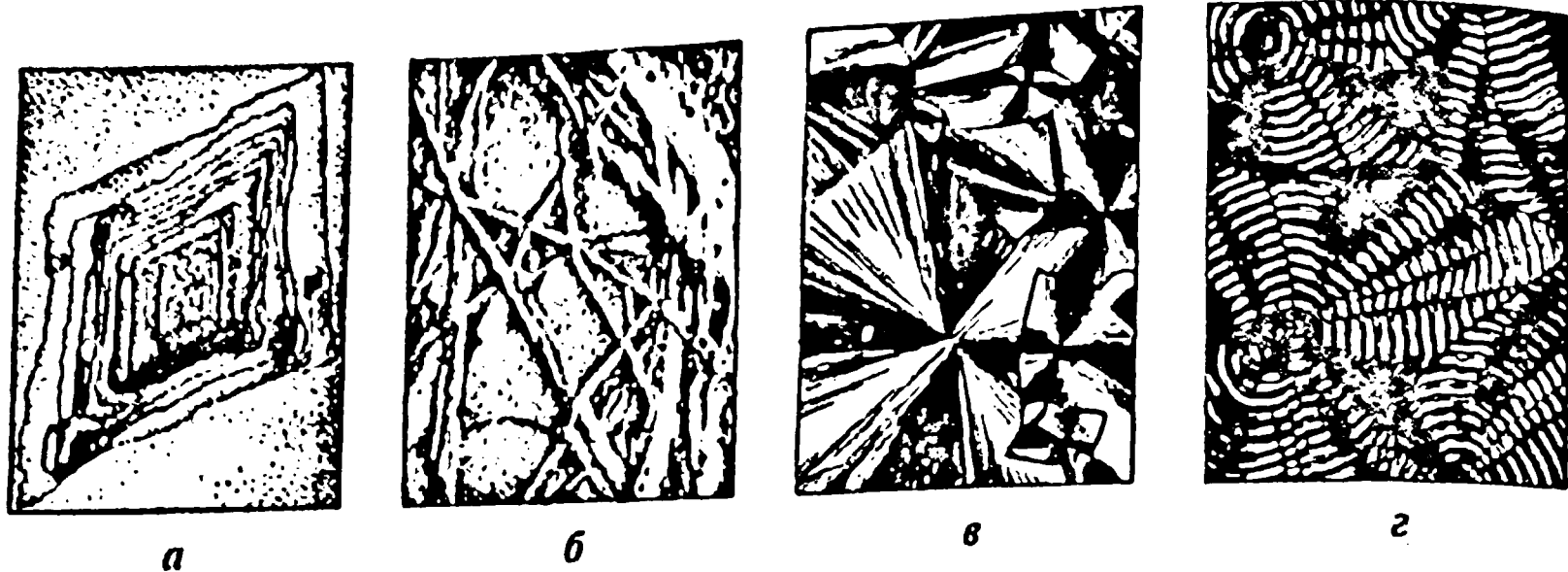


Рис. 4.2. Типы кристаллических образований в полимерах:
а – кристаллит; б – фибрилла; в – радиальные сферолиты; г – кольцевые сферолиты

жесткоцепных полимеров, их оси расположены параллельно главной оси фибриллы.

При кристаллизации из расплава или концентрированного раствора полимера наиболее общим типом вторичного кристаллического образования является сферолит, имеющий кольцевую или сферическую форму и достигающий гигантских размеров – до 1 см. В радиальных (сферических) сферолитах каркас формируется из ленточных кристаллических образований, направленных от центра к периферии. Оси макромолекул в кристаллических областях направлены перпендикулярно радиусу сферолита. В кольцевых сферолитах каркас образован из лент, свернутых в виде спирали. Характерным признаком наличия сферолитов является так называемый «мальтийский крест», хорошо различимый в поляризационном микроскопе.

Частным видом кристаллической структуры полимера является регулярная структура, построенная из сферических полимерных частиц одинакового размера – глобул. Такая структура обнаружена у некоторых полимеров природного происхождения, например, у вируса табачной мозаики. Соответствующие кристаллы называются глобулярными.

Строение рассмотренных структурных образований в кристаллических полимерах представлено на рис. 4.2.

4.1.2. Кинетика кристаллизации

Кристаллизация полимера из расплава возможна в достаточно широком температурном интервале между температурами плавления и стеклования. Из-за малой подвижности макромолекул процесс кристаллизации протекает относительно медленно, в течение нескольких часов. Скорость кристаллизации обычно экстремально зависит от температуры, что иллюстрируется примере натурального каучука (рис. 4.3). Такая зависимость объясняется трудностью укладки сегментов макромолекул в кристалл при высокой и низкой температурах. В первом случае укладке сегментов препятствует чрезмерно высокая, во втором – чрезмерно малая подвижность.

Большое влияние на процесс кристаллизации полимеров оказывает деформация, поскольку она также влияет на подвижность сегментов макро-

молекул. Выше говорилось, что интенсивное тепловое движение сегментов препятствует кристаллизации. По этой причине кристаллизация натурального каучука при комнатной температуре протекает крайне медленно. Однако, при растяжении на 300 % и более этот же каучук кристаллизуется в процессе деформации, которая приводит к фиксации вытянутых конформаций макромолекул. Это явление обратимо и имеет энтропийную природу. Кристаллизация каучука при растяжении приводит к значительному увеличению его прочности. Именно по этой причине механические свойства натурального каучука долгое время оставались существенно лучшими, чем искусственного. И лишь когда был разработан синтез стереорегулярного искусственного каучука, его свойства приблизились к натуральному.

Деформация оказывает также большое влияние на кристаллизацию из расплавов и концентрированных растворов полимеров. При кристаллизации гибкоцепных полимеров в условиях больших растягивающих напряжений происходит выпрямление макромолекул, в результате чего образуются кристаллы с выпрямленными цепями. Следует иметь в виду, однако, что такие структуры являются устойчивыми лишь для жесткоцепных полимеров, в гибкоцепных они разрушаются при возникновении тепловой подвижности сегментов.

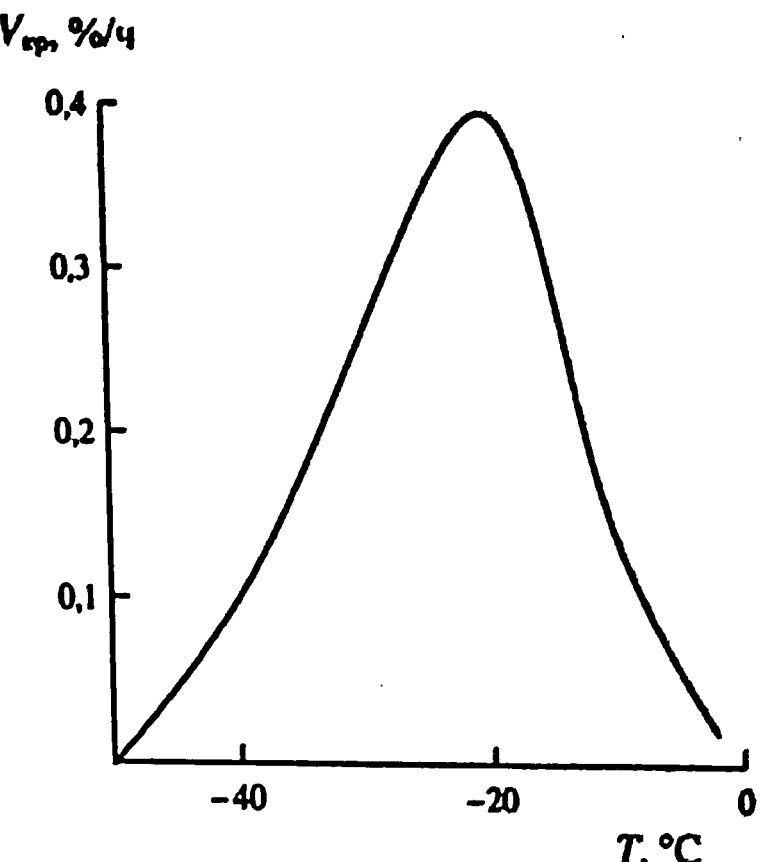


Рис. 4.3. Зависимость скорости кристаллизации натурального каучука от температуры

4.2. Три физических состояния аморфных полимеров

4.2.1. Термомеханическая кривая

Для аморфных полимеров в зависимости от температуры характерны три различных состояния – стеклообразное, высокоэластическое и вязкотекущее. Первые два относятся к твердому агрегатному состоянию, последнее – к жидкому. Высокоэластическое состояние является специфичным для полимеров.

Температурные области существования различных физических состояний полимеров определяются по зависимости какого-либо свойства от температуры. Наиболее простым и надежным являются дилатометрический и термомеханический методы. В первом случае изучается изменение объема в зависимости от температуры, во втором – деформации. Термомеханический метод был впервые разработан и широко применен для исследования полимеров Каргиным и Соголовой.

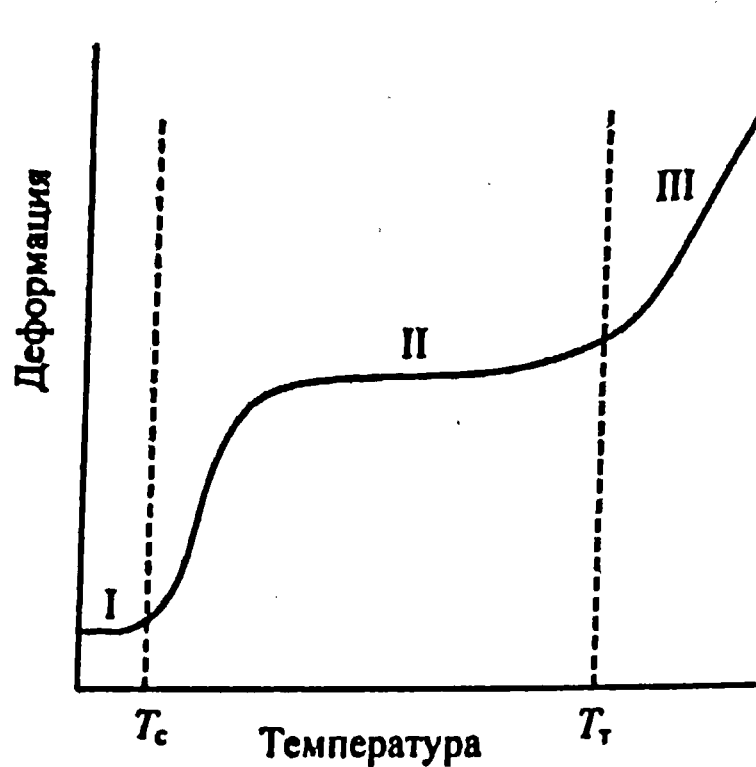


Рис. 4.4. Термомеханическая кривая полимера (общий вид)

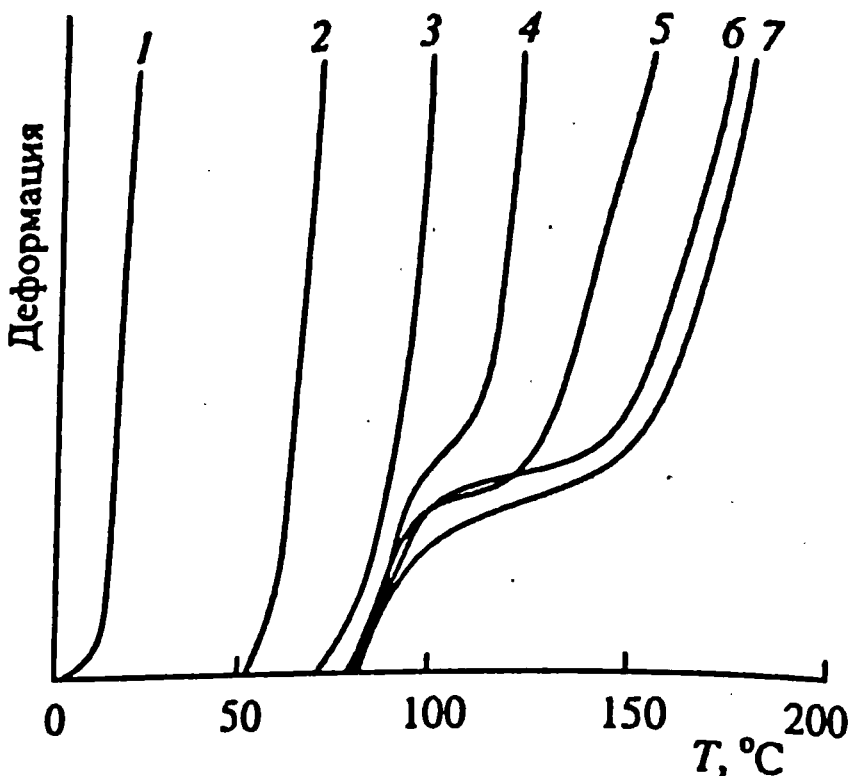


Рис. 4.5. Термомеханические кривые поливинилхлорида. $M \cdot 10^{-3}$: 1 – 1,87; 2 – 2,06; 3 – 4,37; 4 – 12,5; 5 – 28,8; 6 – 50,0; 7 – 71,9

Зависимость величины деформации полимеров от температуры, выраженная в графической форме, называется термомеханической кривой. На рис. 4.4 приведена типичная термомеханическая кривая аморфного полимера. Кривая состоит из трех участков, соответствующих трем физическим состояниям. Участок I отвечает области стеклообразного состояния, для которого характерны незначительные обратимые деформации. Участок II относится к высокоэластичному состоянию полимеров, главной особенностью которого являются большие обратимые деформации. Участок III отвечает области вязкотекущего состояния полимеров, для которого характерны необратимые деформации или течение.

Из рис. 4.5 видно, что температура текучести T_t возрастает с увеличением молекулярной массы полимера. Аналогичный эффект наблюдается для температуры стеклования T_c , но лишь в области очень малых молекулярных масс. По достижении молекулярной массы, характерной для механического сегмента данного полимера, его температура стеклования далее не изменяется.

Термомеханическая кривая существенно трансформируется для сшитых и кристаллических полимеров. Для первых исчезает область вязкотекущего, для вторых вырождается область высокоэластического состояния. При термомеханических исследованиях температура может изменяться непрерывно и ступенчато, когда измерения проводятся при постоянной температуре. В первом случае получаются завышенные значения температур стеклования и текучести.

4.2.2. Стеклообразное и высокоэластическое состояния полимеров

Стеклообразное состояние – это одна из форм твердого состояния аморфных полимеров, для которой характерны небольшие упругие дефор-

мации с высокими значениями модуля упругости $E \approx 2,2 \cdot 10^3 - 5 \cdot 10^3$ МПа. Эти деформации связаны с небольшим изменением расстояний между атомами и валентных углов основной цепи.

Для высокоэластического состояния характерны большие обратимые деформации (до 600–800 %) и малые значения модуля эластичности полимера (0,2–2 МПа). Растяжение полимера при высокоэластической деформации сопровождается выделением энергии в форме теплоты, сокращение – сжатием. Модуль эластичности деформируемого полимера растет с повышением температуры, тогда как модуль упругости в стеклообразном состоянии падает. Высокоэластическая деформация протекает во времени, так как она обусловлена перемещением сегментов и, следовательно, является релаксационным молекулярно-кинетическим процессом.

Природа упругой силы, возникающей при деформировании полимеров, находящихся в стеклообразном и высокоэластическом состояниях, рассмотрена в разд. 2.2.1. В первом случае она связана с изменением внутренней энергии, во втором – энтропии. Молекулярный механизм энтропийной упругости, связанный с восстановлением наиболее вероятных размеров макромолекулярных клубков, детально рассмотрен в разд. 2.2.

Наиболее ярко высокоэластическое состояние проявляется у «сшитых» каучуков, т.е. резин. У линейных полимеров на обратимую деформацию накладывается необратимая, т.е. течение. Высокоэластическое состояние может наблюдаться у полимеров в различных интервалах температуры – от –100 до 200 °С. Техническое применение высокоэластических материалов связано с их амортизирующими свойствами и низким модулем упругости.

При воздействии внешней периодической силы высокой частоты полимеры, находящиеся в высокоэластическом состоянии, могут переходить в упруготвердое деформационное состояние, не связанное с «замораживанием» подвижности сегментов (табл. 4.1). Такого рода стеклование в силовых полях при температурах, выше температуры структурного стеклования, называется механическим стеклованием. Природа этого явления была рассмотрена ранее в разд. 2.3.4.

Стеклование полимеров является релаксационным процессом. Его связывают с релаксацией, т.е. перемещением сегментов макромолекул, содержащих 5–20 атомов основной цепи (в зависимости от ее гибкости). Этот процесс носит ярко выраженный кооперативный характер.

При стекловании происходит скачкообразное изменение теплоемкости, температурного коэффициента объемного расширения и коэффициента термической сжимаемости, тогда как на кривых зависимости удельного объема, энталпии и энтропии наблюдается лишь излом. При $T \approx T_c$ вторые производные функции Гиббса

$$\frac{\partial^2 G}{\partial p^2} = \left(\frac{\partial V}{\partial p} \right)_T, \quad \frac{\partial^2 G}{\partial p \partial T} = \left(\frac{\partial U}{\partial T} \right)_p, \quad \frac{\partial^2 G}{\partial T^2} = -\frac{C_p}{T}$$

изменяются скачкообразно, что является признаком фазового перехода второго рода. Несмотря на это, стеклование не является фазовым переходом,

Таблица 4.1

Температура стеклования, стерический фактор (гибкость) σ
и сегмент Купа различных классов полимеров

Полимер	σ	Сегмент Купа, нм	$T_c, ^\circ\text{C}$
Гибкоцепные полимеры:			
Полихлоропрен	1,4	—	-40
Полидиметилсилоксан	1,4–1,6	1,4	-123
Сложные полизифиры	1,3–1,8	—	-23
Цис-полизопрен (натуральный каучук)	1,7	—	-70
Полибутиадиен	1,7	—	-40
Алифатические полiamиды	1,65–1,85	—	77
Полиметилметакрилат	1,8–2,2	1,51	105
Полиметилакрилат	2,05	2,0	7
Полибутилакрилат	—	—	-40
Поливинилацетат	2,1–2,3	1,74	28
Полистирол	2,2–2,4	2,0	81
Полиэтилен	2,3–2,4	2,08	100
Полипропилен	2,4	2,17	-10
Полиакрилонитрил	2,6–3,2	3,17	227
Поливинилхлорид	2,8	2,96	80
Жесткоцепные полимеры:			
Полиарилат терефталевой ки- слоты и фенолфталеина		320	
Поламид терефталевой ки- слоты и анилинфталеина		360	
Полнимид диангидрида 3,3',4,4'-тетракарбоксифенил- оксида и анилинфлуорена		405	

так как оно приводит к неравновесному метастабильному состоянию системы. Это находит подтверждение в ряде кинетических признаков:

монотонном и неограниченном снижении температуры стеклования при уменьшении скорости охлаждения и наоборот;

противоположном направлении изменения теплоемкости при стекловании и фазовом переходе второго рода (при стекловании теплоемкость уменьшается).

Обычно температура стеклования изменяется приблизительно на 3 °C при изменении скорости охлаждения в 10 раз и лишь в отдельных случаях может измениться на 10–15 °C. Бартеневым предложена формула для расчета температуры стеклования при различных скоростях изменения температуры:

$$\frac{1}{T_c} = c_1(1 - 0,03 \lg \omega), \quad (4.1)$$

где c_1 – константа материала; ω – скорость нагревания в °C/c.

Теории стеклования. Подвижность любой кинетической единицы определяется временем релаксации τ , которое в соответствии с формулой (2.93) экспоненциально зависит от энергии активации. Показано, что с понижением температуры энергия активации перемещения сегментов быстро возрастает, что связано с уменьшением свободного объема полимера и увеличением кооперативной системы релаксации. При стекловании свободный объем достигает минимальной величины, и движение сегментов прекращается. Свободный объем полимера $V_{\text{св}}$ определяется выражением:

$$V_{\text{св}} = V - V_s, \quad (4.2)$$

где V – полный объем, т. е. реальный объем полимерного тела; V_s – занятый объем, равный объему макромолекул. Свободный объем распределен по полимеру в виде микропор, происхождение которых связано с неоднородностью структуры.

Изменение объема тела при нагревании характеризуется коэффициентом расширения $\alpha = \frac{1}{V} \left(\frac{\partial V}{\partial T} \right)_p$. При $T > T_c$ изменение объема полимера в основном определяется изменением свободного объема, коэффициент расширения для этой области обозначается как α_1 . При $T < T_c$ свободный объем изменяется в существенно меньшей степени (рис. 4.6), изменение объема полимера в этой области происходит по закону, характерному для твердых кристаллических тел с коэффициентом объемного расширения α_2 .

Величина $\Delta\alpha = \alpha_1 - \alpha_2$ имеет физический смысл коэффициента температурного расширения свободного объема. Она связана с температурой стеклования полимеров эмпирическим уравнением Бойера–Симхи:

$$\Delta\alpha T_c = 0,113. \quad (4.3)$$

В теории Гиббса и Ди Марцио процесс стеклования полимера рассматривается с позиции термодинамического состояния системы, определяемого числом возможных конформаций макромолекулы. Предполагается, что возможные способы ориентации звеньев цепи можно свести к двум крайним случаям, отвечающим высоким ϵ_1 и низким ϵ_2 значениям энергии конформеров. Применительно к поворотно-изомерной модели цепи, первое может быть отнесено к *т-гоши*-изомерам, второе – к *транс*-изомерам. При $T > T_c$ для полимера характерны большой кон-

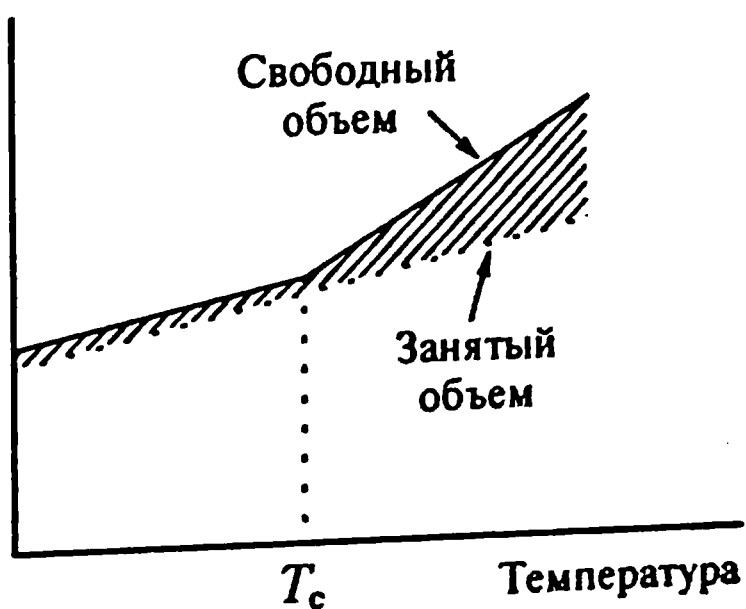


Рис. 4.6. Зависимость свободного и занятого объема полимера от температуры

формационный набор и значительная мольная конформационная энтропия S_k . С уменьшением температуры снижается интенсивность теплового движения сегментов, т.е. гибкость цепи, поэтому конформации, отвечающие большим (ϵ_1) значениям внутренней энергии, вымораживаются, и S_k убывает. При определенной температуре $T = T_2$ переход *транс*-конформаций в «+» или «-» *гоши*- становится невозможным, и тепловое движение сегментов прекращается. Это означает, что $\Delta S_k = 0$, если применить для расчета конформационной энтропии формулу Больцмана и принять, что термодинамическая вероятность W равна числу конформаций.

Поскольку T_2 является температурой, при которой избыточная энтропия переохлажденной жидкости (в данном случае аморфный полимер) по сравнению с кристаллом становится равной нулю, то стеклование в теории Гиббса – Ди Марцио рассматривается как фазовый переход второго рода. Действительно, при стекловании соблюдаются некоторые формальные признаки такого перехода – скачок теплоемкости, резкое изменение коэффициента объемного расширения и др. Кроме того, было показано, что при стекловании имеет место перераспределение *гоши*- и *транс*-изомеров, как это и предлагалось согласно теории Гиббса – Ди Марцио. На практике оказалось, что всегда $T_c > T_2$. Поэтому авторы теории предположили, что $T_2 = T_c$ лишь при бесконечно малых скоростях охлаждения полимера, когда релаксационные явления в полимерах сводятся к минимуму. Но даже при этом условии отождествлять стеклование с фазовым переходом второго рода некорректно, т.к. стеклование фиксирует метастабильное состояние, энтропия которого при любых температурах больше энтропии кристаллического состояния. Таким образом, следует считать, что имеют место два независимых перехода при T_2 и T_c , которые коррелируют друг с другом. Дальнейшее развитие термодинамическая теория стеклования получила в работах Адама и Гиббса.

Кинетическая теория стеклования. Для полярных полимеров с сильным межмолекулярным взаимодействием хорошие результаты дает теория Журкова, одна из первых теорий стеклования. Согласно этой теории, стеклование полимера, т.е. прекращение теплового движения сегментов, обусловлено образованием пространственной сетки слабых межмолекулярных когезионных связей – дипольных, донорно-акцепторных (в том числе и водородных).

Энергия межмолекулярного взаимодействия мало зависит от температуры, тогда как энергия теплового движения звеньев пропорциональна kT . С понижением температуры энергия теплового движения уменьшается и, когда она оказывается недостаточной для преодоления сил межмолекулярных связей, т.е. стеклование. При этом, для перехода в стеклообразное состояние достаточно «замораживания» подвижности сегментов Куна, в то время как движение других структурных элементов – звеньев, боковых заместителей – сохраняется.

Образование межмолекулярных связей при переходе в стеклообразное состояние для ряда полярных полимеров – полиамидов, поливинилового

спирта, желатины – было доказано методами ИК-спектроскопии. В соответствии с теорией Журкова, с увеличением полярности полимера и, следовательно, жесткости цепи значение температуры стеклования увеличивается (рис. 4.7). Блокирование полярных групп полимеров введением небольших добавок низкомолекулярных соединений приводит к снижению межмакромолекулярного взаимодействия и, соответственно, температуры стеклования. Экспериментальные данные подтверждают это положение.

На основании изложенного очевидно, что температура стеклования в первую очередь будет зависеть от факторов, определяющих гибкость цепи и возможность конформационных переходов. Гибкость цепи определяется природой связей в основной цепи, а также объемом и полярностью заместителей при этой цепи. Известно, например, что введение в цепь простых эфирных связей повышает ее гибкость, а амидных группировок – понижает. В соответствии с этим в первом случае температура стеклования понижается, во втором – повышается (см. табл. 4.1). Влияние заместителя наиболее часто проявляется следующим образом:

так называемые объемные недеформируемые заместители повышают температуру стеклования, например, для полистирола и поливинилнафтилина она равна 100 °С и 211 °С соответственно;

гибкие боковые группы понижают температуру стеклования, например, полиметилакрилат и полибутилакрилат имеют температуру стеклования 2 °С и –40 °С, соответственно;

увеличение полярности заместителя приводит к уменьшению гибкости цепи вследствие ограничения свободы ее вращения и, как следствие, к повышению температуры стеклования.

Как уже упоминалось выше, в области малых значений молекулярной массы последняя влияет на температуру стеклования полимера. Это объясняется увеличением свободного объема полимера, содержащего короткие цепи, поскольку их концы препятствуют плотной упаковке макромолекул. Избыточный свободный объем низкомолекулярного полимера приводит к тому, что конформационные переходы макромолекул могут осуществляться при более низких температурах по сравнению с полимером большей молекулярной массы.

В случае сшитых полимеров имеет место обратное явление – сшивка «сближает» макромолекулы, что приводит к уменьшению свободного объема и увеличению температуры стеклования «сшитого» полимера по сравнению с линейным.

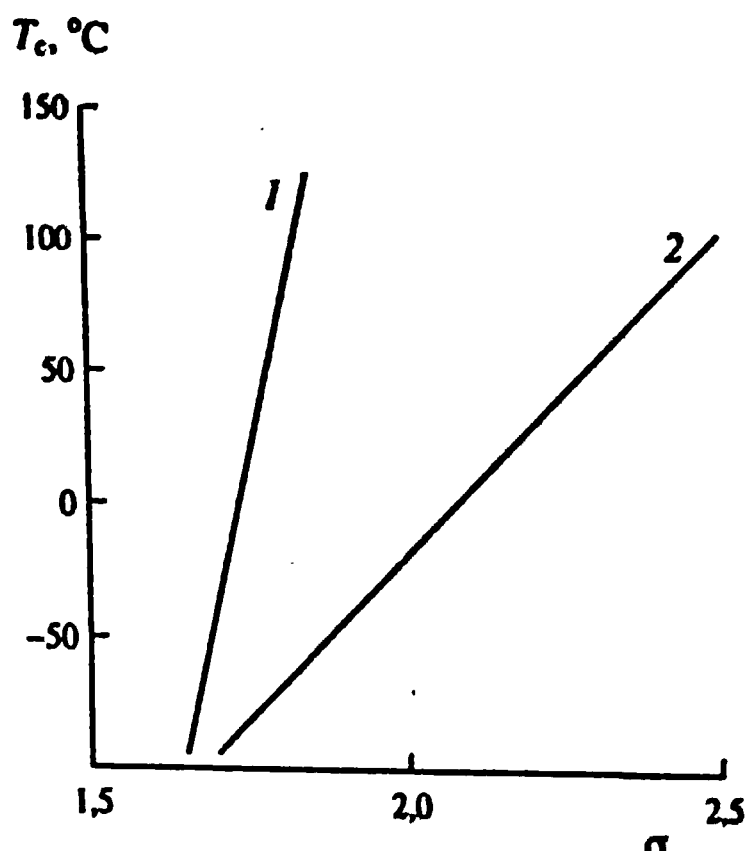


Рис. 4.7. Температура стеклования полимеров и фактор гибкости: 1 – гетероцепные полимеры; 2 – карбоцепные полимеры

4.2.3. Вязкотекучее состояние полимеров

Это состояние полимеров относится к их расплавам, для него характерны преимущественно необратимые деформации, т. е. течение. Перемещение, т. е. рептация макромолекул при течении, осуществляется путем направленной диффузии сегментов. При этом необходимо выполнение двух условий – наличие «степловой» энергии, достаточной для преодоления межмолекулярного взаимодействия, и микропустот – «дырок», куда осуществляется перемещение сегмента. Последнее условие является определяющим в области температур, близких к температуре стеклования: $T_c < T < (T_c + 120^\circ\text{C})$. В этой области существует непосредственная связь между сдвиговой вязкостью и свободным объемом. Она выражается эмпирическим уравнением, предложенным Дулиттом и известным под его именем:

$$\ln \eta = \ln A + \frac{B(V - V_{cb})}{V_{cb}}, \quad (4.4)$$

где A и B – эмпирические константы, последняя из которых близка к единице; V и V_{cb} – удельный и свободный объемы на 1 г соответственно.

При $T > (T_c + 120^\circ\text{C})$ скорость перемещения сегментов в основном определяется энергетическим фактором. В этих условиях зависимость вязкости полимера от температуры описывается формулой Френкеля–Эйринга, выведенной на основе активационной теории:

$$\eta \sim \exp \left\{ -\frac{\Delta G}{RT} \right\} \sim \exp \left\{ +\frac{\Delta S}{R} \right\} \sim \exp \left\{ -\frac{\Delta H}{RT} \right\}, \quad (4.5)$$

где ΔG – функция Гиббса; ΔS – энтропия; ΔH – энтальпия активации вязкого течения. Изучение температурной зависимости вязкости позволило определить энтальпию активации вязкого течения по зависимости $\ln \eta = f(1/T)$. Оказалось, что она весьма незначительно превышает энтальпию активации течения низкомолекулярных жидкостей аналогичного химического строения и возрастает лишь для первых членов гомологического ряда, по достижении степени полимеризации 20–30 ΔH далее не изменяется.

Эти факты прямо указывают на то, что течение полимеров носит сегментальный характер, т. е. перемещение макромолекул происходит в результате направленной вынужденной диффузии сегментов. Энергия активации вязкого течения зависит от химического состава и строения цепи полимера: в случае углеводородов $\Delta G \approx 25–30$ кДж/моль, введение в молекулу полиэтилена боковых ответвлений (1–3 метильных групп на 100 атомов углерода) приводит к повышению энергии активации до 30–50 кДж/моль, для расплавов полярных полимеров энергия активации возрастает до 80–120 кДж/моль.

Вязкостные свойства расплавов полимеров имеют много общего с вязкостными свойствами их концентрированных растворов. В обоих случаях при M_{cr} образуется пространственная флюктуационная сетка зацеплений макромолекул. Значения M_{cr} обычно значительно превышают длину сегмента.

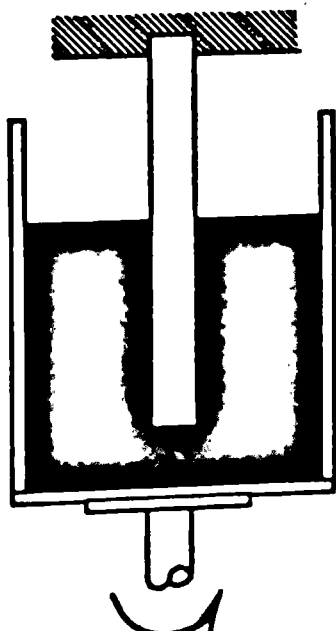
Одно из самых низких значений $M_{\text{кр}} \approx 4000$ известно для линейного полиэтилена, тогда как у полистирола оно на порядок выше $M_{\text{кр}} \approx 40000$. Зависимость вязкости расплава от молекулярной массы в областях до и после $M_{\text{кр}}$ существенно отличаются. Так, $\eta \sim M^1$ при $M < M_{\text{кр}}$ и $\eta \sim M^{3.5}$ при $M > M_{\text{кр}}$.

Одним из проявлений вязкоупругих свойств расплавов являются так называемые нормальные напряжения, возникающие при приложении к расплаву сдвигового напряжения и направленные перпендикулярно к нему. Это явление получило название эффекта Вайссенберга, по имени ученого, всесторонне исследовавшего его. Существует много различных проявлений эффекта Вайссенберга. Одно из них наблюдается при расплаве полимера, заключенного между двумя цилиндрами – вращающимся и неподвижным. При вращении вала (внутреннего цилиндра) возникает сдвиговое усилие, направленное по касательной к жидкости. Макромолекулярные клубки вследствие этого деформируются, однако, тепловое движение сегментов стремится вернуть их к первоначальной конформации гауссова клубка. В результате возникает напряжение, направленное перпендикулярно к сдвиговому, заставляющее «ползти» жидкость вверх по валу (рис. 4.8).

Другой пример наглядного проявления эластических свойств расплавов полимеров относится к их течению через трубы и малые отверстия. В этом случае макромолекулы также деформируются, что приводит к накоплению упругой энергии. При выходе из трубы, когда исчезает напряжение, срабатывает упругое последействие – тепловое движение сегментов стремится возвратить макромолекулярные клубки в недеформированное состояние. В итоге происходит разбухание потока и сокращение его продольных размеров. Это явление учитывают в расчетах диаметра отверстия на выходе из экструдера для получения профиля изделия необходимых размеров.

При повышенных скоростях течения и напряжениях сдвига наблюдается еще одно следствие эластической деформации – потеря устойчивого режима

Жидкость, не
проявляющая эффект
Вайссенберга



Жидкость,
проявляющая эффект
Вайссенберга

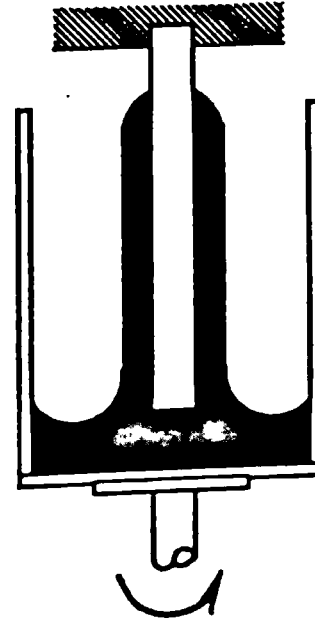


Рис. 4.8. К эффекту Вайссенберга

течения. При больших скоростях течения макромолекулярные клубки деформируются в такой степени, что запасенная ими упругая энергия начинает превышать кинетическую энергию теплового движения сегментов. В результате этого клубок «стеклуется». Потеря подвижности сегментов приводит к ослаблению связи расплава со стенками трубы и срыву струи на выходе из экструдера. Поскольку стеклются прежде всего наиболее высокомолекулярные клубки, то еще задолго до разрушения струи она приобретает на выходе из экструдера шероховатость и неправильную, искривленную (спиралеобразную) форму.

Все современные высокопроизводительные методы переработки термопластов, такие как экструзия, литье под давлением, вакуум-формование и другие связаны с переводом полимера в расплав, поэтому эластические свойства расплава являются фактором, определяющим выбор метода и режима переработки. Так, полипропилен перерабатывают в изделия литьем под давлением или экструзией в случае умеренной вязкости расплава; высокомолекулярные марки, имеющие повышенную вязкость расплава, перерабатывают только прессованием.

4.2.4. Пластификация полимеров

Под пластификацией понимается один из способов модификации полимеров, связанный с введением в них низкомолекулярных веществ, в результате чего снижаются температуры стеклования и текучести полимера, улучшаются его эластические и пластические свойства. Пластификаторы могут вводиться в мономерную смесь перед синтезом полимера или в готовый полимер, находящийся в дисперсном состоянии (латексы), растворе или расплаве. В большинстве случаев одним из основных требований при выборе пластификатора является его термодинамическая совместимость с полимером. Однако, в некоторых случаях эффективными пластификаторами оказываются вещества, имеющие низкое термодинамическое сродство к полимеру или практически не совместимые с ним. В первом случае пластификация осуществляется на молекулярном, во втором – на надмолекулярном (структурном) уровнях.

Существование представления о молекулярном механизме пластификации тесно связано с теориями стеклования и вязкого течения полимеров. Так, согласно Журкову, механизм пластификации полярных полимеров состоит в экранировании полярных функциональных групп макромолекул молекулами пластификатора, что предотвращает образование узлов пространственной сетки. В соответствии с этой теорией,

$$\Delta T_c = Kn, \quad (4.6)$$

где ΔT_c – снижение температуры стеклования; n – число молей пластифицируемых мольных долей).

Согласно представлениям Каргина и Малинского для неполярных полимеров роль пластификатора сводится к повышению подвижности сегментов за счет уменьшения пространственных затруднений. В этом случае

$$\Delta T_c = K\phi, \quad (4.7)$$

где ϕ – объемная доля пластификатора, K – коэффициент, не зависящий от природы пластификатора (правило равных объемов). Правило равных объемов, как отмечали и его авторы, выполняется для сравнительно узкой области концентраций.

Более общий характер имеют теоретические положения, основанные на представлениях о роли свободного объема в полимере. Согласно этим представлениям, введение пластификатора увеличивает свободный объем полимера, что повышает подвижность сегментов и, как следствие, ведет к уменьшению величин температур стеклования и текучести.

Одной из главных задач, решаемых введением пластификаторов, является улучшение перерабываемости полимера. Поэтому влияние пластификатора на вязкость полимера представляет большой практический интерес. Общей теории в этой области до настоящего времени не создано. Согласно Бики:

$$\eta \sim \phi^4 f(V_{cb}), \quad (4.8)$$

где ϕ – объемная доля полимера, $f(V_{cb})$ – сложная функция свободного объема пластифицированного полимера. Согласно Краусу и Гуверу:

$$\frac{\eta}{\eta_0} = \phi^{3.4} \left(\frac{\mu}{\mu_0} \right) \left(\frac{\langle S^2 \rangle}{\langle S_0^2 \rangle} \right), \quad (4.9)$$

где η и η_0 – вязкости пластифицированного и непластифицированного полимеров при заданной температуре; ϕ – объемная доля полимера; μ и μ_0 – сегментальные коэффициенты трения; $\langle S \rangle$ и $\langle S_0 \rangle$ – среднеквадратичные радиусы инерции пластифицированного и непластифицированного полимеров соответственно.

Из уравнения (4.9) следует, что плохой растворитель (пластификатор) будет сильнее снижать вязкость, чем хороший, т. к. в хорошем растворителе размер макромолекуллярного клубка $\langle S \rangle$ будет больше. В качестве критерия эффективности пластификатора наиболее широко используется величина ΔT_c – понижение (депрессия) температуры стеклования: чем больше депрессия, тем выше эффективность пластифицирующего действия. Предложен ряд эмпирических формул, связывающих депрессию полимера ΔT_c с температурой стеклования T_c полимера и пластификатора. Енкель установил, что

$$\frac{1}{T} = C_n \frac{1}{T_c} + C_{pl} \frac{1}{T_{pl}}, \quad (4.10)$$

где T , T_c , T_{pl} – температуры стеклования пластифицированного полимера, чистого полимера и пластификатора, соответственно; C_n и C_{pl} – массовые концентрации последних.

Среди пластификаторов наиболее распространеными являются сложные эфиры ароматических дикарбоновых кислот (преимущественно фталевой) и алифатических спиртов, эфиры алифатических кислот и алифатических

спиртов, эфиры гликолов, эфиры фосфорной кислоты, полизифиры (с молекулярной массой от 800 до 30 000), растительные масла, в том числе и эпоксидированные, продукты нефтепереработки – нафтеновые и ароматические нефтяные масла, парафины и хлорированные парафины.

Основным «потребителем» пластификаторов (до 70 % от объема, выпускаемого промышленностью) является поливинилхлорид, переработка которого в изделия практически невозможна без пластификаторов. Кроме того, природа и количество пластификатора в составе поливинилхлоридных композиций определяет необычайно широкий ассортимент продукции, выпускаемой на их основе: кабельный пластикат, искусственная кожа, пленочные материалы, напольные покрытия, материалы медицинского назначения, полупроницаемые мембранны.

В случае межструктурного механизма пластификации несовместимый с полимером пластификатор не проникает внутрь надмолекулярных образований, а распределяется по их поверхности и заполняет микропустоты. Характерной особенностью таких пластификаторов является их высокая эффективность при использовании в малых количествах. Так, добавка 0,05 % касторового масла к нитрату целлюлозы снижает его температуру стеклования на 80 °С. По мнению ряда авторов, при межструктурной пластификации пластификатор работает как смазка, облегчая подвижность структурных образований, причем действуют те же законы, что и при смазке трущихся поверхностей. Так, в частности, силы трения тем меньше, чем больше вязкость смазывающего вещества.

Обязательным условием при выборе любого типа пластификатора является продолжительность его действия, что обеспечивается низкой летучестью выбранного вещества и химической стойкостью, которая не должна уступать химической стойкости полимера. Кроме того, пластификатор не должен «выпотевать», а также экстрагироваться из полимера маслами, растворителями, мылами.

4.3. Механические свойства полимеров

Механические свойства полимера отражают реакцию полимера на действие внешних сил. Действие внешней силы на полимерное тело в зависимости от ее величины может привести к обратимой деформации, необратимой деформации и разрушению полимерного тела.

4.3.1. Деформационные свойства полимеров. Ориентация

При изучении механических свойств полимеров последние подвергаются различного вида деформациям, аналогичным тем, что имеют место при эксплуатации полимерных материалов. К ним относятся: одноосное и двухосное растяжение и сжатие, всестороннее сжатие, сдвиг, изгиб, кручение, вдавливание и др. Наиболее часто для иллюстрации деформационных свойств полимеров используются результаты испытаний на растяжение. Соответствующая зависимость $\sigma - \epsilon$ называется деформационной кривой растяжения. Опыт состоит в растяжении образцов полимера с постоянной скоростью и

автоматической регистрацией напряжения. Вид кривой растяжения зависит от температуры испытания и физического состояния полимеров, типичные зависимости приведены на рис. 4.9. Наиболее существенные различия наблюдаются для кривых растяжения стеклообразного аморфного полимера, деформируемого при температурах ниже и выше некой температуры, называемой температурой хрупкости T_{xp} . При $T < T_{xp}$ разрушению полимера предшествуют малые обратимые деформации (кривая 1, рис. 4.9), т. е. полимер ведет себя как упругое тело.

При $T_c > T > T_{xp}$ (кривая 2) в начальный период деформации полимер ведет себя так же как упругое тело, деформация полностью обратима. Далее, когда относительная деформация достигает нескольких процентов, рост напряжения деформируемого образца замедляется, и в некоторых случаях даже может наблюдаться его спад, далее деформация развивается при постоянном напряжении. Уменьшение темпа роста напряжения соответствует началу развития необратимой деформации, т. е. течения полимера. Максимальное значение напряжения, соответствующее области перехода обратимой деформации в необратимую, называется пределом текучести σ_t . Резкое падение напряжения на зависимости $\sigma - \epsilon$, после достижения предела текучести, называется деформационным размягчением. Оно обусловлено выделением упругой энергии, запасенной при упругом деформировании полимера.

Область плато, т. е. деформации образца при постоянном напряжении, характерна большими относительными деформациями, которые могут достигать нескольких сотен процентов. Эти деформации могут иметь обратимую и необратимую составляющие, относительный вклад каждой из которых может изменяться от 0 до 100 % в зависимости от природы полимера и условий испытаний – в первую очередь скорости деформации и температуры. Большие обратимые деформации, отвечающие плато на кривой 2 рис. 4.9, обусловлены перемещением сегментов макромолекул под действием внешнего напряжения. Явление возникновения больших обратимых де-

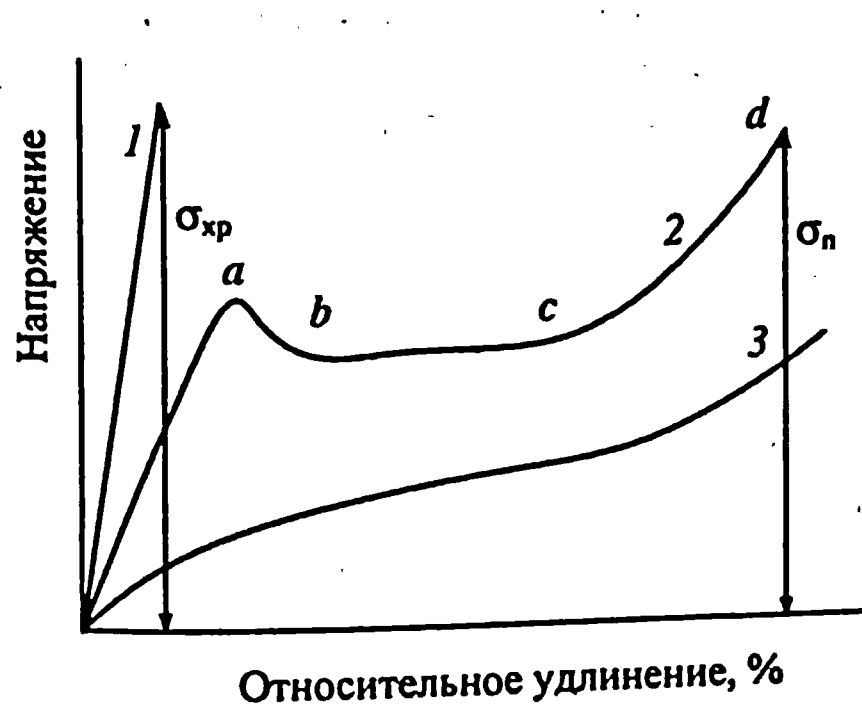


Рис. 4.9. Кривые растяжения аморфных полимеров: 1 – $T < T_{xp}$; 2 – $T_c > T > T_{xp}$; 3 – $T > T_c$ (сшитый каучук)

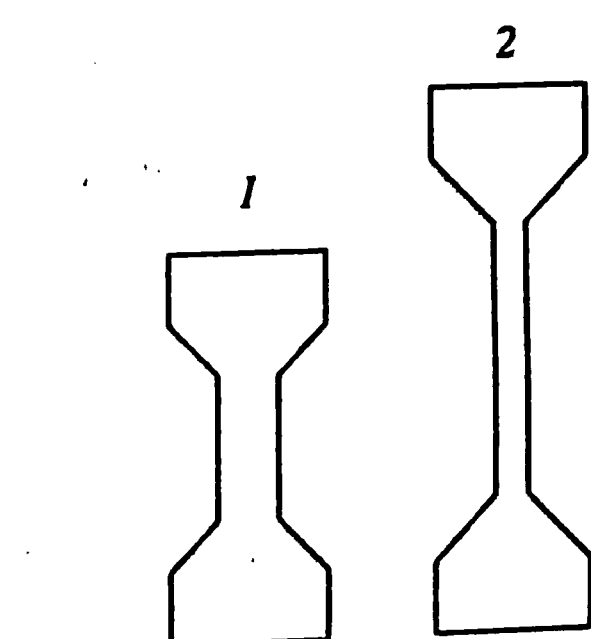


Рис. 4.10. Образование шейки при растяжении полипропилена: 1 – образец до растяжения; 2 – окончание роста шейки

формаций в полимерных стеклах под действием механического напряжения было названо русским ученым Александровым вынужденной эластичностью. Важно помнить, что деформация вынужденной эластичности при $T < T_c$ необратима, и лишь при $T > T_c$ образец восстанавливает форму и размеры – частично или полностью в зависимости от текучести полимера. Таким образом, вынужденная эластичность связана с восстановлением равновесных формы и размеров макромолекулярных клубков, деформированных при механическом воздействии на полимер. Необратимая деформация или текучесть, отвечающая области плато, явление общее для многих материалов, в частности, оно характерно для металлов. Причины его, однако, существенно отличны. Если в случае полимера текучесть в области плато связана с перемещением макромолекул, то в случае металлов – с перемещением так называемых дислокаций.

За областью плато расположена область деформационного упрочнения, причина которого будет рассмотрена далее. Напряжение в этой области вновь возрастает с развитием деформации, вплоть до разрушения образца при напряжении σ_p , называемом пределом прочности, которому соответствует относительная деформация разрушения ϵ_p , называемая предельной деформацией.

Рассмотрим макро- и микропроцессы, развивающиеся в деформируемом полимере. По достижении предела текучести σ_t на образце образуется шейка, т. е. участок с меньшей площадью сечения, которая с развитием деформации распределяется на всю рабочую часть образца (рис. 4.10). Возникновение шейки свидетельствует о начале перестройки структуры образца полимера, которая возможна лишь при определенной подвижности сегментов. Последняя неизбежно приводит к релаксации напряжения. Когда скорость релаксации сравнивается со скоростью деформации образца, на кривой растяжения отмечается область плато.

Перемещение сегментов под действием внешней растягивающей силы носит направленный характер, в результате чего макромолекулы ориентируются своими осями вдоль направления действия силы. Процесс ориентирования неразрывно связан с процессом образования шейки. С развитием деформации шейка и ориентация макромолекул распространяется на всю рабочую часть образца. Завершению этих процессов отвечает конец плато на кривой растяжения.

Кривые растяжения кристаллических полимеров качественно не отличаются от рассмотренных выше, однако, явление ориентации для кристаллических полимеров выражено более ярко.

При развитии больших относительных деформаций поперечное сечение образца заметно уменьшается, что приводит к увеличению напряжения при неизменной растягивающей силе. Если объем образца при деформировании не изменяется, то измеряемое напряжение σ_0 и истинное напряжение при деформировании образца σ связаны соотношением:

$$\sigma_0 = \frac{\sigma}{1 + \epsilon}. \quad (4.11)$$

При сравнении деформационных свойств полимеров во всей области пластической деформации необходимо пользоваться зависимостями «истинное напряжение – деформация», поскольку, например, для полиэтилена низкой плотности, относительная деформация может достигать сотен процентов. В этом можно убедиться, разрывая полиэтиленовую пленку руками – по достижении определенного усилия пленка растягивается в несколько раз и лишь затем рвется. На рис. 4.11 приведены типичные зависимости «истинное напряжение – деформация» для наиболее распространенных полимеров. Такие кривые позволяют полнее оценить деформационно-прочностные свойства полимерных материалов.

Условия деформирования оказывают большое влияние на деформационные свойства полимеров и, в частности, на кривую растяжения. Общее правило заключается в том, что повышение скорости деформации и понижение температуры приводят к увеличению σ_t , т. е. к кажущемуся увеличению прочности полимера. Влияние обоих факторов взаимосвязано, что вытекает, в частности, из следующего эмпирического уравнения:

$$\frac{\sigma_t}{T} = A \cdot \lg\left(\frac{\delta\varepsilon}{\delta t}\right) + B, \quad (4.12)$$

где A и B – постоянные. На рис. 4.12 приведены данные, отражающие влияние скорости деформирования на кривую растяжения полихлортрифтотриэтилена, откуда следует, что с увеличением скорости деформирования область плато вырождается.

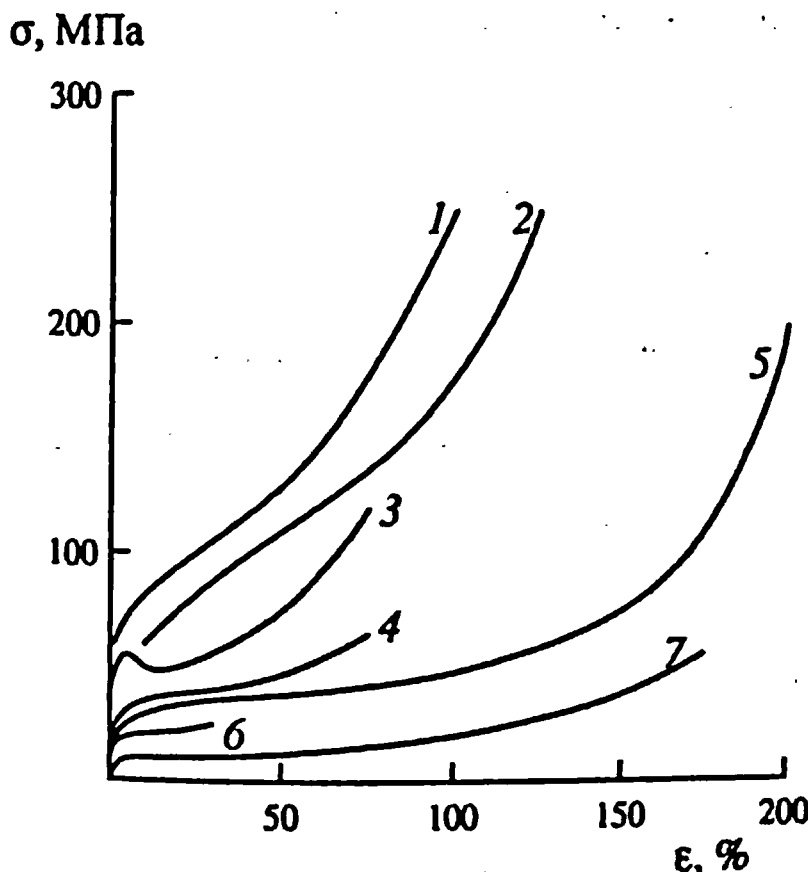


Рис. 4.11. Зависимости «истинное напряжение – деформация». Скорость деформирования 10^{-3} с^{-1} ; 1 – полiamид 66; 2 – полiamид 6; 3 – поливинилхлорид; 4 – полипропилен; 5 – полиэтилен высокой плотности; 6 – полиэтилентерефталат; 7 – полиэтилен низкой плотности

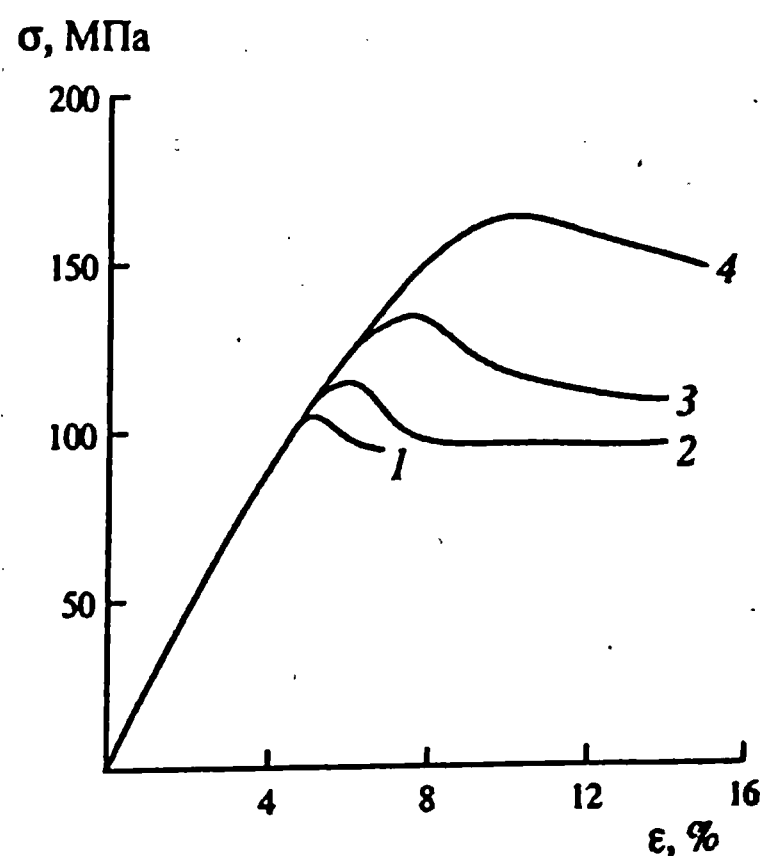


Рис. 4.12. Влияние скорости деформации на кривые растяжения полихлортрифтотриэтилена, -195°C . Скорость деформирования (мин $^{-1}$): 1 – 0,0004; 2 – 0,004; 3 – 0,04; 4 – 0,4

Таблица 4.2

Механические свойства некоторых полимеров

Полимер	Разрушающее напряжение при растяжении, МПа	Модуль упругости, МПа	Относительное удлинение при растяжении, %
Резина из натурального каучука	34	7	650,0
Полизтилен низкой плотности	14	200	300,0
Полистирол	50	3000	1,5
Полиметилметакрилат	70	2700	4,0
Поликаролактам:			
пластик-капрон	60	900	100,0
волокно-капрон (корд)	800	3500	20,0
капрон, наполненный стекловолокном (капролон)	400	3000	—
Полиэтилентерефталат:			
пленка	170	3500	100
волокно лавсан	900	10 000	10 – 20

Как уже упоминалось, модуль Юнга является мерой жесткости материала. В табл. 4.2 приведены деформационно-прочностные характеристики некоторых крупнотоннажных полимерных материалов общего назначения. На примере капрона и полиэтилентерефталата видно, что ориентационное упрочнение, достигаемое при вытяжке волокна из полимера, приводит к увеличению как прочности, так и жесткости полимерного материала.

Ориентация. Односторонняя и двухсторонняя (вытяжка в двух направлениях) ориентации широко используются в промышленности для улучшения механических свойств аморфных и кристаллических полимеров, причем наиболее значительные эффекты достигаются в последнем случае. Существует несколько моделей ориентированных аморфных и кристаллических полимеров. К числу детально проработанных относится модель ориентированного кристаллического полимера Петерлина (рис. 4.13).

Согласно этой модели, кристаллические области – ламели или монокристаллы состоят из сложенных макромолекул, оси которых расположены параллельно оси вытяжки. Ламели следуют одна за другой вдоль этой оси, при этом большие грани ламели нормальны по отношению к ней. Между собой ламели соединены так на-

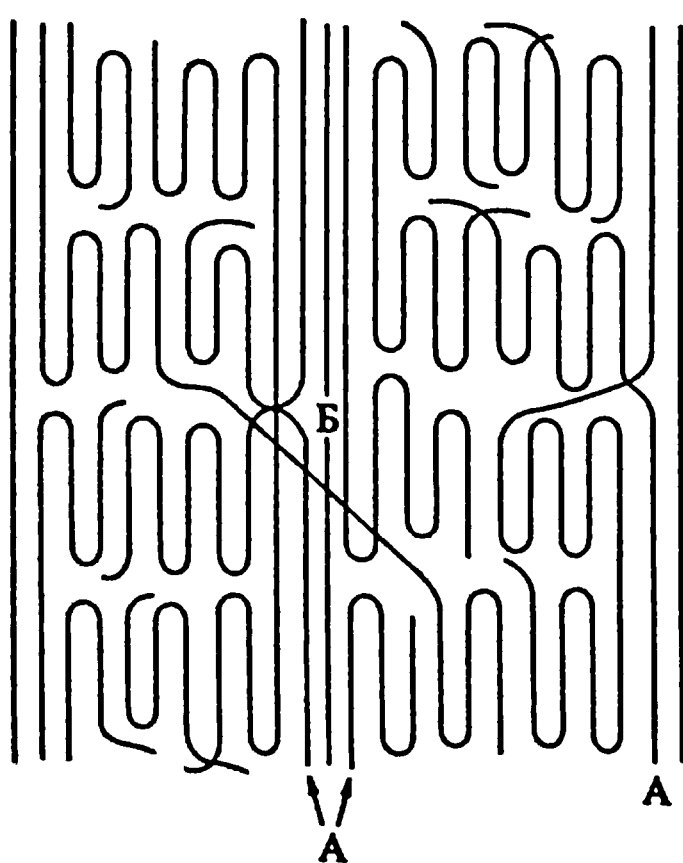


Рис. 4.13. Структурная модель волокон, состоящих из кристаллических ламелей и аморфных областей:
А – проходные молекулы внутри микрофибрил, Б – молекулы, связывающие различные микрофибриллы

зываютсями проходными макромолекулами, входящими в два и более монокристалла.

Стопка ламелей образует микрофибрillу длиной 5–20 мкм и толщиной 10–20 нм. Микрофибрillы вытянуты вдоль оси вытяжки и разделены аморфными областями, вытянутыми в том же направлении. Последнее подтверждается тем, что при разрыве кристаллического ориентированного волокна область, прилегающая к разрыву, часто расщепляется наподобие щетки, причем трещины, разделяющие волоконца, ориентированы вдоль направления вытяжки. Очевидно, что эти трещины распространялись вдоль вытянутых аморфных областей. При разрушении полимера магистральные трещины распространяются нормально к направлению вытяжки. В случае ориентированного полимера им противостоит ансамбль выпрямленных макромолекул, что и является причиной ориентационного упрочнения.

4.3.2. Теоретические и реальные прочность и упругость кристаллических и аморфных полимеров

При растяжении кристаллических полимеров оси макромолекул ориентируются, т. е. располагаются в направлении действия растягивающей силы. В результате действия внешней силы вдоль оси макромолекулы изменяются расстояния между атомами, возникают продольные колебания атомов, изменяются углы между химическими связями, а также углы вращения вокруг связей. Упругость полимера связана с растяжением химических связей основной цепи и деформацией валентных углов, прочность – с разрывом химических связей. О последнем свидетельствует обнаружение свободных радикалов при разрушении полимера. Методом ЭПР было показано, что свободные радикалы появляются при растяжении волокон на 40–60 % от разрывного значения, непосредственно перед разрушением образца число радикалов резко возрастает.

На рис. 4.14 приведены в общем виде зависимости потенциальной энергии и сил взаимодействия между атомами от расстояния между ними. Два атома, соединенные химической связью, находятся на равновесном расстоянии друг от друга r_0 , которому соответствует минимум по-

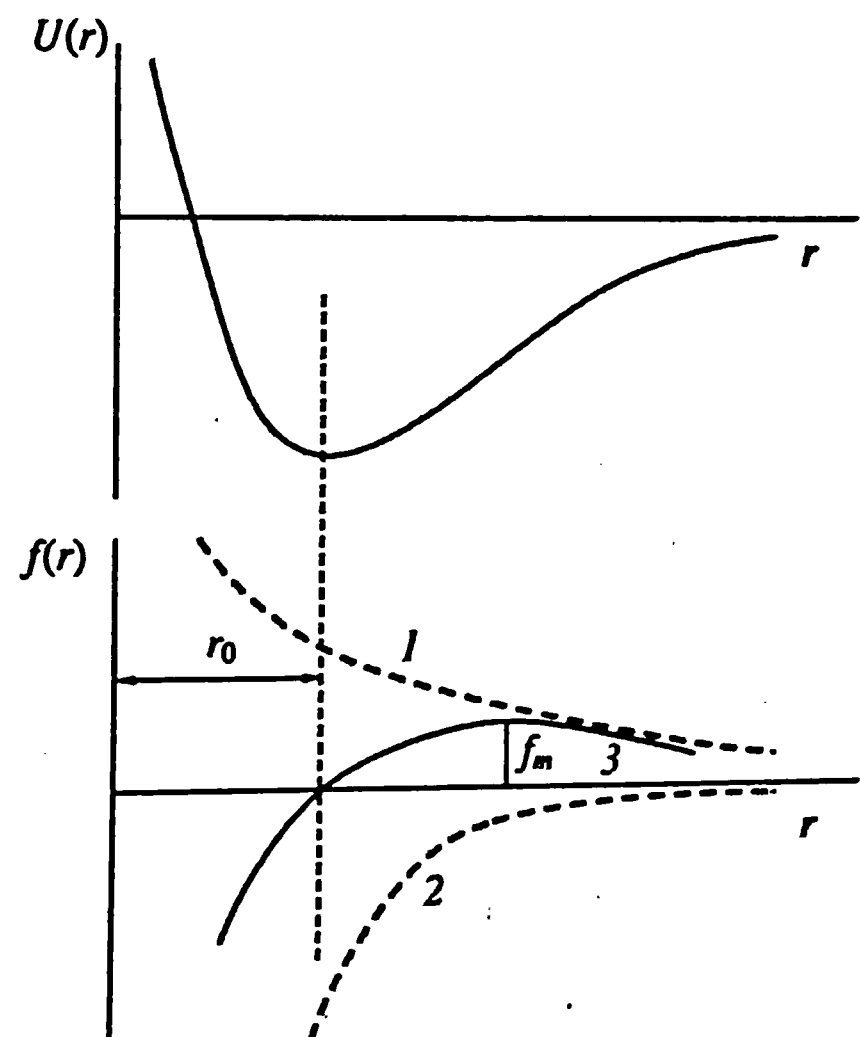


Рис. 4.14. Зависимости потенциальной энергии ковалентных связей и сил межатомного взаимодействия от расстояния: 1 – сила притяжения; 2 – сила отталкивания; 3 – результирующая

тенциальной энергии U_0 . В результате действия внешней силы расстояние между атомами изменяется, потенциальная энергия системы возрастает. После прекращения внешнего воздействия избыток потенциальной энергии расходуется на механическую работу, необходимую для того, чтобы система вернулась к исходному состоянию. При растяжении образца расстояния между атомами увеличиваются, возникает упругая сила, препятствующая разъединению атомов. При определенном расстоянии эта сила, являющаяся результатом притяжения и отталкивания атомов, достигает максимального значения. Если внешняя растягивающая сила превысит максимальное значение силы межатомного взаимодействия, то связьрывается.

Исходя из изложенного, сила упругости и модуль упругости в рассматриваемой модели могут быть определены как

$$f = -\frac{\partial U}{\partial r}, \quad (4.13)$$

$$E = \left(\frac{\partial f}{\partial r} \right)_{r \rightarrow r_0} = -\left(\frac{\partial^2 U}{\partial r^2} \right)_{r \rightarrow r_0}, \quad (4.14)$$

где знак минус в первом случае указывает на то, что упругая сила противоположна по направлению внешней силе.

Потенциальная энергия атомов, связанных ковалентной связью, может быть рассчитана, исходя из функции Морзе:

$$U(r) = U_0 \exp\{-2\omega(r - r_0)\} - 2U_0 \exp\{-\omega(r - r_0)\}, \quad (4.15)$$

где $\omega > 0$ – волновое число, характеризующее колебания атомов; U_0 – минимальное значение потенциальной энергии, отвечающее равновесному расстоянию r_0 . Дифференцирование уравнения (4.15) в соответствии с уравнением (4.13) приводит к функции $f(r)$, которая позволяет определить максимальное значение силы межатомного взаимодействия f_{\max} и отвечающее ей расстояние из условия $\partial f / \partial r = 0$. Они оказались равными:

$$f_{\max} = \frac{\omega U_0}{2}, \quad (4.16)$$

$$r = r_0 + \frac{\ln 2}{\omega}. \quad (4.17)$$

Для расчета теоретической прочности ориентированного кристаллического полимера далее необходимо умножить f_{\max} на число макромолекул N , проходящих через единичное сечение образца, перпендикулярное направлению растягивающей силы.

Изложенный подход был использован Марком и Де Боером при расчете теоретической прочности волокон целлюлозы. При этом было принято, что энергия С–С связи составляет 294 кДж/моль или $5 \cdot 10^{-19}$ Дж на связь, $r_0 = 0,15$ нм, кристалл целлюлозы содержит $4 \cdot 10^{12}$ макромолекул в единичном

сечении площадью 1 мм² (по данным рентгеноструктурного анализа). По данным Марка оказалось, что теоретическая прочность волокон целлюлозы составляет 7800 МПа, по данным Де Боера – 22 000 МПа. Экспериментально определяемые значения не превышают 1000 МПа, т.е. на порядок ниже. Причины такого несоответствия будут обсуждены далее.

Для установления связи между теоретической прочностью и упругостью используем полученное нами выражение (4.16) для f_{\max} :

$$\sigma_{\max} = N \cdot f_{\max} = \frac{\omega U_0 N}{2}, \quad (4.18)$$

где N – число связей в единичном сечении ориентированного образца. Выражение для модуля упругости можно получить из уравнения (4.15), если представить относительную деформацию как относительное изменение длины связи $\epsilon = (r - r_0)/r_0$, с учетом, что $E = (d/d\epsilon)_{r \rightarrow r_0}$:

$$E = 2N\omega^2 U_0 r_0. \quad (4.19)$$

Далее, используя (4.19), исключаем U_0 , в результате чего получаем:

$$\sigma_{\max} = \frac{E}{4\omega r_0}. \quad (4.20)$$

Так как $1/(4\omega r_0) \approx 0,1$, окончательно имеем:

$$\sigma_{\max} = 0,1E. \quad (4.21)$$

Значения прочности и модуля упругости ряда материалов приведены в табл. 4.3, из которой следует, что соотношение (4.21) выполняется весьма приближенно. Тем не менее следующее из этого соотношения неравенство $E \gg \sigma$ всегда выполняется для ориентированных кристаллических и жесткоцепных полимеров, у которых упругость имеет энергетическую природу. На это указывает, в частности, то обстоятельство, что величина модуля для таких

Таблица 4.3

Прочность и модуль Юнга различных материалов

Материал	Прочность, МПа	Модуль упругости, ГПа	
		продольный	поперечный*
Полиэтилен кристаллический**		235	4
Полиоксиметилен**		53	8
Полипропилен**		41	3
Сталь	2342	138	
Стекловолокно	2185	58	
Углеродное волокно	3390	343	
Волокно из ароматического полиамида «Кевлар»	3234	111	

* Относительно направления вытяжки.

** Кристаллические ориентированные полимеры.

полимеров обычно приводится в ГПа ($1 \text{ ГПа} = 10^9 \text{ Па}$), а величина прочности в МПа ($1 \text{ МПа} = 10^6 \text{ Па}$).

Несоответствие между теоретическими и экспериментальными величинами прочности является характерной особенностью полимерных материалов, в том числе и рассмотренных в таблице высокомодульных волокон, прочность которых не превышает $4 \cdot 10^3 \text{ МПа}$. Это объясняется несовершенством кристаллической структуры полимеров, для которой характерно чередование кристаллических и аморфных областей. При разрыве волокон ориентированного полимера силы, приложенные в осевом направлении, передаются в основном на проходные макромолекулы, число которых составляет 10–30 % от числа макромолекул, расположенных в кристаллических областях. Уже из этих цифр ясно, что реальная прочность ориентированных кристаллических полимеров должна быть в несколько раз меньше теоретической. Показательно, что в случае металлов, кристаллическая структура которых более совершенна, удается вырастить нитевидные монокристаллы (усы), их экспериментально определяемая прочность близка к теоретической.

В отличие от кристаллических полимеров, для которых возникновение упругой силы связано с межатомным взаимодействием, механизм действия (возникновения) упругих сил при растяжении аморфных полимеров обусловлен изменением потенциальной энергии межмолекулярного взаимодействия, преимущественно потенциальной энергии вращения вокруг ковалентных связей. Из сказанного ясно, что в первом приближении модуль упругости аморфных стеклообразных полимеров можно оценить, измеряя модуль упругости кристаллических полимеров в направлении, поперечном вытяжке, т. к. в этом направлении макромолекулы кристаллического полимера связаны лишь физическими межмолекулярными связями. Из табл. 4.3 следует, что в поперечном направлении значение модуля упругости кристаллических полимеров составляет 3–4 ГПа. Однако модуль упругости стеклообразных полимеров существенно ниже. Одно из вероятных объяснений этого несоответствия состоит в том, что даже в «замороженных» конформациях под действием приложенного напряжения возникает определенная подвижность сегментов и, следовательно, напряжение релаксирует. Напомним, что аналогичным является механизм вынужденной эластичности, рассмотренный выше.

Оценка прочности неориентированных аморфных стеклообразных полимеров может быть сделана, исходя лишь из полуэмпирических расчетов. Прежде всего, уточним содержание понятия «прочность» в данном случае. Из рис. 4.9 следует, что при растяжении аморфного стеклообразного полимера при $T > T_{\text{ср}}$ можно получить две количественные характеристики прочности – предел текучести и напряжение, при котором образец физически разрушается. Обе характеристики с точки зрения поставленной задачи неприемлемы, ибо в первом случае образец не разрушается, а течет, во втором – мы имеем дело с ориентированными макромолекулами, что не соответствует исходному условию. Уже упоминалось, что вид деформационной кривой существенно зависит от скорости деформации. При ее увеличении кривые растяжения приобретают вид кривой 1, приведенной на рис. 4.9, а предельное значе-

ние напряжения называется пределом хрупкости $\sigma_{\text{хр}}$. Когда разрыву образца предшествует кривая растяжения типа 1, говорят о хрупком разрушении, когда кривая 2 – о пластическом разрушении. Исходя из сказанного, было введено понятие критической прочности $\sigma_{\text{кр}}$, равной напряжению, при котором меняется механизм разрушения (от хрупкого к пластичному или наоборот).

При разрыве аморфного стеклообразного полимера должны разделиться «замороженные» клубки макромолекул. Поскольку клубки являются взаимопроникающими, при их разделении необходимо затратить энергию как на преодоление межмолекулярного взаимодействия при «скольжении» цепей, так и на разрыв некоторого количества химических связей, образующих зацепления. Ясно, что и та, и другая составляющие тем больше, чем больше приходится число связей на единицу сечения. Площадь поперечного сечения макромолекул или поперечного сечения мономерного звена пропорциональна $M_0/\rho l$, где M_0 – молекулярная масса мономерного звена, l – его длина, ρ – плотность полимера. Зная эту величину, легко рассчитать число звеньев, приходящихся на эту площадь. Из рис. 4.15 следует, что критическая прочность полимеров действительно пропорциональна числу связей основных цепей, приходящихся на единицу сечения.

Другой подход связан с учетом числа зацеплений макромолекул (см. рис. 2.30), приходящихся на единицу площади плоскости, перпендикулярной приложенному напряжению. Была проведена аналогия между зацеплениями и химическими сшивками, что позволило использовать известную зависимость между плотностью сшивки и прочностью каучуков. В результате для разрушающего напряжения ориентированных аморфных полимеров было получено:

$$\sigma_{\text{рас}} = 1,4 \cdot 10^5 \left(\frac{\rho(1 - M_c/\bar{M}_n)}{M_c} \right)^{5/6}, \quad (4.22)$$

где ρ – плотность полимера; \bar{M}_n – среднечисловая молекулярная масса; M_c – средняя молекулярная масса отрезка между двумя зацеплениями.

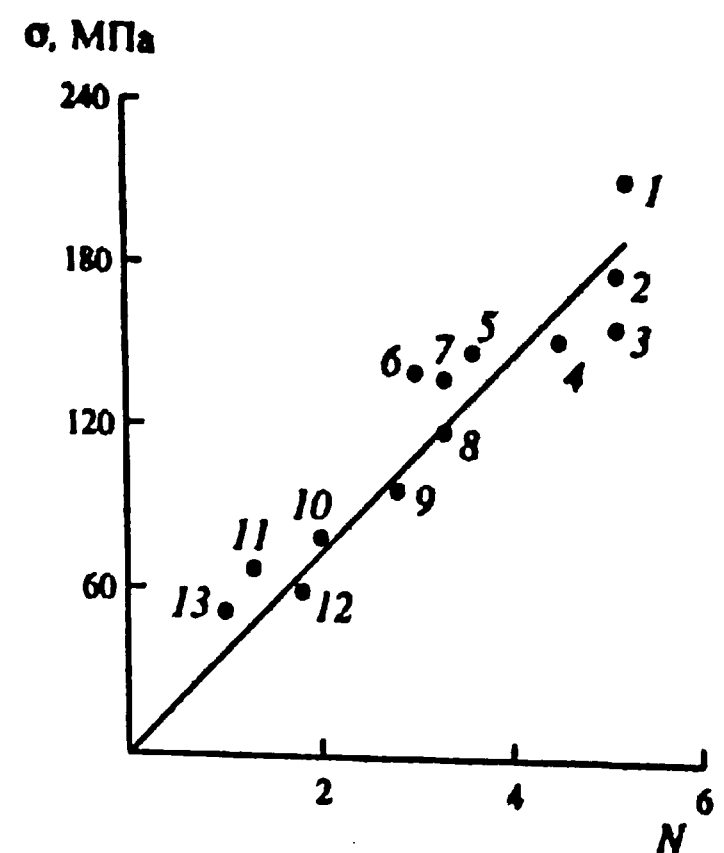


Рис. 4.15. Зависимость критической прочности аморфных полимеров от числа связей в сечении (плотности связей основных цепей) площадью 1 нм^2 : 1 – полиметиленоксид; 2 – полиамид 6; 3 – полиэтилен; 4 – полиэтилентерефталат; 5 – полисульфон; 6 – поликарбонат; 7 – поливинилхлорид; 8 – политетрафторэтилен; 9 – полипропилен; 10 – полибутилен-1; 11 – полиметилметакрилат; 12 – полипентен-1; 13 – поли-4-метилпентен-1

4.3.3. Механика и механизм разрушения полимеров

На вопрос, как и почему разрушаются твердые тела, впервые ответил Гриффит еще в конце XIX в. Его теория, которую можно отнести к механике разрушения, по праву считается классической.

Согласно Гриффиту, разрушение твердого тела под действием механического напряжения связано, в первую очередь, с существованием и развитием трещин. Модель трещины можно представить в виде отверстия в форме эллипса с полуосами a и b в плоском образце единичной толщины (рис. 4.16). Если приложить растягивающее напряжение σ на расстоянии, бесконечном от трещины, то в вершине последней напряжение будет концентрироваться в соответствии с уравнением:

$$\sigma_{y(\max)} = \sigma(1 + 2\sqrt{a/\rho}), \quad (4.23)$$

где $\rho = b^2/a$ – радиус кривизны у полюса эллипса. Это напряжение спадает по удалении от трещины в соответствии с зависимостью, приведенной на рис. 4.16. Величина σ_{\max}/σ характеризует концентрацию напряжений, она приближенно равна:

$$\alpha = \frac{\sigma_{\max}}{\sigma} \approx 1 + 2\sqrt{a/\rho} = 2\sqrt{a/\rho}. \quad (4.24)$$

Модель острой трещины задается уменьшением радиуса кривизны. При $\rho \rightarrow 0$ напряжение в районе вершины трещины неограниченно возрастает. При малых x справедливо приближенное соотношение:

$$\sigma_y \approx \sigma\sqrt{a/x} \quad (4.25)$$

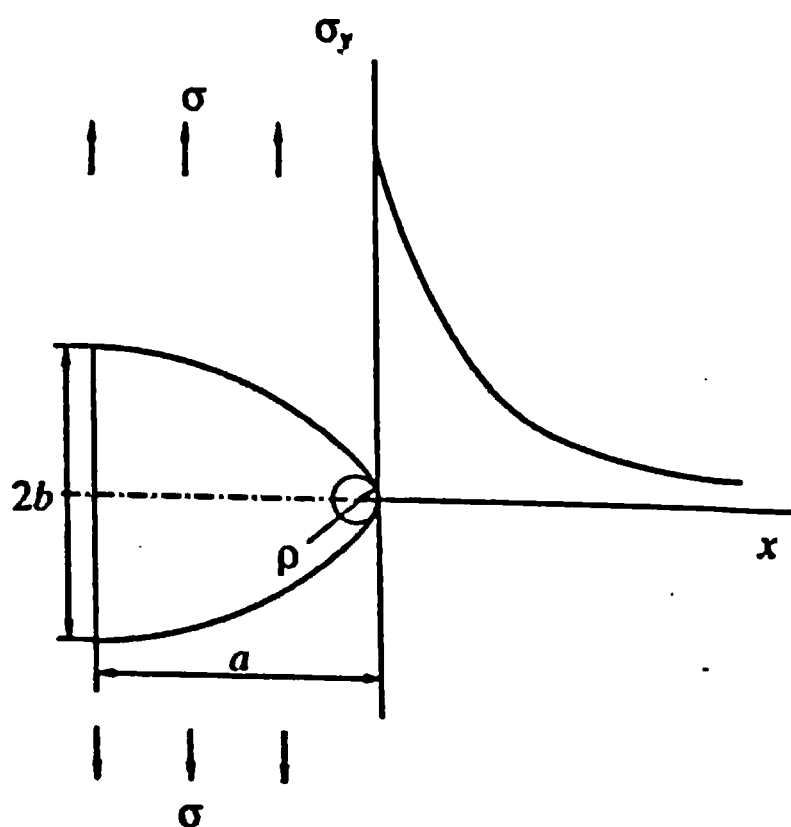


Рис. 4.16. Эллиптическая модель трещины. Концентрация напряжений в вершине трещины, ρ – радиус кривизны

при $\rho \leq x \leq a$, откуда видно, что напряжение в окрестностях вершины трещины прямо пропорционально квадратному корню от ее длины.

Деформирование приводит к накоплению в теле упругой энергии, равной, согласно теории упругости, $\sigma^2/2E$. Если в плоском деформируемом теле с единичной толщиной образовалась трещина, то упругая энергия такого тела уменьшается на величину, равную

$$W_E = \left(\frac{\sigma^2}{2E} \right) \pi a^2, \quad (4.26)$$

т. е. на величину энергии, локализованной в объеме, ограничивающем трещину. Поскольку мы имеем дело

с листом ограниченной толщины, то в данном случае вместо объема рассматривается площадь окружности, огибающей трещину, которая приближенно равна πa^2 . Эта часть энергии W_E расходуется на образование двух новых поверхностей при раскрытии трещины, концентрированная на них поверхностная энергия равна $W_s = 4\alpha\gamma_s$, где γ_s – удельная поверхностная энергия. Условие разрушения Гриффита можно записать следующим образом:

$$\frac{\sigma^2 \pi a}{E} \geq 4\gamma_s. \quad (4.27)$$

Трещина может самопроизвольно расти лишь при достижении некоторого критического размера a_{kp} :

$$a_{kp} \sim \frac{\gamma_s E}{\sigma^2}. \quad (4.28)$$

Таким образом, согласно Гриффиту, общая картина разрушения складывается следующим образом. Твердые тела имеют трещины, которые являются следствием дефектов структуры и связанных с ними внутренних напряжений, однако, в обычных условиях эти трещины не раскрываются, поскольку их размер меньше критического. При действии внешнего напряжения оно может сконцентрироваться в вершинах микротрещин до величины, достаточной для ее раскрытия. После того, как размер трещины превысит a_{kp} , она развивается необратимо с ускорением (что следует из (4.25)) до разрушения образца. В том случае, когда воздействие на образец материала не носит ударного характера, т.е. скорость деформации невысока, в вершине трещины может развиться пластическая деформация, если напряжение достигнет предела текучести σ_t . Это приводит к релаксации напряжения и остановке роста трещины.

При $T < T_{xp}$, а также при $T > T_{xp}$, но больших скоростях деформации (ударные нагрузки), пластическая деформация и, следовательно, релаксация напряжений не успевают развиться, поэтому в обоих случаях имеет место хрупкое разрушение материала. Механизм хрупкого разрушения полимеров в наибольшей степени отвечает теории Гриффита и практически не отличается от механизма разрушения низкомолекулярных твердых тел. По достижении критического размера трещины начинают расти с ускорением до тех пор, пока скорость их роста не достигнет скорости распространения упругих колебаний (звука) в данном материале. По достижении этого трещины растут с постоянной скоростью до разрушения образца. Трещины, вызывающие разделение образца на части, называются магистральными.

При $T > T_{xp}$ и умеренных скоростях нагружения, когда, наряду с упругой, развивается также пластическая деформация, механизм разрушения полимеров, соответствующий этим условиям, называется релаксационным. Релаксационные явления оказывают большое влияние на процессы зарождения и развития трещин. К первому из этих процессов теория Гриффита может быть применена лишь с большими поправками и допущениями. В рассматриваемом случае упругая энергия полимера, запасенная при де-

формации W_o , расходуется не только и не столько на увеличение поверхности, но также в значительной степени рассеивается вследствие механических потерь:

$$\delta W_o = dW_s + \delta Q. \quad (4.29)$$

Величина δQ учитывает механические потери, она определяется, главным образом, рассеиванием энергии в форме теплоты, выделяемой за счет внутреннего трения в релаксационных процессах, связанных с перемещением сегментов цепей, элементов надмолекулярной структуры. Механические потери для полимеров очень значимы, они могут превышать на несколько порядков изменение поверхностной энергии, связанное с ростом трещины. Поэтому при наличии релаксационных явлений в основном уравнении теории Гриффита используется некая эффективная величина, включающая как свободную поверхностную энергию, так и механические потери.

Пластическая деформация, характерная для релаксационного механизма, приводит также к специальному и присущему только полимерам явлению возникновения трещин серебра или крейзобразования. Внешне трещины серебра выглядят, как серебряная паутина на поверхности и в объеме прозрачного полимерного образца. При их значительной концентрации полимер теряет прозрачность. Трещины серебра обычно образуются при напряжениях, существенно меньших по сравнению с пределом текучести σ_t , и при деформации порядка 1% они могут также образовываться при хранении полимерного материала как результат внутренних напряжений. В отличие от обычных трещин трещины серебра представляют собой систему микропор, разделенных тяжами или перегородками, состоящими из микрофибрилл полимера, ориентированных в направлении вытяжки.

Считается, что образование трещин серебра является следствием неравномерного распределения напряжений и деформаций в объеме и на поверхности деформируемого образца. Разрыв химических связей в перенапряженных областях и пластическая деформация полимера (течение) в менее напряженных областях приводят к одновременному возникновению микропор и разделяющих их тяжей из ориентированных микрофибрилл.

Образование трещин серебра не приводит к разрушению полимерного материала, поскольку тяжи, соединяющие стенки трещины, не дают им раскрыться. Разрушение образца происходит в течение определенного времени, зависящего от величины приложенного напряжения путем последовательного разрыва тяжей, соединяющих стенки трещины. В этом случае магистральные трещины или трещины разрушения распространяются вслед за трещиной серебра. Образованию трещин серебра сильно способствуют многие органические растворители и некоторые газы. Этот эффект обусловлен тем, что трещины серебра содержат сообщающиеся между собой поры, доступные органическим растворителям облегчен за счет капиллярных сил. Активизирующее действие многих веществ на образование трещинной энергии; среды, содержащие такие вещества, называются адсорбционно-активными.

4.3.4. Ударная прочность полимеров

Разнообразные способы механического воздействия, приводящие к разрушению полимерного материала, можно отнести к трем типичным случаям:

ударные воздействия,

длительные воздействия при постоянной нагрузке,

периодические воздействия.

Ударное действие означает деформирование тела с большой скоростью. Если эта скорость превышает скорость распространения упругой деформации (скорость звука), то образец разрушается в месте приложения нагрузки, если не превышает, то образец разрушается по всему объему по механизму хрупкого разрушения. Пластическая деформация до разрушения образца не успевает развиться в сколько-нибудь значительной степени.

Сопротивление полимеров ударным нагрузкам характеризуется так называемой ударной вязкостью, величина которой, выражаемая в Дж/м², численно равна работе разрушения ΔA , отнесенной к единице площади поперечного сечения образца S :

$$a = \Delta A/S, \quad (4.30)$$

где a – ударная вязкость; $S = b \cdot h$ (b – ширина, h – толщина образца). Поскольку работа разрушения выражается интегралом напряжений по деформациям, то

$$a = \int_0^{\varepsilon_p} \sigma d\varepsilon = c \sigma_p \varepsilon_p, \quad (4.31)$$

где σ_p , ε_p – предельные напряжение и деформация образца при его разрушении, $0,5 < c < 1$ – постоянная. Из (4.31) следует, что ударная вязкость определяется как прочностными (σ_p), так и деформационными (ε_p) характеристиками материала.

Ударную вязкость полимеров наиболее часто определяют, используя для разрушения образца кинетическую энергию маятника (рис. 4.17). Из схемы, приведенной на рис. 4.17, видно, что в исходном положении маятник массой M , плечом l_0 обладает запасом потенциальной энергии, равной:

$$E = Mgh = Mg l_0 (1 - \cos \Theta). \quad (4.32)$$

После разрушения образца и подъема маятника на угол Θ' , энергия равна

$$E' = Mg l_0 (1 - \cos \Theta'), \quad (4.33)$$

следовательно, энергия, затраченная на разрушение, составляет:

$$E - E' = Mg l_0 (\cos \Theta' - \cos \Theta). \quad (4.34)$$

Для расчета ударной вязкости из этой энергии необходимо вычесть кинетическую энергию разлетающихся осколков образца, которую можно рассчитать, исходя из закона сохранения импульса.

Значения ударной вязкости некоторых полимерных материалов приведены в табл. 4.4. Если сравнить ударную прочность различных полимеров с их структурой и свойствами, то можно сделать два вывода.

1. Полимеры с высокой ударной вязкостью имеют большие механические потери при низких температурах. К таким полимерам относятся полиэтилен, полиметиленоксид, поликарбонат, политетрафторэтилен, полибутиадиен. Как было показано ранее, механические потери обусловлены релаксационными явлениями в полимерах, следовательно, отмеченная выше тенденция связана с частичной затратой энергии удара на перемещение сегментов макромолекул и ее рассеиванием в виде энергии в форме теплоты, выделяющейся при трении сегментов.

2. Смеси полимеров во многих случаях имеют существенно большую ударную вязкость по сравнению с гомополимерами.

Смесевые композиции широко используются на практике, наиболее известным из них является ударопрочный полистирол и ударопрочный АБС-пластик. В первом случае в жесткой матрице полистирола распределены частицы каучука размером несколько микрон, во втором – жесткой матрицей является сополимер стирола с акрилонитрилом, эластичной фазой – диеновый каучук, к которому привиты цепи сополимера акрилонитрил – стирол.

Основными причинами повышенной ударной вязкости смесевых композиций являются деформация частиц эластомера и образование вокруг них трещин серебра во время удара. На то и другое расходуется значительная часть энергии удара, что предотвращает разрушение образца.

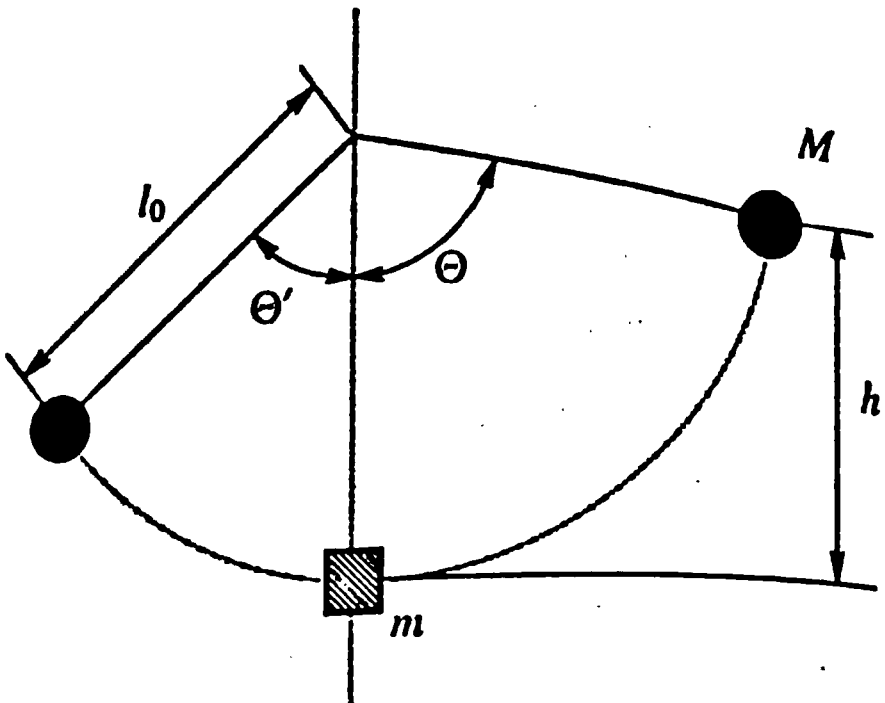


Рис. 4.17. Схема работы маятникового копра при измерении ударной прочности; l_0 , M – длина и масса маятника, m – образец

Таблица 4.4

Ударная вязкость (по Изоду) некоторых полимерных материалов

Материал	Ударная вязкость, кДж/м ²
Полистирол	13 – 21
Ударопрочный полистирол	26 – 210
Сополимер акрилонитрила, бутадиена и стирола (АБС-пластик)	53 – 200
Поливинилхлорид	20 – 50
Поливинилхлорид, содержащий частицы бутадиенового каучука	500 – 1600
Полипропилен	20 – 40
Этилен-пропиленовый блок-сополимер	100 – 800

4.3.5. Долговечность. Усталостная прочность полимеров

Представим, что некий груз поднят тросом из полимерного материала. Означает ли это, что груз может висеть в подвешенном состоянии к тросу сколь угодно долгое время? Нет, не означает. Хорошо известно, что нагруженный полимерный материал со временем может разрушиться. Время от начала нагружения полимера до его разрушения при $\sigma = \text{const}$ называется долговечностью. В работах Журкова установлена связь между долговечностью полимера τ и величиной приложенного напряжения:

$$\tau = A \cdot \exp\{-a\sigma\}, \quad (4.35)$$

где a, A – постоянные, зависящие от природы материала и температуры.

Температурная зависимость долговечности описывается уравнением:

$$\tau = \tau_0 \cdot \exp\left\{\frac{U_0 - \gamma\sigma}{kT}\right\} \quad (4.36)$$

или в логарифмической форме:

$$\lg \tau = \lg \tau_0 + \frac{U_0 - \gamma\sigma}{2.3kT}, \quad (4.37)$$

где τ_0 – постоянная, близкая по значению к периоду тепловых колебаний атомов ($\tau = 10^{-12} - 10^{-13}$ с), U_0 – энергия активации элементарного акта разрушения в отсутствие внешних напряжений, по величине близкая к энергии диссоциации химической связи, γ – «активационный объем», т. е. объем, где концентрируются напряжения, вызывающие разрыв одной или нескольких химических связей, k – постоянная Больцмана, T – абсолютная температура.

Уравнение (4.37) было экспериментально подтверждено для целого ряда полимеров: полиэтилметакрилата, полистирола, полиамида 6, полиамида 6,6, ацетата целлюлозы, поливинилхлорида, полиэтилена, полипропилена и др. Рассмотрим в качестве примера результаты исследования волокон из ацетата целлюлозы. На рис. 4.18 прямые, отвечающие различным температурам, сходятся в одной точке, которой соответствует $\sigma = \sigma_k$. Чем ниже температура эксперимента, тем круче прямые; в области, близкой к -200°C , они становятся параллельными оси ординат. Это означает, что в области низких температур разрушающее напряжение не зависит от времени приложения нагрузки и, в этом смысле, может рассматриваться как константа. Изложенного ранее следует, что в этой области обычно имеет место хрупкое разрушение стеклообразных полимеров.

Соотношения (4.35), (4.36) получили объяснение, исходя из кинетической теории разрушения, разработанной Журковым в 50-х гг. XX в. Согласно этой теории, разрушение полимера связано с разрывом химических связей основной цепи. Это положение экспериментально доказано методом ЭПР, т. к. разрыв макромолекул приводит к образованию свободных радикалов в количествах, достаточных для их обнаружения этим методом (табл. 4.5). Механическое напряжение снижает энергию активации разрыва химических связей ос-

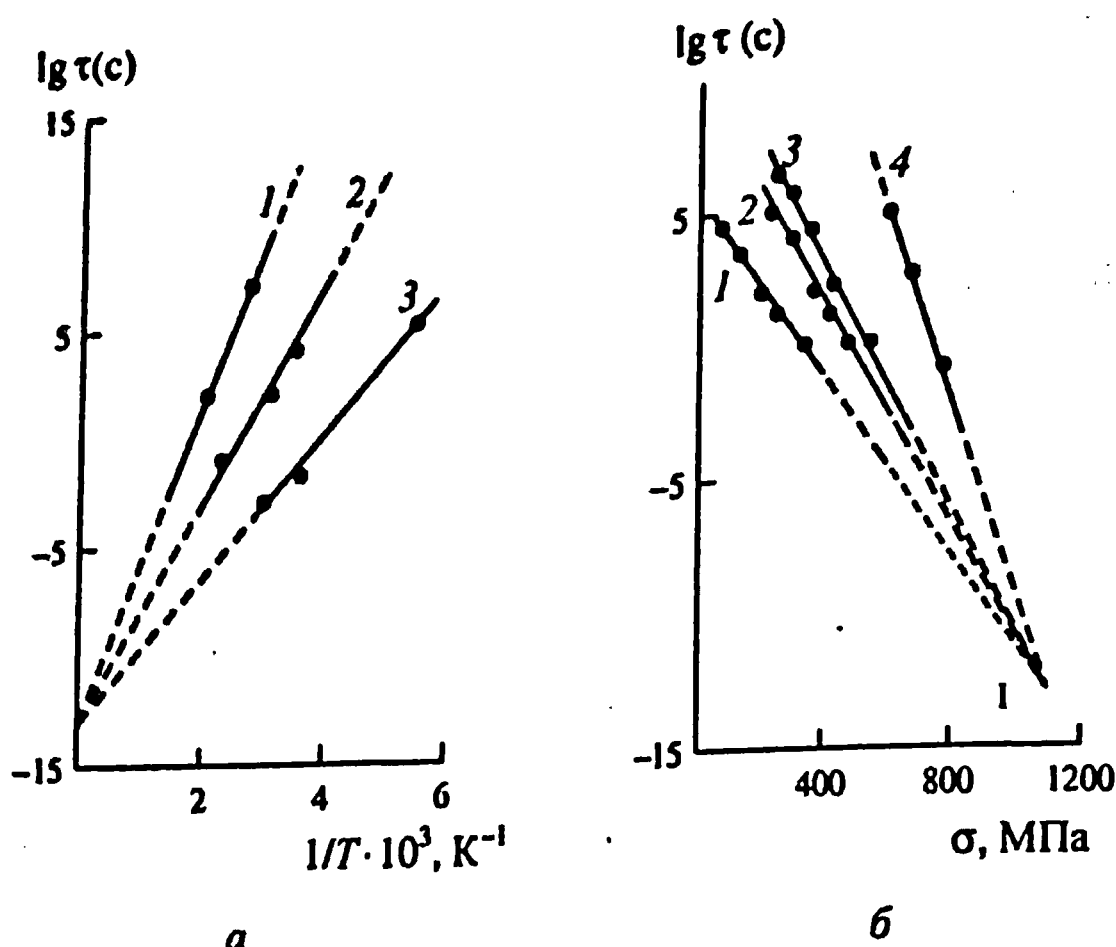


Рис. 4.18. Зависимость долговечности вискозного волокна от температуры (а) и напряжения (б); напряжение: 1 – 200; 2 – 400; 3 – 600 МПа; температура: 1 – 150; 2 – 80; 3 – 20; 4 – (-75) °С

новной цепи U_0 до величины $U_0 - \gamma\sigma$, что приводит к увеличению скорости роста трещин.

Длительное нагружение полимерного материала приводит не только к его разрушению, но и к постоянному изменению его размеров. Деформация во времени образца, находящегося под постоянной нагрузкой при $\sigma < \sigma_t$, называется ползучестью. Типичная диаграмма ползучести приведена на рис. 4.19. Скачок деформации в начальный момент времени связан с распространением обратимой упругой деформации. Далее развивается необратимая деформация, скорость нарастания которой увеличивается со временем.

На практике количественно ползучесть характеризуют путем сравнения свойств полимеров, измеренных в начальный период нагружения полимера и по прошествии достаточно длительного времени. В настоящее время наибольшее распространение получил метод измерения модуля упругости через 1 и 1000 часов после начала нагружения. Для многих полимеров отношение $E(1 \text{ ч})/E(1000 \text{ ч})$ заключено в интервале 0,7–0,9.

Таблица 4.5

Количество радикалов в 1 см³ полимера в момент разрушения при растяжении

Полимер	Количество радикалов
Полиамид 6	$5 \cdot 10^{17}$
Полиэтилен	$5 \cdot 10^{16}$
Полиэтиленоксид	$8 \cdot 10^{15}$
Шелк	$7 \cdot 10^{17}$

Усталостная прочность. С точки зрения практического использования полимерных материалов очень важным является усталостное разрушение, т. е. разрушение, вызываемое изменяющимися во времени напряжением и деформацией. Усталостная прочность определяется многими факторами, в том числе и предысторией полимерного материала, однако, самым важным из этих факторов является амплитуда напряжения.

Зависимость между амплитудой напряжения σ и логарифмом числа циклов нагружения до разрушения полимерного материала называют кривой Вёлера. Такие кривые наиболее объективно характеризуют основные усталостные свойства материалов. На рис. 4.20 приведены кривые Вёлера для ряда полимеров, для некоторых из них число циклов нагружения слабо зависит от амплитуды напряжения. Для таких полимеров существует определенный предел амплитуды напряжения, ниже которого разрушения материала не наблюдается при увеличении числа циклов до бесконечности. Эта предельная амплитуда напряжения называется пределом выносливости. Именно эта величина должна использоваться в инженерных расчетах на усталостную прочность конструкции из полимерных материалов, подвергающихся длительным периодическим воздействиям. Наличие предела выносливости характерно не для всех полимеров. Аналогично для металлов

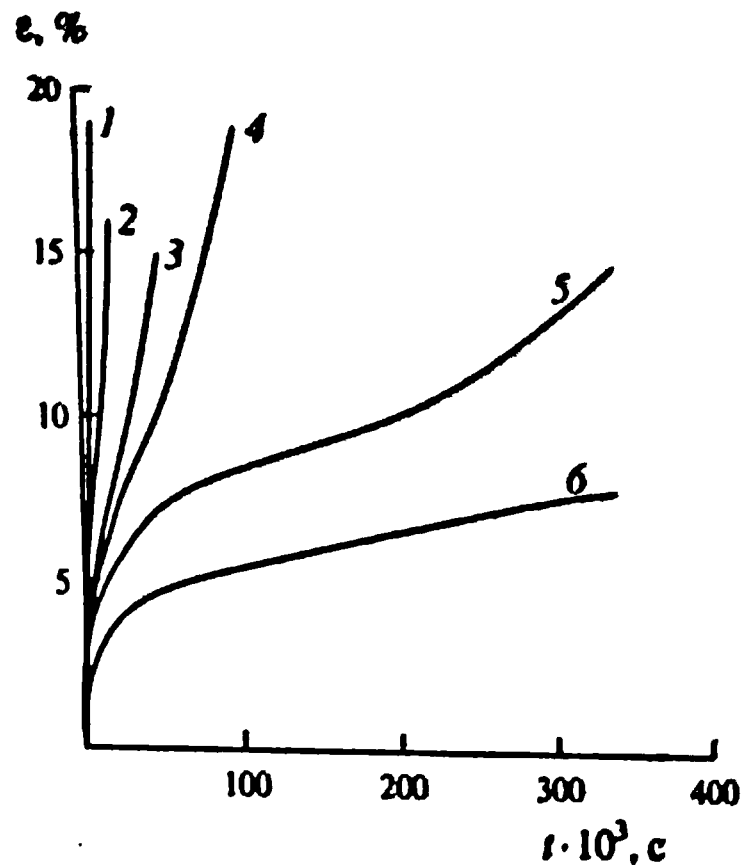


Рис. 4.19. Кривые ползучести полипропилена при больших нагрузках, -50°C : 1 – 24,13; 2 – 22,41; 3 – 21,38; 4 – 20,69; 5 – 18,97; 6 – 17,24 кПа

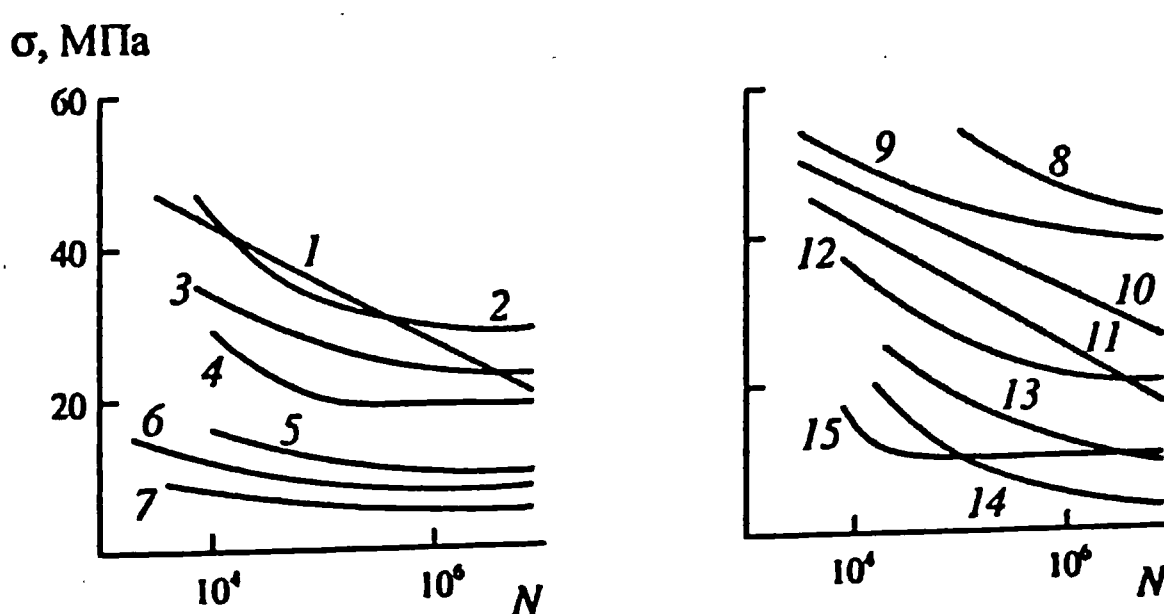


Рис. 4.20. Зависимость числа циклов N до разрушения полимерного материала от напряжения: 1 – полиуретановый каучук; 2 – диаллилфталат; 3 – ацетат целлюлозы; 4 – полиметилметакрилат; 5 – полипропилен; 6 – полиэтилен; 7 – политетрафторэтилен; 8 – полиформальдегид; 9 – эпоксидный полимер; 10 – полиэтилентетрафторэтилен; 11 – полиамид; 12 – полифениленоксид; 13 – поликарбонат; 14 – сополиуретановый каучук; 15 – полисульфономер этилцеллюлозы и тетрафторэтилена

Черные металлы имеют предел выносливости, цветные – не имеют. При отсутствии предела выносливости полимерные материалы, как и металлы, характеризуются амплитудой напряжения, соответствующей 10^7 циклам испытаний до разрушения.

Предел выносливости многих аморфных полимеров, таких как полистирол, полиметилметакрилат, поликарбонат, полифениленоксид и другие, составляет около 20 % от статистического разрушающего напряжения, для полиамида 66 эта величина возрастает до 30 %, для полиметиленоксида – до 60 %. Ударопрочные полимерные материалы, являющиеся, как правило, смесями полимеров, обладают незначительной усталостной прочностью. Это объясняется легкостью образования трещин серебра на границе раздела жесткой и эластомерной фаз. В рассматриваемом случае трещины серебра играют отрицательную роль, так как они способствуют образованию усталостных трещин разрушения. Рост последних происходит скачкообразно: на первом этапе, после нескольких циклов нагружения, на втором – при каждом цикле нагружения. Элементарные акты усталостного разрушения отражаются на поверхности разрушения – она имеет полосатую структуру, причем на той части поверхности, что отвечает заключительному этапу разрушения, число полос равно числу циклов нагружения полимера.

4.4. Электрические свойства полимеров

4.4.1. Полимерные диэлектрики

По величине удельной электрической проводимости χ ($\text{Ом}^{-1} \cdot \text{см}^{-1}$) или обратной ей величине удельного сопротивления ρ ($\text{Ом} \cdot \text{см}$) полимеры могут быть проводниками ($\rho = 10^3 - 10^{-3}$ $\text{Ом} \cdot \text{см}$), полупроводниками ($\rho = 10^3 - 10^8$ $\text{Ом} \cdot \text{см}$) или диэлектриками ($\rho > 10^3 - 10^8$ $\text{Ом} \cdot \text{см}$). Полимеры являются материалами с очень ценными диэлектрическими (изолирующими) свойствами. Диэлектрические свойства полимеров характеризуются удельным объемом ρ_v и удельным поверхностным сопротивлением ρ_s , электрической прочностью, диэлектрической проницаемостью и уровнем диэлектрических потерь.

Объемная проводимость полимеров обычно имеет ионную природу, причем ионы, как правило, являются примесными. Поэтому ρ_v сильно зависит от наличия примесей, особенно воды, и уменьшается с ростом температуры.

Удельное поверхностное сопротивление полимера зависит от наличия адсорбированных примесей, а также от влажности воздуха. Поскольку поверхностные загрязнения легко удаляются, значения ρ_s полимеров с очищенной поверхностью в сухой атмосфере значительно выше значений ρ_v .

Важной характеристикой диэлектриков является электрическая прочность E_p – минимальная напряженность внешнего электрического поля, при которой происходит его пробой, или, другими словами, диэлектрик становится проводником.

Различают тепловой и внутренний пробой. Первый обусловлен разогревом диэлектрика при прохождении электрического тока из-за диэлектриче-

Таблица 4.6

Некоторые электрические свойства полимерных диэлектриков, 25 °C

Полимер	E_p , кВ/мм	ρ_r , Ом · см	ϵ' (10^3 Гц)
Полиэтилен	650	$10^{17} - 10^{18}$	-
Полистирол	600	10^{15}	2,56
Политетрафторэтилен	-	10^{17}	2,10
Поливинилхлорид	650	$10^{11} - 10^{16}$	3,00 - 3,30
Полиметилметакрилат	1000	-	2,84
Целлюлоза*	120 - 320	10^{14}	6,00
Полизопрен	-	$3 \cdot 10^{16}$	-
Полимида	-	$10^{11} - 10^{15}$	-
Эпоксидные смолы, отверженные	-	10^{16}	-
Поликарбонаты	-	$10^{15} - 10^{16}$	-
Полимида	-	$10^{15} - 10^{16}$	-
Полифениленоксид	-	10^{17}	-
Поли-2,5-дихлорстирол	-	10^{17}	-

* Конденсаторная бумага.

ских потерь (см. далее). Повышение температуры увеличивает проводимость и дальнейший разогрев до разрушения образца. Внутренний пробой происходит в результате прогрессирующей ионизации диэлектрика, вызванной электрическим полем. Полярные полимеры имеют более высокую электрическую прочность по сравнению с неполярными (табл. 4.6).

Диэлектрическая проницаемость ϵ' равна отношению емкости конденсатора, заполненного диэлектриком (c), к емкости конденсатора, пластины которого разделены вакуумом (c_0):

$$\epsilon' = c/c_0. \quad (4.38)$$

Увеличение емкости конденсатора, заполненного диэлектриком, обусловлено образованием в его объеме под действием внешнего электрического поля электрического (дипольного) момента, направленного вдоль поля. Этот момент равен геометрической сумме моментов полей молекул диэлектрика. Постоянные или наведенные диполи молекул создают электрический момент, называемый моментом диполя μ . Постоянный момент диполя, т. е. существующий и в отсутствие внешнего электрического поля μ_0 , для низкомолекулярных молекул равен:

$$\mu_0 = ql, \quad (4.39)$$

где q – величина заряда; l – расстояние между разделенными положительным и отрицательным зарядами (длина диполя). Для жесткой вытянутой макромолекулы момент диполя $\bar{\mu}$ складывается из моментов диполя составляющих ее звеньев, поскольку такие макромолекулы ориентируются в поле как единое целое. Показано, что в этом случае

$$\bar{\mu} = n^2 \mu_0^2, \quad (4.40)$$

где n – число звеньев в цепи.

Из формулы (4.40) видно, что полимеры с жесткими палочкообразными макромолекулами должны обладать необычайно большими моментами диполя. Это действительно обнаружено для синтетических полипептидов, макромолекулы которых имеют форму вытянутой спирали. Их моменты диполя достигают 10^{-27} Кл·м. Моменты диполя гибкоцепных полимеров на 1–2 порядка ниже. Теоретические расчеты показывают, что для цепей со свободно сочлененными звеньями

$$\bar{\mu}_2 = n\mu_0^2, \quad (4.41)$$

а при условии заторможенного вращения звеньев, т. е. для реальных гибкоцепных полимеров,

$$\bar{\mu}_2 = n\mu_{\text{orb}}^2 = n\mu_0^2 g, \quad (4.42)$$

где $\mu_{\text{эф}}$ – эффективный момент диполя мономерного звена, g – корреляционный параметр. Величина g зависит от степени заторможенности свободного вращения в цепи и, следовательно, определяется природой мономерного звена и внутримолекулярным взаимодействием. Сравнение $\mu_{\text{эф}}$ ряда полимеров и μ_0 насыщенных соединений, аналогичных по строению мономерным звеньям, показало, что $\mu_{\text{эф}} > \mu_0$ и, следовательно, $g < 1$. Так, для полиметилметакрилата $\mu_{\text{эф}} = 4,44 \cdot 10^{-30}$ Кл·м, а для метилового эфира изомасляной кислоты $\mu_0 = 5,68 \cdot 10^{-30}$ Кл·м, и в этом случае $g = 0,61$.

У молекул неполярных диэлектриков электрический момент диполя индуцируется за счет частичного разделения (деформации) зарядов в молекуле под действием внешнего поля. Электрический момент, возникающий в этом случае, называется деформационным моментом, он пропорционален напряженности приложенного поля E :

$$\mu = \alpha E, \quad (4.43)$$

где α – коэффициент пропорциональности, называемый попаризуемостью.

Молекулы полярных диэлектриков имеют постоянный момент диполя и в отсутствие поля. Поэтому действие поля, в первую очередь, сводится к ориентации уже существующих диполей. Возникающая в этом случае поляризация называется дипольной или ориентационной, а суммарный электрический момент – ориентационным.

Деформационная поляризация, обусловленная возникновением деформационного момента у неполярных диэлектриков под действием поля, возникает практически мгновенно. В отличие от нее ориентационная поляризация развивается во времени и зависит от температуры, т. е. интенсивности теплового движения, поэтому она часто называется также тепловой поляризацией. Это связано с тем, что для ориентации диполя по полю, связанному с перемещением молекул или их фрагментов, необходимо время, а тепловое движение мешает этому процессу.

Из изложенного ясно, что в случае полимеров процесс ориентации диполей затруднен из-за большого размера молекул и сегментов, в результате

чего он протекает во времени. Поэтому при действии на полимерный диэлектрик переменного электромагнитного поля возникает сдвиг фаз между вектором электрической составляющей и вектором суммарного электрического момента, обусловленного поляризацией диэлектрика, на угол δ , называемый углом диэлектрических потерь. Это приводит к потере части энергии внешнего электромагнитного поля, приложенного к полимерному диэлектрику, вследствие перехода в энергию в форме теплоты (диэлектрические потери), т. к. стремление диполей ориентироваться «по полю» приводит к перемещению различных групп атомов, связанному с трением.

Количественно диэлектрические потери характеризуются тангенсом угла диэлектрических потерь $\operatorname{tg} \delta$, который численно равен отношению активной составляющей тока, проходящего через конденсатор, заполненный диэлектриком (в данном случае полимером), при приложении переменного поля I_a , к емкостной или реактивной I_c :

$$\operatorname{tg} \delta = I_a / I_c = \epsilon' / \epsilon'', \quad (4.44)$$

где ϵ'' – коэффициент диэлектрических потерь. В свою очередь, ϵ' и ϵ'' связаны соотношением:

$$\epsilon^* = \epsilon' - i\epsilon'', \quad (4.45)$$

где $i = \sqrt{-1}$. Величина ϵ^* называется обобщенной диэлектрической проницаемостью.

Знание величины диэлектрической проницаемости полимеров очень важно для определения областей их практического использования в качестве диэлектриков.

4.4.2. Релаксационные переходы

Если напряжение, приложенное к полимеру, изменяется по гармоническому закону, то по такому же закону, но со сдвигом фаз, меняется дипольная поляризация. В этом случае частотные зависимости ϵ' и ϵ'' описываются соотношением:

$$\epsilon' = \epsilon_\infty + \frac{\epsilon_0 - \epsilon_\infty}{1 + \omega^2 \tau^2}, \quad (4.46)$$

$$\epsilon'' = \frac{(\epsilon_0 - \epsilon_\infty) \omega \tau}{1 + \omega^2 \tau^2}, \quad (4.47)$$

где ω – круговая частота; τ – время релаксации дипольной поляризации, характеризующее скорость ее установления при внесении образца в поле или скорость исчезновения при снятии поля; ϵ_0 и ϵ_∞ – значения диэлектрической проницаемости при $\omega = 0$ и $\omega = \infty$.

Диэлектрические потери существенно зависят от частоты приложенного поля ω и температуры, что обусловлено релаксационным характером диполя ω и температуры, что обусловлено релаксационным характером диполя

польной поляризации. Поскольку эти потери связаны в основном с наличием дипольной поляризации, характерной для полярных полимеров, значение $\operatorname{tg} \delta$ для них больше, а зависимость $\operatorname{tg} \delta - \omega, T$ выражена гораздо более ярко по сравнению с неполярными. При низкой температуре и (или) большой частоте дипольная (тепловая) поляризация не успевает развиться, поэтому в этих условиях все полимеры ведут себя как неполярные. В области высоких температур и низких частот дипольная поляризация развивается полностью. Таким образом, $\epsilon' \rightarrow \min$ при $\omega \rightarrow \infty$ и $T \rightarrow 0$, $\epsilon' \rightarrow \max$ при $T \rightarrow \infty$ и $\omega \rightarrow 0$.

На частотных температурных зависимостях ϵ' и ϵ'' наблюдается максимум в первом случае и перегиб – во втором (рис. 4.21) при удовлетворении условия

$$\omega_{\max} \tau = 1. \quad (4.48)$$

Это дает возможность рассчитать время релаксации, соответствующее данной температуре. Далее, зная ϵ' и ϵ'' , используя (4.46), можно получить зависимость $\operatorname{tg} \delta$ от частоты и температуры. На этих зависимостях обнаруживается ряд максимумов (от 1 до 4), отождествляемых с существованием так называемых релаксационных переходов, т. е. со скачкообразным изменением характера релаксации. Если рассматривать зависимость $\operatorname{tg} \delta - T$, то в порядке уменьшения температуры релаксационные переходы, соответствующие максимумам, обозначаются как $\alpha, \beta, \gamma, \delta$.

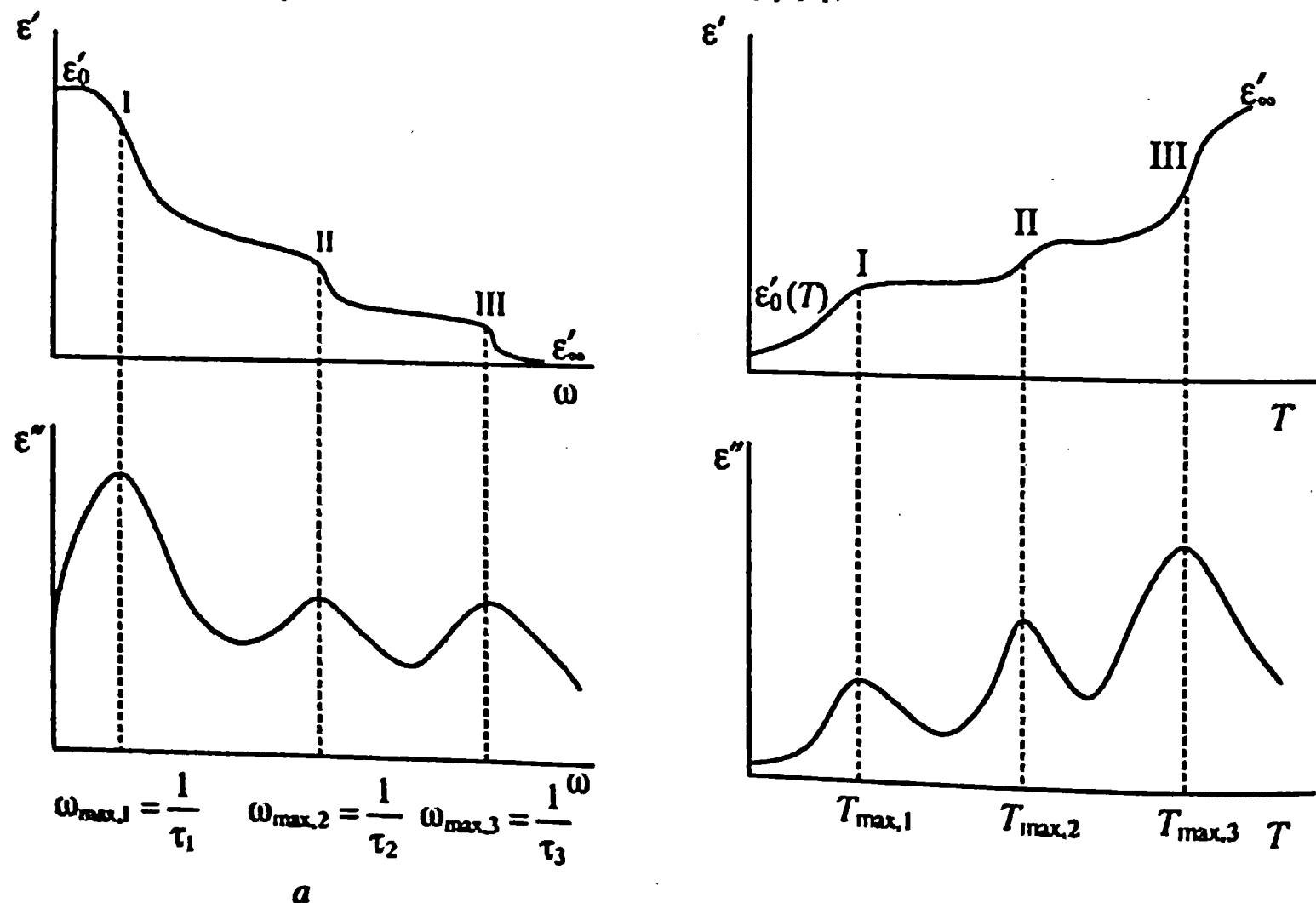


Рис. 4.21. Зависимость диэлектрической проницаемости ϵ' и коэффициента диэлектрических потерь ϵ'' от циклической частоты при $T = \text{const}$ (a) и от температуры при $\omega = \text{const}$ (b) для полимерного диэлектрика

α -Переход связан с дипольно-сегментальной поляризацией, он отражает «размораживание» или «замораживание» подвижности сегментов, другими словами, стеклование или расстекловывание полимера. Область максимума α -перехода соответствует температуре стеклования полимера.

Последующие переходы – β , γ , δ связаны с дипольно-групповой поляризацией, они соответствуют движению различных групп неподвижной макромолекулы – заместителей, фрагментов заместителей, отдельных связей, а также проворачиванию небольших участков основной цепи подобно вращению коленвала. Из рис. 4.22 следует, что относительная величина максимумов, отвечающих α - и β -переходу, может изменяться, однако, чаще всего, наиболее значительный максимум относится к α -переходу. В данном случае α -переходу в полиметилметакрилате соответствует меньший максимум, что связано с тормозящим действием CH_3 -заместителя на скорость релаксации.

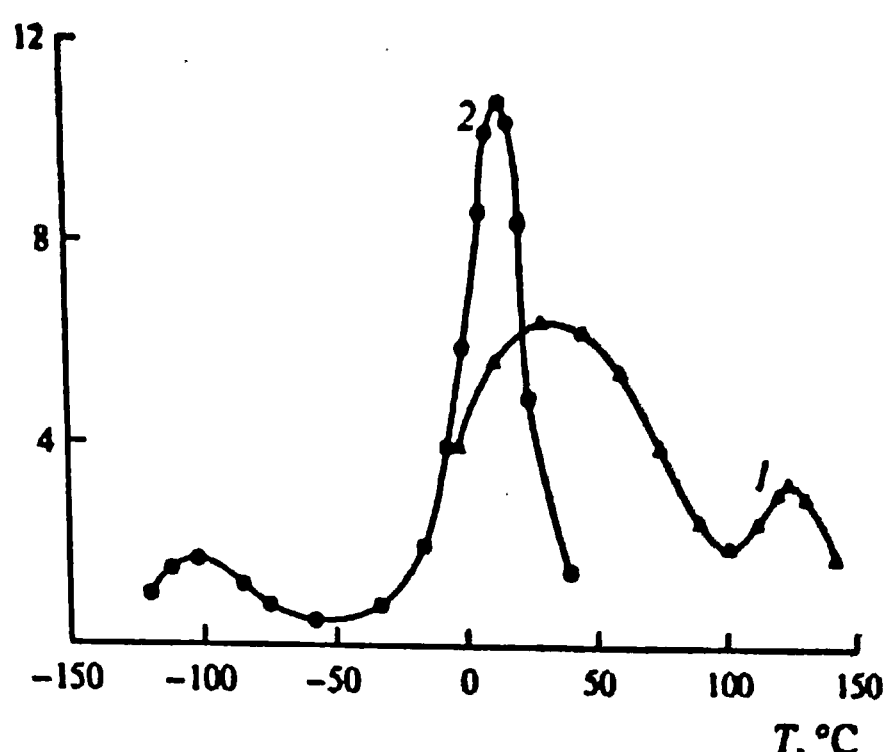


Рис. 4.22. Температурные зависимости тангенса угла диэлектрических потерь для полиметилметакрилата (1) и полиметилакрилата (2), 20 Гц

Из рис. 4.22 следует, что относительная величина максимумов, отвечающих α - и β -переходу, может изменяться, однако, чаще всего, наиболее значительный максимум относится к α -переходу. В данном случае α -переходу в полиметилметакрилате соответствует меньший максимум, что связано с тормозящим действием CH_3 -заместителя на скорость релаксации.

4.4.3. Синтетические металлы

Полимеры с сопряженными связями (ПСС) в определенных условиях обладают проводимостью, равной или близкой проводимости металлов, поэтому данный класс полимеров часто образно называют синтетическими металлами. К таким полимерам относятся как линейные полимеры, так и сшитые типа графита. Для ПСС характерны следующие свойства, обусловленные системой сопряжения:

низкий потенциал ионизации,
высокое сродство к электрону,
узкая энергетическая щель в спектре электронных возбуждений.

Одним из практически важных свойств ПСС является способность к образованию комплексов с переносом заряда с сильными донорами или акцепторами электронов. В результате электропроводность композиции возрастает на несколько порядков по сравнению с исходным ПСС. Такой процесс известен в литературе как допирование. Из табл. 4.7 видно, что все приведенные в ней допированные ПСС обладают металлической проводимостью, нижней границей которой считается значение, равное $0,1 \text{ Ом}^{-1} \cdot \text{см}^{-1}$, а допированное графитовое волокно достигает проводимости меди. Считается, что синтетические металлы имеют большие перспективы практического применения.

Таблица 4.7

Синтетические металлы – полимеры с системой сопряжения

Название полимера	Допиращий агент	Электропроводность, $\Omega^{-1} \cdot \text{см}^{-1}$
Цис-полиацетилен	AsF ₅	$3,5 \cdot 10^3$
Транс-полиацетилен	AsF ₅ Na	$2,2 \cdot 10^3$ 80
Полидиацетилен	ClO ₄ ⁻	1,8
Полинин	ClO ₄ ⁻	0,13
Поли- <i>n</i> -фенилен	AsF ₅ K	500 7,0
Поли- <i>n</i> -фениленвнилен	AsF ₅	$2,8 \cdot 10^3$
Полихинолин	Na	50
Полипиридин	–	0,4
Поли- <i>n</i> -фениленсульфид	AsF ₅	200
Полибензотиофенсульфид	AsF ₅	19
Полипиррол	ClO ₄ ⁻	$\sim 10^3$
Политиенилен	ClO ₄ ⁻	~ 100
Полифураненилен	ClO ₄ ⁻	~ 20
Нитевидные кристаллы графита	AsF ₅	$9,0 \cdot 10^5$
Политиазил	Br ₂	200

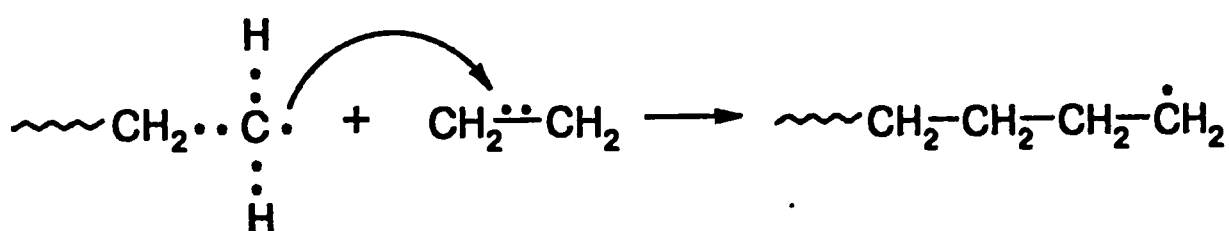
го использования в электротехнике, электронике и ряде смежных отраслей – при создании новых фотоизлучающих диодов, цветных дисплеев, источников тока большой мощности, ионных конденсаторов, солнечных батарей и многое другое, не говоря уже об их использовании как заменителей цветных металлов. Наиболее перспективным для практического использования в качестве синтетического металла считается полиацетилен. Однако у этого материала существует слабое место – быстрая окисляемость. От решения соответствующей проблемы зависит, как скоро полиацетилен появится в качестве товарного синтетического металла.

ГЛАВА 5. СИНТЕЗ ПОЛИМЕРОВ МЕТОДАМИ ЦЕПНОЙ И СТУПЕНЧАТОЙ ПОЛИМЕРИЗАЦИИ

5.1. Радикальная полимеризация

При цепной полимеризации макромолекулы полимера образуются в результате раскрытия кратных связей или циклов мономеров при действии на них активных центров, находящихся на концах растущих цепей. Существует три типа активных центров в цепной полимеризации – радикал, катион и анион, в соответствии с чем различают радикальную, катионную и анионную полимеризацию.

Радикальной полимеризации подвержены исключительно соединения, содержащие двойные углерод-углеродные связи. В этом случае активным центром является карбрадикал, т. е. атом углерода, имеющий один неспаренный электрон. Такой атом (радикал) очень реакционноспособен из-за тенденции неспаренного электрона к образованию пары со вторым электроном. Соединения, содержащие π -связь, – подходящий объект для реализации этой тенденции, поскольку электроны π -связи связаны гораздо более слабо по сравнению с σ -связью. Поэтому радикал достаточно легко отбирает один из электронов π -связи с тем, чтобы образовать пару электронов, т. е. новую σ -связь:



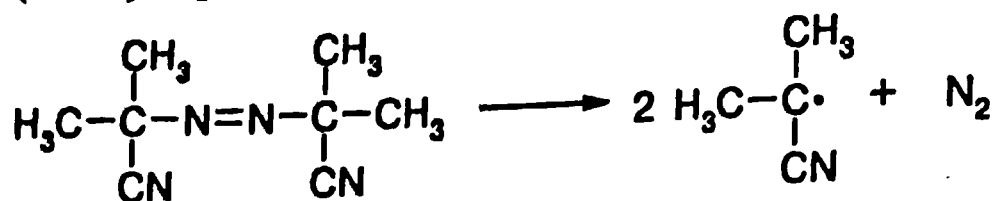
Описанный выше химический акт приведен на схеме применительно к полимеризации этилена; химические связи атомов, участвующих в реакции, для наглядности представлены электронными парами. Радикал, расположенный на конце растущей цепи, называется радикалом роста, а его реакция с мономером – основная реакция полимеризации – реакцией роста. Из схемы видно, что присоединение мономера к радикалу роста сопровождается регенерацией активного центра на конце цепи – атома углерода с неспаренным электроном.

5.1.1. Инициирование радикальной полимеризации

Первичные радикалы, необходимые для инициирования радикальной полимеризации, могут быть получены в результате химических реакций и при физическом воздействии на мономер.

Вещественное инициирование. При химическом или вещественном инициировании используют вещества, распадающиеся с образованием свободных радикалов, или смеси веществ, реагирующих между собой с образованием свободных радикалов. В качестве таких веществ обычно используют пероксиды и азосоединения, а также комбинации веществ, образующих окислительно-восстановительную систему.

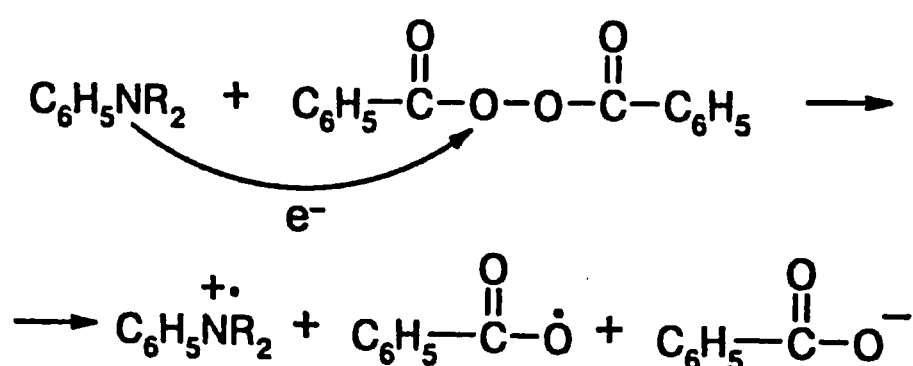
Среди пероксидов широкое применение нашли ацил-, алкил-, гидропероксиды и перэфиры. Круг азосоединений, практически используемых в качестве инициаторов, более ограничен. Наиболее известным среди них является 2,2'-азобис(изобутиронитрил), распадающийся с выделением азота:



Благодаря последнему обстоятельству, этот и подобные ему азопроизводные используются в промышленности не только как инициаторы, но и для вспенивания пластмасс при получении пенопластов.

Наиболее употребляемые в современной исследовательской и производственной практике инициаторы приведены в табл. 5.1 наряду с характеристиками их распада. Таблицу замыкают высокотемпературные инициаторы, распадающиеся с разрывом связи С–С.

Окислительно-восстановительные системы делятся на две группы: органические и водорастворимые. К первой группе относятся многочисленные комбинации пероксидов с аминами, из которых наиболее изученной является система пероксид бензоила – диметиламилин. В результате протекания окислительно-восстановительной реакции в этой системе, первичным актом которой является передача электрона от амина к пероксиду, образуется бензоат-радикал, который и инициирует далее процесс полимеризации:



В рассматриваемом примере образование окислительно-восстановительной системы приводит к увеличению скорости полимеризации и снижению температуры ее инициирования по сравнению с процессом, инициируемым лишь одним пероксидом. Эти преимущества характерны и для других окислительно-восстановительных систем.

Водорастворимые окислительно-восстановительные системы берут начало от классической системы:

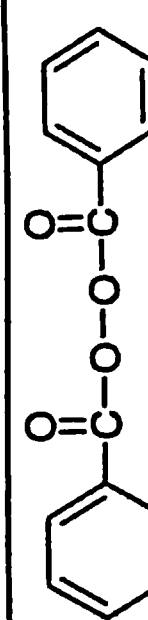
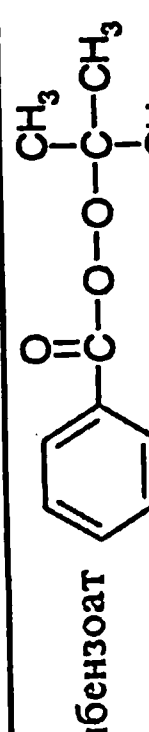
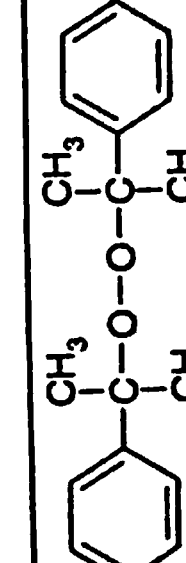


часто называемой реагентом Фентона. Они могут быть образованы и другими ионами металлов переменной валентности и пероксидами. Вместо последних в водных растворах обычно используют гидропероксиды.

Наибольшее распространение к настоящему времени получили окислисульфаты, содержащие в качестве окислителя пероксины или тиосульфаты:

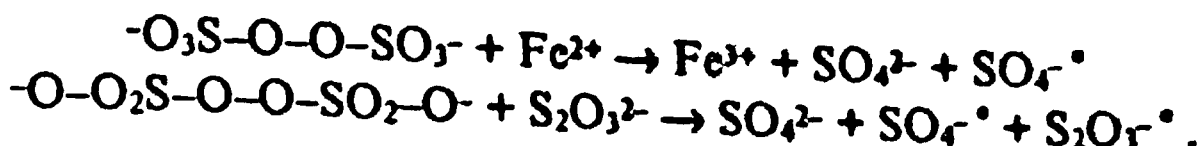
Таблица 5.1

Важнейшие инициаторы радикальной полимеризации

Инициатор	$E_{\text{расп}},$ кДж/моль	$A_{\text{расп}}, \text{с}^{-1}$	Температура, °С для $\tau^{1/2}$		
			0,1 ч.	1 ч.	10 ч.
Бис(2-этилгексил)пероксидикарбонат $\text{CH}_3-(\text{CH}_2)_3-\overset{\text{O}}{\underset{\text{C}_2\text{H}_5}{\text{CH}}}-\text{CH}_2-\text{O}-\overset{\text{O}}{\underset{\text{C}_2\text{H}_5}{\text{O}}}=\text{C}-\text{O}-\text{O}-\overset{\text{O}}{\underset{\text{C}_2\text{H}_5}{\text{C}}}-\text{CH}_2-\overset{\text{O}}{\underset{\text{C}_2\text{H}_5}{\text{CH}}}-\text{(CH}_2)_3-\text{CH}_3$	122,45	$1,83 \cdot 10^{15}$	83	64	47
Пероксид лаурила $\text{CH}_3-(\text{CH}_2)_{10}\overset{\text{O}}{\underset{\text{C}_2\text{H}_5}{\text{C}}}-\text{O}-\overset{\text{O}}{\underset{\text{C}_2\text{H}_5}{\text{O}}}=\text{C}-\text{(CH}_2)_9-\text{CH}_3$	123,37	$3,92 \cdot 10^{14}$	99	79	61
2,2'-Азобис(изобутиронитрил) $\text{CH}_3-\overset{\text{CH}_3}{\underset{\text{CN}}{\text{C}}}-\text{N}=\text{N}-\overset{\text{CH}_3}{\underset{\text{CN}}{\text{C}}}-\text{CH}_3$	130,23	$2,89 \cdot 10^{15}$	101	82	64
Пероксид бензоила 	122,35	$6,94 \cdot 10^{13}$	113	91	71
<i>tert</i> -Бутил пероксибензоат 	151,59	$2,23 \cdot 10^{16}$	142	122	103
Пероксид кумила 	152,67	$9,24 \cdot 10^{15}$	153	132	112

Окончание табл. 5.1

Инициатор	E_{reak} , кДж/моль	A_{reak} , с ⁻¹	Температура, °С для $t_{1/2}$		
			0,1 ч.	1 ч.	10 ч.
Ди- <i>прет</i> -бутил пероксид $\text{CH}_3\text{C}(\text{CH}_3)-\text{O}-\text{O}-\text{C}(\text{CH}_3)-\text{CH}_3$	153,46	$4,20 \cdot 10^{15}$	164	141	121
Гидропероксид кумила		—	—	253	193 159
<i>трет</i> -Бутил гидропероксид $\text{CH}_3\text{C}(\text{CH}_3)-\text{O}-\text{O}\text{H}$		—	—	231	199 171
Дициклогексилпероксидацетонат	123,88	$9,14 \cdot 10^{15}$	73	56	40
3,4-Диметил-3,4-дифенилгексан	180,32	$1,45 \cdot 10^{15}$	254	226	201
2,3-Диметил-2,3-дифенилбутан	230,19	$7,34 \cdot 10^{18}$	284	259	237



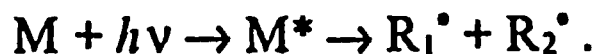
Они широко применяются в промышленности для инициирования эмульсионной и растворной полимеризации.

Для правильного выбора инициатора полимеризации необходимо располагать данными, характеризующими скорость его распада при температуре реакции. Наиболее универсальной характеристикой является период полураспада инициатора $t_{1/2}$, значения которого для многих инициаторов приведено в табл. 5.1. Обычно для инициирования полимеризации используют инициаторы, период полураспада которых соизмерим с продолжительностью процесса. Поскольку для реакций первого порядка $t_{1/2} = \ln 2/k_{\text{расп}}$, то, зная величину $t_{1/2}$, можно рассчитать концентрацию инициатора в любой момент полимеризации в соответствии с уравнением:

$$[I] = [I_0] \cdot e^{-k_{\text{расп}} \cdot t}, \quad (5.1)$$

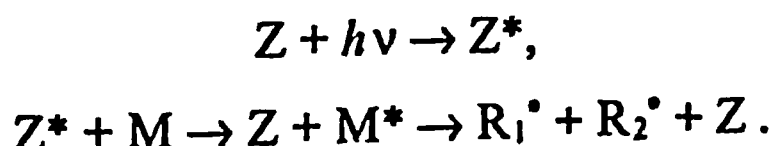
где $k_{\text{расп}}$ – константа скорости мономолекулярной реакции распада инициатора; $[I_0]$ и $[I]$ – начальная и текущая концентрации инициатора.

Фотохимическое инициирование. При облучении мономера УФ-светом молекулы, поглотившие квант света, возбуждаются и затем распадаются на радикалы, способные инициировать полимеризацию:



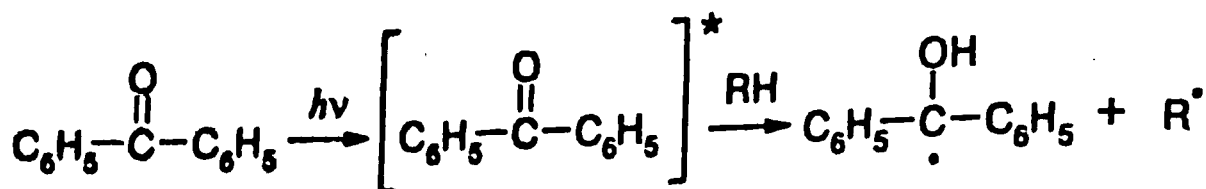
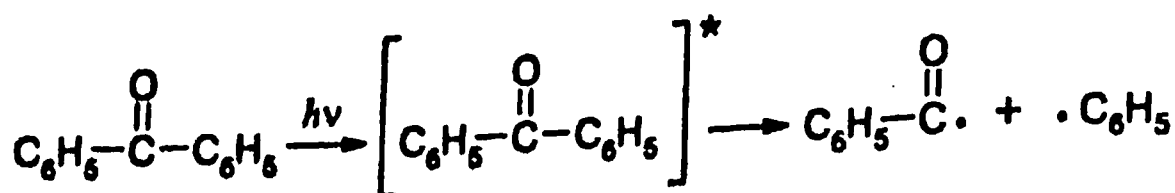
Однако прямое облучение мономера малоэффективно, поскольку кварцевое стекло обычно не пропускает УФ-свет в области, соответствующей его поглощению мономером ($\pi-\pi^*$ -переход, 200–220 нм), или пропускает его в незначительной степени.

В том случае, когда мономер не поглощает прошедший свет, необходимо использовать фотосенсибилизатор (Z) – соединение, передающее энергию возбуждения другим молекулам:



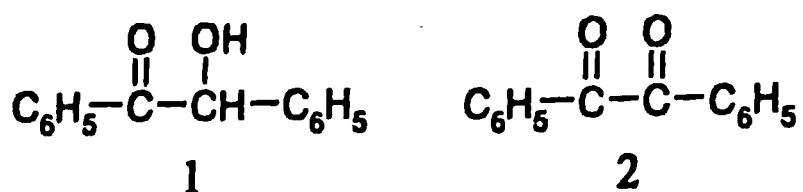
Применение в качестве фотосенсибилизаторов красителей позволяет использовать для фотоинициирования видимую область света.

В практических целях фотополимеризация обычно проводится в присутствии фотоинициаторов – веществ, распадающихся в требуемой области УФ-спектра с достаточно высоким квантовым выходом. В качестве фотоинициаторов могут быть использованы некоторые термические инициаторы, например, пероксиды или азосоединения, а также другие соединения. Наиболее эффективными фотоинициаторами являются ароматические кетоны и их производные, благодаря достаточно широкой области поглощения УФ-спектра и высокому квантовому выходу радикалов. Считается, что ароматические кетоны претерпевают фотохимическое превращение по двум направлениям:



последнее из которых реализуется лишь в присутствии доноров водорода.

В промышленности в качестве фотоинициаторов используют бензоин (1), бензилкеталь (2) и их многочисленные производные:



Фотополимеризация используется для нанесения полимерных покрытий непрерывным способом на металл, дерево, керамику, световоды, в стоматологии для отверждения композиций зубных пломб. Особенno следует отметить применение фотополимеризации в фотолитографии, с помощью которой изготавливают большие интегральные схемы в микроэлектронике, а также печатные платы (матрицы) в современной технологии фотонабора, позволяющей исключить использование свинца.

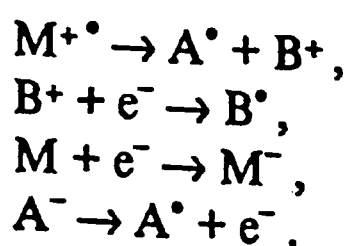
Существенным недостатком фотоинициирования является быстрое падение его эффективности с увеличением толщины облучаемого слоя вследствие поглощения излучения. По этой причине фотохимическое инициирование эффективно при возбуждении полимеризации в достаточно тонких слоях, порядка нескольких миллиметров.

Радиохимическое инициирование. Излучение радиоактивных источников Co^{60} , а также различного рода ускорителей включает набор частиц, таких как α -частицы, нейтроны, электроны и жесткое электромагнитное излучение. В отличие от фотоизлучения радиоактивное является ионизирующим и обладает гораздо большей проникающей способностью, что объясняется большей энергией его частиц.

Ионизация облучаемого вещества является следствием выбивания электронов из его молекул, например мономера, частицами высокой энергии:

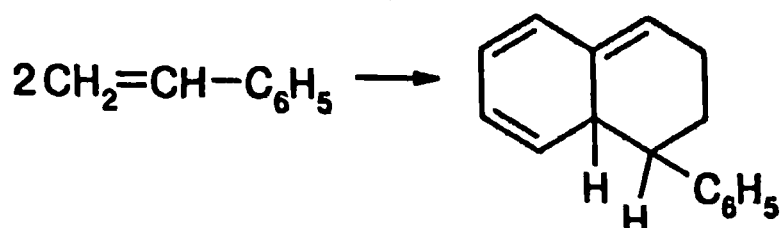


Радикалы, способные инициировать полимеризацию, возникают в результате дальнейших превращений в системе с участием возбужденных ионов, ионрадикалов и электронов, например:

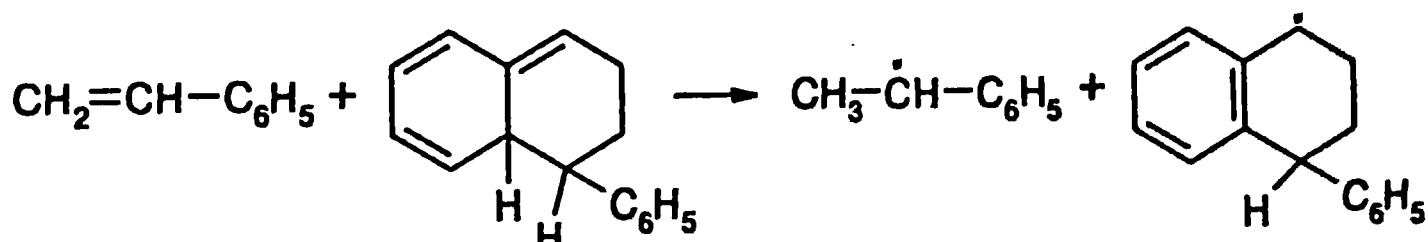


Наличие в облученном мономере свободных радикалов и ионов предопределяет возможность развития как радикальной, так и ионной полимеризации. В большинстве случаев результатом является радикальная полимеризация, однако, при низкой температуре в отсутствие воды и других примесей, дезактивирующих ионы, удалось наблюдать как катионную, так и анионную полимеризацию отдельных мономеров.

Термическое инициирование. Имеется очень мало примеров термического инициирования полимеризации. К ним относятся, прежде всего, спонтанная полимеризация стирола и винилпиридинов. Считается, что механизм возникновения свободных радикалов при термическом инициировании является бимолекулярным, но достаточно надежно он выявлен лишь по отношению к стиролу. Первой стадией реакции является образование аддукта Дильса–Альдера из двух молекул стирола:



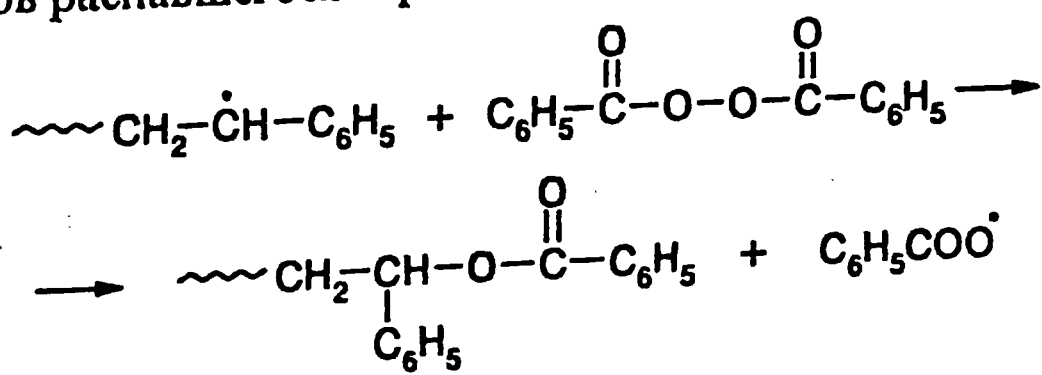
На второй стадии имеет место перенос атома водорода от аддукта к молекуле стирола, что и приводит к возникновению радикалов, способных инициировать полимеризацию:



В большинстве других случаев спонтанная термическая полимеризация обусловлена инициированием перекисями, которые легко образуются на свету даже при кратковременном контакте мономеров с кислородом воздуха.

Эффективность инициирования. Эффективность инициирования f равна доле радикалов, инициирующих полимеризацию, от их общего числа, которое соответствует спонтанному распаду определенного количества инициатора. Обычно $0,3 < f < 0,8$, т. е. заметно меньше единицы. Это объясняется двумя причинами – индуцированным распадом инициатора и побочными реакциями в «клетке».

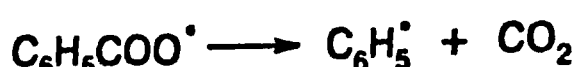
Индуцированный распад инициатора происходит в результате его реакции с радикалом роста, т. е. в результате передачи цепи на инициатор, которая будет рассмотрена далее. Из схемы реакции видно, что она приводит к уменьшению числа радикалов распавшегося пероксида, инициирующих полимеризацию:



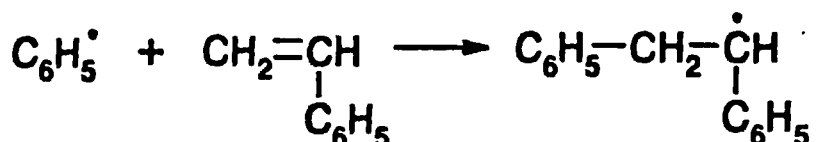
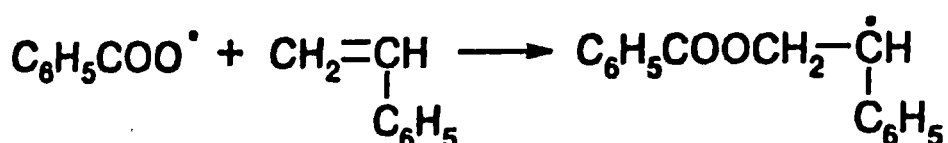
Эффект «клетки» заключается в том, что два радикала, образовавшиеся в результате распада инициатора, в рассматриваемом случае пероксида бензоила не могут в течение некоторого времени разойтись, поскольку их диффузии препятствуют окружающие молекулы мономера и растворителя. Этот момент весьма благоприятен для протекания побочных реакций, приводящих к их дезактивации. Одна из них приведена ниже (радикалы в «клетке» обозначены скобками):



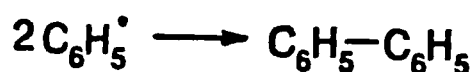
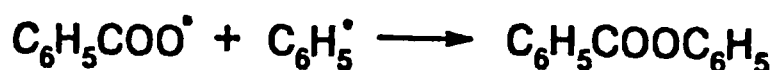
Первичные бензоатные радикалы покидают «клетку» путем диффузии и в результате реакции с мономером. Далее они могут декарбоксилироваться



в результате чего реакция с мономером (инициирование) осуществляется с участием как бензоатных, так и фенильных радикалов:



К побочным реакциям, снижающим эффективность инициирования, помимо приведенной выше реакции в «клетке», относятся следующие две реакции:



В общем случае эффективность инициирования определяется природой инициатора, мономера, растворителя и конверсией. Большое значение имеет микрвязкость среды, т.е. вязкость мономера или смеси мономер–растворитель. Она определяет подвижность «клетки»: с ее увеличением выход радикалов из «клетки» затрудняется, и эффективность инициирования падает. Еще в большей степени уменьшается эффективность инициирования с увеличением конверсии, т.е. доли мономера, превратившегося в полимер.

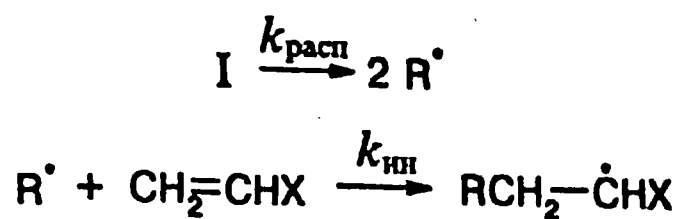
5.1.2. Элементарные реакции и кинетика полимеризации

Неразветвленная цепная химическая реакция включает три последовательные стадии – инициирование, рост и обрыв кинетической цепи. Под последней понимается последовательность химических актов, возбужденных одной активной частицей или квантами. В цепной полимеризации, включая радикальную, развитие кинетической цепи сопровождается образованием цепи материальной. Поэтому для нее характерно наличие четвертой элемен-

тарной реакции – передачи кинетической цепи при ограничении цепи материальной.

1. Инициирование.

Реакция инициирования включает два последовательных акта: образование первичных свободных радикалов в результате распада инициатора или облучения мономера и присоединение радикалов к мономерам:



Скорость первой реакции много меньше скорости второй, поэтому именно она определяет скорость реакции инициирования:

$$V_{\text{ин}} = 2k_{\text{расп}}[I]f \quad (5.2)$$

или

$$V_{\text{ин}} = k_{\text{ин}}[I], \quad (5.3)$$

где

$$k_{\text{ин}} = 2k_{\text{расп}}f, \quad (5.4)$$

$k_{\text{ин}}$ – константа скорости инициирования, $k_{\text{расп}}$ – константа скорости распада инициатора, f – эффективность инициирования.

При фотохимическом инициировании

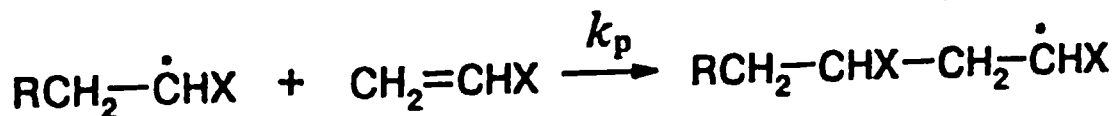
$$V_{\text{ин}} = 2\beta I_{\text{пог}}, \quad (5.5)$$

где $I_{\text{пог}}$ – интенсивность поглощенного излучения, β – число радикалов роста, т. е. растущих цепей, образованных при поглощении одного кванта.

Первичный радикал обычно атакует «хвост» мономера, т. е. метиленовую группу двойной связи, поскольку в этом случае образуется радикал роста, стабилизированный в результате сопряжения с заместителем.

2. Рост цепи.

Реакция роста протекает аналогично второй стадии реакции инициирования:

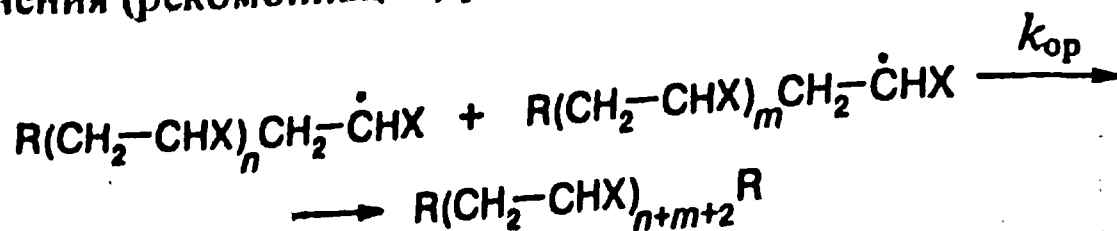


Так же как и в предыдущем случае, радикал, на этот раз радикал роста, атакует метиленовую группу двойной связи, т. е. «хвост» мономера. Такой порядок присоединения определяется как «голова» (радикал) к «хвосту» (мономер).

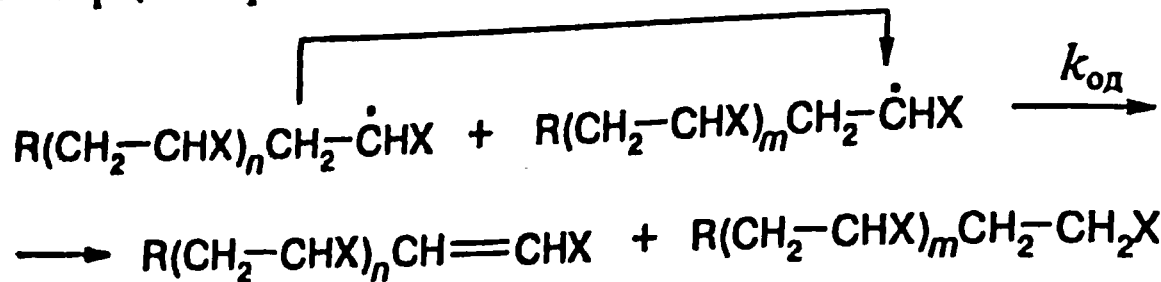
3. Обрыв цепи.

Обрыв цепи осуществляется посредством одного из двух возможных механизмов:

а) соединения (рекомбинации) радикалов



б) диспропорционирования радикалов



в ходе которого атом водорода предконцевого углерода одного радикала переносится к концевому атому углерода другого радикала. Чаще реализуется первая реакция, например, при полимеризации стирола и акрилатов. Вторая реакция характерна для полимеризации метилметакрилата: доля радикалов роста этого мономера, реагирующих посредством диспропорционирования, составляет 80 % при 80 °С. Механизм обрыва можно определить, зная число конечных групп-фрагментов инициатора и число макромолекул. Если отношение первого ко второму обозначить через b , то λ – доля радикалов, принимающих участие в диспропорционировании, равна

$$\lambda = (2b - 2)b, \quad (5.6)$$

через соединение (рекомбинация) – $(1 - \lambda)$.

Уравнение, связывающее скорость радикальной полимеризации V с концентрациями мономера $[M]$ и инициатора $[I]$, легко может быть получено при двух допущениях:

концентрация радикалов $[m^*]$ с началом полимеризации быстро достигает постоянного значения и далее не изменяется (т. е. достигается стационарное состояние);

реакционная способность макrorадикалов не зависит от степени их полимеризации.

Первое допущение является следствием принципа стационарности Боденштейна, согласно которому при неразветвленной цепной реакции скорость образования радикалов равна скорости их гибели. Второе допущение основано на принципе Флори, согласно которому реакционная способность функциональной группы химического соединения не зависит от его молекулярной массы. Учитывая, что скорость полимеризации равна скорости роста цепи, и применяя к последней закон действия масс, получим:

$$V = -\frac{d[M]}{dt} = k_p [M] [m^*]. \quad (5.7)$$

В данном случае $[m^*]$ обозначает концентрацию радикалов роста различной молекулярной массы. Вклад первичных радикалов R^* в общую стацио-

нарную концентрацию радикалов ничтожен, т. к. непосредственно после образования они присоединяются к мономерам. В стационарном состоянии $[m^*] = \text{const}$, что является следствием равенства скоростей образования и гибели радикалов (принцип стационарности):

$$k_{\text{ни}}[I] = k_0[m^*]^2; \quad [m^*] = \frac{k_{\text{ни}}^{1/2}}{k_0^{1/2}}[I]^{1/2}. \quad (5.8)$$

Исключая из выражения (5.7) концентрацию радикалов $[m^*]$, с помощью (5.8) получаем:

$$V = \frac{k_{\text{ни}}^{1/2} k_p}{k_0^{1/2}} [I]^{1/2} [M]. \quad (5.9)$$

Из уравнения (5.9) следует, что скорость радикальной полимеризации пропорциональна корню квадратному из концентрации инициатора. В большинстве случаев это так, но имеются два исключения.

1. При очень больших концентрациях инициатора возможен обрыв на первичных радикалах, что ведет к уменьшению порядка по концентрации инициатора. В предельном случае, когда все растущие цепи обрываются первичными радикалами, справедливо уравнение:

$$V = \frac{k_p k_{\text{ни}}}{k'_0} [M]^2, \quad (5.10)$$

где k'_0 – константа скорости реакции первичных радикалов с макрорадикалами. В этих условиях скорость полимеризации не зависит от концентрации инициатора.

2. При гетерогенной полимеризации, когда полимер выпадает в осадок, клубки макрорадикалов плотно свернуты, и активный конец радикала может оказаться в центре такого клубка и (или) внутри агрегата слипшихся макромолекул, недоступных для других радикалов. Это означает кинетическую гибель радикала роста, т. е. мономолекулярный обрыв. Пользуясь процедурой вывода уравнения (5.9), легко показать, что мономолекулярный обрыв ведет к первому порядку по скорости инициирования. Реально при гетерофазной полимеризации имеет место как моно-, так и бимолекулярный обрыв, поэтому порядок по концентрации инициатора $0,5 < n < 1$.

Порядок по концентрации мономера достаточно редко равен единице, как это можно было бы ожидать из уравнения (5.9). Обычно он заключен между 1 и 1.5, что предположительно объясняется влиянием мономера на эффективность инициирования и скорость распада инициатора. В последнем случае допускается образование комплекса мономер–инициатор.

При фотохимическом инициировании уравнение начальной скорости полимеризации может быть получено аналогично (5.9). С учетом (5.5) имеем:

$$V = \frac{k_p}{k_0^{1/2}} [M] (\beta I_{\text{пог}})^{1/2}. \quad (5.11)$$

При полимеризации в присутствии фотоинициатора A с известным коэффициентом поглощения более удобно уравнение скорости, включающее интенсивность облучения:

$$v = \frac{k_p}{k_o^{1/2}} [M] (I \beta \epsilon [A] I_0)^{1/2}, \quad (5.12)$$

где I_0 – интенсивность падающего света, ϵ – коэффициент экстинкции или молярный коэффициент поглощения, который выражается через л/(моль·см), I – длина пути поглощаемого света, $[A]$ – концентрация вещества, поглощающего свет.

Уравнение (5.12) применимо при фотоинициируемой полимеризации в тонких слоях. При полимеризации в более значительных реакционных объемах имеет место существенное ослабление светового потока, вследствие чего с увеличением размера реакционного сосуда скорость фотохимической полимеризации будет уменьшаться. При больших размерах с одной стороны сосуда мономер может остаться незаполимеризованным.

В отсутствие реакций передачи цепи степень полимеризации \bar{p} определяется длиной кинетической цепи v , которая равна числу актов роста цепи, возбужденных одним первичным радикалом. Если обрыв цепи осуществляется путем диспропорционирования, $\bar{p} = v$, при соединении радикалов роста $\bar{p} = 2v$. Очевидно, что длина кинетической цепи равна скорости реакции роста, деленной на скорость обрыва цепи:

$$v = \frac{V_p}{V_o} = \frac{k_p[M]}{k_o[m^*]}. \quad (5.13)$$

Выражение для $[m^*]$ можно получить двояким способом – исходя из уравнения скорости роста:

$$[m^*] = \frac{V}{k_p[M]} \quad (5.14)$$

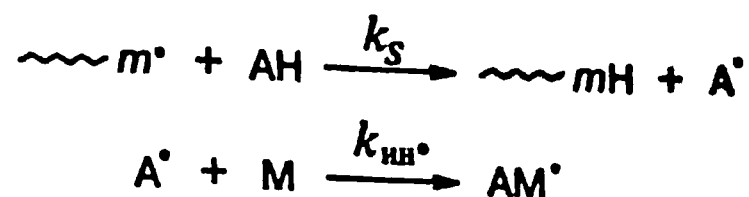
или исходя из условия стационарности; используя (5.4) и (5.8) в одном случае и (5.14) – в другом, получаем из (5.13) два выражения для длины кинетической цепи:

$$v = \frac{k_p^2 [M]^2}{k_o V}, \quad (5.15)$$

$$v = \frac{k_p [M]}{(2 f k_{\text{расп}} k_o [I])^{1/2}}. \quad (5.16)$$

Из уравнения (5.16) следует, что в отсутствие заметной передачи цепи степень полимеризации обратно пропорциональна корню квадратному из концентрации инициатора.

Реакции передачи цепи. В результате этой реакции радикал роста отрывается, а неактивная молекула становится радикалом, который дает начало новой кинетической цепи:



В результате передачи цепи материальная цепь ограничивается, а скорость полимеризации изменяется мало: при $k_{nn^\bullet} > k_p$ она увеличивается, при $k_{nn^\bullet} < k_p$ – уменьшается.

Передача цепи возможна на все компоненты реакционной системы – мономер, инициатор, растворитель и полимер. При полимеризации до малых степеней превращения (конверсий) мономера в полимер реакцией передачи цепи на полимер обычно пренебрегают. С учетом реакций передачи цепи средняя степень полимеризации равна отношению скорости роста к сумме скоростей всех реакций ограничения материальной цепи, включая бимолекулярный обрыв. Для дальнейших выводов удобнее использовать величину, обратную степени полимеризации:

$$\frac{1}{\bar{p}} = \frac{k_o[m^\bullet]^2 + k_{nn}[I][m^\bullet] + k_s[S][m^\bullet] + k_M[M][m^\bullet]}{k_p[M][m^\bullet]} =$$

$$= \frac{k_o[m^\bullet]}{k_p[M]} + \frac{k_{nn}[I]}{k_p[M]} + \frac{k_s[S]}{k_p[M]} + \frac{k_M}{k_p}. \quad (5.17)$$

Заменяя концентрацию радикалов на выражение (5.14), имеем:

$$\frac{1}{\bar{p}} = \frac{k_o}{k_p^2} \frac{V}{[M]^2} + C_{nn} \frac{[I]}{[M]} + C_s \frac{[S]}{[M]} + C_M, \quad (5.18)$$

где C_{nn} , C_s , C_M – относительные константы передачи цепи на инициатор, растворитель и мономер, соответственно, равные отношению констант скоростей реакций передачи и роста цепи; $[S]$ – концентрация растворителя. Уравнение (5.18) является основным уравнением кинетики радикальной полимеризации, т. к. оно связывает скорость и степень полимеризации. Это уравнение и его модификации используют для определения значений констант передач, а также отношения $k_p/k_o^{1/2}$.

Рассмотрим определение C_M и C_{nn} . В отсутствие передатчика цепи уравнение (5.18) несколько упрощается:

$$\frac{1}{\bar{p}} = \frac{k_o}{k_p^2} \frac{V}{[M]^2} + C_{nn} \frac{[I]}{[M]} + C_M \quad (5.19)$$

или

$$\frac{1}{\bar{p}} = \frac{k_o}{k_p^2 [M]^2} V + C_{ин} \frac{k_o V^2}{k_p^2 2 f k_{расп} [M]^3} + C_M. \quad (5.20)$$

При использовании инициаторов, практически не участвующих в передаче цепи, экспериментальные данные образуют прямую линию в координатах $1/\bar{p} - V/[M]^2$; когда инициатор участвует в передаче цепи, прямая искажается (рис. 5.1). В обоих случаях может быть определена величина константы передачи цепи на мономер C_M , по отрезку, отсекаемому на оси ординат.

Для нахождения значения константы передачи цепи на инициатор $C_{ин}$ приведем уравнение (5.20) к виду:

$$\left(\frac{1}{\bar{p}} - C_M \right) \frac{1}{V} = \frac{k_o}{k_p^2 [M]^2} + C_{ин} \frac{k_o V}{k_p^2 2 f k_{расп} [M]^3}. \quad (5.21)$$

Из уравнения (5.21) следует, что построение экспериментальных данных в координатах $\left(\frac{1}{\bar{p}} - C_M \right) \frac{1}{V} - V$ позволяет через угловой коэффициент прямой, зная константу скорости инициирования и отношение элементарных констант k_o/k_p^2 , рассчитать значение $C_{ин}$.

Более простой способ определения применим в том случае, когда константа передачи на мономер мала, как это и бывает в большинстве случаев. Тогда уравнение (5.19) упрощается до следующего:

$$\left(\frac{1}{\bar{p}} - \frac{k_o}{k_p^2 [M]^2} V \right) = C_{ин} \frac{[I]}{[M]}. \quad (5.22)$$

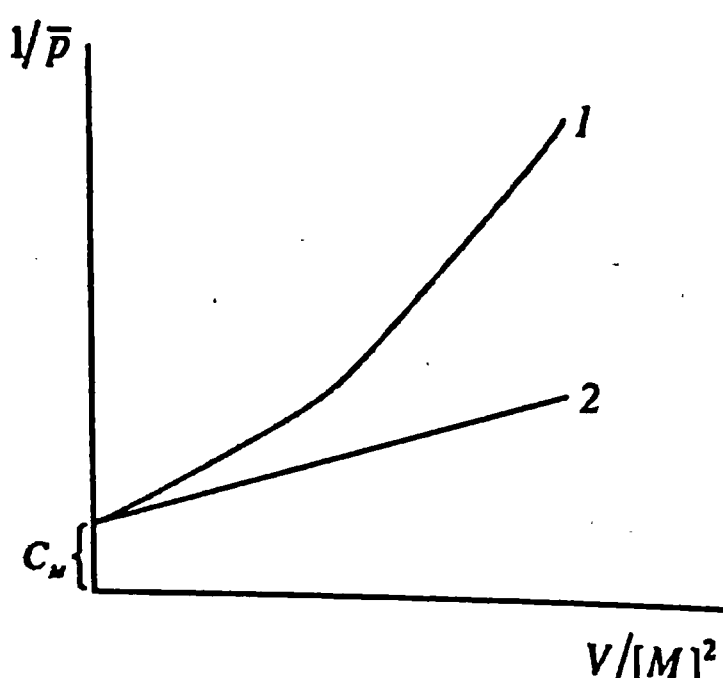


Рис. 5.1. Вид зависимости $1/\bar{p} - V/[M]^2$; 1 – инициатор участвует в передаче цепи; 2 – инициатор не участвует в передаче цепи

Угловой коэффициент соответствующей графической зависимости, имеет значение, равное $C_{ин}$.

Значения констант передачи на наиболее распространенные инициаторы приведены в табл. 5.2, из которой видно, что наиболее активны в реакции передачи цепи гидропероксиды. Большая активность гидропероксидов по сравнению с пероксидами обусловлена другим механизмом реакции:



Передача цепи на пероксиды и азотнитрилы с точки зрения механизма подобна реакции индуцированного спада инициатора, рассмотренной ранее:

Таблица 5.2

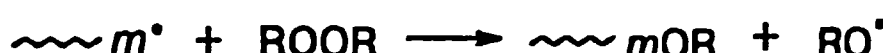
Относительные константы передачи цепи на инициатор C_{ii} , 50–70 °C

Инициатор	$C_{ii} \cdot 10^4$	
	Стирол	Метилметакрилат
2,2'-Азобис(изобутиронитрил)	0,12	0,02
Пероксид кумила	0,01	—
Пероксид бензоила	~ 0,1	0,02
Гидропероксид кумила	0,06	0,33

Таблица 5.3

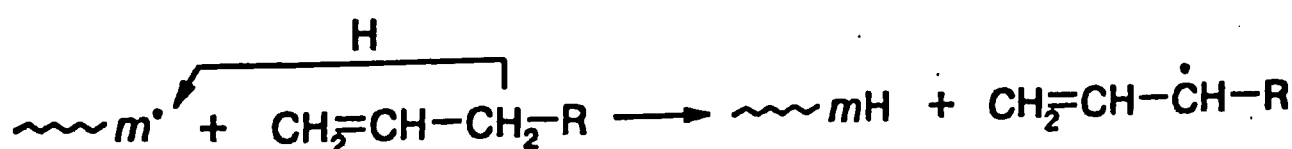
Относительные константы передачи цепи на мономер C_M , 60 °C

Мономер	$C_M \cdot 10^4$
Акриламид	0,6
Акрилонитрил	0,26
Этилен	0,4
Метилакрилат	0,03–0,32
Метилметакрилат	0,07–0,25
Стирол	0,30–0,60
Винилацетат	1,75–2,80
Винилхлорид	10,8–16,0

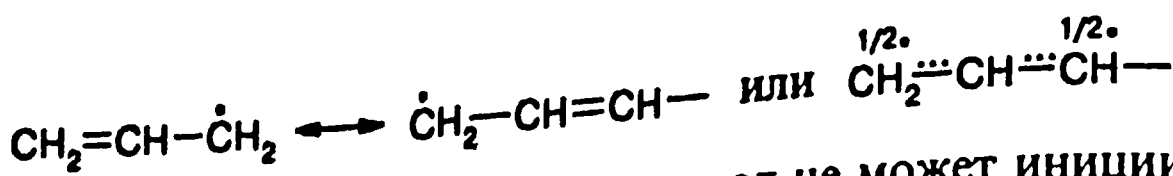


Константы передачи цепи на мономер определяют максимальную степень полимеризации в массе, т. к. $\lim \bar{p} \rightarrow 1/C_M$. Это означает, например, что предельная молекулярная масса поливинилхлорида не может превышать 10^5 , так как соответствующий мономер имеет наибольшую среди виниловых мономеров константу передачи $C_M \approx 1 \cdot 10^{-3}$. В целом, константы передачи цепи на виниловые мономеры (табл. 5.3) достаточно малы и не являются препятствием для получения высокомолекулярных полимеров.

Деградационный перенос цепи. Принципиально иное влияние оказывает реакция передачи цепи на мономер при полимеризации аллиловых мономеров. Константа передачи на них аномально велика и соответствует 4–10 актам нормального присоединения на один акт передачи цепи. Это объясняется большой подвижностью аллильного водорода, что, в свою очередь, связано со стабилизацией образующегося аллильного радикала:



Причиной стабилизации аллильного радикала является делокализация неспаренного электрона по π -орбитали, что может быть выражено предельными структурами:



Из-за малой активности аллильный радикал не может инициировать реакцию роста и участвует лишь в реакциях бимолекулярного обрыва. Поэтому из-за передачи цепи на мономер, которая в данном случае называется деградационным переносом цепи, полимеризация аллиловых мономеров протекает с малой скоростью и приводит к образованию низкомолекулярных продуктов.

Передача цепи на растворитель. Эта реакция имеет практическое значение, поскольку часто используется в промышленности для уменьшения молекулярной массы полимера с целью улучшения его перерабатываемости. Определение константы передачи цепи C_s производится с помощью уравнения Майо:

$$\frac{1}{\bar{p}} = \frac{1}{\bar{p}_0} + C_s \frac{[S]}{[M]}, \quad (5.23)$$

которое может быть получено из основного уравнения полимеризации (5.18) при использовании инициатора, мало активного в реакции передачи цепи в небольших количествах, что приводит к (5.23) и соответствующей графической зависимости, представленной на рис. 5.2. В этих условиях членом $\frac{[I]}{[M]}$ можно пренебречь. При определении C_s отношение $V/[M]^2$ во

всех опытах должно оставаться постоянным, при необходимости оно может быть скорректировано путем изменения концентрации инициатора.

Значения констант передачи цепи на растворитель представлены в табл. 5.4. При полимеризации различных мономеров наиболее инертным растворителем является бензол ($C_s \approx 10^{-5}$), затем идут углеводороды, спирты и кислоты нормального строения ($C_s \approx 10^{-4}$). Более активны в реакции передачи цепи растворители с вторичным и, особенно, третичным атомом углерода.

Для некоторых соединений, например таких, как CCl_4 , CBr_4 , RSH , значение $C_s \geq 1$. Такие высокоактивные передатчики цепи, называемые регуляторами молекулярной массы полимеров, используются для ограничения молекулярной массы полимеров в процессе синтеза. В производственных условиях полимеризация ведется до глубоких конверсий, близких к 100 %. Поэтому значительные отклонения C_s от единицы могут привести к изменению исходного соотношения $[S]/[M]$ в процессе полимеризации и, как следствие, к чрезмерной полидисперсности полимера.

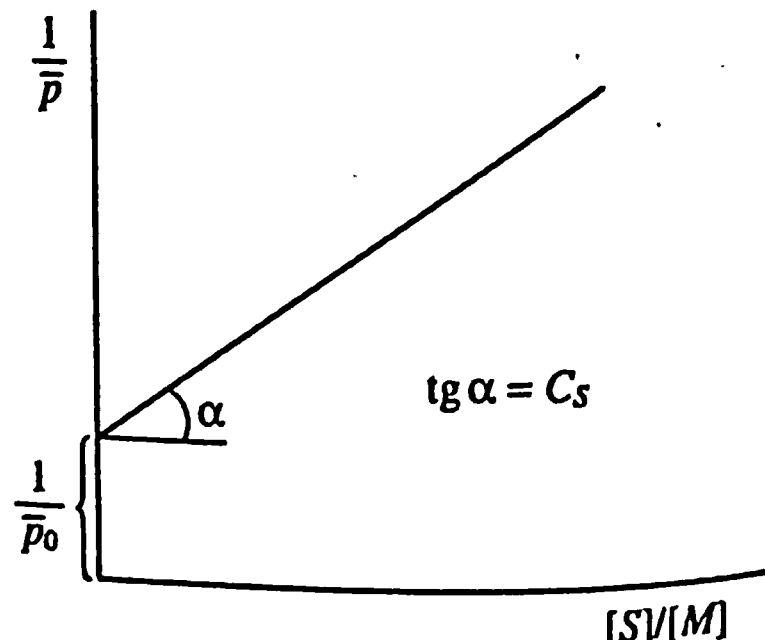


Рис. 5.2. К определению константы передачи цепи на растворитель

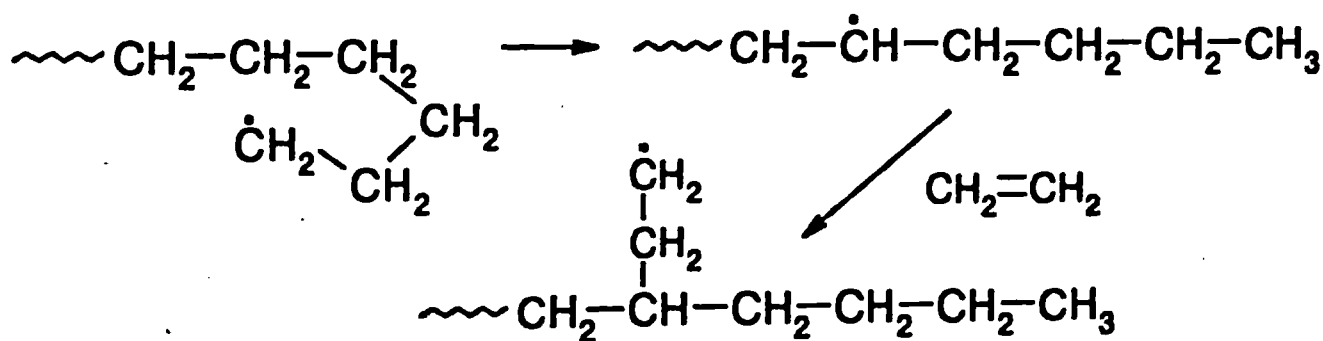
Таблица 5.4

Значения относительных констант передачи цепи $C_s \cdot 10^4$ на некоторые соединения, $60 - 70^\circ\text{C}$

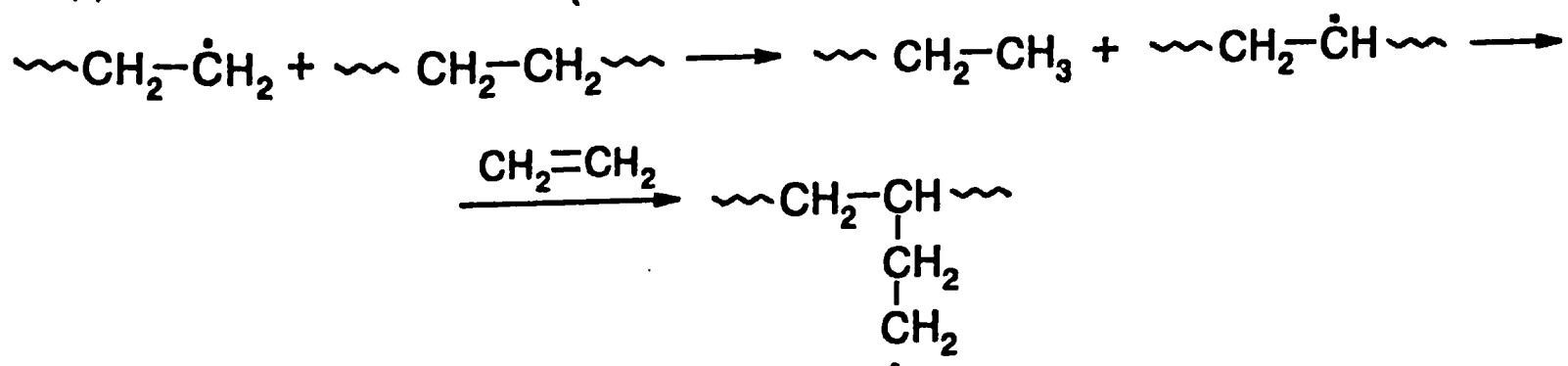
Передатчик цепи	Мономер			
	Стирол	Акрило- нитрил	Метил- метакрилат	Винил- ацетат
Бензол	0,023	2,46	0,83	2,4
Циклогексан	0,063	2,06	6°	7
н-Бутиловый спирт	0,8°	15,42	0,25	20
Диметилсульфоксид	0,5	0,8	—	—
Триэтиламин	7,1	3800	1900	370
Тетрахлорид углерода	98	1,2	2,4	7300
Тетрабромид углерода	22 000	1900	2700	390 000
н-Бутилмеркаптан	21 000	—	—	480 000

• Усредненные значения.

Передача цепи на полимер. Передача цепи на полимер становится заметной лишь при полимеризации до глубоких конверсий мономеров, когда концентрация полимера достаточно высока. Она характерна для полимеризации мономеров, образующих активные радикалы роста, реакционная способность которых не снижена сопряжением с ненасыщенным заместителем. К таким мономерам относятся, прежде всего, этилен, винилацетат, винилхлорид. Особенно активна реакция передачи цепи при радикальной полимеризации этилена. Она протекает по внутри- и межмолекулярному механизму. В первом случае растущий радикал вследствие гибкости цепи атакует собственную макромолекулу. Наиболее вероятна встреча в пространстве активного конца макрорадикала с четвертым – шестым атомами углерода, например:



Внутримолекулярная передача цепи приводит к образованию коротких ветвей макромолекулы. При межмолекулярной передаче макрорадикал отрывается атом водорода от другой макромолекулы, что приводит к образованию длинных ветвей:



Подобный механизм разветвления характерен и для полимеризации винилацетата и винилхлорида, однако, частота ветвлений у соответствующих полимеров много меньше по сравнению с полиэтиленом. Разветвленное строение последнего оказывает большое влияние на его свойства. Это хорошо видно при сравнении свойств разветвленного полиэтилена со свойствами линейного, полученного на катализаторах Циглера – Натта. Первый имеет меньшие плотность и прочность, но большую пластичность по сравнению со вторым.

Ингибиторы радикальной полимеризации. Ингибиторы применяются в радикальной полимеризации для решения следующих задач:

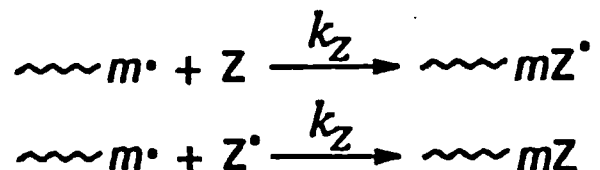
предотвращения нежелательной самопроизвольной полимеризации мономера при его хранении;

регулирования скорости полимеризации с целью предотвращения взрывных режимов;

определения скорости инициирования;

осуществления полимеризации в режиме псевдоживых цепей.

Ингибиторами называются соединения, реагирующие с радикалом – первичным или радикалом роста – с образованием соединения, неспособного к продолжению кинетической цепи, т. е. реинициированию, или малоактивного в этом направлении. Ингибитор Z может присоединяться к радикалу с образованием стабильного радикала, активность которого недостаточна для инициирования полимеризации, или насыщенного соединения (в том случае, если Z – стабильный радикал):



Во всех случаях активность ингибитора оценивается константой ингибирования $C_Z = k_z/k_p$, равной отношению констант скоростей взаимодействия радикала с ингибитором и роста цепи. Уравнение скорости радикальной полимеризации в присутствии ингибитора может быть получено тем же путем, что и (5.9), с использованием метода стационарных состояний. В данном случае в уравнение (5.8), выражающее условие стационарности, необходимо ввести слагаемое, отражающее обрыв растущих цепей на ингибиторе:

$$V_{\text{пп}} = 2k_o[m^\bullet]^2 + k_z[Z][m^\bullet]. \quad (5.24)$$

Выразив концентрацию радикалов через (5.7), приходим к соотношению:

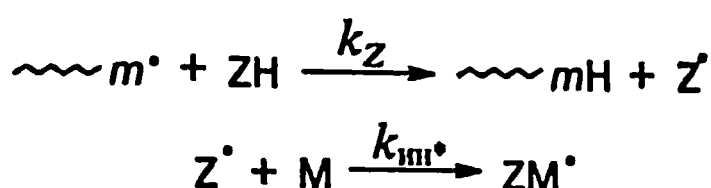
$$V_{\text{пп}} = \frac{2k_o V^2}{k_p^2 [M]^2} + \frac{C_z V [Z]}{[M]}, \quad (5.25)$$

которое содержит в неявной форме скорость радикальной полимеризации V . При преимущественном обрыве кинетических цепей в результате разрушения радикалов роста с ингибитором уравнение (5.25) принимает более простую форму:

$$V = \frac{V_{\text{ин}}[M]}{C_z[Z]}. \quad (5.26)$$

Из уравнения (5.26) следует, что скорость ингибиранной полимеризации пропорциональна скорости инициирования. Напомним, что в отсутствие ингибитора скорость радикальной полимеризации пропорциональна квадратному из скорости инициирования.

Все ингибиторы делятся на сильные и слабые. Последние обычно применяются для снижения скорости полимеризации с целью предотвращения чрезмерного разогрева реакционной системы и связанных с этим нежелательных последствий. Слабые ингибиторы реагируют с радикалами роста, достигшими достаточно большой степени полимеризации порядка $10^2 - 10^3$. Продукты их взаимодействия с радикалами роста могут инициировать рост новых цепей:



В отличие от передатчиков цепи в данном случае $k_{\text{ин}}^\bullet \ll k_p$, что приводит к существенному уменьшению скорости полимеризации. Поэтому слабые ингибиторы называются также замедлителями полимеризации. Пример, отражающий их влияние на скорость полимеризации, приведен на рис. 5.3 (кривая 3).

Сильные ингибиторы реагируют с радикалами роста, содержащими 1–2 мономерных звена, или с первичными радикалами, когда вероятность бимолекулярного обрыва ничтожна. На этом основан очень производительный метод измерения скорости инициирования $V_{\text{ин}}$. Если в систему, помимо инициатора, ввести ингибитор, то полимеризация не пойдет в течение некоторого времени $\tau_{\text{и}}$, называемого индукционным периодом, пока не прореагируют все молекулы ингибитора. Если каждая из них взаимодействует с одним радикалом роста, то скорость расхода ингибитора $[Z]/\tau_{\text{и}}$ равна скорости генерирования радикалов, т. е. скорости инициирования. Обычно ставят несколько опытов с разными концентрациями ингибитора, тогда:

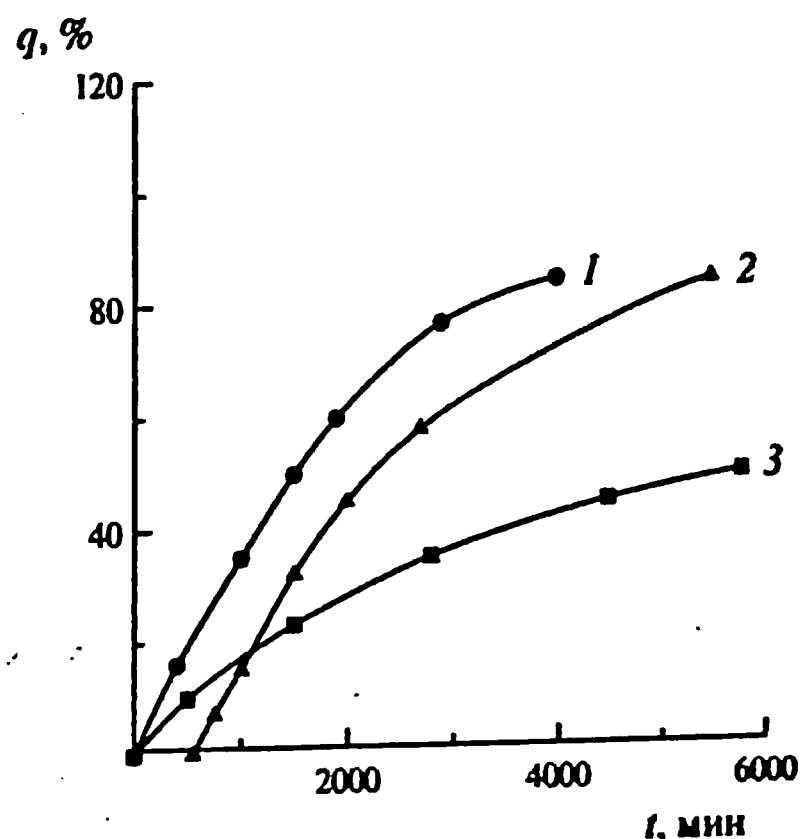


Рис. 5.3. Термическая полимеризация при 100 °C стирола в отсутствие ингибитора (1), в присутствии 0,1 % сильного ингибитора бензохинона (2), в присутствии 0,5 % слабого ингибитора нитробензола (3),
q – конверсия

$$\frac{[Z]_1}{\tau_{1n}} = \frac{[Z]_2}{\tau_{2n}} = \dots = \frac{[Z]_n}{\tau_{nn}} = V_{nn}. \quad (5.27)$$

Данный метод корректен лишь в тех случаях, когда ингибитор не вызывает никаких побочных реакций, в частности реинициирования. Критерием отсутствия побочных реакций является равенство скоростей полимеризации в отсутствие ингибитора и в его присутствии по окончании индукционного периода (см. рис. 5.3, кривые 1, 2). В табл. 5.5 представлены константы ингибирования ряда соединений. Обращает на себя внимание большое влияние природы мономера, точнее, соответствующего ему радикала, на величину константы ингибирования. Особенно велико значение полярного фактора. Так, константа ингибирования нитробензолом радикальной полимеризации метилакрилата на два порядка меньше по сравнению с полимеризацией стирола. Радикал роста метилакрилата и нитробензол имеют электронодонорные заместители, а радикал роста стирола – электронодонорный. Это означает, что преимущественно взаимодействуют радикалы и ингибиторы, имеющие противоположную поляризацию активных центров. Аналогичны примеры с бензохиноном и CuCl_2 . Большое влияние на константу ингибирования оказывает также активность радикалов. Так, нитробензол в 30 раз более активен в реакции с радикалом роста винилацетата по сравнению с радикалом роста стирола, реакционная способность которого снижена из-за сопряжения ненасыщенного углерода с ароматическим заместителем.

Для стабилизации мономеров часто используется гидрохинон, который активен лишь при наличии примесей кислорода: роль последнего заключается в окислении гидрохинона до хинона. Радикалы реагируют с хиноном по двум направлениям – путем атаки атомов кислорода:

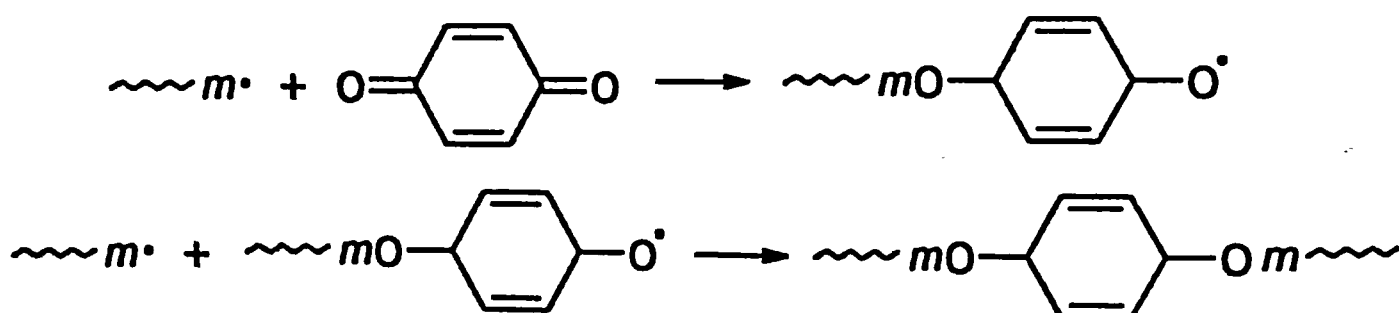
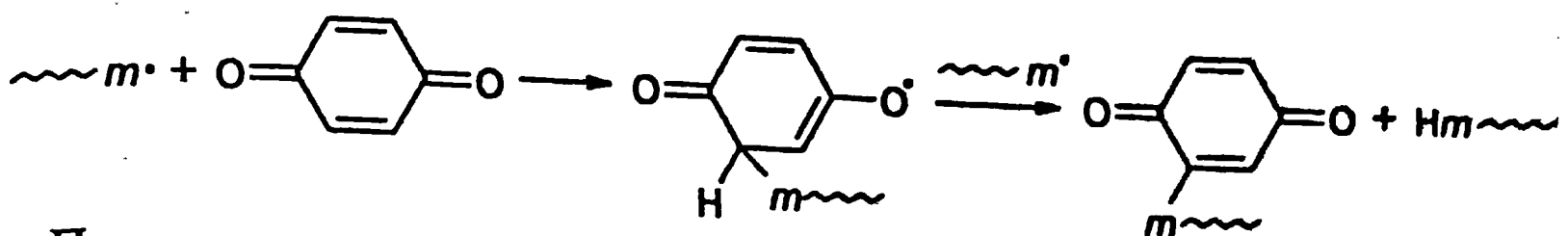


Таблица 5.5

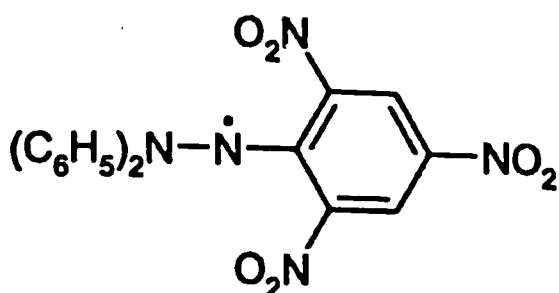
Константы ингибирования C_Z , 50–60 °C

Ингибитор	Мономер	$C_Z = \frac{k_Z}{k_p}$
Нитробензол	Метилметакрилат	0,00464
	Стирол	0,326
	Винилацетат	11,2
Бензохинон	Метилметакрилат	5,7
	Стирол	518
CuCl_2	Метилметакрилат	~ 1000
	Стирол	~ 11 000
Дифенилпикрилгидразин	Метилметакрилат	2000
Кислород	Метилметакрилат	33 000
	Стирол	14 600

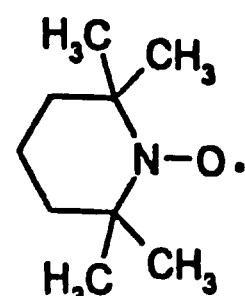
или ароматического кольца:



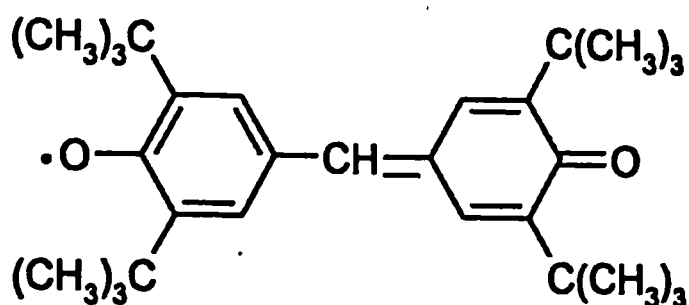
При определении скорости инициирования в качестве ингибитора обычно применяются стабильные радикалы, например:



дифенилпикрилгидразин

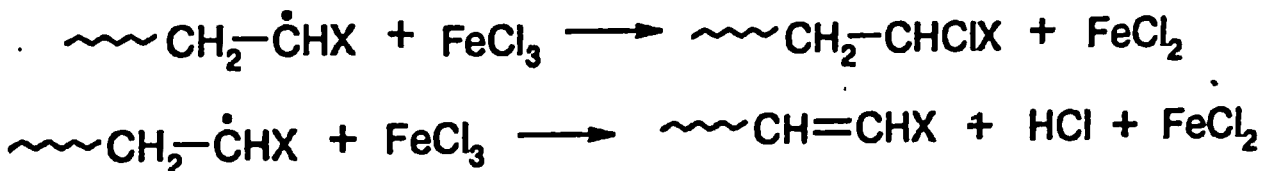


2,2',6,6'-тетраметилпиперидиноксил-1



галльвиноксильный радикал

Для ингибирования полимеризации могут быть использованы соли металлов переменной валентности, например FeCl_3 , CuCl_2 . Последняя часто используется при очистке мономеров ректификацией для обработки элементов насадки – колец Рашига, спиралек и т. д. Реакция ингибирования с участием CuCl_2 или FeCl_3 является окислительно-восстановительной:



Определение абсолютных значений констант скоростей элементарных реакций. Рассмотренные представления и кинетические схемы позволяют определить лишь отношение констант элементарных реакций роста и обрыва цепи, что может быть сделано двумя способами. При радикальной полимеризации в массе с небольшим количеством инициатора, малоактивного в реакции передачи цепи, уравнение (5.19) с учетом механизма обрыва цепи сводится к уравнению:

$$\frac{1}{\bar{p}} = \frac{1+\lambda}{2} \frac{k_o}{k_p^2 [M]^2} \frac{V}{C_M} + C_M, \quad (5.28)$$

где λ – доля радикалов, участвующих в диспропорционировании. Экспериментальные данные, представленные графически в координатах $1/\bar{p} - V/[M]^2$, по-

зволяют определить C_M и отношение k_o/k_p^2 (рис. 5.4). В последнем случае необходимо знать значение λ . Оно может быть рассчитано исходя из данных по числу концевых групп, приходящихся на одну макромолекулу, согласно (5.6). В конечном итоге имеем:

$$\frac{k_o}{k_p^2} = \operatorname{tg} \alpha / \frac{1 + \lambda}{2}. \quad (5.29)$$

В последнее время используют более производительный метод, рассмотренный выше, в основе которого лежит определение скорости инициирования методом радикальных ингибиторов. Зная скорость инициирования, легко можно рассчитать отношение k_o/k_p^2 через начальную скорость полимеризации:

$$V = \frac{k_p}{k_o^{1/2}} [M] V_{\text{ин}}^{1/2}. \quad (5.30)$$

Для определения раздельных значений констант скоростей роста и обрыва необходимо новое уравнение, не зависимое от рассмотренных ранее. В качестве него обычно используется выражение, включающее среднее время жизни радикала τ , т. е. время от зарождения кинетической цепи до ее гибели в результате бимолекулярного обрыва. В стационарном режиме полимеризации:

$$\tau = \frac{[m^\bullet]}{2k_o[m^\bullet]^2} = \frac{1}{2k_o[m^\bullet]}. \quad (5.31)$$

Выражая как обычно концентрацию радикалов, исходя из уравнения скорости роста, окончательно имеем:

$$\tau = \frac{k_p[M]}{2k_o V}. \quad (5.32)$$

Таким образом, проблема определения раздельных значений констант скоростей роста и обрыва цепи сводится к определению τ . В течение длительного времени основным экспериментальным методом определения τ являлся метод «вращающегося сектора», в котором инициирование осуществлялось фотохимически, а световой поток периодически прерывался при вращении диска с вырезами. Детали метода и соответствующая ему теория псевдостационарной полимеризации изложены во многих учебниках и монографиях. Найденные значения τ для различных мономеров и условий полимеризации находятся в интервале от 0,1 до 10 с. Это означает, что отрезок

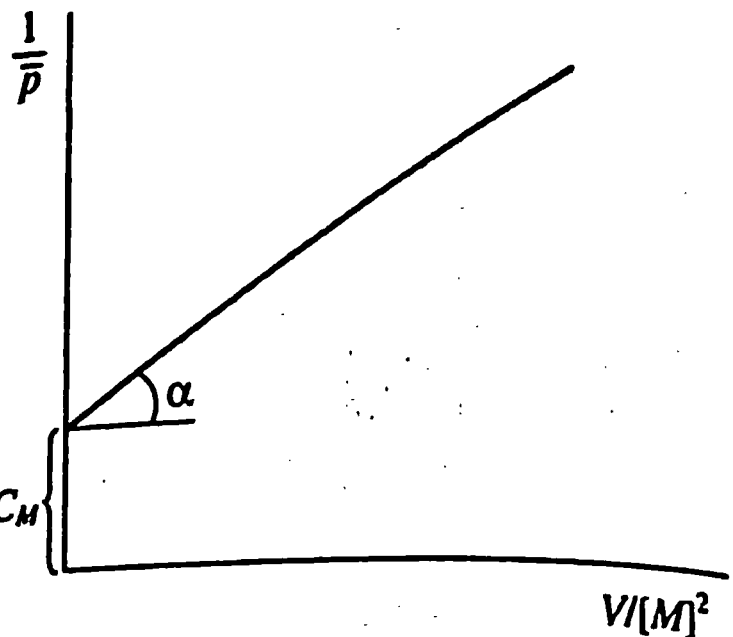


Рис. 5.4. К определению k_o/k_p^2 и C_M из уравнения (5.28)

времени между двумя актами роста равен примерно 10^{-4} с (с точностью до порядка).

В последние годы наиболее достоверным методом определения абсолютных констант скоростей роста и обрыва цепи был признан метод пульсирующей лазерной полимеризации (ПЛП). При облучении реакционного суда с мономером пульсирующим лазерным излучением достаточно большой мощности каждый импульс порождает огромное количество радикалов, которые «убивают» практически все предшествующие радикалы. Некоторая часть «уцелевших» новых радикалов инициирует полимеризацию, однако, макрорадикалы растут только до следующего импульса, после которого все повторяется сначала. Очевидно, что средняя длина цепи в таких условиях будет равна:

$$\bar{P} = k_p [M] \Delta t, \quad (5.33)$$

где Δt – время между импульсами. Для нахождения k_p при известных $[M]$ и Δt достаточно определить среднечисловую молекулярную массу полимера, что обычно делается с помощью гель-хроматографии. Анализ кривой молекулярно-массового распределения, представленной на хроматограмме, позволяет определить также и k_o . Однако проще и надежнее сделать это из отношения $k_p/k_o^{1/2}$, зная значение k_p , определенное из (5.33). В табл. 5.6 приведены значения констант скоростей роста и обрыва цепи для наиболее распространенных мономеров, а также значения $k_p/k_o^{1/2}$. Значения константы скорости реакции обрыва на 4–5 порядков превышают значения константы скорости реакции роста – бимолекулярные реакции радикалов являются одними из наиболее быстрых реакций, известных в химии. При равной скоро-

Таблица 5.6

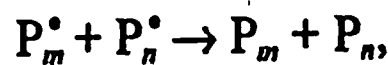
**Константы скоростей элементарных реакций роста и обрыва
при радикальной полимеризации некоторых мономеров, 20–25 °C**

Мономер	k_p , л · моль ⁻¹ · с ⁻¹	$k_o \cdot 10^{-3}$, л · моль ⁻¹ · с ⁻¹	$k_p/k_o^{1/2}$, л ^{1/2} · моль ⁻¹ · с ^{-1/2}
Винилхлорид	10 000	21	0,0218
Акриламид	9400	7,2	0,350
вода	20	2,5	0,0171
диметилсульфоксид	1910	2,9	0,112
Акрилонитрил	1000	0,5	0,141
Винилацетат	580	0,065	0,228
Метилакрилат	512	0,4	0,0810
Метилметакрилат	40	0,5	$5,66 \cdot 10^{-2}$
Стирол	100	–	–
Бутадиен-1,3 (60 °C)	0,4	0,12	$1,15 \cdot 10^{-4}$
Метакриловая кислота	0,015	0,09	$5,00 \cdot 10^{-6}$
вода			
диметилсульфоксид			

сти инициирования отношение $k_p/k_o^{1/2}$ определяет скорости полимеризации различных мономеров. Из табл. 5.6 видно, что значения отношения $k_p/k_o^{1/2}$ изменяются в широких пределах, причем наиболее активными в полимеризации оказываются мономеры, в которых отсутствует прямое сопряжение двойной связи с каким-либо ненасыщенным заместителем. Это хорошо видно из сравнения значений $k_p/k_o^{1/2}$ для стирола и винилацетата. Причины этого будут рассмотрены в разделе, посвященном реакционной способности мономеров и радикалов.

5.1.3. Молекулярно-массовое распределение при радикальной полимеризации

Нахождение дифференциальной функции числового распределения при радикальной полимеризации сводится к нахождению вероятности образования макромолекул с заданной степенью полимеризации p . Рассмотрим вначале полимеризацию, в которой обрыв цепи осуществляется путем диспропорционирования радикалов. В этом случае число частиц в результате реакции обрыва не изменяется:



где P_m^{\bullet} и P_n^{\bullet} – макрорадикалы; P_m и P_n – макромолекулы со степенью полимеризации m и n .

Вероятность образования макромолекул со степенью полимеризации p может быть выражена следующим образом:

$$q_{(n)} = A(1 - \varepsilon)^{p-1} \varepsilon, \quad (5.34)$$

где ε – вероятность прекращения, а $(1 - \varepsilon)$ – вероятность продолжения роста цепи, A – коэффициент пропорциональности. Параметр ε описывается простым соотношением:

$$\varepsilon = \frac{V_o}{V_o + V_p}, \quad (5.35)$$

где V_o , V_p – скорости обрыва и роста цепи. Для дальнейшего важно $\varepsilon \ll 1$. При этом условии* уравнение (5.34) можно записать в виде:

$$q_{(n)} = A \varepsilon e^{-\varepsilon p}. \quad (5.36)$$

Значение A определяется из условия нормировки. Поскольку

$$\int_0^{\infty} \varepsilon e^{-\varepsilon p} dp = 1, \quad (5.37)$$

* $e^{-x} = 1 - \frac{x}{1!} + \frac{x^2}{2!} - \frac{x^3}{3!} \dots$, что при $x \ll 1$ дает $e^{-x} = 1 - x$.

то $A = 1$. Переходя к непрерывному распределению, окончательно имеем:

$$q_{(n)}dp = \epsilon e^{-\epsilon p} dp. \quad (5.38)$$

Ранее в подразд. 1.3.1 было показано, что существует количественная связь между дифференциальными числовыми и массовыми функциями распределения. Используя (1.7), получаем для дифференциальной массовой функции распределения:

$$q_{(w)}dp = \epsilon p / \bar{P}_n e^{-\epsilon p} dp. \quad (5.39)$$

Функции (5.38) и (5.39) описывают ММР полимера, полученного в условиях радикальной полимеризации при обрыве путем диспропорционирования и передачи цепи, а также полимера, полученного путем ступенчатой полимеризации (поликонденсации). Распределение, описываемое уравнением (5.38), называется нормальным распределением, наиболее вероятным распределением, а также распределением Флори. При таком распределении параметр полидисперсности $\bar{M}_w / \bar{M}_n = 2$.

Обрыв через рекомбинацию радикалов. В этом случае из двух макрорадикалов образуется одна макромолекула:



Макромолекулы со степенью полимеризации p могут быть получены в результате соединения радикалов, имеющих степень полимеризации p' и $(p - p')$, где $1 < p' < (p - 1)$. Тогда:

$$q_{(n)} = A' \sum_{p'=1}^{p'=p-1} (1 - \epsilon)^{p'} \epsilon (1 - \epsilon)^{p-p'} \epsilon = A' \sum_{p'=1}^{p=p'-1} (1 - \epsilon)^p \epsilon^2. \quad (5.40)$$

Поскольку $A' = 1$ (см. выше), а все значения p' равновероятны, то

$$q_{(n)}dp = p \epsilon^2 e^{-\epsilon p} dp. \quad (5.41)$$

Распределение, отвечающее уравнению (5.41), называется уравнением Шульца. Переходя, аналогично предыдущему, к массовой функции распределения, получаем:

$$q_{(w)}dp = \epsilon^2 p^2 / \bar{P}_n e^{-\epsilon p} dp. \quad (5.42)$$

Параметр полидисперсности в данном случае равен $\bar{M}_w / \bar{M}_n = 1,5$. На рис. 5.5 представлен вид графических зависимостей, отвечающих дифференциальному числовому распределению при обрыве путем диспропорционирования и рекомбинации радикалов. Видно, что форма кривых принципиально отлична, особенно в области малых p .

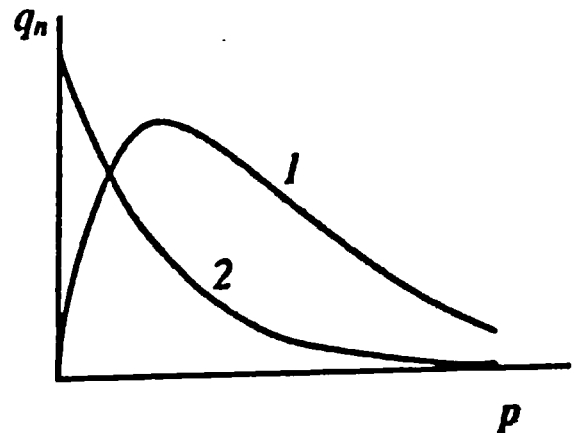


Рис. 5.5. Вид распределений Шульца (1) и Флори (2), характерных для радикальной полимеризации при обрыве путем рекомбинации и диспропорционирования радикалов

5.1.4. Влияние температуры и давления на радикальную полимеризацию

Влияние температуры на скорость химической реакции выражается уравнением Аррениуса:

$$k = A \exp \left\{ -\frac{E}{RT} \right\}, \quad (5.43)$$

где k – константа скорости реакции; A – предэкспоненциальный множитель, называемый также частотным или стерическим фактором; E – энергия активации реакции.

Полимеризация включает несколько элементарных реакций. Для того, чтобы получить соотношение, связывающее суммарное значение энергии активации полимеризации с энергиями активации элементарных реакций, запишем уравнение начальной скорости полимеризации

$$V = k_p [M] \left(\frac{2k_{\text{расп}} f[I]}{k_o} \right)^{1/2} \quad (5.44)$$

в логарифмической форме, заменив при этом k_p , k_o , $k_{\text{расп}}$ на их выражения, следуемые из уравнения Аррениуса. В результате получаем:

$$\ln V = \ln \left[A_p \left(\frac{A_{\text{расп}}}{A_o} \right)^{1/2} \right] + \ln (2f[I]^{1/2}[M]) - \frac{E_p + 1/2E_{\text{расп}} - 1/2E_o}{RT}, \quad (5.45)$$

где $A_{\text{расп}}$, A_p , A_o – частотные факторы, а $E_{\text{расп}}$, E_p , E_o – энергии активации реакций распада инициатора, роста и обрыва цепи. Напомним, что скорость распада инициатора определяет скорость инициирования, поэтому $E_{\text{расп}} = E_{\text{ин}}$, $A_{\text{расп}} = A_{\text{ин}}$. Сопоставим уравнение (5.45) с уравнением Аррениуса, выраженным в логарифмической форме:

$$\ln k = \ln A - \frac{E_A}{RT}. \quad (5.46)$$

Оно показывает, что из экспериментальной зависимости скорости полимеризации от температуры, представленной в координатах $\ln V - 1/T$, может быть определена суммарная энергия активации полимеризации \bar{E}_V , связанная с энергиями активации элементарных реакций соотношением:

$$\bar{E}_V = E_p + 1/2E_{\text{расп}} - 1/2E_o. \quad (5.47)$$

Влияние температуры на степень полимеризации в отсутствие заметной реакции передачи цепи может быть выявлено аналогичным образом, исходя из выражения (5.16), для длины кинетической цепи. Оно описывается соотношением:

$$\ln \bar{p} = \ln \left[\frac{A_p}{(A_{\text{расп}} A_o)^{1/2}} \right] + \ln \left[\frac{[M]}{f[I]^{1/2}} \right] - \frac{E_p - 1/2E_{\text{расп}} - 1/2E_o}{RT}. \quad (5.48)$$

Из уравнений (5.46) и (5.48) следует, что суммарное значение энергии активации степени полимеризации, определенное из экспериментальной зависимости $\ln \bar{p} - 1/T$, равно:

$$\bar{E}_p = E_p - 1/2E_{\text{расп}} - 1/2E_o. \quad (5.49)$$

В том случае, когда молекулярная масса полимера контролируется передачей цепи на растворитель или регулятором молекулярной массы, всеми другими реакциями ограничения длины цепи можно пренебречь. Тогда, исходя из уравнения Майо (5.23), аналогичным путем легко можно получить:

$$\ln \left[\frac{[M]}{[S]} \left(\frac{1}{\bar{p}} - \frac{1}{\bar{p}_0} \right) \right] = \ln \left[\frac{A_p}{A_s} \right] - \frac{E_p - E_s}{RT}, \quad (5.50)$$

где A_s, E_s – предэкспоненциальный множитель и энергия активации реакции передачи цепи.

Используя известные значения энергетических параметров полимеризации, можно сделать следующие выводы о влиянии температуры на скорость и степень полимеризации:

1. Поскольку $E_{\text{расп}}$ обычно употребляемых инициаторов заключены в пределах 125–150 кДж/моль, а величины E_p и E_o , соответственно, в пределах 20–40 кДж/моль и 2–20 кДж/моль, суммарная энергия активации полимеризации наиболее распространенных мономеров составляет $\bar{E}_v \approx \approx 80–90$ кДж/моль. Это означает, что скорость полимеризации возрастает в 2–3 раза на 10 °C, что примерно соответствует правилу Вант-Гоффа. Применение окислительно-восстановительных систем снижает \bar{E}_v примерно вдвое. Величина суммарной энергии активации степени полимеризации отрицательна и обычно близка к –60 кДж/моль, поэтому молекулярная масса полимера весьма заметно понижается с ростом температуры.

2. При фотохимической полимеризации $E_{\text{ин}} = 0$, поэтому скорость и степень полимеризации возрастают с ростом температуры вследствие положительной величины суммарной энергии активации, близкой к 20 кДж/моль.

3. Энергия активации реакции передачи цепи заметно превосходит энергию активации реакции роста, обычно $E_p - E_s = -(20 – 60)$ кДж/моль. Это означает в соответствии с (5.50), что при полимеризации в их присутствии повышение температуры приводит к уменьшению степени полимеризации.

Влияние давления на константу скорости химической реакции описывается выражением:

$$\frac{d \ln k}{dp} = -\frac{\Delta \bar{V}^{\neq}}{RT}, \quad (5.51)$$

где $\Delta \bar{V}^{\neq}$ – активационный объем, т. е. разница объемов переходного комплекса и реагентов. Следовательно, влияние давления на скорость полиме-

ризации будет определяться его влиянием на константы скорости элементарных реакций, входящие в уравнения (5.9) или (5.44). Исходя из этого и с учетом (5.51), имеем:

$$\frac{d \ln[k_p(k_{\text{расп}}/k_o)^{1/2}]}{dp} = -\frac{\Delta V_p^{\neq} + 0,5\Delta V_{\text{расп}}^{\neq} - 0,5\Delta V_o^{\neq}}{RT} = -\frac{\bar{\Delta V}_v^{\neq}}{RT}, \quad (5.52)$$

где $\Delta V_p^{\neq}, \Delta V_{\text{расп}}^{\neq}, \Delta V_o^{\neq}$ – активационные объемы реакций распада инициатора, роста и обрыва цепи. Для большинства мономеров характерны следующие значения активационных объемов элементарных реакций:

- распад инициатора +(5–10) см³/моль,
- рост цепи -(15–25) см³/моль,
- обрыв цепи +(13–25) см³/моль,

что приводит к суммарной величине $\bar{\Delta V}_v^{\neq} = -(11–20)$ см³/моль. Это означает в соответствии с (5.51), что максимальный эффект от увеличения давления в 1000 раз – от 1 до 1000 МПа при 30–50 °C может соответствовать возрастанию скорости в 50 раз.

Объем переходного комплекса обычно превышает объем реагентов, когда реакция приводит к увеличению числа частиц, и наоборот. Поэтому следовало ожидать отрицательных значений активационного объема как для реакции роста, так и для реакции обрыва, поскольку в обоих случаях из двух частиц образуется одна. Однако в последнем случае $\Delta V_o^{\neq} > 0$, что находит простое объяснение. Увеличение давления вызывает рост вязкости реакционной смеси и, в соответствии с диффузионным механизмом обрыва, уменьшение скорости этой реакции. Такой результат в соответствии с (5.51) приводит к кажущимся положительным значениям ΔV_o^{\neq} .

Влияние давления на степень полимеризации определяется его влиянием на константы элементарных реакций в уравнении средней длины кинетической цепи (в отсутствие реакции передачи цепи). Исходя из (5.16) и (5.51), имеем:

$$\frac{d \ln[k_p(k_{\text{расп}}/k_o)^{1/2}]}{dp} = -\frac{\Delta V_p^{\neq} - 0,5\Delta V_{\text{расп}}^{\neq} - 0,5\Delta V_o^{\neq}}{RT} = -\frac{\bar{\Delta V}_p^{\neq}}{RT}, \quad (5.53)$$

где $\bar{\Delta V}_p^{\neq}$ – средний активационный объем для степени полимеризации. Из приведенных выше значений активационных объемов элементарных реакций следует, что $\bar{\Delta V}_p^{\neq} = -(19–30)$ см³/моль. Это означает, что с увеличением давления степень полимеризации должна возрастать быстрее, чем скорость. Однако экспериментальные данные не соответствуют этому выводу. Если скорость полимеризации с возрастанием давления увеличивается постоянно, то рост степени полимеризации замедляется и может прекратиться, что объясняется активацией реакции передачи цепи.

Давление также влияет на полимеризационно-деполимеризационное равновесие. Известно, что полимеризация ненасыщенных соединений сопрово-

ждается уменьшением объема на 15–25 %. Из этого следует, что в соответствии с известным термодинамическим соотношением:

$$\frac{d \ln K_{\text{равн}}}{dp} = -\frac{\Delta V}{RT}, \quad (5.54)$$

где $K_{\text{равн}}$ – константа равновесия; ΔV – разность объемов конечных и исходных продуктов реакции, увеличение давления приводит к смещению константы равновесия в сторону образования полимера.

5.1.5. Диффузионная модель обрыва цепи. Гель-эффект

Реакция обрыва является единственной элементарной реакцией, которая контролируется диффузией на всех стадиях процесса. Определяющее влияние диффузии на скорость бимолекулярного обрыва радикалов роста при полимеризации в массе при больших конверсиях было установлено давно, практически ко времени завершения теории радикальной полимеризации в конце 40-х годов. Согласно уравнениям (5.9) и (5.16), с увеличением степени превращения мономера (конверсии), т. е. с его исчерпанием, скорость и степень полимеризации должны уменьшаться. Однако, уже к концу 40-х гг. ХХ в. было обнаружено, что при полимеризации метилметакрилата увеличение степени превращения мономера приводит не к уменьшению, а к увеличению скорости и степени полимеризации. Это явление было названо гель-эффектом, поскольку оно наблюдалось при достаточно больших степенях превращения, когда вязкость реакционной среды заметно возрастала (примерно на два порядка по сравнению с первоначальной). Было обнаружено, что гель-эффект характерен для полимеризации в массе или концен-

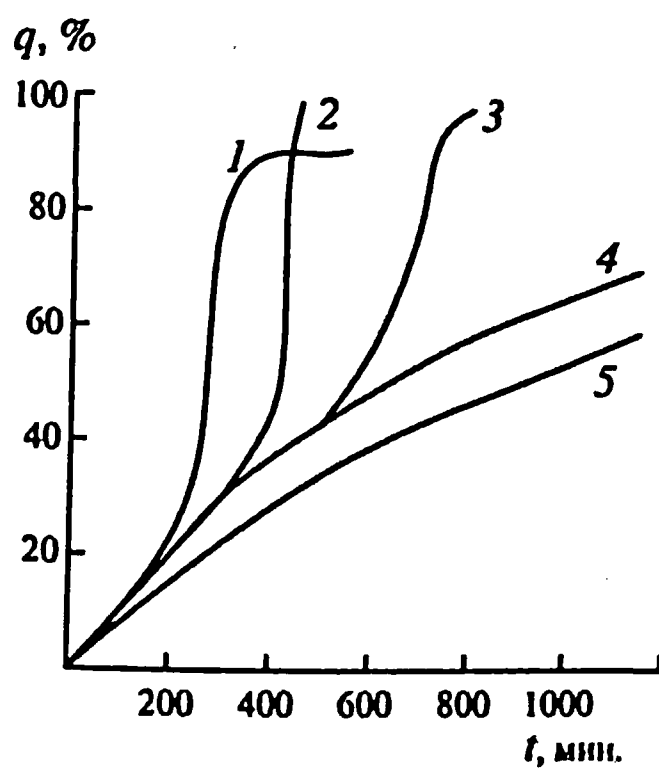


Рис. 5.6. Зависимость степени превращения мономера от времени при полимеризации метилметакрилата, инициируемой пероксидом бензоила, при 50 °C в растворе бензола. Концентрация метилметакрилата, мол. %:
1 – 100; 2 – 80; 3 – 60; 4 – 40; 5 – 10

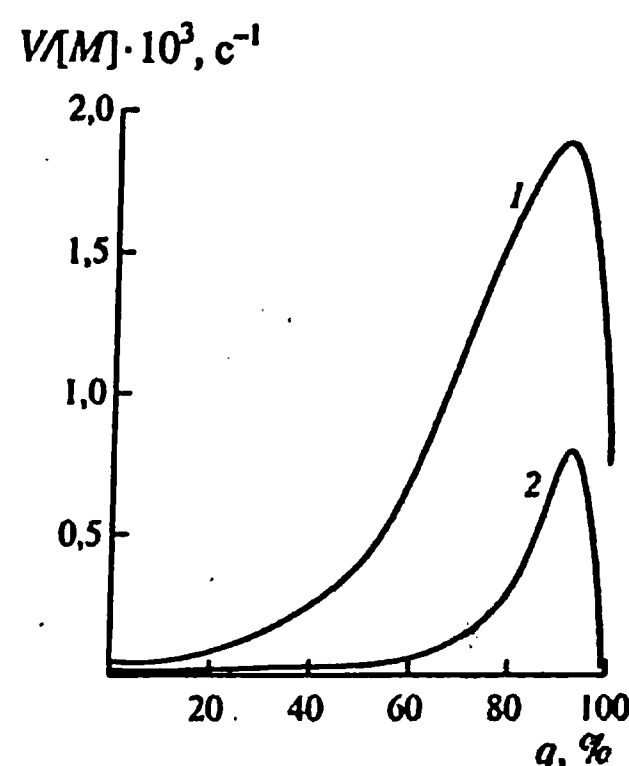


Рис. 5.7. Зависимость приведенной скорости полимеризации метилметакрилата (кривая 1, 60 °C, пероксид лаурила $5 \cdot 10^{-3}$ моль/л) и стирола (кривая 2, 70 °C, пероксид бензоила $5 \cdot 10^{-3}$ моль/л) от конверсии

Таблица 5.7

Влияние степени превращения мономера q на полимеризацию метилметакрилата, 22,5 °C

$q, \%$	$V, \%/\text{час}$	$k_p/k_o^{1/2} \cdot 10^2, \text{л}^{0.5}/(\text{моль} \cdot \text{с})^{0.5}$	$k_p, \text{л}/(\text{моль} \cdot \text{с})$	$k_o \cdot 10^{-5}, \text{л}/(\text{моль} \cdot \text{с})$	$\tau, \text{с}$
0 – 1	3,5	5,78	384	442	0,89
20	6,0	8,81	267	72,6	2,21
40	23,4	38,9	368	8,93	6,3
60	20	33,2	74	0,498	26,7
80	2,8	3,59	1	0,0076	216

* Рассчитано по данным k_p и k_o .

трированных растворах таких мономеров, как метилметакрилат, бутилметакрилат, винилацетат и некоторых других. На рис. 5.6 приведены данные, характеризующие влияние растворителя на гель-эффект при полимеризации метилметакрилата. В табл. 5.7 отражено влияние степени превращения мономера в полимер на кинетические константы при полимеризации метилметакрилата. Отношение $k_p/k_o^{1/2}$, согласно (5.9) и (5.16), пропорционально скорости и степени полимеризации. Исходя из этого, на основании данных табл. 5.7 можно сделать вывод о том, что в результате гель-эффекта скорость и степень полимеризации метилметакрилата возрастают примерно на порядок. Рост отношения $k_p/k_o^{1/2}$ обусловлен, в первую очередь, значительным уменьшением – на несколько порядков – значения константы скорости реакции обрыва. Гель-эффект зависит от многих факторов и, в первую очередь, от природы мономера. В качестве примера на рис. 5.7 представлены зависимости приведенных скоростей полимеризации от конверсии при полимеризации метилметакрилата и стирола. Видно, что в последнем случае гель-эффект наступает на более поздней стадии. Благодаря этому обстоятельству считалось, что гель-эффект при полимеризации этого мономера отсутствует.

В 60-х г. XX в. представления о диффузионном контроле реакции обрыва цепи были распространены на начальную стадию полимеризации, т. е. область малых конверсий. Согласно механизму, предложенному Нортоном, реакция обрыва протекает через три последовательные стадии, схематически изображенные на рис. 5.8:

сближения макрорадикалов в результате так называемой «трансляционной» диффузии макрорадикальных клубков;

сближения активных концов макрорадикалов в результате взаимной диффузии сегментов двух перекрывающихся макрорадикальных клубков; химической реакции между сблизившимися активными концами макро-

На начальном этапе полимеризации при малых конверсиях мономера трансляционная подвижность макрорадикалов не ограничена, по крайней мере в такой степени, которая могла бы влиять на скорость реакции бимо-обрыва. В этих условиях скорость реакции бимолекулярного обрыва лимитируется ее второй стадией, т. е. сегментальной микроброунов-

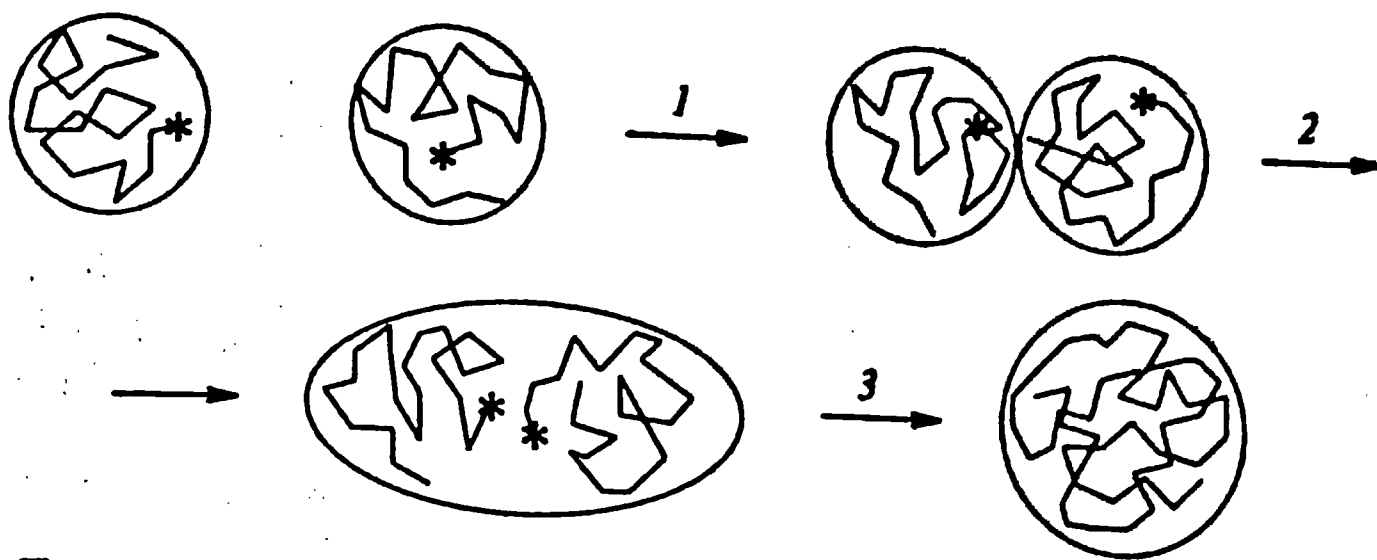


Рис. 5.8. Три стадии реакции обрыва: 1 – сближение макрорадикалов в результате поступательной («трансляционной») диффузии, 2 – сближение активных концов взаимопроникающих радикалов в результате сегментальной диффузии, 3 – химическая реакция радикалов

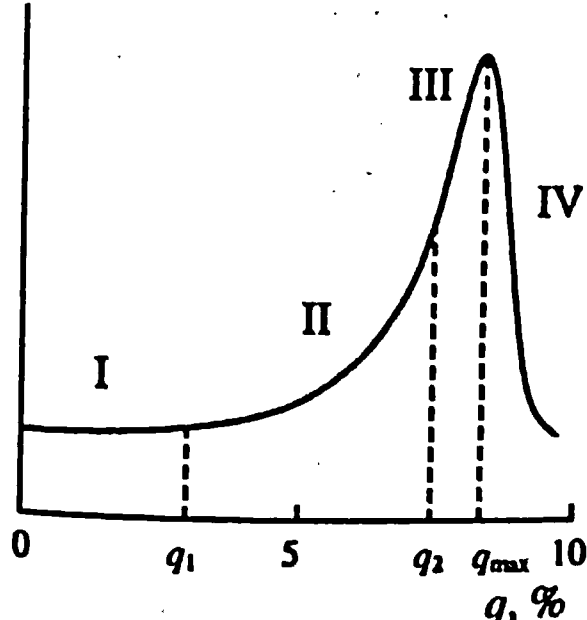
ской диффузией. Согласно закону Эйнштейна, коэффициент диффузии обратно пропорционален вязкости среды. При сегментальной диффузии необходимо учитывать вязкость растворителя, в котором движутся сегменты, т. е. вязкость мономера или вязкость смеси мономера и растворителя. С ее увеличением подвижность сегментов должна уменьшаться, а вместе с ней и скорость бимолекулярного обрыва. Такая зависимость подтверждается экспериментально, что и является доказательством диффузионного механизма обрыва цепи на начальной стадии радикальной полимеризации.

К настоящему времени механизм контроля реакции обрыва цепи установлен для всех стадий полимеризации в массе. На рис. 5.9 представлена типичная зависимость приведенной скорости полимеризации в массе от конверсии. На этой кривой выделяются четыре характерные области:

I. Область начальных конверсий с практически постоянной скоростью

$$\text{полимеризации}, \frac{d(V/[M])}{dq} = \text{const при } 0 < q < q_1;$$

$V/[M]$



$$\text{II. Область автоускорения, } \frac{d(V/[M])}{dq} > 0$$

при $q_1 < q < q_2$, где q_1 – степень превращения, соответствующая началу автоускорения; q_2 – перегибу кривой, указывающему на начало автоторможения;

III. Переходная область от автоускорения к автоторможению $q_2 < q < q_{\max}$;

IV. Область автоторможения $q_{\max} < q < 1$.

В первой области, как уже упоминалось, скорость обрыва контролируется сегментальной подвижностью макрорадикалов. Накопление полимера приводит к перекрыванию макромолекулярных клубков и образованию сплошной сетки зацеплений макромолекул.

Рис. 5.9. Характерные области полимеризации в массе.
(Пояснения в тексте)

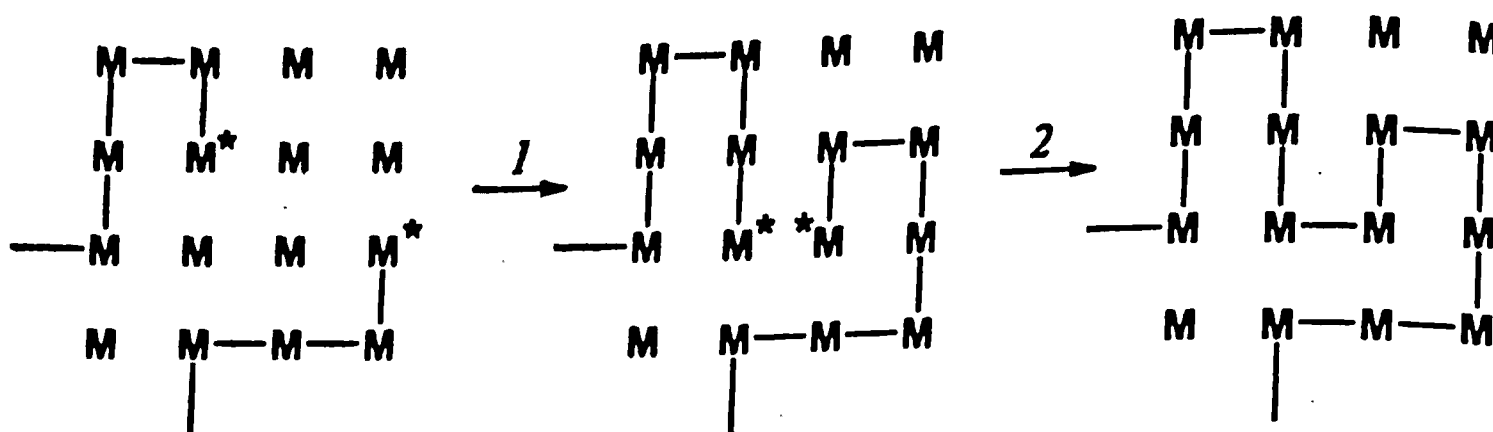


Рис. 5.10. Обрыв цепи «через рост»: 1 – сближение активных концов в результате актов роста цепи; 2 – химическая реакция радикалов

В результате «трансляционная» подвижность макрорадикалов резко ограничивается, она начинает контролировать скорость обрыва, что означает изменение механизма диффузионного контроля и начало гель-эффекта.

Степень превращения, при которой начинается гель-эффект, уменьшается с увеличением молекулярной массы полимера. Причина такой зависимости вполне понятна – с увеличением молекулярной массы увеличивается размер клубков и, следовательно, уменьшается концентрация полимера, необходимая для образования сплошной флюктуационной сетки зацеплений макромолекул. Было показано, что концентрация полимера ϕ_2 , отвечающая началу гель-эффекта, связана со степенью полимеризации соотношением:

$$\bar{P} \cdot \phi_2^\alpha = K, \quad (5.55)$$

где ϕ_2 – объемная доля полимера, соответствующая степени превращения q , при которой начинается автоускорение, α и K – константы. При полимеризации метилметакрилата $\alpha = 0,53$, $K = 8,74$, бутилметакрилата – $\alpha = 0,25$, $K = 2,80$.

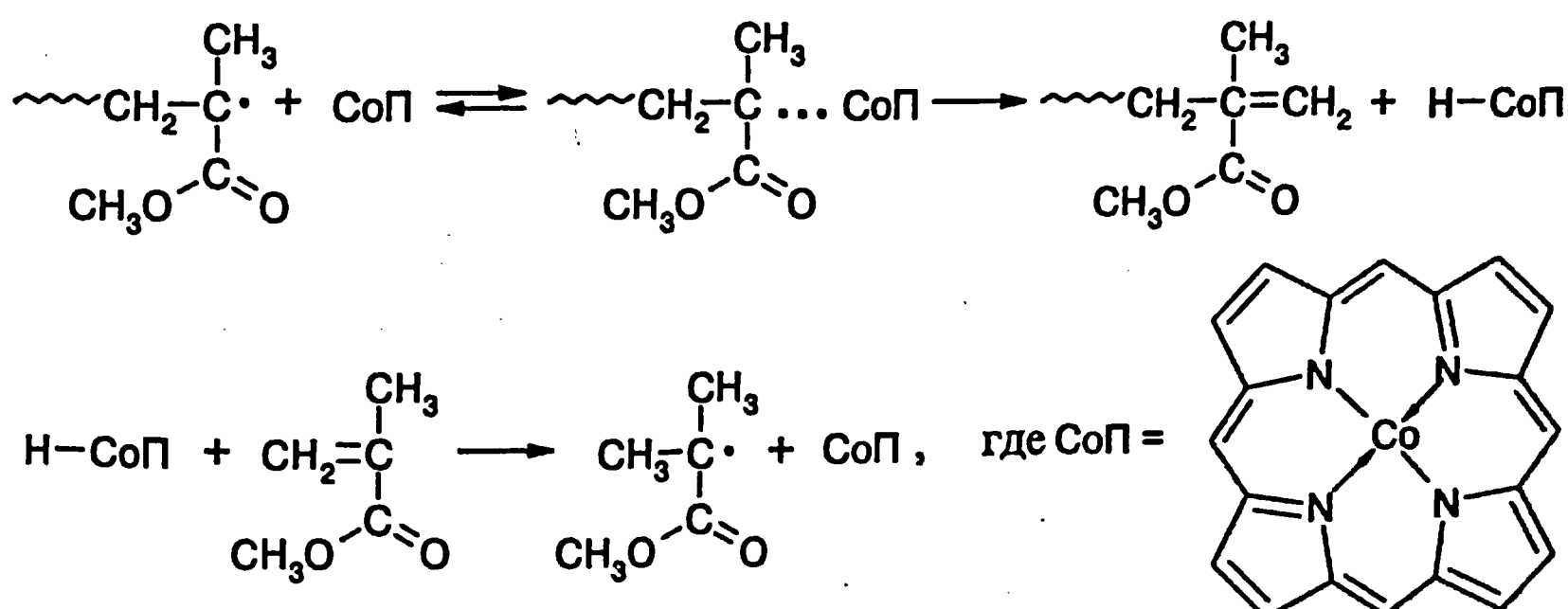
Для второй области, т. е. области развития гель-эффекта, характерна зависимость константы скорости реакции обрыва от молекулярной массы макрорадикалов. Однако в переходной области (III) эта зависимость вырождается, что свидетельствует об изменении механизма реакции обрыва. При потере подвижности макрорадикалов вследствие чрезмерно возросшей вязкости на смену традиционному механизму приходит механизм обрыва «через рост». Суть этого механизма заключается в прорастании радикалов (рис. 5.10).

На четвертом, завершающем этапе полимеризации, диффузионно контролируемыми становятся также реакции с участием низкомолекулярных частиц, т. е. реакции роста и инициирования. При стекловании реакционной системы все реакции останавливаются, при этом свободные радикалы могут быть обнаруживаемы в системе в течение длительного времени (например, методом ЭПР). Для полного завершения полимеризации в массе, т. е. полностью исчерпания мономера, следует поднять температуру до величины, превышающей температуру стеклования реакционной системы.

5.1.6. Каталитическая передача цепи

В 1980 г. было обнаружено, что кобальт порфирий (CoP), т.е. тетрапиррольный комплекс $\text{Co}(\text{II})$ катализирует реакцию передачи цепи на мономер при полимеризации метилметакрилата. Константа передачи C_s , определенная с помощью уравнения Майо, оказалась равной 2400, тогда как в отсутствие катализатора $C_m = 2 \cdot 10^{-5}$. О масштабе изменения молекулярной массы полимера свидетельствуют такие данные: если при полимеризации метилметакрилата в отсутствие катализатора передачи цепи (60°C , $[\text{АИБН}] = 0,02$ моль/л) образуется полимер, содержащий сотни звеньев, то в присутствии $6,6 \cdot 10^{-4}$ моль/л кобальт порфирина – всего 9 звеньев! При этом, по окончании полимеризации кобальт порфирий остается в неизменном виде, качественно и количественно, что является подтверждением его участия в реакции передачи цепи в качестве катализатора. Позднее было показано, что катализаторами передачи цепи являются и другие макроциклы $\text{Co}(\text{II})$ и $\text{Co}(\text{III})$, причем для некоторых из них были найдены еще большие константы передачи $C_s = 40\,000$. Столь большие значения константы передачи характерны лишь для метилметакрилата и бутилметакрилата, что указывает на возможное участие α -метильной группы в реакции. При полимеризации стирола и винилацетата в присутствии макрорадикалов кобальта значения C_s на несколько порядков меньше, но даже при этом они превосходят значения C_s , характерные для наиболее активных передатчиков цепи.

Характерной особенностью катализитической реакции передачи цепи на мономеры метакрилового ряда является образование макромолекул с ненасыщенной связью на конце. Исходя из этого обстоятельства, был предложен механизм, предусматривающий отрыв атома водорода от α -метильной группы конечного звена радикала роста в его аддукте – короткоживущем промежуточном соединении с СоП:

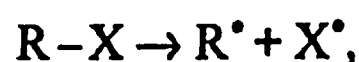


Реакция каталитической передачи цепи практически нечувствительна к температуре. Растворители, сольватирующие комплексы кобальта, оказывают большое влияние на эту реакцию, значительно уменьшая константу передачи. При протекании реакции каталитической передачи цепи скорость полимеризации заметно уменьшается.

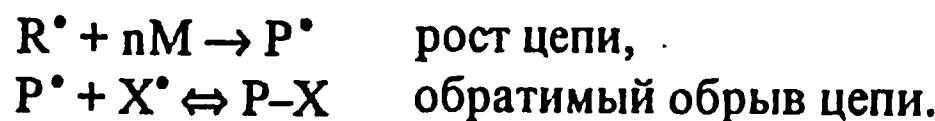
5.1.7. Псевдоживая радикальная полимеризация

При псевдоживой радикальной полимеризации растущие цепи часть времени (большую) являются неактивными, другую часть времени (значительно меньшую) – активными, т.е. участвуют в реакции роста. Это происходит благодаря периодическим актам обратимого ингибиования. Впервые псевдоживая радикальная полимеризация была реализована в начале 1980-х годов с использованием инифертеров. Это название происходит от сокращения английских слов *initiator – transfer – termination – agent*, оно обозначает соединения, выполняющие в радикальной полимеризации функции инициатора, а также участвующие в реакциях обрыва и передачи цепи.

В качестве инифертеров применяются главным образом серосодержащие соединения: дитиокарбаматы, дитиокарбонаты, различного рода дисульфиды и трифенилметильные производные. Такие соединения, как правило, диссоциируют с образованием активного и неактивного радикалов:



где R^\bullet – активный радикал, способный инициировать полимеризацию, X^\bullet – неактивный радикал, обрывающий растущие цепи:



Для реализации режима псевдоживой полимеризации важно, чтобы скорость бимолекулярного обрыва радикалов роста была существенно меньше скорости их обрыва с участием X^\bullet . Тогда большая часть макромолекул будет способна к реинициированию в результате гомолитического распада аддукта $P-X$. В результате ММ полимера должна возрастать по ходу полимеризации, что подтверждается экспериментально. Недостатком псевдоживой полимеризации в присутствии инифертеров является широкое ММР, т.е. значительная полидисперсность получаемого полимера. В данном случае эту нежелательную особенность полимеризации связывают с возможностью инициирования полимеризации радикалом X^\bullet .

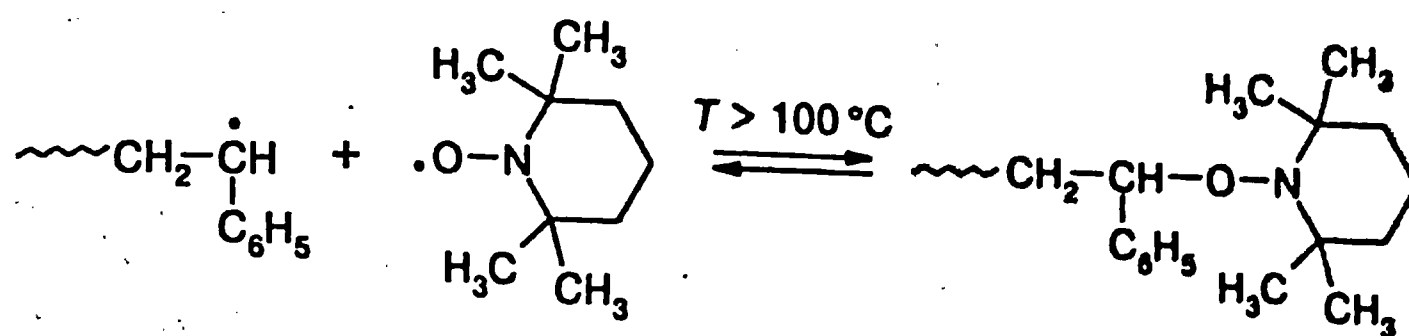
В 83–84-х гг. XX в. были предложены варианты псевдоживой полимеризации, лишенные недостатков, присущих полимеризации в присутствии инифертеров, т.е. приводящие к образованию полимеров с узким ММР. Наибольшее распространение получили два метода:

1. Полимеризация с обратимым ингибиением комплексами переходных металлов и стабильными радикалами при температурах, превышающих 100 °C. В англоязычной научной и учебной литературе этот метод обозначается как SFRP (stable free radical polymerization). Он был предложен Б. Р. Смирновым, являющимся одним из первооткрывателей каталитической передачи цепи и обратимого ингибиования.

2. Полимеризация с переносом атома галогена или ATRP (atom transfer radical polymerization).

При реализации по первому методу часто используются комплексы ко-
216

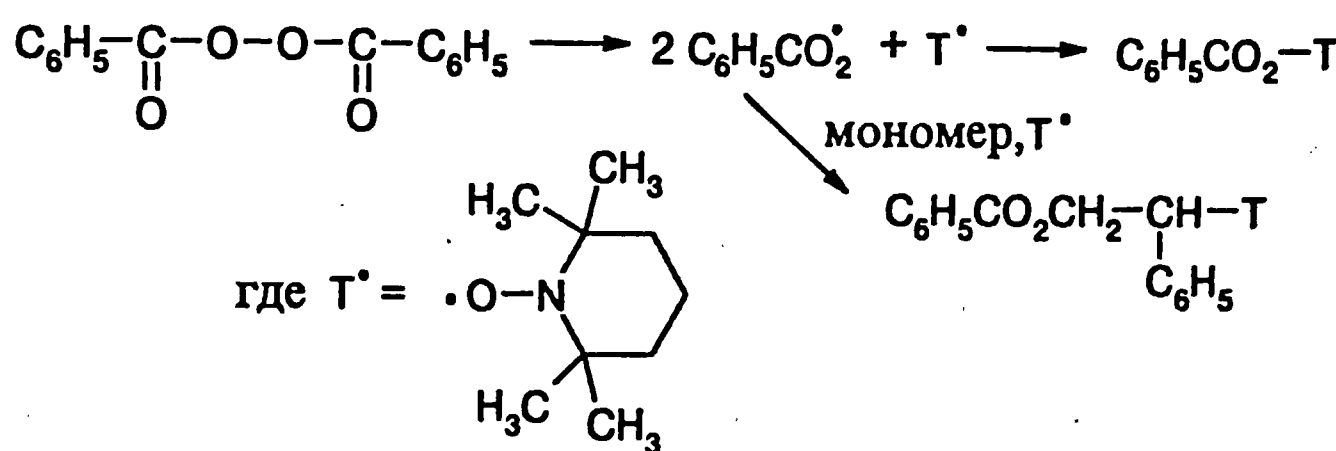
«идеальной» псевдоживая полимеризация стирола, обратимо ингибируемая 2,2',6,6'-тетраметилпиперидиноксилом-1 (далее ТЕМПО или Т), согласно приведенной ниже схеме:



ТЕМПО и подобные ему нитроксильные радикалы могут быть использованы в трех вариантах:

- непосредственно при термической полимеризации стирола;
- в сочетании с инициаторами радикальной полимеризации;
- в виде аддуктов, т.е. алcoxиаминов.

Наиболее изученной является псевдоживая радикальная полимеризация стирола в присутствии алcoxиаминов. Последние наиболее просто могут быть получены при распаде инициаторов в присутствии нитроксилов в инертной среде или в присутствии мономера:



а также при фото- и термораспаде в присутствии нитроксилов алкил- и арилбензолов. Из других реакций часто используется реакция алкилгалогенидов с натриевой солью ТЕМПО.

При нагревании стирола в присутствии алcoxиаминов выше 100 °C протекают следующие элементарные реакции.

Распад алcoxиаминов:



например,

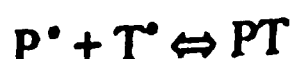


Иницирование полимеризации активными радикалами R[•]:

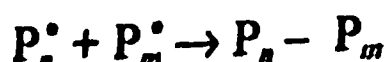


Где P[•] – макрорадикал со степенью полимеризации n.

Обратимый обрыв цепи на нитроксильных радикалах:



Бимолекулярный обрыв цепи:

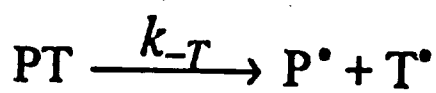


Последняя реакция приводит к увеличению концентрации свободного нитроксильного радикала. Благодаря этому скорость обратимого ингибирования возрастает настолько, что по сравнению с ней скорость бимолекулярного обрыва становится пренебрежимо малой.

В течение часа при 120–125 °C устанавливается стационарное состояние, для которого характерно равновесие реакции обратимого обрыва с константой роста, описываемой выражением:

$$K = \frac{k_{-T}}{k_T} = \frac{[P^\bullet][T^\bullet]}{[PT]}, \quad (5.56)$$

где k_{-T} и k_T – константы скоростей реакций:



Период стационарной кинетики псевдоживой полимеризации длится около двух суток и характеризуется следующими закономерностями:

1. Первым порядком скорости по концентрации мономера.
2. Линейной зависимостью степени полимеризации от конверсии.
3. Узким ММР полимера: параметр полидисперсности колеблется в пределах $1,05 < \overline{M}_w/\overline{M}_n < 1,2$. При обычной радикальной полимеризации $1,5 \leq \overline{M}_w/\overline{M}_n \leq 2,0$. Однако такая ситуация характерна лишь для начальных конверсий.

Отмеченные особенности отражены на рис. 5.11.

Количественная теория «идеальной» псевдоживой радикальной полимеризации учитывает лишь реакции роста и обратимого ингибирования. Скорость роста в псевдоживой полимеризации выражается так же, как и в обычной радикальной полимеризации:

$$-\frac{d[M]}{dt} = k_p[P^\bullet][M]. \quad (5.57)$$

Однако стационарная концентрация радикалов роста выражается другим образом – исходя из равновесия обратимого ингибирования:

$$[P^\bullet] = K \frac{[PT]}{[T^\bullet]}. \quad (5.58)$$

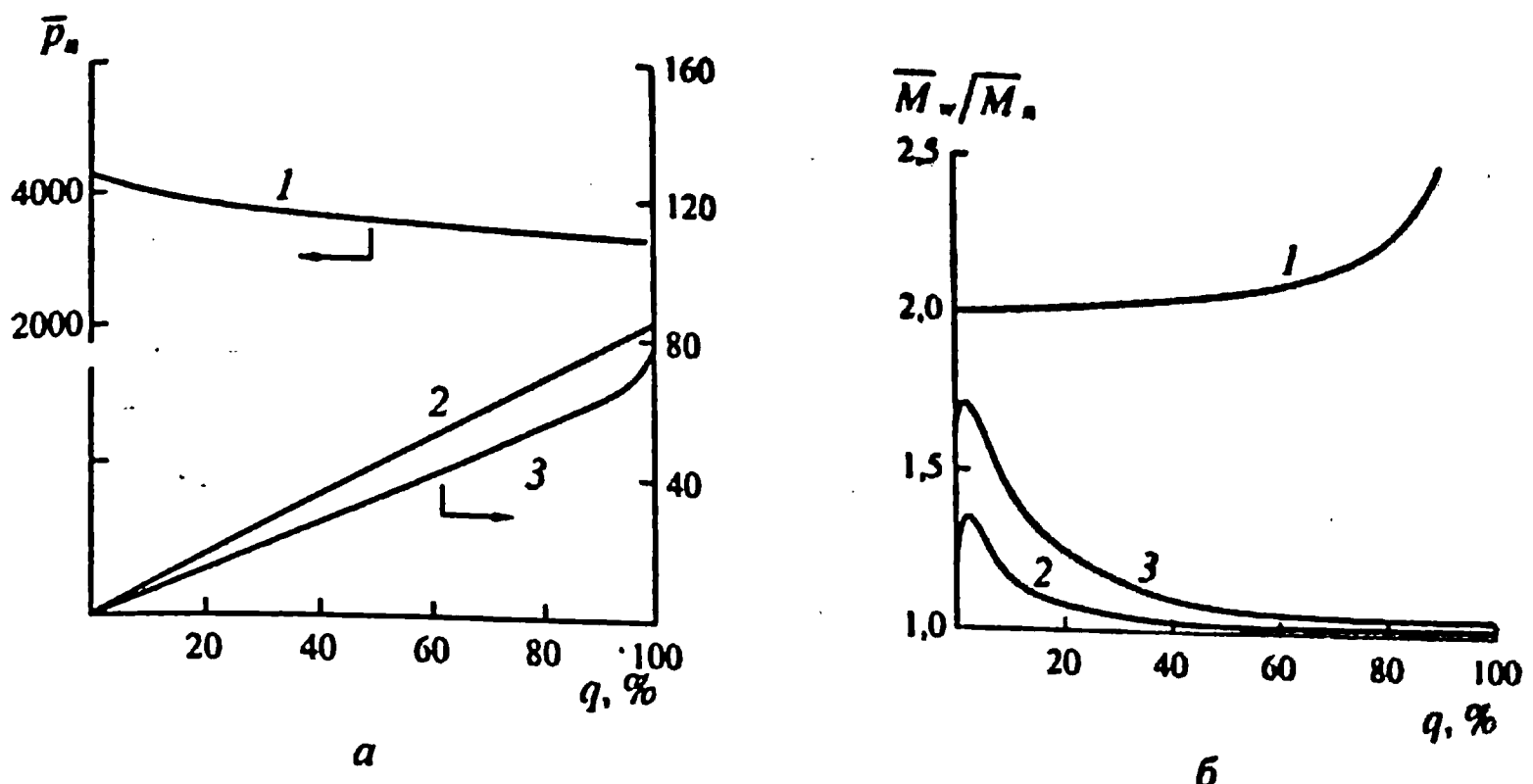


Рис. 5.11. Зависимость степени полимеризации (а) и параметра полидисперсности (б) от конверсии при полимеризации стирола в массе: 1 – 120 °С, термическое инициирование; 2,3 – псевдоживая полимеризация; 2 – 110 °С, с переносом атома; 3 – 120 °С, в присутствии аддукта 1-фенилэтил-ТЕМПО

Поскольку K является очень малой величиной, то $[PT] \approx [RT]$, где $[RT]$ – концентрация введенного алcoxсиамина. Отсюда:

$$-\frac{d[M]}{dt} = k_p K \frac{[M][RT]}{[T^*]}. \quad (5.59)$$

Согласно кинетическим расчетам, подтвержденным экспериментально,

$$\frac{[RT]}{[T^*]} = \beta = \text{const.} \quad (5.60)$$

С учетом этого окончательно имеем:

$$-\frac{d[M]}{dt} = k_p K \beta [M]. \quad (5.61)$$

Из (5.61) следует, что скорость псевдоживой радикальной полимеризации стирола является реакцией первого порядка по концентрации мономера и, как это ни удивительно, не зависит от концентрации потенциального ингибитора – алcoxсиамина. Степень полимеризации при псевдоживой полимеризации пропорциональна конверсии q и обратно пропорциональна концентрации алcoxсиамина, которая определяет число растущих цепей.

$$\bar{M}_n = q \frac{[M]_0}{[RT]}. \quad (5.62)$$

Параметр полидисперсности описывается выражением:

$$\bar{M}_w/\bar{M}_n = 1 + \frac{2}{tk_T}, \quad (5.63)$$

Таблица 5.8

**Константы обратимого ингибирования псевдоживой полимеризации стирола
в присутствии ТЕМПО**

$K = \frac{k_{-T}}{k_T} = \frac{[P^\bullet][T^\bullet]}{[PT]}$, моль/л	$k_{-T}, \text{с}^{-1}$	$k_T, \text{л}\cdot\text{моль}^{-1}\cdot\text{с}^{-1}$	$E^*, \text{кДж/моль}$
$2 \cdot 10^{-11}$	$6 \cdot 10^{-4}$	$3 \cdot 10^7$	~ 120

* Энергия активации распада высокомолекулярного аддукта полистирол – ТЕМПО.

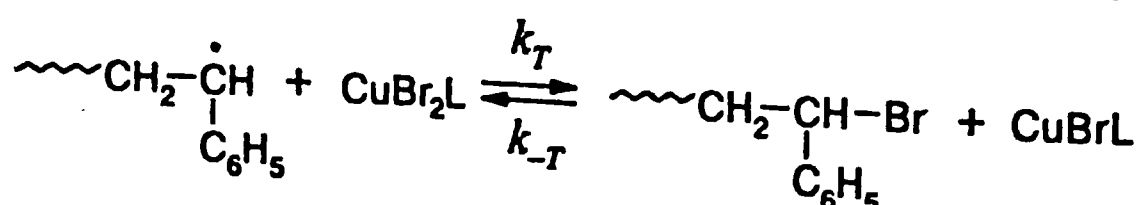
из которого следует, что при $t \rightarrow \infty$, $\bar{M}_w/\bar{M}_n \rightarrow 1$. Практически ММР при псевдоживой полимеризации становится узким к 15–20 % конверсии, начиная с которой $\bar{M}_w/\bar{M}_n < 1,15–1,20$ (см. рис. 5.11). В целом «идеальная» псевдоживая полимеризация стирола реализуется при концентрации алcoxимов от $5 \cdot 10^{-3}$ до $5 \cdot 10^{-2}$ моль/л до 70 % конверсии. В этих условиях образуется полистирол со строго контролируемой ММ – от 10^3 до $(50–60) \cdot 10^3$ и узким ММР.

Способ реализации псевдоживой полимеризации при обратимом ингибировании ТЕМПО не влияет на механизм и константы основных элементарных реакций, которые приведены в табл. 5.8.

Исходя из этих данных и приведенных ранее кинетических закономерностей, был установлен «режим» идеальной псевдоживой полимеризации стирола. Оказалось, что при $[P_nT] \approx [RT] = 4 \cdot 10^{-2}$ моль/л «псевдоживая цепь» 40 мин «спит», затем $\sim 10^{-3}–10^{-4}$ с «бодрствует», т. е. растет на 10–12 звеньев, и этот цикл продолжается 60–70 раз до 70–80 % исчерпания мономера примерно за двое суток. До больших конверсий проводить псевдоживую полимеризацию не имеет смысла из-за уменьшения скорости и увеличения полидисперсности полимера.

Псевдоживая полимеризация с переносом атома (галогена) принципиально отличается от рассмотренной выше полимеризации в присутствии ТЕМПО бимолекулярным окислительно-восстановительным актом реинициирования.

Типичным примером является псевдоживая радикальная полимеризация стирола при 110°C в присутствии растворимых комплексов CuBr_2 с лигандром L:



в которой растущие цепи обратимо реагируют с сильным ингибитором CuBr_2 . В данном случае обратимая окислительно-восстановительная реакция ингибирования сопровождается переносом атома брома, константа равновесия этой реакции записывается в следующем виде:

$$K = \frac{k_{-T}}{k_T} = \frac{[P^\bullet][\text{Cu}(II)]}{[\text{PBr}][\text{Cu}(I)]}, \quad (5.64)$$

где k_t, k_{-t} определяются аналогично предыдущему случаю, $[P']$, $[PBr]$ – концентрации активных и «спящих» радикалов, $[Cu(II)]$, $[Cu(I)]$ – равновесные концентрации $CuBr_2$ и $CuBr$. Для рассматриваемой реакции $K = 10^{-8}$, стационарная концентрация $Cu(II)$ составляет от 1 до 10 % по отношению к $Cu(I)$. Наиболее важные характеристики рассмотренного процесса отражены на рис. 5.11.

5.1.8. Эмульсионная полимеризация

В соответствии со способом проведения радикальная полимеризация подразделяется на полимеризацию в массе, растворе, супензионную и эмульсионную. Лишь последняя выделяется ярко выраженными особенностями механизма, благодаря чему для нее характерны большие скорости и степени полимеризации.

Реакционная система в эмульсионной полимеризации представляет собой 30–60 %-ную эмульсию мономера в воде, стабилизированную поверхностью-активным веществом (ПАВ). В эмульсионной полимеризации обычно используются анионно-активные ПАВ, содержащие в качестве полярной группы анион органической или неорганической кислоты, в качестве неполярной – достаточно длинный углеводородный радикал, например $C_{17}H_{35}COO^-$. Молекулы ПАВ уже при очень небольших концентрациях, порядка 1 %, образуют ассоциаты, называемые мицеллами. Концентрации ПАВ, используемые в эмульсионной полимеризации (до 5 %), как правило, превышают критические концентрации мицеллообразования (ККМ). Поэтому реакционная система в эмульсионной полимеризации содержит два типа частиц: капли размером 10^3 – 10^4 нм и мицеллы размером 5–10 нм.

Из рис. 5.12 видно, что в мицеллах ПАВ полярные группы обращены в воду, неполярные – внутрь мицеллы. Внутренняя неполярная область может поглощать заметное количество неполярного растворителя, например углеводорода. Подобное явление называется сопряженной растворимостью или солюбилизацией. Оно играет ключевую роль в механизме эмульсионной полимеризации. В качестве примера приведем стирол, закономерности эмульсионной полимеризации которого послужили основой при создании Эвартом и Смитом теории этого процесса. В одном литре воды растворяется около 0,1 г стирола, однако если в воде содержатся мицеллы анионно-активного ПАВ, то растворимость стирола может достигнуть 4–5 г/л.

К числу обязательных компонентов традиционного варианта эмульсионной полимеризации, помимо мономера, воды, эмульгатора, относится также водорастворимый инициатор, как правило, окислительно-восстановительная система, например, одна из систем, приведенных в разд. 5.1.1, включающих персульфат. В качестве дополнительных компонентов часто вводятся регуляторы молекулярной массы, например меркаптаны RSH , и буферные смеси. Эмульсионную полимеризацию обычно проводят при интенсивном перемешивании в достаточно широком интервале температур 20–80 °C.

С точки зрения природы основных процессов, протекающих в реакционной системе, эмульсионная полимеризация может быть разбита на три эта-

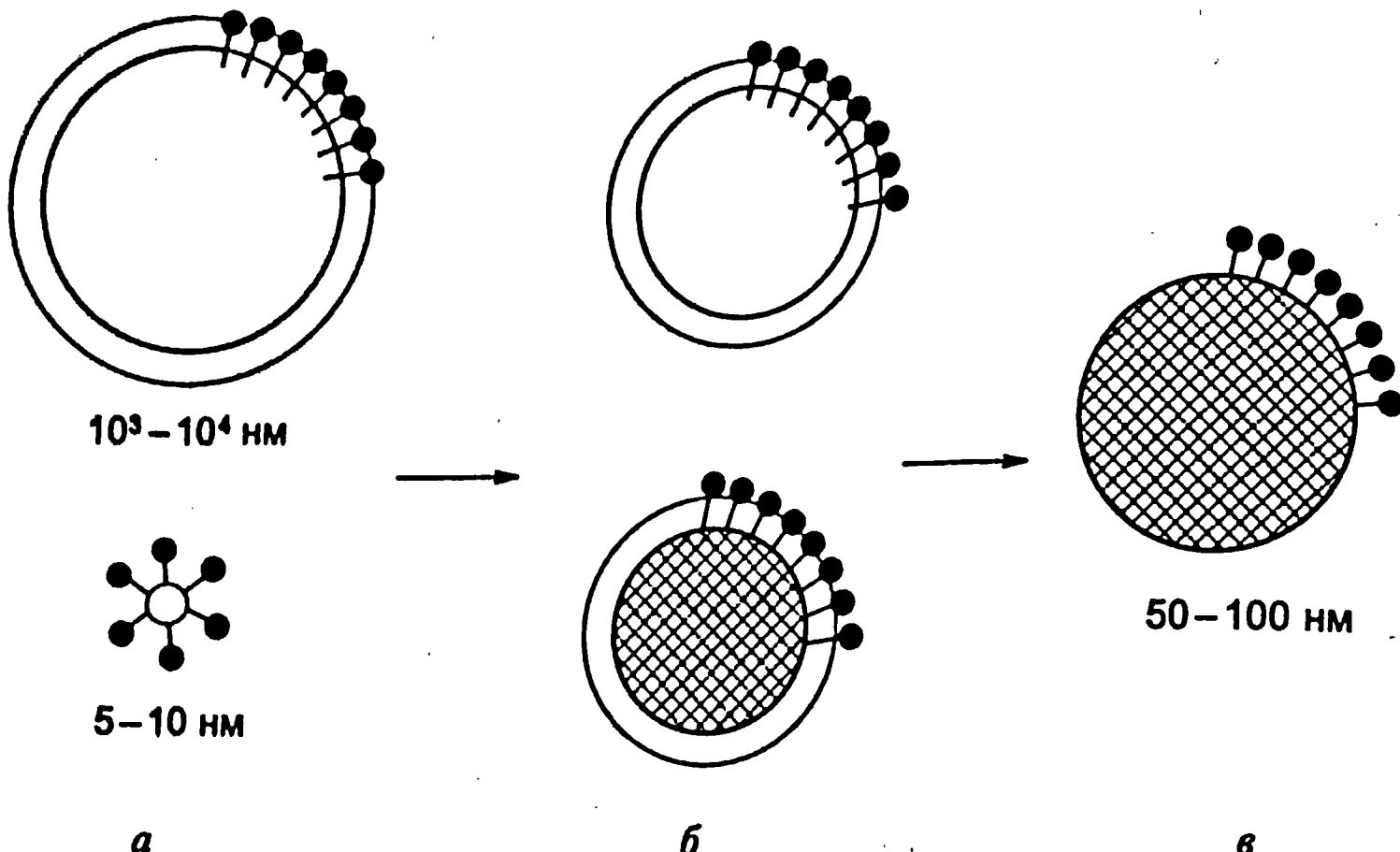


Рис. 5.12. Частицы дисперсной фазы при эмульсионной полимеризации:
а – исходная эмульсия содержит капли мономера, стабилизированные эмульгатором, и мицеллы эмульгатора, насыщенные мономером вследствие сопряженной растворимости; б – реакционная система содержит «похудевшие» капли мономера и полимер-мономерные частицы, образовавшиеся из мицелл; в – конечный продукт – латекс – содержит полимерные частицы, стабилизированные эмульгатором

па. Первый этап является коллоидно-химическим, поскольку его главным результатом является возникновение агрегатов – устойчивых полимер-мономерных частиц (ПМЧ). Существуют три пути их формирования:

1. При эмульсионной полимеризации практически не растворимых в воде мономеров стирола (0,1 г/л) и бутадиена (0,8 г/л) первичные радикалы, образовавшиеся при распаде инициатора в водной фазе, диффундируют в мицеллы, где инициируют полимеризацию находящегося там мономера. В капли радикалы практически не попадают, т.к. суммарная поверхность мицелл примерно на два порядка превышает суммарную поверхность капель.

2. Мономеры, заметно растворимые в воде – винилхлорид (4–15 г/л), винилацетат (25 г/л), полимеризуются достаточно интенсивно в водной фазе. Поскольку соответствующие полимеры в воде не растворимы, в результате образуются ПМЧ, стабилизированные ПАВ, которые находятся в водной фазе.

3. Параллельно с образованием первичных частиц по тому или другому механизму происходит их слипание (коагуляция). В результате удельная поверхность частиц, а с ней и свободная поверхностная энергия уменьшаются, и система становится более устойчивой.

К концу первого этапа число частиц уменьшается на 2–3 порядка и далее не изменяется. Следует подчеркнуть, что размер образовавшихся ПМЧ соизмерим с размером мицелл и много меньше размера мономерных капель. В зависимости от природы мономера на первом этапе образуется 2–12 %

полимера, для частично растворимых в воде мономеров этот этап заканчивается быстрее.

Второй этап эмульсионной полимеризации протекает в псевдостационарных условиях, которые характеризуются относительным постоянством числа частиц, концентрации мономера в них и постоянной концентрацией радикалов роста.

Концентрация мономеров в ПМЧ (20–60 %) поддерживается на одном уровне за счет того, что убыль мономера в результате полимеризации компенсируется его диффузией в ПМЧ из мономерных капель. Ниже приведены стационарные концентраты мономеров в ПМЧ, выраженные в объемных процентах:

Этилен	Винилхлорид	Бутадиен	Стирол	Метилметакрилат	Винилацетат
20	30	50	60	71	85

Стационарная концентрация радикалов роста во время второго этапа эмульсионной полимеризации является следствием постоянства числа ПМЧ, которая составляет величину порядка 10^{14} в см^3 . Если каждая из частиц содержит по одному радикалу, то их средняя концентрация по объему составит величину порядка 10^{-6} моль/л. Это примерно на два порядка превышает среднюю стационарную концентрацию радикалов роста по сравнению с полимеризацией в растворе или блоке и, следовательно, по сравнению с ними скорость обрыва в эмульсионной полимеризации должна быть на четыре порядка выше. Поэтому попадание второго радикала в частицу приводит к немедленной гибели обоих в результате реакции бимолекулярного обрыва. Радикалы поступают в частицы с постоянной скоростью – один радикал в период времени, равный примерно 10 с. Это означает, что каждая ПМЧ периодически становится активной и неактивной в течение равных промежутков времени (5–10 с). В целом, в любой момент времени половина частиц содержит по одному радикалу, другая – ни одного, в среднем же на все частицы приходится по 0,5 радикала. Построенная на этом принципе кинетическая теория Эварта и Смита хорошо описывает эмульсионную полимеризацию практически не растворимых в воде мономеров, например стирола.

В общем случае среднее число радикалов, приходящихся на одну ПМЧ, может быть более или менее 0,5. Первое может иметь место из-за наличия заметного количества больших частиц и не очень высоких скоростей бимолекулярного обрыва, например, из-за гель-эффекта. Второе обычно является следствием выхода радикалов из частиц в водную фазу. Из рассмотренного выше следует, что скорость полимеризации в одной частице v и общая скорость эмульсионной полимеризации V описываются простыми соотношениями:

$$v = k_p[M], \quad (5.65)$$

$$V = \frac{k_p[M]N}{N_A \bar{n}}, \quad (5.66)$$

где $[M]$ – концентрация мономера, \bar{n} – среднее число радикалов в ПМЧ, N – число ПМЧ, N_A – число Авогадро. Отношение N/N_A называется частичной

концентрацией, его присутствие в (5.66) необходимо для того, чтобы получить обычную размерность скорости – моль/(л·с). Уравнение (5.66) не содержит скорости инициирования, однако, она присутствует там в неявной форме, поскольку, наряду с концентрацией ПАВ, определяет число ПМЧ:

$$N = K(V_{\text{ин}}/\mu)^{2.5} q_s [\text{ПАВ}]^{3.5}, \quad (5.67)$$

где $0.37 < K < 0.53$ – постоянная, характеризующая эффективность захвата радикалов ПМЧ; $V_{\text{ин}}$ – общая скорость инициирования; μ – фактор роста, т.е. постоянная, характеризующая скорость увеличения объема частицы; q_s – площадь, занимаемая одной молекулой ПАВ в адсорбционном слое.

Применительно к одной частице, степень полимеризации может быть выражена обычным путем:

$$\bar{p}_n = \frac{k_p[M]}{\nu_0}, \quad (5.68)$$

где ν_0 – скорость гибели радикалов в ПМЧ. Из рассмотренного выше механизма следует, что скорость обрыва и скорость инициирования $\nu_{\text{ин}}$ полимеризации в ПМЧ равны и определяются скоростью поступления радикалов в частицу. Отсюда следует:

$$\nu_0 = \nu_{\text{ин}} = \frac{V_{\text{ин}}}{N}, \quad (5.69)$$

где $V_{\text{ин}}$ – общая скорость инициирования, определяемая скоростью распада инициатора. С учетом (5.68) и (5.69) окончательно имеем:

$$\bar{p}_n = \frac{Nk_p[M]}{V_{\text{ин}}}. \quad (5.70)$$

В том случае, когда в системе присутствует активный передатчик цепи, в уравнение (5.70) вводится соответствующий член, учитывающий реакцию передачи:

$$\bar{p}_n = \frac{k_p[M]}{V_{\text{ин}}/N + k_s[S]}, \quad (5.71)$$

где k_s – константа скорости реакции передачи цепи; $[S]$ – концентрация передатчика в ПМЧ.

Из уравнений (5.66) и (5.70) следует, что увеличение числа частиц приводит к одновременному возрастанию скорости и степени полимеризации. В этом отношении эмульсионная полимеризация принципиально отличается от радикальной полимеризации в массе или растворителе, где увеличение одного обычно приводит к уменьшению другого. На рис. 5.13 отражены характерные черты кинетики эмульсионной полимеризации. Видно, что скорость и степень полимеризации изменяются мало в достаточно большом интервале конверсий и сильно зависят от концентрации эмульгатора.

Молекулярно-массовое распределение при эмульсионной полимеризации ($\bar{M}_w/\bar{M}_n = 1,5 - 2$) обычно уже по сравнению с радикальной полимеризацией в массе или растворителе до глубоких конверсий ($\bar{M}_w/\bar{M}_n = 2 - 5$). Это связано с тем, что в течение большей части процесса (второй этап) молекулярная масса образующегося полимера изменяется незначительно, поскольку на этом этапе N , $[M]$, k_p , $V_{ин}$ остаются практически постоянными. Размер частиц конечного продукта эмульсионной полимеризации, называемого латексом, зависит от концентрации эмульгатора и находится в интервале 50 – 100 нм.

Методом эмульсионной полимеризации производятся бутадиенстирольный, бутадиеннитрильный и полихлоропреновый каучуки, поливинилхлорид, поливинилацетат, полиакрилаты. Значительная часть этих продуктов используется в виде так называемых товарных латексов, какими являются, например, поливинилацетатный клей, эмульсионные лаки и краски на основе акрилатов.

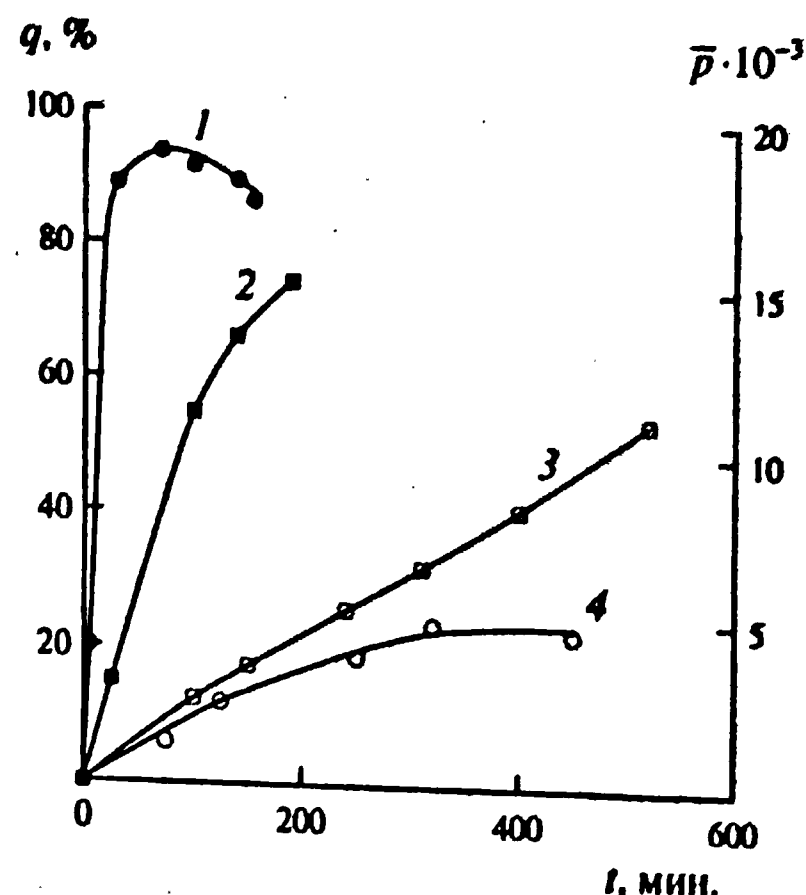


Рис. 5.13. Влияние эмульгатора на эмульсионную полимеризацию стирола, 70 °C; 1, 2 – 0,014 моль эмульгатора; 3, 4 – 0,0035 моль эмульгатора на 100 г стирола и 180 воды; 1, 4 – степень полимеризации; 2, 3 – конверсия

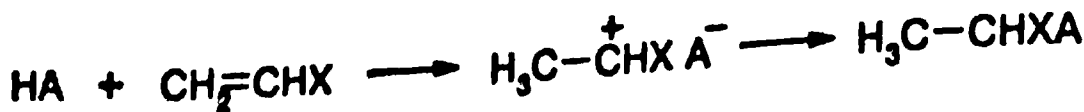
5.2. Катионная полимеризация

5.2.1. Элементарные реакции. Кинетика

Катионная полимеризация является цепной полимеризацией, при которой активным центром на конце растущей цепи является катион. К мономерам кационной полимеризации относятся соединения, содержащие ненасыщенные связи $C=C$, $C=O$ и гетероциклы. Среди виниловых мономеров к кационной полимеризации склонны те, которые имеют электронодонорные заместители, стабилизирующие карбкатион. К ним относятся простые виниловые эфиры $CH_2=CH-O-R$, изобутилен $(CH_3)_2C=CH_2$, стирол, его производные и некоторые другие мономеры.

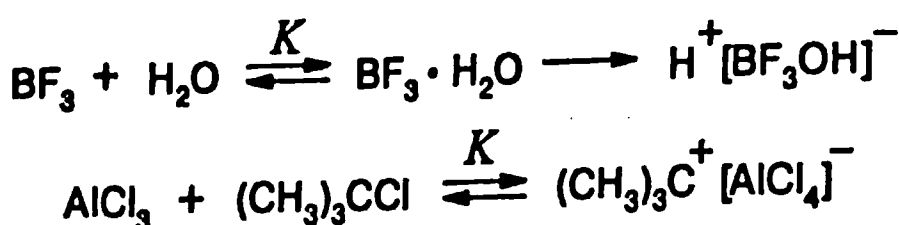
Инициаторами кационной полимеризации являются соединения, способные генерировать реакционноспособные катионы. Она может также возбуждаться ионизирующим излучением и фотохимически. В целом, можно выделить четыре основных способа инициирования кационной полимеризации:

1. Инициирование протонными кислотами. К наиболее употребляемым для инициирования кационной полимеризации относятся CF_3COOH , $HClO_4$, HI и др. Сильные кислоты не могут быть использованы для этой цели из-за чрезмерной нуклеофильности аниона, что приводит к его соединению с карбкатионом и прекращению роста цепи:

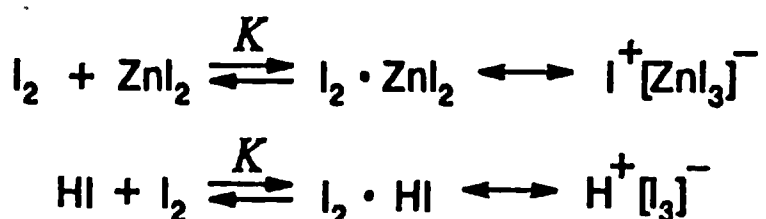


По этой причине смеси сильных кислот с алкенами образуют обычно аддукты состава 1:1 или низкомолекулярные смолы (олигомеры).

2. Кислоты Льюиса в сочетании с соединениями, являющимися донорами протона, или другими соединениями, способными генерировать катион, являются наиболее распространенными инициаторами кационной полимеризации. В качестве кислот Льюиса часто используются BF_3 , FeCl_3 , SnCl_4 , TiCl_4 , AlCl_3 , $\text{AlR}_n\text{Cl}_{6-n}$, POCl_3 и др., доноров протона — H_2O , ROH , RCOOH , доноров карбкатиона — $(\text{CH}_3)_3\text{CCl}$, $(\text{C}_6\text{H}_5)_3\text{CCl}$. Протоны и карбкатионы, способные к электрофильной атаке мономера, возникают в результате образования комплекса между компонентами инициирующей системы:



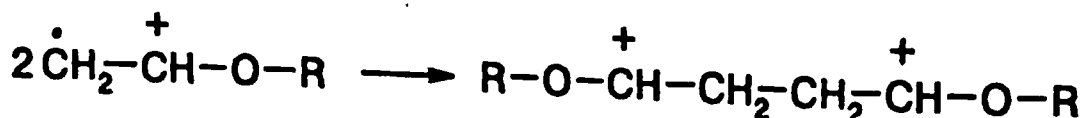
где K — константа равновесия, величина которой влияет на скорость кационной полимеризации. В качестве соинициаторов к кислотам Льюиса могут быть использованы также I_2 , Br_2 , F_2 . В связи с развитием методов псевдоживой кационной полимеризации в последнее время получили особое распространение инициирующие системы, содержащие I_2 в сочетании с ZnI_2 или HI . В последнем случае I_2 ведет себя так же, как и кислота Льюиса.



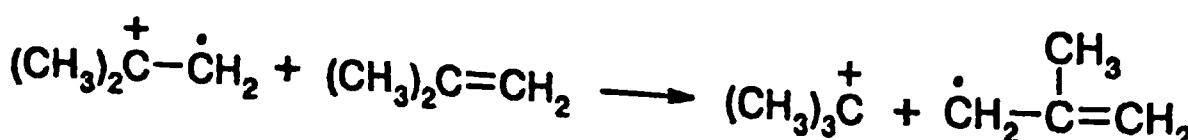
3. Инициирование ионизирующим излучением. При облучении винил-алкиловых эфиров, особенно склонных к кационной полимеризации, ионизирующим излучением на первом этапе образуются катион-радикалы:



которые димеризуются с образованием дикатионов, способных инициировать полимеризацию:

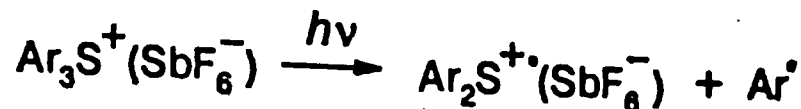


В случае изобутилена, имеющего подвижный атом водорода, возможна реакция катион-радикала с мономером:



В результате образуются две активные частицы – катион и радикал. Изобутилен не способен к радикальной полимеризации, поэтому в данной ситуации возможна лишь катионная полимеризация.

4. Фотоинициирование катионной полимеризации. Данный способ инициирования возможен лишь в присутствии соединений, распадающихся под действием ультрафиолета на реакционноспособные катионы и достаточно стабильные анионы. К ним, в частности, относятся соли диарилиодония связей Ar–I или Ar–S при УФ-облучении, например:

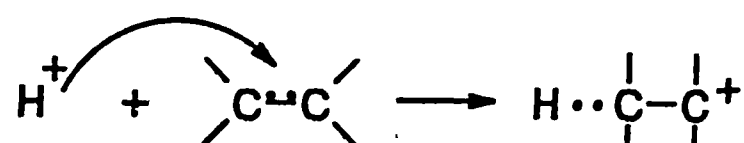


Далее образовавшийся катион-радикал вступает в окислительно-восстановительную реакцию с соединением – слабым донором протона типа спирта или воды:

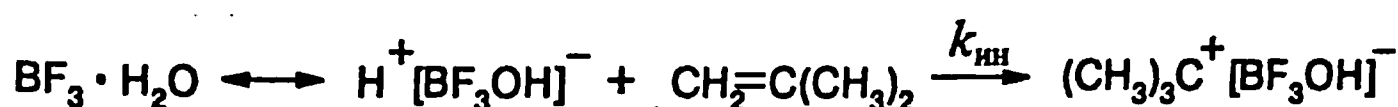


В результате образуется комплекс $\text{H}^+(\text{SbF}_6^-)$, способный инициировать катионную полимеризацию. Фотоинициируемая катионная полимеризация применяется в ряде высоких технологий, например, в прецизионной фотолитографии.

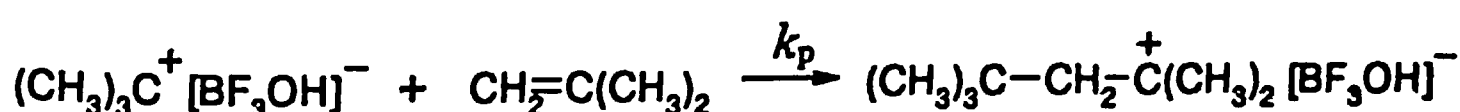
Реакция инициирования катионной полимеризации виниловых мономеров заключается в электрофильной атаке двойной связи мономера протоном или карбкатионом. В результате они образуют σ -связь за счет электронов π -связи мономера, при этом на последнем регенерируется положительный заряд:



Ниже приведена реакция инициирования катионной полимеризации изобутилена комплексом $\text{BF}_3 \cdot \text{H}_2\text{O}$. Соинициатор протонодонорного типа обычно берется в существенно меньшем количестве по сравнению с кислотой Льюиса:

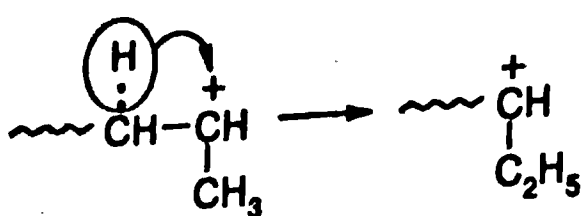


Реакция роста цепи с точки зрения механизма подобна реакции инициирования:



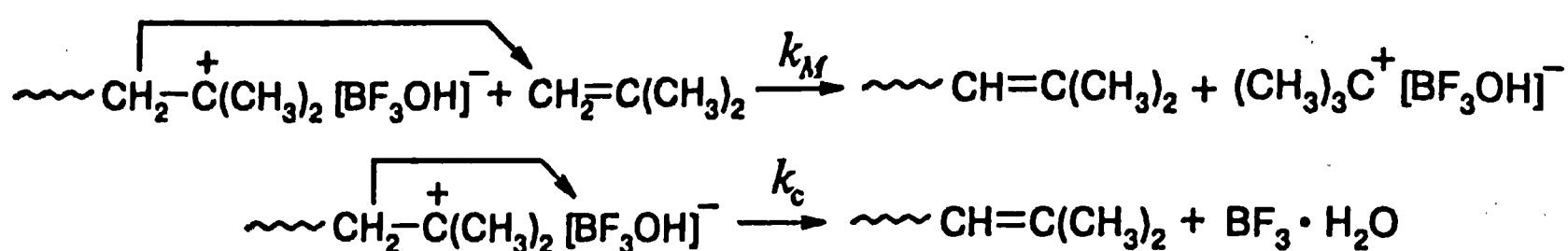
Индукционный эффект, создаваемый двумя метильными группами, стабилизирует образующийся карбкатион. В случае недостаточной устойчивости

сти карбкатиона, например, при полимеризации пропилена, «нормальный» рост цепи может сопровождаться «изомеризационной полимеризацией», протекающей посредством переноса гидрид-иона:



В результате этой внутримолекулярной реакции олигомер пропилена, полученный катионной полимеризацией, содержит в качестве заместителей основной цепи не только метильные, но также этильные и другие углеводородные радикалы. В целом для катионной полимеризации характерны наиболее высокие значения константы скорости роста по сравнению с другими видами цепной полимеризации. Некоторые из них приведены в табл. 5.9.

Реакции передачи цепи. Две реакции определяют молекулярную массу полимера – бимолекулярная реакция передачи цепи на мономер и спонтанная мономолекулярная на противоионы. В обоих случаях отрывается протон от предконцевого атома углерода макрокатиона:



При полимеризации алkenов реакция передачи цепи на мономер может осуществляться по альтернативному механизму путем переноса гидрид-иона от мономера к активному центру:

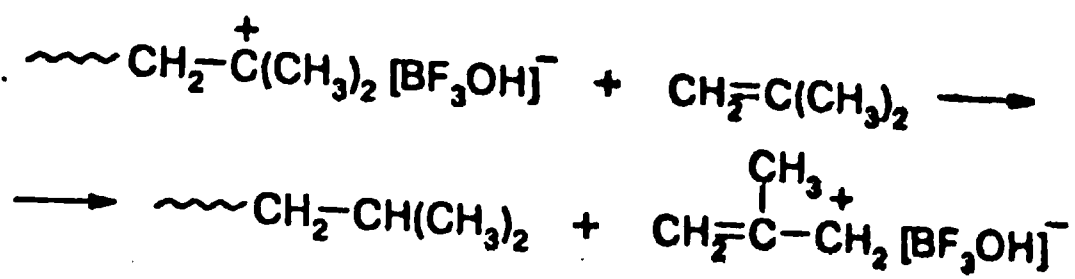
Таблица 5.9

Константы скорости роста в катионной полимеризации

Мономер	Инициатор	Растворитель	$T, ^\circ\text{C}$	$k_p^+ \cdot 10^{-4}, \text{ л}/(\text{моль} \cdot \text{с})$
Изобутилен	ионизирующее излучение	в массе	0	15 000
Стирол	»	»	15	350
<i>n</i> -Метоксистирол	»	CH_2Cl_2	0	300
	$(\text{C}_6\text{H}_5)_3\overset{+}{\text{C}}\text{SbCl}_6^-$		10	36*
N-Винилкарбазол	$(\text{C}_6\text{H}_5)_3\overset{+}{\text{C}}\text{SbF}_6^-$	»	20	60**
Изопропилвиниловый эфир	$(\text{C}_6\text{H}_5)_3\overset{+}{\text{C}}\text{SbCl}_6^-$ ионизирующее излучение	»	0	1,1
Изопрен	»	в массе	0	8,6
				0,2

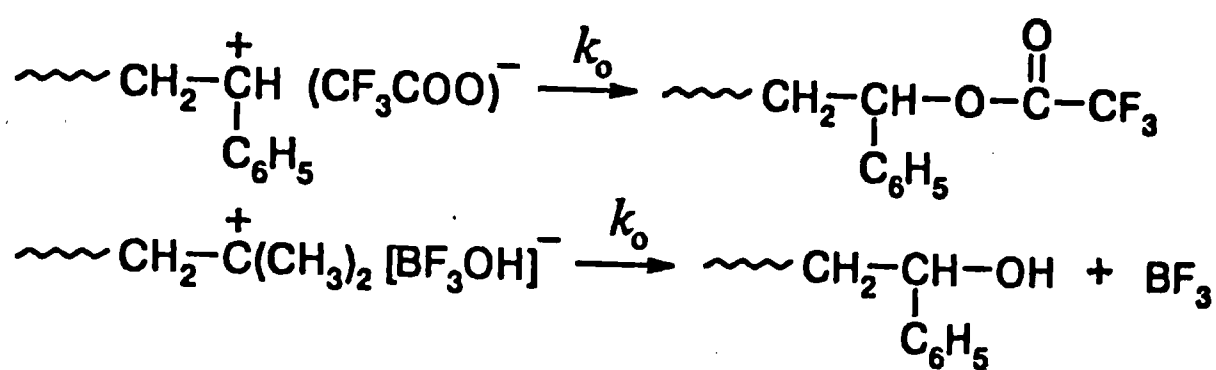
* $k_p^+ = 4,1 \cdot 10^4 \text{ л}/(\text{моль} \cdot \text{с})$.

** $k_p^+ = 5,0 \cdot 10^4 \text{ л}/(\text{моль} \cdot \text{с})$.



Движущей силой этой реакции в приведенном примере является образование аллильного кationа. Однако это не приводит к таким катастрофическим последствиям, к каким приводит образование аллильного радикала вследствие деградационного переноса цепи при radicalной полимеризации.

Реакция обрыва кинетической цепи. Приведенные выше реакции не вызывают обрыва кинетической цепи, поскольку сопровождаются регенерацией активных центров или инициатора. Гибель активных центров или обрыв кинетической цепи в катионной полимеризации происходит в результате присоединения противоиона или его фрагмента к карбкатиону. Ниже приведены примеры обеих реакций:



В качестве передатчиков или обрывателей кинетической цепи в катионной полимеризации могут выступать вещества примесного характера или специально введенные вещества, способные генерировать анионы при атаке карбкатиона, такие как спирты, кислоты, ангидриды.

Скорость полимеризации. Уравнение скорости катионной полимеризации может быть получено тем же путем, которым было получено уравнение скорости radicalной полимеризации – исходя из принципа стационарного состояния. Отличие состоит в том, что при катионной полимеризации реакция обрыва кинетической цепи является мономолекулярной. Уравнение имеет вид:

$$v = \frac{K k_{ii} k_p [I] [IX] [M]^2}{k_o}, \quad (5.72)$$

где K – константа равновесия реакции комплексообразования инициатора и соинициатора; $[I]$, $[IX]$ – концентрации инициатора и соинициатора; k_{ii} , k_p , k_o – константы скоростей инициирования, роста и обрыва цепи.

Степень полимеризации. Выражение для степени полимеризации при катионной полимеризации получается, исходя из тех же соображений, что и в случае radicalной полимеризации – путем деления скорости роста на сумму скоростей обрыва материальной цепи. При необходимости учета реакций передачи цепи более удобно использовать обратную степень полимеризации, что приводит к выражению, весьма напоминающему основное уравнение кинетики radicalной полимеризации:

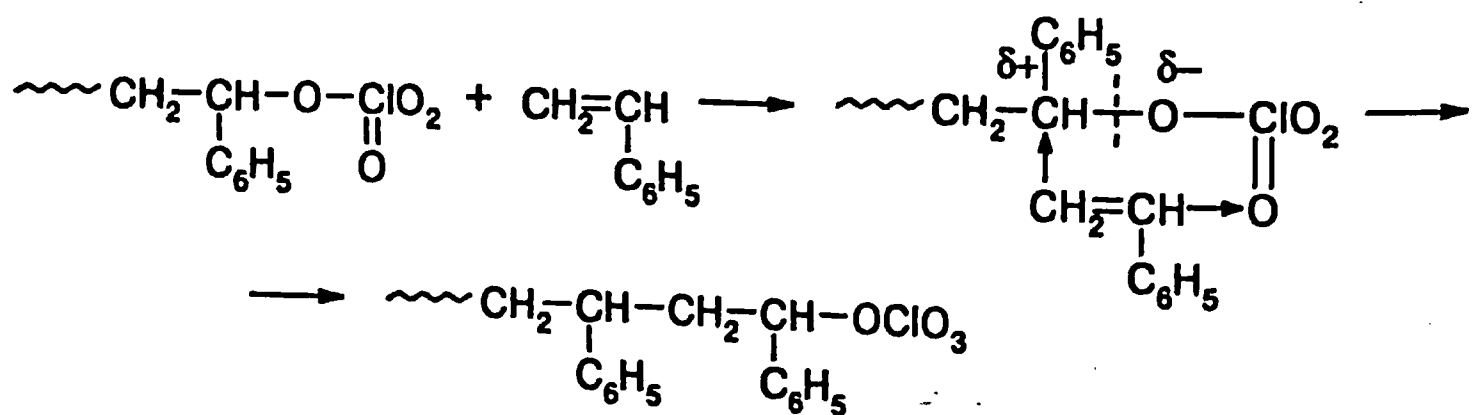
$$\frac{1}{\bar{P}_n} = \frac{k_o[M]}{k_p} + \frac{k_c[M]}{k_p} + C_M + C_S \frac{[S]}{[M]}. \quad (5.73)$$

Здесь $C_M = k_M/k_p$, $C_S = k_S/k_p$ – относительные константы передачи цепи на мономер и растворитель; k_c – абсолютная константа скорости спонтанной передачи цепи на противоион.

Молекулярно-массовое распределение. Молекулярно-массовое распределение в катионной полимеризации аналогично тому, что имеет место на начальной стадии радикальной полимеризации в присутствии передатчика цепи и (или) при обрыве кинетической цепи в результате реакции диспропорционирования макрорадикалов. Эта аналогия обусловлена тем, что в обоих случаях при обрыве одна кинетическая цепь образует одну макромолекулу. Отсюда следует, что на начальной стадии катионной полимеризации $\overline{M}_w/\overline{M}_n = 2$, однако с увеличением конверсии индекс полидисперсности существенно возрастает.

5.2.2. Псевдокационная и псевдоживая катионная полимеризация

В некоторых случаях рост цепи при катионной полимеризации происходит путем присоединения мономера к «скрытой» ионной паре, компоненты которой связаны ковалентной связью. Такая полимеризация называется псевдокационной. Она наблюдается, в частности, на одном из этапов полимеризации стирола в метиленхлориде при -20°C , инициируемой HClO_4^* . Поскольку при достаточно большой скорости полимеризации в реакционной системе не удалось зафиксировать присутствие ионов спектральным и кондуктометрическим методами, был предложен механизм, предполагающий наличие на конце растущей цепи «скрытой» ионной пары, компоненты которой связаны эфирной ковалентной связью. Эта связь поляризуется при образовании комплекса активного центра с вступающим в реакцию мономером, что приводит в дальнейшем к его внедрению по связи $\equiv\text{C}-\text{O}-$:



Механизм псевдоживой катионной полимеризации во многом похож на механизм псевдокационной полимеризации. Реализовать живую катионную полимеризацию оказалось трудной задачей из-за склонности карбкатионов

* Plesh P. N. Makromol. Chem., Macromol. Symp. 13/14. 375 (1998).

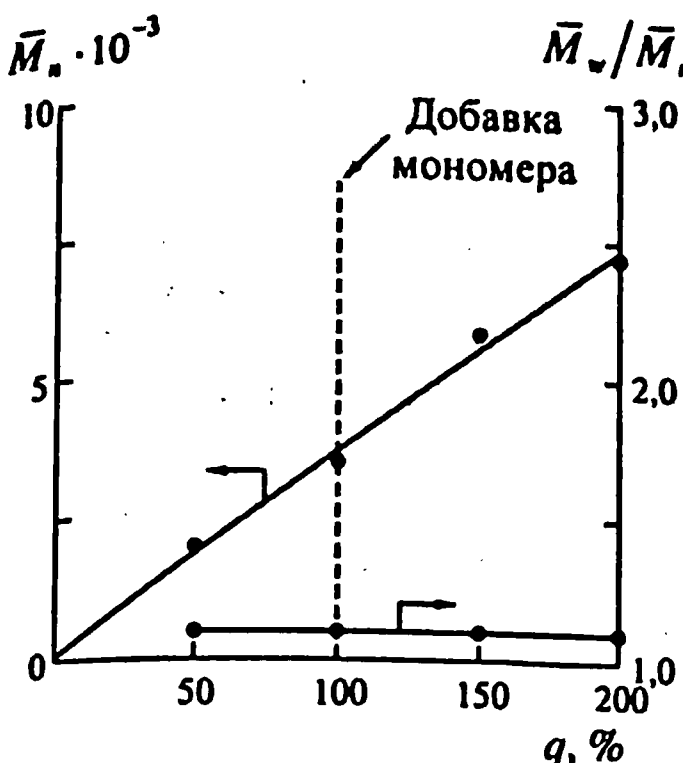
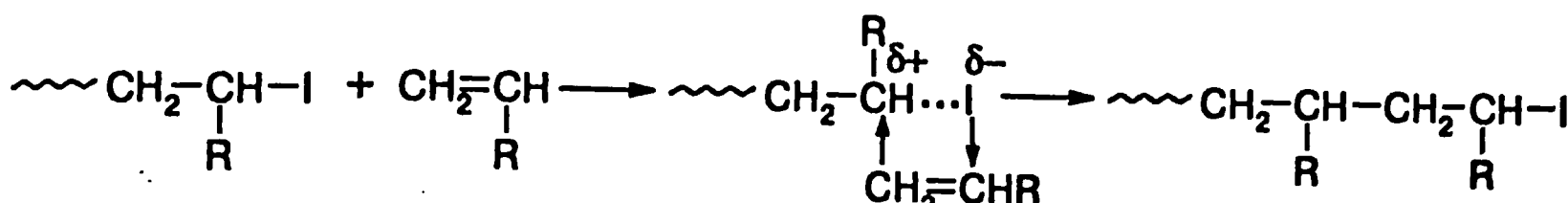
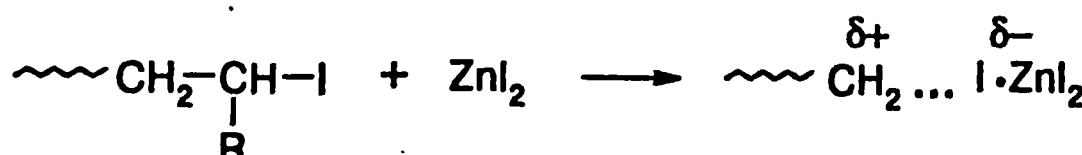


Рис. 5.14. Псевдокатионная полимеризация изобутилвинилового эфира, инициируемая $ZnI_2 \cdot I_2$

к передаче на мономер и противоион. При реализации режима псевдоживой катионной полимеризации в качестве инициатора наиболее часто применяются системы, содержащие иод, например $I_2 + HI$, $HI + ZnI_2$. Ион I^- является весьма нуклеофильным и, вследствие этого, склонен образовывать с карбкатионами ковалентную связь аналогично тому, как это было рассмотрено выше для псевдокатионной полимеризации. В этом состоянии активная группа на конце цепи проявляет минимальную активность в реакциях передачи и обрыва цепи. Присоединяющийся мономер способствует растягиванию и поляризации ковалентной связи активной группы, что приводит к внедрению его по этой связи:



Растяжению ковалентной связи конечной активной группы способствуют кислоты Льюиса, образующие комплекс с концевым атомом йода:



Поэтому кислоты Льюиса часто являются компонентами инициирующей системы псевдоживой катионной полимеризации особенно в том случае, когда электроноакцепторные свойства заместителя R при двойной связи мономера недостаточны. На рис. 5.14 приведены данные псевдокатионной полимеризации изобутилвинилового эфира, которые отражают три характерных признака «живой» ионной полимеризации:

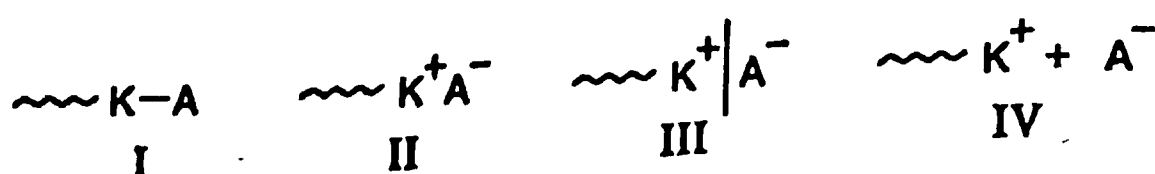
линейный рост молекулярной массы полимера с конверсией;

узкое молекулярно-массовое распределение и параметр полидисперсности, близкий к единице;

«консервацию» живых цепей по исчерпании мономера и продолжение их роста при добавлении новой порции мономера.

5.2.3. Влияние растворителя и температуры

Роль растворителя в катионной полимеризации заключается, прежде всего, в его влиянии на степень разделенности ионных пар на концах растущих цепей. Существует четыре типа активных центров в катионной полимеризации, которые принято характеризовать как ковалентносвязанные (I), контактные (II), разделенные (III) ионные пары и свободный карбкатион (IV):



В большинстве случаев при полимеризации существуют активные центры II – IV, находящиеся в равновесии друг с другом. Относительное содержание свободных ионов не превышает нескольких процентов, однако, они оказывают большое влияние на скорость полимеризации, поскольку реакционная способность активных центров возрастает в ряду I << II << III < IV. Полярные растворители смещают равновесие в сторону образования разделенных ионных пар и свободных ионов, что приводит к увеличению общей скорости полимеризации. При этом должна возрастать и степень полимеризации, однако такой эффект наблюдается не всегда, поскольку большинство полярных растворителей являются активными передатчиками или обрывателями кинетической цепи в катионной полимеризации. Поэтому катионная полимеризация обычно проводится в неполярных растворителях типа пентана или в малополярных, таких как $\text{ClCH}_2-\text{CH}_2\text{Cl}$, CH_3Cl . Из растворителей повышенной полярности обычно используют нитросоединения, например нитробензол. В наибольшей степени скорость катионной полимеризации изменяется в том случае, когда замена растворителя на более полярный приводит к кардинальному изменению природы активных центров – от ковалентных (I) до ионных (III, IV). Такой эффект наблюдается в описанной выше полимеризации стирола, инициируемой HClO_4 , при -20°C . Скорость полимеризации увеличивается в 1000 раз при переходе от малополярного растворителя (CCl_4 , $\epsilon = 2,24$) к умеренно полярному (1,2-дихлорэтан, $\epsilon = 9,72$). Столь значительные эффекты скорее являются исключением. Дело в том, что сolvатация ионов приводит к уменьшению их реакционной способности как активных центров. Этот эффект в значительной степени нейтрализует эффект, связанный с увеличением степени диссоциации ионной пары, и в результате скорость полимеризации в полярных растворителях возрастает примерно на порядок.

Растворитель может также оказывать заметное влияние на порядок скорости полимеризации по мономеру. Если его сольватирующая способность по отношению к карбкатиону больше по сравнению с мономером, то порядок скорости по концентрации последнего равен трем, в противоположном случае или при соизмеримой сольватирующей способности – двум. Первый случай имеет место при полимеризации стирола, инициируемой SnCl_4 в CCl_4 , второй – в бензole.

Выражение для суммарной энергии активации скорости и степени в катионной полимеризации может быть получено аналогично тому, как это сделано ранее при рассмотрении радикальной полимеризации. Исходя из уравнения (5.72), легко показать, что:

$$E_V = E_{ii} + E_p - E_o, \quad (5.74)$$

где E_{ii} , E_p , E_o – энергии активации реакций инициирования, роста и обрыва цепи.

Для катионной полимеризации знак E_V может изменяться в зависимости от условий полимеризации. При катионной полимеризации стирола, ини-

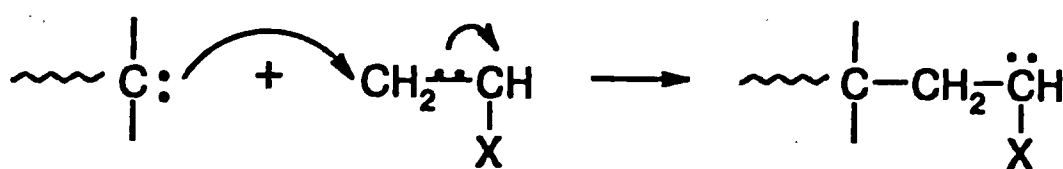
цируемой $\text{TiCl}_4 \cdot \text{H}_2\text{O}$ в $\text{ClCH}_2-\text{CH}_2\text{Cl}$, $E_V = -35,5$ кДж/моль, а при полимеризации того же мономера в том же растворителе, инициируемой трихлоруксусной кислотой, $E_V = +33,5$ кДж/моль. В целом, значения суммарной энергии активации скорости катионной полимеризации находятся в широком интервале от -30 до $+40$ кДж/моль. В зависимости от знака E_V понижение температуры будет увеличивать (что бывает чаще) или уменьшать скорость катионной полимеризации. В отличие от предыдущего энергия активации степени полимеризации $E_{\bar{p}}$ всегда меньше нуля. Это связано с тем, что

$$E_{\bar{p}} = E_p - E_M, \quad (5.75)$$

где E_M – энергия активации реакции передачи цепи на мономер, наиболее значимой из реакций, приводящих к ограничению материальной цепи, и $E_M > E_p$.

5.3. Анионная полимеризация

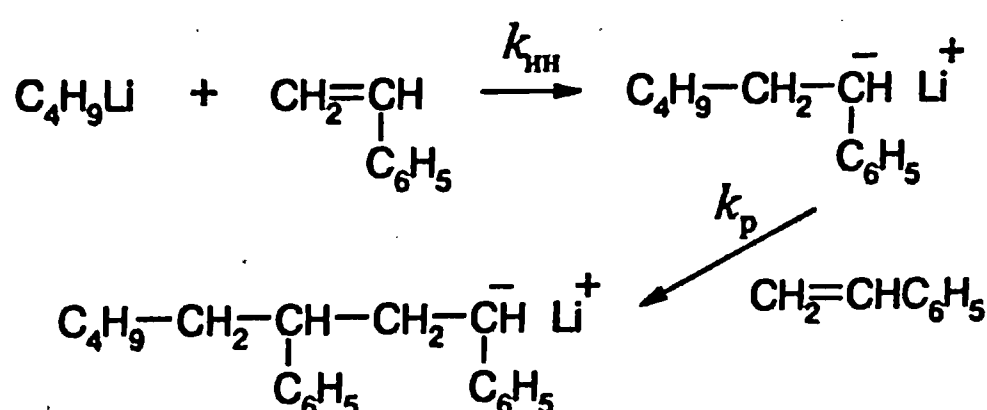
Анионной называется цепная полимеризация, при которой активными центрами на концах растущих цепей являются анионы. Акт роста цепи заключается в нуклеофильной атаке аниона на β -углеродный атом мономера, в результате чего возникает новая σ -связь, а пара электронов π -связи смещается на конечный α -атом углерода:



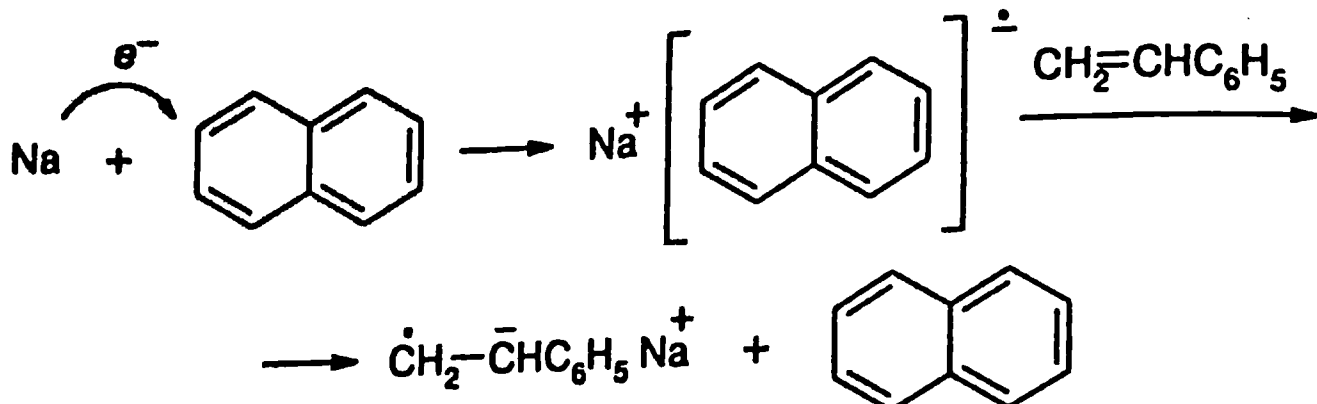
5.3.1. Основные реакции инициирования

Анионная полимеризация инициируется металлами I и II групп, их алкилами, арилами, амидами, алкоксидами, слабыми основаниями – гидроксидами, аминами и фосфинами, а также ионизирующим излучением.

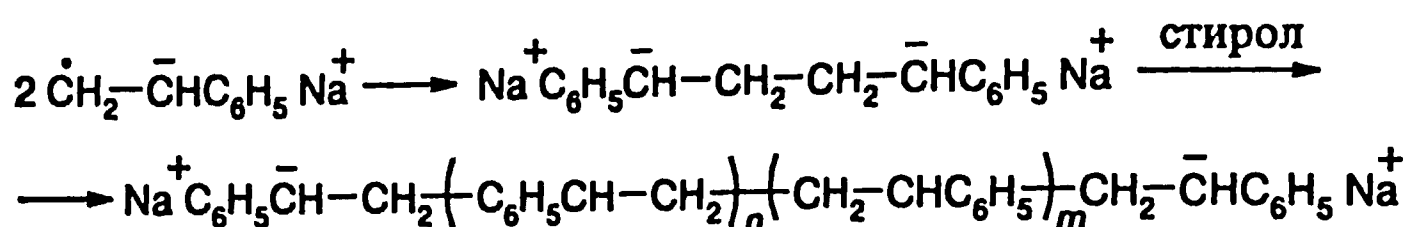
Алкилы и арилы металлов. Наиболее часто, особенно в промышленности, в качестве инициаторов анионной полимеризации используют металлоорганические соединения, например *n*-бутиллитий. Ниже приведены реакции инициирования и роста цепи с участием этого инициатора:



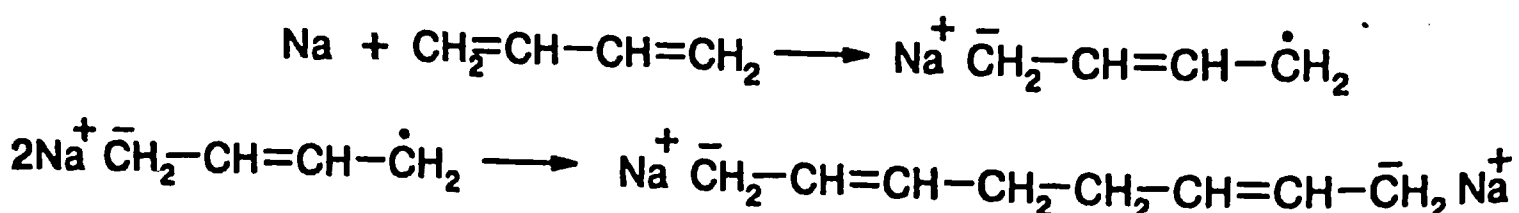
Особый интерес представляет процесс инициирования анионной полимеризации арилами щелочных металлов, так как он включает стадию переноса электрона между реагентами. Так, при смешении натрия и нафталина образуется комплекс с переносом заряда. При добавлении стирола последний вытесняет нафталин из донорно-акцепторного комплекса:



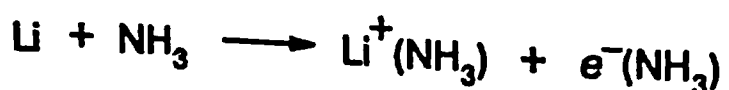
Образовавшийся анион-радикал стирола димеризуется с образованием дианиона, который инициирует далее полимеризацию:



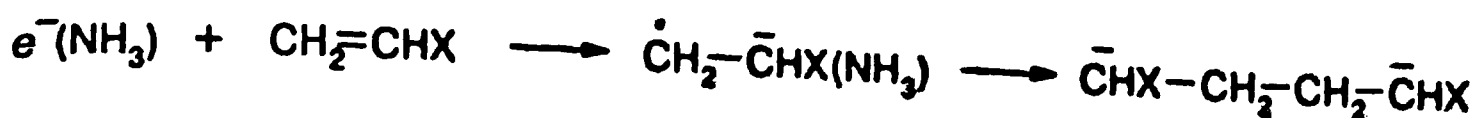
Металлы. Довольно часто анионную полимеризацию инициируют щелочными металлами. Дисперсия металла в этом случае должна содержать частицы возможно меньшего размера, т.к. увеличение удельной поверхности гетерогенного катализатора существенно увеличивает скорость реакции. Очень часто щелочные катализаторы наносят в виде зеркала, т.е. тончайшей пленки на стенки сосуда. Реакция инициирования, как и в предыдущем случае, включает стадию переноса электрона, однако, детали механизма зависят от природы мономера и растворителя. Так, при полимеризации диенов в массе или в неполярных растворителях имеет место перенос электрона от натрия к мономеру, образовавшиеся анион-радикалы димеризуются и далее полимеризация инициируется дианионами:



При растворении лития в полярном растворителе – жидким аммиаке – образуются сольватированные электроны, что придает раствору голубую окраску:

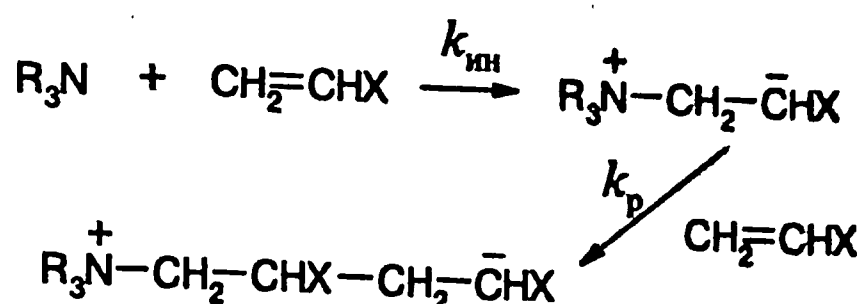


Сольватированные электроны могут присоединяться к молекулам мономера с образованием анион-радикалов, которые далее димеризуются:



Затем дианионы инициируют полимеризацию аналогично предыдущим случаям.

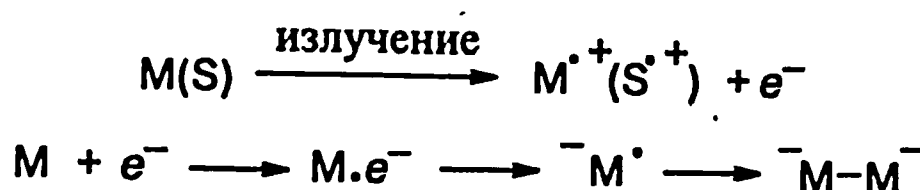
Слабые основания. Амины и фосфины инициируют анионную полимеризацию посредством образования цвиттерионов:



При росте цвиттерионов положительный анион одного из них может являться противоионом при растущем конце другого:



Ионизирующее излучение. При облучении реакционной смеси частицы и кванты высокой энергии выбивают из молекул электроны, которые сольватируются мономерами, что приводит к образованию дианионов, способных инициировать полимеризацию:

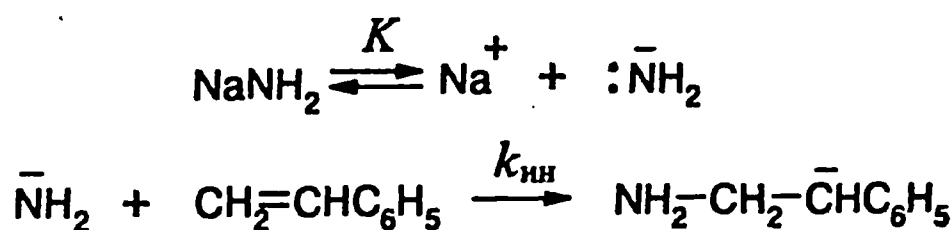


В рассматриваемом случае мономерами являются акрилонитрил или метилметакрилат, электроноакцепторные заместители которых способствуют стабилизации карбаниона.

5.3.2. Кинетика анионной полимеризации с обрывом цепи

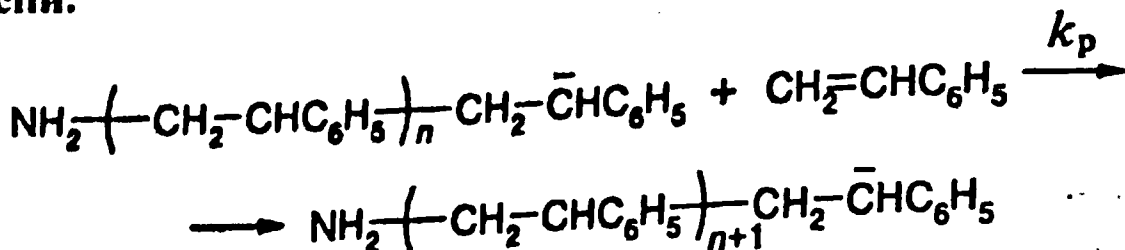
Классическим примером анионной полимеризации с ярко выраженными реакциями передачи и обрыва цепи является полимеризация стирола в жидким аммиаке, инициируемая амидом щелочного металла.

1. Инициирование:

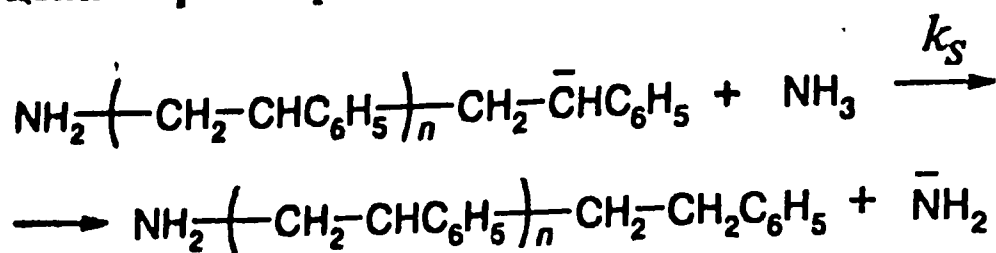


Вследствие высокой полярности жидкого аммиака активными центрами на концах растущих цепей являются свободные анионы.

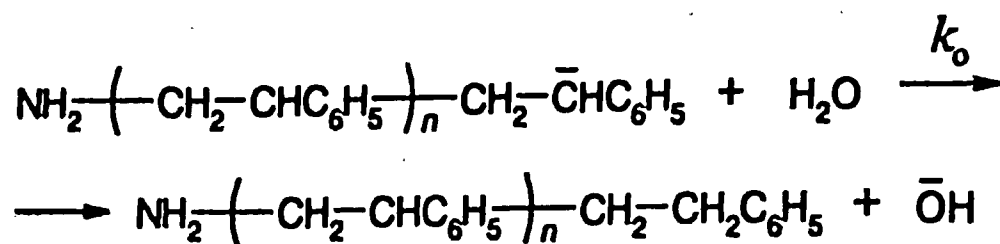
2. Рост цепи:



3. Передача цепи на растворитель:



4. Обрыв цепи:



Как и для любой другой цепной полимеризации, уравнение скорости легко может быть получено, исходя из принципа стационарного состояния. Выражения для скорости роста, инициирования и обрыва цепи выглядят следующим образом:

$$V = k_p[m^-][M], \quad (5.76)$$

$$V_{ii} = \frac{Kk_{ii}[M][\text{NaNH}_2]}{[\text{Na}^+]}, \quad (5.77)$$

$$V_o = k_o[\text{H}_2\text{O}][m^-]. \quad (5.78)$$

Из условия стационарности, предполагающего равенство скоростей инициирования и обрыва цепи, $V_{ii} = V_o$, получаем выражение для стационарной концентрации анионов роста $[m^-]$. Подставляя его в уравнение (5.76) для скорости роста цепи, равной скорости полимеризации, приходим к конечному результату:

$$V = \frac{Kk_{ii}k_p[M]^2[\text{NaNH}_2]}{k_o[\text{Na}^+][\text{H}_2\text{O}]} \quad (5.79)$$

Средняя степень полимеризации выражается обычным способом:

$$\bar{p} = \frac{V_p}{V_o + V_s}, \quad (5.80)$$

$$\frac{1}{\bar{p}} = \frac{k_o[\text{H}_2\text{O}][m^-] + k_s[\text{NH}_3][m^-]}{k_p[m^-][M]}, \quad (5.81)$$

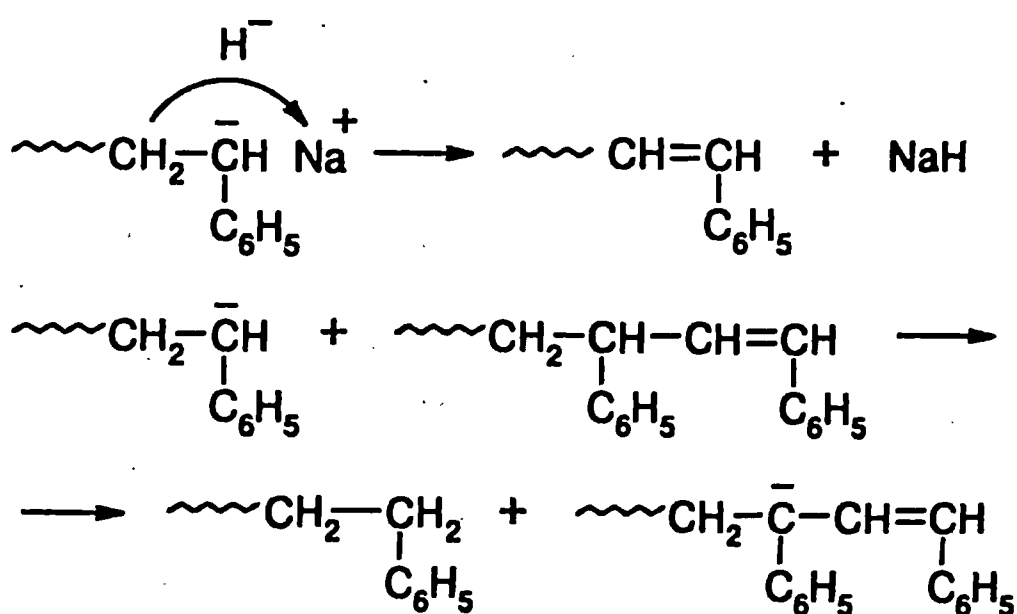
$$\frac{1}{P} = C_{H_2O} \frac{[H_2O]}{[M]} + C_s \frac{[NH_3]}{[M]}, \quad (5.82)$$

где $C_{H_2O} = k_o/k_p$; $C_s = k_s/k_p$.

5.3.3. Живая полимеризация. Блок-сополимеры

Впервые живую анионную полимеризацию наблюдали Абкин и Медведев в 1930-х гг., однако систематически исследовал этот процесс Шварц в 50-х гг. XX в., и к настоящему времени анионная полимеризация получила широкое распространение.

Карбанионы являются относительно более устойчивыми и, следовательно, менее реакционноспособными частицами по сравнению с карбкатионами, поэтому при анионной полимеризации неполярных мономеров в неполярных и малополярных растворителях, например, стирола или бутадиена-1,3 в бензоле, тетрагидрофуране или 1,2-диметилоксиэтилене, отсутствуют все основные реакции обрыва материальной и кинетической цепи. Полимеризация продолжается до полного исчерпания мономера, и по ее окончании активные центры (анионы) макромолекул сохраняются 1–2 недели. В течение этого периода полимеризация может быть возобновлена при добавлении новой порции мономера. Считается, что медленная дезактивация активных центров связана с реакциями, начинающимися с переноса гидридиона на противоион:



Образующийся в результате последней реакции аллильный анион не способен инициировать анионную полимеризацию.

Причины, затрудняющие живую полимеризацию полярных мономеров, таких как (мет)акрилаты, менее ясны, предположительно их связывают с реакциями функциональных групп мономеров как с исходным металлогорганическим инициатором, так и с карбанионами. Живая полимеризация полярных мономеров проводится при очень низкой температуре с тем, чтобы избежать упомянутых реакций.

Все основные признаки живой цепной полимеризации – линейный рост молекулярной массы с конверсией, узкое молекулярно-массовое распределение, возможность получения блок-сополимеров – наиболее ярко выражены

ны для живой анионной полимеризации. В частности, именно этим методом получают на практике монодисперсные полимеры (обычно полистирол), используемые как стандарты в гель-хроматографии. При $k_o = 0$ и при $k_{in} \gg k_p$, т.е. при скорости инициирования, намного превышающей скорость роста, скорость и степень полимеризации выражаются простыми зависимостями:

$$V = k_p[M][I], \quad (5.83)$$

$$\bar{p} = q \frac{n[M_0]}{[I]}, \quad (5.84)$$

где $[M_0]$ и $[M]$ – начальная и текущая концентрации мономера; $[I]$ – начальная концентрация катализатора; $q = 1 - \frac{[M]}{[M_0]}$ – степень превращения мономера;

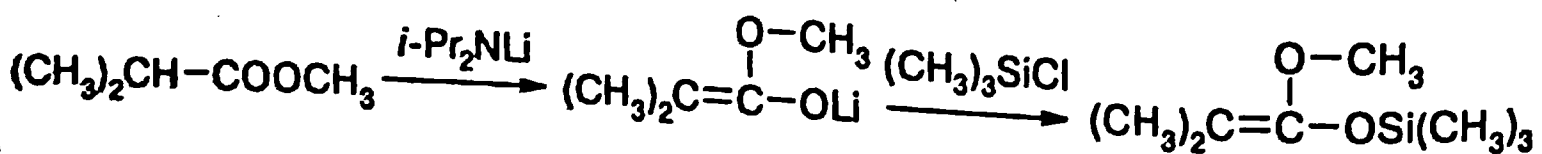
n – число растущих концов в макромолекуле. Из предыдущего видно, что при инициировании полимеризации $n\text{-C}_4\text{H}_9\text{Li}$ $n = 1$; в том случае, когда на стадии инициирования имеет место перенос электрона и образование ион-радикалов, $n = 2$.

Живая ионная полимеризация используется в промышленности для получения блок-сополимеров. Общий метод состоит в том, что по окончании полимеризации одного мономера к его живым цепям добавляется другой мономер. В некоторых случаях важен порядок, т.е. очередьность полимеризации разных мономеров. Так, живые цепи полистирола могут инициировать полимеризацию метилметакрилата, но не наоборот. Отсюда следует, что существуют лишь двух- и трехблочные (в зависимости от инициатора) блок-сополимеры этих мономеров. В общем случае путем последовательной живой анионной полимеризации разных мономеров могут быть получены мультиблочные сополимеры, содержащие много разных блоков. Наиболее известными из блок-сополимеров являются так называемые термоэластопласти, в которых один блок относится к эластомерам, другой – к пластикам. Термоэластопласти обладают комплексом необычных свойств, промежуточных между свойствами каучуков и пластиков. Среди термоэластопластов наиболее распространены блок-сополимеры стирола с бутадиеном и изопреном.

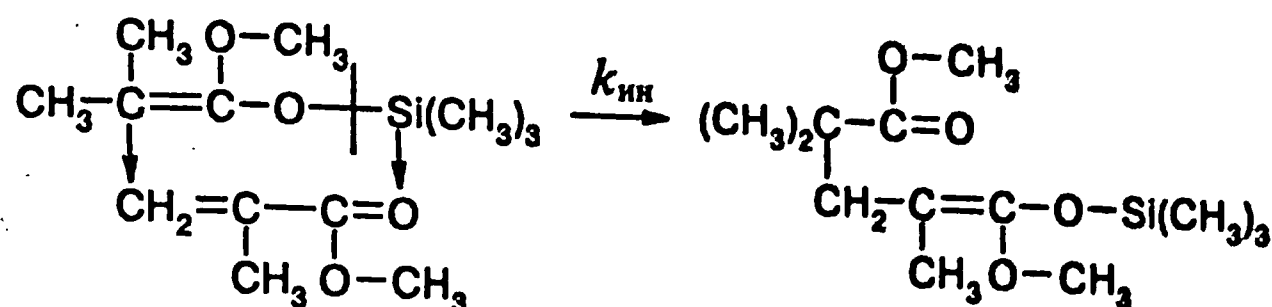
5.3.4. Полимеризация с переносом группы

Живая полимеризация таких полярных мономеров, как акриловые и метакриловые эфиры, может быть проведена при существенно более высокой температуре по сравнению с традиционным методом в процессе, получившим название полимеризация с переносом группы.

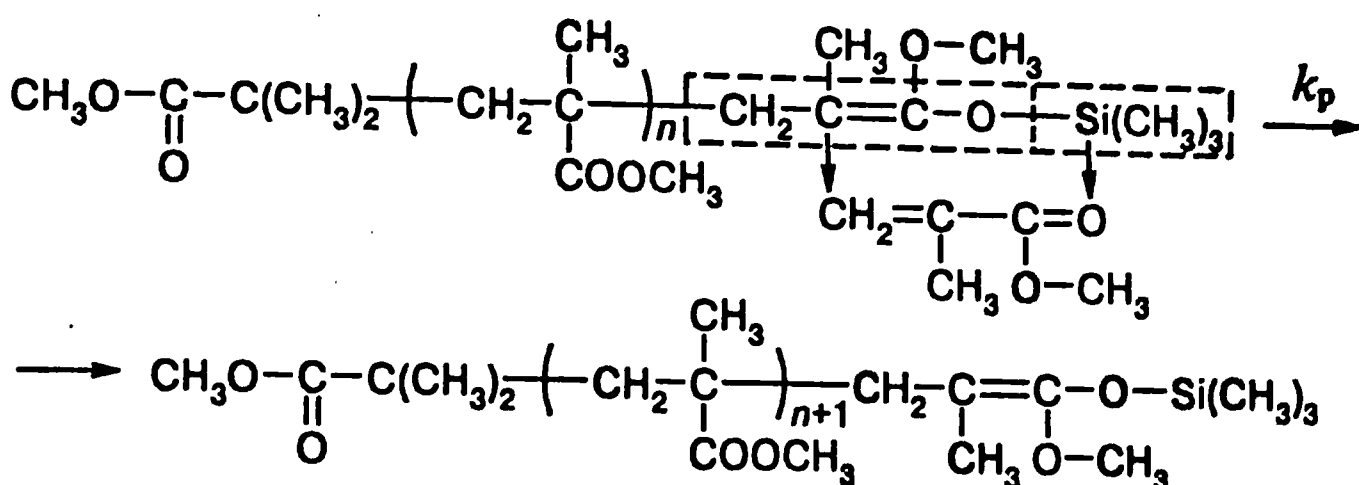
Наиболее распространенным и изученным инициатором этой реакции является силилкетенацеталь, получаемый по следующей схеме:



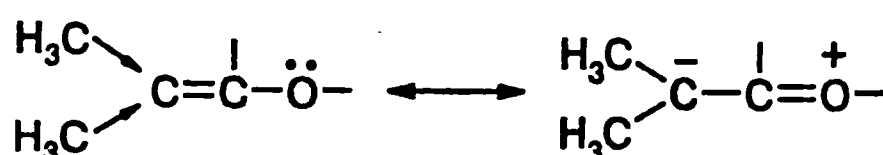
Инициирование заключается в согласованной по двум направлениям (указаны стрелкой) реакции силилкетенацетала с мономером, сопровождаемой переносом триметилсилильной группы:



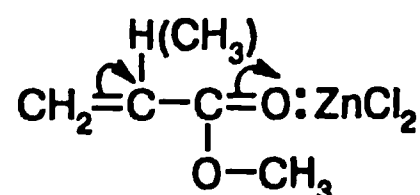
Реакция роста протекает по аналогичному механизму и также сопровождается переносом триметилсилильной группы, что приводит к воспроизведению силилкетенацетальной группы на конце растущей цепи:



Ключевое значение в механизме рассматриваемых реакций имеет нуклеофильная атака двойной связи мономера. Атакующий атом имеет значительный частичный отрицательный заряд вследствие сочетания индуктивных и мезомерного эффектов в кетенацетальной группировке:



поэтому данную полимеризацию можно рассматривать как псевдоанионную. Для того, чтобы повысить электрофильность двойной связи мономера, часто используют в качестве одного из катализаторов кислоты Льюиса, которые образуют комплекс с (мет)акриловым эфиrom по карбонильной группе:



В качестве катализаторов другого типа применяют нуклеофилы, которые способствуют перемещению триметилсилильной группы. В качестве нуклеофила часто используют фторид-ион F^- , образующийся при диссоциации $(\text{n-C}_4\text{H}_9)_4\text{NF}$.

Методом полимеризации с переносом группы живая полимеризация метилметакрилата была осуществлена при существенно положительных температурах до $+50^\circ\text{C}$. Это обстоятельство, более широкий круг растворителей, включая полярные, такие как диметилформамид и ацетонитрил, а так-

же инертность по отношению к кислороду делают данный метод более привлекательным по сравнению с традиционным методом живой анионной полимеризации. Однако для получения полимера с молекулярной массой порядка 10^5 требуется тщательная очистка реагентов от примесей, в том числе и от следов воды. При получении высокомолекулярных полимеров предпочтительнее наличие в качестве сокатализаторов нуклеофилов типа F^- , CN^- , HF_2^- , которые облегчают перенос группы.

5.3.5. Влияние температуры, растворителя и противоиона

В анионной полимеризации, так же как и в катионной, активные центры на концах растущих цепей могут находиться в виде ионных пар с различной степенью разделенности зарядов и свободных ионов. Влияние растворителя и противоиона на скорость анионной полимеризации больше по сравнению с катионной и обусловлено, в первую очередь, изменением степени диссоциации ионной пары. О влиянии растворителя можно судить, исходя из значений эффективных констант скорости роста. Для живой анионной полимеризации скорость роста описывается выражением (5.83). Типичный пример приведен в табл. 5.10, из которой следует, что с увеличением полярности растворителя эффективная константа скорости роста макроаниона полистирола возрастает на три порядка.

Влияние противоиона иллюстрируется данными анионной полимеризации стирола. Изменение природы противоиона в порядке $Li^+ > Na^+ > K^+ > Rb^+ > Cs^+$ приводит к закономерному изменению константы диссоциации ионной пары ($2,2; 1,5; 0,8; 0,1; 0,02 \cdot 10^{-7}$ моль/л, что, в свою очередь, вызывает уменьшение константы скорости роста $160, 80, 70, 65, 22$ л/(моль · с). Эффект связан с уменьшением плотности заряда противоиона и степени его сolvатации растворителем в приведенном ряду. Естественно, что реакционная способность свободных ионов роста не зависит от природы противоиона – во всех случаях $k_p^- = 6,5 \cdot 10^4$ л/(моль · с).

Влияние температуры на скорость анионной полимеризации связано с двумя эффектами – изменением степени диссоциации ионной пары и арениусовой зависимостью констант скоростей роста с участием различных типов активных центров от температуры. Энергия активации диссоциации

Таблица 5.10

Влияние растворителя на анионную «живую» полимеризацию стирола, $25^\circ C$, натрий-нафталиновый комплекс $3 \cdot 10^{-3}$ моль/л

Растворитель	Дизэлектрическая постоянная ϵ	$k_p' \cdot 10^4$, л/(моль · с)
Бензол	2,2	2
1,4-Диоксан	2,2	5
Тетрагидрофуран	7,6	550
1,2-Диметоксиэтан	5,5	3800

* Эффективная константа скорости роста.

Таблица 5.11

Кинетические и термодинамические характеристики реакции роста цепи при живой полимеризации стирола, инициируемой натрий-нафталином, 20 °C, тетрагидрофуран

Тип ионной пары	Характеристика*	Значение
Контактная	k_c E_c A_c	24 л/(моль · с) 36,0 кДж/моль $6,3 \cdot 10^7$ л/(моль · с)
Сольватно-разделенная	k_s E_s A_s	$5,5 \cdot 10^4$ л/(моль · с) 19,7 кДж/моль $2,08 \cdot 10^8$ л/(моль · с)
Свободный ион	$k_{\bar{p}}$ $E_{\bar{p}}$ $A_{\bar{p}}$ K	1,3 · 10 ⁵ л/(моль · с) 16,6 кДж/моль $1,0 \cdot 10^8$ л/(моль · с) $4,0 \cdot 10^{-8}$ моль/л, 20 °C $79,1 \cdot 10^{-8}$ моль/л, -48 °C

* k_c , k_s , $k_{\bar{p}}$; E_c , E_s , $E_{\bar{p}}$; A_c , A_s , $A_{\bar{p}}$ – константы скорости, энергии активации, частотные факторы (предэкспоненциальные множители) реакции роста цепи с участием контактных пар, сольватированных (разделенных) и свободных ионов, K – константа диссоциации.

ионной пары отрицательна, поэтому при уменьшении температуры константа ее диссоциации возрастает, что можно видеть из данных нижней части табл. 5.11.

Из табл. 5.11 следует, что энергии активации реакции роста с участием всех типов активных центров положительны, следовательно, соответствующие константы скоростей роста цепи с уменьшением температуры уменьшаются. Противоположное влияние температуры на константы диссоциации ионной пары и константы скорости реакции роста приводит к низким значениям эффективной энергии активации живой анионной полимеризации в хороших, т.е. сольватирующих растворителях. Так, при полимеризации стирола, инициируемой натрий-нафталином в сольватирующем растворителе тетрагидрофурane, $E = 4,2$ кДж/моль. Однако при той же полимеризации в плохом, слабо сольватирующем растворителе диоксане $E = 37,6$ кДж/моль. Это объясняется тем, что в слабо сольватирующих растворителях, подобных диоксану, константа диссоциации слабо зависит от температуры. Поэтому значение эффективной суммарной энергии активации определяется в основном энергией активации реакции роста, которая достаточно велика для реакции с участием контактных пар, преобладающих в несольватирующих растворителях.

В табл. 5.11 приведены также значения констант скоростей реакции роста анионной полимеризации стирола с участием различных типов активных центров. Видно, что наиболее значительно – на три порядка – отличаются константы скорости роста на контактных и сольватно-разделенных ионных парах, что связано с наибольшей разницей в энергиях активации соответствующих элементарных актов.

5.4. Ионно-координационная полимеризация

Среди разных видов цепной полимеризации ионно-координационная имеет особое значение, поскольку она позволяет получать стереорегулярные полимеры, способные к кристаллизации. При «свободном росте» цепи как в радикальной, так и в ионной полимеризации сколь-нибудь действенные факторы стереоконтроля растущей цепи практически отсутствуют. Так, в радикальной полимеризации конечное звено радикала, включающее ненасыщенный атом углерода sp^2 -гибридизации, свободно вращается вокруг конечной C–C-связи основной цепи. Фиксация его пространственного положения происходит случайным образом при присоединении следующего мономерного звена.

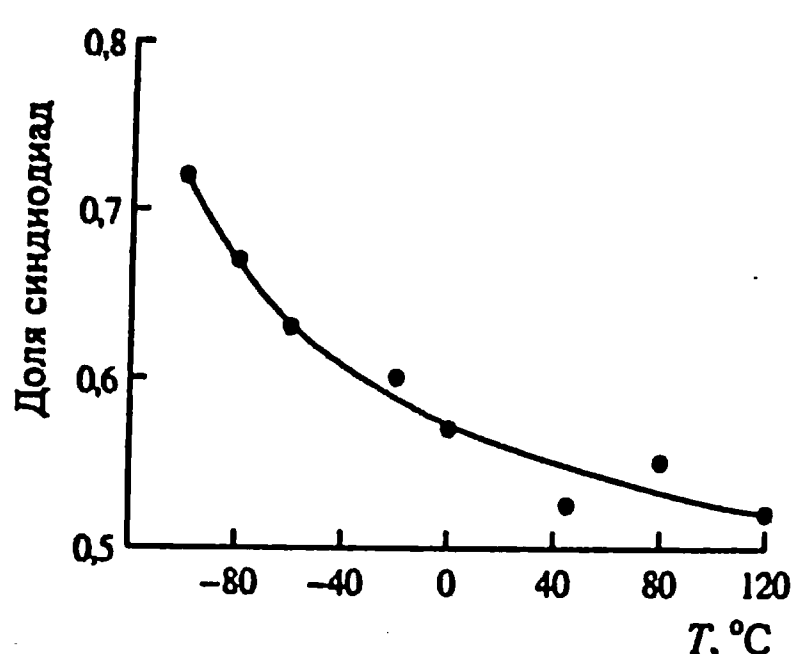


Рис. 5.15. Влияние температуры на относительное содержание синдиодиад при радикальной полимеризации метилметакрилата

Разница энергий активации присоединения мономера в *цис*- или *синдио*-положение по отношению к предыдущему звену очень незначительна – порядка 4–8 кДж/моль, что сопоставимо с энергией теплового движения. Поэтому при цепной полимеризации со свободным ростом цепи образуется атактический полимер с некоторым избытком синдиотактических диад и триад, относительное количество которых возрастает с уменьшением температуры (рис. 5.15). Причина этого явления состоит в том, что синдиоструктура энергетически более выгодна по сравнению с изоструктурой, для которой характерно отталкивание заместителей из-за объемного и электростатического взаимодействия.

Из изложенного ясно, что для осуществления стереохимического контроля роста цепи необходимо фиксировать пространственное положение мономера в момент его присоединения к активному центру и далее до следующего акта реакции роста. Эта задача решается при координационно-ионной полимеризации за счет образования координационной связи мономера с атомом активного центра растущей цепи.

5.4.1. Катализаторы Циглера–Натта. Исторический аспект

В 1932 г. Штаудингер впервые указал на то, что полимеры виниловых мономеров, подобные полистиролу, содержат в основной цепи макромолекул асимметричные атомы углерода. Позднее Бун предположил, что стереорегулярная цепь из-за стерического отталкивания заместителей должна сворачиваться в спираль типа 3/1 (3 звена на один виток) с периодом идентичности 0,62 нм. Именно такую структуру обнаружил спустя 12 лет Натта для изотактического полипропилена.

Первый синтез стереорегулярного полимера – поливинилизобутилового эфира осуществил Шильдкнехт в начале 1950-х гг. У волокон такого полимера была обнаружена кристаллическая структура с периодом 0,62 нм. В то же время работы в данной области проводил Натта. Он внимательно следил за работами Циглера, который на катализаторах AlR_3 получал олигомеры этилена. Натта сразу оценил значение одного из опытов Циглера, в котором на катализитической системе AlR_3-TiCl_4 был получен полиэтилен. Он применил эту систему к полимеризации пропилена и впервые получил стереорегулярный изотактический полипропилен, упомянутый выше. Большое значение в успехе Натта имело примененное им фракционирование полимера в кипящих растворителях, позволившее выделить стереорегулярную кристаллизующуюся фракцию, содержание которой в первых опытах не превышало 40 %. В короткий срок Натта и его сотрудники получили целый ряд других стереорегулярных полимеров α -олефинов, диенов и стирола на катализаторах «Циглера – Натта».

Значение катализаторов Циглера – Натта состоит в следующем. Они являются наиболее универсальными инициаторами стереорегулярной полимеризации многих мономеров и только с их помощью могут быть вовлечены в полимеризацию α -олефины; на этих катализаторах при умеренном давлении получается полиэтилен, по свойствам принципиально отличный от продукта радикальной полимеризации.

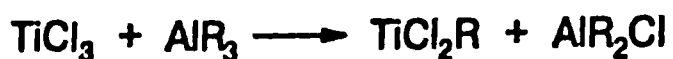
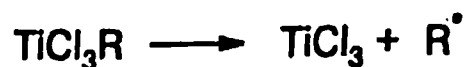
В настоящее время под катализаторами Циглера – Натта понимают комбинацию двух соединений – переходного металла и металла I–III групп. В более узком смысле слова под этими катализаторами понимают систему $TiCl_3+AlR_nCl_{3-n}$. Первоначально Циглер использовал систему $TiCl_4+Al(C_2H_5)_3$, позже было осуществлено два важных улучшения катализатора. В качестве соединения переходного металла стали использовать α , γ , δ кристаллические формы $TiCl_3$. Это привело к существенному возрастанию доли изотактической структуры в полипропилене (до 90 %). Далее, для увеличения удельной поверхности катализатора он стал наноситься на частицы высокодисперсных порошков, лучшим из которых оказался порошок $MgCl_2$. Достигнутое увеличение активности нанесенного катализатора связывают не только с увеличением на 1–2 порядка его удельной поверхности, но и с вхождением ионов магния в кристаллическую решетку $TiCl_3$. Эффективность стереоконтроля реакции роста удалось повысить добавками к катализаторам Циглера – Натта небольших количеств органических оснований Льюиса, например алкилбензоатов. Усовершенствованные подобным образом современные катализаторы Циглера – Натта позволяют на 1 г титанового компонента катализатора получать до 1 т полипропилена с почти 100 %-м содержанием изотактической структуры. За свои работы Циглер и Натта были удостоены Нобелевской премии по химии.

5.4.2. Полимеризация на гетерогенных катализаторах Циглера – Натта

Формально в большинстве случаев полимеризация на катализаторах Циглера – Натта может быть отнесена к анионно-координационной. Это относится, прежде всего, к полимеризации неполярных мономеров, таких как этилен, α -олефины, стирол. Мономеры с электронодонорными заместителями, такие

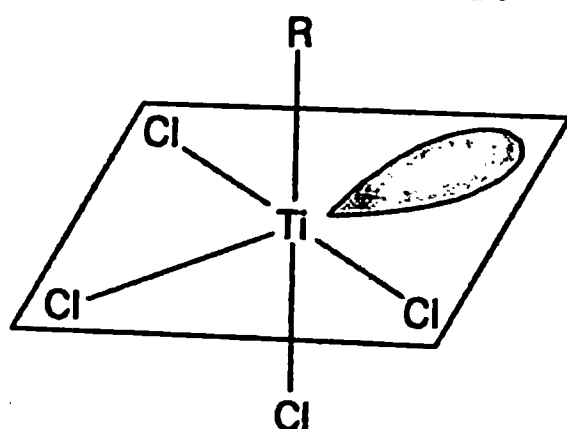
как α -метилстирол или изобутилен, а также винилацетат и акрилаты полимеризуются по катионному или анионному механизму (в зависимости от полярности двойной связи), но при свободном росте цепи. Мономеры основного характера «отравляют» катализаторы Циглера – Натта.

Катализатор Циглера – Натта образуется в результате сложных процессов, развивающихся при смешении компонентов катализатора. На поверхности кристаллов $TiCl_3$ ($TiCl_4$) образуется нерастворимый координационный комплекс, в котором $TiCl_4$ ($TiCl_3$) является донором, а AlR_3 – акцептором электронов. Образование комплекса сопровождается рядом реакций, из которых наиболее значима реакция алкилирования переходного металла, поскольку в дальнейшем присоединение мономера в реакции роста происходит по связи $Ti-C$:

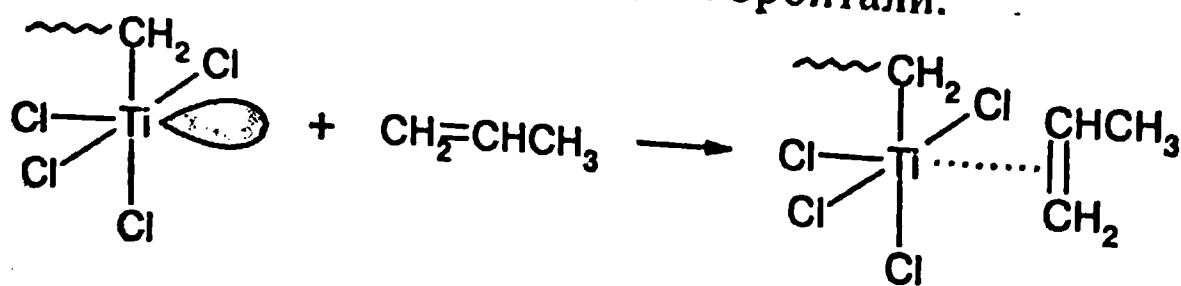


В ходе восстановления Ti^{4+} до Ti^{3+} образуются радикалы, что объясняет известные факты инициирования радикальной полимеризации некоторых мономеров катализаторами Циглера – Натта.

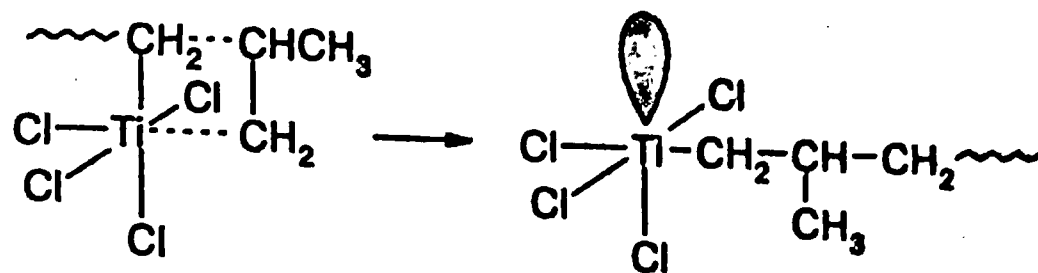
Существуют две модели активного центра на гетерогенном катализаторе Циглера – Натта: моно- и биметаллическая. Согласно первой модели, активные центры, включающие связь $Ti-C$, локализованы на поверхности одной из кристаллических модификаций $TiCl_3$. Атом титана активного центра имеет пять лигандов и одну вакантную октаэдрическую орбиталь. Четыре лиганда – атомы хлора – он делит с соседними атомами титана кристаллической решетки, пятым является углеводородный радикал или растущая полимерная цепь. В целом, ориентация лигандов и вакантной орбитали атома титана активного центра соответствует октаэдру:



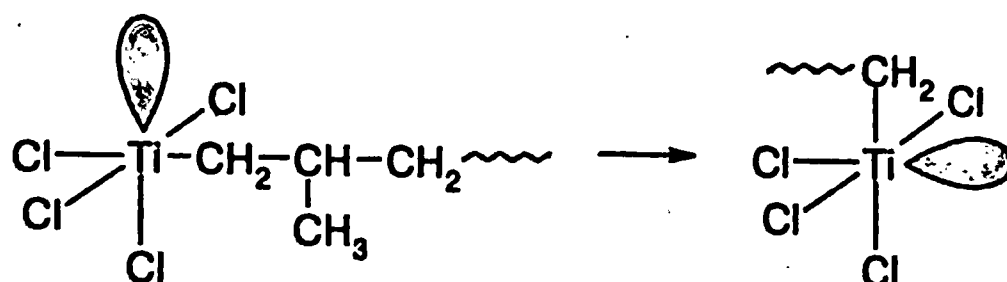
Реакции инициирования и роста в полимеризации на катализаторах Циглера – Натта практически не отличаются, поскольку во всех случаях имеет место внедрение мономера по связи $Ti-C$. Выделяют три стадии этой реакции. На первой стадии мономер координируется на атоме титана октаэдрического активного центра за счет свободной орбитали:



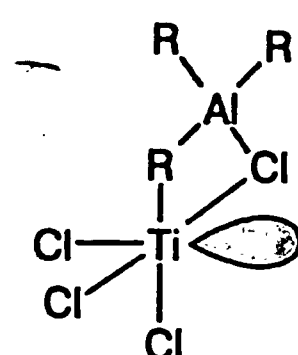
На второй стадии координированный мономер внедряется по связи Ti-C. При этом вакантная орбиталь регенерируется, однако, ее пространственное положение изменяется, что хорошо видно из схемы:



В результате в следующем акте роста мономер должен был бы присоединиться в другой стереохимической конфигурации. Факты, однако, указывают на то, что при полимеризации на катализаторах Циглера–Натта пропилен присоединяется всегда в одной и той же пространственной конфигурации, что приводит к формированию изотактической структуры цепи. Из этого следует необходимость существования третьей стадии, в ходе которой восстанавливается исходное пространственное положение вакантной орбитали:



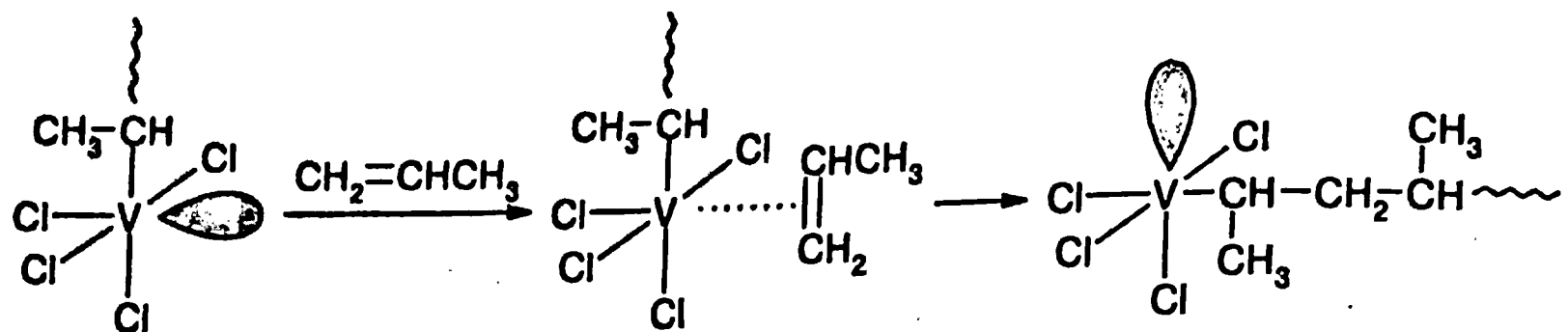
Биметаллический активный центр отличается от монометаллического тем, что атомы непереходного и переходного металлов, как это видно из приведенной схемы, имеют общие лиганды:



Считается, что атом непереходного металла стабилизирует биметаллический активный центр. В основном механизм присоединения остается тем же, что и рассмотренный выше. Механизм стереорегулирования в обоих случаях обусловлен объемными и электростатическими взаимодействиями заместителя при двойной связи мономера и окружения титана, т.е. лигандов переходного металла.

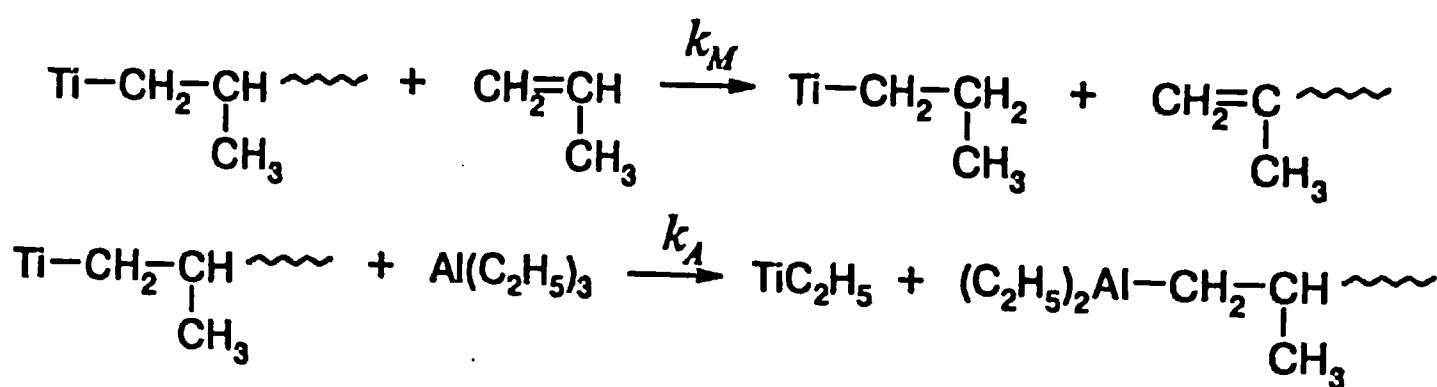
Синдиотактическая полимеризация менее характерна для катализаторов Циглера–Натта, она реализована для пропилена, стирола и бутадиена на растворимых катализаторах, наиболее распространенными из которых являются $VCl_4-Al(C_2H_5)_3$ и дициклопентадиенильные производные титана в комбинации с AlR_3 . Полимеризация проводится при низкой температуре от -40 до $-78^{\circ}C$, поскольку уменьшение последней приводит к увеличению выхода синдиотактической структуры полимера.

Механизмы стереорегулирования при изо- и синдио-присоединении имеют также общие черты. В обоих случаях образуется октаэдрический комплекс переходного металла, имеющий вакантную орбиталь, при этом мономер присоединяется по связи переходный металл – углерод:

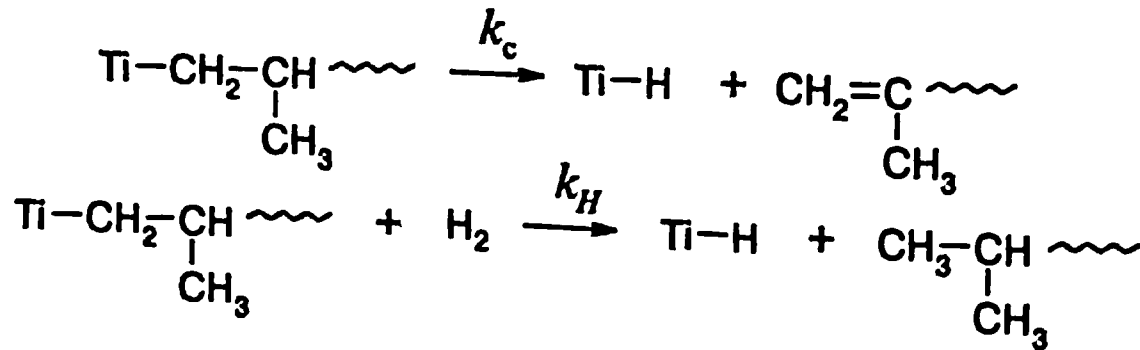


При стереорегулярной синдиотактической полимеризации, в отличие от рассмотренной выше изотактической, отсутствует стадия миграции растущей цепи в координационной сфере атома ванадия, поэтому ориентация вакантной орбитали изменяется после каждого акта присоединения мономера. Это способствует последовательной смене пространственной конфигурации присоединяющихся мономерных звеньев. Как уже говорилось, синдио-присоединение является энергетически более выгодным из-за отталкивания метильных групп мономера и концевого звена. Это взаимодействие, а также отталкивание метильной группы конечного звена и лигандов координационной сферы ванадия препятствуют вращению вокруг связи V–C и стабилизируют пространственное положение конечного звена.

Реакции передачи и обрыва цепи оказывают заметное влияние на полимеризацию в присутствии катализаторов Циглера – Натта. Наиболее значимы реакции передачи цепи на мономер и алкилы неперходного металла:



а также реакции спонтанного обрыва и обрыва на соединениях с подвижным атомом водорода, включая молекулярный водород:



Последнюю реакцию используют в промышленности для регулирования молекулярной массы полимера. Ни одна из приведенных выше реакций не способна к реинициированию. Поэтому полимеризацию, инициируемую катализаторами Циглера – Натта, можно рассматривать как живую полимеризацию.

При полимеризации на гомогенных катализаторах Циглера-Натта скорость полимеризации может быть выражена, как обычно, через скорость роста цепи:

$$V = k_p [C^*][M], \quad (5.85)$$

где $[C^*]$ – концентрация активных центров. При полимеризации, инициируемой гетерогенными катализаторами, необходимо учитывать закономерности адсорбции мономера и сокатализатора на поверхность $TiCl_3$. В простейшем случае, когда сокатализатор не оказывает влияния на адсорбцию мономера, а последняя описывается изотермой Ленгмюра, имеем:

$$V = \frac{k_p K_M [C^*][M]}{1 + K_M [M]}, \quad (5.86)$$

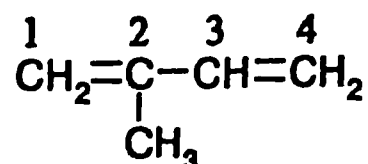
где $[M]$ – концентрация мономера в жидкой фазе; K_M – константа равновесия адсорбции мономера на гетерогенном катализаторе. Степень полимеризации выражается, как обычно, делением скорости роста на сумму скоростей обрыва материальной цепи. С учетом четырех рассмотренных ранее реакций передачи и обрыва цепи для обратной степени полимеризации имеем:

$$\frac{1}{\bar{P}} = \frac{k_M}{k_p} + \frac{k_c}{k_p K_M [M]} + \frac{k_A K_A [A]}{k_p K_M [M]} + \frac{k_H [H]}{k_p K_M [M]}, \quad (5.87)$$

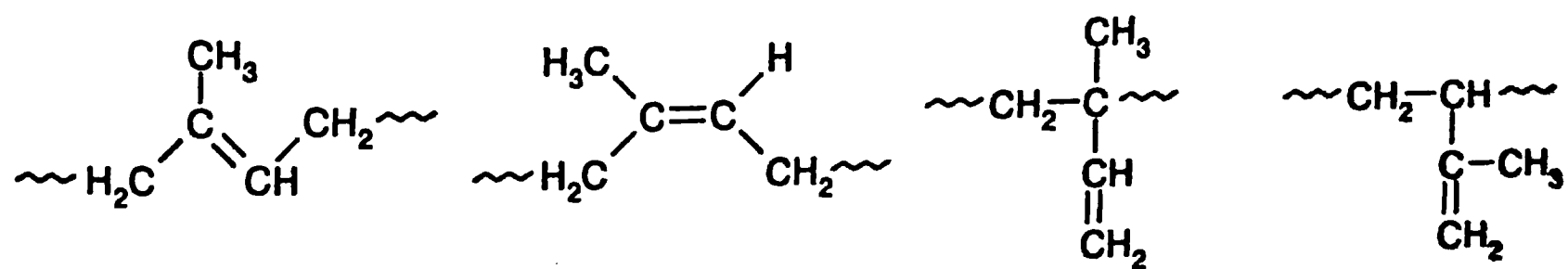
где k_M , k_A – константы скорости реакций передачи цепи на мономер и алкил непереходного металла, k_c , k_H – константы скорости обрыва – спонтанного и на молекулярном водороде (или на соединениях с подвижным атомом водорода), K_A – константа адсорбции алкила непереходного металла, $[H]$ – концентрация водорода или соединения с подвижным атомом водорода в зоне реакции.

5.4.3. Анионно-координационная полимеризация диенов

Механизм полимеризации диенов-1,3, инициируемой литийорганическими соединениями, определяется природой растворителя. В зависимости от условий полимеризации в полимерной цепи изопрена

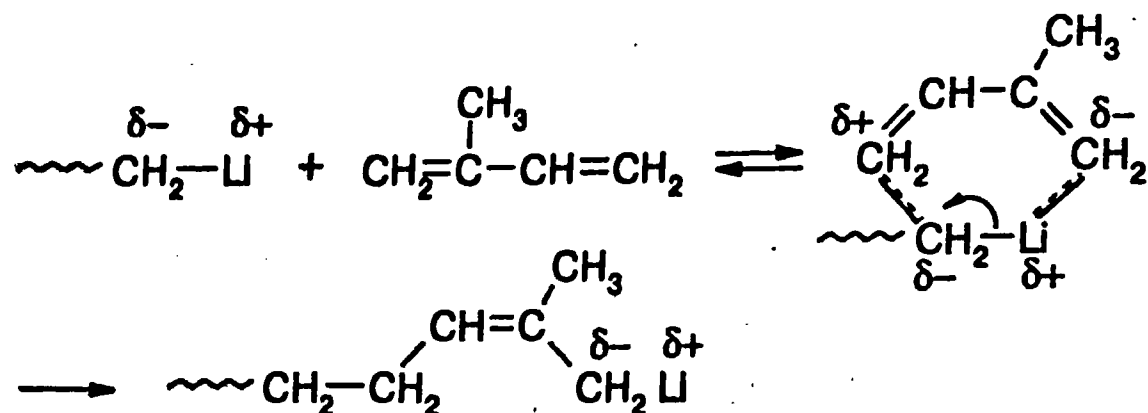


могут быть обнаружены четыре типа изомерных звеньев:

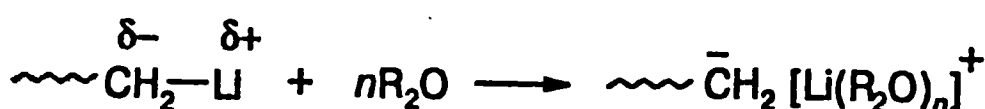


Цифры в названиях изомерных звеньев обозначают номер атома углерода, входящего в основную цепь молекулы полизопрена.

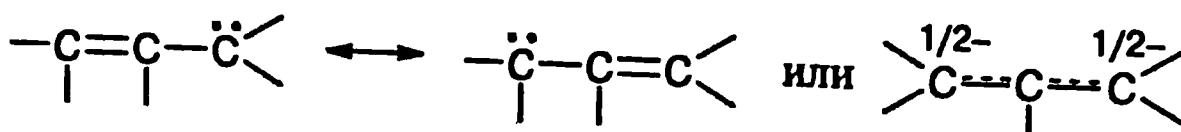
Впервые полимеризацию изопрена в присутствии катализатора – металлического натрия – осуществил в 1932 г. С. В. Лебедев, что привело к созданию промышленности синтетического каучука в СССР. В 1954 г. А. А. Коротков получил из изопрена стереорегулярный каучук, применив в качестве катализатора литийорганические соединения. В неполярных углеводородных растворителях реакции роста предшествует координация мономера на недиссоциированном активном центре:



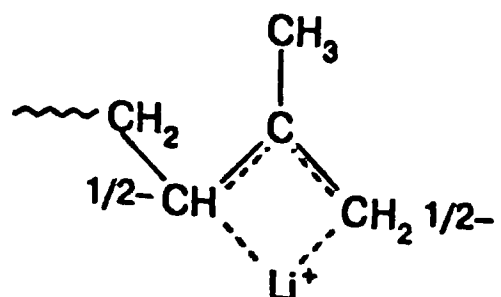
Легко заметить, что подобная координация будет способствовать цис-1,4-присоединению мономера в результате его внедрения по связи Li-C. Ситуация изменяется коренным образом при добавке полярного растворителя, способного сольватировать ионную пару, например, тетрагидрофурана или диэтилового эфира:



В этом случае микроструктуру цепи полимера определяет координация иона Li^+ с концевым звеном макроиона, которое имеет аллильную структуру. В аллильной структуре π -электроны делокализованы и, следовательно, два крайних атома углерода по электронной плотности эквивалентны. Для карбаниона это выражается следующим образом:



С учетом этого координацию иона Li^+ с конечным звеном цепи изопрена, несущим заряд, можно представить циклической структурой:



Мономер может присоединяться как к первому, так и к третьему атому углерода, что приводит к 1,4-транс- или 3,4-стричном полимерам.

Из табл. 5.12 видно, что рассмотренный выше механизм наиболее ярко проявляется для полизопрена. Промышленное производство стереорегуляторов

Таблица 5.12

Влияние растворителя на анионную полимеризацию 1,3-диенов, инициируемую *n*-бутиллитием

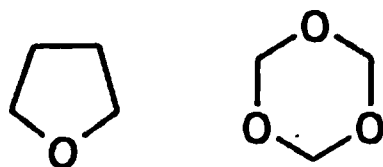
Растворитель	Структура полимера, %			
	цис-1,4	транс-1,4	3,4	1,2
1,3-бутадиен, 0 °C				
<i>n</i> -Пентан	35	52	0	13
Тетрагидрофуран	0	4	0	96
Изопрен, 25 °C				
<i>n</i> -Гексан	93	0	7	0
Тетрагидрофуран	0	30	54	16

лярного цис-1,4-полиизопрена на литиевых катализаторах было организовано в СССР в 50-х годах. При стереорегулярной полимеризации диенов, инициируемой катализаторами Циглера–Натта, достигается более высокая стереоспецифичность по сравнению с полимеризацией на литиевых катализаторах. Так, при полимеризации изопрена на катализаторе $TiCl_4+AlR_3$, образуется цис-1,4-полиизопрен, на VCl_3+AlR_3 – транс-1,4-полиизопрен с выходом, близким к 100 % в обоих случаях.

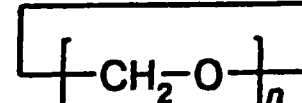
5.5. Синтез гетероцепных полимеров ионной полимеризацией

В отличие от карбоцепных полимеров, которые могут быть получены как радикальной, так и ионной полимеризацией, гетероцепные полимеры получаются лишь ионной полимеризацией. Наиболее изучена ионная полимеризация карбонильных соединений и гетероциклов. Последние, за редким исключением, могут быть подвергнуты полимеризации как по катионному, так и по анионному механизму. Циклоацетали полимеризуются лишь по катионному механизму. Среди множества гетероциклов систематически изучена полимеризация с раскрытием циклов следующих классов соединений:

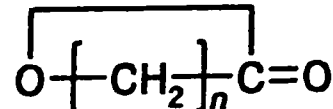
простые циклические эфиры и тиоэфиры, например тетрагидрофуран, триоксан



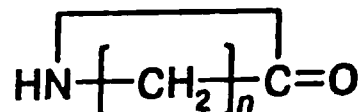
циклоацетали



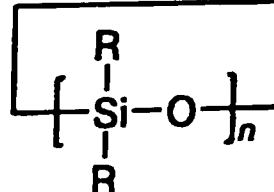
лактоны



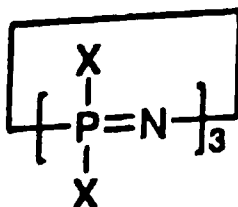
лактамы



оргanoцикlosилоксаны



дигалогенциклофосфазены

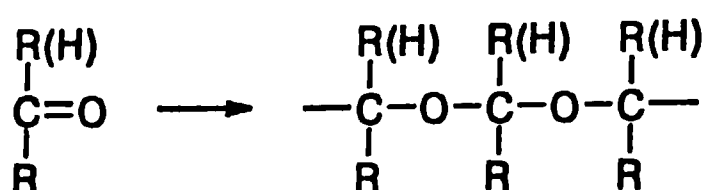


$$X = Cl, Br$$

Реакционная способность гетероциклов, помимо природы гетероатома, определяется его размером. Склонность циклов к образованию линейных полимеров выражается рядом $3,4 > 8 > 5,8$, где цифры означают числа атомов в цикле.

5.5.1. Карбонилсодержащие соединения

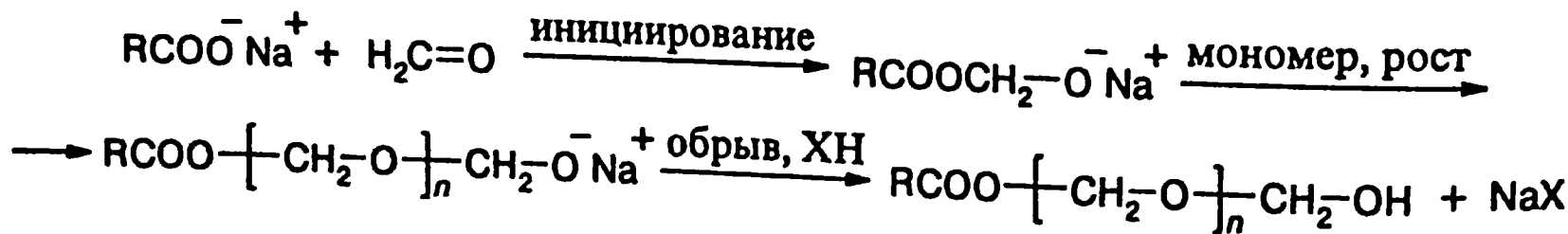
В результате полимеризации карбонилсодержащих соединений образуются полиацетали:



Как правило, мономеры этого типа имеют низкую предельную температуру полимеризации (см. разд. 5.7.1), следовательно, их полимеры являются термодинамически неустойчивыми при температуре эксплуатации. Исключением является формальдегид, который имеет достаточно высокую верхнюю температуру полимеризации, поэтому его полимер, называемый поликсиметиленом, нашел широкое применение на практике.

Формальдегид подвержен как катионной, так и анионной полимеризации. Круг инициаторов анионной полимеризации формальдегида необычайно широк: алкилы металлов, алкоксиды, феноляты, карбоксилаты, гидраты алюминия, амины, фосфины и т.п. Практически любое основание может вызывать анионную полимеризацию формальдегида вследствие уязвимости карбонильной группы для нуклеофильной атаки.

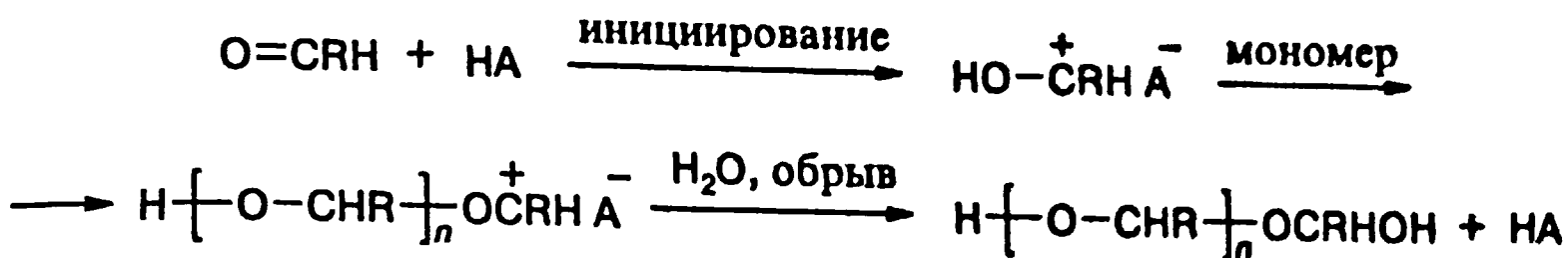
При промышленном производстве полиметиленоксида в качестве инициаторов анионной полимеризации формальдегида используют амины, фосфины или карбоксилаты – соли жирных кислот. Полимеризация осуществляется в углеводородной среде при $20-60^{\circ}C$:



В качестве соединений, обрывающих материальную цепь, обычно выступают протоно-донорные соединения. Вода обрывает также и кинетическую цепь, поскольку гидроксил-ион неактивен в реакции инициирования. В целом анионная полимеризация формальдегида менее, чем катионная, чувствительна к примесям.

Катионная полимеризация формальдегида и других альдегидов инициируется протонными и льюисовыми кислотами, например, уксусной кисло-

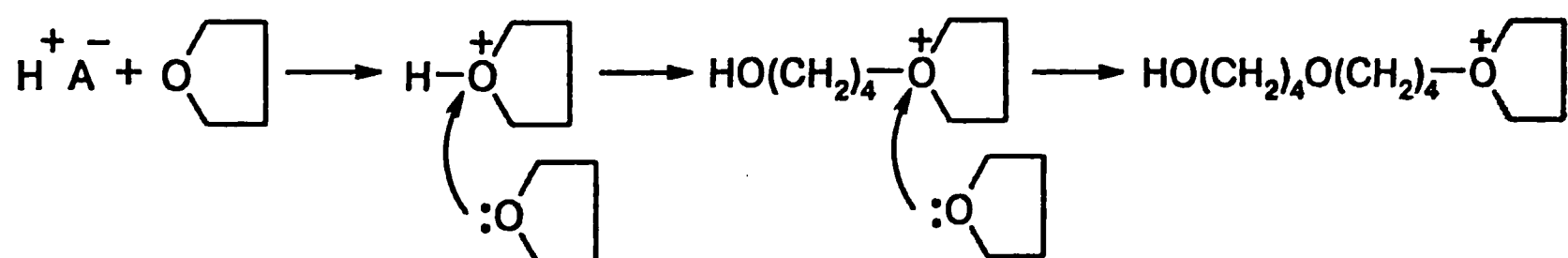
той, HClO_4 , ZnCl_2 , FeCl_3 и др. Обрыв цепи происходит обычно на примесях воды или других соединений, являющихся потенциальными донорами отрицательно заряженных частиц. Ниже приведена схема катионной полимеризации альдегидов, инициируемой протонными кислотами:



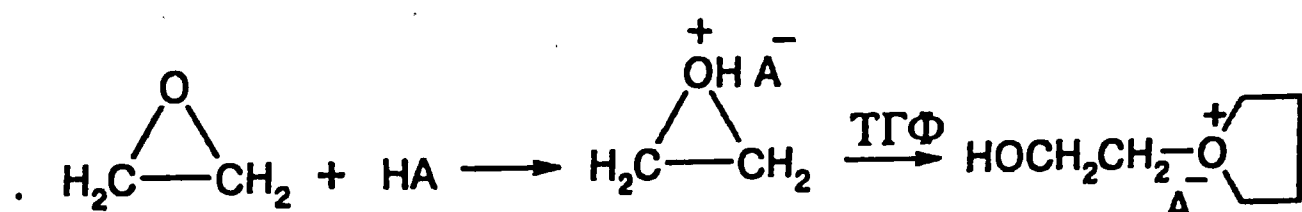
Полиметиленоксид, полученный в результате приведенных выше реакций, является недостаточно термически устойчивым из-за наличия конечных OH-групп, которые способствуют деполимеризации полимера при температурах, превышающих предельную (120 °C). Поэтому для повышения термической стабильности полимера его по окончании синтеза ацетилируют, добавляя в реактор уксусный ангидрид, который реагирует с концевыми OH-группами, в результате чего полимер становится термически стабильным вплоть до 250 °C.

5.5.2. Полимеризация эфиров и эпоксидов с раскрытием цикла

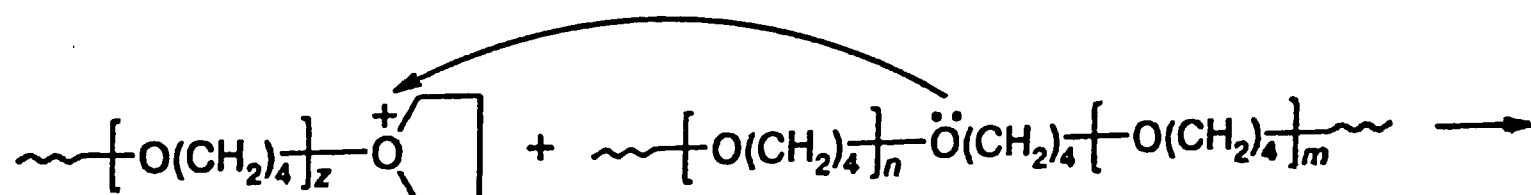
Реакция роста при катионной полимеризации циклических эфиров, например тетрагидрофурана, протекает через оксониевые активные центры:

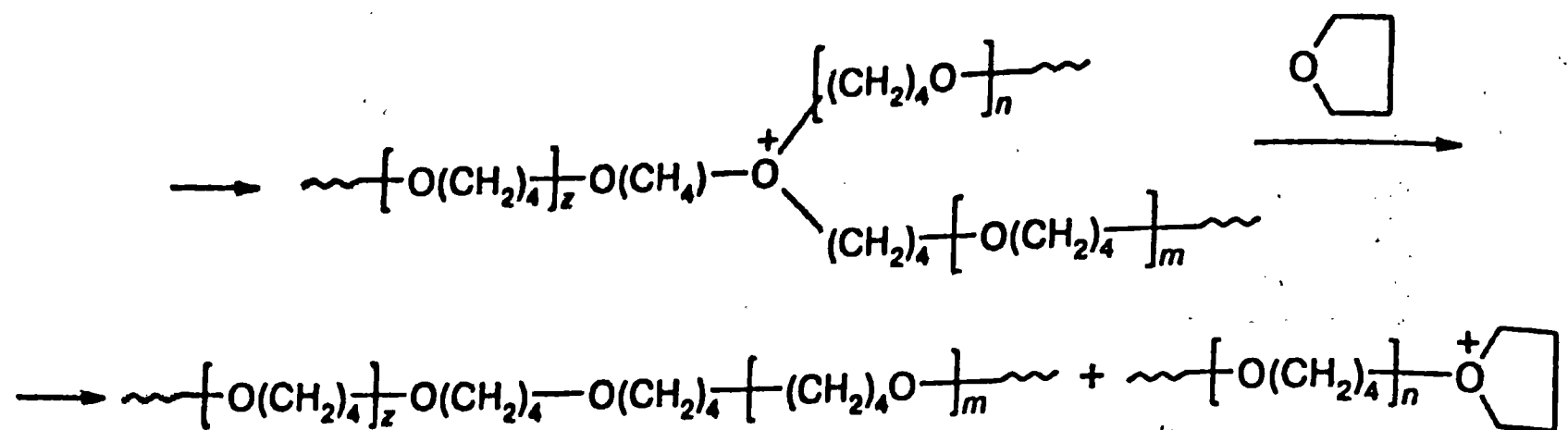


Некоторые из циклических эфиров, например тетрагидрофуран, недостаточно активны в реакции инициирования. В этом случае используют добавки промоторов, которые и образуют активные центры роста, вступая в реакцию с инициатором:



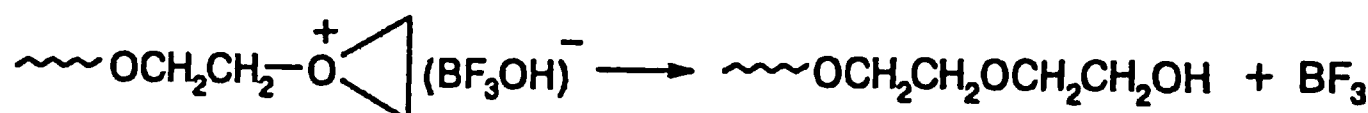
Кислоты Льюиса в сочетании с донорами протона также инициируют катионную полимеризацию циклических эфиров. Реакции передачи и обрыва цепи при катионной полимеризации циклических эфиров и виниловых мономеров практически одинаковы. Исключение составляет реакция передачи цепи на полимер с разрывом:





Эта специфическая реакция приводит к межцепному обмену сегментами макромолекул, как это показано выше для катионной полимеризации тетрагидрофурана, что вызывает расширение молекулярно-массового распределения полимера. В том случае, когда растущий макрокатион атакует собственную цепь, в результате передачи цепи с разрывом образуются циклы и циклические олигомеры. С увеличением конверсии, т.е. с уменьшением концентрации мономера, относительный вклад внутримолекулярной реакции повышается. При катионной полимеризации тетрагидрофурана содержание циклических олигомеров в продукте полимеризации не превышает нескольких процентов.

Обрыв материальной цепи при катионной полимеризации циклических эфиров происходит за счет переноса кинетической цепи на протоно-донорные соединения, являющиеся компонентами инициирующей системы или примесного характера (вода, спирты). Обрыв кинетической цепи может происходить спонтанно – путем соединения оксониевого иона с противоионом или его фрагментом:

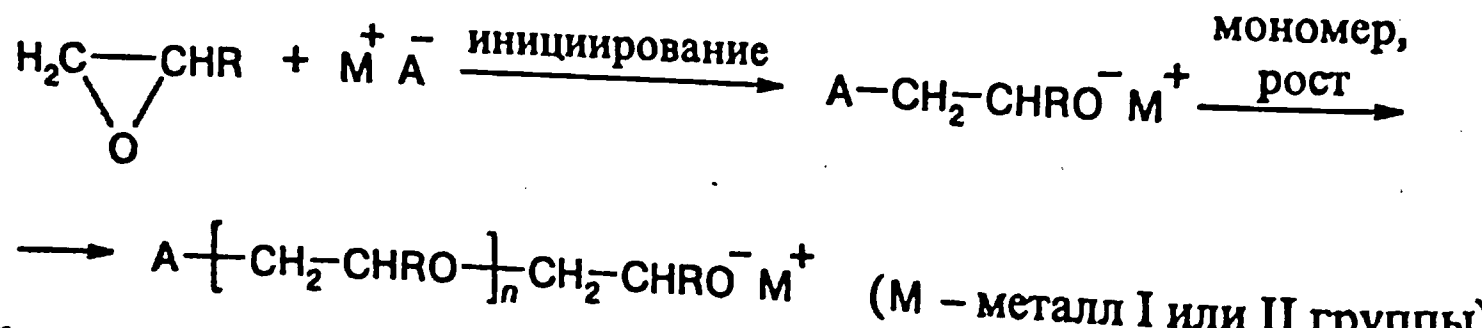


или на специально введенных соединениях – дезактиваторах типа метанольных растворов щелочей.

Среди циклических эфиров по анионному механизму полимеризуются лишь окиси α -олефинов, т.е. трехчленные циклы

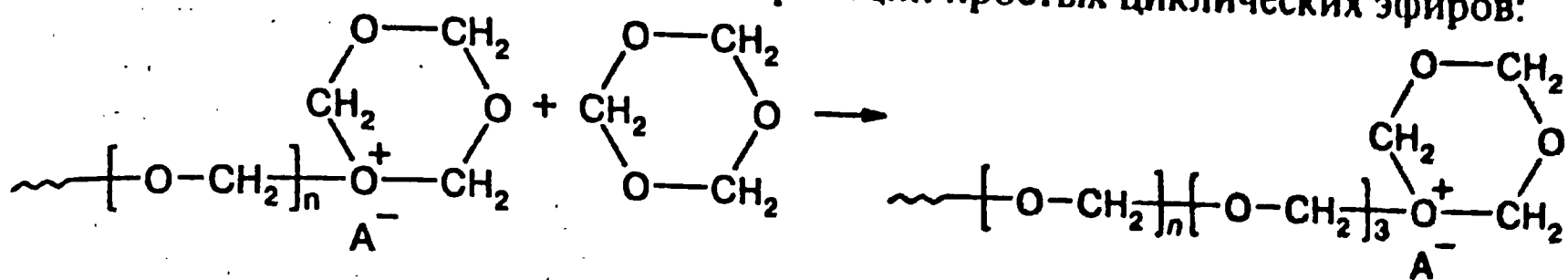
$$\begin{array}{c} \text{H}_2\text{C} \\ | \\ \diagdown \quad \diagup \\ \text{O} \end{array} \text{—CHR}$$

. Инициаторами являются щелочи, алкоголяты и феноляты щелочных металлов, натрийнафталин и подобные комплексы. Особенно эффективны аддукты, образующиеся в результате взаимодействия диалкилов цинка со спиртами. Общая схема может быть представлена следующим образом:



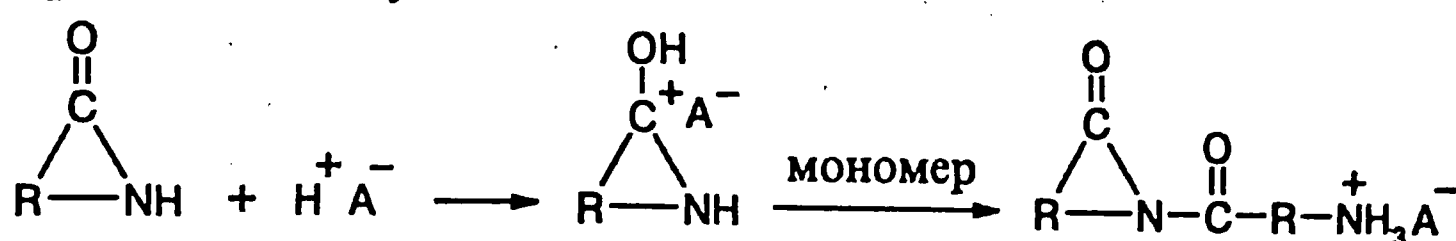
Катионная полимеризация циклического тримера формальдегида 1,3,5-триоксана, инициируемая $\text{BF}_3 \cdot (\text{C}_2\text{H}_5)_2\text{O}$, является важным промышленным процессом получения полиметиленоксида. Как уже упоминалось выше, циклические ацетали полимеризуются лишь по катионному механизму. В данном

случае цепь может расти с участием как карбониевых, так и оксониевых активных центров. Считается, что преобладающая часть элементарных актов роста цепи протекает с участием оксониевых активных центров аналогично тому, как это имеет место при полимеризации простых циклических эфиров:

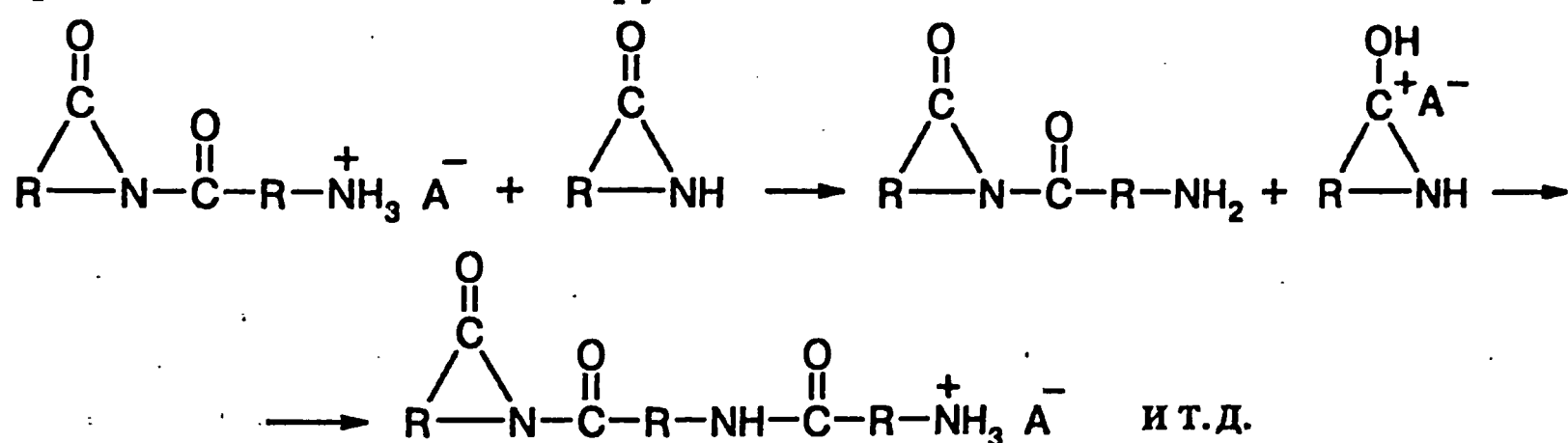


5.5.3. Полимеризация лактамов и лактонов

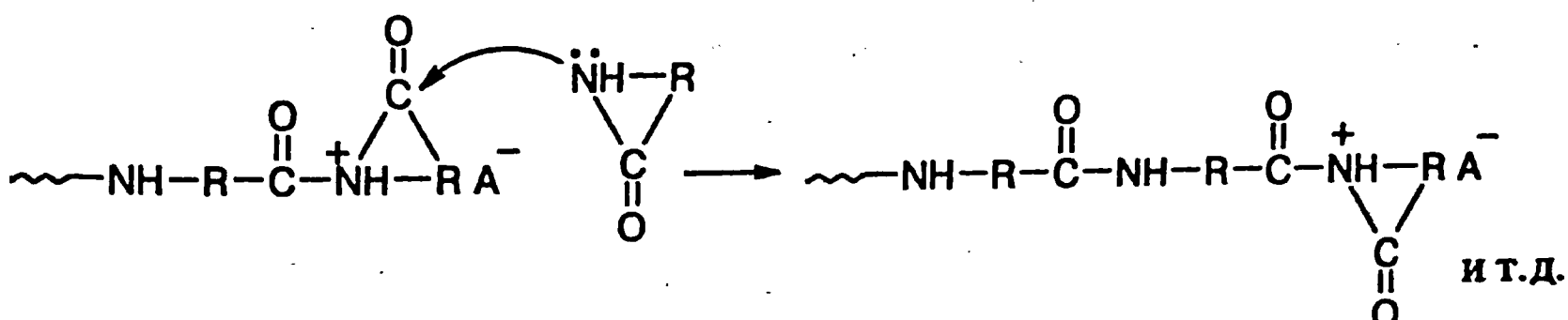
Катионная полимеризация циклических амидов инициируется широким кругом протонных и аprotонных кислот. Первые протонируют мономер, который затем взаимодействует с другой молекулой мономера с образованием заряженного аддукта:



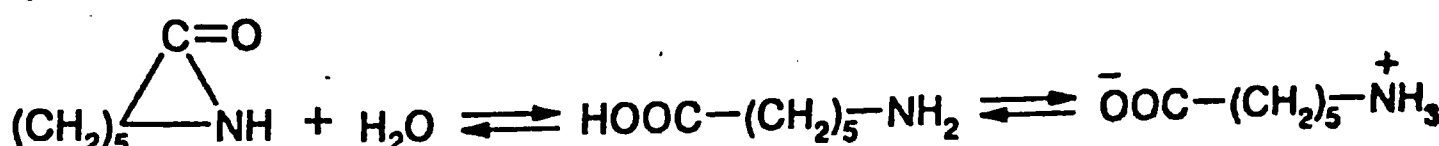
Протекающая далее реакция роста идет в две стадии – протонирование мономера растущей цепью, содержащей на конце заряженную группу NH₃⁺, и присоединение к амидной группе:



Существует также другая точка зрения, согласно которой активной частицей является концевой лактамный цикл:



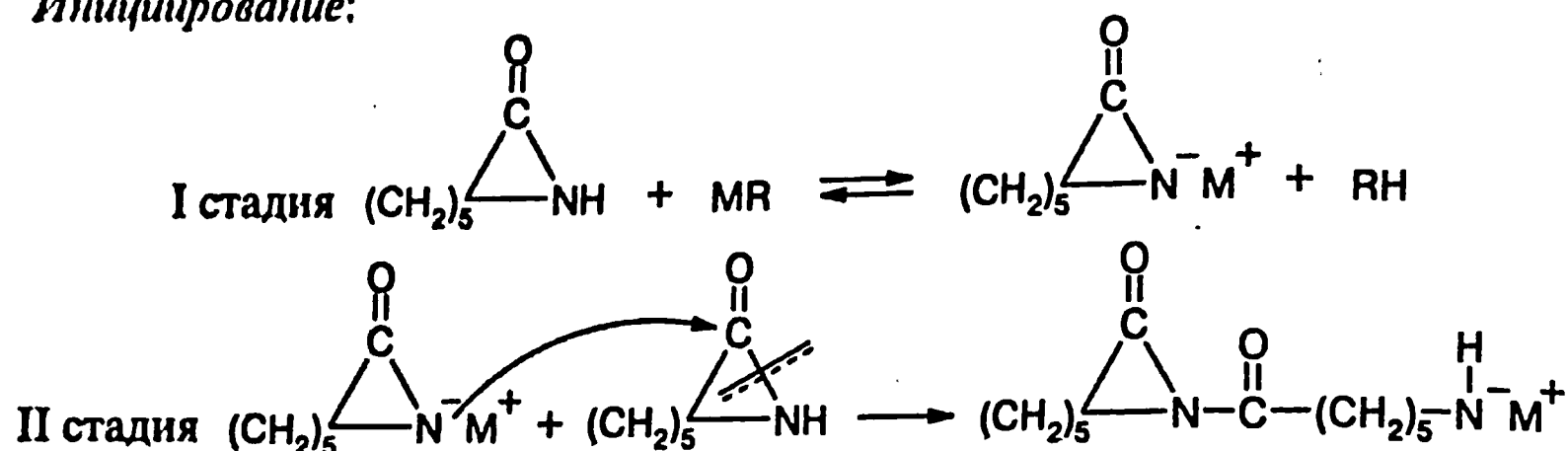
Большое практическое значение имеет гидролитическая полимеризация лактамов, которая инициируется аминокислотами, образующимися при гидролизе:



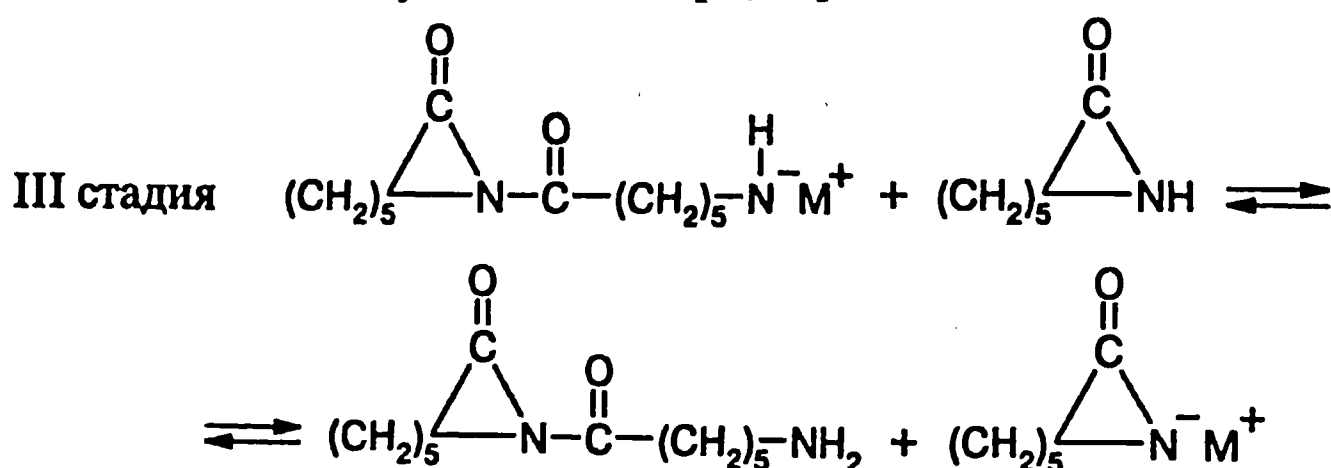
Реакция носит ярко выраженный автокатализический характер, связанный с накоплением цвиттерионов, инициирующих полимеризацию, которая протекает по катионному механизму.

Анионная полимеризация лактама инициируется сильными основаниями, щелочными металлами, их амидами, гидридами, алкилами. Во многих случаях полимеризация протекает по механизму живых цепей.

Инициирование:

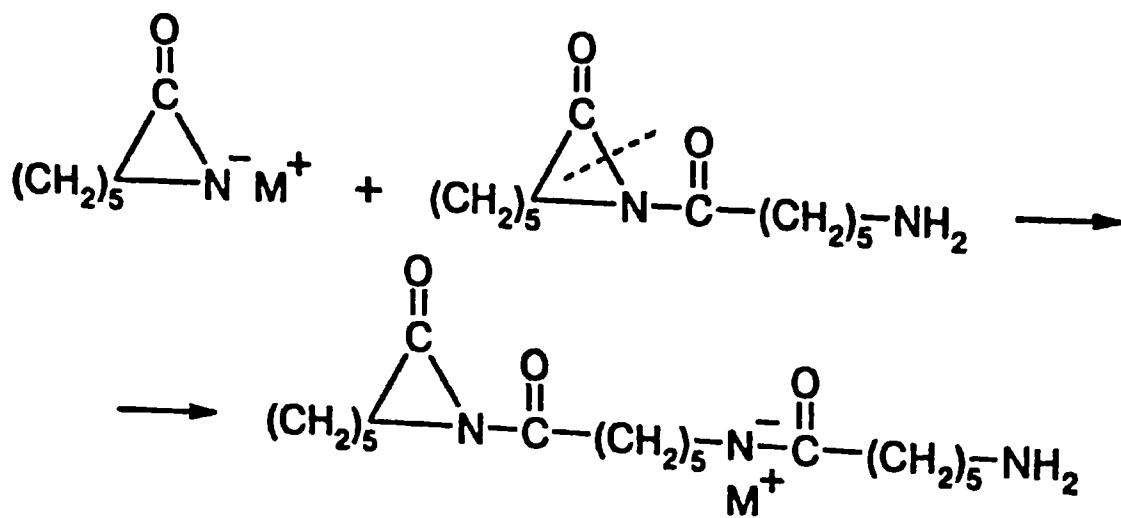


Образовавшийся на второй стадии реакции инициирования первичный аминанион не является достаточно стабильным из-за отсутствия сопряжения с какой-либо ненасыщенной группой, поэтому он сразу же вступает в реакцию с окружающими его молекулами мономера, отрывая от одной из них протон:

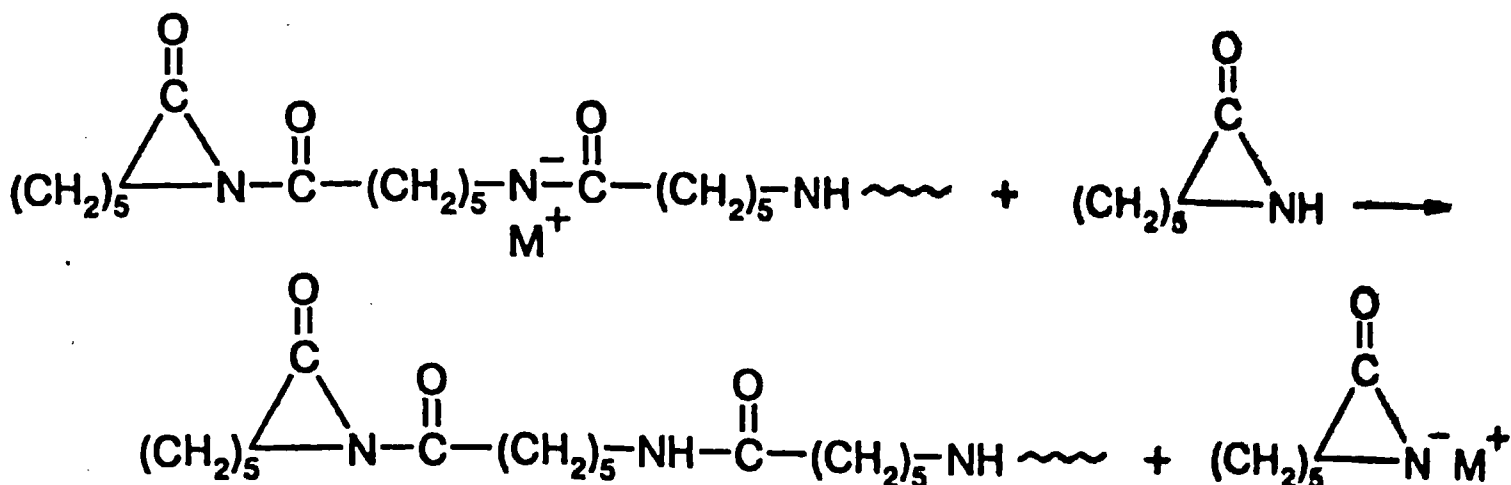


В результате образуется димер-имид, играющий ключевую роль в реакции роста цепи. Дело в том, что амидная связь в лактаме малоактивна по отношению к атаке карбаниона. Активность этой связи может быть повышена в результате уменьшения ее электронной плотности, что и имеет место в димер-имиде, где рядом с азотом находятся две карбонильные группы. С накоплением достаточного количества димер-имидов скорость реакции возрастает, поскольку последний гораздо активнее взаимодействует с анионом лактама по сравнению с мономером.

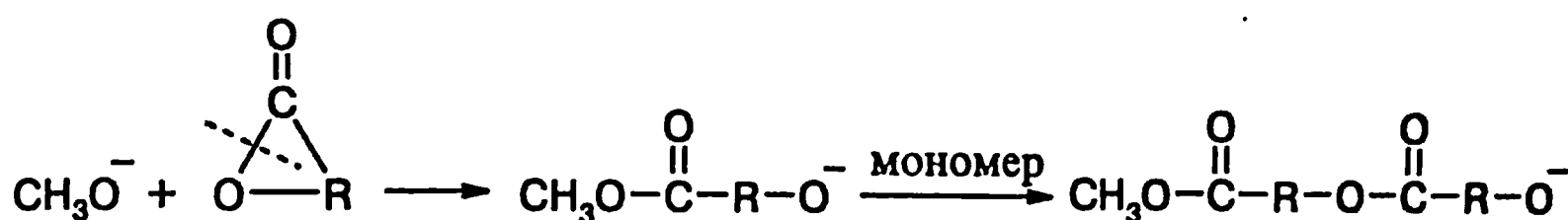
Рост цепи:



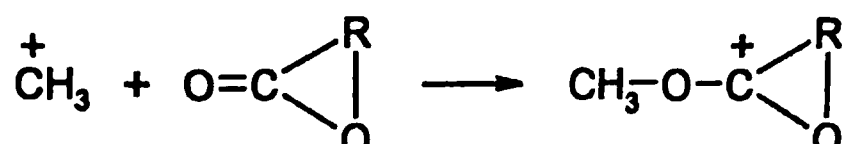
В результате реакционноспособная группировка $-\text{CO}-\text{N}-\text{CO}-$ воспроизводится, как и в последующих актах роста цепи. При этом, с каждым актом роста имеет место быстрый обмен протоном мономера с лактаманионом:



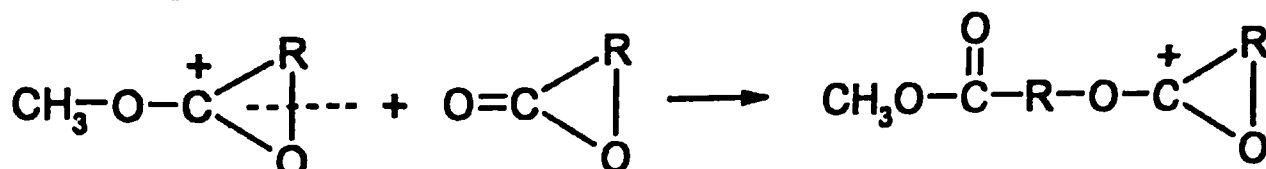
При анионной полимеризации лактонов, помимо традиционных инициаторов, применяемых при полимеризации циклических эфиров, широко используются алкоксиды металлов, например R_2AlOCH_3 . В ходе инициирования и роста цепи почти всегда наблюдается разрыв кислород-ацильной связи:



Лактоны легко полимеризуются также по катионному механизму. Хотя инициаторы катионной полимеризации лактонов те же, что и циклических эфиров, механизмы инициирования принципиально различаются. Инициирующий катион – протон или карбкатион присоединяется не к эндоциклическому кислороду, а к экзоциклическому, как к более активному:



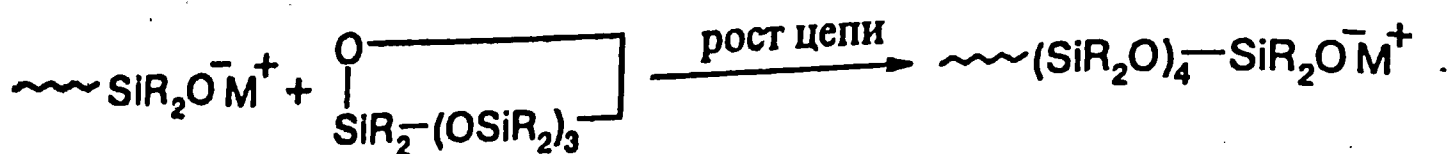
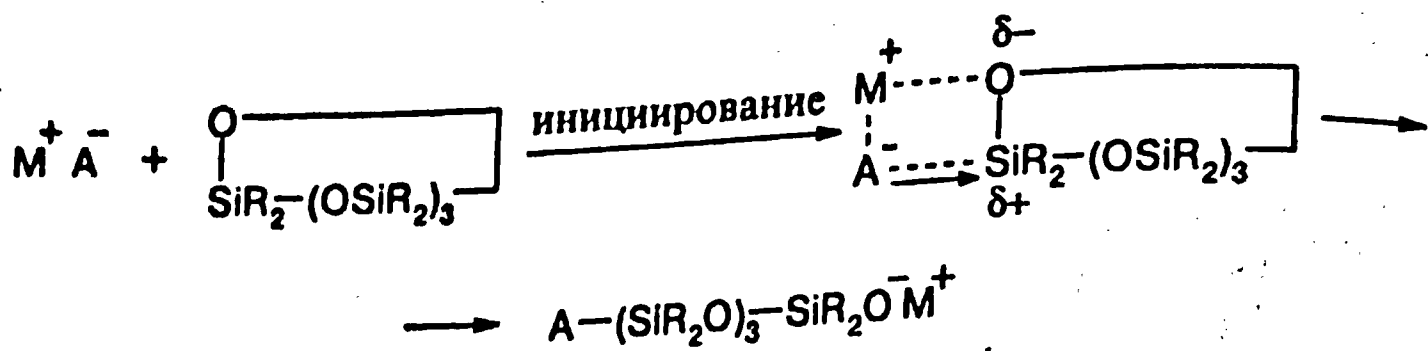
При последующем росте цепи происходит раскрытие цикла концевого активного звена растущей цепи, вследствие разрыва связи R–O:



5.5.4. Другие гетероциклы

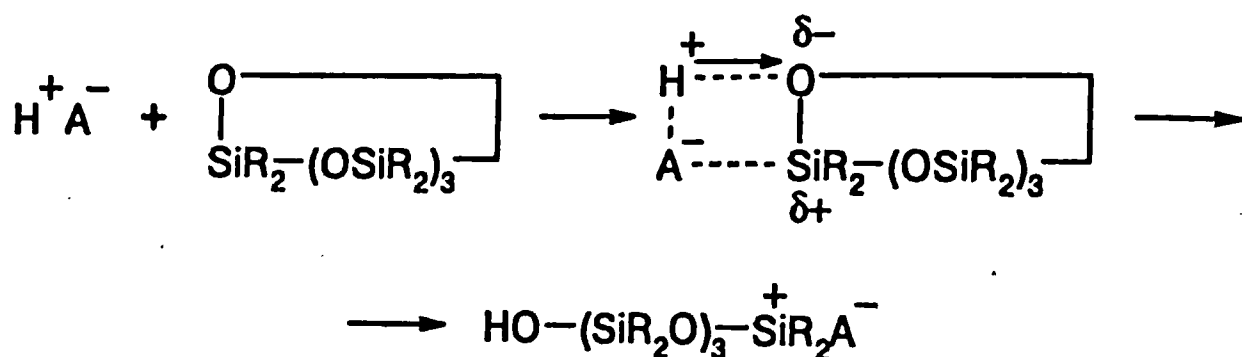
Очень важной с практической точки зрения является ионная полимеризация циклосилоксанов, осуществляемая в широких масштабах в промышленности. Наиболее часто линейный полидиметилсилоксан получают ионной полимеризацией с раскрытием цикла октаметилциклотетрасилоксана.

Анионная полимеризация циклосилоксанов инициируется алкилами, гидроксидами, алкоксидами щелочных металлов, а также силанолятами типа $(CH_3)_3SiOK$. В общем виде стадии инициирования и роста цепи могут быть представлены следующим образом:



Считается, что реакции инициирования предшествует образование переходного комплекса, стабилизированного квадрупольным взаимодействием частичных зарядов.

Катионная полимеризация циклосилоксанов инициируется протонными и льюисовыми кислотами. Механизм катионной полимеризации циклосилоксанов более сложен и до настоящего времени до конца не ясен. Если в предыдущем случае подвергался нуклеофильной атаке атом кремния, то при катионной полимеризации атакуется электрофилом атом кислорода:



Природа активного центра до сих пор является спорной – наличие иона силикония на конец растущих цепей нельзя считать доказанным. Существует точка зрения, согласно которой центром на конце цепи может быть также циклический ион оксония.

5.6. Ступенчатая полимеризация

Как уже упоминалось в главе 1, при ступенчатой полимеризации, называемой также поликонденсацией, макромолекулы образуются в результате молекулярных реакций функциональных групп мономеров без участия возбужденных частиц типа свободных радикалов или ионов. Промежуточный продукт – смесь олигомеров различной молекулярной массы – может быть выделен на любой стадии реакции. В настоящее время понятия ступенчатой полимеризации и поликонденсации не разделяют. Однако ступенчатая полимеризация, сопровождаемая образованием низкомолекулярного соединения, по-прежнему, чаще называют поликонденсацией.

Согласно принципу Флори, реакционная способность функциональных групп в реакциях роста цепи ступенчатой полимеризации не зависит от молекулярной массы реагента. Об этом свидетельствуют, в частности, данные табл. 5.13, где приведены константы скорости реакции этерификации карбоновых кислот различной молекулярной массы.

Таблица 5.13

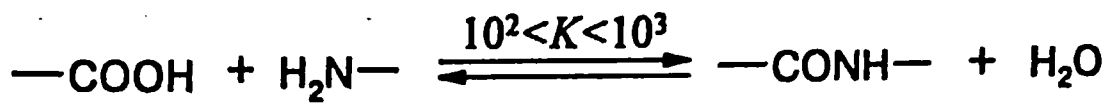
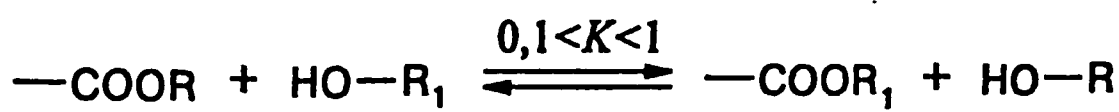
Константы скорости реакции этерификации в гомолитических рядах
одно- и двухосновных кислот, 25 °C

n	$k \cdot 10^4$, л/(моль · с)	
	$\text{H(CH}_2\text{)}_n\text{COOH}$	$(\text{CH}_2\text{)}_n(\text{COOH})_2$
1	22,1	-
2	15,3	6,0
3	7,5	8,7
4	7,5	8,4
5	7,4	7,8
6	-	7,3
9	7,4	-
15	7,7	-

Мономеры ступенчатой полимеризации (поликонденсации) подразделяются на гомофункциональные и гетерофункциональные. К первым, например, относятся гликоли, ко вторым – аминокислоты. Поликонденсация подразделяется на гомополиконденсацию и гетерополиконденсацию. В первом случае реакция протекает между одинаковыми группами, например при реакции гликолов, во втором – между разными. Гетерополиконденсация, в свою очередь, может быть осуществлена путем поликонденсации гетерофункционального мономера, например аминокислоты, или путем поликонденсации двух гомофункциональных мономеров, например, диамина и дикарбоновой кислоты.

5.6.1. Равновесная и неравновесная поликонденсация

Все реакции поликонденсации обратимы, однако, константа равновесия этой реакции может изменяться в широких пределах. Например, из наиболее практически важных реакций переэтерификации, полиэтерификации и полiamидирования:



Последняя имеет большую константу равновесия, главным образом, вследствие большей константы скорости прямой реакции. Это обстоятельство облегчает процесс получения полимера в производственных условиях.

На примере полиэтерификации рассмотрим влияние константы равновесия на глубину протекания реакции. Последняя характеризуется степенью завершенности реакции X :

$$X = \frac{[M]_0 - [M]}{[M]_0} = 1 - \frac{[M]}{[M]_0}, \quad (5.88)$$

где $[M]_0$, $[M]$ – исходная и текущая концентрации мономеров, в данном случае гликоля и двухосновной кислоты. Когда полимер получается из двух мономеров, принимается, что их концентрации равны, т. е. $[M_1]_0 = [M_2]_0 = [M]_0$.

Константа равновесия приведенной выше реакции полиэтерификации описывается выражением:

$$K = \frac{[\text{COO}][\text{H}_2\text{O}]}{[\text{COOH}][\text{OH}]} = \frac{(X[M]_0)^2}{([M]_0 - X[M]_0)^2}, \quad (5.89)$$

которое может быть представлено в виде:

$$K = \frac{X^2}{(1 - X)^2} \quad (5.90)$$

или

$$X = \frac{K^{1/2}}{1 + K^{1/2}}. \quad (5.91)$$

Далее рассмотрим связь константы равновесия со степенью полимеризации, т. е. количеством повторяющихся звеньев (остатков мономеров) в цепи. Очевидно, что в отсутствие реакции ограничения роста цепи $\bar{P}_n = [M]_0/[M]$, откуда:

$$\bar{P}_n = \frac{1}{1 - X}. \quad (5.92)$$

Соотношение (5.92), связывающее среднечисловую степень полимеризации со степенью завершенности, называется уравнением Карозерса. Сочетание уравнений (5.91) и (5.92) приводит к зависимости, связывающей константу равновесия со степенью полимеризации:

$$\bar{P}_n = 1 + K^{1/2}. \quad (5.93)$$

Уравнения (5.91) и (5.93) позволяют оценить предельно достижимые X и \bar{P}_n , т. е. выход и молекулярную массу при поликонденсации. Из табл. 5.14 следует, что продукт равновесной поликонденсации может быть назван полимером лишь при $K \approx 10^4$, хотя глубина протекания прямой реакции вполне приемлема при $K \approx 10^3$. Поэтому с практической точки зрения равновесная поликонденсация может считаться необратимой и использоваться для синтеза полимеров при $K \geq 10^3 - 10^4$.

Из приведенных выше данных по константам равновесия следует, что ни одна из наиболее часто используемых реакций поликонденсации не удовле-

Таблица 5.14

Влияние константы равновесия K на степень завершенности реакции поликонденсации X и среднечисловую степень полимеризации \bar{P}_n

$K, \text{ л/моль}$	X	\bar{P}_n
$1 \cdot 10^{-4}$	0,001	1,01
$1 \cdot 10^{-2}$	0,09	1,1
1	0,50	2
10	0,76	4,16
$1 \cdot 10^2$	0,91	11
$1 \cdot 10^3$	0,97	32,6
$1 \cdot 10^4$	0,99	101

Таблица 5.15

Влияние воды на степень полимеризации при поликонденсации с различными константами равновесия, $[M]_0 = 5 \text{ моль/л}$

$K, \text{ л/моль}$	\bar{P}_n	$[\text{H}_2\text{O}], \text{ моль/л}$
0,1	20	$1,32 \cdot 10^{-3}$
	100	$5,05 \cdot 10^{-5}$
	500	$2,00 \cdot 10^{-6}$
1	20	$1,32 \cdot 10^{-2}$
	100	$5,05 \cdot 10^{-4}$
	500	$2,00 \cdot 10^{-5}$
10	20	0,132
	100	$5,05 \cdot 10^{-3}$
	500	$2,00 \cdot 10^{-4}$
100	20	1,316
	100	$5,05 \cdot 10^{-2}$
	500	$2,00 \cdot 10^{-3}$

творяет этим требованиям, по крайней мере, с точки зрения необходимости достижения достаточной молекулярной массы полимера (большей, чем 10^4). Поэтому на практике низкомолекулярный продукт, реже полимер, удаляют из зоны реакции, т. е. поликонденсация протекает в неравновесном режиме. Очевидно, что низкомолекулярный продукт не может быть удален полностью, поэтому необходимо знать его предельно допустимую концентрацию, которая может быть рассчитана, исходя из константы равновесия. В этом случае уравнение (5.90) необходимо записать так, чтобы выразить в явном виде концентрацию низкомолекулярного продукта:

$$K = \frac{X[\text{H}_2\text{O}]}{[M]_0(1 - X)^2}. \quad (5.94)$$

Далее, с привлечением уравнения Карозерса получаем:

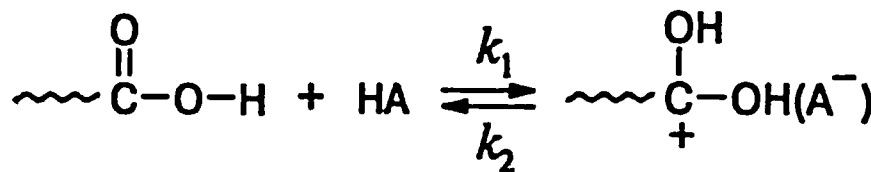
$$[\text{H}_2\text{O}] = \frac{K[M]_0}{\bar{p}_n(\bar{p}_n - 1)}. \quad (5.95)$$

В табл. 5.15 приведены степени полимеризации продукта, получаемого при полиэтерификации в присутствии различных количеств воды. Из таблицы следует, что для получения достаточно высокомолекулярного полимера, даже при достаточно большой константе равновесия (порядка 10^2), допустимо содержание в реакционной смеси не более 1 % воды. Обычно вода и подобные ей низкомолекулярные продукты, например метанол, удаляются из реакционной среды отгонкой при атмосферном давлении, менее летучие продукты – отгонкой под вакуумом. Удалению летучих низкомолекулярных продуктов способствует высокая температура реакции, которая существенно превышает 200°C при получении полиэфиров и полиамидов.

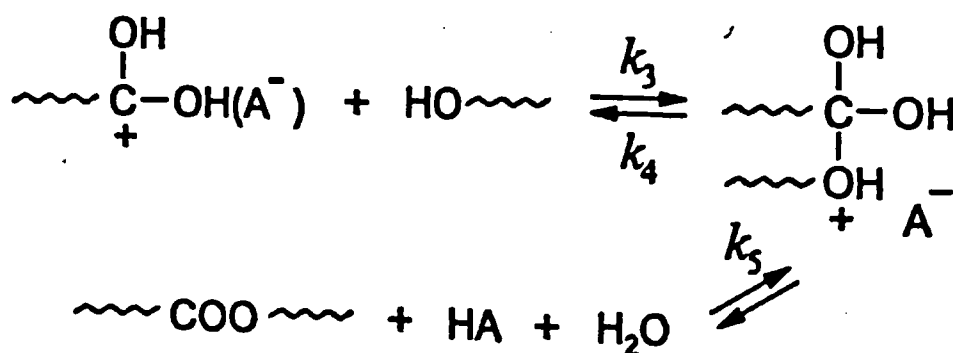
5.6.2. Кинетика поликонденсации

Рассмотрим основные кинетические закономерности поликонденсации на примере полиэтерификации. Катализаторами реакции этерификации являются кислоты и щелочи. Механизм кислотного катализа к настоящему времени надежно установлен. Он включает две стадии:

I. Протонирование кислоты-реагента кислотой-катализатором (HA):



2. Атаки протонированного реагента гидроксильной группы спирта с последующим распадом интермедиата до продуктов реакции:



Если в данной реакции удалять воду, то можно учитывать лишь прямое направление реакции. Тогда:

$$V = -\frac{d[\text{COOH}]}{dt} = k_3 [\text{C}^+(\text{OH})_2][\text{OH}]. \quad (5.96)$$

Неопределенная величина $[\text{C}^+(\text{OH})_2]$ может быть исключена с помощью выражения (5.97):

$$K = \frac{k_1}{k_2} = \frac{[\text{C}^+(\text{OH})_2]}{[\text{COOH}][\text{HA}]} \quad (5.97)$$

В результате получаем:

$$-\frac{d[\text{COOH}]}{dt} = k_3 K [\text{COOH}][\text{OH}][\text{HA}]. \quad (5.98)$$

В отсутствие внешнего катализатора его функцию выполняет кислота-мономер. Тогда:

$$-\frac{d[\text{COOH}]}{dt} = K' [\text{COOH}]^2 [\text{OH}], \quad (5.99)$$

где $K' = k_3 K$. Поскольку при поликонденсации концентрации разных функциональных групп обычно равны (в целях получения высокомолекулярного полимера), то уравнение (5.99) можно упростить:

$$-\frac{d[M]}{dt} = k [M]^3. \quad (5.100)$$

Интегрирование этого уравнения приводит к выражению:

$$2kt = \frac{1}{[M]^2} - \frac{1}{[M]_0^2}, \quad (5.101)$$

и далее, с использованием понятия степени завершенности реакции (5.88), приходим к конечному результату:

$$\frac{1}{(1-X)^2} = 2[M]_0^2 kt + 1. \quad (5.102)$$

Уравнение (5.102), исходящее из третьего порядка скорости по концентрации мономера, достаточно хорошо описывает экспериментальные данные. Встречающиеся отклонения при средних и глубоких степенях завершенности связаны с изменением состояния реакционной среды – уменьшением полярности, вследствие исчерпания карбоксильных и гидроксильных (или других полярных) групп мономеров, и возрастанием вязкости.

Степень ступенчатой полимеризации равна числу мономерных звеньев в цепи. При ступенчатой полимеризации двух гомофункциональных мономеров A-R-A и B-R-B степень полимеризации равна половине их количества в цепи. Сочетание (5.92) и (5.102) приводит к зависимости степени полимеризации от времени:

$$\bar{P}_n^2 = 1 + 2kt[M]_0^2. \quad (5.103)$$

Из этого уравнения следует, что темп нарастания молекулярной массы продукта поликонденсации уменьшается со временем. Данную зависимость не следует путать с той, что вытекает из уравнения Карозерса (5.92), согласно которому темп возрастания \bar{P}_n с ростом конверсии увеличивается.

Изложенное выше касалось самокатализируемой поликонденсации. При наличии специально введенного, так называемого внешнего катализатора, уравнение скорости отвечает второму порядку по концентрации мономера:

$$-\frac{d[M]}{dt} = k[M]^2. \quad (5.104)$$

Интегрирование (5.104) приводит к (5.105) и далее с использованием (5.92) к уравнению (5.106):

$$k_t = \frac{1}{[M]} - \frac{1}{[M]_0}, \quad (5.105)$$

$$\bar{p}_n = 1 + k_t [M]_0. \quad (5.106)$$

Из уравнения (5.106) следует, что при катализируемой поликонденсации имеет место линейная зависимость степени полимеризации от времени.

На практике самокатализируемая реакция используется при получении полиамидов, тогда как при получении полиэфиров и фенопластов – продуктов поликонденсации фенола с формальдегидом – применяется катализатор.

При предыдущем изложении предполагалось равенство концентраций мономеров, что является одним из условий получения высокомолекулярного полимера при поликонденсации. Качественной мерой, отражающей степень эквивалентности концентраций мономеров, является параметр

$$r = \frac{[M_1]}{[M_2]} \geq 1 \quad (5.107)$$

вследствие $[M_1] \geq [M_2]$. Связь среднечисловой степени полимеризации с параметром эквивалентности дается выражением:

$$\bar{p}_n = \frac{1+r}{1-r}. \quad (5.108)$$

При строго эквивалентных количествах функциональных групп на концах макромолекул реакция между ними может продолжаться сколь угодно долго, теоретически – вплоть до образования гигантской макромолекулы. Из этого следует, что для стабилизации молекулярной массы полимера небольшой избыток одного из мономеров может оказаться полезным. В этом случае все макромолекулы будут иметь одинаковые функциональные группы, например $A \sim A$, что исключает возможность реакции между ними. Для этих целей используют также малые добавки монофункционального соединения. При этом уравнение (5.108) по-прежнему применимо, однако параметр r рассчитывается по-другому. При поликонденсации двух гомофункциональных мономеров ARA и BR_1B в присутствии монофункционального соединения R_2B

$$r = \frac{[ARA]}{[BR_1B] + 2[R_2B]}, \quad (5.109)$$

где $[ARA] = [BR_1B]$. Коэффициент 2 вводится потому, что эффект добавки R_2B аналогичен эффекту избытка бифункционального мономера BR_1B , а уравнение (5.109) получено применительно к реакции двух бифункциональ-

ных мономеров. При поликонденсации одного гетерофункционального мономера ARB в присутствии BR₁,

$$r = \frac{[\text{ARB}]}{[\text{ARB}] + 2[\text{BR}_1]}. \quad (5.110)$$

5.6.3. Молекуляро-массовое распределение полимера при поликонденсации

Рассмотрим молекуляро-массовое распределение полимера, полученного поликонденсацией мономера ARB или эквимолярной смеси ARA и BR₁B. Используем статистический метод, который сводится к расчету вероятностей содержания в полимере макромолекул различной длины. В силу закона подобных чисел эти вероятности равны численным долям Q_n , следовательно, подобный анализ приводит к числовой дифференциальной функции распределения. Предполагается, что все реакции между А и В равновероятны, т. е. не зависят от молекулярной массы n -меров.

Макромолекула, содержащая p звеньев мономера ARB, образуется в том случае, когда прореагируют ($p - 1$) групп А, а одна конечная группа остается непрореагировавшей. Вероятность того, что группа А в реакционной смеси окажется прореагировавшей, равна степени завершенности реакции X , непрореагировавшей – $(1 - X)$. Отсюда:

$$Q_p = X^{p-1}(1 - X). \quad (5.111)$$

Согласно определению $Q_p = N_p/N$, где N_p – число молекул со степенью полимеризации p , а N – общее число макромолекул. Поскольку

$$N = N_0(1 - X), \quad (5.112)$$

где N_0 – общее число функциональных групп А (молекул мономера ARB), то из (5.111) и (5.112) имеем:

$$N_p = N_0(1 - X)^2 X^{p-1}. \quad (5.113)$$

Принимая во внимание, что Q_w – массовая доля макромолекул со степенью полимеризации p может быть выражена как

$$Q_w = p N_p / N_0, \quad (5.114)$$

окончательно имеем:

$$Q_w = p(1 - X)^2 X^{p-1}. \quad (5.115)$$

Таким образом, среднечисловые и среднемассовые дифференциальные функции распределения полимеров, полученных поликонденсацией со степенью завершенности X , описываются выражениями (5.111) и (5.115). При $X = 1$ обе функции не определены, поскольку теоретически в этом случае образуется одна гигантская макромолекула.

Выражения для средних степеней полимеризации могут быть легко получены, исходя из их определения. Ранее показано, что

$$\bar{P}_n = \sum p Q_n,$$

где \bar{P}_n – среднечисловая степень полимеризации, Q_n – числовая доля макромолекул (олигомеров) со степенью полимеризации p . Вводя (5.111), получаем:

$$\bar{P}_n = \sum p X^{p-1} (1 - X). \quad (5.116)$$

Ряд (5.116) является сходящимся, так как $X < 1$, его сумма равна

$$\bar{P}_n = \frac{1}{1 - X}.$$

Это уравнение, называемое уравнением Карозерса, было получено ранее (5.92).

Далее рассмотрим среднемассовую степень полимеризации \bar{P}_w ,

$$\bar{P}_w = \sum p Q_w,$$

где Q_w – массовая доля макромолекул со степенью полимеризации p . Совместя (5.115) с (5.116), получаем:

$$\bar{P}_w = \sum p^2 X^{p-1} (1 - X)^2. \quad (5.117)$$

Сумма этого ряда равна:

$$\bar{P}_w = \frac{1 + X}{1 - X}. \quad (5.118)$$

Согласно определению параметра полидисперсности,

$$\frac{\bar{P}_w}{\bar{P}_n} = 1 + X. \quad (5.119)$$

Из (5.119) следует, что в процессе поликонденсации ширина распределения возрастает, при этом параметр полидисперсности стремится к двум, что характерно для наиболее вероятного распределения Флори.

5.6.4. Разветвленные и сшитые полимеры

Рассмотренные выше линейные полимеры получаются в результате конденсации мономеров с функциональностью $f = 2$. Под последней понимается число функциональных реакционноспособных групп, приходящихся на одну молекулу мономера. Если хотя бы у одного мономера $f > 2$, то в результате поликонденсации образуются разветвленные или сшитые полимеры. Разветвленного мономера ARB с трехфункциональным ($f = 3$) мономером A₃R₁:

A
B
R
A
B
R
A

Молекулярно-массовые характеристики разветвленных полимеров описываются достаточно простыми соотношениями, полученными в результате применения статистического метода, подобно тому, как это было продемонстрировано выше для линейных полимеров. В частности, параметр полидисперсности описывается следующим выражением:

$$\frac{\bar{P}_w}{\bar{P}_n} = 1 + \frac{frX}{(frX + 1 - rX)^2}, \quad (5.120)$$

где f – функциональность «разветвляющего» мономера. Из (5.120) следует, что разветвленные полимеры являются менее полидисперсными по сравнению с линейными. При $X \rightarrow 1$ и $r \rightarrow 1$ это уравнение упрощается до:

$$\frac{\bar{P}_w}{\bar{P}_n} \approx 1 + \frac{1}{f}. \quad (5.121)$$

Параметр полидисперсности линейных полимеров при $X \rightarrow 1$ приближается к двум. Из (5.121) следует, что при сополиконденсации ARB с двух-, трех- и четырехфункциональными мономерами $\bar{P}_w/\bar{P}_n \rightarrow 1,5; 1,33; 1,25$ соответственно.

Сшитые полимеры образуются при совместной поликонденсации двух бифункциональных мономеров ARA и BR₁B с трех или более функциональными R₂B. На первой стадии реакции, когда образуются линейные и разветвленные олигомеры, реакционная система сохраняет текучесть. На глубоких стадиях, когда образуется сшитый полимер, текучесть реакционной массы теряется. Эта важная технологическая особенность трехмерной поликонденсации приводит к необходимости совмещать заключительную стадию реакции с формированием товарного изделия. Получаемые таким образом сшитые полимеры называются термореактивными или термореактопластами.

Степень завершенности реакции, при которой происходит образование нетекучего геля вследствие образования трехмерной сетки, называется точкой гелеобразования X_g . Из изложенного выше ясно, как важно знать X_g конкретной системы. Метод расчета точки гелеобразования впервые разработал Карозерс. Этот метод сводится к нахождению степени завершенности реакции, при которой степень полимеризации стремится к бесконечности. Карозерс ввел понятие средней функциональности мономеров:

$$f_{cp} = \frac{\sum N_i f_i}{\sum N_i}, \quad (5.122)$$

где N_i – число молекул мономера с функциональностью f_i , $\sum N_i$ – общее число молекул мономеров, $\sum N_i f_i$ – общее число функциональных групп, участвующих в поликонденсации. Оказалось, что X_Γ связана с f_{cp} простой зависимостью:

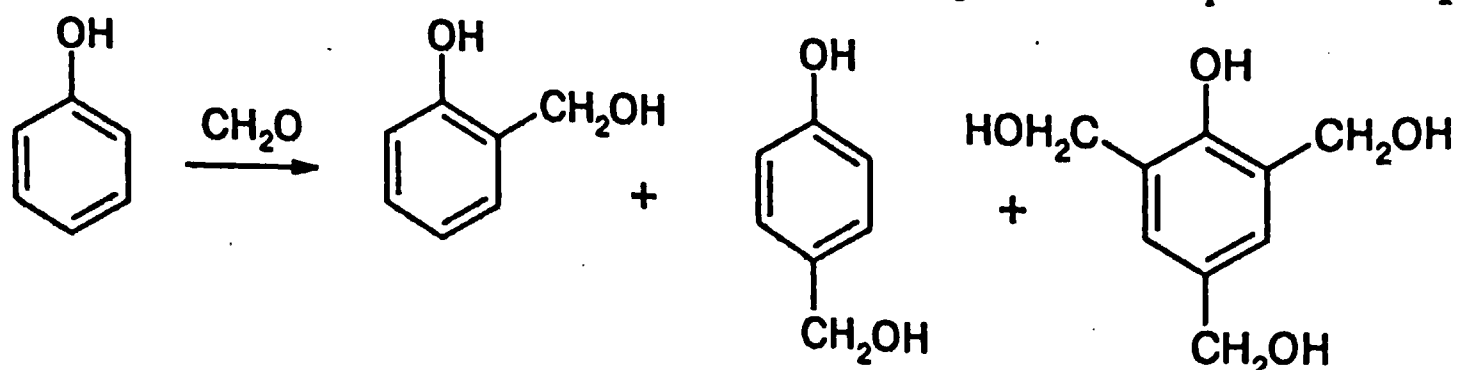
$$X_\Gamma = 2/f_{cp}. \quad (5.123)$$

Рассмотрим конкретный пример. При поликонденсации глицерина (1) и фталевой кислоты (2) $f_1 = 3$, $f_2 = 2$. Следовательно, при эквимолярном количестве функциональных групп в реакции должны участвовать 2 моля глицерина и 3 моля фталевой кислоты. Это означает, что на пять молекул реагентов приходится 12 функциональных групп, и $f_{cp} = 12/5 = 2,4$. Из уравнения (5.123) следует, что для такой системы $X_\Gamma = 0,883$.

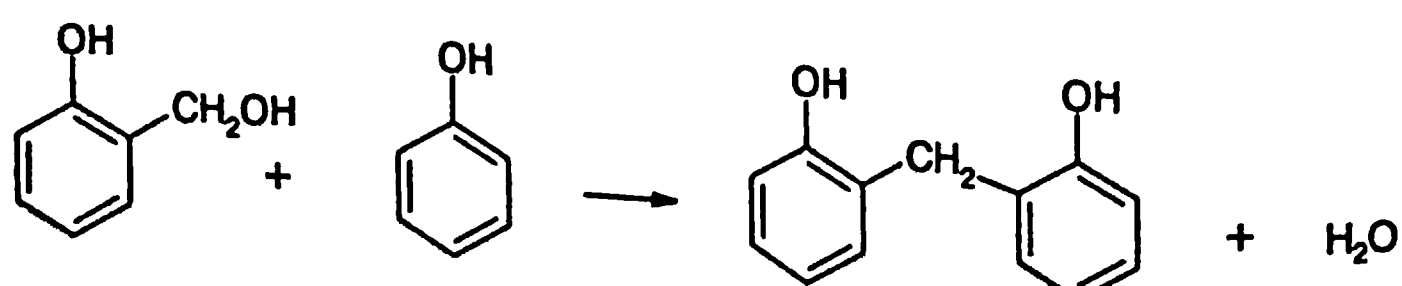
5.6.5. Фенопласти, аминопласти

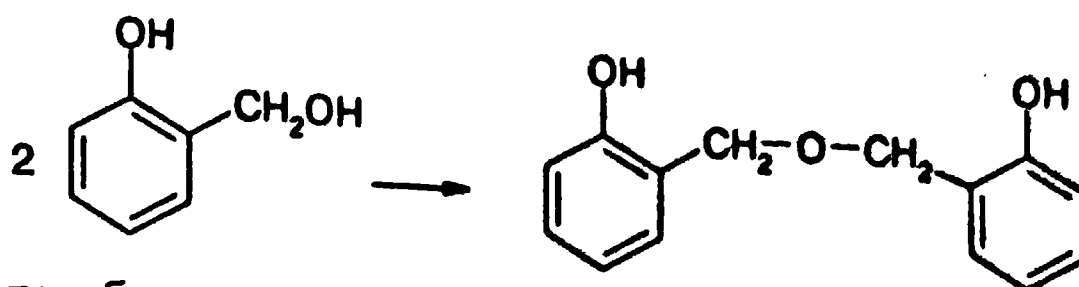
Фенолформальдегидные смолы. Фенопласти. Фенолформальдегидная смола была первым полимером, освоенным промышленным производством еще в 1909 г. Патент на ее производство был выдан Бакеланду, благодаря чему первый синтетический полимер долгое время назывался бакелитом. Термин «смола», в данном случае фенолформальдегидная, означает низкомолекулярный преполимер, т. е. растворимый продукт (олигомер), который при производстве готовых изделий сшивается с образованием трехмерного нерастворимого полимера.

Реакция между фенолом и формальдегидом катализируется как основаниями, так и кислотами. Преполимеры, получаемые при некотором избытке формальдегида в результате реакции, катализируемой сильными основаниями, называются резолами. Реакция начинается с образования фенолоспиртов:



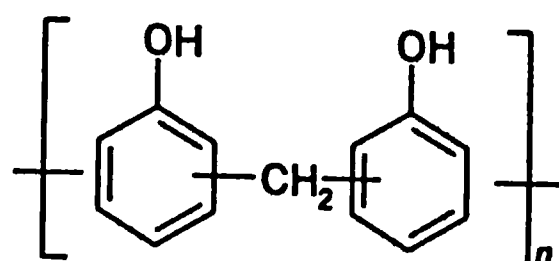
которые затем конденсируются:



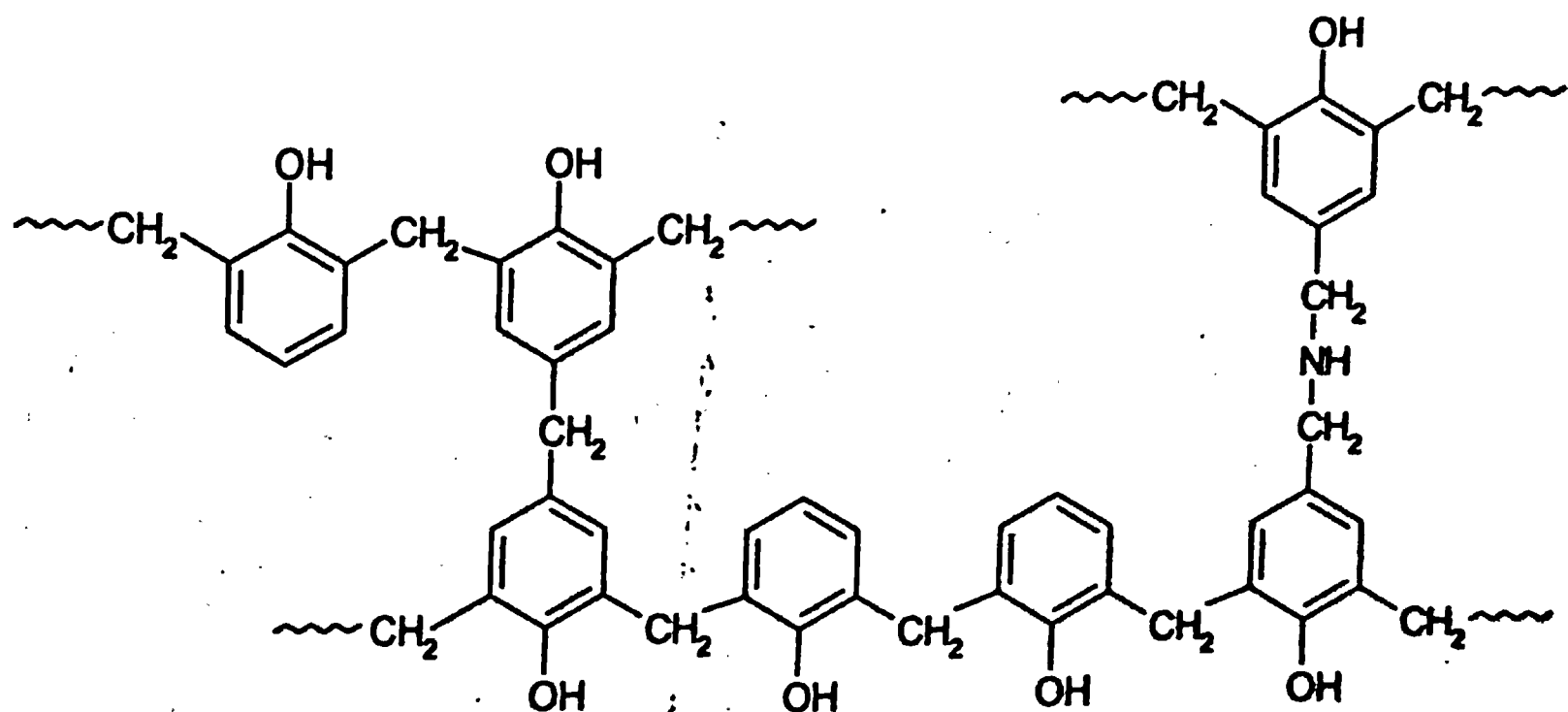


В результате образуются преполимеры-олигомеры с молекулярной массой более 10^3 и широким молекулярно-массовым распределением. Сшивание нейтрализованных резольных смол осуществляется нагреванием до 150–170 °С. При образовании сшитого полимера протекают те же две реакции конденсации, что и при образовании резолов. При этом гидроксильные группы фенола практически не затрагиваются в реакции поликонденсации.

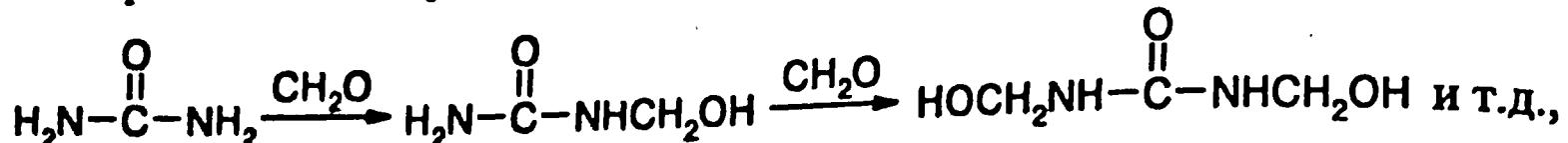
При кислотном катализе реакции между фенолом и формальдегидом образуются олигомеры, называемые новолаками или новолачными смолами, которые так же, как и в предыдущем случае, включают фенолоспирты и диоксифенилметаны различного строения и молекулярной массы. Однако, при получении новолаков, в отличие от резолов, в избытке берется фенол, поэтому ароматические ядра в основном связываются метиленовыми мостиками в орто-орто, орто-пара и пара-пара положениях. Конечный продукт реакции является линейным олигомером общей формулы:



Отверждение новолачных смол обычно проводится при нагревании до 160 °С в присутствии уротропина $(\text{CH}_2)_6\text{N}_4$ (гексаметилентетрамина), который принимает участие в сшивке молекул олигомера. Образующиеся с его участием сшивки способны к дальнейшим превращениям в результате термического распада, в конечном итоге остаются метиленовые, бензиламинные и некоторое количество азометиленовых сшивок $-\text{N}=\text{CH}-$. Содержание последних очень мало, однако, они придают желтоватую окраску полимеру. С учетом сказанного, фрагмент структуры сшитого полимера может быть представлен следующим образом:



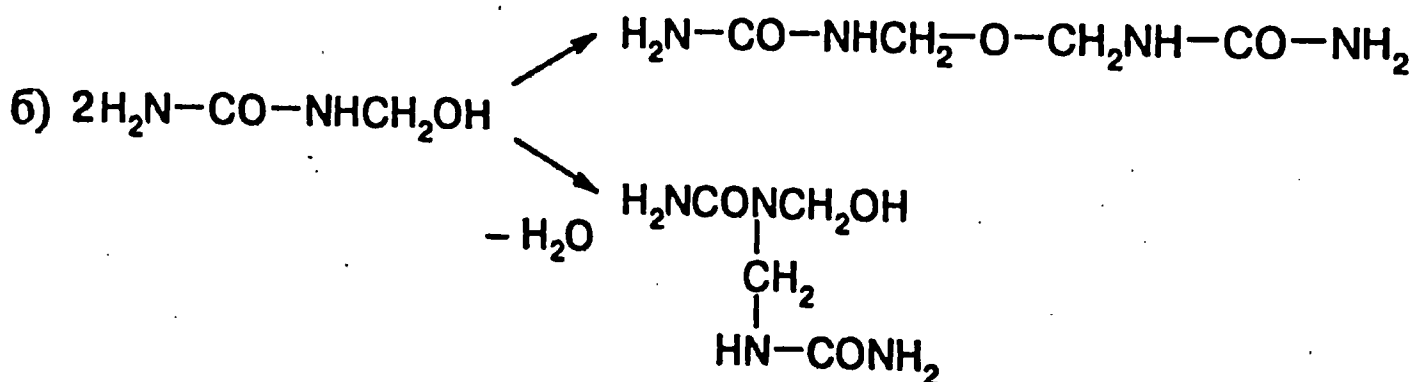
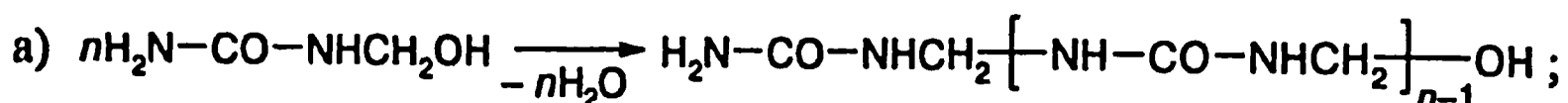
Аминопласти. К этому классу относятся сшитые полимеры, получаемые из фенола и аминов – мочевины и меламина. Преполимерами аминопластов являются аминофенольные смолы (олигомеры), получаемые конденсацией указанных выше реагентов, катализируемой кислотами или основаниями. Процесс напоминает тот, что рассмотрен выше для преполимеров фенола и альдегида. Из мочевины и формальдегида могут образоваться метилолмочевины различного строения:



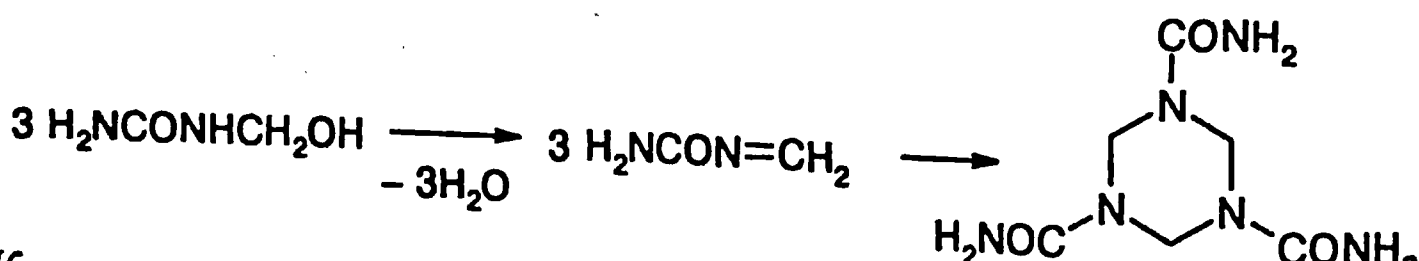
из которых относительно устойчивыми являются лишь монометилол и, в меньшей степени, диметилолмочевина, поскольку только они могут быть выделены из реакционной смеси.

Предполагается, что олигомеры образуются в основном за счет реакций с участием монометилолмочевины. В сильнощелочных средах происходит быстрая дегидратация метилолмочевины. Поэтому в производственном процессе метилольные производные мочевины получают в нейтральной или слабощелочной среде ($\text{pH } 7-8$), затем в слабокислой среде осуществляют их конденсацию при $70-120^\circ\text{C}$. Конденсация монометилолмочевины приводит к образованию линейных и разветвленных олигомеров. Основными реакциями являются:

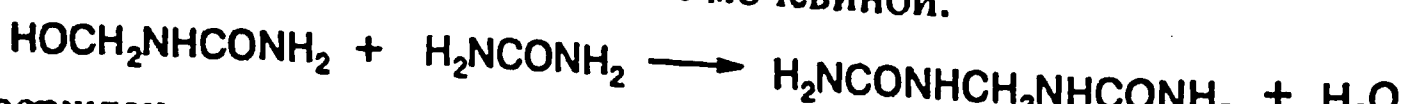
1. Самоконденсация:



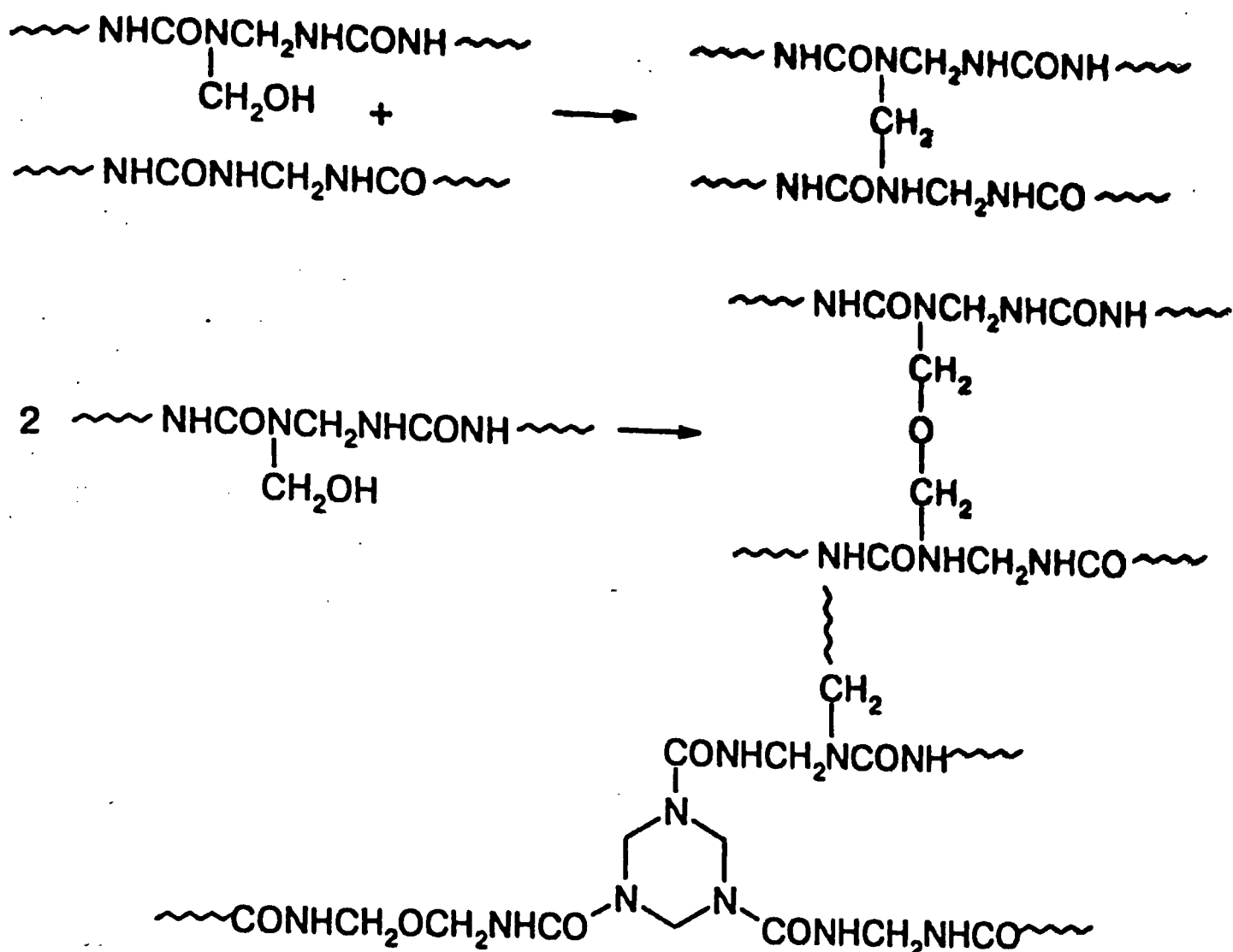
2. Дегидратация, сопровождаемая циклизацией:



3. Конденсация метилолмочевины с мочевиной:

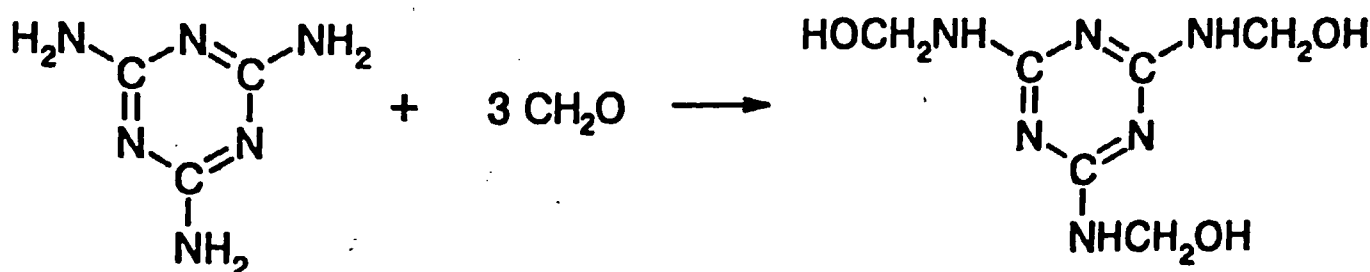


Отверждение олигомеров осуществляется в присутствии органических и неорганических кислот как катализаторов при температуре $120-140^\circ\text{C}$. Ребразованию метиленовых, диметилэфирных и циклосодержащих сшивок:



В приведенном выше фрагменте структуры аминопласта содержится диметилэфирная группа, эта же группа образует одну из возможных сшивок. Наличие диметилэфирной группы в аминопластах приводит к выделению формальдегида при их нагреве. Это обстоятельство имеет негативное значение с точки зрения экологии и медицины.

Меламино-формальдегидные смолы. Основные реакции образования меламино-формальдегидных смол и их последующей сшивки похожи на те, что рассмотрены выше для мочевино-формальдегидных. На первой стадии при 60–80 °С идет быстрая экзотермическая реакция образования триметилолмеламина, скорость которой практически не зависит от pH среды:

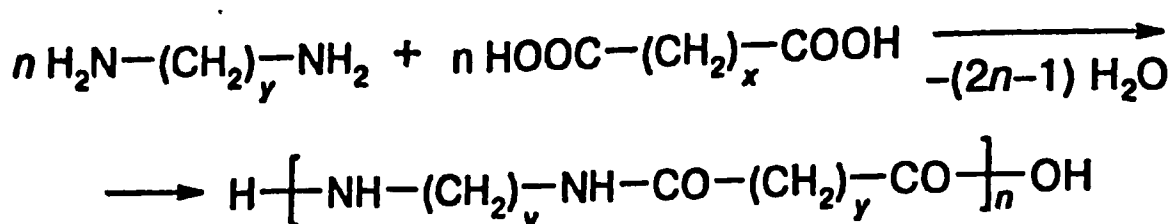
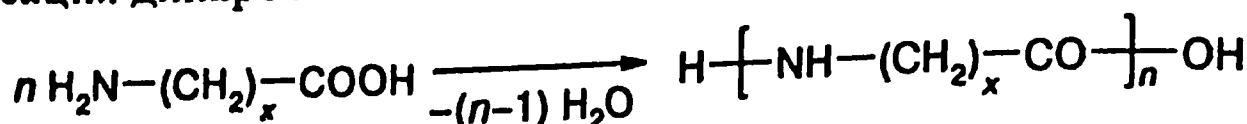


При значительном, примерно десятикратном избытке формальдегида, образуются пента- и гексапроизводные.

Конденсация метилолмеламинов проводится в слабокислой среде. В продукте поликонденсации обнаружаются метильные и диметилэфирные группы, что подчеркивает отмеченное выше сходство в механизмах образования мочевино-формальдегидных и меламино-формальдегидных смол. Отверждение последних происходит при более низких температурах – до 100 °С.

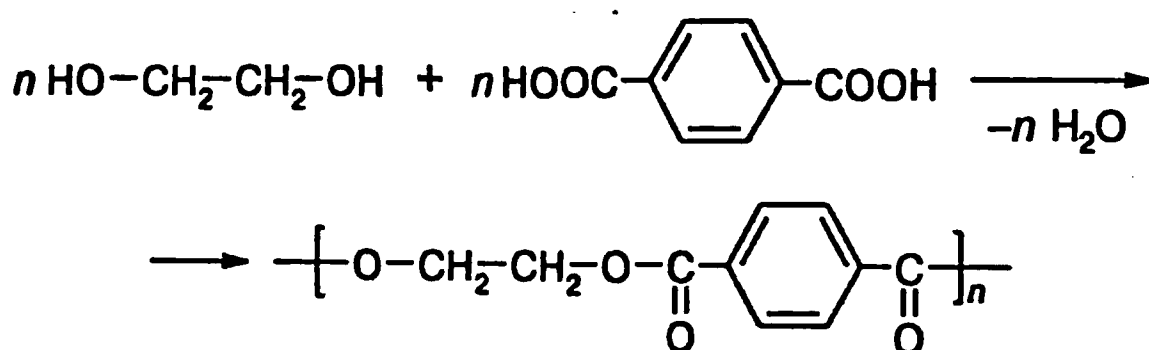
5.6.6. Полиамиды, полизфиры, поликарбонаты

Вторым крупным производством полимеров методом ступенчатой полимеризации явилось производство полиамидов. Некоторые из этих полимеров, например поли- ϵ -капроамид, получаются также цепной полимеризацией – ионной или гидролитической, о чем сообщалось ранее. Однако общим методом получения алифатических гибкоцепных полиамидов является поликонденсация дикарбоновых кислот и диаминов или аминокислот:

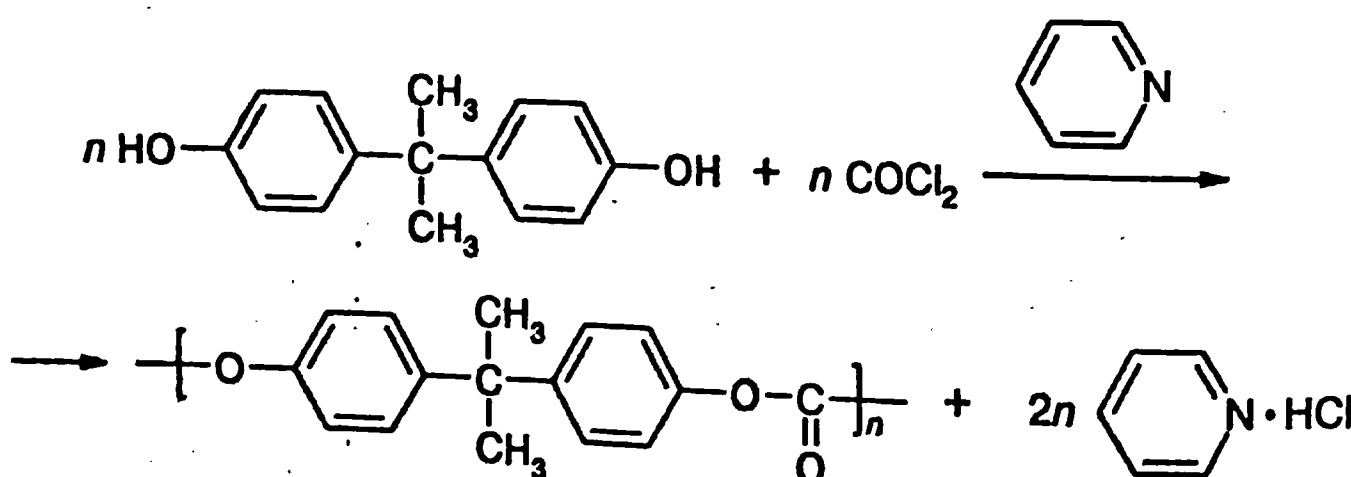


Промышленное производство полиамидов было освоено перед Второй мировой войной благодаря работам Карозерса.

Почти сразу после войны английскими химиками было освоено производство полизифиров, наиболее известным из которых является лавсан – полимер этиленгликоля и терефталевой кислоты:



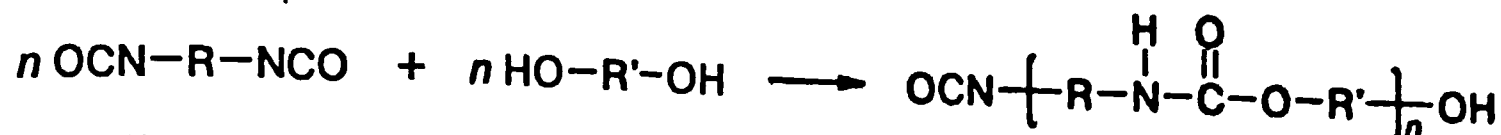
Поликарбонаты также могут быть отнесены к классу полизифиров. Общий способ их получения состоит в реакции хлорангидридов карбоновых кислот с фосгеном. Наиболее ценным из этих полимеров является поликарбонат, получаемый из «бисфенола А»:



На основе этого полимера получают прозрачный листовой материал с уникальными свойствами: с одной стороны, в него могут забиваться гвозди, а некоторые его композиции являются пулепропробиваемыми; с другой стороны, он легко обрабатывается, например, режется обычной ручной пилой.

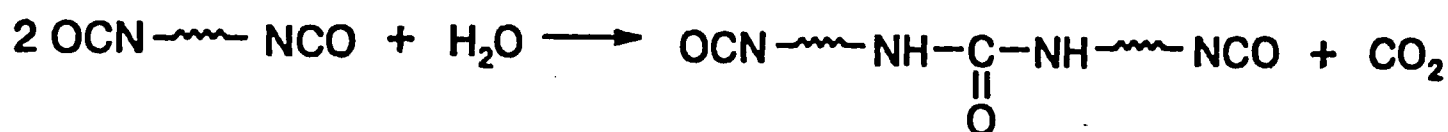
5.6.7. Полиуретаны. Полисилоксаны

Полиуретаны. Полиуретаны образуются в результате конденсации изоцианатных $-N=C=O$ и гидроксильных групп. Линейные полиуретаны образуются при поликонденсации диизоцианатов и гликолей:

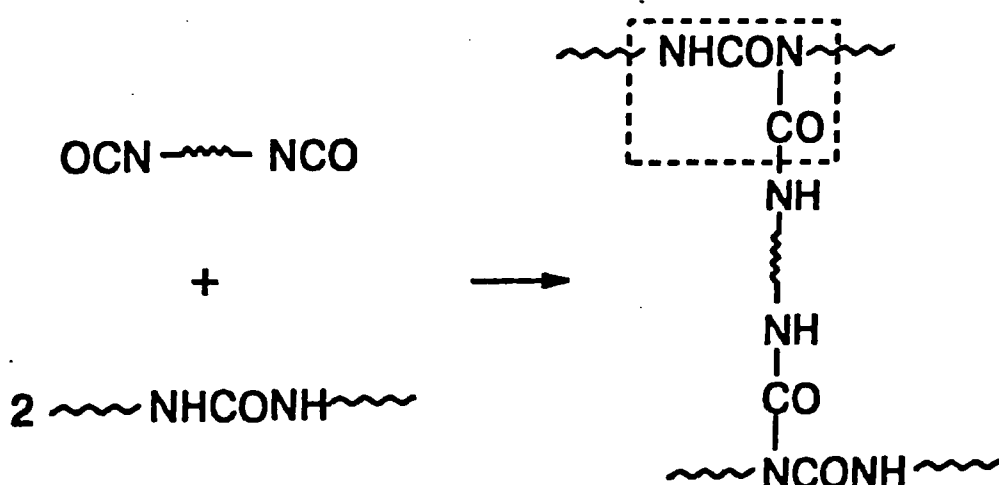


Важной особенностью реакции уретанобразования является отсутствие низкомолекулярных продуктов. В ряде случаев это позволяет получать изделия из полиуретанов методом химического формования.

Разветвленные и сшитые полиуретаны могут быть получены при поликонденсации изоцианатов и спиртов с функциональностью одного из компонентов $f \geq 3$. В рассмотренной выше реакции сшитый полимер будет образовываться при введении в реакционную смесь глицерина или три-*n*-изоцианатфенилметана. По второму способу сшитые полиуретаны получают в две стадии. На первой стадии образуется линейный полимер, имеющий на концах две изоцианатные группы, что достигается некоторым избытком соответствующего компонента в исходной реакционной смеси. Далее этот макроизоцианат отверждается, т.е. сшивается с низкомолекулярными протонодонорными соединениями, такими как вода, диолы, первичные и вторичные амины. При взаимодействии макроизоцианатов с водой можно выделить две последовательных реакции:



В первой из них, приведенной выше, образуется мочевина и выделяется углекислый газ. Мочевинные группы реагируют с макроизоцианатами, не вступившими в реакцию с водой с образованием биуретовых структур (выделена пунктиром на схеме), что приводит к сшиванию полимера:

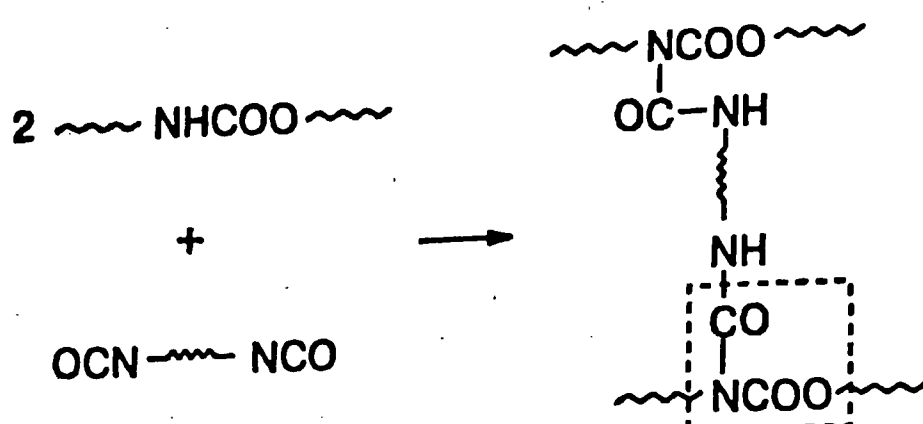


Выделяющийся CO_2 вспенивает реакционную массу благодаря протекающей параллельно сшивке макромолекул, образовавшаяся полимерная пена твердеет. Описанные выше реакции лежат в основе промышленного процесса получения пенополиуретанов. При необходимости количество мочевинных групп в цепи может быть увеличено при использовании в синтезе полиуретанов диолов в смеси с диаминами:

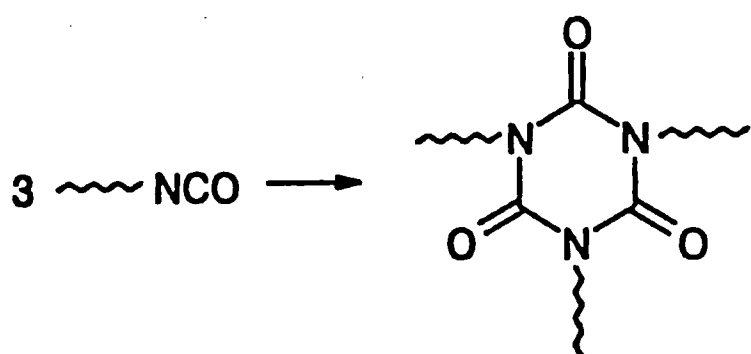


Наличие дополнительных мочевинных групп приводит к образованию более жестких продуктов в результате сшивки форполимера макроизоцианатами.

Макроизоцианаты могут вступать в реакцию сшивки также и с уретановыми группами, хотя последние являются в данном случае менее реакционно-способными по сравнению с мочевиной; помеченная структура называется аллофонатной:



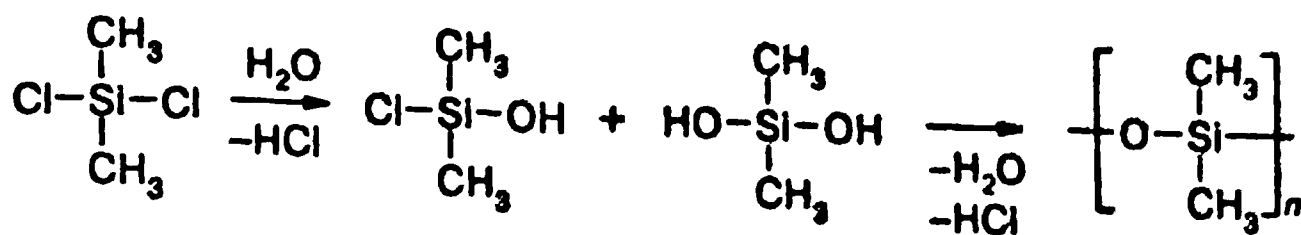
Третий путь возникновения узлов разветвления и сшивки при синтезе полиуретанов связан с тримеризацией изоцианатных групп и образованием изоциануратных циклов:



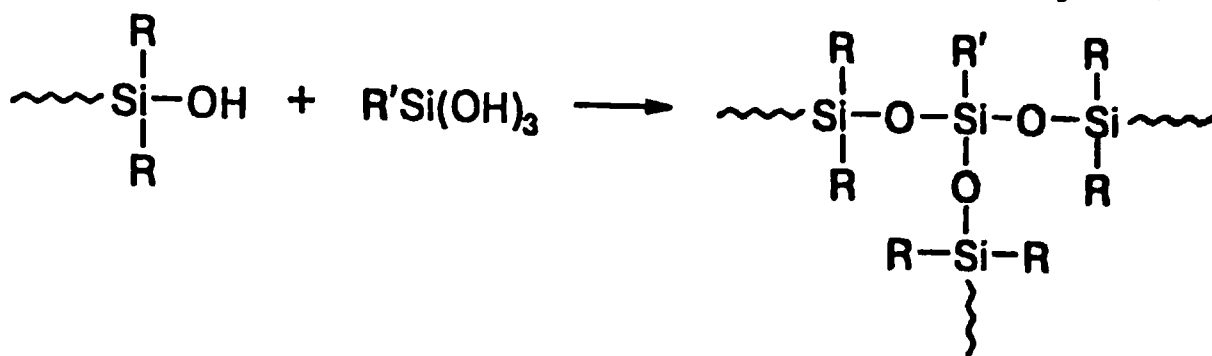
Реакция уретанобразования обычно проводится в массе, в расплаве реагентов при температурах, не превышающих 100°C , и очень часто при температурах, соответствующих окружающей среде. Последнее особенно характерно для герметиков, широко применяемых в быту и промышленности.

Свойства полиуретанов колеблются в широких пределах – от эластомеров до жестких материалов в зависимости от исходных реагентов, частоты и типа сшивки. Наиболее часто используются толуилендиизоцианат, 1,6-гексаметилендиизоцианат (для эластомеров), глицерин, гликоли – как низкомолекулярные, так и олигомерные, *m*- и *n*-фенилендиамины. Катализаторами реакции полиуретанобразования являются органические основания (амины), гидроксиды металлов, ацетилацетонаты железа, меди, ванадия и других металлов, оловоорганические соединения, например, дибутилдилаурат олова.

Полисилоксаны. Высокомолекулярные полисилоксаны получаются в результате ионной полимеризации с раскрытием цикла. Более низкомолекулярные продукты могут быть получены гидролитической поликонденсацией алкилхлорсиланов. Так, дихлорсиланы гидролизуются водой с образованием моно- и дигидроксисиланов, которые далее вступают в реакцию поликонденсации, сопровождающуюся выделением HCl . Катализатором реакции являются кислоты и основания:



В данном процессе образуется достаточно большое количество циклов, что требует специальной операции по их удалению. Обычно это делается путем достаточно длительного нагревания смеси в вакууме. При получении сшитых эластомеров используют реакции конденсации силанольных групп или гидросилирования. В первом случае используются низкомолекулярные преполимеры, содержащие на концах гидроксильные группы, и сшивающие агенты, легко гидролизующиеся под действием следов воды или влаги воздуха до $\text{RSi}(\text{OH})_3$:

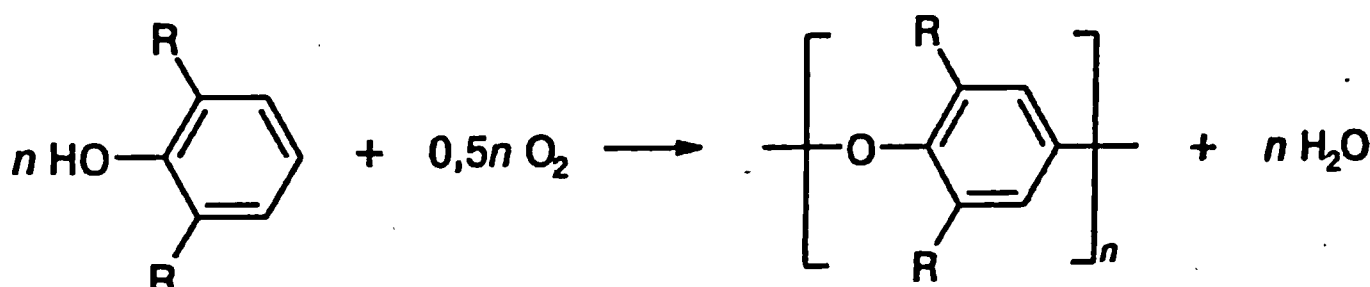


Во втором случае используют сополисилоксаны, содержащие винильные группы; сшивающими агентами являются многофункциональные гидриды кремния, катализатором – платинохлористоводородная кислота.

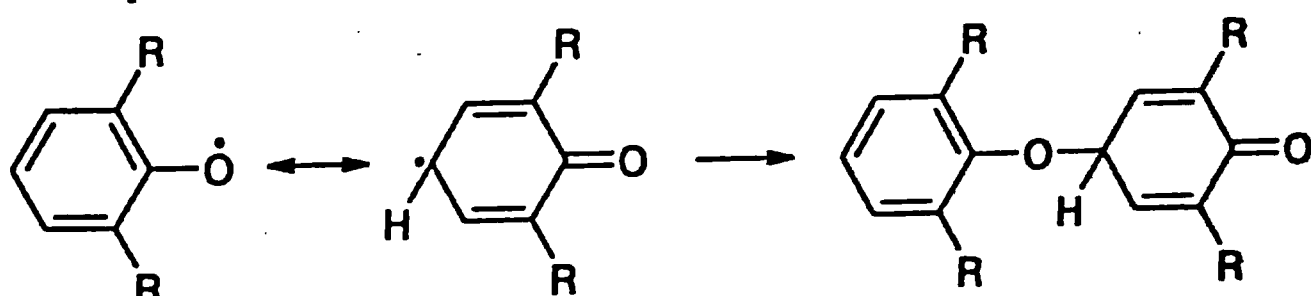
5.6.8. Жесткоцепные ароматические полимеры

Полимеры с существенно большей температурой эксплуатации и прочностью, содержащие, как правило, в цепи ароматические структуры и поэтому являющиеся жесткоцепными, появились позже рассмотренных нами ранее полимеров общего назначения.

Ароматические полиэфиры, полиэфиркетоны, полиэфирсульфоны. Ароматические полиэфиры образуются в результате окислительной поликонденсации 2,6-дизамещенных фенолов:

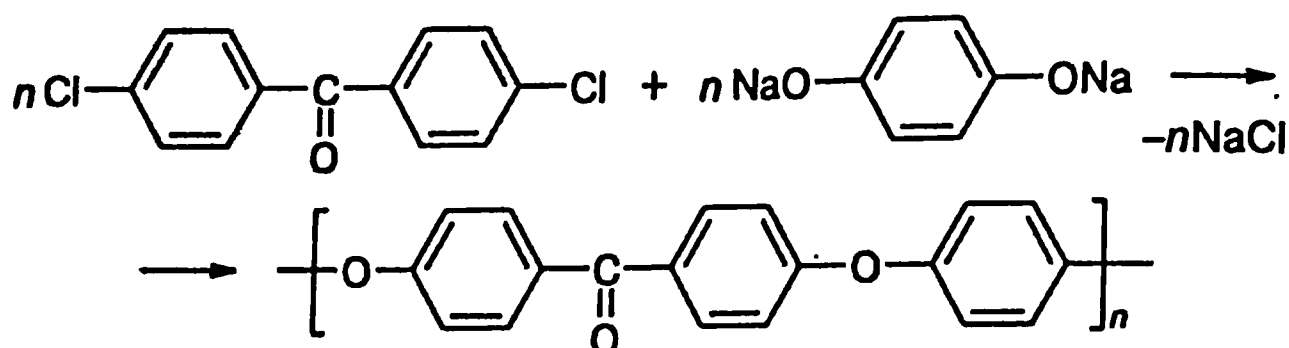


Кислород барботируется через толуольный раствор мономера при умеренной температуре (до 50°C). В качестве катализатора применяется комплекс соли меди и амина (диэтиламин, пиридин). Первичным актом является окисление фенола до феноксирадикалов:

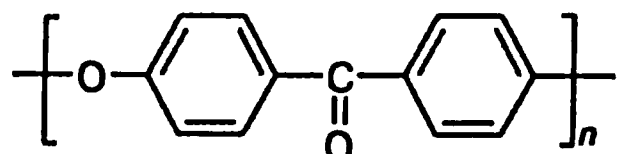


которые затем димеризуются с образованием связи С–О. Далее цепь превращений включает аналогичные реакции – окисление *n*-меров с образованием феноксирадикалов и их соединение между собой и с первичными феноксирадикалами, сопровождаемое диссоциацией термодинамически невыгодных структур. В настоящее время производится поли-*n*-фениленоксид. На его основе получают смеси с ударопрочным полистиролом и эластомерами, которые находят широкое применение в автомобильной, электротехнической и других отраслях промышленности.

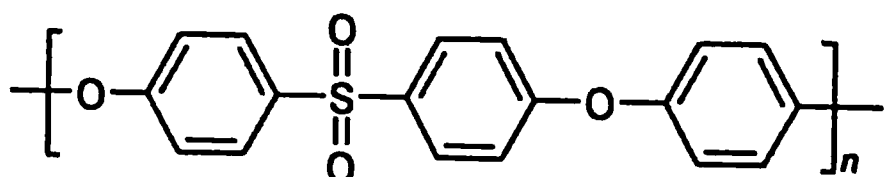
Ароматические полизэфиры могут быть также получены нуклеофильным замещением. Ниже приведена типичная реакция образования полизэфирэфиркетонов при 250 °C:



Аналогичным образом получаются полизэфиркетоны:



и полизэфирэфирсульфоны при 150 °C:

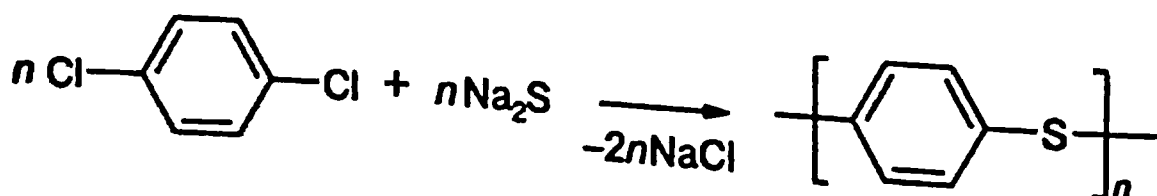


Эти реакции возможны благодаря электроноакцепторному действию групп CO и SO₂ по отношению к ароматическим ядрам.

Полизэфирэфиркетоны и полизэфиркетоны имеют T_c 143 и 165 °C, T_{пл} 334 и 365 °C. Устойчивы к действию органических и водных растворителей в широком интервале pH, температура эксплуатации лежит в пределах 240–280 °C. Используются в химической, нефтяной, аэрокосмической отраслях, в агрессивных средах и при высокой температуре.

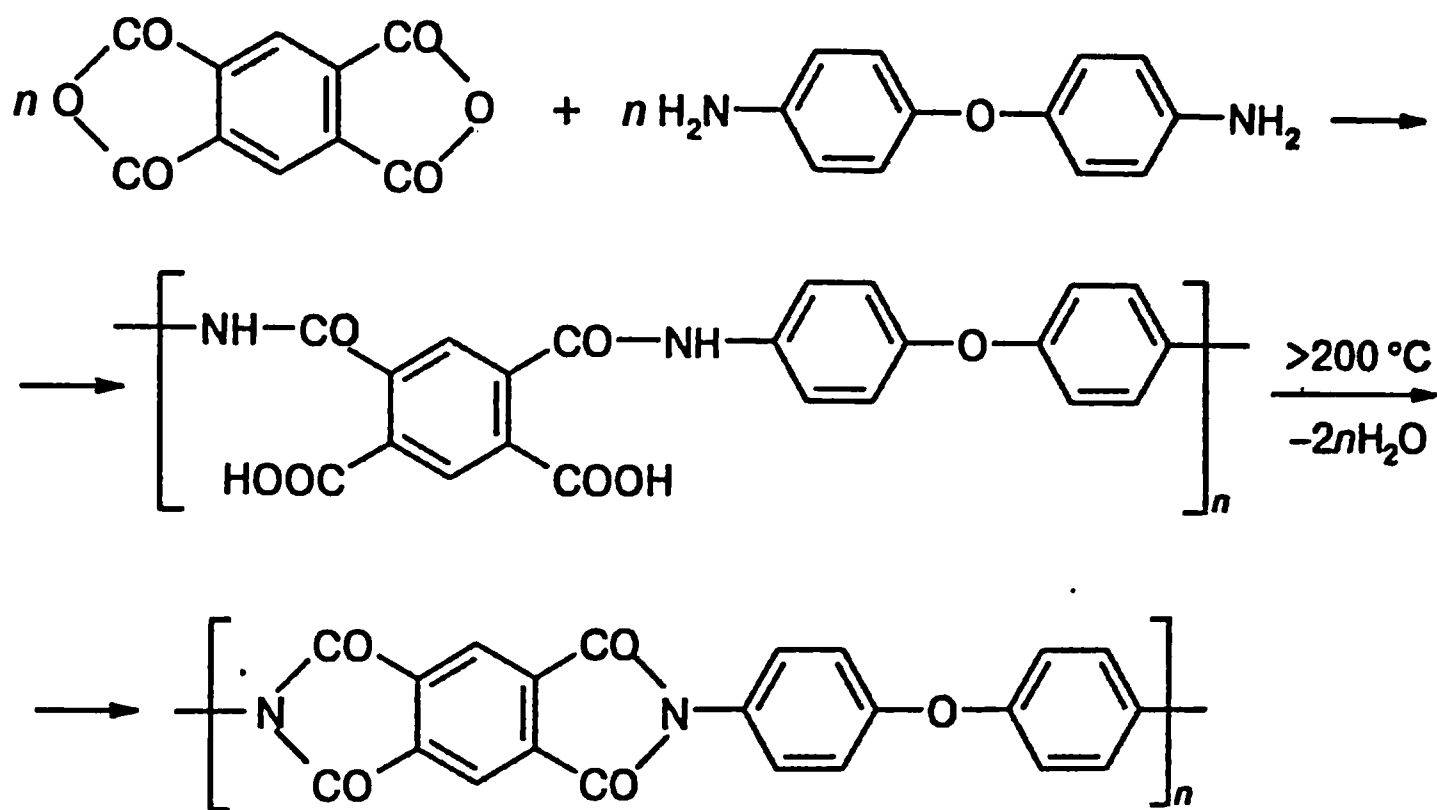
Полизэфирсульфоны могут эксплуатироваться при 150–200 °C. Полимеры аморфны, T_c 180–230 °C, имеют хорошие механические свойства благодаря жестким полимерным цепям. Химически стойки к различным pH, наличию оксидантов.

Ароматические полисульфины. В настоящее время наибольшее применение нашел поли-*n*-фениленсульфид, производимый из *n*-дихлорбензола и сульфида натрия:

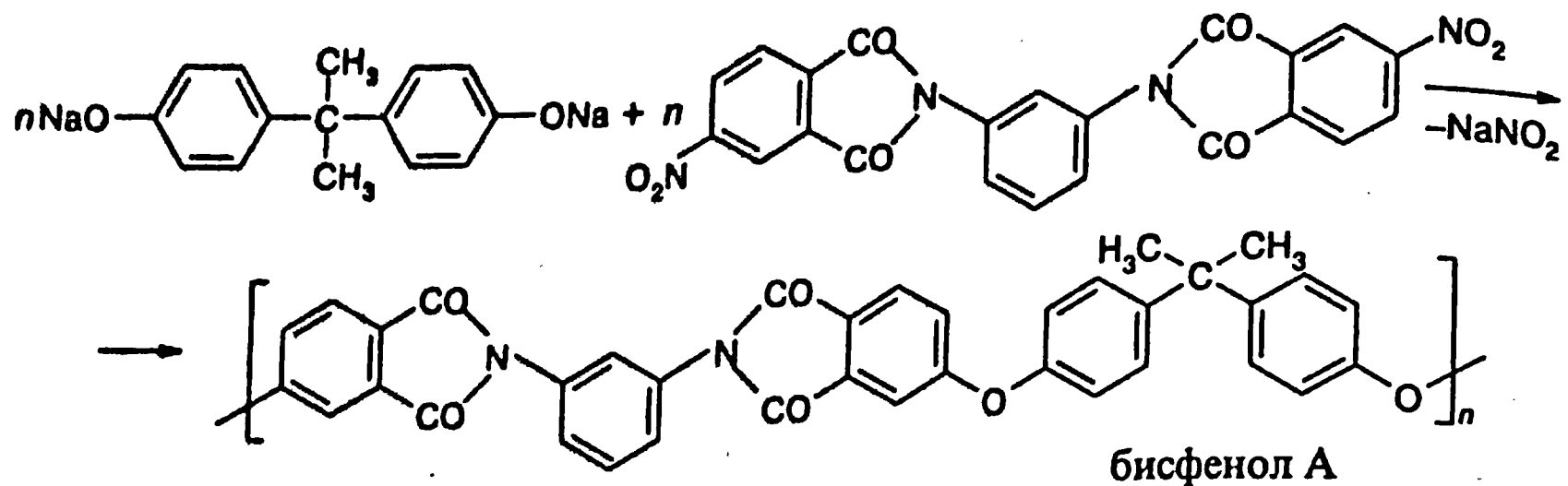


Реакция проводится при 230–250 °C в полярных растворителях. Полимер имеет степень кристалличности порядка 60–70 %, T_m 285 °C, T_c 85 °C. Верхний температурный предел эксплуатации 200–240 °C. Устойчив к органическим и водным растворителям, а также к горению. Области применения включают автомобильную, светотехническую и многие другие отрасли применения, где требуются термопласти с более высокими показателями по температуре эксплуатации и прочности. Смеси ароматических полимеров с фторуглеродными полимерами используются для изготовления жаропрочных покрытий посуды, например сковород.

Ароматические полиимида. Ароматические полиамиды получаются в две стадии. Так, при взаимодействии тетрафункционального диангидрида пиromеллитовой кислоты (1,2,4,5-бензолтетракарбоновой) с 4,4'-диаминодифениловым эфиром в растворе амидных растворителей при 25 °C образуется поли(*N,N'*-дифенилоксид)пиromеллитовая кислота, являющаяся полиамидом. Нагревание полученного полимера в твердой фазе при 200–250 °C при пониженном давлении приводит к замыканию амидного цикла и образованию поли(*N,N'*-дифениленоксидпиromеллитимида):

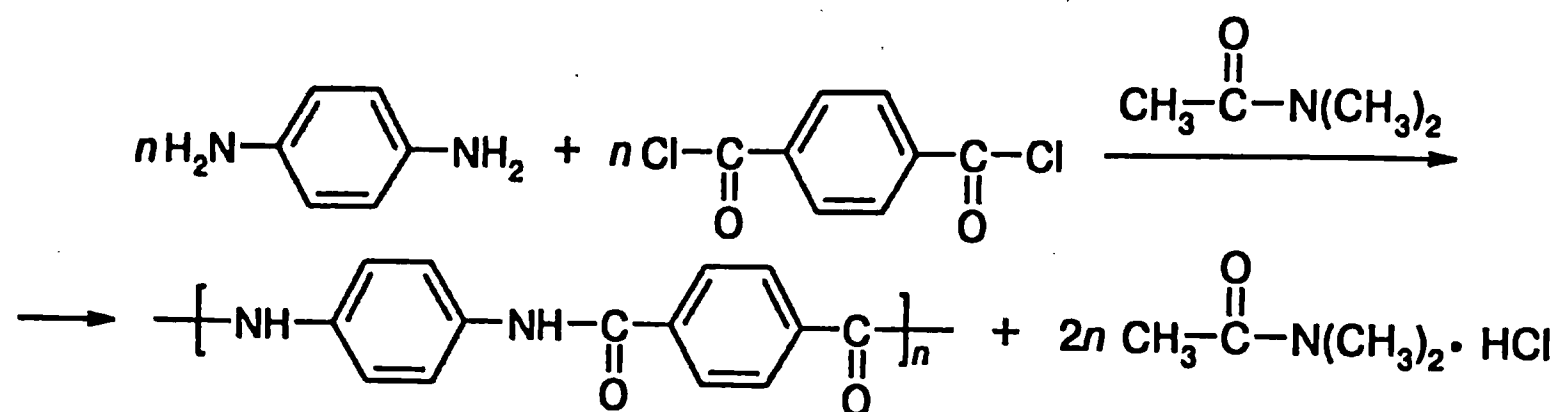


Следует подчеркнуть, что по окончании циклизации полимер теряет растворимость, поэтому процесс желательно проводить в изделии, например, в пленке или покрытии. Предельные температуры эксплуатации этого полимера достигают 300–350 °C, он устойчив ко всем растворителям и окислителям, однако, гидролитическая устойчивость оставляет желать лучшего. Слишком жесткая цепь ароматических полиидов потребовала дополнительных приемов при синтезе годных к эксплуатации материалов. Как правило, в цепь вводятся гибкие развязки, такие как эфирная связь в приведенном выше поли-*N,N'*-дифениленоксидпиromеллитимиде. Используются также метиленовые, изопропильные, карбонильные, сульфоновые и другие фрагменты, не слишком ухудшающие термостабильность базового полимера. Подобный прием привел к модифицированным полиидам, способным к переработке, например к полизэфиримидам:

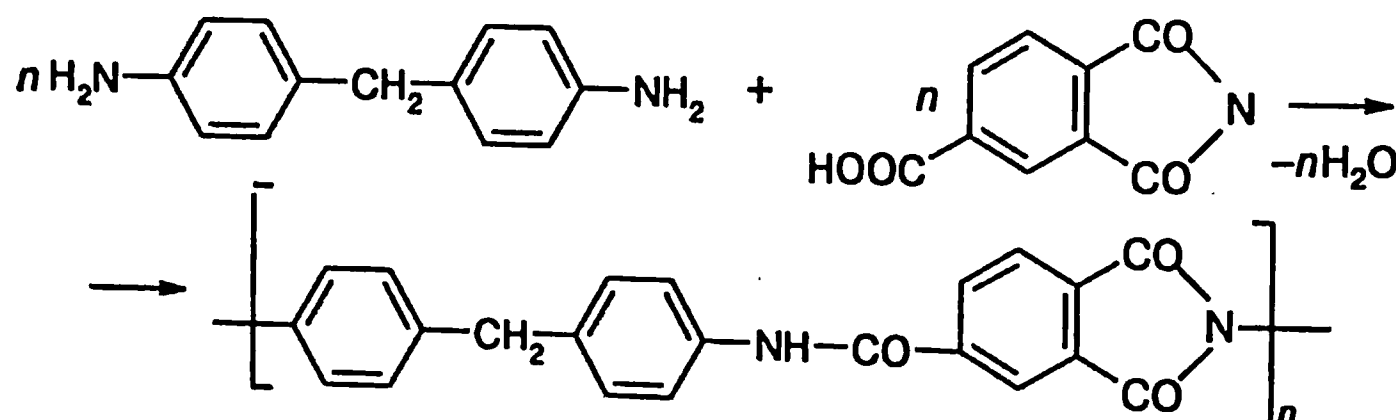


Температура стеклования этого полимера 215°C , предельная температура эксплуатации $170-180^{\circ}\text{C}$.

Ароматические полиамиды, полиамидоимиды. На основе первых получен известный материал «Кевлар» (поли-*p*-бензамид). В настоящее время его получают реакцией между ароматическими диаминами и дихлорангидридами. Наиболее известный пример, реализованный в промышленности, – образование поли-*p*-фенилентерефталамида из *n*-фенилендиамина и дихлорангидрида терефталевой кислоты:



Полиамидоимиды содержат в цепи амидные и имидные группы:



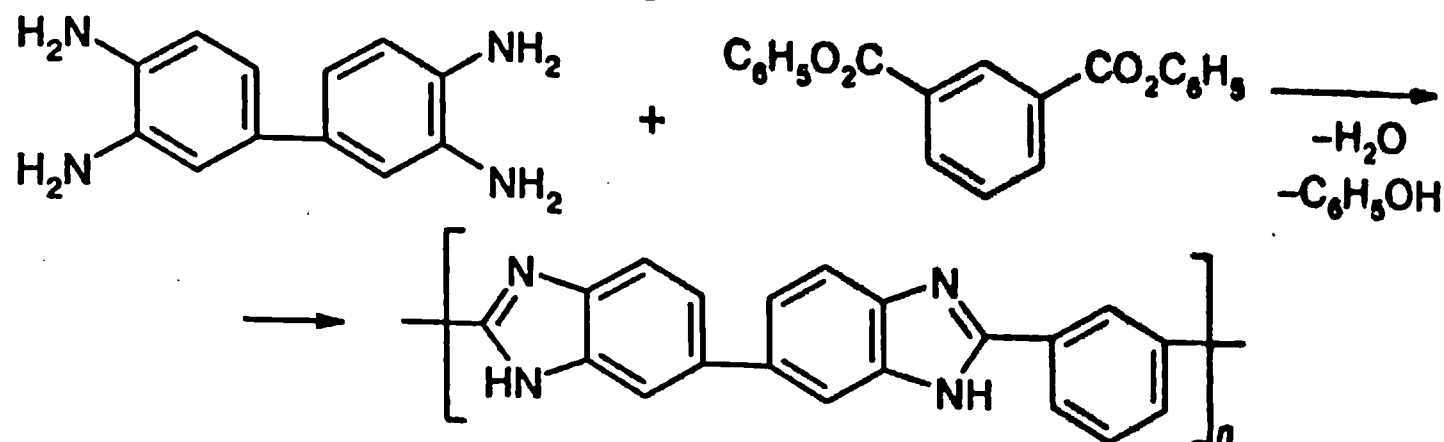
T_g этого полимера достигает $270-280^{\circ}\text{C}$, температура эксплуатации – до 230°C , он используется в ракетостроении, а также в машиностроении при изготовлении узлов трения.

Жесткоцепные жидкокристаллические полимеры. Условием возникновения жидкокристаллического состояния в полимерах является наличие в их цепях фрагментов с ярко выраженным асимметричным строением, чаще всего в виде жестких стержней.

Среди первых жидкокристаллических полимеров первой группы были поли-1,4-оксибензоил и ароматические полиамиды. Однако из-за плохой растворимости и слишком высокой температуры плавления они не могли быть использованы в практических целях. Поэтому были разработаны ме-

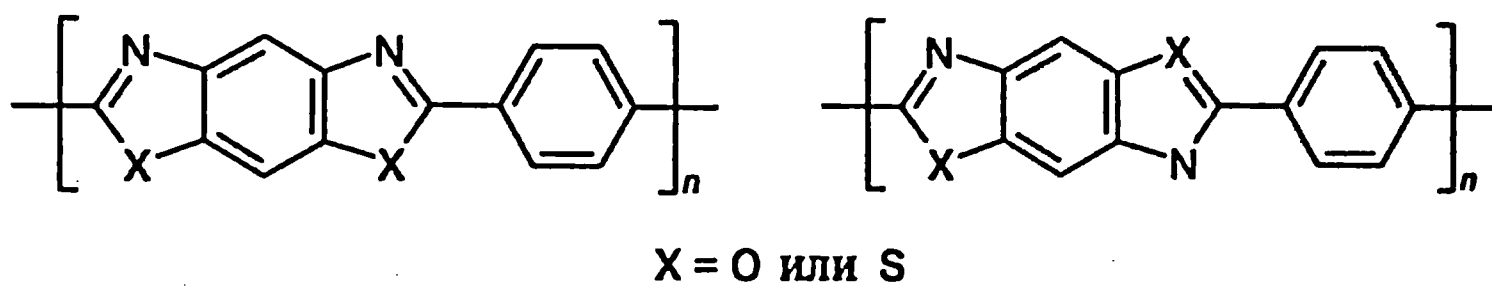
тоды модификации, направленные на некоторое снижение жесткости основной цепи, точнее, придания ей дискретного характера.

Так, был синтезирован полибензимидазол; ниже приведена реакция, используемая в производственном процессе:

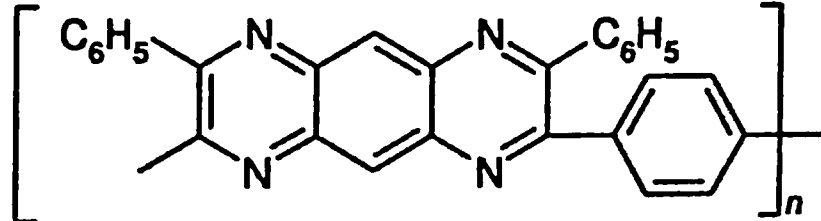


Этот полимер устойчив и может эксплуатироваться до 300°C. Макромолекулы в растворах полимера ориентированы определенным образом по отношению друг к другу, поэтому из них достаточно легко формируются высокопрочные волокна, подверженные прядению. Полученный материал используется для изготовления скафандров летчиков-высотников и космонавтов.

Подобным образом могут быть синтезированы другие полимеры с пятичленными циклами, способные к жидкокристаллическому упорядочению, например, полибензоксазолы и полибензтиазолы. Ниже представлены *цис*- и *транс*-структуры этих полимеров. Их свойства близки к свойствам полибензимидазолов.



Из полимеров, содержащих шестичленные циклы, наиболее перспективными, по-видимому, являются полифенилхиноксалины:



которые обладают высокой химической стойкостью, хорошим комплексом механических свойств, высокой термостабильностью и потенциальной возможностью переработки через технологию термопластов (например, прессованием порошка) благодаря заметно большей температуре начала термического распада по сравнению с температурой стеклования.

5.6.9. Сверхразветвленные полимеры

Возможность образования сверхразветвленных полимеров из полифункциональных мономеров типа ARB₂, где A и B реагируют лишь друг с другом, но не с подобными себе, была показана Флори еще в 1952 г. Но лишь в

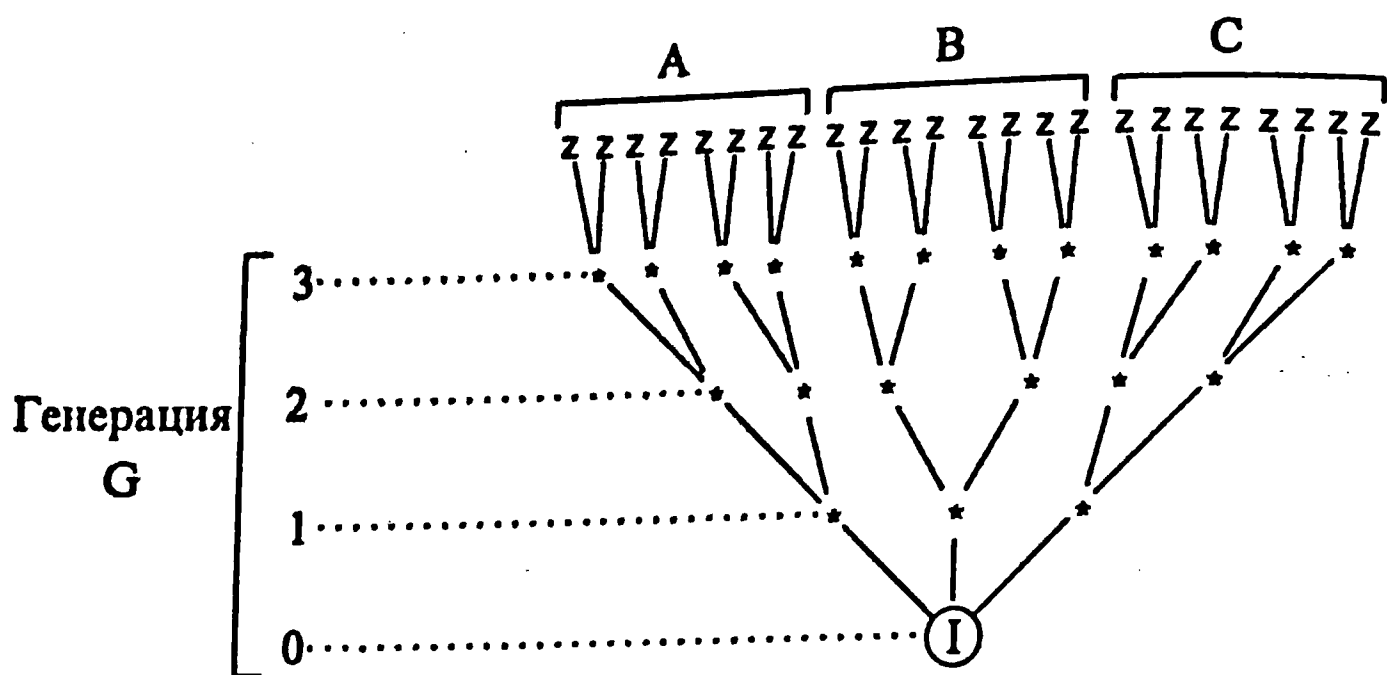


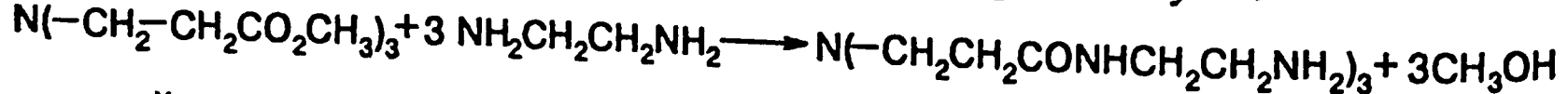
Рис. 5.16. Химический график дендримера, состоящего из трех крон (дендронов):
I – корень; G – генерации или поколения ветвлений; A, B, C – дендроны;
z – терминальные (конечные) функциональные группы; * – узлы ветвлений

1980-х гг. были разработаны методы синтеза таких полимеров разной химической природы. Сверхразветвленные полимеры регулярного строения называют дендримерами. Макромолекула дендримера состоит из 1–4 крон, растущих из одного корня. Такие кроны называются дендронами (от греческого *dendron* – дерево). Схематическое строение дендримера, состоящего из трех крон, представлено на рис. 5.16 так называемым химическим графиком.

Дендримеры обычно получают методами контролируемого многоступенчатого синтеза. Первый целенаправленный синтез полиаминоамидного дендримера был осуществлен Томалиа в 1980-х гг.* Для формирования центра или корня макромолекулы был использован аммиак, который количественно реагирует при комнатной температуре с метилакрилатом (А) по реакции Михаэля:



Образовавшееся трехфункциональное соединение после очистки было подвергнуто обработке избытком диамина (Б) при комнатной температуре, в результате чего был сформирован зародыш макромолекулы:



который после очистки был обработан метилакрилатом, т. е. проведена реакция типа (А).

Далее путем последовательно повторяющихся операций:

очистка — Б — очистка — А — очистка и т. д.

был получен дендример с молекуллярной массой, доходящей до $7 \cdot 10^5$.

* Развитию и популяризации дендримерной химии способствовала основополагающая работа Tomalia D. A., Naylor A. M., Goddard W. A. Angew. Chem. Int. Ed. Engl. 29. 138 (1990).
278

Таким образом, при формировании полиамидоаминного дендримера ветвление происходит на группах $-NH_2$, а повторяющимся звеном, т.е. отрезком цепи между двумя соседними узлами, является фрагмент



Степень полимеризации, т.е. число повторяющихся звеньев, число терминальных (конечных) групп легко могут быть рассчитаны из простейших экспоненциальных зависимостей, вытекающих из химического графа, приведенного на рис. 5.16. Также просто можно рассчитать размеры сферической макромолекулы дендримера, зная число генераций и длины химических связей.

Одностадийными методами из мономеров Флори получаются сверхразветвленные полимеры менее регулярной структуры по сравнению с дендримерами. Считается, однако, что это обстоятельство не приводит к слишком большому отличию их свойств от свойств аналогичных по составу и молекулярной массе дендримеров. Одним из первых примеров явилась ступенчатая полимеризация 2,5,6-трибромфенола, приводящая к образованию сверхразветвленного ароматического полизифира. Химия сверхразветвленных полимеров или дендримеров является одной из наиболее бурно развивающихся областей химии ВМС.

5.7. Общие вопросы синтеза полимеров

5.7.1. Термодинамика синтеза

Полимеризация мономера возможна при условии:

$$\Delta G = \Delta H - T\Delta S < 0, \quad (5.124)$$

где ΔG , ΔH , ΔS – изменения функции Гиббса, энталпии и энтропии системы при превращении одного моля мономера в полимер, их называют, соответственно, функцией Гиббса, энталпией и энтропией полимеризации.

При цепной полимеризации мономеров с двойными углерод-углеродными связями энтропия и энталпия полимеризации отрицательны, что иллюстрируется данным и табл. 5.16. Условие $\Delta H < 0$, $\Delta S < 0$ означает, что полимеризация термодинамически разрешена при температурах, меньших некоторой критической:

$$T_n = \frac{\Delta H}{\Delta S}, \quad (5.125)$$

которая называется верхней предельной температурой полимеризации.

При $T > T_n$ и $\Delta G > 0$ полимеризация термодинамически запрещена, и возможна лишь деполимеризация макромолекул. При $T = T_n$ и $\Delta G = 0$ в системе устанавливается полимеризационно-деполимеризационное равновесие:

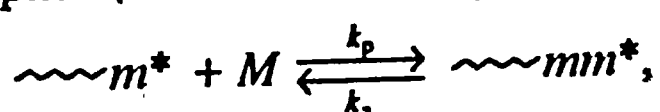


Таблица 5.16

Энтальпии и энтропии полимеризации некоторых мономеров, 25 °C

Мономер	-ΔH°, кДж/моль	-ΔS°, Дж/(моль · К)
Этилен	93	155
Пропилен	84	116
Изобутилен	48	121
1,3-Бутадиен	73	89
Изопрен	75	101
Стирол	73	104
α-Метилстирол	35	110
Винилхлорид	72	—
Тетрафторэтилен	163	112
Акриловая кислота	67	—
Акрилонитрил	76,5	109
Винилацетат	88	110
Малеиновый ангидрид	59	—
Метилакрилат	78	—
Метилметакрилат	56	117

где $\sim\sim m^*$ – растущая и $\sim\sim mm^*$ – деполимеризующаяся активные цепи; k_p и k_d – константы скорости роста и деполимеризации цепи, соответственно.

Сделанные выводы справедливы, если при полимеризации концентрации мономера и полимера не изменяются, что, например, имеет место при гетерофазной полимеризации в масле. В этом случае в ходе реакции лишь изменяется количество мономерной и полимерной фаз.

Более распространенной является гомогенная полимеризация в растворителе или в масле, при которой концентрация мономера изменяется в ходе полимеризации. В таких системах предельные температуры связаны с равновесными концентрациями мономера. Эта связь может быть выявлена при анализе полимеризационно-деполимеризационного равновесия, при котором скорости полимеризации и деполимеризации равны:

$$k_p[m^*][M] = k_d[m^*], \quad (5.126)$$

где $[m^*]$ и $[M]$ – концентрации активных цепей и мономера соответственно. Из уравнения (5.126) может быть получено выражение, связывающее константу равновесия реакции $K_{\text{равн}}$ с равновесной концентрацией мономера $[M]$:

$$K_{\text{равн}} = \frac{k_p}{k_d} = \frac{1}{[M]}. \quad (5.127)$$

Применяя к данному равновесию уравнение изотермы реакции:

$$\Delta G = \Delta G^0 + RT \ln K_{\text{равн}} \quad (5.128)$$

и учитывая, что при равновесии $\Delta G = 0$, получаем:

$$\Delta H^0 - T \Delta S^0 = -RT \ln K_{\text{равн.}} \quad (5.129)$$

Выразив в уравнении (5.129) константу равновесия через равновесную концентрацию мономера, получаем уравнение, связывающее предельную равновесную температуру полимеризации и равновесную концентрацию мономера:

$$T_n = \frac{\Delta H^0}{\Delta S^0 + R \ln[M]} \quad (5.130)$$

или

$$\ln[M] = \frac{\Delta H^0}{RT_n} - \frac{\Delta S^0}{R} \quad (5.131)$$

Уравнение (5.131) позволяет рассчитывать равновесные концентрации мономера и, следовательно, предельные конверсии при любой температуре полимеризации. Из вышеизложенного ясно, что эти характеристики зависят в большей степени от энталпии полимеризации. Из табл. 5.16 можно сделать вывод, что среди мономеров с двойными углерод-углеродными связями наиболее характерные значения энталпии полимеризации находятся в интервале 70–90 кДж/моль. Это обеспечивает высокие предельные температуры полимеризации и весьма малые равновесные концентрации мономера. Например, предельные температуры полимеризации для чистых стирола и метилметакрилата составляют 310 и 220 °С, а их равновесные концентрации при 25 °С равны $1 \cdot 10^{-6}$ и $1 \cdot 10^{-3}$ моль/л соответственно.

Среди рассматриваемых мономеров наименьшими энталпиями полимеризации обладают α -метилстирол и изобутилен (35 и 48 кДж/моль соответственно). Данное обстоятельство оказывает определенное влияние на полимеризацию этих мономеров, особенно ощутимое в случае α -метилстирола. Этот мономер не может быть превращен в полимер при температурах, превышающих 61 °С, поскольку эта температура является верхней предельной температурой полимеризации чистого мономера. Но и при более низкой температуре условия полимеризации этого мономера остаются неблагоприятными с термодинамической точки зрения. При 25 °С равновесная концентрация α -метилстирола составляет 2,2 моль/л, что соответствует предельной конверсии порядка 50 %. Рассмотренная ситуация становится еще более неблагоприятной по отношению к полимеризации карбонильных мономеров, например альдегидов, что следует из табл. 5.17. Предельные температуры полимеризации большинства альдегидов, исключая формальдегид, слишком низки.

Физические состояния: к – кристаллическое, э – высокоэластичное, ж – жидкое, г – газообразное.

Помимо верхней, существует нижняя предельная температура полимеризации. При условии $\Delta H > 0$, $\Delta S > 0$ полимеризация возможна при

$$T > T_n = \frac{\Delta H}{\Delta S}, \quad (5.132)$$

Таблица 5.17

Энталпии ΔH° , энтропии ΔS° , функции Гиббса ΔG°
и предельные температуры полимеризации T_p альдегидов, 25 °C

Альдегид	Физическое состояние мономера и полимера	$-\Delta H^\circ$, кДж/моль	$-\Delta S^\circ$, Дж/(моль · К)	$-\Delta G^\circ$, кДж/моль	T_p , °C
Метаналь	ж, к	46,4	86,6	20,5	
Пропаналь	ж, к	19,4	85,5	-6,1	-48 (ж, к)
	ж, э	14,4	71	-6,8	-70 (ж, э)
Пентаналь	ж, к	26,3	106	-5,9	-25 (ж, к)
	ж, э	16,3	64	-2,7	-19 (ж, э)
Гексаналь	ж, к	32,8	136	-7,3	-32 (ж, к)

т.е. при температурах, превышающих предельную температуру полимеризации. Известными примерами являются образование линейных полимеров из восьмичленных циклов серы, селена и октаметилциклотрасилоксана. В первых двух случаях нижние предельные температуры равны 159 и 83 °C.

Поскольку для каждого мономера существует множество предельных температур полимеризации, в научной литературе и справочниках указывается, как правило, единственная предельная температура, отвечающая чистому мономеру, концентрация которого в этом случае составляет величину порядка 10 моль/л, либо равновесной концентрации мономера, равной 1 моль/л.

При нагревании полимера до температуры, превышающей верхнюю предельную, он становится термодинамически неустойчивым, но это не означает, что данный полимер немедленно распадается до мономера. Это может

произойти лишь при случайных разрывах основной цепи или наличии в макромолекуле термически нестабильных групп или активных центров (в случае живых полимеров), инициирующих деполимеризацию.

Ряд практически значимых полимеров получается в результате цепной полимеризации циклов. С другой стороны, при ступенчатой полимеризации образование циклов является побочной нежелательной реакцией. Термодинамические характеристики реакций, связанных с раскрытием или образованием циклов, в значительной мере определяются степенью напряжения последних. На рис. 5.17 приведены энергии напряжения циклов, отнесенные к одной группе CH_2 , которые были рассчитаны, исходя из раз-

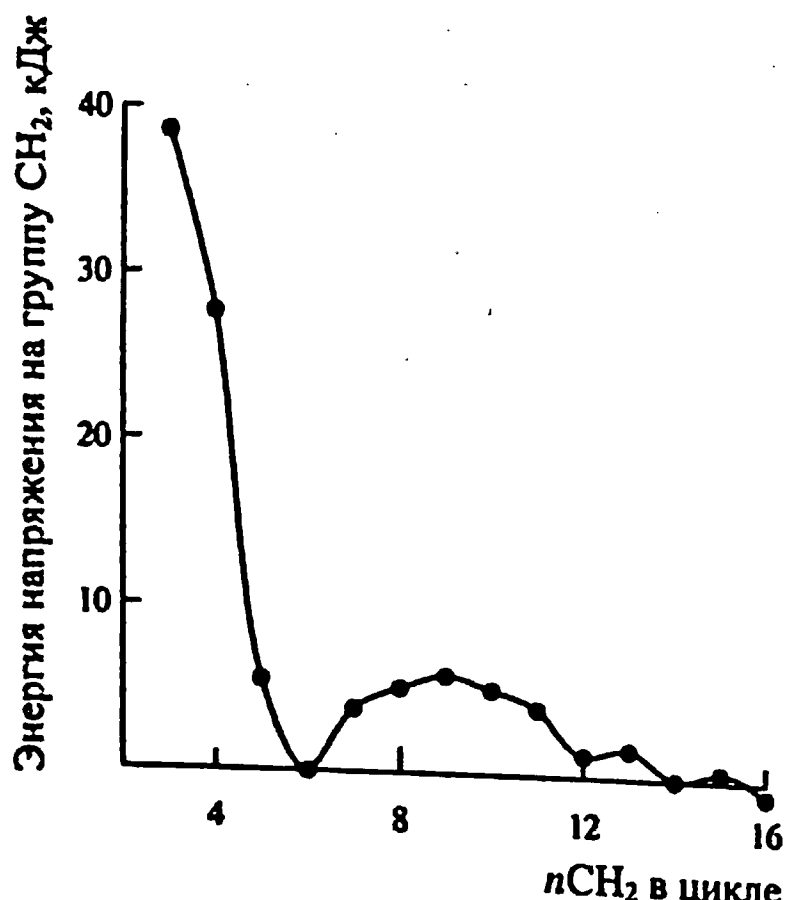


Рис. 5.17. Удельная энергия напряжения в циклоалканах

Таблица 5.18

Энタルпии ΔH° , энтропии ΔS° , функции Гиббса ΔG° полимеризации циклоалканов при 25 °C

<i>n</i>	ΔH° , кДж/моль	ΔS° , Дж/(моль · К)	ΔG° , кДж/моль
3	-113,0	-69,1	-92,5
4	-105,1	-55,3	-90,0
5	-21,2	-42,7	-9,2
6	2,9	-10,5	5,9
7	-21,8	-15,9	-16,3
8	-34,8	-3,3	-34,3

ности теплот сжигания циклов и линейных алканов нормального строения. Видно, что максимально напряженными являются трех- и четырехчленные циклы, в меньшей степени напряжены семи-, одиннадцатичленные циклы. Следовательно, перечисленные циклы будут склонны к полимеризации, но при поликонденсации их образование менее вероятно по сравнению с другими циклами. Наименее напряженными являются пяти- и шестичленные циклы, а также большие циклы с числом групп CH_2 , большим 11. Из этого можно заключить, что все упомянутые циклы будут относительно инертны в полимеризации, а в поликонденсации вероятность образования пяти- и шестичленных циклов будет максимальной. В отношении больших циклов такой прогноз будет необоснован, т. к. вероятность их образования зависит также от кинетического фактора.

В табл. 5.18 приведены термодинамические характеристики полимеризации циклов с образованием линейного полиметилена. Значения свободной энергии полимеризации указывают на то, что полимеризация шестичленных циклов термодинамически запрещена, все остальные циклы подвержены полимеризации, причем их активности возрастают в ряду 3,4 > 8 > 5,7. Нетрудно видеть, что этот вывод в основном совпадает с тем, что сделан выше на основании данных о напряженности циклов.

Исходя из рассмотренного, чтобы свести образование циклов при поликонденсации к минимуму, следует руководствоваться двумя правилами:

избегать таких мономеров, которые могут привести к образованию шестичленных циклов;

проводить поликонденсацию при максимально высоких концентрациях мономеров, что увеличивает вероятность образования линейного полимера по сравнению с циклами (первая реакция бимолекулярна, вторая – мономолекулярна).

5.7.2. Сопоставление ионной и радикальной полимеризации

В целом радикальная полимеризация изучена более полно и глубоко по сравнению с ионной из-за значительных трудностей, встречающихся при экспериментальном исследовании последней вследствие больших скоростей и сильного влияния примесей, а также наличия ярко выраженных индивидуальных особенностей.

Наиболее существенные отличия в кинетике полимеризации связаны с порядками скорости по концентрации инициатора и мономера. Из (5.9), (5.72), (5.79) следует, что при радикальной полимеризации

$$V \sim [I]^{1/2}[M], \quad (5.133)$$

катионной

$$V \sim [I][IX][M]^2, \quad (5.134)$$

где $[IX]$ – концентрация соинициатора;

анионной

$$V \sim [I][M]^2. \quad (5.135)$$

Второй порядок по концентрации мономера в ионной полимеризации обусловлен тем, что мономер влияет на скорость двух элементарных реакций – инициирования и роста, тогда как в радикальной полимеризации – лишь на последнюю. Разница в порядках по скорости инициирования связана с тем, что в радикальной полимеризации эта реакция бимолекулярна, в ионной – мономолекулярна. Последнее обстоятельство указывает на то, что при ионной полимеризации гель-эффект отсутствует «по определению» (поскольку он связан с диффузионно-контролируемой реакцией двух растущих цепей).

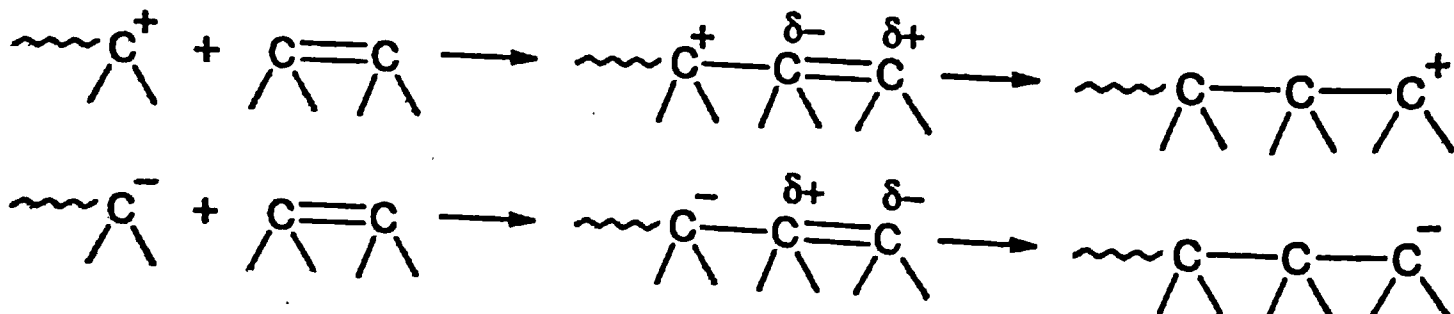
Скорость ионной полимеризации, как правило, намного превышает скорость радикальной полимеризации, тогда как степень полимеризации обычно в несколько раз меньше. Если последнее обусловлено примесями и специфическими механизмами передачи цепи, то первое связано:

с большей на 2–3 порядка стационарной концентрацией активных центров;

с большей на 2–3 порядка константой скорости роста, которая равна для стирола $3,5 \cdot 10^6$, $1,3 \cdot 10^5$ и 36 л/(моль · с) при катионной, анионной и радикальной полимеризации соответственно (в первых двух случаях – на свободных ионах);

с меньшей величиной константы скорости реакции обрыва или отсутствием этой реакции при живой ионной полимеризации.

Существенно большие константы скорости роста свободных макроионов по сравнению с макрорадикалами объясняется поляризацией двойных связей мономеров ионами в переходном состоянии, что способствует снижению энергии активации и повышению значения частотного фактора:



Большая, примерно на порядок, константа скорости реакции роста макрокатионов по сравнению с макроанионами объясняется тем, что в первом случае в образовании новой связи участвует свободная связывающая орбitalь карбкатиона, во втором – несвязывающая орбиталь карбаниона.

Характерной особенностью ионной полимеризации является влияние полярности растворителя на скорость реакции роста, что, в первую очередь, обусловлено изменением степени диссоциации ионной пары. Этот эффект особенно значителен для анионной полимеризации, где противоионом является катион металла. Такой противоион имеет большую плотность заряда (по сравнению с противоионом в катионной полимеризации) и достаточноочноочно связан с карбанионом. Поэтому разделение ионной пары, достигаемое за счет ее сольватации полярным растворителем, приводит к возрастанию константы скорости роста на несколько порядков.

Карбкатион связан менееочноочно с противоионом по сравнению с карбанионом, разделенность ионов в ионной паре значительна в любом растворителе, поэтому последний оказывает сравнительно небольшое влияние на константу скорости роста.

В радикальной полимеризации влияние среды на скорость реакции роста несравненно меньше, чем в ионной, хотя в отдельных случаях наблюдались эффекты, сопоставимые по величине с эффектами растворителя в катионной полимеризации. Однако они не являются общими, поскольку относятся к мономерам основного характера – (мет)акриловым эфирам, амидам, кислотам и нитрилам, винилпиридинам, при полимеризации которых в присутствии протонных и аprotонных (льюисовых) кислот константы скорости реакции роста возрастают в несколько раз, иногда на порядок и более*.

5.7.3. Об общности процессов псевдоживой полимеризации

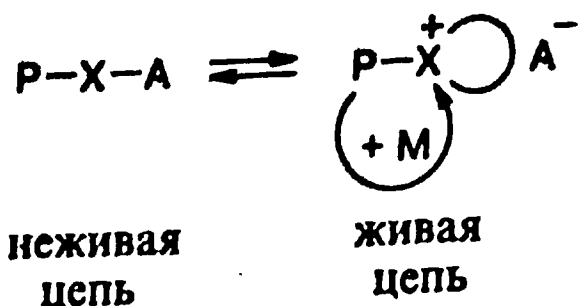
Почти полвека известна идеальная живая анионная полимеризация, включающая две элементарные реакции – инициирования и роста цепи. Радикальная псевдоживая полимеризация была открыта лишь в конце 1980-х гг. XX в., но уже к настоящему времени ясно, что сосуществование растущих (живых) и нерастущих (неживых) цепей в равновесии друг с другом – явление, общее для цепной полимеризации. Отметим наиболее яркие примеры.

1. В псевдоживой радикальной полимеризации, детально рассмотренной в разд. 5.1.7, превращение растущих цепей в нерастущие, и наоборот, происходит в результате обратимого ингибиования.

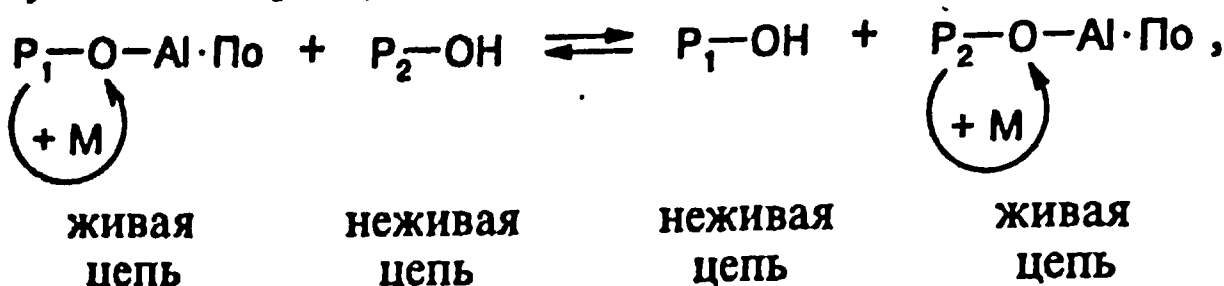
2. В карбкатионной полимеризации превращение растущих цепей в нерастущие, и наоборот, чаще всего происходит в результате коллапса ионной пары, сопровождаемого регенерацией кислоты Льюиса.

3. В катионной полимеризации гетероциклов, например тетрагидрофурана, существуют в равновесии ионные и ковалентные концевые группы макромолекул, из которых активными являются вторые:

* Кабанов В. А., Зубов В. П., Семчиков Ю. Д. Комплексно-радикальная полимеризация. М.: Химия, 1987. 265 с.

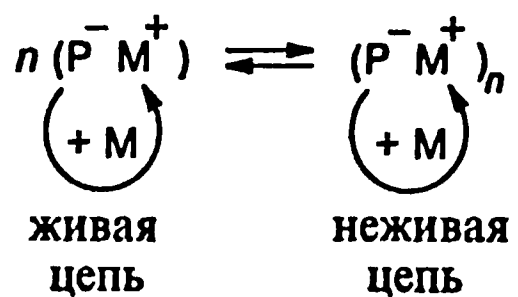


4. При полимеризации эпоксидов и лактонов, инициируемой алюминий-порфиринаами в присутствии доноров протонов типа спиртов или карбоновых кислот, имеет место обратимый перенос активной конечной группы между растущими и нерастущими цепями:

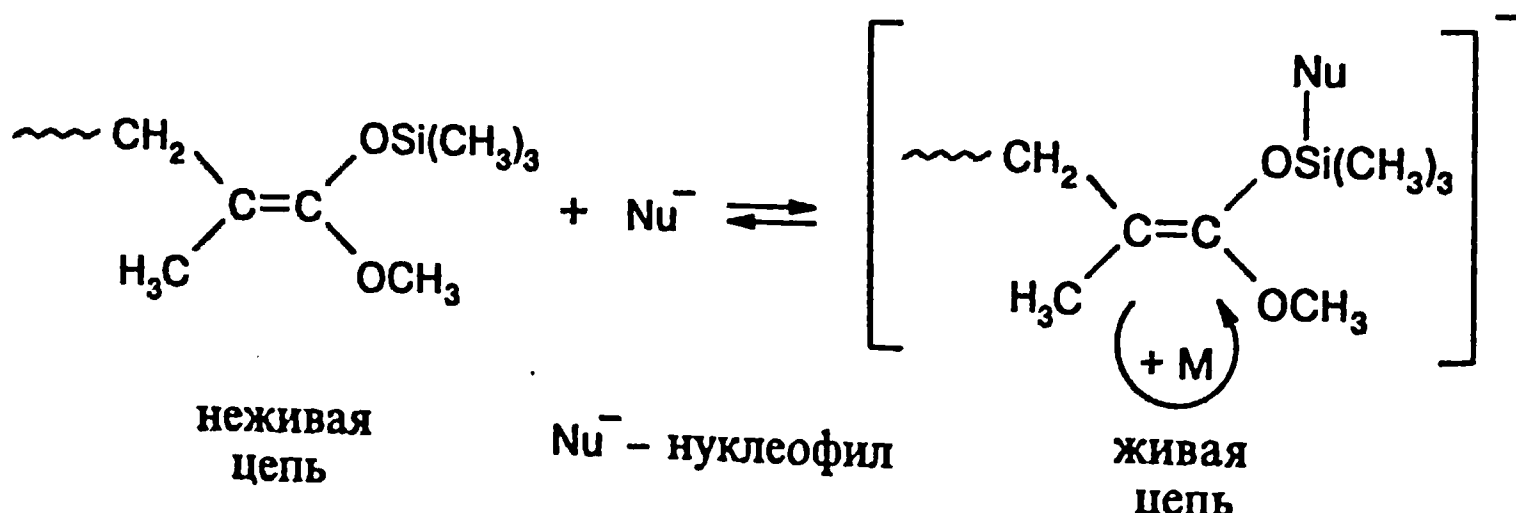


где Al·Po – алюминийпорфирин, P_1 , P_2 – полимерные цепи.

5. При анионной полимеризации, инициируемой алкилами металлов, существует равновесие между активными неассоциированными и неактивными ассоциированными макроионами:



6. К настоящему времени доказано, что в полимеризации с переносом группы также существуют растущие и нерастущие цепи, находящиеся в равновесии:



Из рассмотренных примеров становится ясно, что псевдоживая полимеризация является гораздо более общим процессом по сравнению с идеальной живой полимеризацией, которая в карбанионном варианте реализована лишь для стирола, диенов и (мет)акрилатов (в полярных растворителях). Общее между ними состоит в отсутствии необратимых процессов ограничения материальной цепи, отличие – в равновесии между живыми и неживыми цепями в первом случае. Если рассматривать идеальную живую и псевдоживую

вую полимеризации с общих позиций, то их скорости могут быть выражены близкими уравнениями:

$$V_{\text{ижп}} = k_p[m^*][M] = k_p[N_p][M], \quad (5.136)$$

$$V_{\text{пжп}} = k_p[m^*][M] = \frac{k_p[N_p][M]}{1 + K}, \quad (5.137)$$

где $[m^*]$ – концентрация растущих цепей, N_p – общая концентрация макромолекул, K – константа равновесия процесса дезактивации–активации растущих цепей. При $K=0$ уравнения совпадают.

ГЛАВА 6. ЦЕПНАЯ СОПОЛИМЕРИЗАЦИЯ

Под сополимеризацией подразумевается совместная полимеризация двух или более мономеров. Сополимеризация является наиболее доступным и эффективным способом модификации свойств и, тем самым, расширения номенклатуры полимерных материалов. Из более чем 100 млн. т синтетических полимеров, выпускаемых ежегодно в мире, около 1/3 составляют сополимеры. Существуют три механизма влияния сомономерных звеньев на свойства сополимера:

1. Подавление кристаллизации полимера. В этом случае используются небольшие количества сомономера – до 10 %. Такой прием часто применяется при получении полимерных материалов из олефинов.

2. Увеличение энергии когезии цепей, т. е. межмакромолекулярного взаимодействия за счет введения полярного сомономера. При этом одновременно уменьшается гибкость цепей.

3. Внутримолекулярная пластификация, т. е. уменьшение межмакромолекулярного взаимодействия за счет введения неполярного объемного сомономера, «раздвигающего» цепи.

Первый и третий увеличивают пластичность полимерного материала, улучшают его перерабатываемость. Второй приводит к увеличению температуры размягчения полимера (теплостойкость) и возрастанию прочности. Очень часто путем сополимеризации можно кардинально изменить растворимость полимера. Так, известно, что резиновый клей является раствором каучука в бензине или другом углеводороде. В то же время резиновые шланги используют в автомобилях для подачи бензина без видимых последствий для них. В последнем случае применяется не просто каучук – полимер диена, а его сополимер с акрилонитрилом – одним из наиболее полярных мономеров. В результате каучук, содержащий 15–20 % полярных звеньев в цепи, перестает растворяться и набухать в бензине, сохраняя при этом свое наиболее ценное свойство – эластичность.

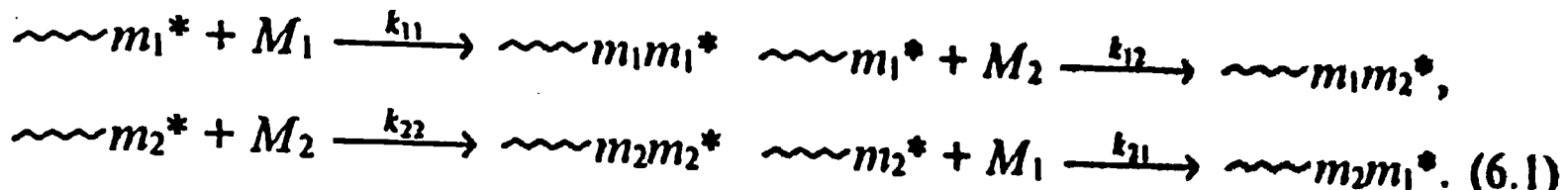
6.1. Количествоенная теория сополимеризации

6.1.1. Кривые состава сополимера и относительные активности мономеров

Около 90 % сополимеров, получаемых в промышленности, являются двухкомпонентными. Соответствующая сополимеризация называется двухкомпонентной или бинарной. Трехкомпонентные сополимеры распространены меньше, но очень важны в практическом отношении, соответствующая сополимеризация называется терполимеризацией, а сополимеры – терполимерами.

Количествоенные соотношения, описывающие состав и строение сополимера, являются общими для радикальной и ионной сополимеризации, т. е. могут быть получены безотносительно к природе активных центров на концах растущих цепей. Существует две наиболее общие модели сополимеризации, условно называемые моделями концевого и предконцевого звена. Считается, что первая модель применима к сополимеризации 80–90 % реальных

систем. Эта модель, называемая моделью Майо–Льюиса, исходит из того, что реакционная способность активного центра на конце растущей цепи определяется лишь природой концевого звена. Исходя из этого постулата, необходимо рассматривать четыре элементарных реакции роста цепи с участием двух мономеров M_1 и M_2 и двух типов растущих цепей $\sim\sim m_1^*$ и $\sim\sim m_2^*$, отличающихся природой концевого звена (значок * может означать радикал, катион или анион):



Уравнение, связывающее состав сополимера с составом мономерной смеси, может быть получено двумя методами – кинетическим и статистическим. В первом предполагается установление стационарного состояния, выражаемого условием равенства скоростей перекрестного роста:

$$k_{12}[m_1^*][M_2] = k_{21}[m_2^*][M_1]. \quad (6.2)$$

Состав сополимера определяется отношением скоростей исчерпания мономеров:

$$\frac{d[M_1]}{d[M_2]} = \frac{k_{11}[m_1^*][M_1] + k_{21}[m_2^*][M_1]}{k_{22}[m_2^*][M_2] + k_{12}[m_1^*][M_2]}. \quad (6.3)$$

Для того, чтобы избавиться от активных центров, используем уравнение (6.2):

$$[m_1^*] = \frac{k_{21}[m_2^*][M_1]}{k_{12}[M_2]}. \quad (6.4)$$

Подставив (6.4) в (6.3) и умножив числитель и знаменатель полученного выражения на произведение $k_{12} \cdot k_{21}$, окончательно получаем:

$$\frac{d[M_1]}{d[M_2]} = \frac{[M_1]}{[M_2]} \cdot \frac{r_1[M_1] + [M_2]}{r_2[M_2] + [M_1]}, \quad (6.5)$$

где $r_1 = k_{11}/k_{12}$ и $r_2 = k_{22}/k_{21}$ – ключевые константы теории сополимеризации, называемые относительными активностями мономеров. Они показывают, во сколько раз скорость взаимодействия активного центра растущей цепи со «своим» мономером больше по сравнению с «чужим». Другими словами, они характеризуют избирательность реакции роста при сополимеризации. Абсолютные концентрации мономеров в уравнении (6.5) могут быть заменены на относительные, т. е. мольные доли:

$$\frac{F_1}{F_2} = \frac{f_1}{f_2} \cdot \frac{r_1 f_1 + f_2}{r_2 f_2 + f_1}, \quad (6.6)$$

где F_1 и F_2 – мольные доли мономеров M_1 и M_2 в сополимере; f_1 и f_2 – в мономерной смеси.

Уравнения (6.5) и (6.6) описывают текущий состав сополимера, т. е. сополимера, образуемого в данный момент сополимеризации. Это уравнение обычно используют на начальном этапе сополимеризации для определения r_1 и r_2 . В этом случае сополимеризацию проводят до 5–7 % превращения, поэтому изменением относительных концентраций мономеров можно пре-небречь. Тогда отношение $[M_1]/[M_2]$ или $[f_1]/[f_2]$ принимается равным исходному, т. е. задаваемому, а текущий состав сополимера принимается равным составу всего сополимера, образованного на начальной стадии сополимеризации, так называемому валовому составу, т. е.:

$$\frac{d[M_1]}{d[M_2]} = \frac{\Delta[M_1]}{\Delta[M_2]} = \frac{[m_1]}{[m_2]}, \quad (6.7)$$

где $[m_1]$ и $[m_2]$ – концентрации звеньев M_1 и M_2 в сополимере, образованном на начальной стадии сополимеризации.

При определении значений относительных активностей мономеров уравнение (6.6) обычно записывается в виде явной зависимости r_1 или r_2 , например:

$$r_2 = \left(\frac{f_1}{f_2} \right)^2 \frac{F_2}{F_1} r_1 + \left(\frac{F_2}{F_1} - 1 \right) \frac{f_1}{f_2}. \quad (6.8)$$

Согласно методу пересечений Майо–Льюиса, строится ряд прямых в координатах $r_2 - r_1$. При этом каждой паре значений $f_1, f_2 - F_1, F_2$ отвечает одна прямая. Область их пересечения включает точку, которая соответствует истинным значениям r_1 и r_2 ; размер области характеризует ошибку определения. По методу Файнемана–Росса данные по составу представляются в виде

прямой в координатах $\left(\frac{F_2}{F_1} - 1\right)\frac{f_1}{f_2} - \left(\frac{f_1}{f_2}\right)^2 \frac{F_2}{F_1}$. Отрезок, отсекаемый по оси

ординат, дает r_2 , угловой коэффициент прямой – r_1 . Применение метода наименьших квадратов позволяет, наряду с r_1 и r_2 , объективно охарактеризовать погрешности их определения.

В настоящее время используются численные методы, являющиеся развитием так называемого метода «подобранный кривой».

Графическую зависимость состав сополимера – состав мономерной смеси принято называть кривой состава сополимера. Обычно она строится по данным сополимеризации до малых конверсий (5–7 %). Ниже приведено уравнение кривой состава, которое легко может быть получено из уравнения состава:

$$F_1 = \frac{r_1 f_1^2 + f_1 f_2}{r_1 f_1^2 + 2f_1 f_2 + r_2 f_2^2}. \quad (6.9)$$

Вид кривых состава, которые приведены на рис. 6.1, закономерно связан со значениями r_1 и r_2 и в определенной степени характеризует микроструктуру сополимера.

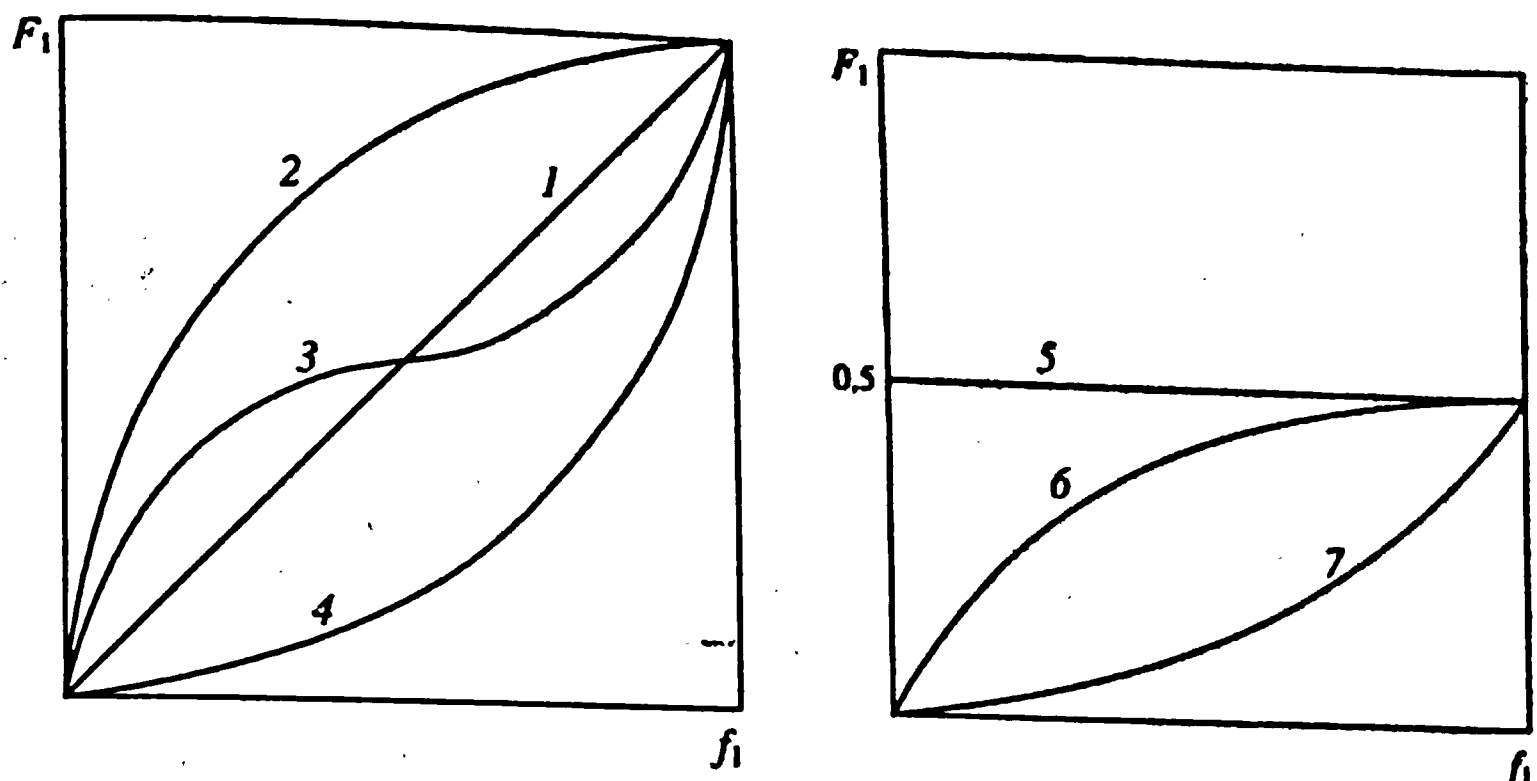


Рис. 6.1. Основные типы кривых состава сополимеров; F_1, f_1 – мольные доли мономера M_1 в сополимере и мономерной смеси:

- | | |
|-------------------------|-------------------------|
| $1 - r_1 = 1, r_2 = 1;$ | $5 - r_1 = 0, r_2 = 0;$ |
| $2 - r_1 > 1, r_2 < 1;$ | $6 - r_1 = 0, r_2 < 1;$ |
| $3 - r_1 < 1, r_2 < 1;$ | $7 - r_1 = 0, r_2 > 1.$ |
| $4 - r_1 < 1, r_2 > 1;$ | |

Кривая 1 относится к идеальной азеотропной сополимеризации, при которой состав образующегося сополимера равен составу мономерной смеси, а распределение мономерных звеньев в цепи сополимера определяется законом случая, при этом $r_1 = r_2 = 1$.

Таблица 6.1

Доля последовательностей различной длины из мономера 1 ($Q_{1,n}$)
в эквимолярных сополимерах различных типов

n число звеньев M_1 в последовательности	1	2	3	4	5
Случайный сополимер $r_1 = r_2 = 1$	0,5	0,25	0,12	0,06	0,03
Случайный сополимер $r_1 \cdot r_2 = 1$	0,5	0,25	0,12	0,06	0,03
Статистический сополимер $r_1 \cdot r_2 < 1, r_1 < 1, r_2 > 1$	0,655	0,223	0,0746	0,025	0,0084
Статистический сополимер $r_1 < 1, r_2 < 1$	0,864	0,118	0,016	0,0022	0,0003

1 – акрилонитрил – бутилакрилат; $r_1 \approx 1, r_2 \approx 1$;

2 – винилхлорид – этилен; $r_1 = 3,6, r_2 = 0,24$;

3 – акрилонитрил – метилметакрилат; $r_1 = 0,22, r_2 = 1,15$;

4 – стирол – акрилонитрил; $r_1 = 0,394, r_2 = 0,063$

К идеальной относят также сополимеризацию, когда $r_1 \cdot r_2 = 1$, но при $r_1 > 1$, $r_2 < 1$ или $r_1 < 1$, $r_2 > 1$. В данной сополимеризации (кривые типа 2, 4) распределение мономерных звеньев в цепи сополимера также является случайным (табл. 6.1).

Кривые состава типа 3, 7 и в меньшей степени 6, а также 2 и 4 при $r_1 \cdot r_2 < 1$, характерны для сополимеризации, в результате которой образуются так называемые статистические сополимеры. В данном случае распределение звеньев в цепи также не является строго регламентированным, но определенные тенденции, например чередование звеньев, могут быть выражены достаточно ярко. В целом распределение звеньев случайных и статистических сополимеров, хотя и является хаотическим, но отличается заметно (см. табл. 6.1).

Преимущественное чередование звеньев характерно для сополимеризации с S-образными кривыми состава 3 с азеотропной точкой, в которой состав сополимера равен составу мономерной смеси. В этом случае $r_1 < 1$, $r_2 < 1$. Предельным случаем является регулярное чередование звеньев, когда $r_1 = 0$, $r_2 = 0$, а кривая состава 5 является прямой линией, параллельной оси абсцисс, делящей ось ординат пополам, что отвечает единственно возможному составу сополимера 1:1. S-образные кривые состава, а также кривая 5 характерны для радикальной сополимеризации и обусловлены проявлением полярного фактора реакционной способности и донорно-акцепторным взаимодействием.

Кривые 6 и 7 относятся к сополимеризации мономеров, из которых один не способен к гомополимеризации вследствие стерических причин. К таким мономерам относятся 1,2-дизамещенные этилена, в частности малеиновый ангидрид.

При сополимеризации практически всегда $r_1 \cdot r_2 \leq 1$ и почти никогда $r_1 > 1$, $r_2 > 1$. Последнее означало бы образование длинных блоков последовательностей звеньев M_1 и M_2 , а случай $r_1 \gg 1$, $r_2 \gg 1$ означал бы раздельную гомополимеризацию мономеров. Известны лишь несколько подобных исключений, природа которых не всегда понятна.

6.1.2. Состав и микроструктура сополимера. Статистический подход

Уравнения состава сополимера могут быть получены более строгим – статистическим методом без каких-либо исходных допущений, как это было сделано выше, которые предполагают равенство скоростей перекрестного роста. Кроме того, этот метод позволяет количественно охарактеризовать микроструктуру цепи случайных и статистических сополимеров. Один из вариантов такого описания предложен Алfreем и Голдфинером, которые рассчитали вероятности образования последовательностей одинаковых звеньев разной длины, т. е. $\sim m_2(m_1)_n m_2 \sim$ и $\sim m_1(m_2)_n m_1 \sim$.

Очевидно, что вероятности образования тех или иных последовательностей звеньев в цепи равны произведению вероятностей соответствующих

элементарных актов. Вероятность той или иной элементарной реакции равна ее скорости, деленной на сумму скоростей всех элементарных реакций с участием рассматриваемого типа активного центра. При бинарной сополимеризации возможны лишь две реакции роста с участием каждого из типов активных центров. Тогда вероятности реакций мономеров M_1 и M_2 с растущими цепями, оканчивающимися мономерным звеном M_1 , описываются следующими соотношениями:

$$P_{11} = \frac{V_{11}}{V_{11} + V_{12}} = \frac{k_{11}[m_1^*][M_1]}{k_{11}[m_1^*][M_1] + k_{12}[m_1^*][M_2]} = \frac{r_1}{r_1 + [M_2]/[M_1]}, \quad (6.10)$$

$$P_{12} = \frac{V_{12}}{V_{11} + V_{12}} = \frac{k_{12}[m_1^*][M_2]}{k_{11}[m_1^*][M_1] + k_{12}[m_1^*][M_2]} = \frac{1}{r_1[M_1]/[M_2] + 1}. \quad (6.11)$$

$$P_{11} + P_{12} = 1. \quad (6.12)$$

Вероятности P_{12} и аналогичная ей P_{21} , которая будет рассмотрена далее, называются переходными вероятностями, так как в результате соответствующих реакций меняется природа конечного звена растущей цепи. Обозначим вероятность образования последовательности, содержащей n звеньев M_1 , как Q_{1n} . Тогда, исходя из сказанного выше:

$$Q_{1n} = P_{11}^{n-1}P_{12} = P_{11}^{n-1}(1 - P_{11}). \quad (6.13)$$

Очевидно, что при большом числе последовательностей в макромолекулах сополимера величина Q_{1n} равна доле данных последовательностей из мономера M_1 . Это следует, в частности, из того, что:

$$\sum_1^{\infty} Q_{1n} = P_{12} \sum_1^{\infty} P_{11}^{n-1} = 1, \quad (6.14)$$

с учетом $P_{11} < 1$. Относительное содержание мономера M_1 в последовательностях по отношению к его общему количеству определяется следующим образом:

$$nQ_{1n} / \sum_1^{\infty} nQ_{1n} = nP_{11}^{n-1}P_{12}^2. \quad (6.15)$$

Важное значение имеет такая характеристика, как среднее содержание звеньев в последовательности \bar{n}_1 или средняя длина последовательности. Она является средневзвешенной величиной

$$\bar{n}_1 = Q_{11} + 2Q_{12} + 3Q_{13} + \dots + nQ_{1n} \quad (6.16)$$

или с учетом (6.13)

$$\bar{n}_1 = P_{12}(1 + 2P_{11} + 3P_{11}^2 + \dots + nP_{11}^{n-1}). \quad (6.17)$$

Поскольку

$$P_{12} \sum_1^{\infty} n P_{11}^{n-1} = \frac{P_{12}}{(1 - P_{11})^2}, \quad (6.18)$$

окончательно получаем:

$$\bar{n}_1 = 1/P_{12}. \quad (6.19)$$

Аналогичные соотношения могут быть получены для последовательностей из мономера M_2 :

$$P_{22} = \frac{r_2}{r_2 + [M_1]/[M_2]}, \quad (6.20)$$

$$P_{21} = \frac{1}{r_2 [M_2]/[M_1] + 1}. \quad (6.21)$$

Доля последовательностей из M_2 :

$$Q_{2n} = P_{22}^{n-1} P_{21} = P_{22}^{n-1} (1 - P_{22}). \quad (6.22)$$

Относительное содержание мономера M_2 в последовательностях:

$$n Q_{2n} / \sum_1^{\infty} n Q_{2n} = n P_{22}^{n-1} P_{21}^2. \quad (6.23)$$

Средняя длина последовательности из M_2 :

$$\bar{n}_2 = 1/P_{21}. \quad (6.24)$$

Полученные исходя из простой теории вероятности соотношения позволяют получить уравнение состава сополимера, а также количественно охарактеризовать его микроструктуру. Первое может быть сделано практически сразу через уравнение Голдфингера, которое получается делением (6.19) на (6.24):

$$\frac{F_1}{F_2} = \frac{\bar{n}_1}{\bar{n}_2} = \frac{P_{21}}{P_{12}}. \quad (6.25)$$

Подставив в (6.25) выражения (6.11) и (6.21), окончательно имеем:

$$\frac{F_1}{F_2} = \frac{1 + r_1 [M_1]/[M_2]}{1 + r_2 [M_2]/[M_1]} \quad (6.26)$$

или

$$Y = \frac{1 + r_1 X}{1 + r_2/X}, \quad (6.27)$$

где $Y = F_1/F_2 = \Delta[M_1]/\Delta[M_2]$, $X = f_1/f_2 = [M_1]/[M_2]$. Уравнения (6.5), (6.6) и (6.27) легко переходят друг в друга, т. е. идентичны.

Вернемся к микроструктуре сополимера. В табл. 6.1 приведены данные по относительному содержанию гомопоследовательностей, т. е. последовательностей, состоящих из мономеров одного типа для случайного и статистического сополимеров.

Из табл. 6.1 видно, что в статистическом сополимере по сравнению со случаем больше относительное содержание одиночных звеньев. Особенно это заметно для сополимеров, при образовании которых преобладает перекрестный рост вследствие $r_1 < 1$, $r_2 < 1$. Микроструктура сополимера количественно характеризуется его триадным составом, экспериментально определяемым методом ЯМР. Поскольку триады 112 и 211 или 221 и 122 методом ЯМР не различимы, то обычно находится их суммарное содержание. Используя изложенный выше подход, для триад, центрированных M_1 , можно показать:

$$F_{111} = (1 - P_{12})^2, \quad (6.28)$$

$$F_{112} + F_{211} = 2P_{12}(1 - P_{12}), \quad (6.29)$$

$$F_{212} = P_{12}^2 \quad (6.30)$$

при $F_{111} + F_{112} + F_{211} + F_{212} = 1$.

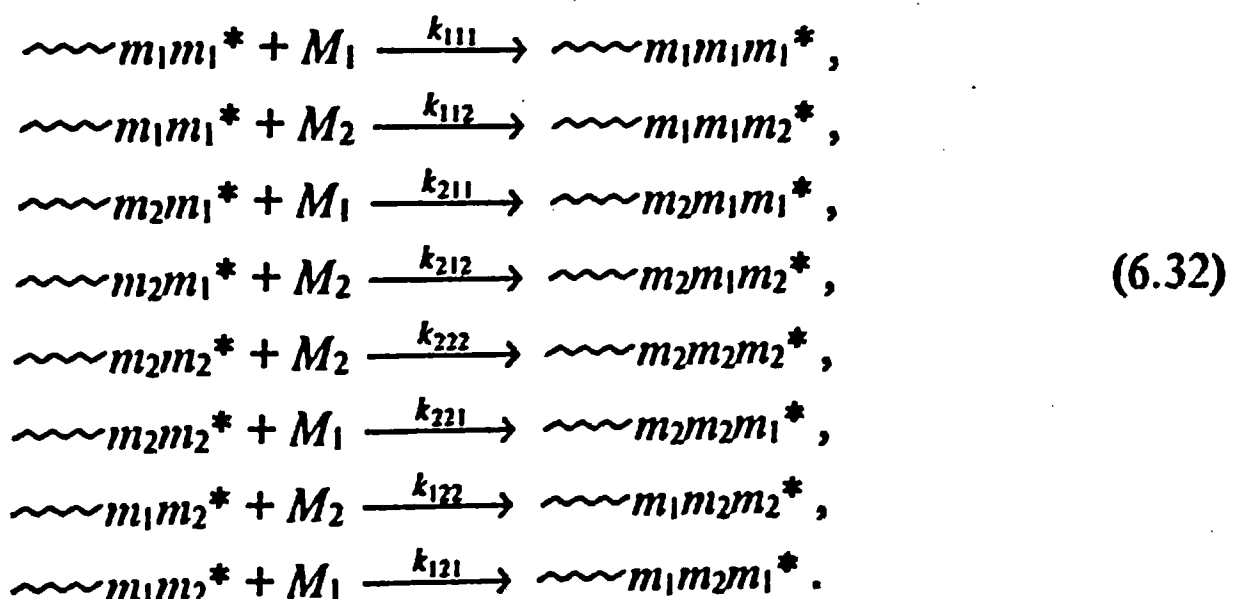
Аналогичные выражения могут быть получены для триад, центрированных M_2 .

Исключая концентрации мономеров из уравнений (6.10), (6.11) и (6.25), можно получить соотношение:

$$P_{12} = \frac{1 - \left[4F_1^2(1 - r_1r_2) - 4F_1(1 - r_1r_2) + 1 \right]^{0.5}}{2F_1(1 - r_1r_2)}, \quad (6.31)$$

из которого следует, что микроструктура сополимера заданного состава определяется произведением относительных активностей мономеров, а не их раздельными значениями.

Модель предконцевого звена. Согласно этой модели, необходимо учитывать восемь элементарных реакций роста:



Вероятности этих реакций описываются, как обычно, отношением скорости рассматриваемой реакции к сумме скоростей обеих возможных реакций роста:

$$P_{111} = \frac{V_{111}}{V_{111} + V_{112}} = \frac{k_{111}[M_1]}{k_{111}[M_1] + k_{112}[M_2]} = \frac{1}{1 + \frac{1}{r_{11}[M_1]/[M_2]}}, \quad (6.33)$$

$$P_{112} = \frac{V_{112}}{V_{111} + V_{112}} = \frac{k_{112}[M_2]}{k_{111}[M_1] + k_{112}[M_2]} = \frac{1}{1 + r_{11}[M_1]/[M_2]}, \quad (6.34)$$

$$P_{211} = \frac{V_{211}}{V_{211} + V_{212}} = \frac{k_{211}[M_1]}{k_{211}[M_1] + k_{212}[M_2]} = \frac{1}{1 + \frac{1}{r_{21}[M_1]/[M_2]}}, \quad (6.35)$$

$$P_{212} = \frac{V_{212}}{V_{211} + V_{212}} = \frac{k_{212}[M_2]}{k_{211}[M_1] + k_{212}[M_2]} = \frac{1}{1 + r_{21}[M_1]/[M_2]}, \quad (6.36)$$

$$P_{222} = \frac{V_{222}}{V_{222} + V_{221}} = \frac{k_{222}[M_2]}{k_{221}[M_1] + k_{222}[M_2]} = \frac{1}{1 + \frac{1}{r_{22}[M_1]/[M_2]}}, \quad (6.37)$$

$$P_{221} = \frac{V_{221}}{V_{222} + V_{221}} = \frac{k_{221}[M_1]}{k_{221}[M_1] + k_{222}[M_2]} = \frac{1}{1 + \frac{1}{r_{22}[M_1]/[M_2]}}, \quad (6.38)$$

$$P_{122} = \frac{V_{122}}{V_{122} + V_{121}} = \frac{k_{122}[M_2]}{k_{122}[M_2] + k_{121}[M_1]} = \frac{1}{1 + \frac{1}{r_{12}[M_1]/[M_2]}}, \quad (6.39)$$

$$P_{121} = \frac{V_{121}}{V_{122} + V_{121}} = \frac{k_{121}[M_1]}{k_{122}[M_2] + k_{121}[M_1]} = \frac{1}{1 + \frac{1}{r_{12}[M_1]/[M_2]}}, \quad (6.40)$$

$$r_{11} = k_{111}/k_{112}, \quad r_{21} = k_{211}/k_{212}, \quad r_{22} = k_{222}/k_{221}, \quad r_{12} = k_{122}/k_{121}. \quad (6.41)$$

Уравнение состава сополимера наиболее просто может быть получено статистическим путем. Согласно данной модели, среднее содержание звеньев M_1 в последовательностях из этого мономера выражается рядом:

$$\bar{n}_1 = P_{212} + 2P_{211}P_{112} + 3P_{211}P_{111}P_{112} + 4P_{211}P_{111}^2P_{112} + \dots, \quad (6.42)$$

который легко преобразуется в сходящийся ряд:

$$\bar{n}_1 = P_{212} + \frac{P_{211}P_{112}}{P_{111}} \left(\sum_{n=1}^{\infty} n P_{111}^{n-1} - 1 \right) = P_{212} + \frac{P_{211}P_{112}}{P_{111}} \left(\frac{1}{(1 - P_{111})^2} - 1 \right). \quad (6.43)$$

Учитывая что:

$$P_{112} = 1 - P_{111} \text{ и } P_{212} = 1 - P_{211}, \quad (6.44)$$

имеем:

$$\bar{n}_1 = 1 - P_{211} + \frac{P_{211}(1 - P_{112})^2}{P_{111}P_{112}}, \quad (6.45)$$

что приводит, после незначительных преобразований, к конечному результату:

$$\bar{n}_1 = 1 + \frac{P_{211}}{P_{112}}. \quad (6.46)$$

Аналогичным образом приходим к выражению:

$$\bar{n}_2 = 1 + \frac{P_{122}}{P_{221}} \quad (6.47)$$

и далее к уравнению, связывающему состав сополимера с переходными вероятностями:

$$\frac{\bar{n}_1}{\bar{n}_2} = \frac{F_1}{F_2} = \left(1 + \frac{P_{211}}{P_{112}} \right) \Bigg/ \left(1 + \frac{P_{122}}{P_{221}} \right). \quad (6.48)$$

Это уравнение является аналогом уравнения Голдфингера, рассмотренного ранее.

Уравнение, связывающее состав сополимера с составом сомономерной смеси, получается путем подстановки в (6.48) выражений для вероятностей (6.34), (6.35), (6.38), (6.39):

$$\frac{F_1}{F_2} = \left(1 + \frac{1 + r_{11}[M_1]/[M_2]}{1 + \frac{1}{r_{21}[M_1]/[M_2]}} \right) \Bigg/ \left(1 + \frac{1 + r_{22}/[M_1]/[M_2]}{1 + \frac{1}{[M_1]/[M_2]}} \right). \quad (6.49)$$

Переходя к мольным долям для характеристики состава мономерной смеси, после незначительных преобразований, окончательно получаем:

$$\frac{F_1}{F_2} = \left(1 + \frac{r_{21}f_1/f_2(1 + r_{11}f_1/f_2)}{1 + r_{21}f_1/f_2} \right) \Bigg/ \left(1 + \frac{(r_{22} + f_1/f_2)r_{12}}{f_1/f_2(r_{12} + f_1/f_2)} \right). \quad (6.50)$$

При радикальной сополимеризации 1,2-дизамещенных этилена (M_2) обычно $r_2 = 0$. В таких случаях уравнение (6.50) трансформируется в более простое:

$$\frac{F_1}{F_2} = 1 + \frac{r_{21}f_1/f_2(1 + r_{11}f_1/f_2)}{1 + r_{21}f_1/f_2}. \quad (6.51)$$

Микроструктура сополимера. Триадный состав сополимера, согласно модели предконцевого звена, описывается выражениями:

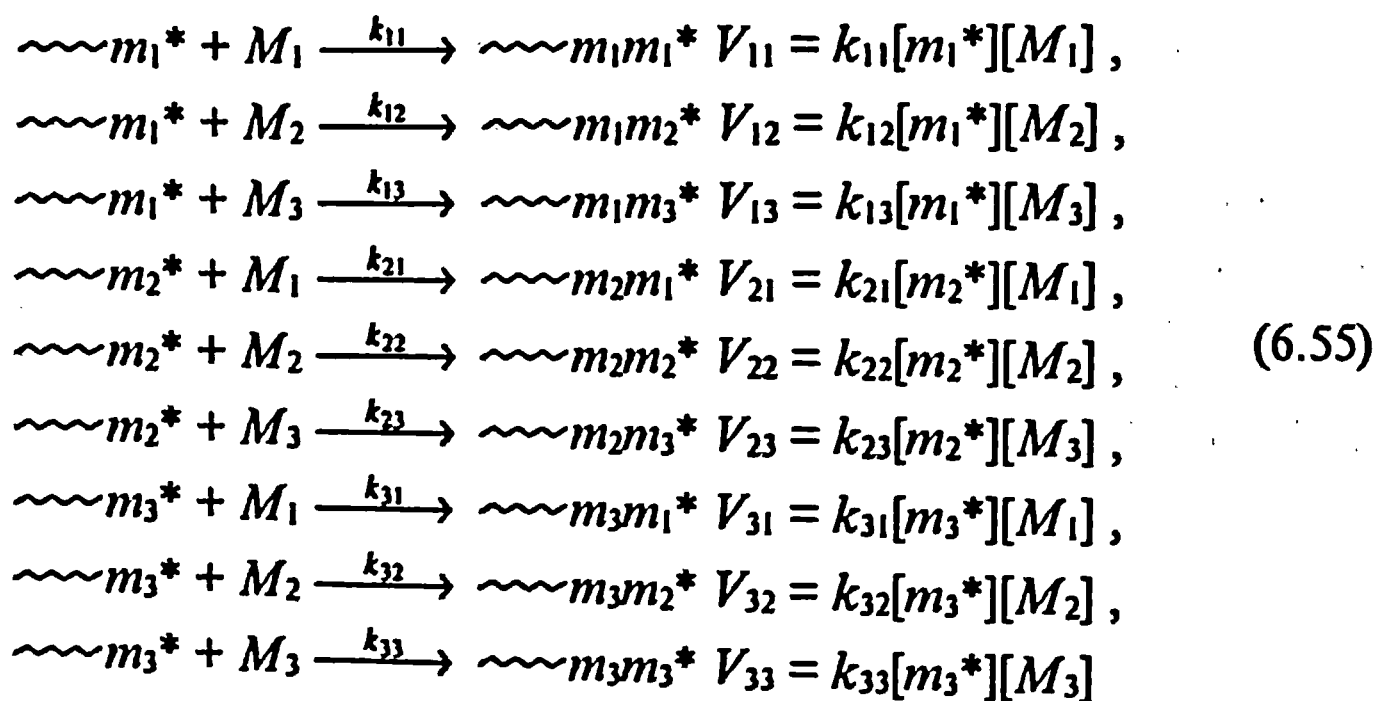
$$F_{111} = \frac{P_{211}(1 - P_{112})}{P_{112} + P_{211}}, \quad (6.52)$$

$$F_{112} + F_{211} = \frac{2P_{112}P_{211}}{P_{112} + P_{211}}, \quad (6.53)$$

$$F_{212} = \frac{P_{112}(1 - P_{211})}{P_{112} + P_{211}}. \quad (6.54)$$

6.1.3. Многокомпонентная сополимеризация

Как уже упоминалось, в практическом отношении весьма важна терполимеризация, которая используется для придания сополимеру специфических свойств – сшиваемость, окрашиваемость, ударопрочность и т. п. В терполимеризации необходимо учитывать девять реакций роста цепи с участием трех типов активных центров:



и шесть относительных активностей мономеров – констант сополимеризации:

$$\begin{aligned} r_{12} &= k_{11}/k_{12}, \quad r_{13} = k_{11}/k_{13}, \\ r_{21} &= k_{22}/k_{21}, \quad r_{23} = k_{22}/k_{23}, \\ r_{31} &= k_{33}/k_{31}, \quad r_{32} = k_{33}/k_{32}. \end{aligned} \quad (6.56)$$

Следует подчеркнуть, что константы относительной активности мономеров в терполимеризации являются константами бинарной сополимеризации, например:

$$r_{12} = k_{11}/k_{12} = r_1, \quad r_{21} = k_{22}/k_{21} = r_2. \quad (6.57)$$

Скорости исчерпания каждого из мономеров определяются суммой скоростей трех элементарных реакций:

$$-\frac{d[M_1]}{dt} = V_{11} + V_{21} + V_{31}, \quad (6.58)$$

$$-\frac{d[M_2]}{dt} = V_{22} + V_{12} + V_{32}, \quad (6.59)$$

$$-\frac{d[M_3]}{dt} = V_{33} + V_{13} + V_{23}. \quad (6.60)$$

Предполагается, что терполимеризация, как и бинарная сополимеризация, быстро – за время, соизмеримое со временем жизни радикалов, – выходит на стационарный режим, для которого характерно постоянство активных центров каждого типа. Условие стационарности может быть выражено двумя путями. В первом случае приравниваются суммы скоростей реакций перекрестного роста:

$$V_{12} + V_{13} = V_{21} + V_{31}, \quad (6.61)$$

$$V_{21} + V_{23} = V_{12} + V_{32}, \quad (6.62)$$

$$V_{31} + V_{32} = V_{13} + V_{23}. \quad (6.63)$$

Совместное решение (6.58)–(6.60) и (6.61)–(6.63) с использованием выражений для скоростей элементарных реакций приводит к весьма громоздкому уравнению состава:

$$\begin{aligned} d[M_1] : d[M_2] : d[M_3] &= [M_1] \left\{ \frac{[M_1]}{r_{31}r_{21}} + \frac{[M_2]}{r_{21}r_{32}} + \frac{[M_3]}{r_{31}r_{23}} \right\} \left\{ [M_1] + \frac{[M_2]}{r_{12}} + \frac{[M_3]}{r_{13}} \right\} : \\ &[M_2] \left\{ \frac{[M_1]}{r_{12}r_{31}} + \frac{[M_2]}{r_{12}r_{32}} + \frac{[M_3]}{r_{32}r_{13}} \right\} \left\{ [M_2] + \frac{[M_1]}{r_{21}} + \frac{[M_3]}{r_{23}} \right\} : \\ &[M_3] \left\{ \frac{[M_1]}{r_{13}r_{21}} + \frac{[M_2]}{r_{23}r_{12}} + \frac{[M_3]}{r_{13}r_{23}} \right\} \left\{ [M_3] + \frac{[M_1]}{r_{31}} + \frac{[M_2]}{r_{32}} \right\}. \end{aligned} \quad (6.64)$$

Во втором случае условие стационарности выражается через равенство отдельных скоростей перекрестного роста:

$$V_{12} = V_{21}, \quad V_{23} = V_{32}, \quad V_{31} = V_{13}. \quad (6.65)$$

В результате процедуры, описанной выше, получают более простое уравнение состава терполимера:

$$\begin{aligned} d[M_1] : d[M_2] : d[M_3] &= [M_1] \left\{ [M_1] + \frac{[M_2]}{r_{12}} + \frac{[M_3]}{r_{13}} \right\} : \\ &[M_2] \frac{r_{21}}{r_{12}} \left\{ [M_2] + \frac{[M_1]}{r_{21}} + \frac{[M_3]}{r_{23}} \right\} : [M_3] \frac{r_{31}}{r_{13}} \left\{ [M_3] + \frac{[M_1]}{r_{31}} + \frac{[M_2]}{r_{32}} \right\}. \end{aligned} \quad (6.66)$$

Таблица 6.2

Предсказанные и определенные экспериментально составы сополимеров, полученных радикальной тер- и тетраполимеризацией

Сис- тема	Состав исходной смеси мономеров		Определено эксперимен- тально	Состав терполимера, мол. %		
	Мономер	Содержание, мол. %		Вычислено по уравнению		
				(6.64)	(6.66)	
1	Стирол	31,24	43,4	44,3	44,3	
	Метилметакрилат	31,12	39,4	41,2	42,7	
	Винилиденхлорид	37,64	17,2	14,5	13,0	
2	Метилметакрилат	35,10	50,8	54,3	56,6	
	Акрилонитрил	28,24	28,3	29,7	23,5	
	Винилиденхлорид	36,66	20,9	16,0	19,9	
3	Стирол	34,03	52,8	52,4	53,8	
	Акрилонитрил	34,49	36,7	40,5	36,6	
	Винилиденхлорид	31,48	10,5	7,1	9,6	
4	Стирол	35,92	44,7	43,6	45,2	
	Метилметакрилат	36,03	26,1	29,2	33,8	
	Акрилонитрил	28,05	29,2	26,2	21,0	
5	Стирол	20,00	55,2	55,8	55,8	
	Акрилонитрил	20,00	40,3	41,3	41,4	
	Винилиденхлорид	60,00	4,5	2,9	2,8	
6	Стирол	25,21	40,7	41,0	41,0	
	Метилметакрилат	25,48	25,5	27,3	29,3	
	Акрилонитрил	25,40	25,8	24,8	22,8	
	Винилиденхлорид	23,91	8,0	6,9	6,9	

Уравнение (6.66) можно получить статистическим методом, используя «правило произведения вероятностей». Исходя из (6.65), можно записать:

$$V_{12}V_{23}V_{31} = V_{21}V_{32}V_{13}, \quad (6.67)$$

что приводит к

$$P_{12}P_{23}P_{31} = P_{21}P_{32}P_{13}. \quad (6.68)$$

Переходные вероятности в терполимеризации выражаются обычным образом – через отношение скорости роста рассматриваемой реакции к сумме скоростей роста всех возможных реакций роста с участием данного типа активных центров. Уравнение состава, получаемое статистическим методом, идентично уравнению (6.66). Оба уравнения состава терполимера приводят к одинаковым результатам, о чем можно судить по данным табл. 6.2.

Как кинетическим, так и статистическим методом могут быть получены уравнения состава сополимера для более сложных систем, включающих четыре и более мономеров. Константы сополимеризации в этих уравнениях также являются относительными активностями бинарной сополимеризации.

6.1.4. Сополимеризация до глубоких конверсий

В результате разной активности мономеров при сополимеризации текущий состав мономерной смеси и, следовательно, текущий состав сополимера постоянно изменяются с увеличением степени исчерпания мономеров, т.е. конверсии. Аналитические выражения, связывающие эти зависимости, получены лишь для бинарной сополимеризации, исходя из модели Майо-Льюиса.

Интегрирование дифференциального уравнения Майо-Льюиса приводит к интегральному уравнению:

$$\lg \left[\frac{M_2}{M_{02}} \right] = \frac{r_2}{1 - r_2} \lg \frac{[M_{02}][M_1]}{[M_{01}][M_2]} - \frac{1 - r_1 r_2}{(1 - r_1)(1 - r_2)} \lg \frac{(r_1 - 1) \frac{[M_1]}{[M_2]} - r_2 + 1}{(r_1 - 1) \frac{[M_{01}]}{[M_{02}]} - r_2 + 1}, \quad (6.69)$$

где $[M_{01}]$, $[M_{02}]$, $[M_1]$, $[M_2]$ – исходные и текущие молярные концентрации мономеров. Это уравнение может быть использовано для определения относительных активностей мономеров при сополимеризации до глубоких конверсий.

Уравнение (6.69) было преобразовано Крузе и приведено к форме, позволяющей рассчитывать зависимости текущих концентраций мономеров от конверсии:

$$\left(\frac{[M]}{[M_0]} \right)^{1+r_2-r_1-r_2} = \left(\frac{f_1}{f_{01}} \right)^{r_2-r_1} \left(\frac{f_2}{f_{02}} \right)^{r_1-r_2} \left(\frac{(1 - r_2)f_{02} - (1 - r_1)f_{01}}{(1 - r_2)f_2 - (1 - r_1)f_1} \right)^{1-r_2}, \quad (6.70)$$

где f_{01} , f_{02} , f_1 , f_2 – мольные доли мономеров в исходной и «текущей» реакционной смеси, $[M_0]$ и $[M]$ – исходная и текущая суммарная концентрация мономеров.

К аналогичным результатам приводит уравнение Лоури–Майера:

$$1 - \frac{[M]}{[M_0]} = 1 - \left(\frac{f_1}{f_{01}} \right)^\alpha \left(\frac{f_2}{f_{02}} \right)^\beta \left(\frac{f_{01} - \delta}{f_1 - \delta} \right)^\gamma, \quad (6.71)$$

$$\alpha = \frac{r_2}{1 - r_2}, \quad \beta = \frac{r_1}{1 - r_1}, \quad \gamma = \frac{1 - r_1 r_2}{(1 - r_1)(1 - r_2)}, \quad \delta = \frac{1 - r_2}{2 - r_1 - r_2}. \quad (6.72)$$

Последовательность расчета заключается в следующем. Сначала по уравнениям (6.71) и (6.72) рассчитываются текущие составы мономерной смеси f_1 и f_2 , отвечающие определенным значениям мольной конверсии $q = 1 - \frac{[M]}{[M_0]}$, затем по кривой состава или через уравнение состава сополимера находятся текущие (мгновенные) составы сополимера. Далее по уравнению материального баланса для одного из мономеров, например M_1 , находят валовой состав сополимера \bar{F}_1 :

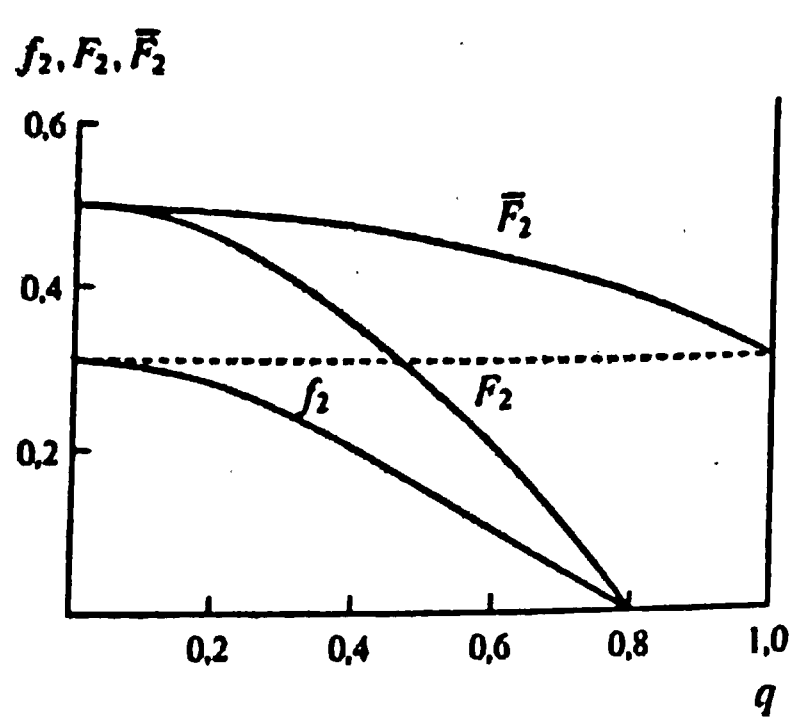


Рис. 6.2. Зависимость состава мономерной смеси f_2 , «мгновенного» F_2 и валового \bar{F}_2 составов сополимера от мольной конверсии при сополимеризации акрилонитрила с метилметакрилатом (M_2); $r_1 = 0,15$, $r_2 = 1,22$, $f_{02} = 0,26$

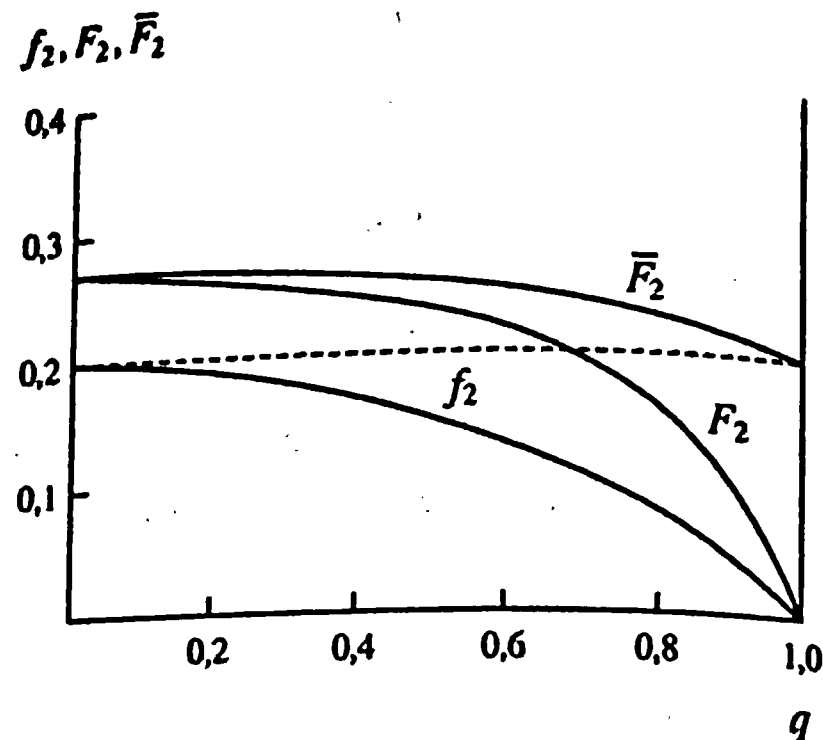


Рис. 6.3. Зависимость состава мономерной смеси f_2 , «мгновенного» F_2 и валового \bar{F}_2 составов сополимера от мольной конверсии при сополимеризации стирола с метилметакрилатом (M_2); $r_1 = 0,53$, $r_2 = 0,56$, $f_{02} = 0,20$

$$[M_0]f_{01} = \bar{F}_1 q + f_1(1 - q). \quad (6.73)$$

Два примера подобных расчетов представлены в графической форме на рис. 6.2 и 6.3. Из рис. 6.2 и 6.3 следует, что при сополимеризации метилметакрилата с акрилонитрилом и стиролом состав мономерной смеси меняется весьма значительно, вплоть до полного исчерпания более реакционноспособного мономера. Особенно ярко это выражено в первом случае, когда на заключительной стадии сополимеризации образуется гомополимер менее активного мономера. Зависимость состава сополимера от конверсии приводит к неоднородности сополимера по составу, которая, как правило, отрицательно отражается на его свойствах. При построении диаграмм, подобных рассмотренным выше, следует иметь в виду, что состав валового сополимера при 100 %-й конверсии равен составу мономерной смеси.

6.2. Радикальная сополимеризация

6.2.1. Скорость сополимеризации

Изменение состава мономерной смеси, как правило, приводит к заметному, а иногда к драматическому изменению скорости и степени полимеризации. Это связано с изменением эффективных значений констант всех элементарных реакций, а иногда и с методикой измерений.

Измерение скорости сополимеризации методом дилатометрии. Как правило, скорость сополимеризации на начальной стадии измеряется методом дилатометрии.

латометрии. Коэффициент контракции K в этом случае обычно рассчитывается, исходя из линейной зависимости:

$$K = K_{11}F_1 + K_{22}F_2, \quad (6.74)$$

где K_{11} и K_{22} – коэффициенты контракции, отвечающие гомополимеризации мономеров M_1 и M_2 ; F_1 и F_2 – мольные доли мономерных звеньев в сополимере.

Однако во многих случаях линейная зависимость не соответствует действительности. Поэтому для расчета коэффициента контракции было предложено уравнение, учитывающее реакцию перекрестного роста:

$$K = K_{11}b_{11} + K_{22}b_{22} + K_{12}b_{12}, \quad (6.75)$$

где K_{12} – коэффициент контракции, отвечающий образованию чередующегося сополимера; b_{11} , b_{22} и b_{12} – относительные количества разных химических связей основной цепи.

Скорость инициирования. При сополимеризации, в отличие от полимеризации, скорость инициирования определяется не только природой и концентрацией инициатора, но часто и составом мономерной смеси. В случае азосоединений, например азобisisобутиронитрила, обычно принимается, что скорость инициирования или постоянна, или линейно зависит от состава мономерной смеси. Известно, что константа скорости распада азобisisобутиронитрила зависит от природы растворителя. В случае смешанных растворителей, к которым можно отнести смесь мономеров, константа скорости распада азобisisобутиронитрила может быть рассчитана по формуле:

$$k_{\text{расп}} = \sum \Phi_i k_{\text{расп},i}, \quad (6.76)$$

где Φ_i – объемная доля растворителя, $k_{\text{расп},i}$ – константа скорости распада азобisisобутиронитрила в этом растворителе. Отклонения зависимости скорости инициирования от состава мономерной смеси от линейной редки и, как правило, незначительны. Существенные отклонения обнаружены при сополимеризации акрилонитрила с метилметакрилатом в растворе диметилформамида.

В отличие от азосоединений линейная зависимость скорости инициирования сополимеризации от состава мономерной смеси в случае пероксидов является скорее исключением. Возможные причины таких отклонений связываются с донорно-акцепторным взаимодействием компонентов реакционной смеси. Показано, что при сополимеризации стирола с метилметакрилатом и акрилонитрилом, инициируемой пероксидом бензоила, мономеры оказывают заметное влияние на скорость разложения последнего в результате образования донорно-акцепторных комплексов:

ПБ ... АН (ММА), ПБ ... АН (ММА) ... Ст

(ПБ – пероксид бензоила, АН – акрилонитрил, ММА – метилметакрилат, Ст – стирол).

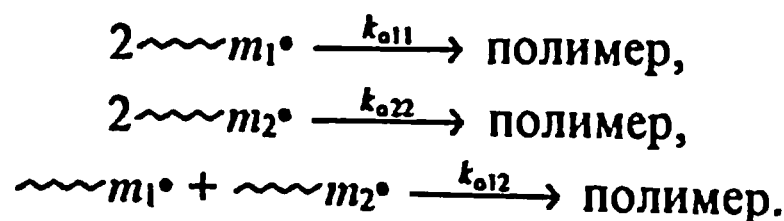
Таблица 6.3

Значения констант скорости инициирования для системы стирол – акрилонитрил, $[ПБ], [АИБН] = 0,001$ моль/моль смеси, $f_{АН}$ – мольная доля акрилонитрила в мономерной смеси

$f_{АН}$, мол. доли	$k_{ин} \cdot 10^5, \text{с}^{-1}$ при $T, ^\circ\text{C}$			
	60	75	75 (АИБН)	85
0,0	1,23	5,29	2,02	18,80
0,1	1,27	5,34	1,92	22,18
0,2	1,27	5,40	1,94	22,92
0,4	1,45	6,50	2,09	25,81
0,5	1,66	6,67	2,11	27,92
0,7	1,94	8,90	2,28	38,31
0,8	2,08	11,60	2,45	40,32
0,9	2,20	–	3,00	63,85

Наличие указанных комплексов было доказано методами УФ, ИК, ЯМР-спектроскопии. Наиболее ярко эффекты комплексообразования проявляются в системе стирол – акрилонитрил. В табл. 6.3 приведены данные, отражающие влияние состава мономерной смеси на значения констант скорости инициирования этой реакции при сополимеризации стирола с акрилонитрилом, инициируемой пероксидом бензоила (ПБ) и 2,2'-азобис(изобутиронитрилом) (АИБН).

Формально-кинетическое описание сополимеризации. Химическая модель обрыва цепи. Впервые неэмпирическое уравнение скорости радикальной сополимеризации было предложено Мелвиллом и Уоллингом, которые исходили из модели сополимеризации Майо–Льюиса. В этой модели рассматриваются четыре реакции роста (уравнения (6.1)) и три реакции обрыва цепи:



Уравнение скорости сополимеризации имеет вид:

$$-\frac{d([M_1] + [M_2])}{dt} = \frac{(r_1[M_1]^2 + 2[M_1][M_2] + r_2[M_2]^2)V_{ин}^{0,5}}{(r_1^2\sigma_1^2[M_1]^2 + r_2^2\sigma_2^2[M_2]^2 + 2\varphi r_1r_2\sigma_1\sigma_2[M_1][M_2])^{0,5}}, \quad (6.77)$$

где $[M_1]$ и $[M_2]$ – молярные концентрации мономеров M_1 и M_2 в мономерной смеси; $\sigma_1 = k_{o11}/k_{11}$; $\sigma_2 = k_{o22}/k_{22}$; $\varphi = k_{o12}/(k_{o11}k_{o22})^{0,5}$.

Параметры σ_1 и σ_2 легко могут быть найдены из опытов по гомополимеризации, величина параметра φ не может быть установлена в независимых опытах. Обычно φ находят путем сравнения экспериментальной зависимости скорости сополимеризации от состава мономерной смеси с теоретической. Так, в случае сополимеризации стирола с метилметакрилатом экспериментальная кривая совпадает с теоретической при $\varphi = 13$ (рис. 6.4).

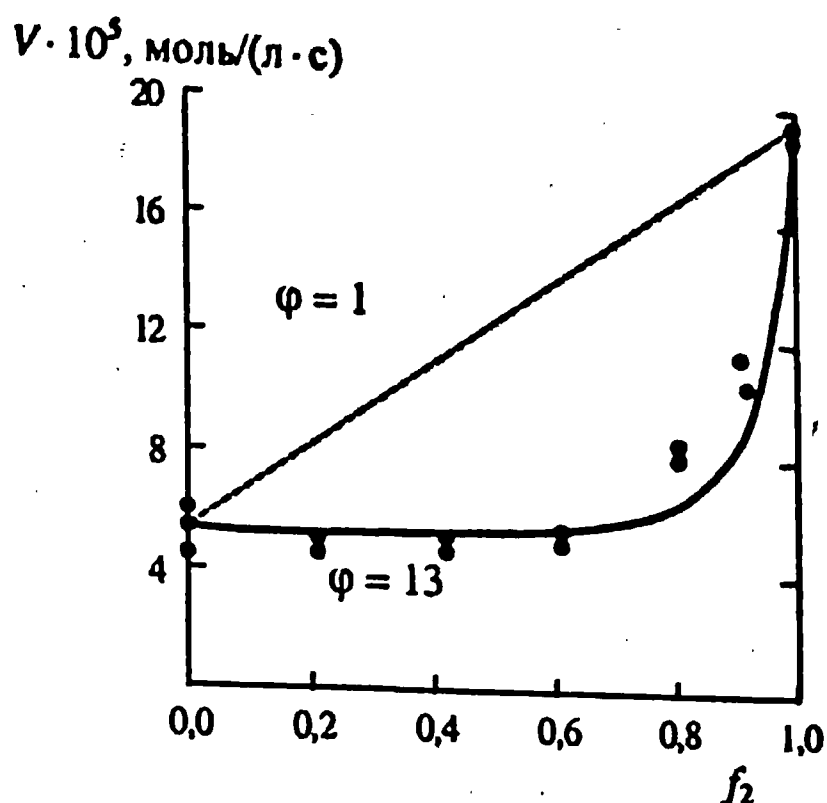


Рис. 6.4. Зависимость скорости сополимеризации стирола с метилметакрилатом от состава мономерной смеси; инициатор – азобisisобутиронитрил, f_2 – мольная доля метилметакрилата в мономерной смеси. Кривая построена по уравнению (6.77) с указанным значением ϕ

Уравнение (6.77) нашло широкое применение, в результате чего был накоплен обширный фактический материал по величине ϕ . Анализ этих данных показал, что практически всегда $\phi \geq 1$, причем, для ряда систем имеет место корреляция $\phi \sim 1/r_1 \cdot r_2$ (табл. 6.4).

Эта корреляция была объяснена в рамках химической модели реакции обрыва цепи в сополимеризации с учетом полярного фактора реакционной способности.

В изложенном выше методе нахождения величины ϕ , который можно охарактеризовать как метод подобранный кривой, предполагается, что

Таблица 6.4

Корреляция между ϕ и $r_1 \cdot r_2$ при радикальной сополимеризации

Мономеры	r_1	r_2	$r_1 \cdot r_2$	ϕ
β-Хлорстирол – метилакрилат	1,21	0,14	0,16	147
Стирол – 3,3,3-трихлорпропен	7,80	0,017	0,13	63
Стирол – бутилакрилат	0,75	0,15	0,114	35
Стирол – изобутилметакрилат	0,55	0,40	0,22	21
Метилметакрилат – акрилонитрил	1,20	0,15	0,18	14
Стирол – метилметакрилат	0,52	0,46	0,23	13
Стирол – метакрилонитрил	0,30	0,16	0,048	6,7
Акрилонитрил – метилакрилат	0,67	1,26	0,84	2,3
Метилметакрилат – бутилметакрилат	0,79	1,27	1,0	1,1

$\Phi = \text{const}$, т.е. не зависит от состава мономерной смеси. На самом деле это не так. Если рассчитывать величину Φ отдельно для каждой мономерной смеси по данным скоростей сополимеризации (уравнение (6.77)), то, как правило, обнаруживается существенная зависимость Φ от состава. До настоящего времени эта зависимость не получила исчерпывающего объяснения, однако, сам факт ее существования указывает на то, что параметр Φ не имеет полного физического обоснования и его следует рассматривать как корректирующий. По этой причине уравнение Мелвилла и Уоллинга, базирующееся на химической модели обрыва цепи, в настоящее время используется редко.

Диффузионная модель обрыва цепи. В 60-х гг. XX в. Нортоном была предложена диффузионная модель обрыва цепи в радикальной полимеризации. Согласно этой модели, скорость реакции обрыва лимитируется сегментальной подвижностью цепи, которая обратно пропорциональна вязкости растворителя. Эта зависимость была использована для экспериментальной проверки диффузионной теории обрыва цепи. Действительно оказалось, что во многих случаях (но не всегда) начальная скорость полимеризации уменьшается с увеличением вязкости растворителя. При полимеризации метилметакрилата и винилацетата, а также при их сополимеризации начальная скорость зависит от вязкости реакционных смесей. Такого рода данные указывают на то, что модель диффузионного обрыва цепи применима как при радикальной полимеризации, так и при сополимеризации.

Уравнение скорости сополимеризации с учетом диффузионного механизма впервые выведено Атертоном и Нортоном:

$$-\frac{d([M_1] + [M_2])}{dt} = \frac{(r_1[M_1]^2 + 2[M_1][M_2] + r_2[M_2]^2)V_{\text{ни}}^{0.5}}{k_o^{0.5} \left(\frac{r_1[M_1]}{k_{11}} + \frac{r_2[M_2]}{k_{22}} \right)}. \quad (6.78)$$

Это уравнение включает эффективную константу скорости обрыва цепи k_o , которая, как полагают, одинакова для всех трех реакций обрыва цепи. Поскольку подвижность цепи определяется ее составом, изначально предполагается, что величина k_o зависит от состава сополимера, простейшая форма такой зависимости имеет вид:

$$k_o = k_{o11}F_1 + k_{o22}F_2. \quad (6.79)$$

Уравнения (6.78) и (6.79) позволили качественно правильно описать зависимость скорости сополимеризации метилметакрилата с винилацетатом от состава мономерной смеси, однако, полного количественного совпадения были предложены другие уравнения, связывающие константы скорости обрыва в сополимеризации и гомополимеризации. Прямое определение k_o в сополимеризации и сопоставление экспериментальных и теоретических зависимостей константы скорости обрыва цепи от состава мономерной смеси показало, что наилучшее совпадение наблюдается при использовании уравнений:

$$1/k_o = F_1/k_{o1} + F_2/k_{o2}, \quad (6.80)$$

$$1/k_o = q_1/k_{o1} + q_2/k_{o2}, \quad (6.81)$$

где q_1 и q_2 – доли радикалов роста, оканчивающихся звеньями m_1 и m_2 . Следующий этап в развитии теории скорости сополимеризации связан с распространением техники пульсирующей лазерной полимеризации. Если определить константу скорости роста цепи при сополимеризации, то скорость последней может быть выражена простым уравнением закона действия масс:

$$V = \bar{k}_p [m^{\bullet}] [M], \quad (6.82)$$

где \bar{k}_p – «средняя» константа скорости роста цепи; $[m^{\bullet}]$ – суммарная концентрация радикалов роста; $[M]$ – суммарная концентрация мономеров. Величина \bar{k}_p закономерно связана с составом мономерной смеси, относительными активностями мономеров и константами элементарных реакций роста цепи. Эта связь может быть установлена, исходя из разных моделей сополимеризации. На основе модели концевого звена, т. е. модели Майо–Льюиса, получено:

$$\bar{k}_p = \frac{r_1 f_1^2 + 2f_1 f_2 + r_2 f_2^2}{\frac{r_1 f_1}{k_{11}} + \frac{r_2 f_2}{k_{22}}}. \quad (6.83)$$

Однако экспериментальная проверка этого уравнения методом пульсирующей лазерной полимеризации показала его несостоятельность во многих случаях, в частности, при сополимеризации стирола с метилметакрилатом (рис. 6.5).

В результате была высказана гипотеза о влиянии природы предконцевого звена на скорость радикальной сополимеризации. Для количественной характеристики этого эффекта в дополнение к четырем константам сополимеризации – относительным активностям мономеров в модели предконцевого звена – были введены две новые – относительные активности радикалов:

$$s_1 = k_{211}/k_{111}, \quad s_2 = k_{122}/k_{222}, \quad (6.84)$$

где k_{211} , k_{111} , k_{122} , k_{222} – константы скорости элементарных реакций (6.55).

Относительные активности радикалов s_1 и s_2 показывают, во сколько раз отличаются скорости реакций роста радикалов, имеющих разные предконцевые звенья. Учет эффекта предконцевого звена приводит к более сложному выражению для средней константы скорости реакции роста цепи при сополимеризации:

$$\langle \bar{k}_p \rangle = \frac{\bar{r}_1 f_1^2 + 2f_1 f_2 + \bar{r}_2 f_2^2}{\frac{\bar{r}_1 f_1}{\bar{k}_{11}} + \frac{\bar{r}_2 f_2}{\bar{k}_{22}}}, \quad (6.85)$$

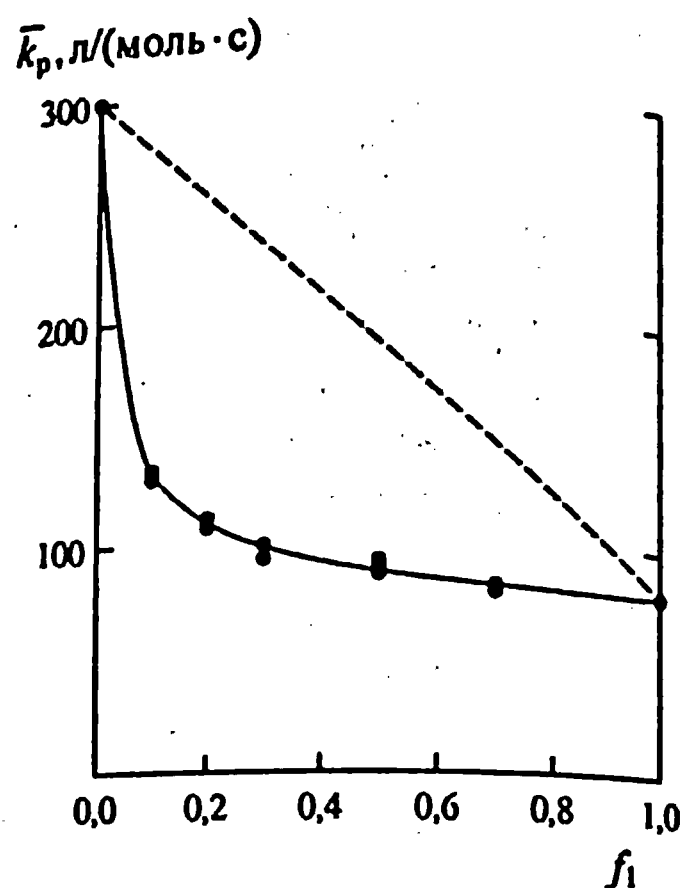


Рис. 6.5. Экспериментальная зависимость средней константы скорости роста при сополимеризации стирола с метилметакрилатом (черные точки) и теоретически построенная, исходя из модели концевого (пунктирная линия) и предконцевого звена (сплошная линия); $s_1 = 0,466$, $s_2 = 0,175$, f_2 – мольная доля стирола в мономерной смеси, 25°C

где

$$\bar{k}_{11} = \frac{k_{111}(r_{11}f_1 + f_2)}{r_{11}f_1 + f_2/s_1}, \quad \bar{k}_{22} = \frac{k_{222}(r_{22}f_2 + f_1)}{r_{22}f_2 + f_1/s_2}, \quad (6.86)$$

$$\bar{r}_1 = \frac{r_{21}(r_{11}f_1 + f_2)}{r_{21}f_1 + f_2}, \quad \bar{r}_2 = \frac{r_{12}(r_{22}f_2 + f_1)}{r_{12}f_2 + f_1}. \quad (6.87)$$

Из приведенных значений s_1 и s_2 в подписи к рис. 6.5 следует, что природа предконцевого звена может изменить константу скорости роста макрорадикала в несколько раз. Эффект предконцевого звена, затрагивающий лишь скорость реакции роста, но не состав сополимера, называется неявным. Оба эффекта – неявный и явный (влияющий на состав сополимера) – имеют общую природу, которая будет рассмотрена в следующем разделе.

Весьма специфичной является радикальная сополимеризация активных мономеров с неактивными. К первым относятся мономеры с $\pi-\pi$ -сопряжением между двойной связью и заместителем, ко вторым – все остальные. При сополимеризации таких мономеров сополимер чрезмерно обогащен активным мономером, малые добавки последнего ингибируют сополимеризацию. В качестве примера на рис. 6.6 приведен вид зависимости скорости

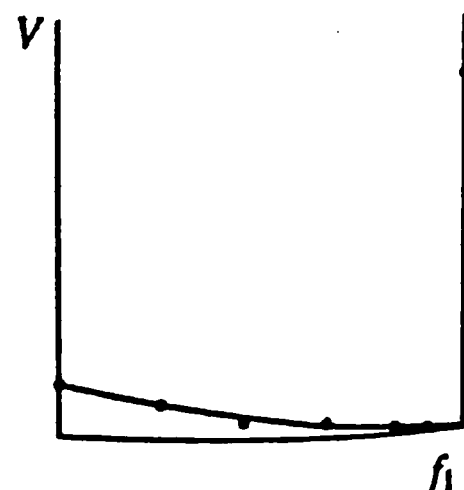


Рис. 6.6. Вид зависимости скорости сополимеризации винилацетата со стиролом от состава мономерной смеси, f_1 – мольная доля винилацетата в мономерной смеси

Таблица 6.5

Относительные активности мономеров при сополимеризации стирола (1) с акрилонитрилом (2), определенные в рамках моделей концевого и предконцевого звена, 60 °C

Среда	r_1	r_2	r_{11}	r_{21}	r_{12}	r_{22}
В массе	0,394	0,063	0,232	0,566	0,087	0,036
В толуоле	0,423	0,118	0,242	0,566	0,109	0,105
В ацетонитриле	0,485	0,081	0,322	0,621	0,105	0,052

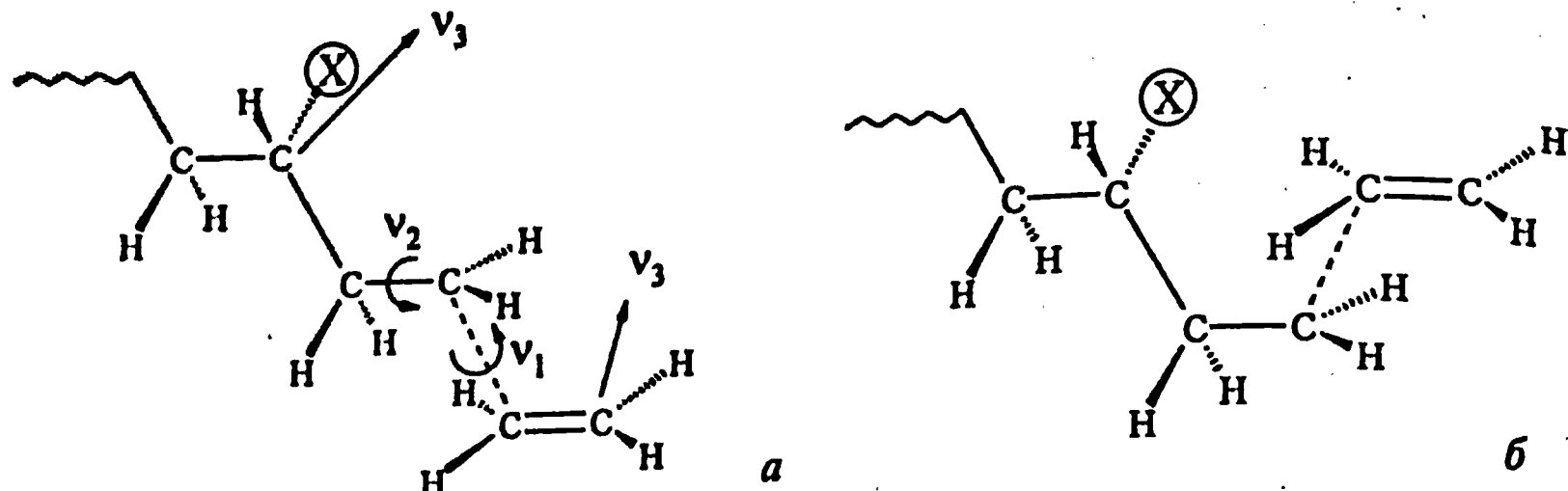
сополимеризации стирола с винилацетатом от состава мономерной смеси. Малые добавки активного мономера – стирола (около 0,1 %) – уменьшают на два порядка скорость полимеризации винилацетата. Причина состоит в малой реакционной способности радикала стирола, стабилизированного за счет сопряжения sp^2 концевого атома углерода с ароматическим кольцом. Более подробно этот механизм будет рассмотрен далее.

6.2.2. Природа эффекта предконцевого звена

Модель предконцевого звена была предложена Мерцем, Алфреем и Голдфингером в 1946 г., ими же впервые было получено уравнение (6.50). Долгое время эта модель применялась при сополимеризации мономеров, один из которых не способен к гомополимеризации. В результате для расчета относительных активностей могло быть использовано упрощенное уравнение состава, содержащее всего лишь две константы (6.51). Это уравнение впервые было применено к сополимеризации стирола (1) с фумаронитрилом (2). Поскольку последний не способен к гомополимеризации, то $r_2 = r_{12} = 0$. Было найдено $r_1 = 0,072$ и $r_{21} = 1,0$, что указывает на очень сильный эффект предконцевого звена. Уравнение (6.51) с приведенными выше значениями относительных активностей удовлетворительно описало экспериментальные данные по составу сополимера.

В настоящее время существует мнение, что границы применения предконцевой модели сополимеризации в той ее части, которая описывает состав сополимера, существенно шире по сравнению с тем, как это представлялось ранее. Считается, в частности, что модель широко применима при сополимеризации виниловых мономеров. В табл. 6.5 представлены хорошо известные данные по константам сополимеризации стирола с акрилонитрилом, определенным в соответствии с моделями концевого и предконцевого звена. Эти данные практически однозначно указывают на то, что сополимеризация протекает в соответствии с последней моделью. Во-первых, экспериментальные данные по триадному составу сополимера (ЯМР) совпадают с теоретически рассчитанными лишь исходя из модели предконцевого звена. Во-вторых, данные, характеризующие эффект предконцевого звена, находятся в количественном соответствии с данными экспериментов по присоединению мономеров к низкомолекулярным радикалам, моделирующим два последних звена радикала роста.

В настоящее время природу явного и неявного эффектов предконцевого звена связывают с двумя составляющими – стерической и электронной. Ниже приведены схемы переходного состояния реакции роста при радикальной (ко)полимеризации, где выделен лишь один заместитель предконцевого звена X:



Теоретические расчеты показывают, что значения предэкспоненциального множителя зависят главным образом от свободы вращения вокруг образующейся связи v_1 , концевой связи v_2 и колебаний переходного комплекса в целом v_3 (a). Оказалось, что при вращении вокруг концевой связи возникает значительный потенциал торможения при эклиптическом (друг против друга) положении заместителя X предконцевого звена и группы CH_2 присоединяющегося мономера. В результате значение предэкспоненциального множителя уменьшается в два раза даже при $X = \text{CH}_3$.

Электронная составляющая предконцевого звена объясняется его влиянием на полярность и резонансную стабилизацию концевого радикала. Однако оба эффекта должны быть достаточно слабыми, поскольку передаются через несколько σ -связей.

6.2.3. Влияние температуры и давления на радикальную сополимеризацию

Влияние температуры на скорость и степень сополимеризации аналогично гомополимеризации (разд. 5.1.4). Исключения могут быть связаны с сополимеризацией, осложненной деполимеризацией. Влияние температуры на состав сополимера может быть установлено, исходя из уравнения Аррениуса, применение которого к относительным активностям приводит к следующим зависимостям:

$$r_1 = \frac{k_{11}}{k_{12}} = \frac{A_{11}}{A_{12}} e^{(E_{11} - E_{12})/RT}, \quad (6.88)$$

$$r_2 = \frac{k_{22}}{k_{21}} = \frac{A_{22}}{A_{21}} e^{(E_{22} - E_{21})/RT}. \quad (6.89)$$

Для мономеров близкого строения, например виниловых, частотные факторы отличаются мало: в первом приближении можно считать, что $A_{11}/A_{12} = A_{22}/A_{21} = 1$. Тогда

$$r_1 = e^{(E_{11} - E_{12})/RT}, \quad (6.90)$$

$$r_2 = e^{(E_{22} - E_{21})/RT}, \quad (6.91)$$

Таблица 6.6

Значения относительных активностей мономеров при разных температурах и отношения частотных факторов

Мономеры	r_1, r_2		$A_{11}/A_{12}, A_{22}/A_{21}$
	60 °C	131 °C	
Стирол	0,520	0,590	1,06
метилметакрилат	0,460	0,536	1,10
Стирол	0,747	0,825	1,31
метилакрилат	0,182	0,238	1,39
Стирол	6,52	5,48	2,55
диэтилмалеат	~ 0	~ 0	
Стирол	0,301	0,400	1,50
диэтилфумарат	0,0697	0,0905	0,31
Стирол	0,742	0,816	1,27
<i>n</i> -хлорстирол	1,032	1,042	1,22
Стирол	5,17 (70 °C)	7,23 (140 °C)	34,34
<i>транс</i> -стильбен	0,33	0,22	0,003

откуда следует, что с увеличением температуры $r_1 \rightarrow 1$, $r_2 \rightarrow 1$ независимо от исходных значений относительных активностей. Другими словами, с увеличением температуры избирательность присоединения мономеров к радикалам уменьшается. Однако, этот эффект мал, поскольку мала разница в энергиях активации роста цепи ($E_{11} - E_{12}$) и ($E_{22} - E_{21}$). В табл. 6.6 приведены значения относительных активностей мономеров при разных температурах, откуда видно, что теоретические представления для однотипных мономеров оправдываются.

Отклонения наблюдаются при сополимеризации мономеров с отличающейся структурой, например, при сополимеризации стирола с диэтилмалеатом (1,2-дизамещенный мономер) и *транс*-стильбеном (бифункциональный мономер $\text{CH}_2=\text{CH}-\text{C}_6\text{H}_4-\text{CH}=\text{CH}_2$).

Влияние давления на скорость и степень сополимеризации качественно аналогично тому, что описано выше для гомополимеризации. Влияние давления на относительные активности может быть предсказано, исходя из уравнения (5.51). Применяя его к произведению относительных активностей, получаем:

$$\frac{d \ln(r_1 \cdot r_2)}{dp} = -\frac{\Delta V_{11}^\neq + \Delta V_{22}^\neq}{RT} \quad (6.92)$$

при допущении, что $\Delta V_{12}^\neq = \Delta V_{21}^\neq$, где ΔV_{12}^\neq и ΔV_{21}^\neq – изменение объема при образовании переходного комплекса из исходных мономера и радикала в реакциях перекрестного роста, т. е. активационные объемы этих реакций. Из разд. 5.1.4 следует, что $\Delta V_{11}^\neq < 0$, $\Delta V_{22}^\neq < 0$, следовательно, с увеличением давления произведение $r_1 \cdot r_2$ должно возрастать. Из данных, приведенных в табл. 6.7, видно, что это предсказание оправдывается.

Увеличение давления всегда приводит к росту произведения $r_1 \cdot r_2$ в результате возрастания значений обеих констант сополимеризации r_1 и r_2 . Та-

Таблица 6.7

Влияние давления на сополимеризацию некоторых мономеров

M_1	M_2	$p \cdot 10^{-5}$, Па	η_1	η_2	$\eta_1 \cdot \eta_2$
Стирол	Метилакрилат	1,0	0,704	0,159	0,112
		1013,2	0,710	0,163	0,116
		2026,5	0,714	0,167	0,119
		3039,8	0,718	0,171	0,123
Стирол	Акрилонитрил	1,0	0,07	0,37	0,03
		1013,2	0,14	0,55	0,08
Акрилонитрил	Метилметакрилат	1,0	1,34	0,12	0,16
		1013,2	2,01	0,45	0,91
Стирол	Диэтилфумарат	1,0	0,26	0,06	0,02
		101,3	0,29	0,09	0,03
		1013,2	0,32	0,15	0,05
Стирол	<i>Цис</i> -1,2-дихлорэтилен	1,0	195	0,00	0,00
		101,3	200	0,00	0,00
		1013,2	220	0,01	2,20

ким образом, давление приводит к уменьшению избирательности присоединения мономеров к радикалам. Необходимо обратить внимание на то, что значения констант сополимеризации стерически затрудненных мономеров, к которым относят 1,2-ди- и более замещенные этилена, равные или близкие к нулю при атмосферном давлении, при высоком становятся отличными от нуля и (или) увеличиваются (см. табл. 6.7).

6.2.4. Чередующаяся сополимеризация

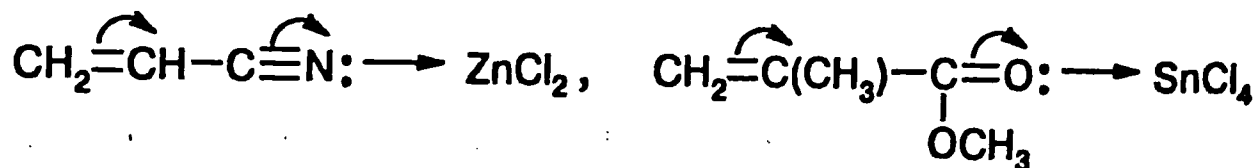
При сополимеризации электроноакцепторных (A) и электронодонорных (D) мономеров довольно часто образуются сополимеры с регулярным или близким к регулярному чередованию мономерных звеньев.

К электронодонорным относятся мономеры с развитой системой π - π -сопряжения, мономеры с заместителями, нагнетающими электронную плотность на двойную связь, а также олефины. Они подразделяются на следующие группы:

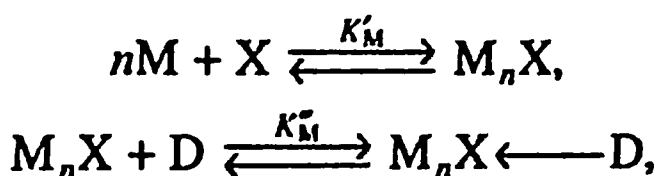
1. Этилен и мономеры с π - σ -сопряжением – α -олефины, циклоалкены, винилциклоалканы, аллиловые мономеры.
2. Мономеры с π - p -сопряжением – виниловые эфиры, винилсульфиды, N-виниламины, N-виниламиды, винилгалоиды.
3. Мономеры с π - π -сопряжением – винилароматические мономеры, транс-стильбен, фенантрен, аценафтилен, инден, винилпиридины, фенилацетилен и др.
4. Мономеры с π - p - π -сопряжением – виниловые эфиры, N-винилкарбазол, N-винилпирролидон, N-винилсукцинимид, N-винилфталимид. Электроноакцепторные мономеры имеют заместители, вытягивающие электронную плотность с двойной связи:

1. Ангидриды и имиды ненасыщенных дикарбоновых кислот (малеиновой, итаконовой и др.) и их производные.
2. Моно- и дикарбоновые ненасыщенные кислоты, их эфиры, амиды, нитрилы.
3. Тетрагалоидные замещенные этилена.
4. К наиболее сильным акцепторам электронов радикальной сополимеризации относится SO_2 .

Чередующаяся сополимеризация мономеров, принадлежащих к разным классам, является следствием образования комплексов с переносом заряда (КПЗ), называемых также донорно-акцепторными (ДА) комплексами, между ними или между мономером одного класса и радикалом роста другого. Согласно теории Малликена, волновая функция КПЗ может быть представлена суперпозицией волновых функций двух предельных структур – без переноса и с полным переносом электрона, причем последний несущественен. Из этого следует, что кулоновское взаимодействие не играет значительной роли в образовании связи между компонентами комплекса. Характерным признаком образования КПЗ является возникновение новой полосы поглощения в видимой или УФ части спектра. Обычно КПЗ является более реакционноспособным по сравнению с мономерами. Причина этого связана с более обширной π -электронной структурой и способности к переходу в возбужденное ионизированное состояние. Кроме двойных, известны тройные ДА-комpleксы мономеров. Первые образуются между относительно сильными донорами и акцепторами электронов, например между малеиновым ангидридом и стиролом. Вторые образуются между слабыми акцепторами электронов, например акрилатами, и сильными донорами электронов в присутствии кислот Льюиса. Роль последних заключается в смещении электронной плотности на себя в координационных двойных комплексах:



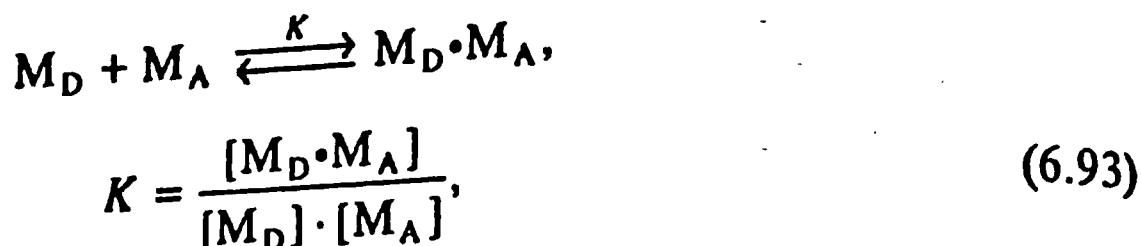
что приводит к увеличению электроноакцепторных свойств акрилового мономера. В целом процесс образования тройных ДА-комплексов описывается следующими равновесиями:



где M – акриловый мономер, D – донорный мономер, X – кислота Льюиса. Константы равновесия образования тройных и двойных ДА-комплексов мономеров близки. Так, для комплексов акрилонитрил – ZnCl_2 – стирол, (метилметакрилат)₂ – SnCl_4 – стирол константы равновесия при комнатной температуре составляют 0,062 и 0,21 л/моль соответственно. Для двойных ДА-комплексов характерны значения в интервале 0,1–0,2 л/моль.

Впервые гипотезу об образовании КПЗ мономеров и их способности к полимеризации как единой кинетической частицы высказали Бартлетт и

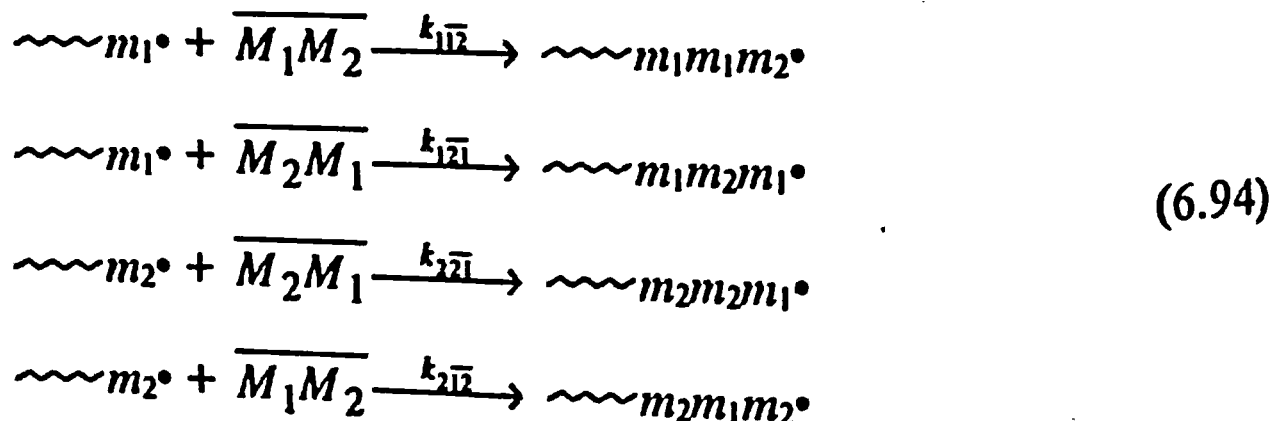
Нозаки более 50 лет назад. Особенность активно чередующаяся сополимеризация изучалась в 70–80-х гг. ХХ в. Было установлено, что способность к чередующейся сополимеризации часто связана с термодинамической константой равновесия образования КПЗ мономерами, которая в случае двойных комплексов имеет следующий вид:



где $[M_D]$, $[M_A]$, $[M_D \cdot M_A]$ – равновесные концентрации мономеров и комплекса; K – константа равновесия. С увеличением константы равновесия комплексообразования способность к чередующейся сополимеризации изменяется следующим образом:

- $K < 0,01$ – чередующаяся сополимеризация отсутствует,
- $0,01 < K < 0,1$ – имеет место инициируемая чередующаяся сополимеризация,
- $0,1 < K < 0,15$ – спонтанная чередующаяся сополимеризация,
- $(0,1 - 0,15) < K < 5$ – ионная спонтанная чередующаяся сополимеризация,
- $K > 5$ – образование стабильного комплекса, не способного к полимеризации, который может быть выделен как индивидуальное вещество.

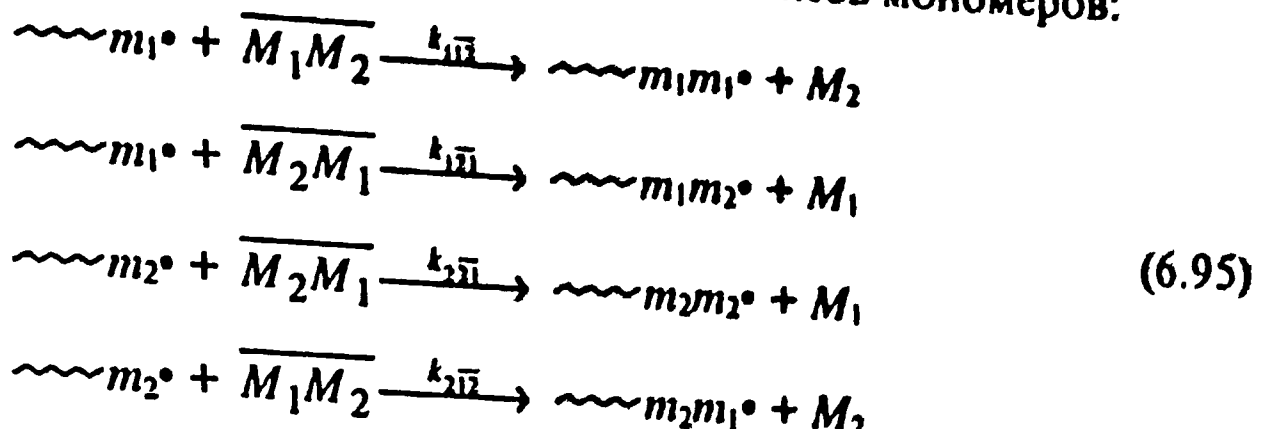
Существуют две модели сополимеризации с участием комплексов мономеров. Первая из них – модель Сейнера и Лита – предусматривает вхождение обеих молекул мономерного комплекса в цепь, вторая – модель диссоциации – предусматривает вхождение в цепь лишь одного из мономеров комплекса. Согласно первой модели, необходимо учитывать в элементарной реакции четыре рассмотренных ранее реакции роста (6.1) модели концевого звена с участием свободных мономеров и четыре реакции с участием комплекса:



а также равновесную реакцию комплексообразования мономеров (6.93).

Согласно «модели диссоциации» комплекса, необходимо также рассматривать восемь реакций роста: четыре с участием свободных мономеров и четыре с участием комплекса, а также реакцию комплексообразования мономеров (6.93). Данная модель может быть применима к сополимеризации в растворителе, образующем комплексы с мономером. В этом случае рассматриваются

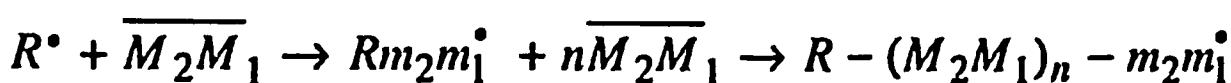
две реакции комплексообразования, т.е. каждого из мономеров с растворителем. Ниже приведены реакции роста с участием комплексов мономеров:



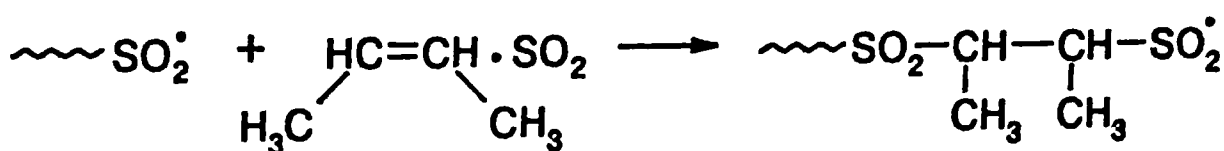
Сравнение (6.94) и (6.95) показывает, что они отличаются природой концевых звеньев образующихся радикалов роста. Это происходит потому, что, согласно модели «диссоциации комплекса», в реакции роста цепи присоединяется лишь один из мономеров комплекса, второй же выполняет роль активатора.

Механизм чередующейся сополимеризации определяется тем, какая из элементарных реакций рассмотренных моделей является преобладающей. Механизм был изучен тремя методами: исходя из состава сополимера, скорости сополимеризации (кинетический метод) и методом ЭПР. В последнем случае применялось «прямое» наблюдение радикалов роста при низких температурах, а также использование спиновой ловушки.

«Прямыми» методом ЭПР, а также кинетическим методом было доказано, что при сополимеризации SO_2 с диметилбутадиеном реализуется «комплексный» механизм, предусматривающий вхождение обоих мономеров комплекса в цепь. В реакционной смеси существуют два вида независимо растущих цепей, отличающихся природой концевого звена:



Методом спиновой ловушки было показано, что «комплексный» механизм реализуется также при чередующейся сополимеризации *цис*-бутена-2 с SO_2 . В этом случае доминирует одна реакция роста – присоединение мономерного комплекса к радикалу роста, оканчивающемуся звеном SO_2^\bullet :



Кинетические методы анализа связаны с явлением разрушения комплексов мономеров при разбавлении реакционных смесей растворителем. Когда на графике зависимости скорости сополимеризации от состава мономерной смеси четко выражен максимум, регистрируется его смещение при разбавлении реакционных смесей растворителем. Для расчета параметров, характеризующих процесс, требуется, как минимум, три серии экспериментов с мономерными смесями трех разных составов и знание константы диссоциации комплекса (K^{-1}).

Методом смещения максимума (рис. 6.7) обнаружено, что при сополимеризации малеинового ангидрида (M_2) с винилфениловым эфирем (M_1)

$$k_{12}/k_{21} = 17,6; k_{1\bar{2}}/k_{12} = 7,51; k_{2\bar{1}}/k_{21} = 0,355.$$

Первое означает, что реакционная способность радикала винилфенилового эфира существенно более высока в реакциях перекрестного роста по сравнению с радикалом малеинового ангидрида. Этот факт соответствует сложившимся представлениям об «идеальной» реакционной способности мономеров и радикалов, согласно которым, π - π -сопряжение в последних снижает их реакционную способность. Из второго отношения следует, что к радикалу роста малеинового ангидрида преимущественно присоединяются комплексы мономеров, а к радикалу роста винилфенилового эфира – свободный малеиновый ангидрид. Таким образом, в данном случае представлены все виды перекрестных реакций роста (т. е. приводящих к образованию чередующегося сополимера) – с участием свободных радикалов и комплексов мономеров. Такой механизм чередующейся сополимеризации называется смешанным. Он также характерен для чередующейся сополимеризации малеинового ангидрида с аллиловыми мономерами. При чередующейся сополимеризации некоторых мономеров эффект «сдвига максимума» отсутствует. Это свидетельствует о том, что вклад реакций роста с участием комплексов мономеров в формирование цепи чередующегося сополимера край-

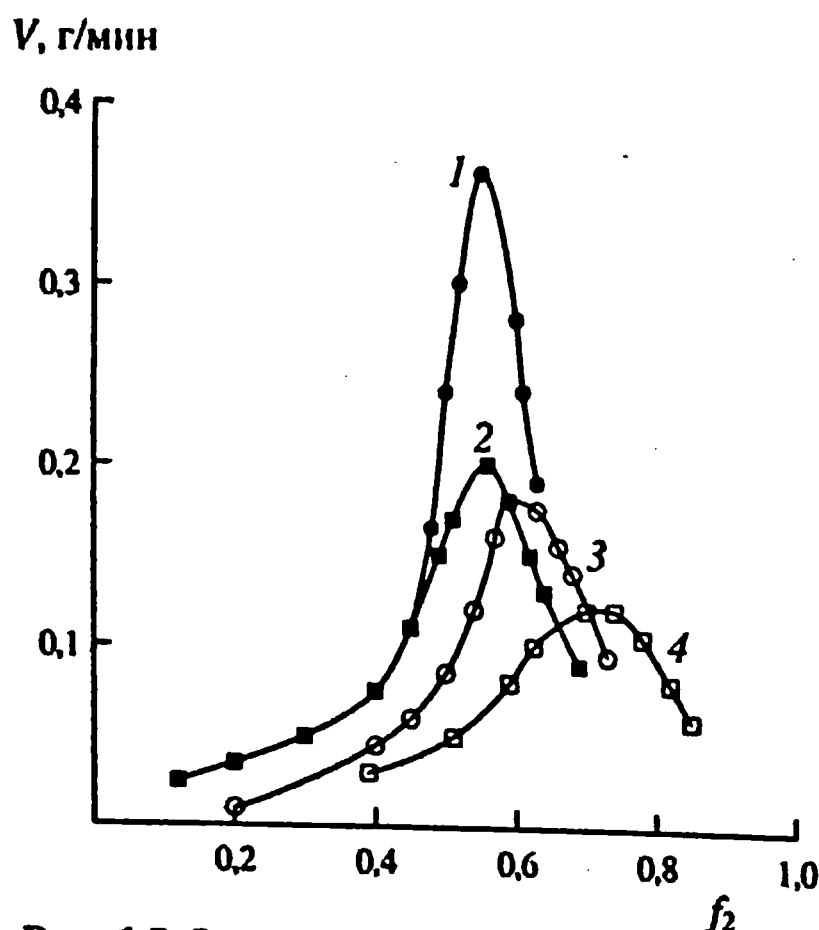


Рис. 6.7. Зависимость скорости чередующейся сополимеризации винилфенилового эфира с малеиновым ангидридом от состава мономерной смеси и суммарной концентрации мономеров: 1 – 6,1; 2 – 3,4; 3 – 2,03; 4 – 1,0 моль/л; f_2 – мольная доля малеинового ангидрида в исходной смеси

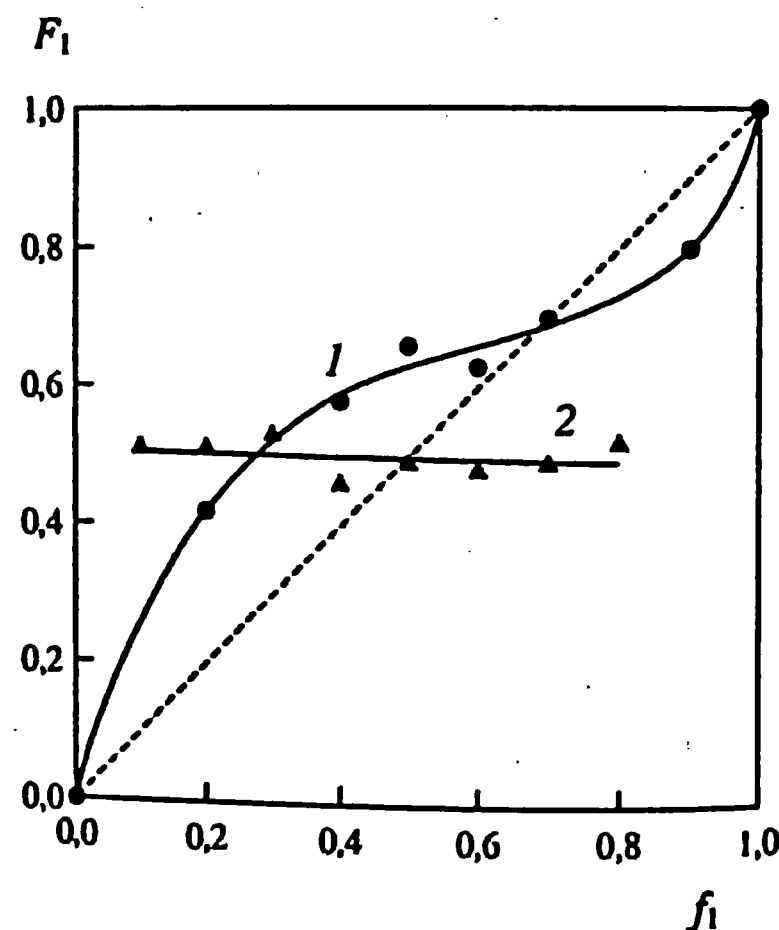


Рис. 6.8. Кривые состава сополимера бутилметакрилата с диметилбутадиеном; $[БМА]/[КО] = 2$; 1 – бутилметакрилат – диметилбутадиен, 2 – бутилметакрилат – $(C_2H_5)_2AlCl$ – диметилбутадиен; f_1, F_1 – мольные доли бутилметакрилата в исходной мономерной смеси и в сополимере, соответственно

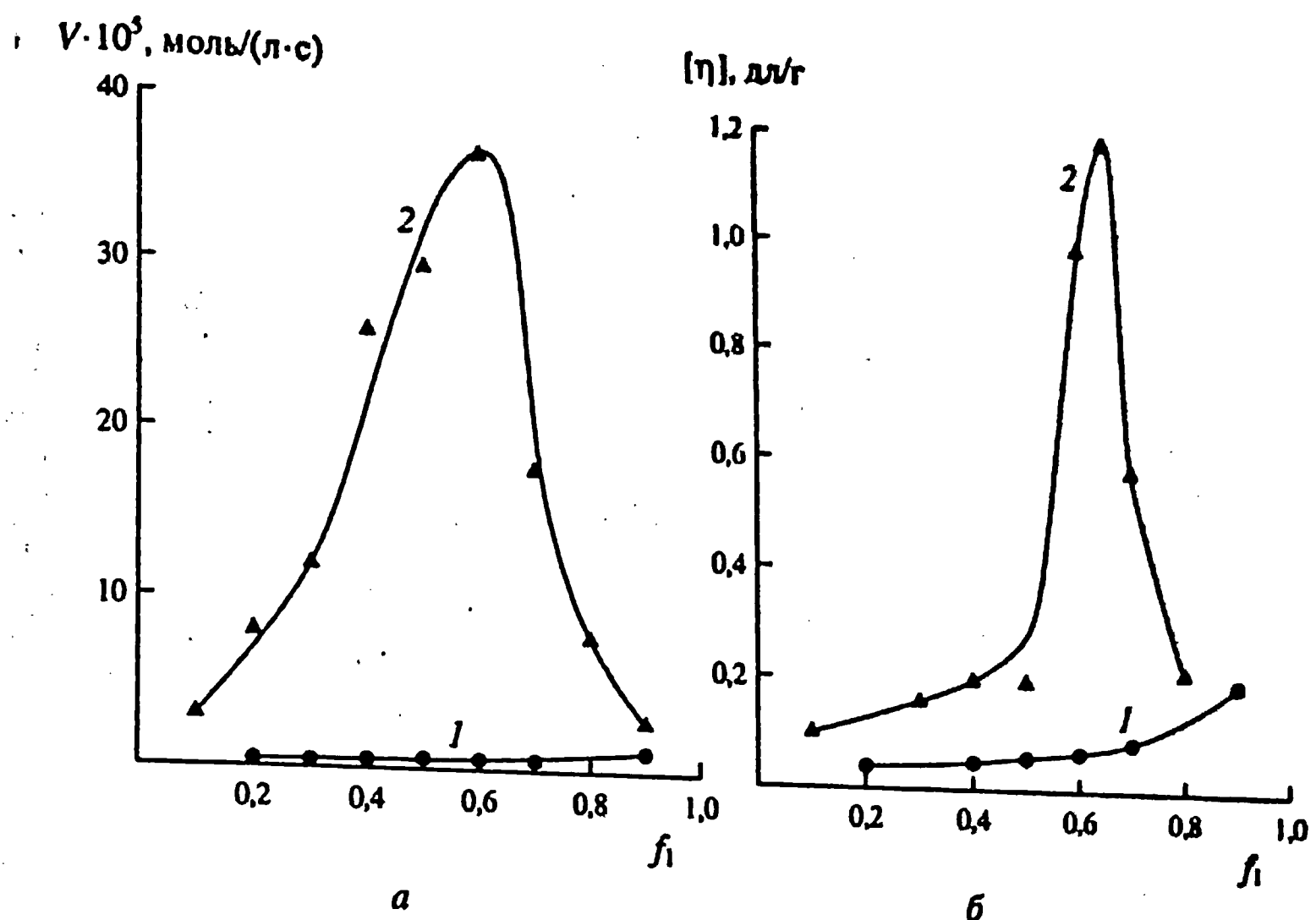
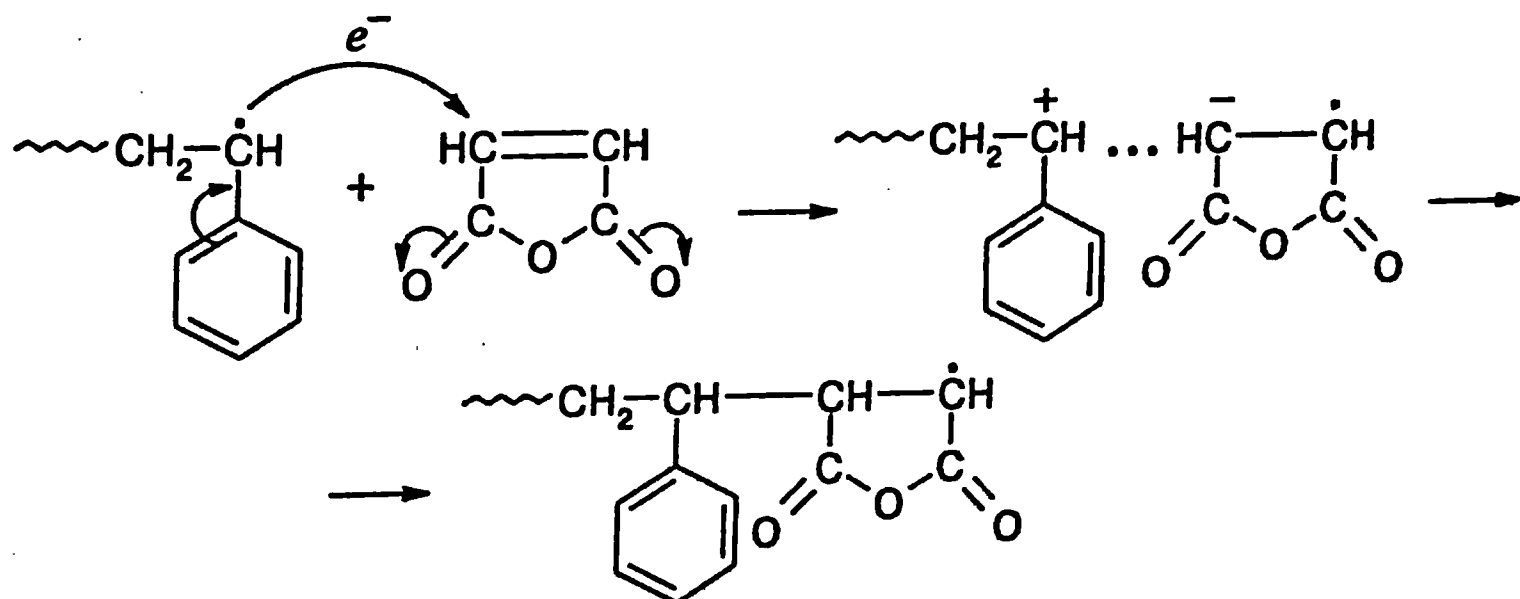


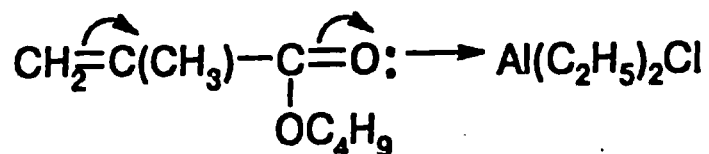
Рис. 6.9. Зависимость скорости сополимеризации (а) и характеристической вязкости (б) сополимеров бутилметакрилата с диметилбутадиеном; $[БМА]/[КО] = 2$; 1 – бутилметакрилат – диметилбутадиен, 2 – бутилметакрилат – $(C_2H_5)_2AlCl$ – диметилбутадиен; f_1 – мольная доля бутилметакрилата в исходной мономерной смеси

не незначителен. Однако, этот результат не означает отсутствия донорно-акцепторного взаимодействия в реакции перекрестного роста. Практически одновременно с гипотезой о роли донорно-акцепторных сомономерных комплексов в чередующейся сополимеризации была высказана гипотеза о донорно-акцепторном взаимодействии в реакции электронодонорных радикалов роста с электроноакцепторными мономерами (и наоборот). Согласно гипотезе Уоллинга, реакция перекрестного роста с участием радикала стирола и мономера малеинового ангидрида происходит через стадию переноса электрона, что снижает энергию ее активации:



Чередующаяся сополимеризация имеет ярко выраженные особенности по сравнению со статистической. К ним относятся:
 спонтанное инициирование,
 нечувствительность к действию большинства ингибиторов и передатчиков цепи,
 большая скорость роста цепи.

Эти особенности ярко проявляются при сополимеризации с участием тройных донорно-акцепторных комплексов мономеров, так как в этом случае можно сравнивать чередующуюся и статистическую сополимеризацию одних и тех же мономеров. Рассмотрим в качестве примера сополимеризацию бутилметакрилата с диметилбутадиеном. В отсутствие комплексообразователя кривая состава сополимера имеет слабо выраженную S-образность, что свидетельствует о незначительном эффекте чередования (рис. 6.8). В присутствии $(C_2H_5)_2AlCl$ резко возрастают скорость и степень сополимеризации (рис. 6.9), а кривая состава сополимера приобретает вид, характерный для образования регулярно чередующегося сополимера (эквимольный состав сополимера независимо от состава мономерной смеси). Роль $(C_2H_5)_3AlCl$ заключается в усилении электроноакцепторных свойств бутилметакрилата:



Методом ЭПР установлено, что в данном случае имеет место «последовательный» механизм чередующейся сополимеризации, когда природа радикала на конце растущих цепей последовательно изменяется. При этом донорно-акцепторное взаимодействие реализуется между радикалом роста и мономером.

6.2.5. Влияние реакционной среды

Вопреки существовавшему довольно долго после завершения количественной теории сополимеризации мнению, реакционная среда может оказывать существенное влияние на состав и структуру сополимера. Существуют два принципиально различных механизма такого влияния:

1. Посредством образования различного рода комплексов между мономерами и радикалами, с одной стороны, и компонентами реакционной среды – с другой. К последним могут относиться растворитель или специально вводимые вещества, чаще всего кислоты или основания Льюиса*.

2. Через избирательную сольватацию растущих цепей мономерами – в том случае, когда последние обладают различным термодинамическим сродством к сополимеру как растворителя**.

* Кабанов В. А., Зубов В. П., Семчиков Ю. Д. Комплексно-радикальная полимеризация. М.: Химия, 1987.

** Семчиков Ю. Д., Смирнова Л. А. Модель сополимеризации, учитывающая избирательную сольватацию макrorадикалов // Высокомолек. соед. Б. 1999. Т. 41, № 4. С. 634 – 748.

В первом случае наблюдаются эффекты двух уровней. При отсутствии ярко выраженного специфического взаимодействия между реагентами и растворителем наблюдается незначительное влияние последнего на относительные активности мономеров. Известным примером является сополимеризация стирола с метилметакрилатом в среде ароматических растворителей различной полярности.

Сильное влияние на состав и структуру сополимера наблюдается в том случае, когда образуются достаточно прочные водородные и координационные связи между мономерами и (или) радикалами роста и растворителем или кислотой Льюиса, которая может специально вводиться в реакционную смесь в качестве модификатора состава сополимера или активатора полимеризации. В этом случае наблюдаются значительные изменения состава сополимера, относительных активностей мономеров при сополимеризации непредельных карбоновых кислот, их амидов, аминов, нитрилов и эфиров с другими мономерами. При этом часто существенно изменяются скорости и степени сополимеризации.

Реакционная смесь при сополимеризации в массе представляет собой типичный раствор полимера в смешанном растворителе. Свойства таких растворов зависят, помимо прочего, от термодинамической характеристики смеси, используемой как растворитель. Так, для растворов с положительным отклонением смешанного растворителя от идеальности широко распространены такие явления, как избирательная сольватация макромолекул одним из компонентов растворителя и сорастворимость, т. е. растворение полимера в смеси растворителей, каждый из которых по отдельности не растворяет полимер. Признаками положительного отклонения жидкой смеси от идеальности являются положительные значения избыточной функции Гиббса смешения компонентов, т. е. $\Delta G_{\text{см}}^{\text{изб}} > 0$ и выпуклая зависимость давления насыщенного пара над смесью от ее состава.

При сополимеризации мономерных смесей с положительным отклонением от идеальности часто наблюдается влияние избирательной сольватации макрорадикалов и макромолекул мономерами на состав сополимера и относительные активности мономеров. Особенno значительные эффекты обнаружены при сополимеризации N-винилпирролидона с винилацетатом, стирола с метакриловой кислотой, стирола с акрилонитрилом, 2-метил-5-винилпиридина с винилацетатом, менее значительные – для ряда других систем*. Во всех случаях имела место нетипичная для «классической» радикальной сополимеризации зависимость состава сополимера от молекулярной массы, что объясняется зависимостью коэффициентов избирательной сольватации макрорадикалов от их степени полимеризации.

Таким образом, влияние среды на радикальную сополимеризацию связано с двумя группами эффектов. Электронные эффекты связаны с перераспределением электронной плотности в мономерах и (или) радикалах в результате образования ими слабых комплексов с растворителями, комплексообразователями типа кислот Льюиса. Концентрационные эффекты связаны

* Semchikov Yu. D. Preferential sorption of monomers and molecular weight effect in radical co-polymerization // Macromol. Symp., 1996. V. III. P. 317.

ны с избирательной сольватацией радикалов роста мономерами. Во всех случаях изложенная выше количественная теория сополимеризации остается применимой, однако, относительные активности мономеров являются эффективными величинами.

6.2.6. Связь строения мономера и радикала с реакционной способностью. Схема $Q-e$

Параллельно с развитием количественной теории сополимеризации полвека назад была разработана количественная схема Алфрея–Прайса, связывающая константы сополимеризации с эмпирическими параметрами реакционной способности. Согласно этой схеме, константа скорости роста в радикальной полимеризации и сополимеризации выражается эмпирическим уравнением:

$$k_{ij} = P_i Q_j e^{-e_i e_j}, \quad (6.96)$$

где P_i и Q_j – параметры, учитывающие резонансный; e_i и e_j – полярный факторы реакционной способности. Исходя из (6.96), легко могут быть получены выражения для относительных активностей мономеров:

$$r_1 = \frac{Q_1}{Q_2} e^{-e_1(e_1 - e_2)}, \quad r_2 = \frac{Q_2}{Q_1} e^{-e_2(e_2 - e_1)}. \quad (6.97)$$

Далее, перемножив относительные активности мономеров в (6.97) и логарифмируя полученное произведение, получаем:

$$\ln(r_1 \cdot r_2) = -(e_1 - e_2)^2, \quad (6.98)$$

откуда следует, что тенденция к чередованию при сополимеризации определяется лишь разницей значений полярных параметров мономеров.

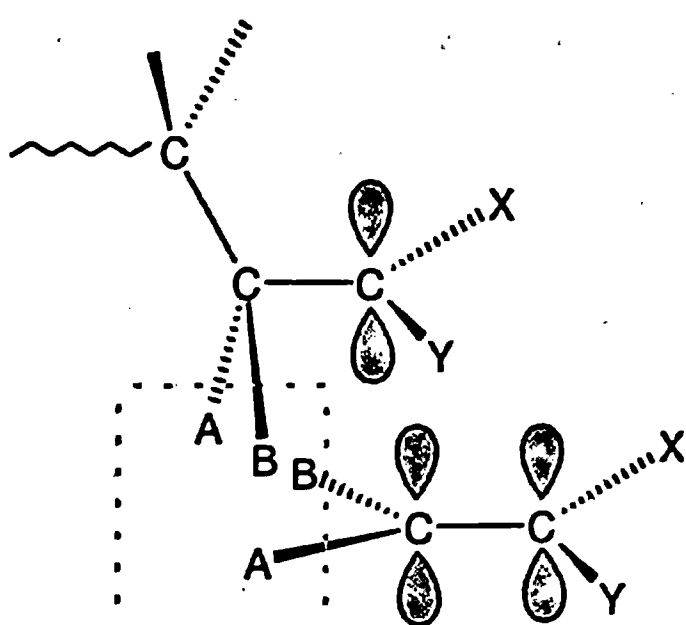
Схема $Q-e$ широко используется в сополимеризации, так как она позволяет рассчитать относительные активности мономеров и, следовательно, состав и структуру сополимера, не проводя сополимеризации, по известным значениям Q и e мономеров. Эти значения, в свою очередь, были определены путем сополимеризации мономеров с известными и неизвестными значениями Q и e . В качестве исходного мономера был выбран стирол, которому присвоены $e = -0,8$, $Q = 1$. Значение схемы $Q-e$ состоит также в том, что она позволила отнести мономеры к определенным группам, исходя из значений параметров Q и e : активным ($Q > 0,5$) и неактивным ($Q < 0,1$), электронодонорным ($e < 0$) и электроноакцепторным ($e > 0$) и, тем самым, предсказать тип полимеризационного процесса, в котором целесообразно использовать данный мономер. Квантово-химические расчеты показали, что параметры Q и e имеют ясное физическое содержание; это следует из корреляций, приведенных в следующем разделе.

Анализ систематических данных в области радикальной (ко)полимеризации приводит к выводу о том, что реакционная способность мономеров и радикалов в реакции роста определяется резонансной стабилизацией

(сопряжением), полярностью двойной связи, а также степенью ее экранирования заместителями.

Стерический фактор. Значение стерического фактора проявляется особенно ярко в реакциях радикального присоединения дизамещенных этиленов. Известно, что 1,1-дизамещенные легко полимеризуются и сополимеризуются по радикальному механизму, тогда как 1,2-дизамещенные, например малеиновый ангидрид, практически не способны к гомополимеризации 50%. Причины столь различного поведения этих близких классов непредельных соединений могут быть поняты при рассмотрении стереохимии реакции роста цепи.

Пространственная структура органических соединений в значительной степени определяется типом гибридизации атомов углерода. Ненасыщенные атомы радикала роста и мономера имеют sp^2 -гибридизацию. Это означает, что оси p -орбиталей ненасыщенных атомов перпендикулярны плоскости, в которой расположены σ -связи. Атомы углерода основной цепи радикала образуют плоский зигзаг, все они, за исключением концевого ненасыщенного атома углерода, имеют sp^3 -гибридизацию. Из приведенной ниже схемы видно, что при сближении условного тетразамещенного мономера $(AB)C = C(XY)$ со «своим» радикалом роста вероятно контактное взаимодействие, т. е. отталкивание заместителей A и B мономера и атома углерода радикала до совмещения осей p -орбиталей. В результате реакция роста не может осуществиться:



зона стерических затруднений

Аналогичная ситуация наблюдается при сближении три- и 1,2-дизамещенных этилена со «своим» радикалом роста. Таким образом, полимеризация тетра-, три- и 1,2-замещенных этилена невозможна по чисто стерическим причинам. Исключением являются фторзамещенные этилена, при полимеризации которых, благодаря малому радиусу заместителя, стерические трудности не возникают. В отличие от полимеризации, сополимеризация тетра-, три- и 1,2-дизамещенных этиленов сmono- или 1,1-дизамещенными возможна. В этом случае в «опасной зоне» противостоят заместители и ато-

Таблица 6.8

Сополимеризация винилацетата (1) с хлорзамещенными этиленами (2)

Мономер	r_1	r_2
Тетрахлорэтилен	6,8	0
Трихлорэтилен	0,66	0,01
Цис-дихлорэтилен	6,3	0,018
Транс-дихлорэтилен	0,99	0,086
Винилиденхлорид	0	3,6
Винилхлорид	0,23	1,68

мы водорода, что, как правило, не препятствует сближению мономера и радикала и протеканию реакции роста. Однако, поскольку элементарные акты гомополимеризации дизамещенного мономера невозможны, то содержание этого мономера в сополимере не превышает 50 %. В табл. 6.8 приведены данные, иллюстрирующие влияние стерического фактора в сополимеризации. Винилхлорид и 1,2-дизамещенный мономер винилиденхлорид более активны по сравнению с винилацетатом ($r_1 > r_2$). Однако три- и тетразамещенные хлорэтилены менее активны, причем $r_1 = 0$, вследствие их неспособности к гомополимеризации. Транс-1,2-дизамещенные менее реакционноспособны по сравнению с цис-1,2-дизамещенными, что является общим правилом в сополимеризации.

Резонансный фактор. Значение резонансного фактора реакционной способности или влияние сопряжения на реакционную способность мономеров наиболее ярко проявляется в радикальной сополимеризации и полимеризации. В зависимости от наличия или отсутствия сопряжения двойной связи мономера с ненасыщенной группой заместителя все мономеры делятся на активные и неактивные. Типичные представители каждой группы представлены ниже:

Активные мономеры	Сопряжение
Стирол 	$\pi-\pi$
Бутадиен-1,3 $\text{CH}_2=\text{CH}-\text{CH}=\text{CH}_2$	$\pi-\pi$
(Мет)акриловые нитрилы, кислоты, эфиры, амиды $\text{CH}_2=\text{CH}(\text{CH}_3)-\text{C}\equiv\text{N}$	$\pi-\pi$
$\text{CH}_2=\text{CH}(\text{CH}_3)-\text{C}(=\text{O})\text{OH(R)}$	
$\text{CH}_2=\text{CH}(\text{CH}_3)-\text{C}(=\text{O})\text{NH}_2$	

Неактивные мономеры	Сопряжение
Этилен $\text{CH}_2=\text{CH}_2$	Нет
α -Олефины $\text{CH}_2=\text{CHR}$	$\pi-\sigma$
Винилхлорид $\text{CH}_2=\text{CHCl}$	$\pi-p$
Винилацетат $\text{CH}_2=\text{CH}-\text{O}-\text{C}(=\text{O})-\text{CH}_3$	$\pi-p-\pi$
Простые виниловые эфиры $\text{CH}_2=\text{CH}-\text{O}-\text{R}$	$\pi-p$
Винилtrimетилсилан $\text{CH}_2=\text{CH}-\text{Si}(\text{CH}_3)_3$	$\pi-d_{\pi}$

Из сравнения приведенных структур видно, что лишь прямое $\pi-\pi$ -сопряжение в мономере делает его активным в сополимеризации, другие типы сопряжения неэффективны.

Как правило, сополимеризация целесообразна между мономерами одной группы, ибо только в этом случае удается избежать чрезмерного отличия состава сополимера от состава мономерной смеси. Так, на начальной стадии сополимеризации эквимолярных смесей неактивных мономеров винилхлорида и винилацетата и активных мономеров стирола и акрилонитрила образуются сополимеры, содержащие в первом случае 69 мол.% винилхлорида, во втором – 60 мол.% стирола. При сополимеризации же эквимолярных смесей неактивного мономера с активным – винилацетата со стиролом – образуется сополимер, содержащий 98 мол.% стирола, т. е. практически гомополимер.

Рассмотрим данные по константам скорости элементарных реакций роста цепи ($\text{л}/(\text{моль} \cdot \text{с})$) совместной и раздельной полимеризации винилацетата (1) и стирола (2) при 25°C :

k_{11}	k_{22}	r_1	r_2	k_{12}	k_{21}
637	40	0,04	55	15900	0,73

Видно, что активный мономер стирол присоединяется к радикалу роста винилацетата со скоростью на четыре порядка большей по сравнению с неактивным мономером винилацетатом (k_{12} и k_{21}). При сравнении резонансной способности радикалов ситуация изменяется на противоположную. Скорость присоединения радикала винилацетата к «своему» мономеру на три порядка больше по сравнению со скоростью присоединения радикала роста стирола к винилацетату ($k_{11}/k_{21} = 873$). Аналогичная картина выявляется при сравнении скоростей присоединения радикалов роста стирола и винилацетата к мономеру стирола ($k_{12}/k_{22} = 400$). Таким образом, сопряжение

Таблица 6.9

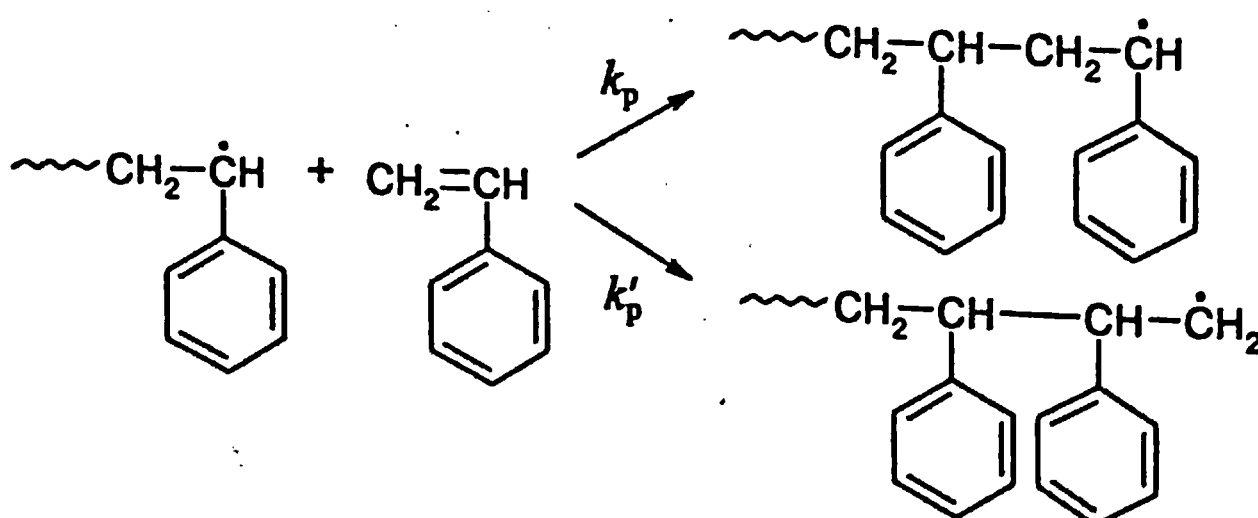
Влияние резонансного фактора на величину константы скорости роста, 20–30 °C

Мономер	Q	$k_p, \text{ л}/(\text{моль} \cdot \text{с})$
Винилацетат	0,026	1000
Винилхлорид	0,044	6000
N-Винилпирролидон	0,14	710
Метилметакрилат	0,74	280
Стирол	1	40
Бутадиен-1,3	2,39	8,4
Изопрен	3,33	2,8

или резонансный эффект противоположным образом влияет на реакционную способность мономеров и радикалов – увеличивает активность первых и уменьшает активность вторых. Из этого следует, что ряды реакционной способности мономеров и соответствующих им радикалов противоположны. Это положение известно как правило антибатности.

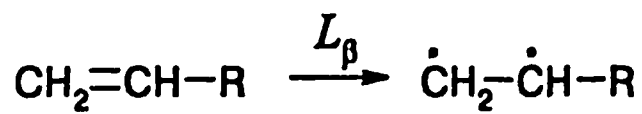
Влияние резонансного фактора реакционной способности весьма значительно также по отношению к скорости радикальной полимеризации и сополимеризации. Из табл. 6.9 видно, что константы скорости реакции роста ряда мономеров уменьшаются при увеличении резонансного параметра Q , т. е. с увеличением эффективности сопряжения двойной связи мономера с заместителем. В частности, константа скорости роста неактивного мономера винилацетата на два порядка больше по сравнению с активным мономером стиролом. На первый взгляд, этот результат кажется удивительным, поскольку, вследствие правила антибатности, высокая активность мономера компенсируется малой активностью соответствующего ему радикала, и наоборот. Дело заключается в том, что влияние сопряжения на реакционную способность мономеров и соответствующих им радикалов роста неодинакова по эффективности – активность мономера возрастает в меньшей степени по сравнению со стабилизацией, т. е. уменьшением реакционной способности радикала.

Третий важный эффект, обусловленный резонансным фактором реакционной способности, связан со строением полимерной цепи. Ранее рассматривалась возможность химической изомерии повторяющихся участков цепи, состоящих из нескольких звеньев, вследствие их различной ориентации вдоль цепи (разд. 1.1.5). Ниже представлена схема, на которой приведены два возможных направления реакции роста при сополимеризации стирола:



В первом случае реализуется сопряжение ароматического заместителя с образующимся радикалом и переходным комплексом, и поэтому мономер ведет себя как активный. Во втором случае сопряжение отсутствует, поскольку ненасыщенный атом углерода радикала разделен с ароматическим заместителем двумя σ -связями, и в этом случае мономер является неактивным. В результате первая реакция оказывается более предпочтительной ($k_p \gg k'_p$) и присоединение радикала к мономеру происходит с вероятностью, большей 90 % по типу «голова» к «хвосту».

В основе механизма действия резонансного фактора реакционной способности лежит эффект стабилизации, уменьшения π -электронной энергии переходного состояния и радикала роста за счет сопряжения с заместителем. Количественно резонансный фактор стабилизации учитывается параметрами P , Q схемы $Q-e$ Алфрея–Прайса и рядом квантово-химических параметров, среди которых наиболее часто используется порядок связи P и энергия локализации. Особое значение для характеристики реакционной способности ненасыщенных молекул имеет энергия локализации L , понятие о которой ввел впервые Уэлланд. Применительно к реакции роста ее физический смысл заключается в следующем. Атом углерода мономера, атакуемый радикалом, изменяет гибридизацию sp^2 на sp^3 и, таким образом, выбывает из системы сопряжения. Энергия, необходимая для этого, и называется энергией локализации мономера L_β . Аналогичное рассуждение можно провести и по отношению к сопряженному радикалу, однако энергия локализации радикала L_α не оказывает существенного влияния на относительные активности мономеров. Величину L_β можно рассчитать как энергию перехода мономера в бирадикальное триплетное состояние:



Обозначим энергию π -электронов мономера E_M , радикала $-\dot{\text{C}}\text{H}-\text{R}$ через E_p и радикала $\dot{\text{C}}\text{H}_2 - \alpha$ (кулоновский интеграл). Тогда энергия локализации мономера L_β оказывается равной:

$$L_\beta = E_M - (E_p + \alpha). \quad (6.99)$$

В табл. 6.10 приведены значения различных резонансных параметров мономеров, рассчитанные квантово-химическим методом. Все они коррелируют с $\ln Q$ и между собой. На рис. 6.10 приведена корреляция между L_β – наиболее известным квантово-химическим параметром, характеризующим резонансный фактор реакционной способности, и $\ln Q$.

Из данных рис. 6.10 и табл. 6.10 следует, что с увеличением параметра Q абсолютное значение энергии локализации мономера падает. Это означает, что с увеличением энергии сопряжения в мономере снижается энергия, необходимая для активации разрыва его двойной связи.

Рассмотрим изменение потенциальной энергии сближающихся мономера и радикала с учетом энергии локализации мономера L_β . Сближение неактивированных частиц должно приводить к возникновению сил отталкивания

Таблица 6.10

Эмпирические и расчетные квантово-химические резонансные параметры строения мономеров и радикалов

Мономер	$\ln Q$	L_β	P	L_α
$\text{CH}_2=\text{C}(\text{CN})_2$	3,0	1,598	0,835	1,414
$\text{CH}_2=\text{CH}-\text{CH}=\text{CH}_2$	0,871	1,644	0,894	0,828
$\text{CH}_2=\text{C}(\text{CH}_3)\text{CHO}$	0,372	—	—	—
$\text{CH}_2=\text{CH}-\text{CONH}_2$	0,174	—	—	—
$\text{CH}_2=\text{C}(\text{CH}_3)\text{CN}$	0,113	1,639	—	0,897
$\text{CH}_2=\text{CHC}_6\text{H}_5$	0,00	1,704	0,911	0,721
$\text{CH}_2=\text{CHCHO}$	-0,163	—	0,910	—
$\text{CH}_2=\text{C}(\text{CH}_3)\text{COOCH}_3$	-0,301	1,737	—	0,691
$\text{CH}_2=\text{CH}-\text{CN}$	-0,511	1,696	0,913	0,839
$\text{CH}_2=\text{CH}-\text{COOCH}_3$	-0,868	1,783	0,914	0,645
$\text{CH}_2=\text{CCl}_2$	-1,514	1,832	—	0,867
$\text{CH}_2=\text{CHCH}_2\text{OH}$	-3,04	—	—	—
$\text{CH}_2=\text{CHCl}$	-3,12	1,877	0,989	0,474
$\text{CH}_2=\text{C}(\text{CH}_3)_2$	-3,41	—	—	—
$\text{CH}_2=\text{CH}-\text{OC}_2\text{H}_5$	-3,44	1,841	0,966	1,647
$\text{CH}_2=\text{CH}-\text{OCOCH}_3$	-3,65	1,885	0,965	0,445
$\text{CH}_2=\text{CHF}$	-3,69	—	—	—
$\text{CH}_2=\text{CH}_2$	-4,20	2,000	1,000	0,000
$\text{CH}_2=\text{CHCH}_3$	-6,21	—	—	—

P – порядок связи в мономере, L_β и L_α – энергии локализации мономера и радикала роста в единицах β (резонансный интеграл).

и, следовательно, возрастанию потенциальной энергии (рис. 6.11, кривая 2). Сближение радикала с активированным мономером, т. е. находящимся в бирадикальном состоянии, приводит к снижению потенциальной энергии (кривая 1), которая в данном случае изменяется в соответствии с функцией Морзе. Последняя описывает изменение потенциальной энергии при разъединении двух атомов, связанных химической связью. Из рис. 6.11 видно, что уменьшение энергии локализации приводит к снижению энергии активации реакции роста, т. к. положение кривой «отталкивания» (кривая 2) практически не зависит от строения мономера и величины L_β .

Изложенный выше подход, развитый Эвансом и Шварцем, не учитывает роли полярного и стерического факторов. Реакционная способность мономеров и радикалов, определяемая лишь резонансным фактором, называется идеальной реакционной способностью.

Полярный фактор. Двойная связь мономеров, подверженных радикальной сополимеризации, как правило, является поляризованной вследствие

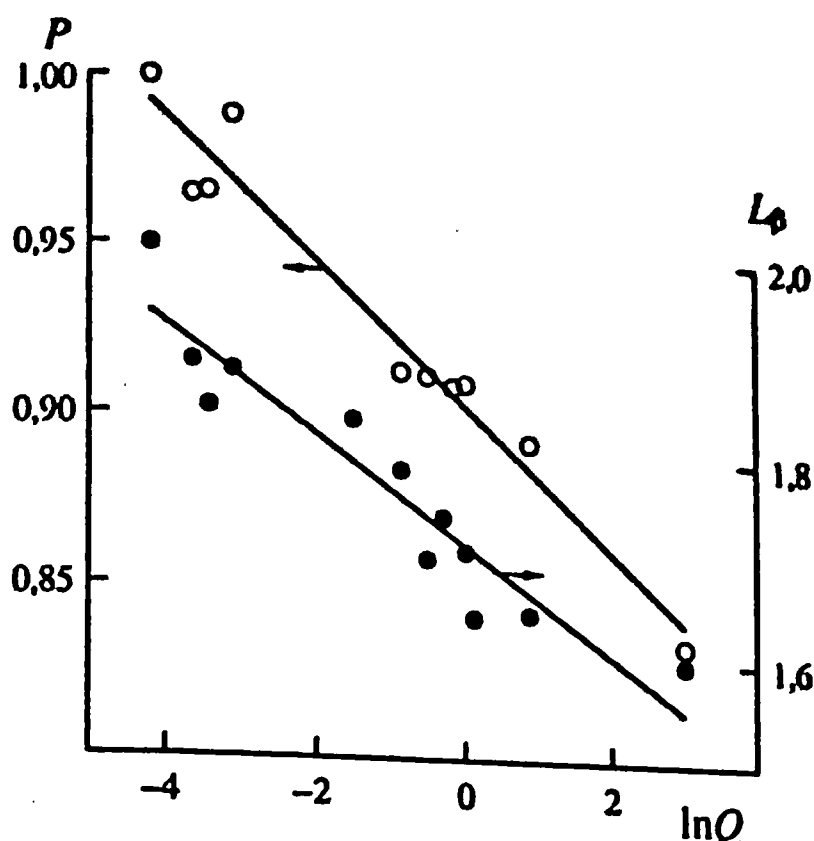


Рис. 6.10. Корреляция между эмпирическим резонансным параметром схемы $Q-e$ и квантово-химическими параметрами, отражающими эффекты сопряжения двойной связи – порядком связи P , энергией локализации мономера L_β (по данным табл. 6.10)

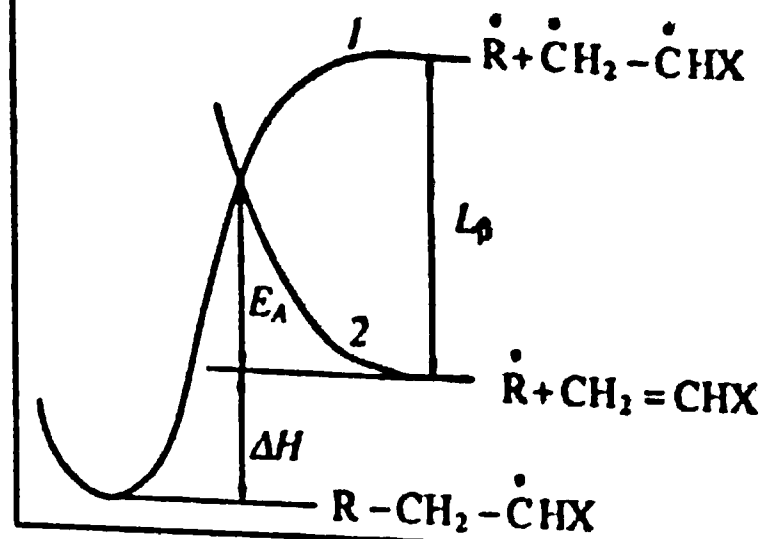


Рис. 6.11. Изменение энергии при сближении радикала с активированным (1) и неактивированным (2) мономером

донорно-акцепторного действия заместителей, как и ненасыщенный атом углерода радикала роста:



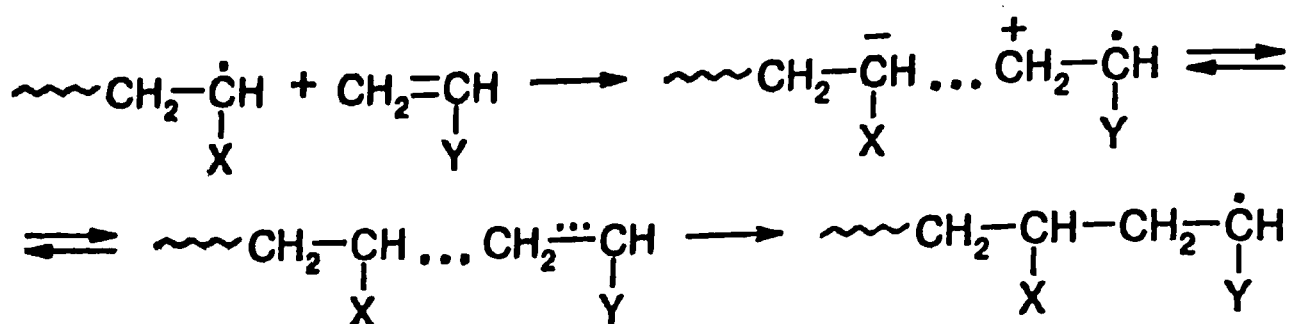
электронодонорные мономеры
 $e < 0$

электроноакцепторные мономеры
 $e > 0$

Донорно-акцепторный эффект заместителей приводит к возникновению частичных зарядов на β -атоме углерода двойной связи и α -атоме углерода концевого звена радикала роста (ненасыщенном).

Влияние полярного фактора реакционной способности наиболее ярко проявляется в радикальной сополимеризации, где он ответственен за возникновение эффекта чередования мономерных звеньев. Впервые на значение полярного фактора в сополимеризации обратил внимание Прайс, который сделал заключение о том, что «легче всего сополимеризация протекает в таких бинарных системах, в которых один мономер имеет избыток, другой – недостаток электронов». Долгое время природа полярного эффекта объяснялась

нялась с позиции электростатических взаимодействий, что было признано впоследствии неудовлетворительным. Другая гипотеза, получившая широкое распространение к настоящему времени, объясняла склонность к чередованию звеньев при сополимеризации переносом электрона между компонентами переходного комплекса, т. е. является развитием гипотезы Уоллинга:



В приведенной схеме мономер $\text{CH}_2=\text{CHX}$, например метилметакрилат, и соответствующий ему радикал роста являются акцепторами электрона, а мономер $\text{CH}_2=\text{CHY}$, например стирол, является донором электрона. Считается, что вклад ионной структуры в переходное состояние снижает энергию активации перекрестного роста, в результате при сополимеризации проявляется тенденция к чередованию мономерных звеньев, однако, образующийся сополимер остается статистическим. Изложенный механизм согласуется с данными квантово-химических расчетов, согласно которым с увеличением разности значений полярных параметров мономеров $|e_1 - e_2|$ возрастает перенос заряда между компонентами переходного комплекса.

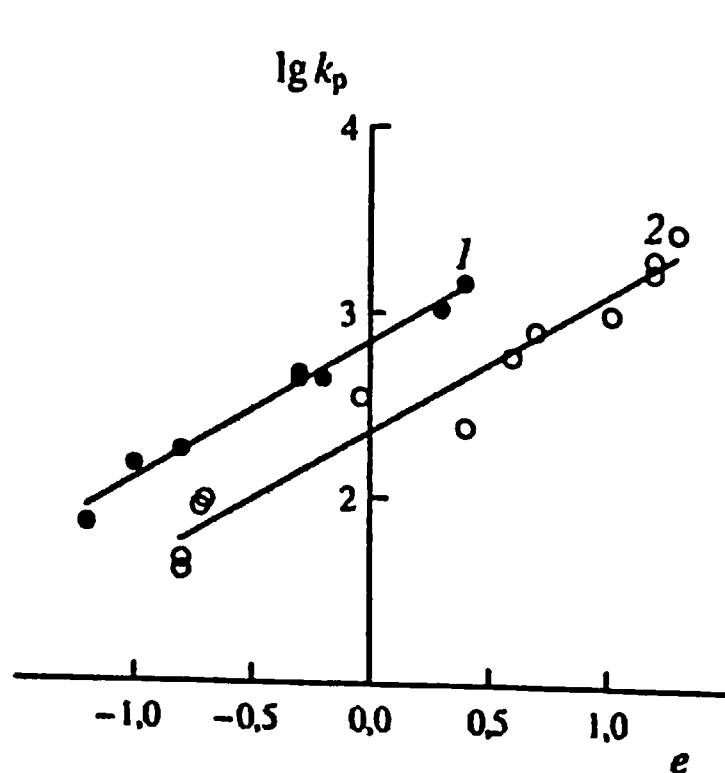


Рис. 6.12. Влияние полярности мономера на константу скорости роста при радикальной полимеризации (по данным табл. 6.11, 6.12),
1 – 60°C ; 2 – 25°C

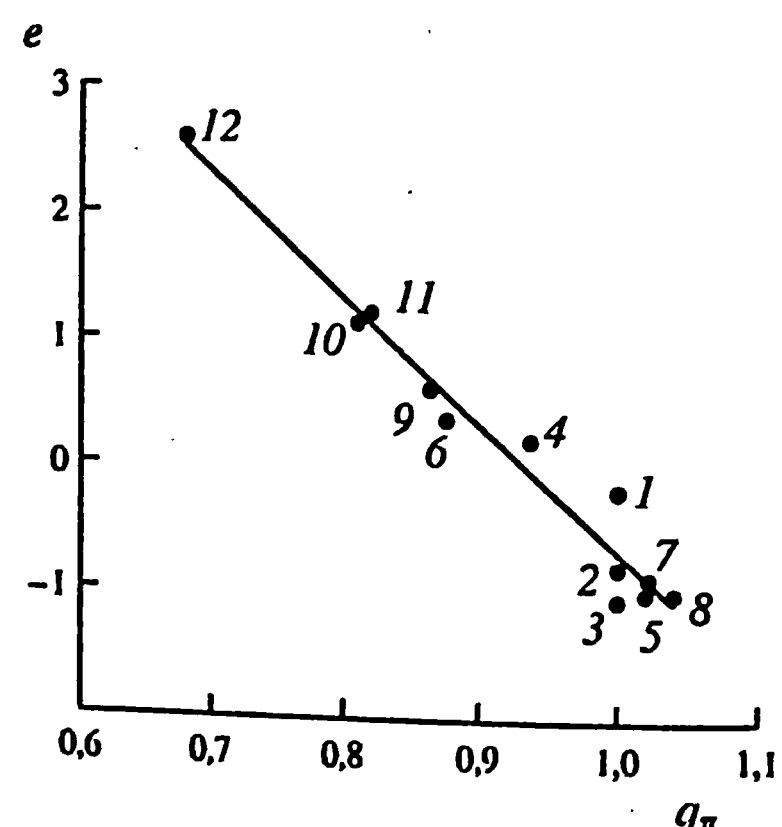


Рис. 6.13. Зависимость между параметром e и π -электронной плотностью на β -углеродном атоме мономера: 1 – этилен; 2 – стирол; 3 – бутадиен-1,3; 4 – винилхлорид; 5 – винилбутиловый эфир; 6 – винилиденхлорид; 7 – винилацетат; 8 – виниламид; 9 – акролеин; 10 – акрилонитрил; 11 – метилакрилат; 12 – винилиденцианид

Таблица 6.11

Значения константы скорости реакции роста и параметра e
пара-замещенных стирола, 60 °C

Заместитель	(CH ₃) ₂	ОСН ₃	H	Cl	Br	F	CN	O ₂ R
k_p , л/(моль · с)	71	147	178	432	436	472	1037	1440
e	-1,2	-1,0	-0,8	-0,3	-0,2	-0,3	0,3	0,4

Таблица 6.12

Значения константы скорости реакции роста и параметра e некоторых мономеров, 25–30 °C

Мономер	k_p , л/(моль · с)	e	Q
2-Метил-5-винилпиридин	46, 25 °C	-0,80	1,1
Стирол	40, 25 °C	-0,80	1,0
4-Винилпиридин	87, 25 °C	-0,72	1,12
2-Винилпиридин	96,5, 25 °C	-0,70	1,35
трет-Бутиловый эфир метакриловой кислоты	350, 25 °C	-0,04	0,77
Метилметакрилат	240, 25 °C	0,40	0,74
Метилакрилат	580, 25 °C	0,60	0,42
Бутилакрилат	976, 25 °C	1,02	0,52
Акрилонитрил	1960, 26 °C	1,20	0,60
Этил-β-хлоракрилат	1660, 30 °C	1,20	3,00
Акриламид	2700, диметилсульфоксид, 20 °C	1,30	1,18
Метакриламид	800, 25 °C	0,70	0,70

Влияние полярного фактора существенно и в реакции гомополимеризации. Во-первых, мономеры с очень большим отрицательным значением параметра e , например винилалкиловые эфиры, не способны к гомополимеризации. Во-вторых, в ряду мономеров с соизмеримыми величинами параметра Q константа скорости роста закономерно возрастает с увеличением параметра e (рис. 6.12) – примерно на порядок при изменении e на единицу.

Таблица 6.13

Значения параметров реакционной способности мономеров схемы $Q-e$

Мономер	Q	e
Винилэтиловый эфир	0,018	-1,80
Стирол	1	-0,80
Метилакрилат	0,45	0,64
Метакриловая кислота	0,98	0,62
Акриловая кислота	0,83	0,83
Бутадиен-1,3	1,70	-0,50
Изопрен	1,99	-0,55
Винилацетат	0,026	-0,88
Винилхлорид	0,056	0,16
Акрилонитрил	0,48	1,23
Метилметакрилат	0,78	0,40

Таблица 6.14

Относительные активности при сополимеризации некоторых мономеров

M_1	M_2	r_1	r_2
Активный с активным			
Стирол	Метилметакрилат	0,50	0,46
Стирол	Метилакрилат	0,75	0,18
Стирол	Акрилонитрил	0,38	0,04
Метилметакрилат	Метилакрилат	2,15	0,40
Метилметакрилат	Акрилонитрил	1,32	0,14
Метилакрилат	Акрилонитрил	0,85	1,42
Бутадиен-1,3	Акрилонитрил	0,35	0,05
Стирол	Бутадиен-1,3	0,78	1,39
Активный с неактивным			
Стирол	Винилацетат	55	0,04
Метилметакрилат	Винилхлорид	15	0,02
Неактивный с неактивным			
Винилхлорид	Винилацетат	1,68	0,23

Несмотря на то, что схема $Q-e$ является полуэмпирической, имеется четкая физическая интерпретация полярного характера параметра e . Она следует из линейной корреляции между значениями параметра e и величиной π -электронного заряда на β -углеродном атоме мономера, рассчитанного квантово-химическими методами (рис. 6.13).

В табл. 6.13 и 6.14 приведены значения Q , e и r_1 , r_2 , относящиеся к наиболее распространенным мономерам.

6.3. Ионная сополимеризация

6.3.1. Катионная сополимеризация

При катионной сополимеризации обычно $r_1 > 1$, $r_2 < 1$ (или наоборот), а произведение $r_1 \cdot r_2$ близко к единице, но часто превышает этот предел. Влияние температуры на относительные активности мономеров более значительно по сравнению с радикальной сополимеризацией, но неоднозначно.

Активность мономеров в катионной сополимеризации определяется не только их строением, но и, в не меньшей степени, условиями проведения процесса, в частности, реакционной средой. Для того, чтобы найти влияние строения мономера на реакционную способность в катионной сополимеризации, последнюю нужно проводить в полярных растворителях, когда практически отсутствует избирательная сольватация мономеров ионной пары. В этих условиях по убывающей активности мономеры выстраиваются в следующий ряд:

виниловые эфиры > изобутилен > стирол > винилацетат > изопрен.

Такой ряд свидетельствует о большем влиянии полярного фактора на активность мономеров по сравнению с резонансным в катионной сополимеризации.

Таблица 6.15

M_1	M_2	r_1	r_2	Растворитель	Инициатор
Изобутилен	<i>n</i> -Хлорстирол	1,0	1,0	"-Гексан ($\epsilon=1,8$)	$AlBr_3, -90^\circ C$
"	"	14,7	0,15	Нитробензол ($\epsilon=36$)	"
"	"	8,6	1,2	"	
"	Стирол	3,0	0,6	CCl_4	$AlCl_3, 0^\circ C$
Тетрагидрофuran	β -Пропиолактон	2,9	0,4	-	$0^\circ C SnCl_4$
"	Окись этилена	2,2	0,08	-	$0^\circ C, BF_3 \cdot H_2O$
"	Окись пропилена	0,3	1,50	-	$BF_3 \cdot (C_2H_5)_2O$
Стирол	β -Пропиолактон	30	0,04	Метилхлорид	"
"	Триоксан	48	0,37	Толуол	"

При сополимеризации в неполярных растворителях избирательная сольватация ионной пары более полярным мономером может оказывать большое влияние на состав сополимера. Этот эффект иллюстрируется данными табл. 6.15.

Как следует из результатов сополимеризации изобутилена с *n*-хлорстиролом, первый является существенно более активным при сополимеризации в полярных растворителях вследствие наличия двух электронодонорных заместителей. При сополимеризации в неполярном растворителе более полярный из двух мономеров *n*-хлорстирол сольватирует ионную пару, что приводит к увеличению его содержания в сополимере и сближению величин относительных активностей мономеров. В данном случае реализуется идеальная сополимеризация, что не является редкостью при катионном процессе. Из табл. 6.15 также видно, что изобутилен более активен, чем стирол, в катионной сополимеризации. Это подчеркивает главное значение полярного фактора реакционной способности по сравнению с резонансным в катионной полимеризации. Далее из табл. 6.15 следует, что простые циклические эфиры активнее сложных, т. е. лактонов, а виниловый мономер стирол и гетероциклы активнее того и другого.

6.3.2. Анионная сополимеризация

В анионной сополимеризации более активны мономеры с электроноакцепторными заместителями:

акрилонитрил > (мет)акриловые эфиры > стирол > изопрен, бутадиен-1,3.

Некоторые примеры приведены в табл. 6.16 и 6.17.

В первой из них обращает на себя внимание значительное влияние растворителя на относительные активности мономеров. Очень большие значения

Таблица 6.16

Анионная сополимеризация стирола (1) с бутадиеном-1,3 (2), инициатор $n\text{-C}_4\text{H}_9\text{Li}$

Растворитель	Температура, °С	r_1	r_2
$n\text{-Гексан}$	0	0,03	13,3
	50	0,04	11,8
Тетрагидрофуран	-78	11,0	0,04
	25	4,0	0,30

Таблица 6.17

Влияние растворителя и противоиона на состав сополимера при сополимеризации стирола с изопреном

Растворитель	Содержание стирола в сополимере, %	
	Na^+	Li^+
Без растворителя	66	15
Бензол	66	15
Триэтиламин	77	59
Диэтиловый эфир	75	68
Тетрагидрофуран	80	80

ния r_2 в неполярном растворителе обусловлены избирательной сольватацией бутадиеном-1,3 ионной пары, и, в частности, иона лития. При сополимеризации в полярном растворителе тетрагидрофуране при -78 °С ионная пара сольватирована им, поэтому активность бутадиена-1,3 резко падает. При 25 °С она становится не столь доминирующей, что допускает определенное присутствие бутадиена-1,3 в сольватной сфере ионной пары. В результате активность этого мономера несколько возрастает.

Аналогичен механизм влияния растворителя во втором примере (см. табл. 6.17). Растворитель – донор электронной пары приводит к уменьше-

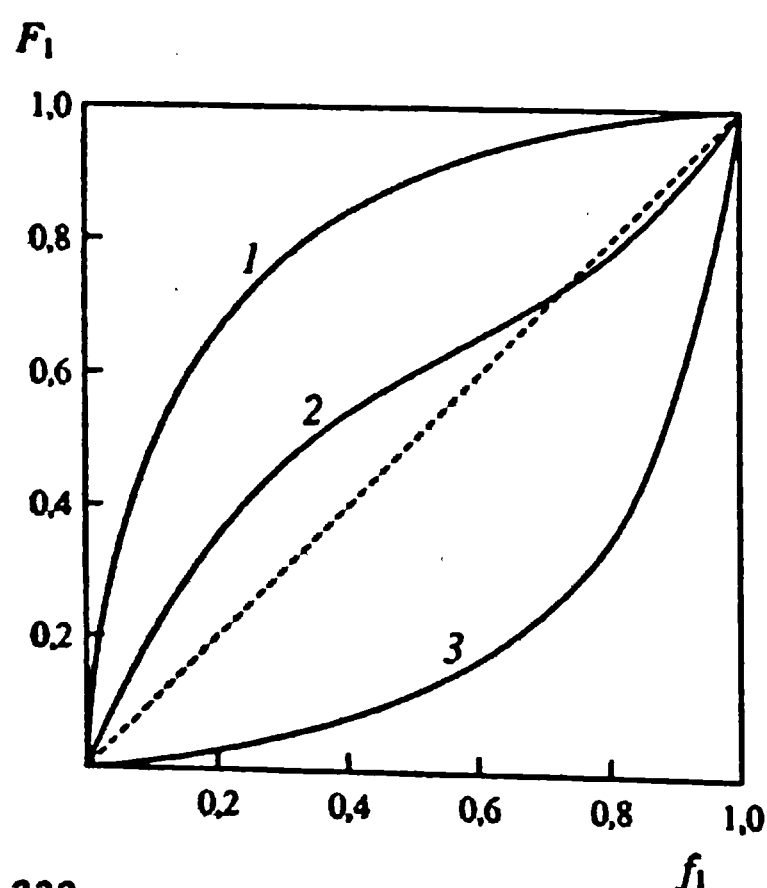


Рис. 6.14. Кривые состава сополимера при катионной (1, SnCl_4), радикальной (2, NaNH_2) анионной (3, $n\text{-C}_4\text{H}_9\text{Li}$) сополимеризации стирола с метилметакрилатом; f_1 , F_1 – мольные доли стирола в исходной мономерной смеси и в сополимере соответственно

нию содержания изопрена в сополимере. Этот эффект ярче выражен для противоиона Li^+ , поскольку последний вследствие большей плотности заряда изначально образует более прочные ассоциаты с изопреном.

Анионная сополимеризация стирола (1) с метилметакрилатом (2) примечательна чрезвычайно большой разницей в активности мономеров $r_1 \ll 1$, $r_2 \gg 1$. Радикал роста метилметакрилата практически не взаимодействует с мономером стирола (но не наоборот), что необходимо учитывать при получении блок-сополимеров этих мономеров методом живой полимеризации. Как следует из рис. 6.14, данная система может быть использована для установления механизма цепной сополимеризации и, следовательно, отнесения инициатора (обычно металлоорганического соединения) к одному из трех возможных типов – радикальной, катионной или анионной сополимеризации.

6.3.3. Сополимеризация на катализаторах Циглера–Натта

Сополимеризация с использованием катализаторов Циглера–Натта приводит к статистическим сополимерам. Обычно ряды активности мономеров в гомополимеризации и сополимеризации совпадают:



Из табл. 6.18 следует, что состав сополимера и относительные активности мономеров в наибольшей степени зависят от природы соединения переходного металла. В отличие от гомополимеров, сополимеры, получаемые на катализаторах Циглера–Натта, являются аморфными. Наибольшую практическую ценность из них представляет волокнообразующий сополимер этилена с пропиленом.

Таблица 6.18

Реакционная способность различных мономеров в сополимеризации Циглера–Натта

M_1	M_2	Катализитическая система	r_1	r_2
Этилен	Пропилен	$\text{TiCl}_3\text{-Al(C}_6\text{H}_{13}\text{)}_3$	15,7	0,110
		$\text{TiCl}_4\text{-Al(C}_6\text{H}_{13}\text{)}_3$	33,4	0,032
		$\text{VCl}_3\text{-Al(C}_6\text{H}_{13}\text{)}_3$	5,61	0,145
Этилен	Бутен-1	$\text{VCl}_4\text{-Al(C}_6\text{H}_{13}\text{)}_3$	29,6	0,019
		$\text{VCl}_3\text{-Al(C}_6\text{H}_{13}\text{)}_3$	67,0	0,043
Пропилен	Бутен-1	$\text{VCl}_4\text{-Al(C}_6\text{H}_{13}\text{)}_3$	4,39	0,227
		$\text{VCl}_3\text{-Al(C}_6\text{H}_{13}\text{)}_3$	4,04	0,252

Завершая раздел ионной сополимеризации, следует еще раз остановиться на особенностях, отличающих ее от радикальной сополимеризации: повышенной чувствительности к полярности двойной связи; склонности к идеальной сополимеризации и отсутствию чередующейся, повышенной чувствительности к реакционной среде и температуре.

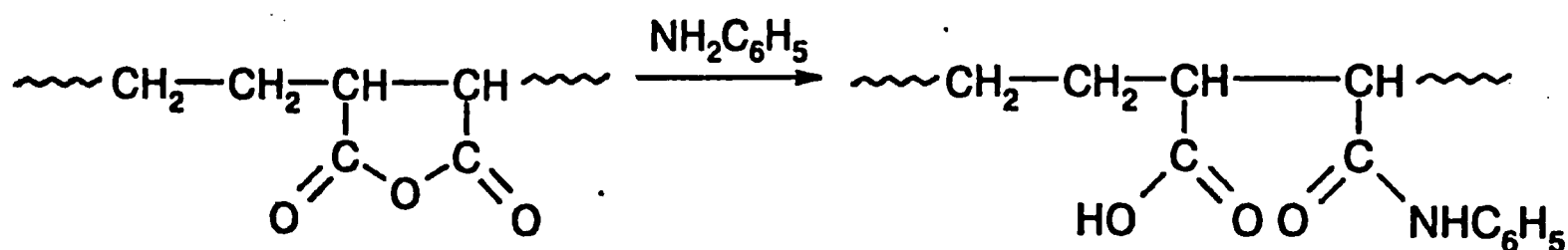
ГЛАВА 7. ХИМИЯ ПОЛИМЕРОВ

7.1. Характерные особенности макромолекул как реагентов

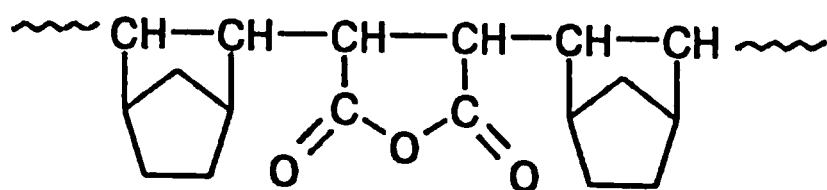
7.1.1. Влияние соседних звеньев

Согласно принципу Флори, реакционная способность функциональных групп макромолекул не должна отличаться от реакционной способности тех же групп в низкомолекулярных соединениях. Такие примеры действительно встречаются. Так, константы скорости и энергии активации реакции Меншуткина при взаимодействии метилиодида с пиридином и поли-4-винилпиридином практически одинаковы: $k(75^{\circ}\text{C})=10,7 \cdot 10^{-6}$ и $7,8 \cdot 10^{-6}$ л/(моль·с), $E_A = 65,8$ и $67,2$ кДж/моль соответственно. Однако, чаще реакционная способность функциональных групп высокомолекулярных соединений отличаются. Причины этого явления могут быть разными, одной из основных является влияние соседних звеньев.

Эффект соседа. Эффект соседа наиболее просто может быть интерпретирован в чередующихся сополимерах. Так, звено малеинового ангидрида в сополимере этого мономера с этиленом реагирует в сто раз быстрее с анилином

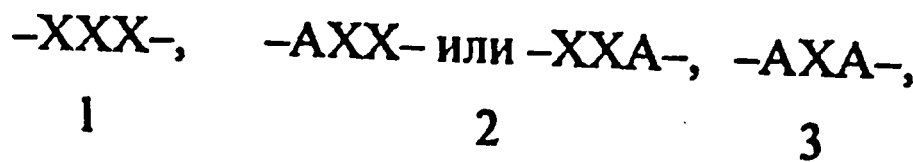


по сравнению с сополимером малеинового ангидрида с норборненом



звенья которого затрудняют доступ реагента.

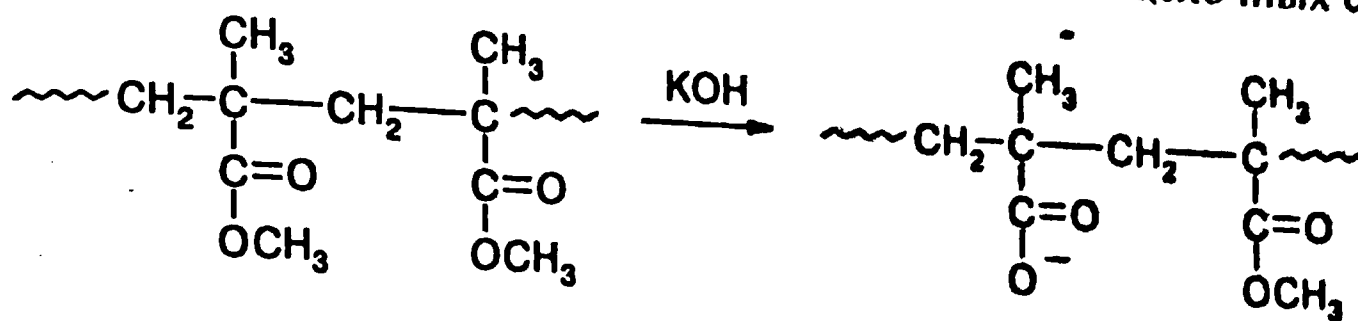
В случае полимеров интерпретация наблюдаемых эффектов часто осложняется, так как в этом случае приходится учитывать три типа триад, отличающихся окружением реакционноспособного звена:



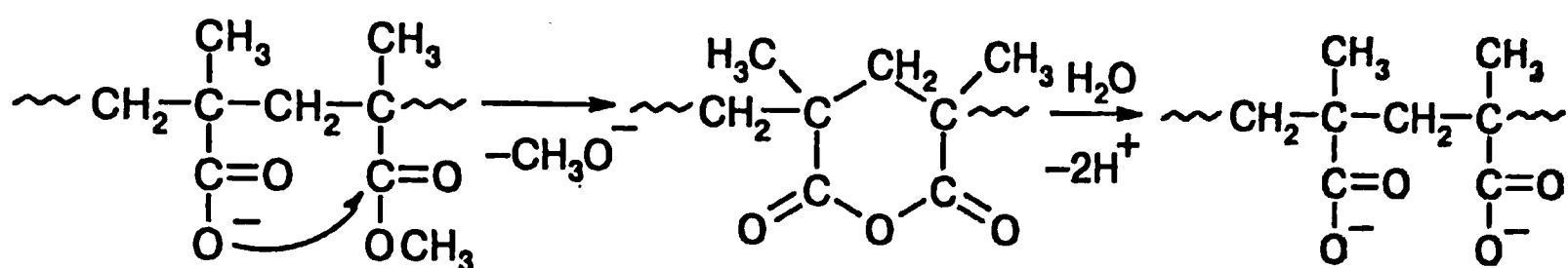
где X – исходное, A – прореагировавшее мономерное звено. В общем случае константы скорости реакции X в различном окружении не равны, т. е. $k_1 \neq k_2 \neq k_3$. Конечный результат, т. е. предельная глубина превращения X и время ее достижения зависят от соотношения между k_1 , k_2 и k_3 .

* Платэ Н. А., Литманович А. Д., Ноа О. В. Макромолекулярные реакции. М.: Химия, 1977.

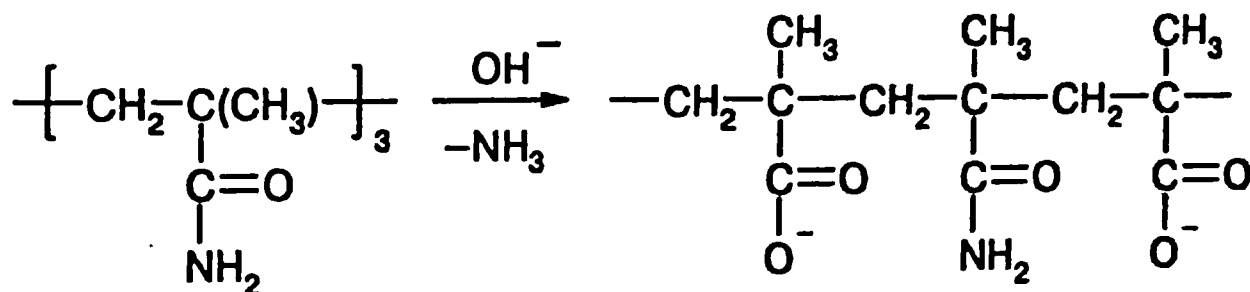
Электростатическое взаимодействие. Электростатическое взаимодействие, обусловленное ионизацией соседних звеньев, наиболее часто приводит к возникновению эффекта соседа. В качестве примера можно указать на гидролиз полиметакриламида и полиметилметакрилата в щелочных средах:



В обоих случаях скорость реакции ниже по сравнению с гидролизом низкомолекулярных аналогов, поскольку отрицательные заряды групп, подвергшихся гидролизу, отталкивают отрицательно заряженные гидроксид-ионы, вследствие чего их концентрация в области реакции уменьшается. В результате константа скорости реакции гидролиза полиметилметакрилата уменьшается на порядок с увеличением степени гидролиза эфирных групп. Примечательно, что этот эффект является более значительным для синтиктического полиметилметакрилата по сравнению с изотактическим. В последнем случае две соседние функциональные группы находятся в положении, благоприятном образованию шестичленного интермедиата, предшествующего образованию внутримолекулярного ангидридного цикла:



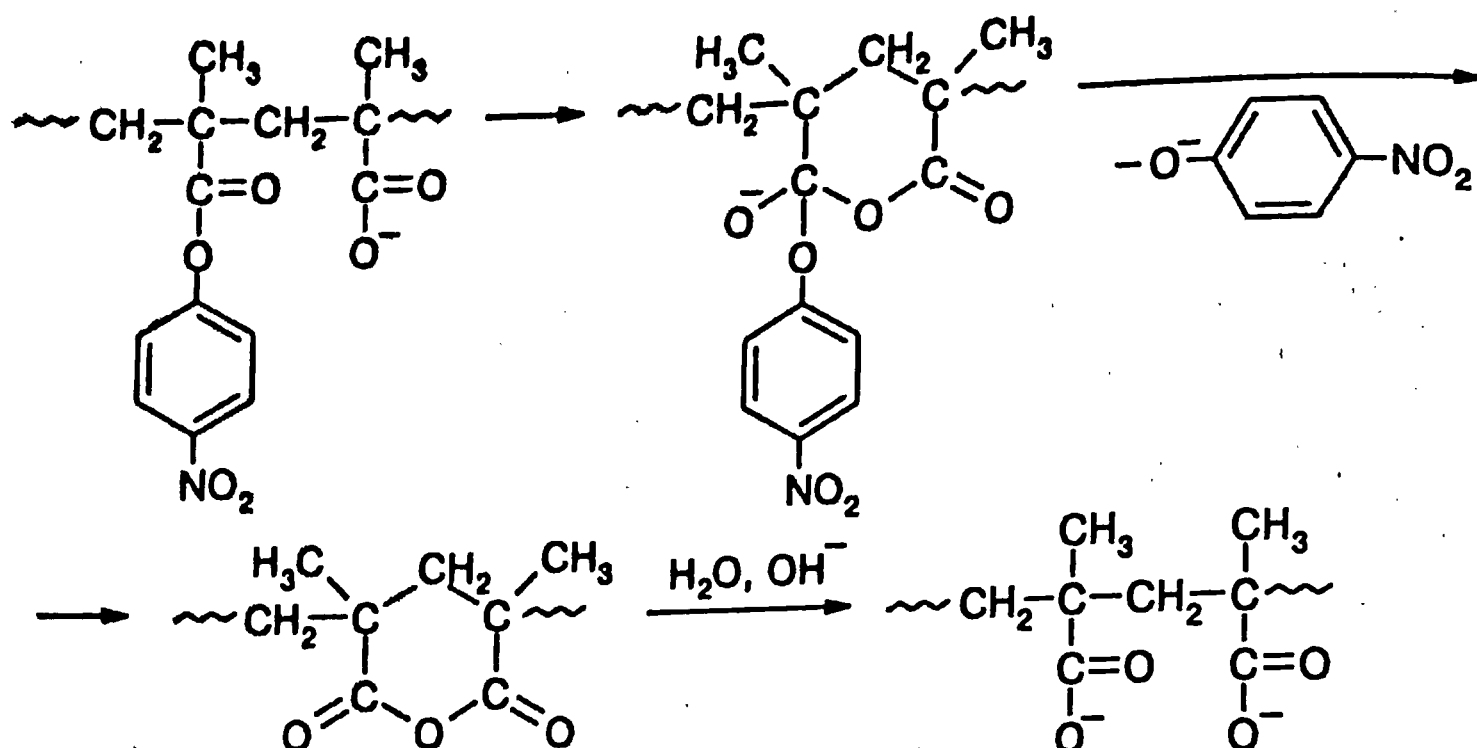
В случае щелочного гидролиза полиакриламида



появление рядом с амидной группой двух карбоксилатных практически останавливает процесс гидролиза — около 30 % первых остаются непрореагировавшими.

Весьма наглядно значение электростатического взаимодействия проявляется при нейтрализации поликислот и полиоснований, что детально рассмотрено в разд. 3.3.3.

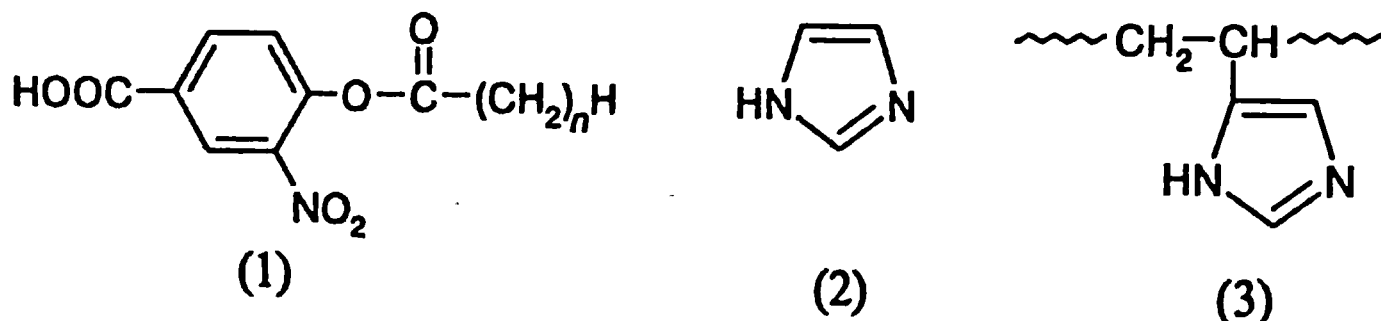
Эффект соседа, связанный с образованием ионизированных звеньев, может приводить к увеличению скорости реакции, что иллюстрируется реакцией гидролиза поли-*n*-нитрофенилметакрилата и низкомолекулярного аналога — *n*-нитрофенилового эфира изомасляной кислоты:



Гидролиз первого соединения протекает в 10^4 раз быстрее, чем второго. Причина состоит в том, что возникающие в результате гидролиза ионизированные карбоксильные группы катализируют превращение соседних звеньев.

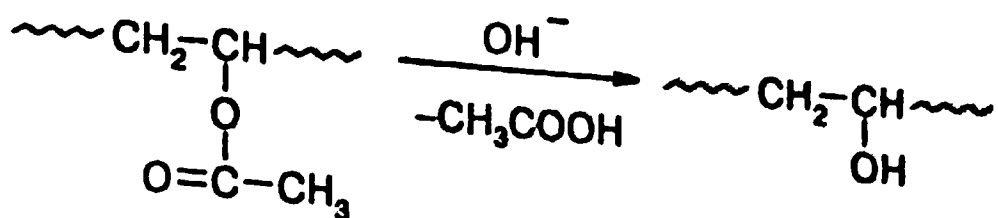
7.1.2. Макромолекулярные и надмолекулярные эффекты

Гидрофобное взаимодействие. Если реакция проводится в водном растворе полимера, то на ее скорость может оказывать влияние сродство между гидрофобными группами макромолекулы и реагента. Известным примером является реакция гидролиза производных 3-нитро-4-ацилоксибензойной кислоты (1), катализируемая низкомолекулярным имидазолом (2) и поливинилимидазолом (3) в водно-спиртовой среде.



В том случае, когда катализатором является низкомолекулярный имидазол, константа скорости реакции не зависит от длины алкильной группы. Если в качестве катализатора используется поливинилимидазол, то скорость реакции значительно выше по сравнению с низкомолекулярным катализатором и, кроме того, она возрастает с увеличением числа метильных групп n в субстрате. Так, при $n = 11$, скорость реакции гидролиза в 30 раз больше по сравнению с $n = 1$. Считается, что этот эффект обусловлен гидрофобным взаимодействием, т. е. сродством между алкильной группой субстрата и отрезком полимерной цепи с примыкающими к нему имидазольными звеньями.

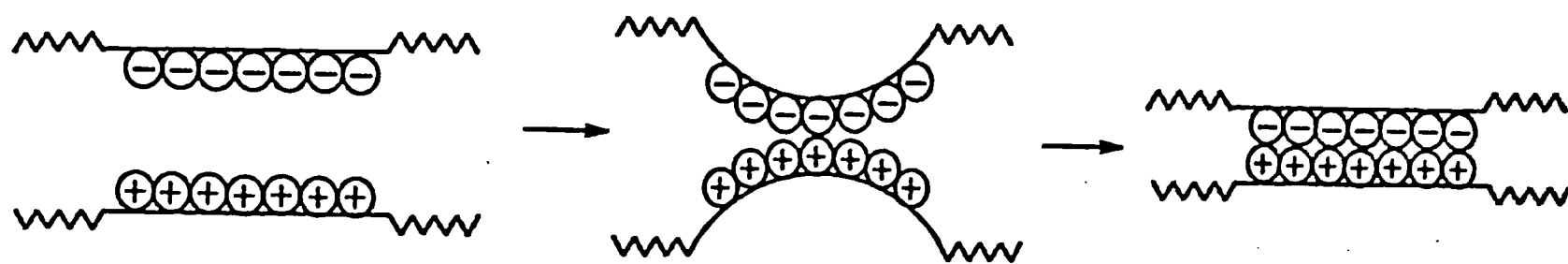
Сольватационный эффект. При щелочном гидролизе поливинилацетата наблюдается автокатализический характер реакции:



Анализ зависимости скорости гидролиза от глубины превращения позволил определить константы скорости реакции омыления ацетатных групп в различных триадах (см. раздел 7.1.1). Оказалось, что $k_3/k_1 = 100$, т.е. скорость омыления ацетатной группы, находящейся в окружении гидроксильных фрагментов цепи, содержащих группы $-\text{OH}$, что приводит к увеличению концентрации катализатора в зоне реакции.

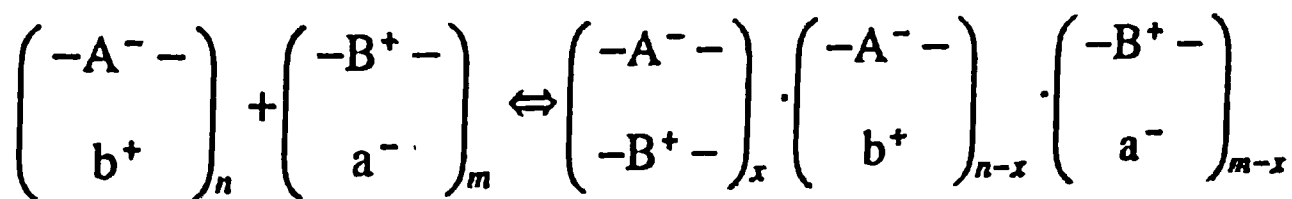
7.1.3. Кооперативные взаимодействия*

Интерполиэлектролитные комплексы (ИПЭК) образуются в результате реакции соединения противоположно заряженных полионов. Эта реакция имеет ярко выраженный кооперативный характер. Случайные столкновения полионов приводят к возникновению точечных контактов в виде солевых связей, вслед за которыми возникают солевые связи соседних ионных пар, наподобие сцеплению звеньев застежки молнии:



Этот процесс проходит с достаточно большой скоростью, но не мгновенно, как можно было бы предположить, исходя из его кооперативного характера. Медленная стадия обусловлена необходимостью соответствующей ориентации в пространстве участков цепей полианионов, участвующих в реакции.

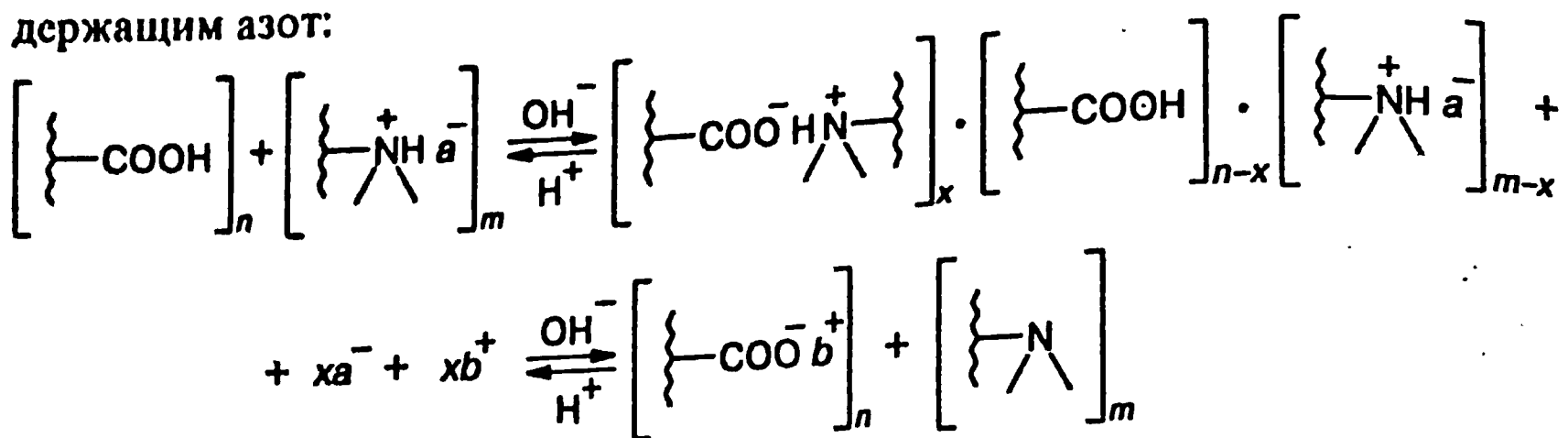
Наиболее просто ИПЭК могут быть получены при смешении водных растворов полианионов и поликатионов. В результате заряды противоположного знака образуют межцепные ионные связи, что приводит к возникновению двухтяжевой цепи из двух однотяжевых:



Степень завершенности реакции θ определяется отношением числа образовавшихся солевых связей к максимально возможному. Если $n > m$, то

* По материалам статьи: Кабанов В. А. Физико-химические основы и перспективы применения растворимых интерполимерных комплексов // Высокомолек. соед. А. 1994. Т. 36. № 2. С. 183.

$\theta = x/m$, в противном случае $\theta = x/n$. Когда один из полиэлектролитов является слабым, то θ оказывается зависимой от pH раствора, как в приведенном ниже примере реакции полиакриловой кислоты с полиоснованием, содержащим азот:



В подобных случаях ИПЭК могут быть получены постепенным подкислением или подщелачиванием раствора, при этом значения θ и pH связаны зависимостями:

$$\theta = \frac{m_b}{V} + [\text{H}^+] - \frac{\sqrt{K_a c_0}}{c_0}, \quad (7.1)$$

$$\theta = \frac{m_a}{V} + [\text{OH}^-] - \frac{\sqrt{K_b c_0}}{c_0}, \quad (7.2)$$

первая из которых относится к смесям, содержащим слабую поликислоту; вторая – слабое полиоснование, m_a , m_b – количество молей добавленной кислоты или основания, V – объем реакционной смеси, K_a , K_b – эффективные константы диссоциации поликислоты и полиоснования, c_0 – концентрация одного из полиэлектролитов. Рассчитанные для двух конкретных случаев зависимости α и θ от pH приведены на рис. 7.1.

Из рис. 7.1 видно, что одинаковое относительное содержание ионизированных звеньев слабого полиэлектролита наблюдается при существенно разных значениях pH в зависимости от того, присутствует или нет более сильный полиэлектролит, образующий с первым ИПЭК (при этом предполагается, что $\alpha = \theta$). Величина $\Delta\text{pH}(\theta, \alpha)$ служит мерой свободной энергии стабилизации ИПЭК $\Delta G_{\text{ст}}$, обусловленной кооперативным взаимодействием противоположно заряженных звеньев, образующих межцепные солевые связи в ИПЭК:

$$\Delta\text{pH}(\theta, \alpha) = \frac{[\Delta G(\alpha) - \Delta G(\theta)]}{2,3RT} = \frac{\Delta G_{\text{ст}}}{RT}, \quad (7.3)$$

где $\Delta G(\alpha)$, $\Delta G(\theta)$ – свободные энергии ионизации слабого полиэлектролита в отсутствие и в присутствии противоположно заряженного иона при данном значении α или θ . Сделанное выше допущение о $\alpha = \theta$ предполагает, что каждая ионогенная группа титруемого полиэлектролита, заряжаясь, образует солевую связь с противоположно заряженным полионом. Такая ситуа-

ция имеет место при условии $Z = \frac{m}{n} \leq 1$, где m относится к слабому полиэлектролиту.

Свободная энергия стабилизации $\Delta G_{\text{ст}}$ ИПЭК является мощным термодинамическим фактором, оказывающим большое влияние на протекание ряда физико-химических процессов с участием заряженных частиц в присутствии полиэлектролитов. Так, ионогенный мономер может быть заполимеризован на полионной матрице при температуре более высокой по сравнению с его предельной температурой полимеризации в том случае, если ее результатом является образование ИПЭК. Другой показательный пример связан с мицеллообразованием ПАВ в присутствии полионов при концентрациях, намного меньших по сравнению с характерными для них критическими концентрациями мицеллообразования. В данном случае образуются полимер-коллоидные комплексы, в которых заряженные звенья полиэлектролита образуют солевые связи с противоположно заряженными «углеводородными хвостами» ПАВ.

Существуют растворимые и нерастворимые ИПЭК. При $Z=1$ и $\theta \rightarrow 1$ ИПЭК всегда нерастворимы в воде. В этом случае они являются очень эффективными структурообразователями грунтов. В таком качестве ИПЭК были использованы при ликвидации последствий аварии на Чернобыльской АЭС для предотвращения распространения радиоактивной пыли.

Растворимые ИПЭК могут быть получены двумя путями – за счет незавершенности реакции при $Z=1$ и вследствие их нестехиометричности. В последнем случае ИПЭК удерживается в растворе полиэлектролитом, находящимся в избытке, который в соответствии с этой функцией называется лиофилизирующим полиэлектролитом (ЛПЭ). Полиэлектролит, находящийся в недостатке, называется блокирующим (БПЭ). Нестехиометричные ИПЭК можно рассматривать как блок-сополимеры, в которых однотяжевые лиофильные блоки ЛПЭ чередуются с двухтяжевыми гидрофобными блоками ИПЭК ЛПЭ-БПЭ. Подобные комплексы теряют растворимость, когда число звеньев ЛПЭ, вовлеченных в образование солевых связей ИПЭК, достигает 20–50 %.

Кооперативный характер многоточечных связей между полионами ИПЭК приводит к практической необратимости реакции их образования.

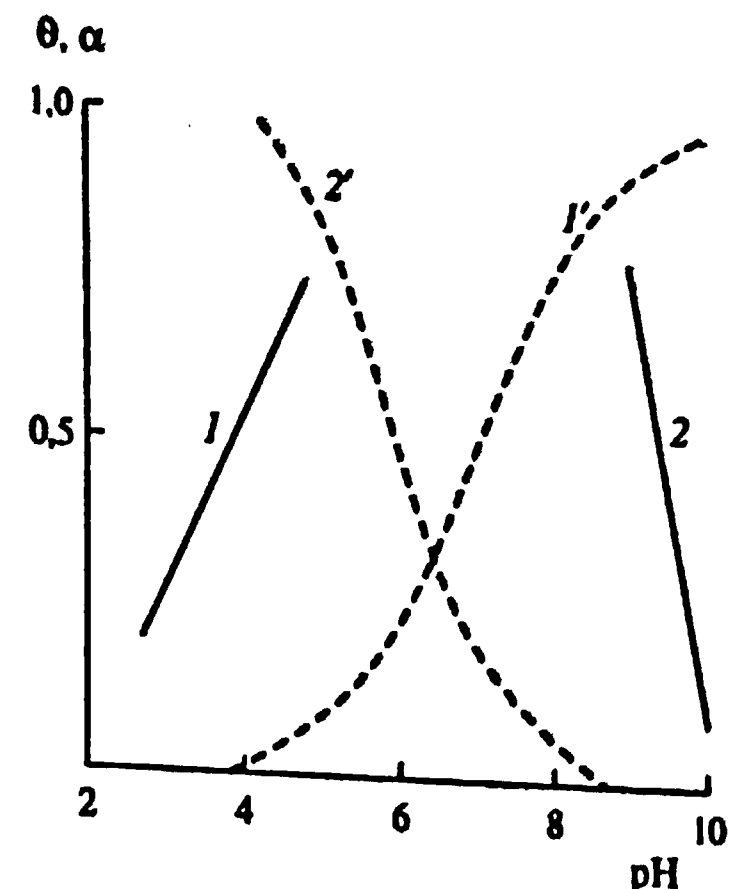


Рис. 7.1. Типичные зависимости степени превращения θ в реакции соединения полиона от pH (1, 2) и α от pH (1', 2'). 1 – поликарболовая кислота/гидрохлорид полидиметиламиноэтилметакрилата; 2 – полидиметиламиноэтилметакрилат/поликарбонат натрия. 1' и 2' – кривые потенциометрического титрования поликарболовой кислоты и полидиметиламиноэтилметакрилата, 20 °C

Показано, что даже в том случае, когда БПЭ является олигомером, степень диссоциации ИПЭК пренебрежимо мала. Это обстоятельство не мешает, однако, реакциям обмена в ИПЭК. Этот процесс может протекать внутри одной частицы или между разными частицами. К первому случаю относится термодиффузия БПЭ в клубке ЛПЭ. При этом достигается оптимальное термодинамическое соответствие ИПЭК с окружающей средой. Во втором случае имеет место перенос БПЭ с одной цепи ЛПЭ на другую. Если обе цепи ЛПЭ имеют аналогичное строение и химический состав, то этот процесс называется реакцией полиионного обмена, если их строение и (или) состав различны – реакцией полиионного замещения. В соответствии с этой терминологией, учитываяющей полимерную природу реагентов, реакция образования ИПЭК определяется как реакция соединения полиионов.

Кинетика образования ИПЭК, а также их превращения изучались физическими методами, среди которых наиболее информативным оказался метод тушения люминесценции. Упомянутые выше реакции протекают в две стадии. На первой стадии в результате случайных столкновений полиионов образуются их ассоциаты, которые могут рассматриваться как переходное состояние. Константа скорости этой реакции имеет величину порядка 10^9 л/(моль·с), что близко к величине константы диффузионных столкновений макромолекулярных клубков. На второй стадии первичные ассоциаты превращаются в равновесные частицы с максимально возможным термодинамическим сродством к окружающей среде. Константа скорости второй стадии на 3–5 порядков меньше по сравнению с первой. Общее время реакции полиионов составляет величину порядка нескольких минут. Для них характерна зависимость скорости от ионной силы раствора, химической природы полиионов и противоионов, в также длины первых.

Повышенный интерес к ИПЭК обусловлен, в первую очередь, тем обстоятельством, что они могут быть образованы полиэлектролитами синтетического и природного происхождения. Это создает широкую перспективу их биомедицинского применения. Среди многих направлений, которые развиваются в настоящее время, следует отметить конструирование каталитических систем фермент – ИПЭК, иммунодиагностических систем, «антагонистов» гепарина, использование ИПЭК нуклеиновых кислот с синтетическими поликатионами для доставки первых в клетки*.

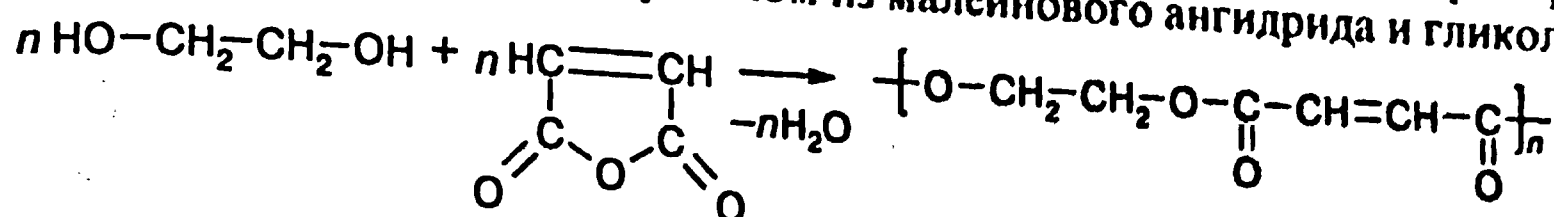
7.2. Сшивание полимеров

Известно, что сшивка позволяет существенно улучшить свойства полимеров, повысить их термостабильность и устойчивость к действию растворителей. Поэтому реакции сшивки линейных полимеров имеют большое практическое значение.

* Кабанов А. В., Кабанов В. А. Интерполиэлектролитные комплексы нуклеиновых кислот как средство доставки генетического материала в клетку // Высокомолек. соед. А. 1994. Т. 36. № 2. С. 198.

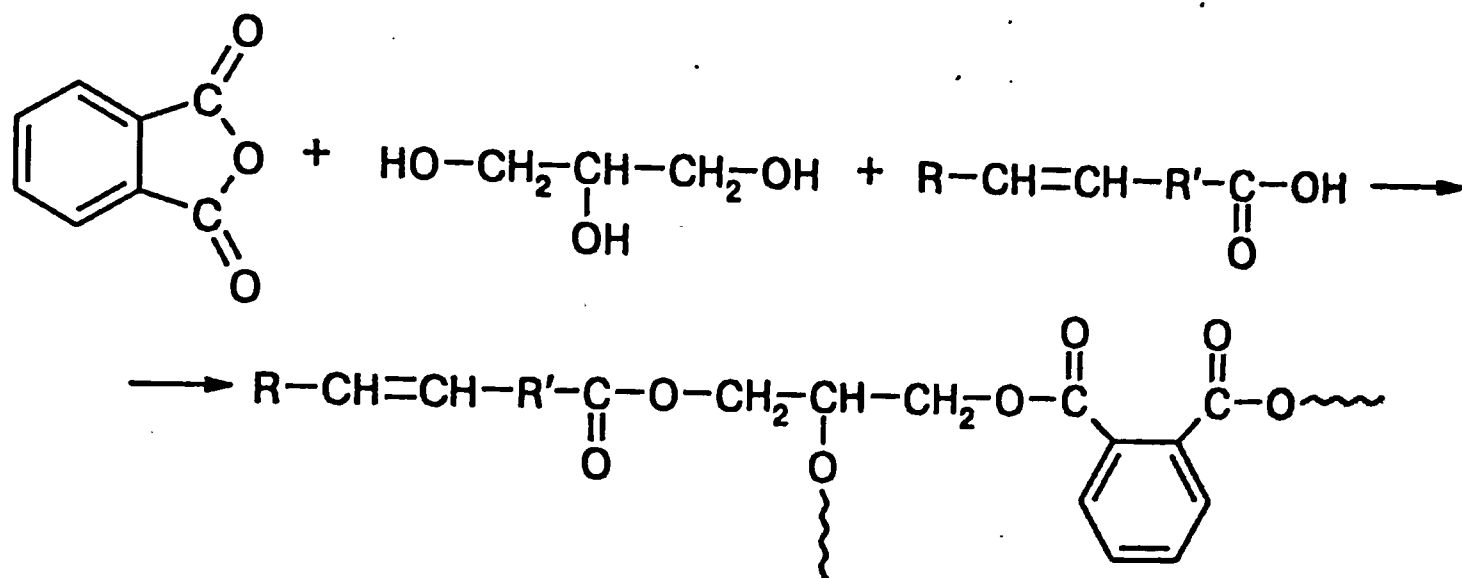
7.2.1. Высыхание красок

Важное место среди полимеров, предназначенных для получения различного рода покрытий (красок), пленок и волокон, занимают полиэфиры. Сшивка полиэфиров осуществляется за счет ненасыщенных связей, специально вводимых для этих целей в основную цепь полимера, как, например в ненасыщенном полиэфире, получаемом из маленинового ангидрида и гликоля:



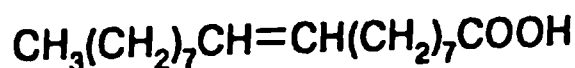
Сшивающими агентами являются обычно различного рода мономеры, а сшивка происходит в процессе их радикальной сополимеризации с ненасыщенным эфирами.

Алкиды и алкидные смолы являются полизифирами, содержащими ненасыщенные связи лишь по концам цепи. Последние вводятся путем участия в реакции поликонденсации жирных ненасыщенных карбоновых кислот — олеиновой, линоловой и др.:

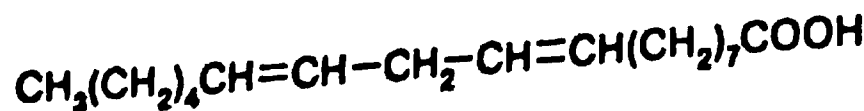


Такие кислоты получили название высыхающих масел. Жирные насыщенные карбоновые кислоты, такие как пальмитиновая, лауриновая и др., которые также часто используются в качестве регуляторов молекулярной массы полиэфиров, объединяются в группу невысыхающих масел. Сшивка ненасыщенных и алкидных полиэфиров осуществляется кислородом воздуха, а плотность сшивки регулируется соотношением высыхающих и невысыхающих масел в полимере. На языке лакокрасочной промышленности процесс сшивки лакокрасочного покрытия называется высыханием.

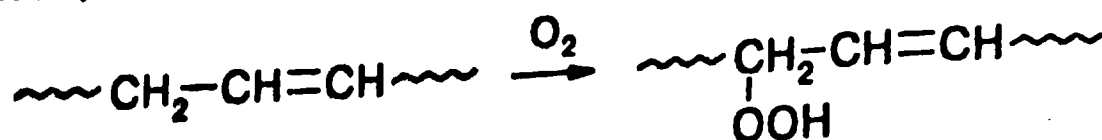
Сшивка или высыхание (отверждение) старейших из лакокрасочных материалов – масляных красок, основу которых составляют высыхающие масла – олифы и ненасыщенные алкидные смолы, имеет общий механизм. Детали этого механизма несколько различаются в зависимости от того, имеет ли ненасыщенная кислота изолированную двойную связь, как, например, олеиновая



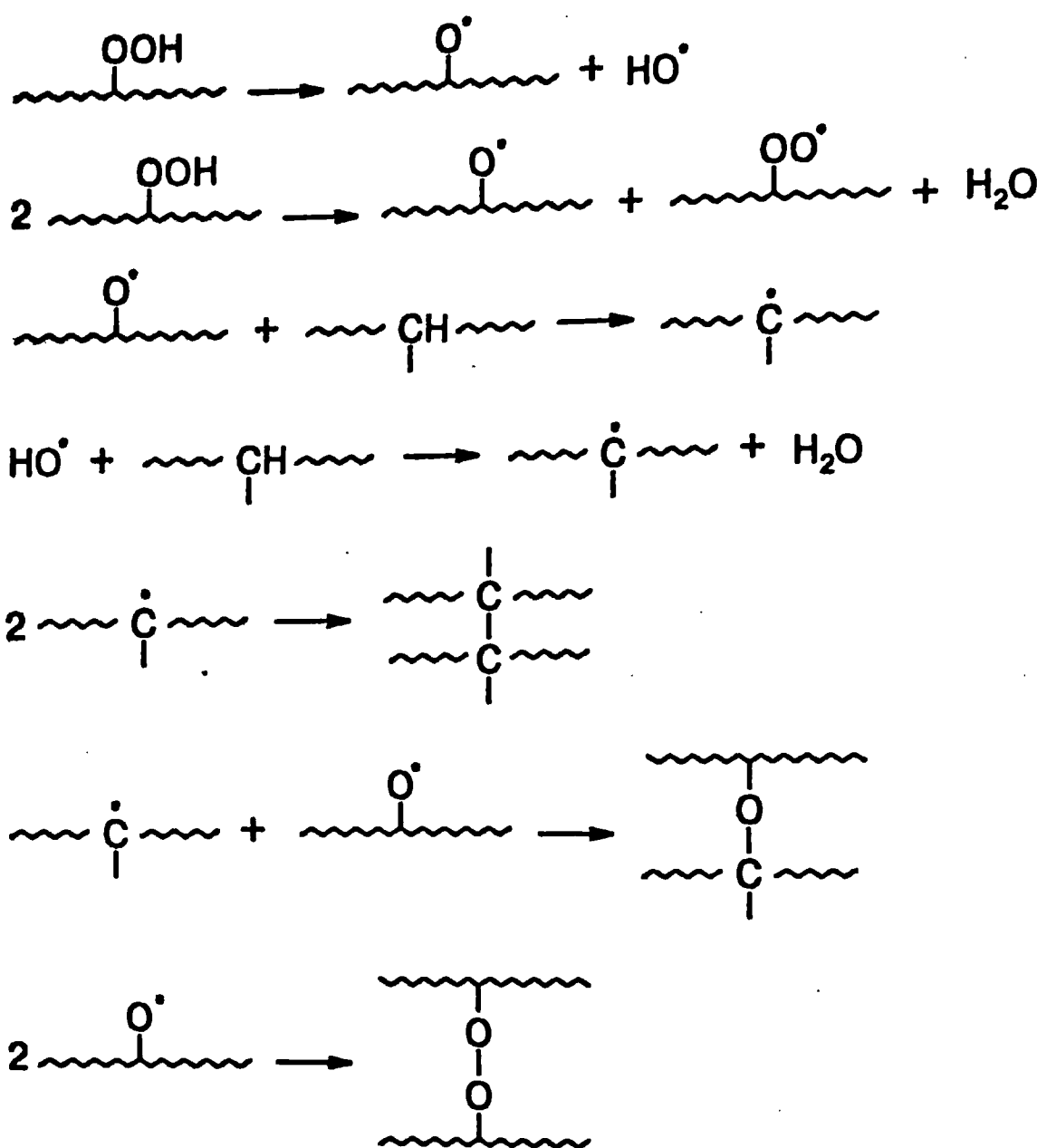
или сопряженные двойные связи, как линолевая кислота,



Несопряженные двойные связи образуют аллильные гидропероксиды в результате реакций с кислородом воздуха:

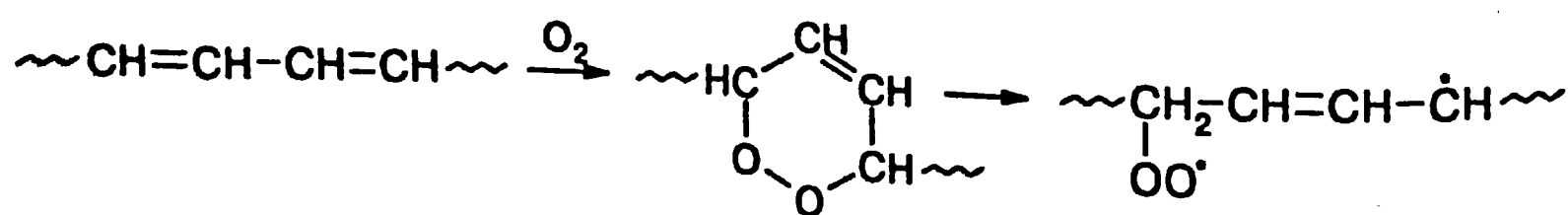


Гидропероксиды претерпевают ряд превращений:



в результате которых возникают углерод-углеродные и углерод-кислородные сшивки. Для того, чтобы ускорить процесс структурирования, т. е. сшивания макромолекул, добавляют соли жирных кислот, свинца, железа, кобальта.

Сопряженные двойные связи реагируют с кислородом с образованием циклических пероксидов, распад которых приводит к образованию макро-радикалов, реагирующих с двойными связями других макромолекул с образованием сшивок:

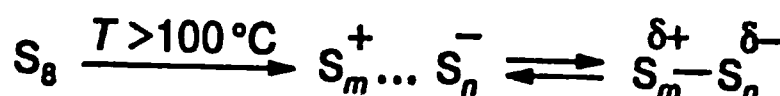


7.2.2. Вулканизация каучуков

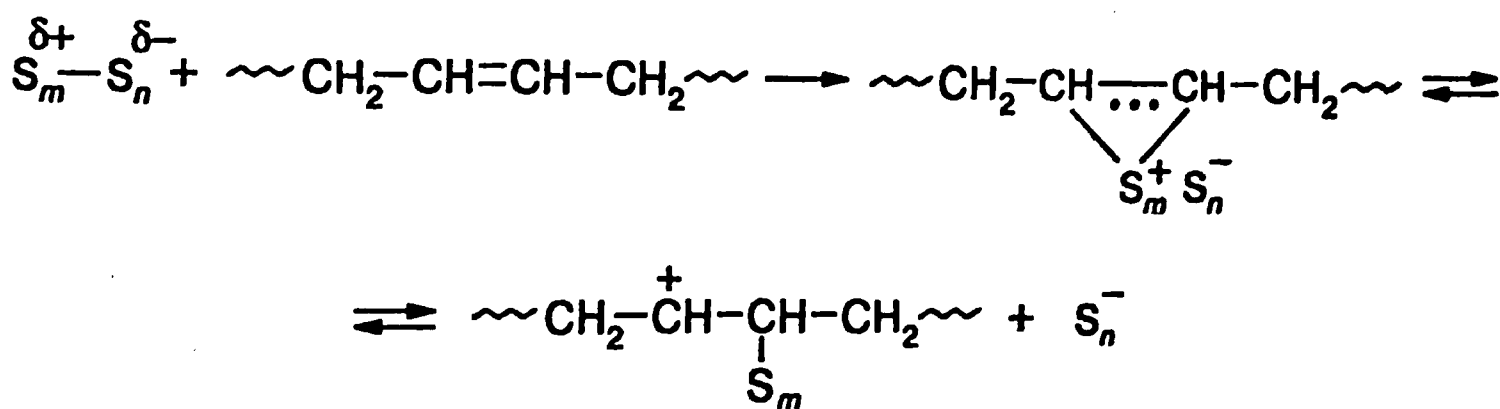
До настоящего времени сшивка полимеров диенов-1,3 в промышленном масштабе осуществляется путем вулканизации серой. Впервые этот процесс был осуществлен Гудьиром в 1839 г., однако его механизм был установлен значительно позднее.

Согласно первоначальной точке зрения, реакция серы с каучуком протекает по радикальному механизму. Радикалы возникают вследствие гомолитического разрыва восьмичленных циклов S_8 при высокой температуре. Аналогию – превращение восьмичленной серы в линейную, в ходе которого в реакционной системе были зафиксированы свободные радикалы. В первом случае, однако, они не были обнаружены, более того, как оказалось, типичные инициаторы и ингибиторы радикальной полимеризации не оказывали влияния на скорость вулканизации. Поэтому был предложен альтернативный – ионный механизм вулканизации.

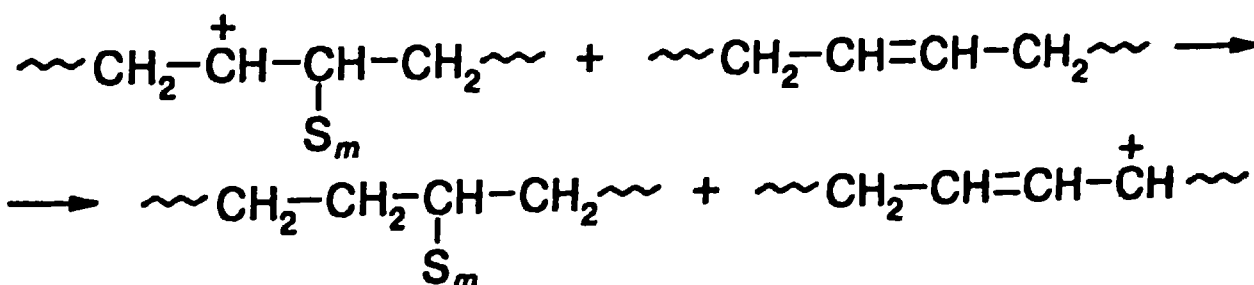
В пользу ионного механизма вулканизации свидетельствуют многие факторы – ускоряющее действие кислот и оснований, а также полярных растворителей, анализ продуктов модельных реакций олефинов с серой. Считается, что при высокой температуре циклическая сера может претерпевать как гомолитический, так и гетеролитический распад, в последнем случае образуются ионные пары или разделенные ионы:



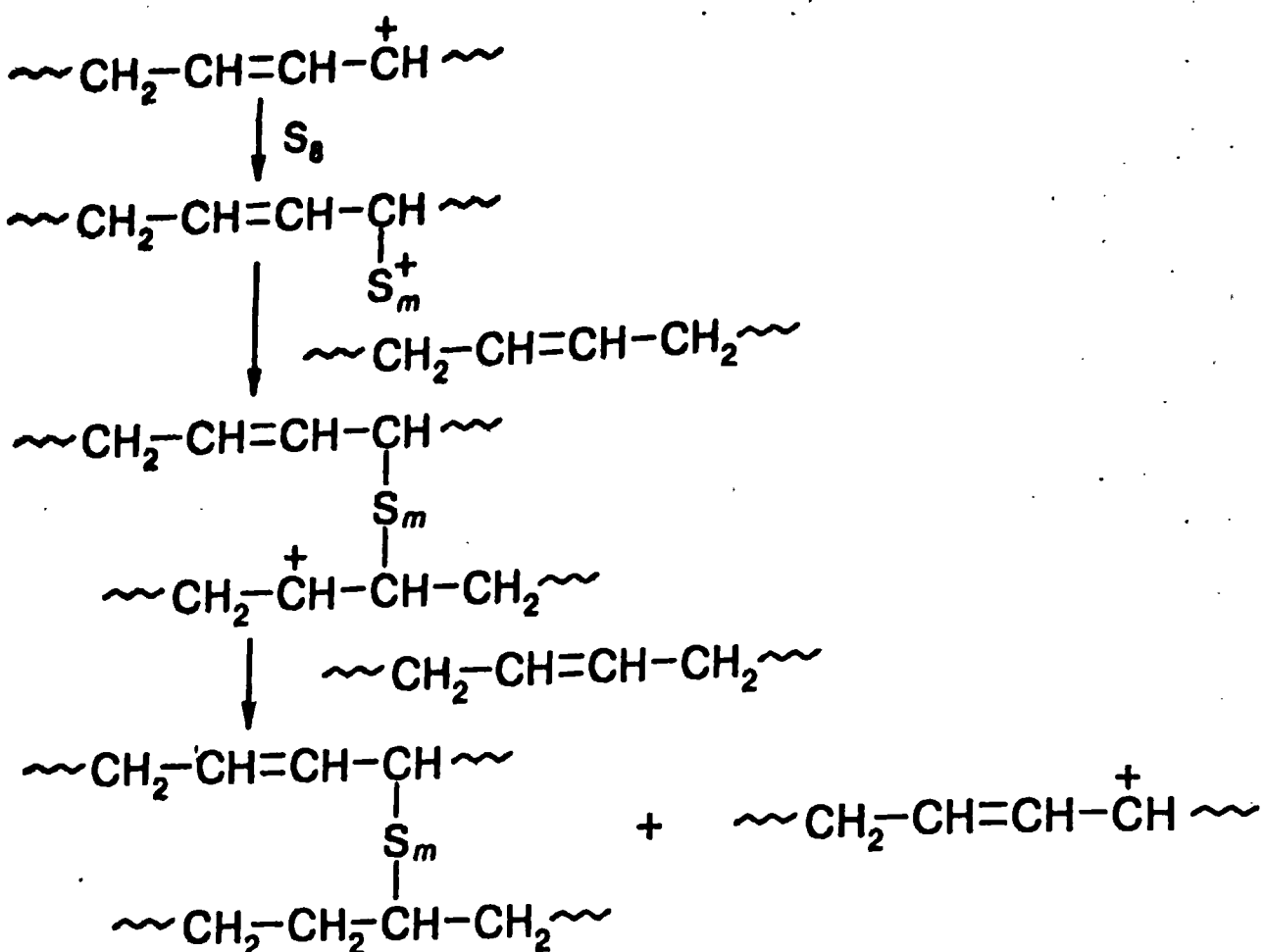
Реакция инициирования вулканизации заключается в присоединении сульфониевого иона к ненасыщенной связи макромолекулы:



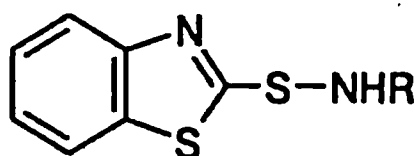
Образовавшийся карбкатион быстро превращается в более устойчивый аллильный карбкатион в результате реакции с другой макромолекулой:



Дальнейшая последовательность реакций с участием серы приводит к возникновению сшивки и регенерации карбкатиона:



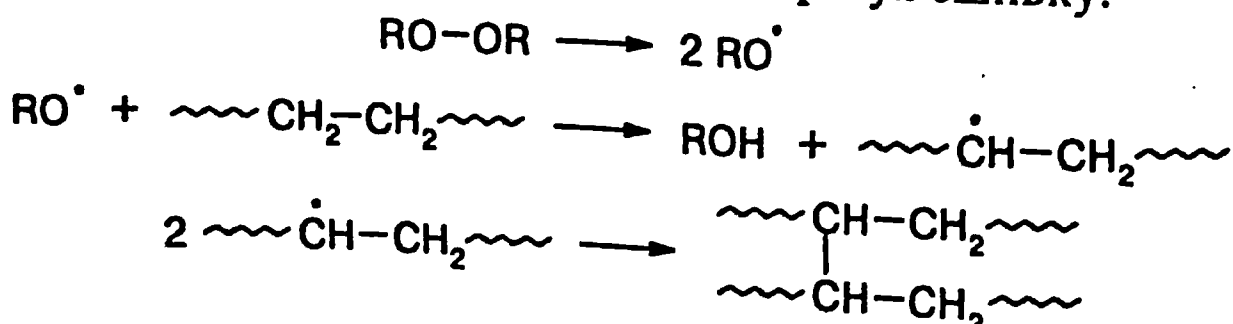
Согласно обоим механизмам – радикальному и ионному – серная вулканизация полимеров диенов-1,3 является цепным процессом. На практике процесс вулканизации ускоряется добавками ускорителей и активаторов вулканизации. В качестве первых применяются органические соединения, наиболее эффективным из которых являются 2-меркаптобензотиозол



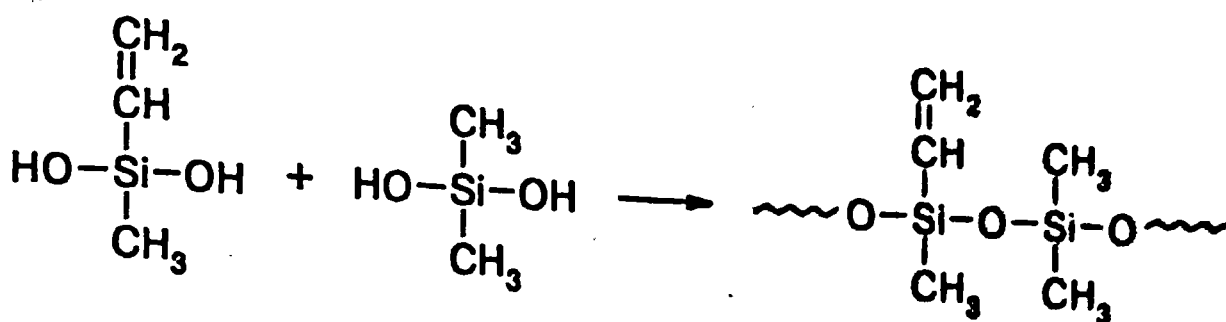
и его производные. В качестве активаторов, усиливающих действие ускорителей, применяются смеси оксидов металлов, например ZnO с жирными кислотами.

При серной вулканизации натурального каучука максимум прочности (29 МПа) при достаточно большой эластичности (850 %) наблюдается при введении 4–5 % серы. Примерно такое количество вводится в каучук при превращении в резину, применяемой в автомобильной промышленности для изготовления шин и камер. При содержании 50 % серы каучук превращается в эbonит – жесткий и прочный материал, практически не способный к деформации.

В том случае, когда макромолекулы не содержат ненасыщенных групп, их сшивка осуществляется пероксидами, распадающимися при высокой температуре, например дикумил- и ди-*трет*-бутилпероксидами. Радикалы, возникающие при распаде пероксида, отрывают атомы водорода от макромолекул, срединные радикалы соединяются, образуя сшивку:



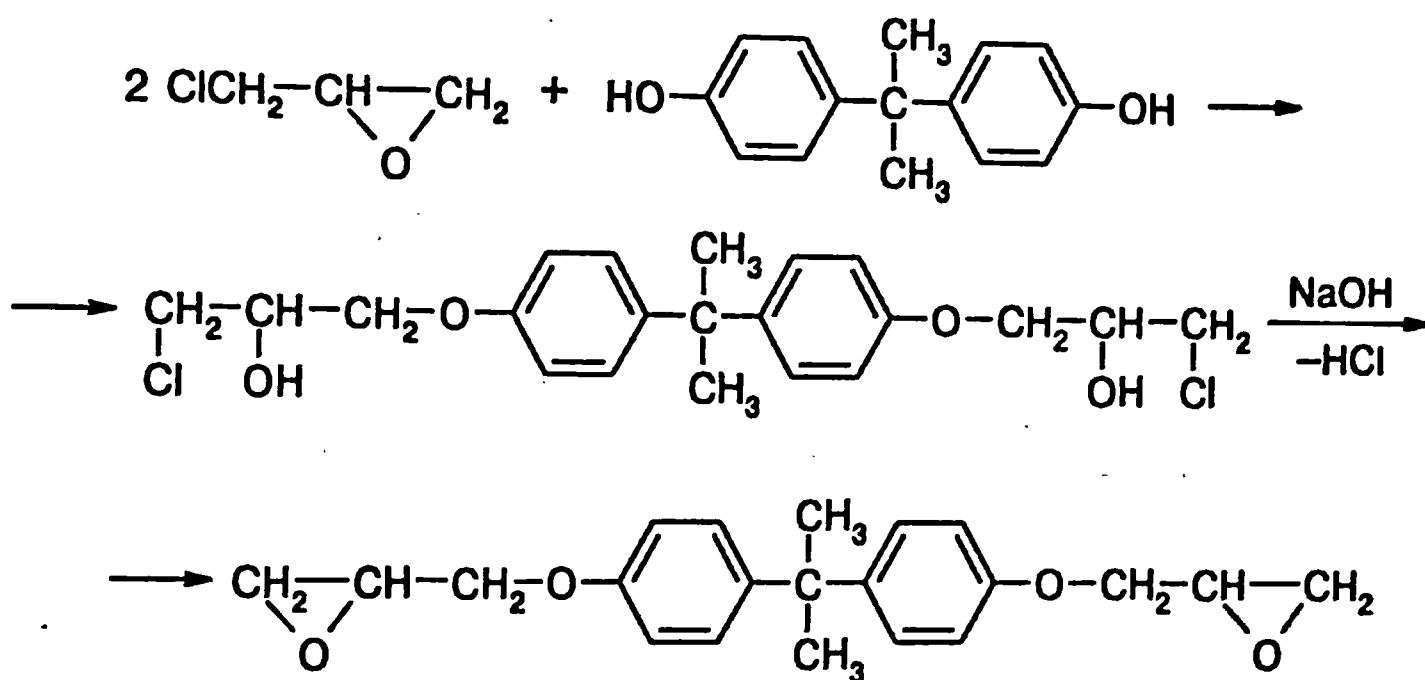
В том случае, когда такой способ оказывается недостаточно эффективным, в полимер вводят путем сополимеризации небольшое количество звеньев, содержащих ненасыщенные звенья. Это легко, например, сделать при полимеризации силанов, содержащих, наряду с насыщенными, ненасыщенные группы:



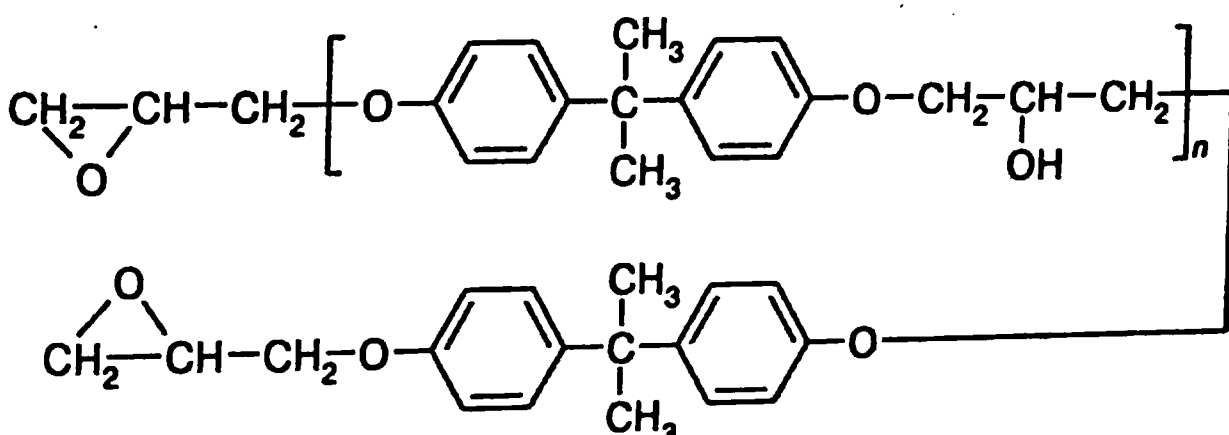
Сшивка пероксидами такого сополимера гораздо более эффективна по сравнению с обычным полидиметилсилоксаном, поскольку она осуществляется в основном за счет реакции полимеризации ненасыщенных связей.

7.2.3. Отверждение эпоксидных смол

Эпоксидные смолы образуются в результате реакции эпихлоргидрина с гидроксилсодержащими соединениями, например 2,2-дифенилолпропаном в щелочной среде. На первой стадии реакции образуется диэпоксид:

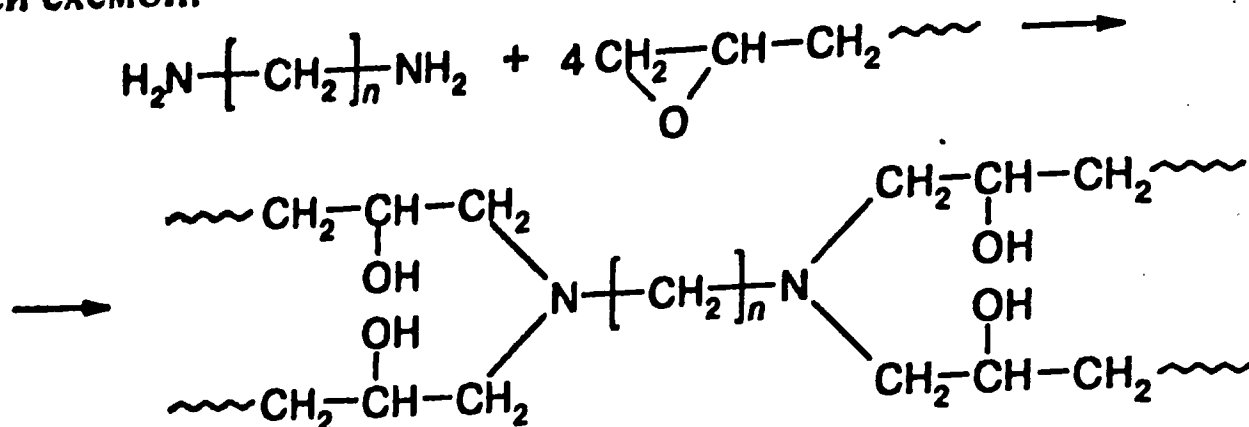


На заключительной стадии процесса получается растворимая низкомолекулярная смола с молекулярной массой 450–4000:



Отверждение эпоксидных смол происходит в результате их взаимодействия с соединениями, содержащими две или более функциональные группы, спо-

собные к присоединению к эпоксидной группе (многоосновные кислоты, их ангидриды и амины). Реакция отверждения с участием наиболее распространенного отвердителя — полиэтиленполиамина — может быть представлена следующей схемой:



Наличие гидроксильных групп в отверженной смоле способствует хорошей адгезии к другим материалам. Именно поэтому эпоксидные смолы широко используются в качестве клеев.

7.3. Деструкция полимеров

При эксплуатации или хранении полимеры стареют, что проявляется в неблагоприятном изменении комплекса их свойств. Старение полимеров может быть следствием как физических процессов, например, самопроизвольной кристаллизации или «выпотевания» пластификатора, так и химических, из которых наибольшее значение имеют структурирование и деструкция полимера.

Деструкция полимера может протекать в результате разрыва или распада (деполимеризации) основной цепи, отщепления или разрушения заместителей (боковых групп макромолекул).

Различают физическую и химическую деструкцию. Физическая деструкция протекает под действием теплоты, света, излучений высокой энергии, при механическом воздействии и, соответственно, называется термической, фотохимической, радиационной, механохимической деструкцией.

Химическая деструкция полимеров вызывается действием химических агентов — кислот, щелочей, воды, кислорода и др. При старении полимеров в реальных условиях деструкция обычно вызывается действием нескольких факторов, что, как правило, приводит к увеличению скорости этого процесса. Поскольку переработка, а часто и эксплуатация полимеров связаны с воздействием высоких температур, а при этом полимеры обычно находятся в контакте с воздухом, наибольшее значение имеют термическая и термоокислительная деструкция полимеров.

7.3.1. Термическая деструкция. Циклизация

Термическая деструкция полимера протекает при высоких температурах в инертной атмосфере или в вакууме. Иногда этот процесс называют пиролизом. Из табл. 7.1 следует, что термический распад наименее стойких полимеров — поливинилхлорида и полиметилметакрилата — начинается при

Таблица 7.1

Температуры начала разложения и энергии активации термического распада некоторых полимеров

Полимер	E_A , кДж/моль	Температура начала разложения, °С
Полиэтилен	263	
Полиметилакрилат	142	320
Полиметилметакрилат	125	292
Полистирол	229	220
Поливинилхлорид	83–158	310
Поливинилацетат	167–288	150
Полиакрилонитрил	129	170
Полизопрен	234	298
Полиэтилентерефталат	158	270
Полидиметилсилоксан	—	290
Политетрафторэтилен	336	300
Полиимида	—	400
		450

150 и 220 °С, а наиболее стойких – полидиметилсилоксана, политетрафторэтилена и полиимида – при 300, 400 и 450 °С, соответственно.

Деструкция по радикальному механизму. В большинстве случаев термический распад полимеров протекает как цепной радикальный процесс со стадиями инициирования, роста, передачи и обрыва цепи. Инициирование термического распада осуществляется за счет разрыва химических связей двух типов – слабых, например аллильных или пероксидных, и повторяющихся связей основной цепи. В соответствии с этим термический распад большинства полимеров протекает в две стадии – при разных температурах и с существенно различными энергиями активации (в табл. 7.1 приведены энергии активации второй стадии). Основная масса полимера, как правило, распадается на второй стадии термического распада.

Кинетическая цепь при термическом распаде полимеров развивается в результате трех элементарных реакций – деполимеризации, передачи цепи и β-распада радикалов. В результате термической деструкции полимер распадается на летучие продукты (часто нацело), состав которых определяется соотношением скоростей элементарных реакций роста цепи.

При распаде полиметилметакрилата (табл. 7.2), а также поли-α-метилстиrolа, полиформальдегида и некоторых других полимеров практически единственным продуктом является мономер. Это означает, что термический распад таких полимеров осуществляется посредством деполимеризации – реакции, обратной полимеризации.

Деполимеризация карбоцепных полимеров протекает по радикальному механизму, а для гетероцепных полимеров более характерен ионный механизм (например, для полиформальдегида). Термодинамическими условиями для деполимеризации являются $T > T_p$ и $[M] < [M]_{равн}$. Для большинства полимеров виниловых мономеров при $T > 200$ °С равновесные концентрации мономеров не превышают 10^{-3} – 10^{-5} моль/л. Однако при высокой температуре

Таблица 7.2

Продукты термического распада некоторых полимеров

Полимер	T, °C	Глубина распада	Продукты распада, %		
			мономер	олигомер	углеводороды
Полиметилметакрилат	300	60 % за 0,5 ч	~ 100	Следы	Следы
Полистирол	336	50 % за 2 ч	39	57	Толуол – 3, другие – 1
Полиэтилен	330	3,4 % за 0,5 ч	0,2	96	Бутен – 1, бутан – 0,8 другие – 2

мономер, образующийся в результате деполимеризации, быстро улетучивается, поэтому условие $[M] < [M]_{\text{равн}}$ обычно выполняется.

Соблюдение термодинамических критериев является необходимым, но не достаточным условием деполимеризации. Для ее развития необходимо, чтобы макрорадикалы с активным центром на конце цепи были достаточно устойчивы, а полимер не содержал бы подвижных атомов водорода, обычно находящихся при третичных атомах углерода. Степень стабилизации активного центра на конце цепи можно качественно оценить по величине параметра Q . Данные табл. 7.3 находятся в полном соответствии с таким выводом. В случае полиметилметакрилата выполняются оба условия, способствующие деполимеризации. Поэтому при термическом распаде этого полимера выход мономера близок к количественному. Для полистирола и полизобутилена выполняется одно из перечисленных выше условий. В продуктах термического распада этих полимеров доля мономера достаточно высока и, следовательно, реакция деполимеризации играет заметную роль среди других реакций продолжения кинетической цепи. В случае полиэтилена (и большинства других полиолефинов) не выполняется ни одно из условий, способствующих деполимеризации. Поэтому при термическом распаде таких полимеров этот процесс практически не протекает.

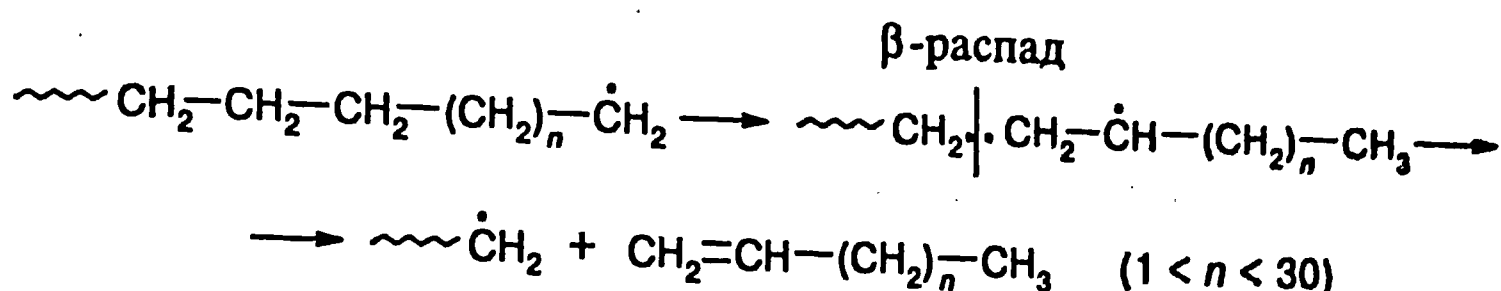
Важную роль при термическом распаде полимеров играет реакция передачи цепи, о чем можно судить по следующим данным. Присутствие небольшого числа (10–15 %) звеньев акриловых эфиров, стирола или акрилонитрила в сополимере с метилметакрилатом в несколько раз снижает скорость его термического распада по сравнению с гомополимером (полиметилметакрилатом). В продуктах термического распада полимеров акрило-

Таблица 7.3

Выход мономера при термическом распаде различных полимеров

Полимер	Q	Содержание мономера в продуктах распада, %
Полиметилметакрилат	0,74	~ 100
Полистирол	1,00	40
Полизобутилен	0,33	40
Полипропилен	0,02	Менее 1

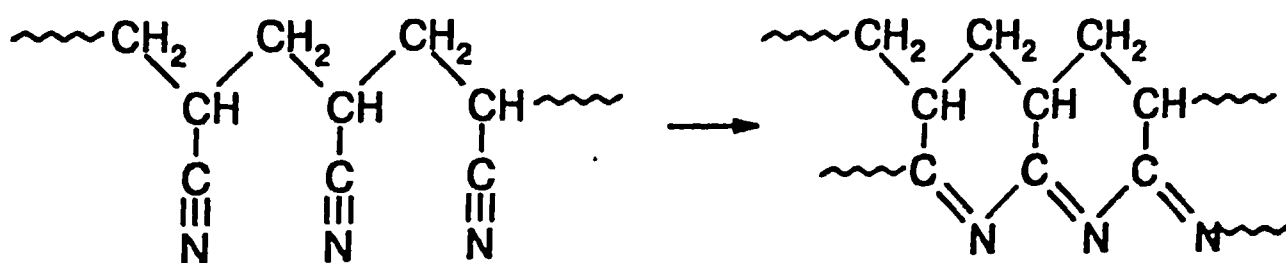
вых эфиров практически отсутствует мономер. Указанные факты объясняются обрывом цепей деполимеризации в результате внутри- и межмолекулярной реакции передачи цепи на звенья акриловых эфиров, имеющие подвижные атомы водорода. Значение реакции передачи цепи определяется также тем, что эта реакция приводит к переносу свободной валентности. Как следует из табл. 7.2, при термическом распаде некоторых полимеров основным продуктом является олигомер. В специальных опытах было установлено, что олигомер, образующийся при термическом распаде полиэтилена, аналогичен ему по химическому составу. Средняя молекулярная масса олигомера равна 700; почти каждая из молекул олигомера содержит на концах двойную связь. Образование олигомера при термической деструкции полиэтилена, полистирола и других полимеров объясняется последовательным протеканием реакций внутримолекулярной передачи цепи и β -распада образующихся срединных радикалов:



Реакция β -распада срединных радикалов, образующихся в результате межмолекулярной передачи цепи, наряду с реакцией разрыва углерод-углеродных связей основной цепи по закону случая приводит также к быстрому уменьшению молекулярной массы полиэтилена и других полимеров в процессе их термического распада (рис. 7.2).

Циклизация полиакрилонитрила. Этот полимер представляет большую практическую ценность как исходный материал для производства текстильных и высокомодульных армирующих волокон.

При нагревании полиакрилонитрила до 250 °С полимер окрашивается в светло-, затем – в темно-коричневый цвет, что связано с образованием сопряженных связей в результате полимеризации нитильных групп по радикальному механизму:



Этот процесс является высокоэкзотермичным. Параллельно выделяется аммиак – из концевых иминогрупп NH сопряженных структур и циановодород. Последний отщепляется от звеньев акрилонитрила, не участвовавших в процессе циклизации, которые расположены между короткими сопряженными нитильными структурами. Экзотермическому процессу предшествует и сопровождает его заметное уменьшение молекулярной массы полимера и выделение в составе летучих продуктов олигомерной фракции, что связано с разрывом основной цепи. При дальнейшем нагревании выделяется водород

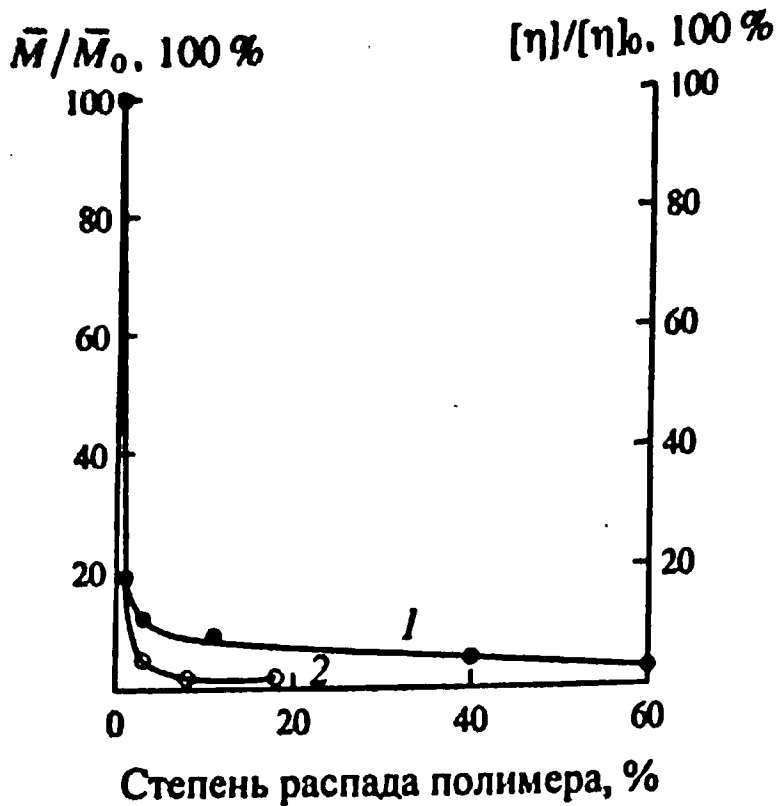
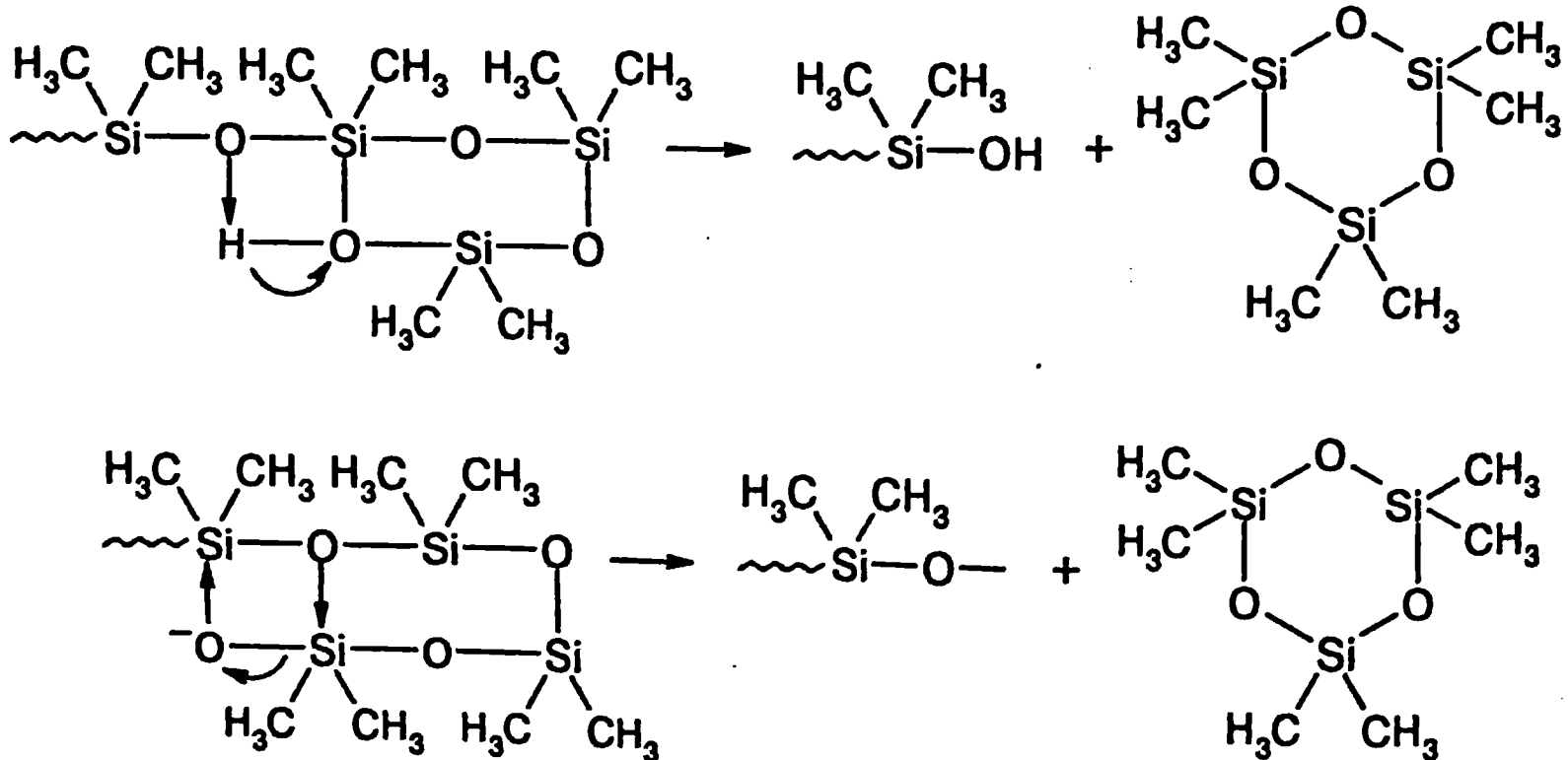


Рис. 7.2. Относительное изменение молекулярной массы и характеристической вязкости в процессе термического распада: 1 – полистирола, 310°C , $\bar{M}_0 = 2 \cdot 10^6$; 2 – полиэтилена, $[\eta]_0 = 20$ при 120°C в ксиоле

больших 300°C . Продуктами распада являются циклические олигомеры – от димера до гептадекамера. Общепринятый механизм их образования предполагает возникновение циклических промежуточных структур с участием концевой группы, в которых и происходит согласованные разрывы и образование связей:



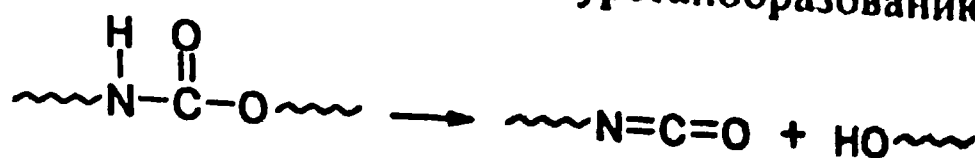
Первая схема относится к нестабилизированному полимеру с конечной OH-группой, второй – к полимеру, стабилизированному путем замены конечной OH-группы.

(выше 300°C), образующийся в результате дегидрирования и ароматизации циклических структур и азот ($850–900^{\circ}\text{C}$). После нагревания полимера до 1000°C в строгом соответствии со специальной программой (вначале он длительно прогревается при 200°C на воздухе), остается практически чистый графитный углерод, сохранивший форму исходного «текстильного» волокна. Другой пример циклизации, используемой при получении полиимидов, приведен в разд. 5.6.8.

Нерадикальные реакции деструкции. В качестве примера ниже рассмотрена термическая деструкция трех важных в практическом отношении полимеров.

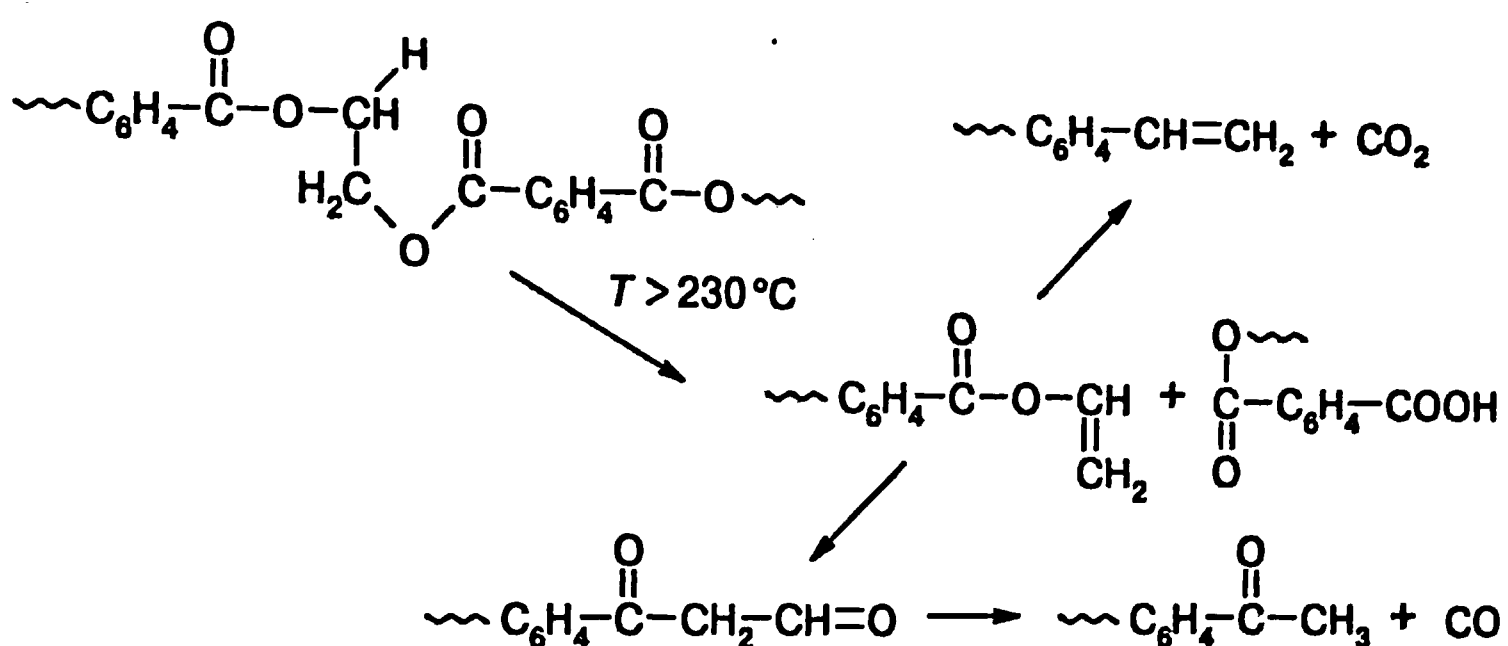
Полисилоксаны. Наиболее распространенный из этого класса полимеров – полидиметилсилоксан – начинает распадаться при температурах,

Полиуретаны. Термический распад полиуретанов протекает в две стадии. При $T > 220$ °С происходит исчезновение уретановых групп в полимере без выделения каких-либо летучих продуктов. Это происходит в результате деполимеризации, т. е. процесса, обратного уретанобразованию:



В отличие от цепной деполимеризации, рассмотренной ранее, разрыв уретановых групп полиуретанов протекает по закону случая. На второй стадии распада выделяются летучие в результате многочисленных превращений достаточно высокомолекулярных продуктов деполимеризации, находящихся в «горячей» зоне. Среди них CO , CO_2 , HCN , дииимида и др.*

Полиэфиры. Первичной реакцией является распад эфирной группы, что приводит к разрыву основной цепи. Реакции предшествует образование циклического комплекса:



Основные летучие продукты распада образуются в результате дальнейших превращений конечной винилбензоатной группы – терефталевая кислота, ацетальдегид, оксид углерода. В меньшем количестве образуются бензойная и ацетилбензойная кислоты, ангидриды, ацетофенон, кетоны, этилен, ацетилен, метанол.

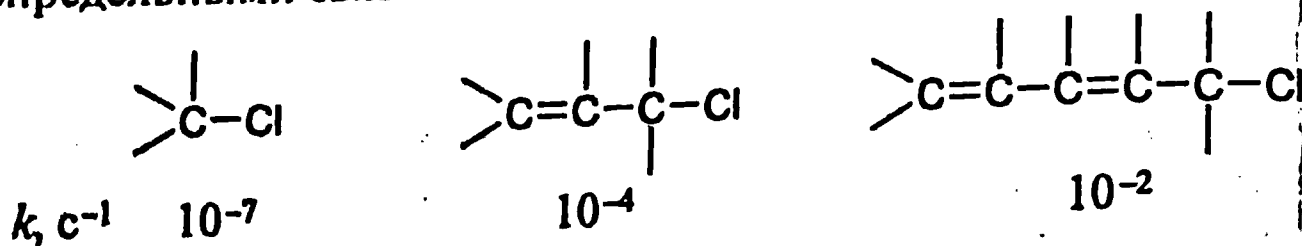
Поливинилхлорид. Данный полимер относится к числу полимеров, термическая деструкция которых изучена наиболее детально. Тем не менее, до настоящего времени существуют две точки зрения на механизм деструкции поливинилхлорида. Согласно одной из них, он является молекулярным, согласно другой – радикальным.

Поливинилхлорид – один из наименее термически стойких полимеров. Его распад с заметной скоростью начинается от 150 °С. Продуктом термического распада поливинилхлорида является хлороводород, а также на глубоких стадиях следы бензола.

Для выяснения механизма распада поливинилхлорида была изучена кинетика дегидрохлорирования ряда модельных соединений. Из приведенных

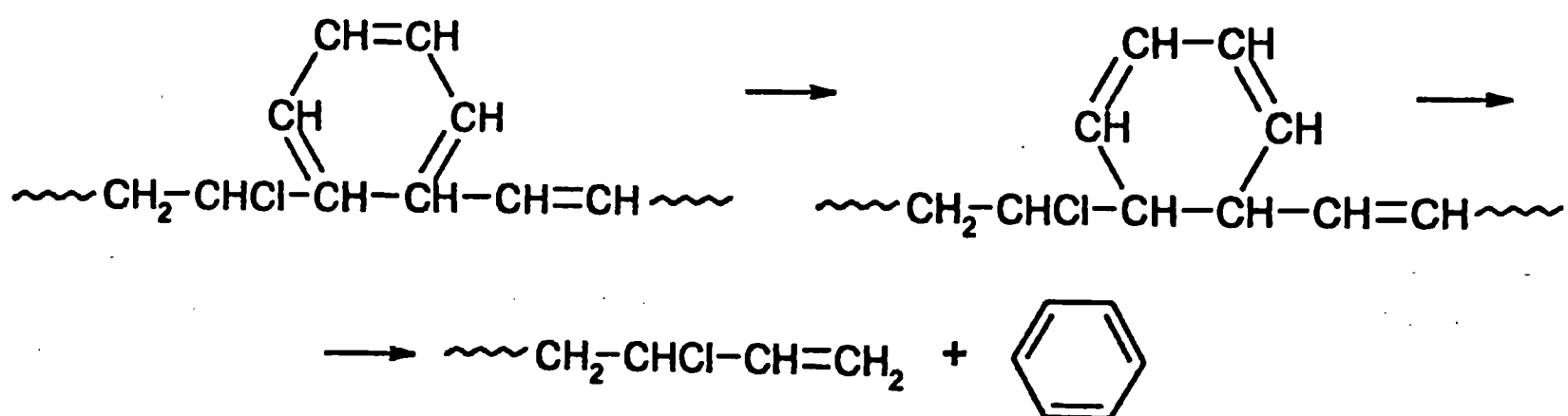
* Грасси Н., Скотт Дж. Деструкция и стабилизация полимеров. М.: Мир, 1988. С. 47–48, 52–55.

ниже значений k (с^{-1}) следует, что значение константы скорости мономолекулярной реакции дегидрохлорирования при 170°C значительно возрастает для тех соединений, в которых имеется сопряжение связи $\text{C}-\text{Cl}$ с одной или двумя непредельными связями:



Эти данные хорошо объясняют образование полиеновых последовательностей на самой ранней стадии дегидрохлорирования. Двойные связи, образовавшиеся после случайного отщепления хлороводорода от основной цепи, активируют соседние связи $\text{C}-\text{Cl}$. При увеличении длины ненасыщенного участка эффект активации возрастает.

Полиеновые последовательности увеличиваются с возрастающей скоростью до тех пор, пока их рост не ограничивает одна из реакций, приводящих к потере сопряжения между ненасыщенной группировкой и связью $\text{C}-\text{Cl}$. Одна из них – реакция Дильса–Альдера – приводит к сшиванию цепей и потере растворимости полимера. К нарушению сопряжения полиеновой последовательности со связью $\text{C}-\text{Cl}$ приводит также реакция внутримолекулярной циклизации. Образующиеся циклодиенильные фрагменты при высокой температуре неустойчивы. При согласованном распаде двух связей $\text{C}-\text{C}$, сопряженных с диеновой последовательностью, отщепляется молекула бензола:



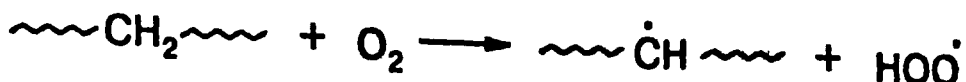
Расчеты показывают, что скорость дегидрохлорирования поливинилхлорида, инициируемого в результате случайного отщепления хлороводорода, существенно меньше наблюдаемой в опытах. Из этих результатов был сделан вывод о том, что первые акты отщепления хлороводорода, которые можно рассматривать как стадию инициирования, проходят с участием аномально подвижных атомов хлора. В промышленных образцах поливинилхлорида такие атомы хлора, часто называемые лабильными, могут находиться в непосредственной близости к случайным дефектам полимерной цепи – разветвлениям, контактам мономеров по типу «голова к голове», пероксидным или кислородсодержащим ненасыщенным группам.

Значительное каталитическое влияние на термический распад поливинилхлорида оказывает хлороводород, поэтому этот продукт термического распада следует связывать или удалять из системы. В противном случае кинетические кривые приобретают автокаталитический характер.

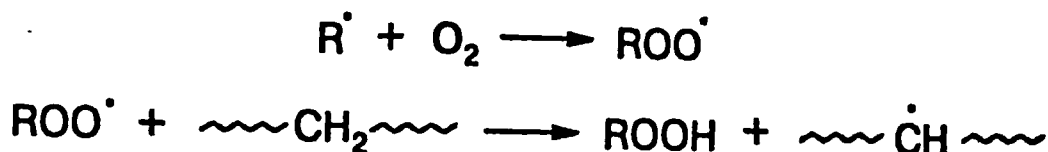
7.3.2. Термоокислительная деструкция. Горение

Наиболее губительной для полимеров по своим последствиям является термоокислительная деструкция. Считается, что механизм окисления полимеров не отличается от хорошо изученного радикального механизма окисления углеводородов.

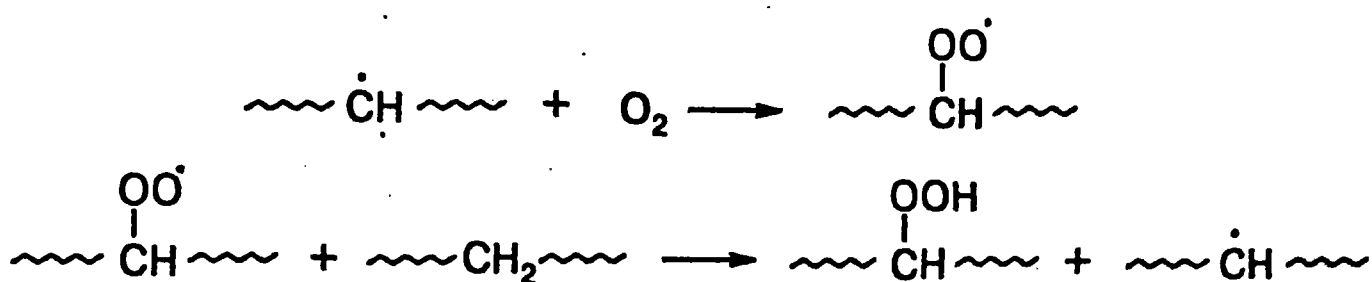
Инициирование окисления «чистого» полимера теоретически возможно в результате окисления связей C-H кислородом воздуха, который, находясь в триплетном бирадикальном состоянии, отличается высокой реакционной способностью:



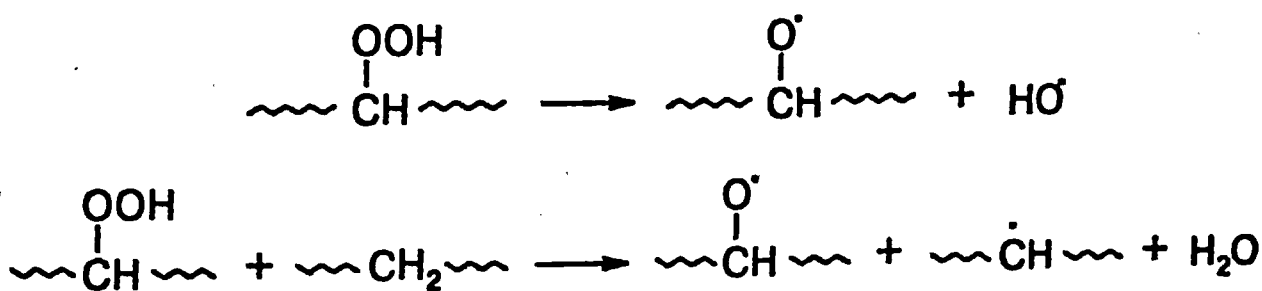
Однако эта реакция протекает с крайне низкой скоростью. В реальных полимерах инициаторами являются примеси – остатки инициатора, соединения металлов переменной валентности, легко окисляющиеся вещества и т. п. Примеси генерируют радикалы, которые и инициируют термоокислительную деструкцию полимеров:



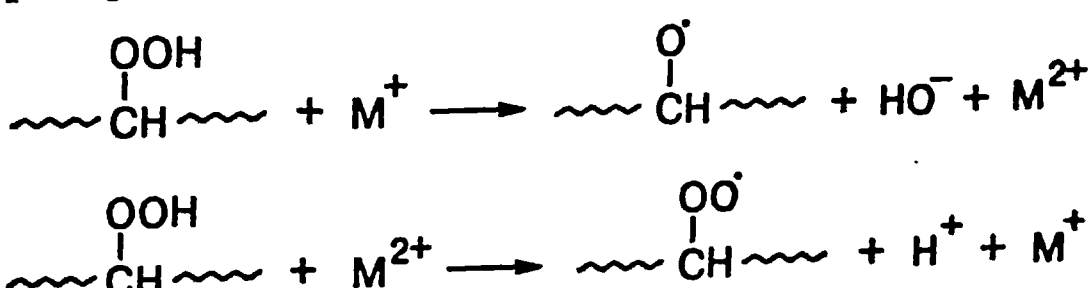
Развитие цепи окисления протекает по аналогичной схеме:



Из приведенных выше двух реакций роста цепи следует, что они сопровождаются поглощением одной молекулы кислорода и образованием одной гидропероксидной группы. Последняя легко распадается на радикалы под действием тепла и света:

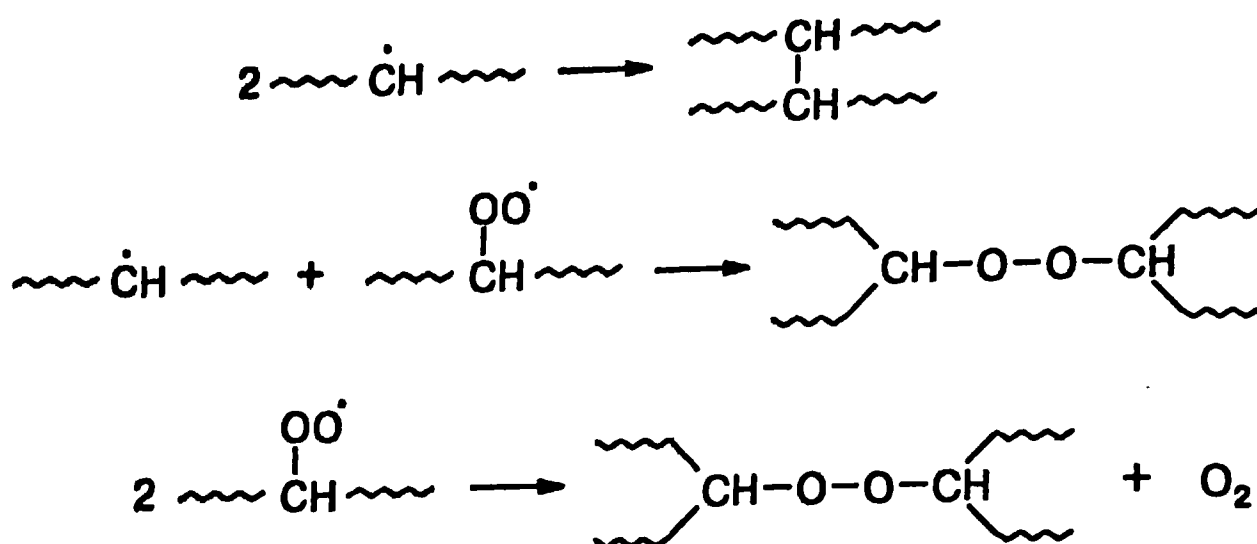


Распад гидропероксидов активируется металлами переменной валентности:



Распад гидропероксидов приводит к вынужденному разветвлению кинетической цепи, благодаря чему процесс окисления приобретает автокатализический характер.

Обрыв цепи при термоокислительной деструкции полимеров может происходить в результате следующих реакций:



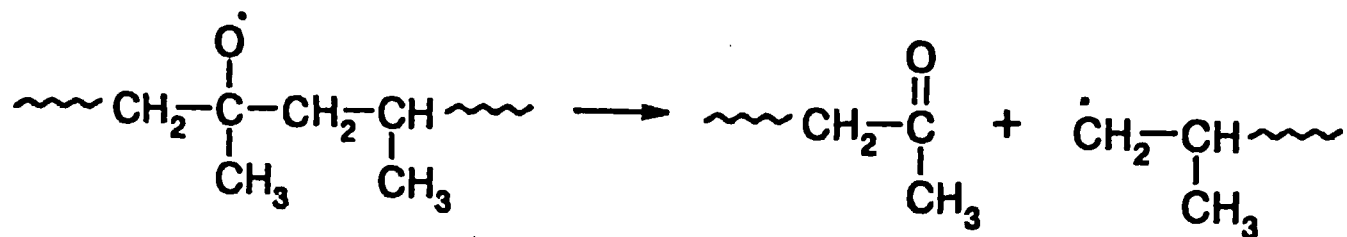
В зависимости от условий обычно доминирует одна из этих реакций.

Скорость термоокислительной деструкции сильно зависит от природы полимера. В соответствии с ней углеводородные и содержащие гетероатомы полимеры образуют следующие ряды:

полизобутилен > полибутадиен > полистирол >
> полипропилен > полиэтилен;

поливинилхлорид > полиметилакрилат > полиметилметакрилат >
> полиакрилонитрил > политетрафторэтилен.

Одним из наиболее существенных последствий термоокислительной деструкции является значительное уменьшение молекулярной массы полимера вследствие реакции, приведенной ниже для полипропиlena:



Термоокислительная деструкция оказывает сильное влияние на свойства полимеров, особенно диеновых каучуков, поскольку полимеры, содержащие двойные связи в основной цепи, окисляются с большей скоростью (более, чем на порядок) по сравнению с насыщенными. Изменение свойств может быть вызвано как уменьшением молекулярной массы полимера вследствие разрывов основной цепи, так и сшивкой макромолекул. В случае натурального каучука при $T < 80^{\circ}\text{C}$ преобладает сшивка, при $T > 80^{\circ}\text{C}$ – разрыв цепи. Прогрев натурального каучука при 100°C в течение 80 ч приводит к полимерам бутадиена содержать звенья с боковыми двойными связями, поэтому они особенно склонны к сшивке. По этой причине резинотехнические

Таблица 7.4

Т а б л

Ограниченный кислородный показатель для некоторых полимеров

Окисляемый кислородный показатель для некоторых полимеров			
Полимер	ОКП, мол.%	Полимер	ОКП, мол.%
Полиоксиметилен	16	Нейлон	25
Полиметилметакрилат	17	Полифенилсоксид	30
Полиэтилен	17	Поливинилхлорид	47
Полипропилен	17	Поливинилиденхлорид	60
Полистирол	18	Политетрафторэтилен	95
Поливиниловый спирт	22		

изделия из этих материалов, эксплуатируемые при $T > 100^{\circ}\text{C}$, например в двигателях, быстро теряют эластичность

Горение. Очевидно, что полимеры, подверженные термоокислительной деструкции, при определенных условиях будут гореть или поддерживать горение. Стандартным методом измерения горючести является определение ограниченного кислородного показателя (ОКП). При испытаниях полоска материала помещается вертикально в потоке смеси кислорода и азота и воспламеняется сверху. ОКП выражается относительным содержанием кислорода (в мольных %) в смеси, в которой еще возможно горение. Некоторые величины ОКП приведены в табл. 7.4. В воздухе содержится 21 мол.% кислорода, откуда следует, что, например полиметилметакрилат в воздухе гореть будет, а поливинилхлорид – нет.

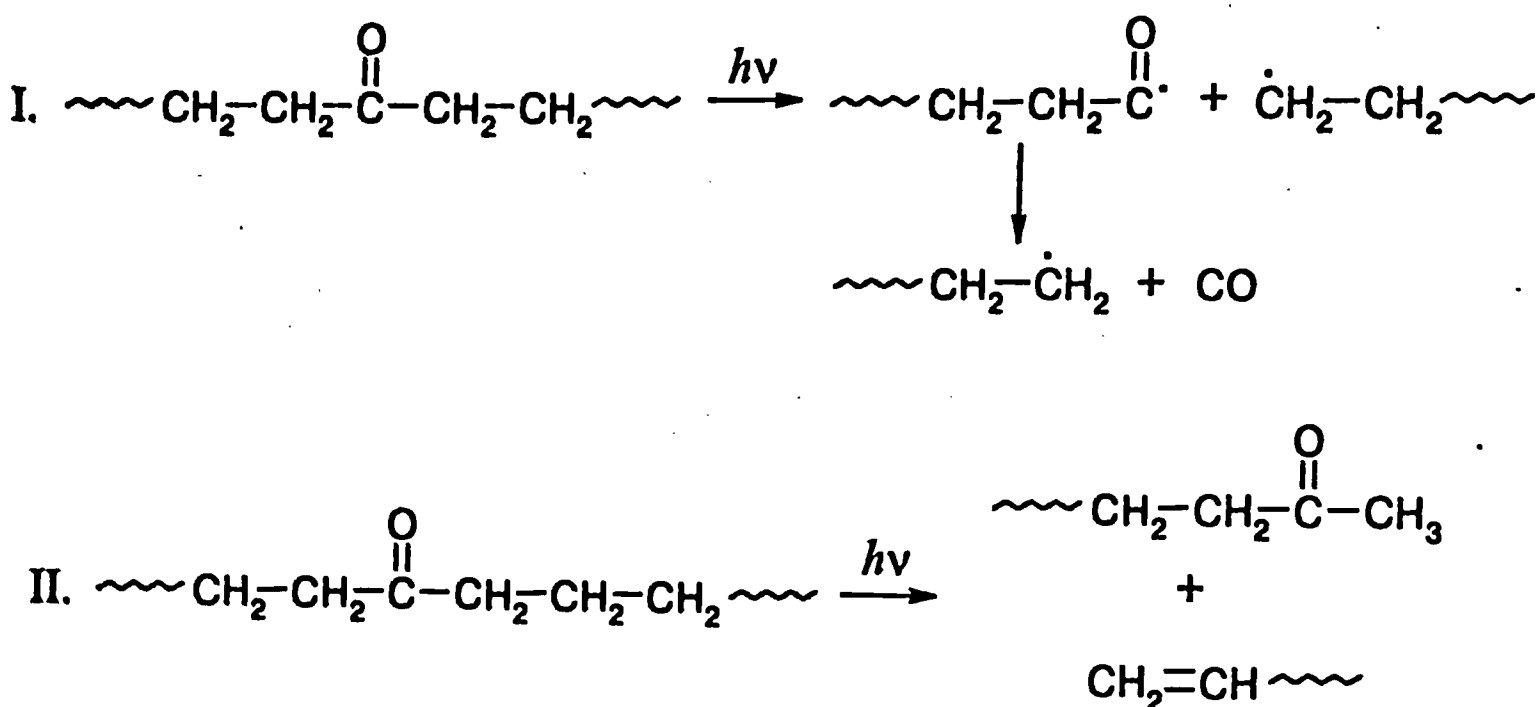
7.3.3. Фотодеструкция. Фотоокисление

Фотохимические превращения происходят в полимере под действием ультрафиолетового ($180 < \lambda < 400$ нм) и видимого света ($400 < \lambda < 800$ нм), если полимер содержит химические связи или группы, поглощающие свет в этих областях спектра (так называемые хромофорные группы). При поглощении фотона хромофорные группы переходят в возбужденное состояние, энергия которого может превысить энергию диссоциации химической связи. В этом случае связь диссоциирует с образованием радикалов, которые вызывают вторичные, так называемые темновые, фотохимические реакции распада, деполимеризации, изомеризации, передачи цепи и т.д. Следует иметь в виду, что возбужденные хромофорные группы могутdezактивироваться, поэтому квантовый выход (отношение числа квантов, вызвавших реакцию, к общему числу поглощенных квантов) обычно очень мал, порядка 10^{-4} .

Солнечный свет, достигший поверхности Земли, содержит ультрафиолетовый участок спектра с $\lambda \geq 270$ нм. Казалось бы, что интенсивной фотодеструкции должны подвергаться лишь полимеры, содержащие в макромолекулах хромофорные группы, поглощающие свет в близкой области, – карбонильные ($\lambda = 279; 285$ нм), ароматические ($\lambda \geq 193; 260$ нм). Однако фотостарению под действием естественного освещения подвергаются практически все полимеры. Это обусловлено содержанием хромофорных групп в составе случайных примесей (пластификаторов, стабилизаторов) и в продуктах окисления полимера. Такие неконтролируемые хромофорные группы

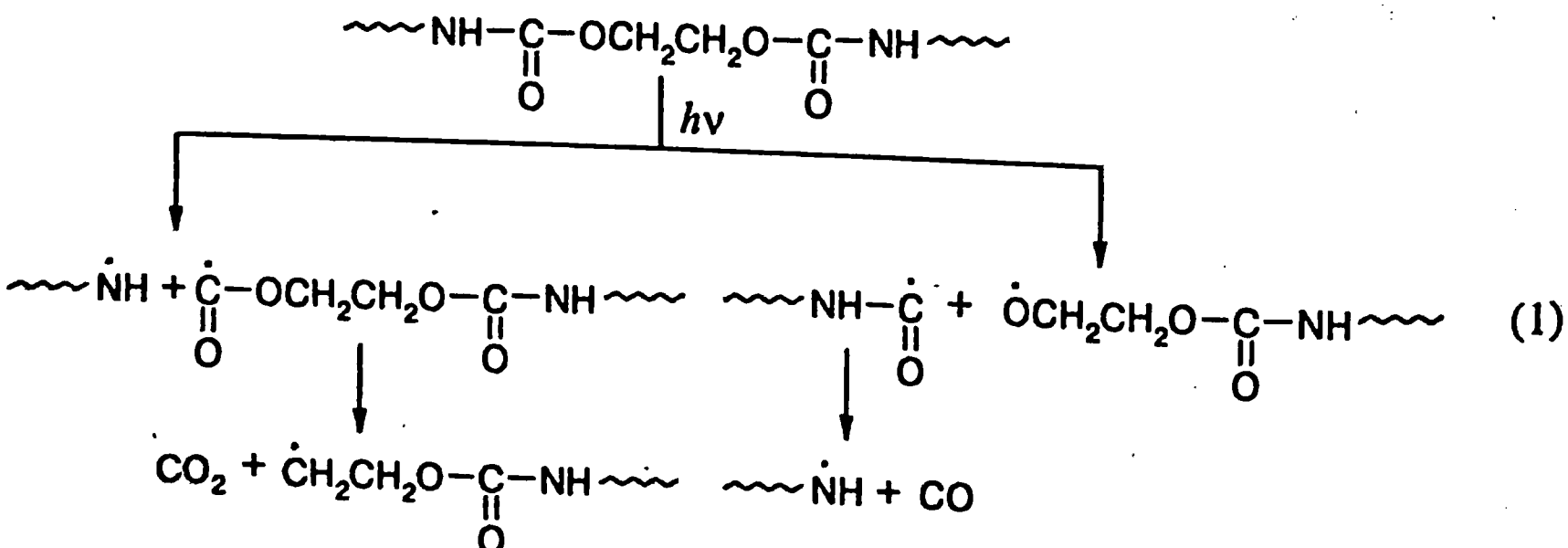
могут инициировать фотостарение полимера, выступая в качестве фотосенсибилизаторов или фотоинициаторов. Молекулы сенсибилизатора, поглотившие квант света, передают энергию возбуждения макромолекулам, что приводит к диссоциации химических связей. Фотоинициатор под действием света распадается на радикалы, которые инициируют цепные реакции с участием макромолекул.

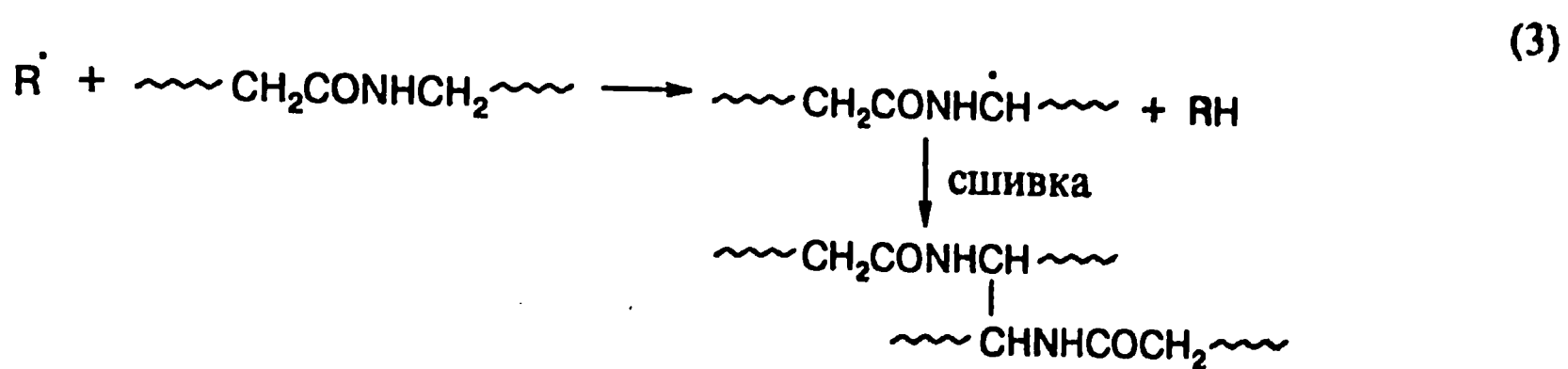
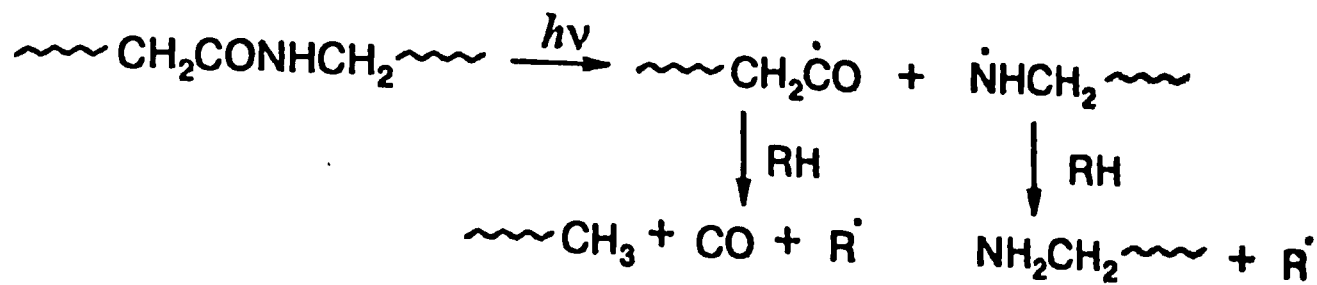
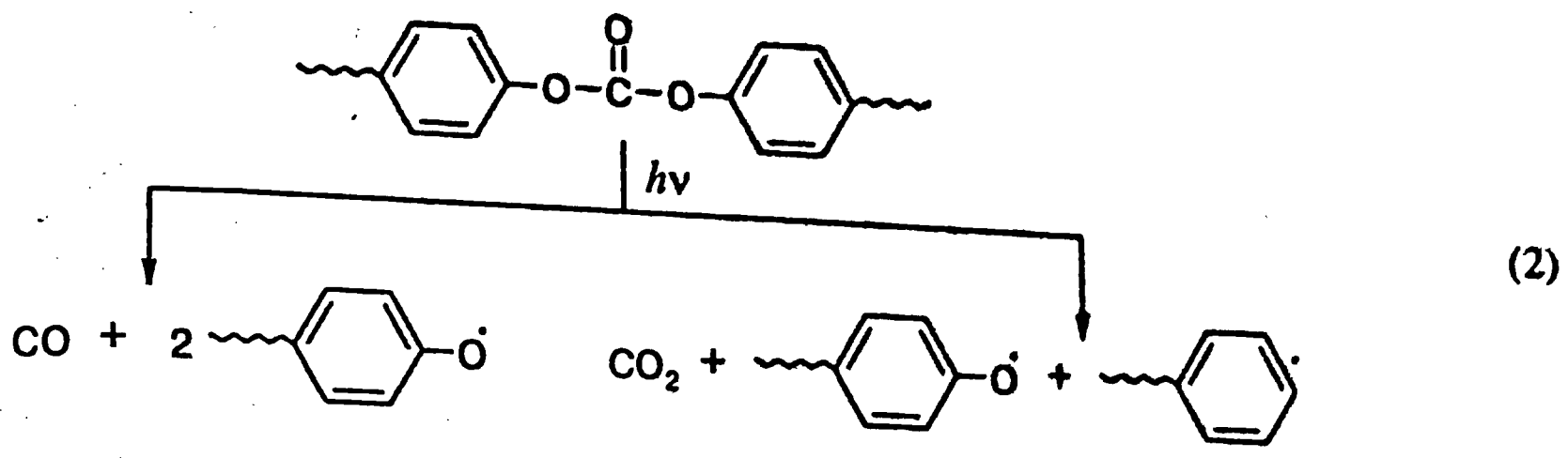
Первичные процессы в полимерах проходящие под действием света, зависят от природы хромофорной группы. Как уже указывалось, наиболее часто встречаются карбонильные и ароматические хромофорные группы. Карбонильные группы при облучении светом с длиной волны 270–330 нм легко переходят в возбужденное синглетное (антипараллельная ориентация спинов π -связи) и триплетное (параллельная ориентация спинов) состояния. Затем идут процессы по механизму Норриша первого или второго типа. Ниже приведена схема реакций I и II типа сополимера этилена с оксидом углерода:



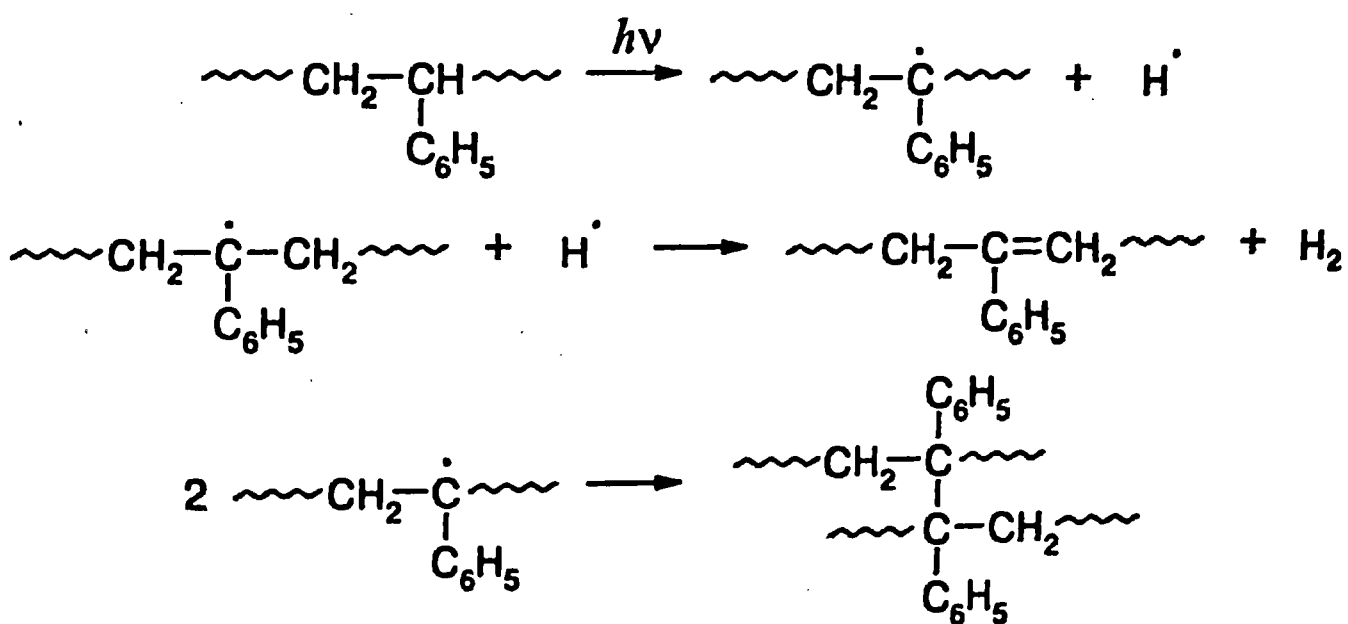
Как видно, реакция Норриша II типа протекает по радикальному, а реакция Норриша I типа – по скрыторадикальному механизму. Обе реакции приводят к разрыву цепи. Свободные радикалы, образующиеся в реакции I типа, могут вызвать в дальнейшем превращения в полимере.

Реакция Норриша I типа играет важную роль в фотолизе полиуретанов (1), поликарбонатов (2), полиамидов (3):





В качестве примера полимера, содержащего ароматические хромофорные группы, рассмотрим полистирол. Процесс фотолиза сопровождается выделением небольшого количества водорода, результатом фотолиза является пожелтение полимера и потеря им растворимости. Ниже представлена схема процесса, приводящего к этим изменениям:



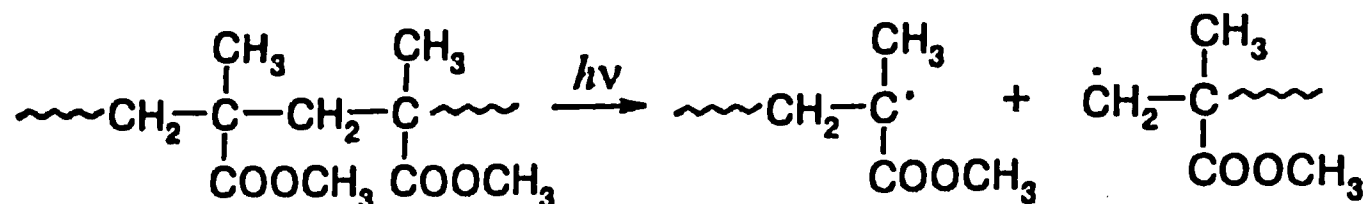
Первичным актом является образование радикалов $\sim\sim \underset{\text{C}_6\text{H}_5}{\text{CH}_2-\dot{\text{C}}-\text{CH}_2} \sim\sim$ в

результате отрыва атомарного водорода от возбужденного мономерного звена, поглотившего квант света. Молекулярный водород образуется в результате рекомбинации атомов водорода, либо в результате отрыва атома водорода от соседнего атома углерода, что приводит к образованию двой-

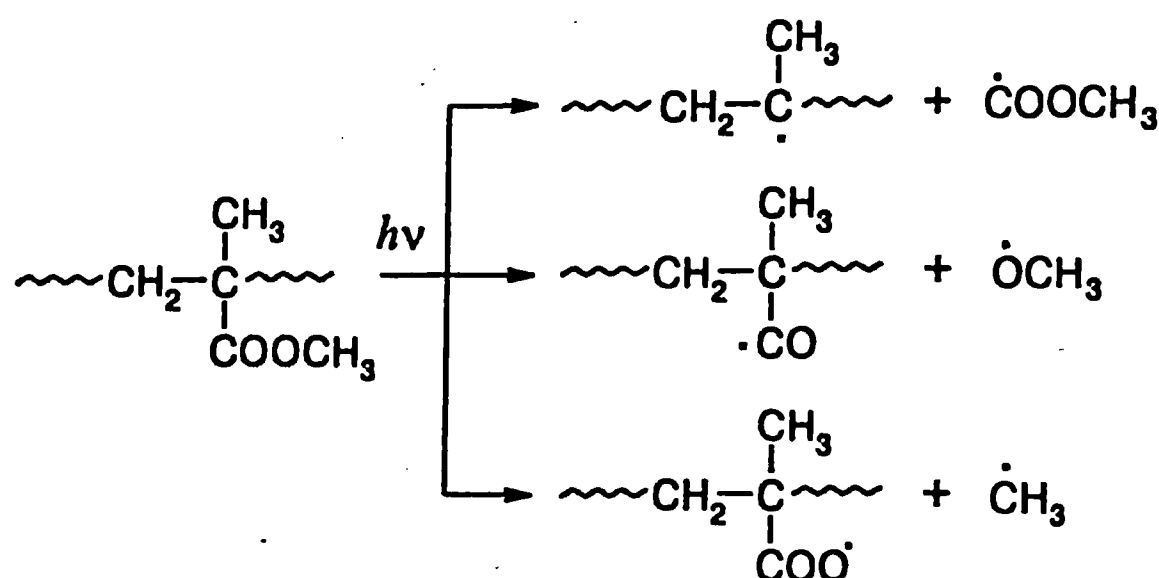
ной связи. Последовательное распространение этой реакции вдоль цепи приводит к возникновению «островков» сопряженных связей, придающих окраску полимеру. Соединение «срединных» радикалов приводит к сшивке и потере растворимости полимером.

Фотолиз полиметилметакрилата протекает с заметной скоростью при облучении полимера ультрафиолетовым излучением с $\lambda \leq 250$ нм. Поглощение полимером квантов света вызывает одновременное протекание реакций трех типов:

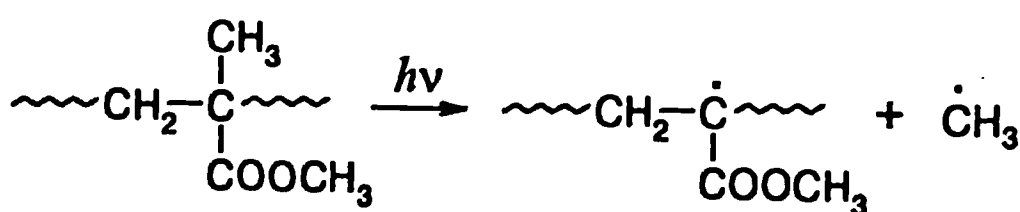
Разрыв основной цепи по закону случая:



Распад эфирных групп:



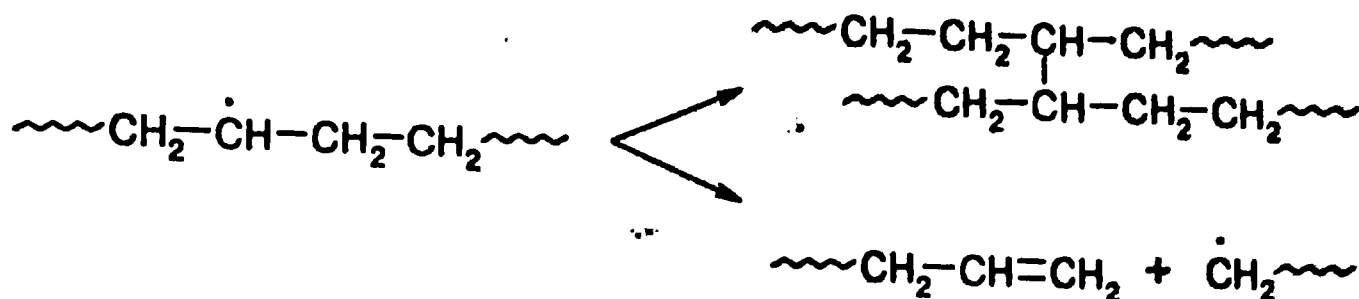
Отщепление метильных заместителей:



Из темновых реакций, вызываемых образовавшимися при фотолизе радикалами, наибольшее значение имеет деполимеризация. При комнатной температуре длина цепи деполимеризации незначительна и составляет пять-шесть мономерных звеньев на один разрыв цепи. С повышением температуры эта величина возрастает и при 160 °С достигает 220 единиц.

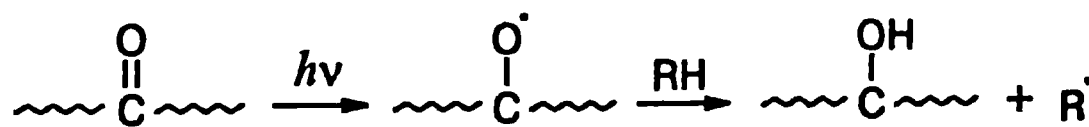
Считается, что при фотолизе полимеров метакриловых и акриловых эфиров наиболее общей реакцией является отрыв сложноэфирных групп и образование «срединных» радикалов $\sim\sim\text{CH}_2-\overset{\cdot}{\underset{\text{H}(\text{CH}_3)}{\text{C}}}\sim\sim$. Однако, если в случае полиметилметакрилата эти радикалы приводят к разрыву цепи посредством β -распада, то в случае полиметилакрилата они рекомбинируют (соединяются), что приводит к сшивке полимера. В обоих случаях среди летучих преобладают формальдегид, метанол, метан, оксид и диоксид углерода. Их происхождение ясно из приведенных выше схем.

Фотодеструкция полиэтилена и полипропилена вызывается хромофорными группами, находящимися в составе примесей, добавок, продуктов окисления полимера, а также дефектами макромолекулярной структуры. При поглощении ими квантов света образуются «первичные» радикалы, отырающие атомы водорода от макромолекул. Образующиеся «срединные» радикалы ответственны за сшивку и разрыв макромолекул, являющиеся основными результатами фотодеструкции полиолефинов:

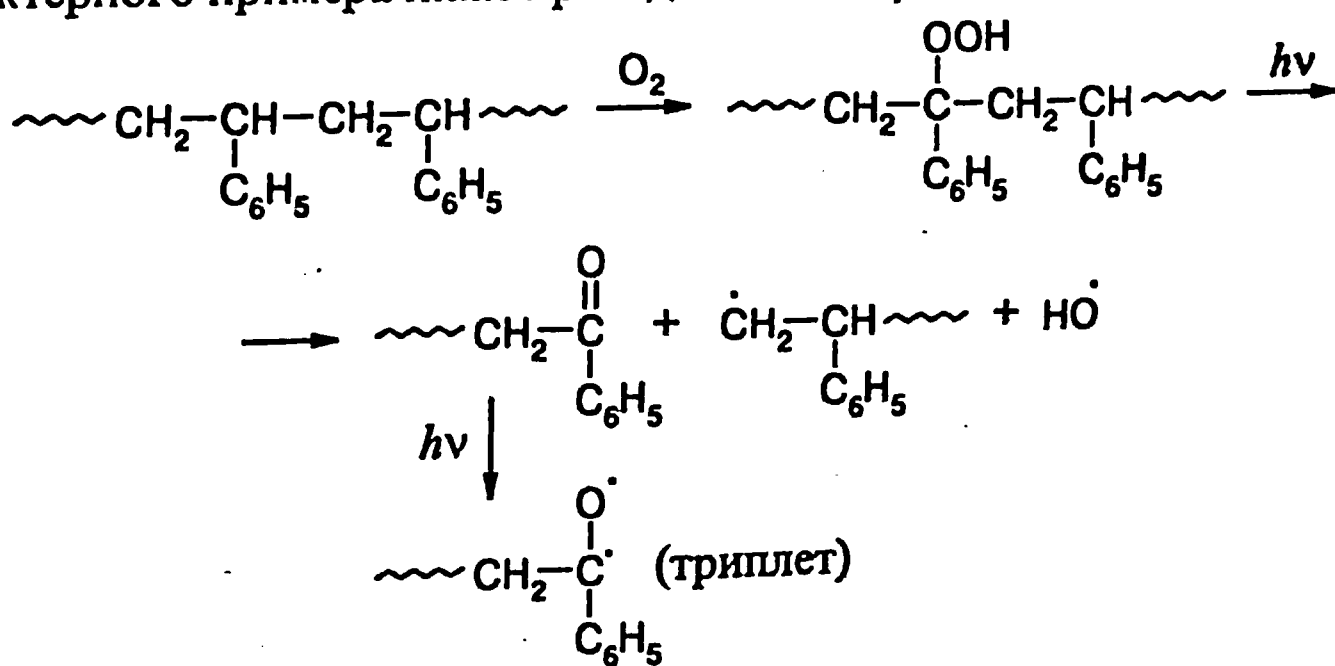


Фотоокисление. Хорошо известно, что полиэтиленовая пленка, используемая в парниках, не служит больше сезона. Причиной ее разрушения является фотоокислительная деструкция. Роль света в этом процессе заключается в инициировании процесса окисления.

Радикалы, инициирующие процесс окисления, возникают в результате поглощения света хромофорными группами. Они могут находиться в составе полимера, целевых добавок, например пластификатора, а также в виде примесей. Как правило, различные кислородсодержащие группы образуются в полимерах при их переработке через расплав. В частности, в полиэтилена были обнаружены карбонильные группы по возникновению полосы поглощения в области 1710–1735 см⁻¹ ИК спектра. Поглощение кванта света карбонильной группой может приводить к возникновению радикалов по реакции Норриша I типа, а также по реакции:



Выше упоминалось, что при окислении полимеров накапливаются гидро-пероксидные группы. Свет инициирует распад этих групп и, тем самым, инициирует автокатализический цепной процесс окисления полимеров. В качестве характерного примера ниже приведена схема фотоокисления стирола:



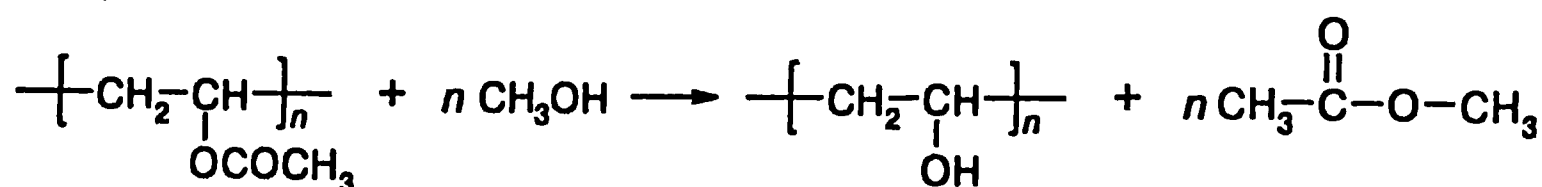
Для предотвращения фото- и фотоокислительной деструкции используют фотостабилизаторы, отражающие или поглощающие ультрафиолетовое излучение. К ним относятся сажа, оксиды металлов, салицилаты, *o*-оксибензофеноны, оксибензотриазолы и др.

7.4. Полимераналогичные превращения

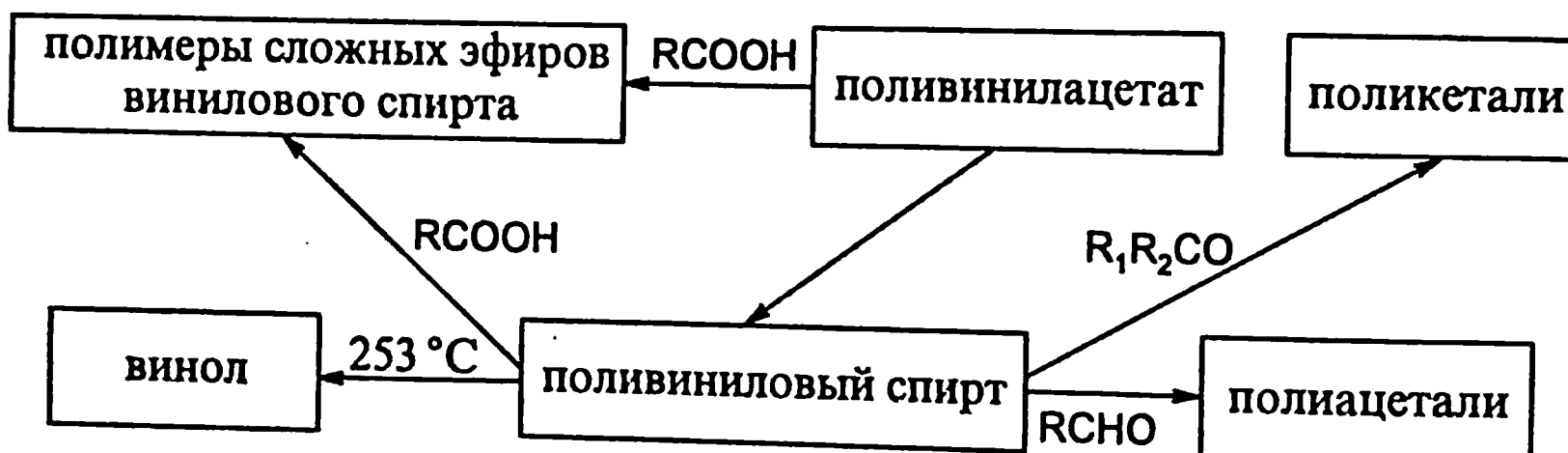
Значительная часть полимерных материалов получается путем полимераналогичных, т. е. не приводящих к разрыву основной цепи, превращений базовых полимеров. В качестве примера рассмотрим наиболее важные в практическом отношении полимераналогичные превращения поливинилового спирта и целлюлозы.

7.4.1. Поливиниловый спирт

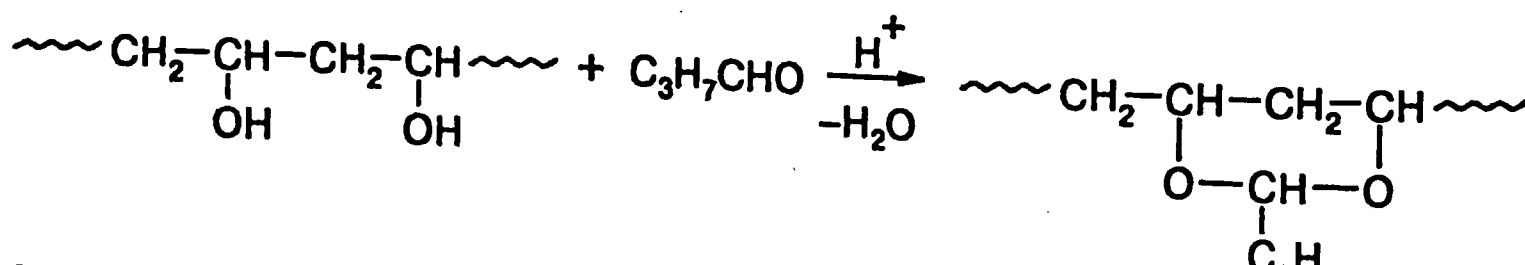
В промышленности поливиниловый спирт получают алкоголизом поливинилацетата:



Продукты полимераналогичных реакций поливинилового спирта приведены на схеме:

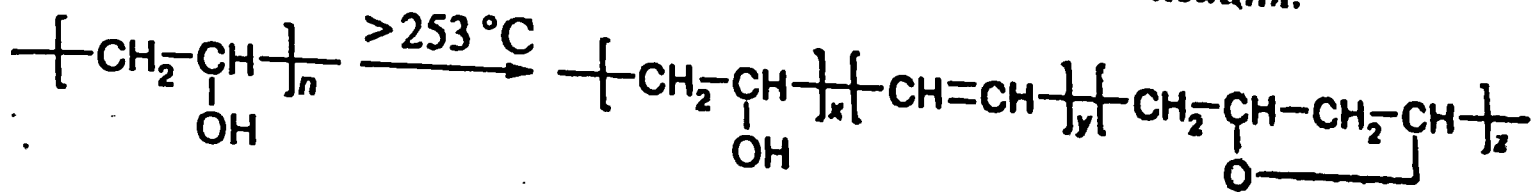


Полиацетилирование и поликеталирование, осуществляемые обработкой поливинилового спирта уксусным альдегидом и кетонами, приводит к образованию полиацеталей и поликеталей, являющихся хорошими пленкообразующими материалами. В качестве примера приведем реакцию получения поливинилбутираля:



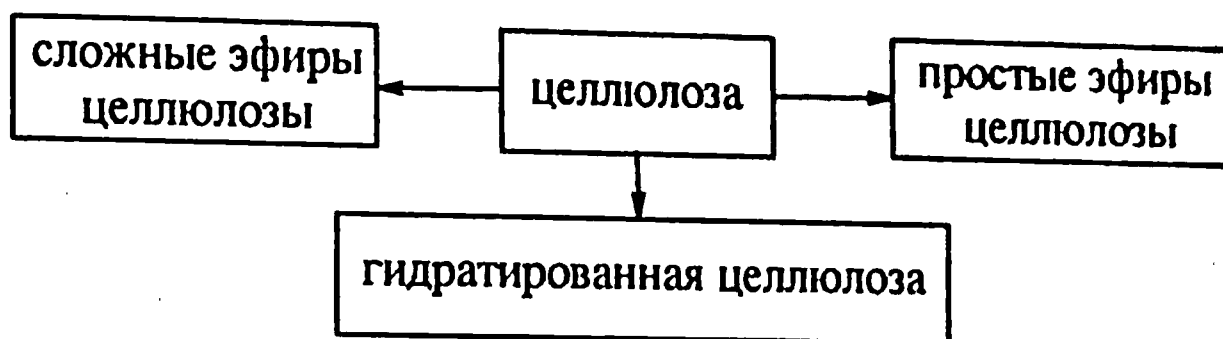
широко применяемого в многослойных стеклах типа «триплекс». Полиэтерификация поливинилового спирта или полипереэтерификация поливинилацетата позволяет получать полимеры сложных эфиров общего формулы $(-\text{CH}_2-\text{CHOCOR}-)_n$, используемые в качестве лаков.

В результате термообработки нитей поливинилового спирта, сформированных вытяжкой из растворов, получают поливинилспиртовые волокна, известные под названием «винол». Химические превращения поливинилового спирта при термообработке достаточно сложны; основными реакциями являются дегидратация и внутримолекулярная циклизация:

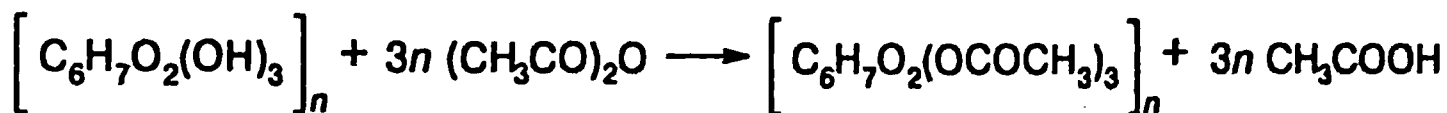


7.4.2. Химические превращения целлюлозы

Путем полимераналогичных превращений из целлюлозы получают три основных класса ценных полимерных материалов:

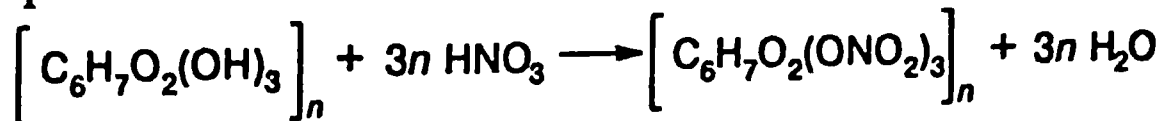


Сложные эфиры целлюлозы – ацетаты – получаются при действии на целлюлозу уксусного ангидрида в присутствии катализатора – серной или хлорной кислоты или их смесей:



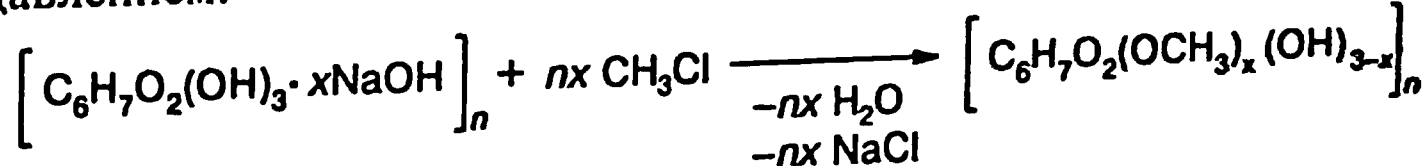
Процесс экзотермический, поэтому во время реакции следует отводить тепло. Вначале получают триацетат целлюлозы – так называемый первичный ацетат. Для получения вторичного ацетата проводят гидролиз – отщепление связанный уксусной кислоты до заданного содержания ацетатных групп в целлюлозе.

Нитраты целлюлозы. Нитраты получают действием на целлюлозу смеси азотной и серной кислот:



Реакция протекает, начиная с 0 °C. Степень замещения определяется только составом нитрующей смеси.

Простые эфиры целлюлозы. При их получении целлюлоза предварительно активируется путем обработки щелочью, при этом она набухает. В качестве алкилирующих агентов используются алкилгалогениды, алкилсульфаты и др. Реакция образования метилцеллюлозы протекает при 80–100 °C и под давлением:



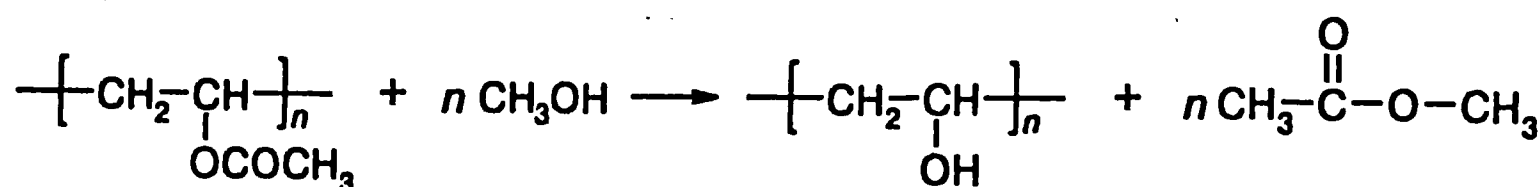
Для предотвращения фото- и фотоокислительной деструкции используют фотостабилизаторы, отражающие или поглощающие ультрафиолетовое излучение. К ним относятся сажа, оксиды металлов, салицилаты, *o*-оксибензофеноны, оксибензотриазолы и др.

7.4. Полимераналогичные превращения

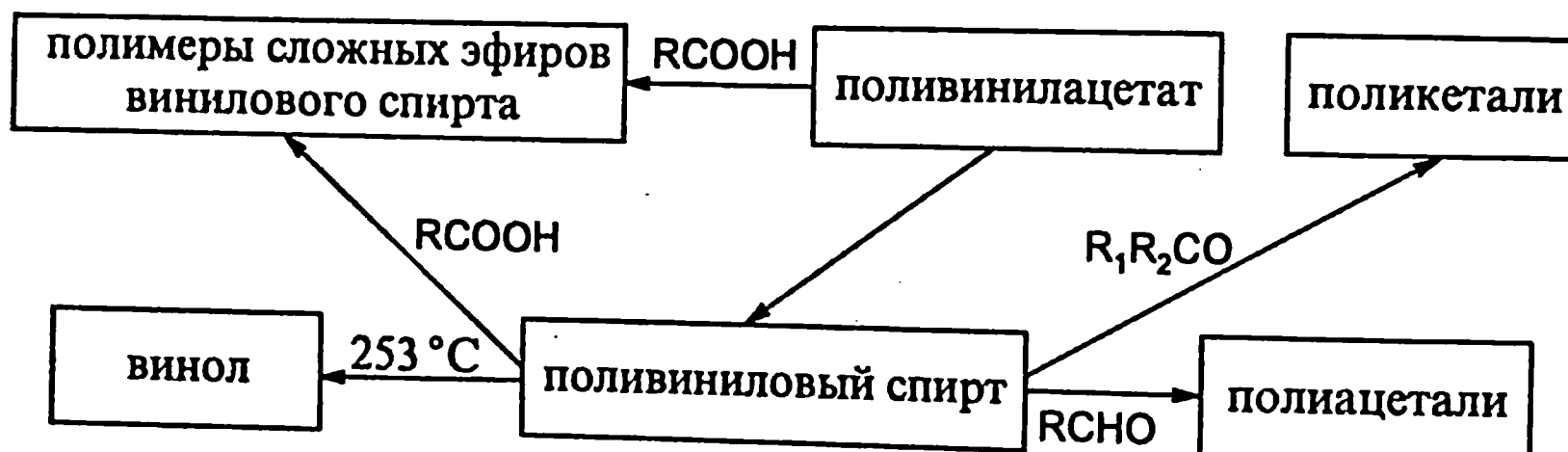
Значительная часть полимерных материалов получается путем полимераналогичных, т. е. не приводящих к разрыву основной цепи, превращений базовых полимеров. В качестве примера рассмотрим наиболее важные в практическом отношении полимераналогичные превращения поливинилового спирта и целлюлозы.

7.4.1. Поливиниловый спирт

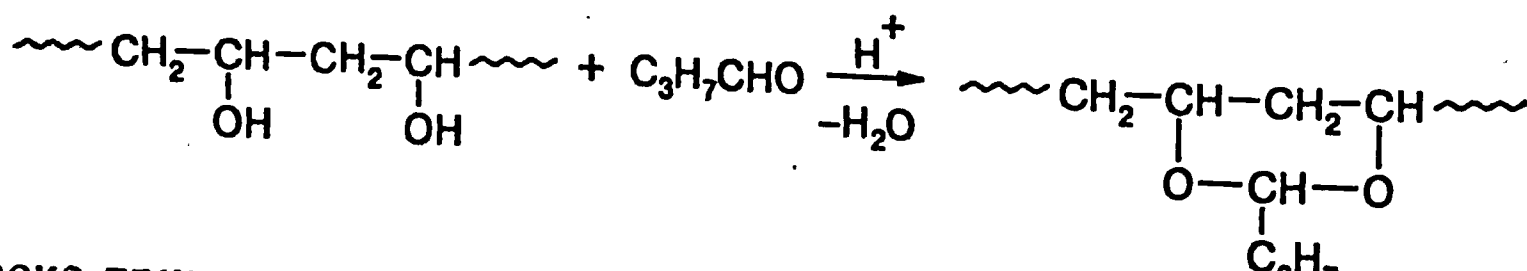
В промышленности поливиниловый спирт получают алкоголизом поливинилацетата:



Продукты полимераналогичных реакций поливинилового спирта приведены на схеме:

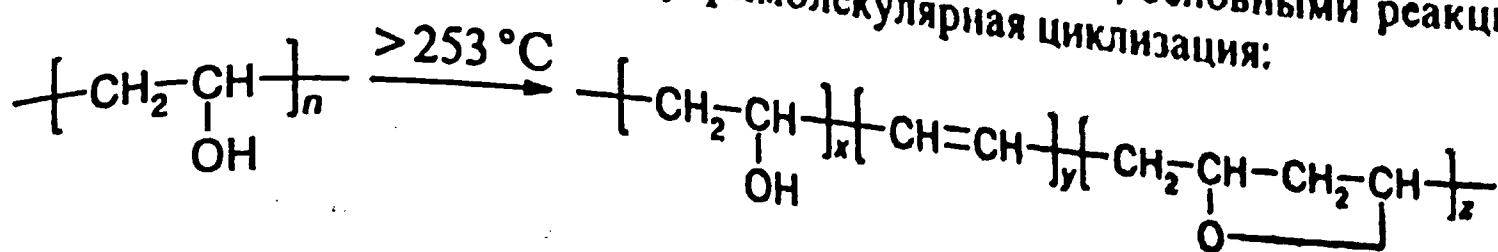


Полиацетилирование и поликеталирование, осуществляемые обработкой поливинилового спирта уксусным альдегидом и кетонами, приводит к образованию полиацеталей и поликеталей, являющихся хорошими пленкообразующими материалами. В качестве примера приведем реакцию получения поливинилбутираля:



широко применяемого в многослойных стеклах типа «триплекс». Полиэтерификация поливинилового спирта или полипереэтерификация поливинилацетата позволяет получать полимеры сложных эфиров общего формуллы $(-\text{CH}_2-\text{CHOCOR}-)_n$, используемые в качестве лаков.

В результате термообработки нитей поливинилового спирта, сформированных вытяжкой из растворов, известные под названием «винол». Химические превращения поливинилового спирта при термообработке достаточно сложны; основными реакциями являются дегидратация и внутримолекулярная циклизация:

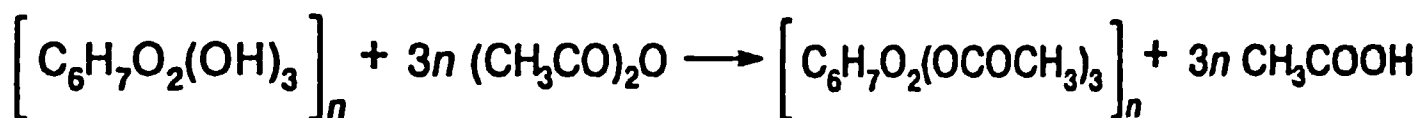


7.4.2. Химические превращения целлюлозы

Путем полимераналогичных превращений из целлюлозы получают три основных класса ценных полимерных материалов:

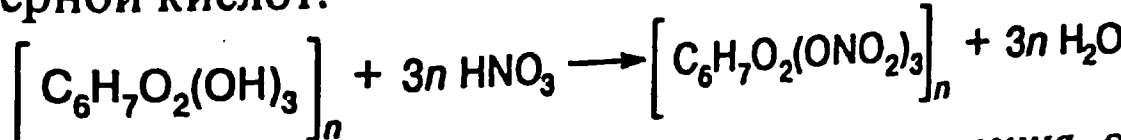


Сложные эфиры целлюлозы – ацетаты – получаются при действии на целлюлозу уксусного ангидрида в присутствии катализатора – серной или хлорной кислоты или их смесей:



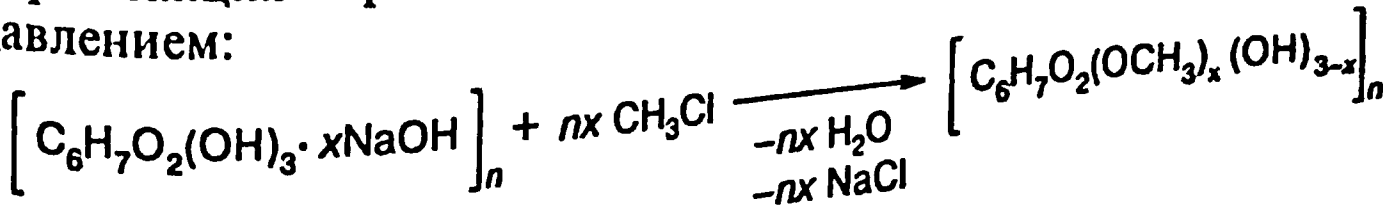
Процесс экзотермический, поэтому во время реакции следует отводить тепло. Вначале получают триацетат целлюлозы – так называемый первичный ацетат. Для получения вторичного ацетата проводят гидролиз – отщепление связанной уксусной кислоты до заданного содержания ацетатных групп в целлюлозе.

Нитраты целлюлозы. Нитраты получают действием на целлюлозу смеси азотной и серной кислот:



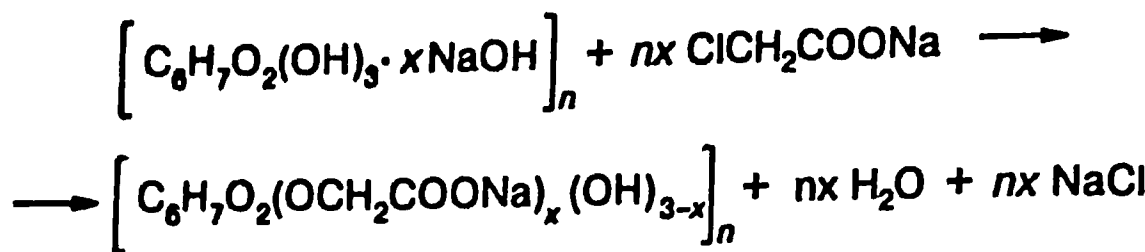
Реакция протекает, начиная с 0 °C. Степень замещения определяется только составом нитрующей смеси.

Простые эфиры целлюлозы. При их получении целлюлоза предварительно активируется путем обработки щелочью, при этом она набухает. В качестве алкилирующих агентов используются алкилгалогениды, алкилсульфаты и др. Реакция образования метилцеллюлозы протекает при 80–100 °C и под давлением:



Выход реакции увеличивается с увеличением давления и с уменьшением температуры.

Карбоксиметилцеллюлоза. Карбоксиметилцеллюлоза получается при взаимодействии щелочной целлюлозы сmonoхлоруксусной кислотой или ее натриевой солью:

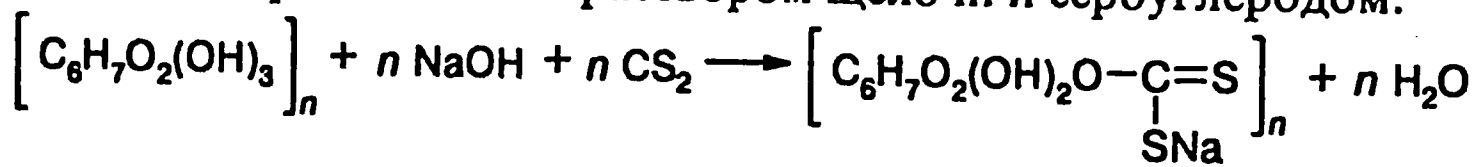


Экзотермическая реакция протекает за 1,5–2 ч при самопроизвольном повышении температуры от 20 до 40 °C.

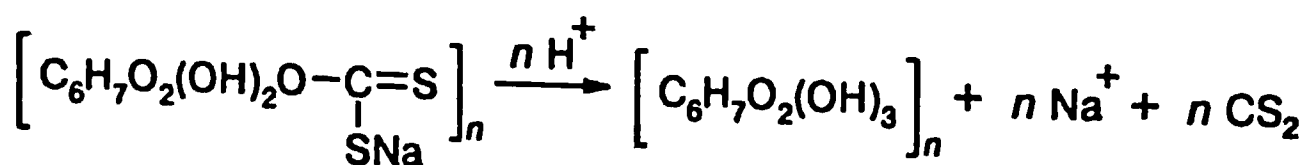
При обработке щелочной целлюлозы окисью этилена в мягких условиях при 33–40 °C получается оксиэтилцеллюлоза.

7.4.3. Структурная модификация целлюлозы

Гидратцеллюлоза аналогична по составу исходной целлюлозе, отличаясь от нее расположением звеньев и большей степенью гидратации полярных групп. Гидратцеллюлоза получается двумя методами: физическим и химическим. В первом случае целлюлозу растворяют и снова осаждают. Во втором путем полимераналогичной реакции целлюлозу переводят в одно из ее производных, затем последнее в результате реакции гидролиза вновь переводят в целлюлозу. Оба метода приводят к структурной модификации целлюлозы. Последним методом производится вискозное или медноаммиачное волокно – первое искусственное волокно, полученное человеком. Технология, разработанная в 20–30-х годах, включает две стадии. На первой – целлюлоза последовательно обрабатывается раствором щелочи и сероуглеродом:



Образовавшийся ксантогенат растворяют в разбавленном растворе щелочи и затем в кислой среде проводят обратную реакцию, приводящую к образованию гидратцеллюлозы:



ЛИТЕРАТУРА

1. Оудиан Дж. Основы химии полимеров. М.: Мир, 1974. 614 с.
2. Odian G. Principles of Polymerization. Wiley-Interscience: New York; 1991.
3. Киреев В. В. Высокомолекулярные соединения. М.: Высшая школа, 1992. 512 с.
4. Тенфорд Ч. Физическая химия полимеров. М.: Химия, 1965. 772 с.
5. Рафиков С. Р., Будтов В. П., Монаков Ю. Б. Введение в физико-химию растворов полимеров. М.: Наука, 1978. 328 с.
6. Нарисава И. Прочность полимерных материалов. М.: Химия, 1987. 400 с. 446 с.
7. Грасси Н., Скотт Дж. Деструкция и стабилизация полимеров. М.: Мир, 1988.
8. Гросберг А. Ю., Хохлов А. Р. Физика в мире полимеров. М.: Наука., 1989. 208 с. (Б-чка «Квант»; вып. 74).
9. Гросберг А. Ю., Хохлов А. Р. Статистическая физика макромолекул. М.: Наука, 1983. 344 с.
10. Жидкокристаллические полимеры / Под ред. Н. А. Платэ. Л.: Химия, 1988. 500 с.
11. Платэ Н. А., Литманович А. Д., Ноа О. В. Макромолекулярные реакции. М.: Химия, 1977. 256 с.
12. Энциклопедия полимеров. Т. 1, 2, 3. М.: Советская энциклопедия, 1977.



1738633

ОГЛАВЛЕНИЕ

Глава 1. Общие сведения о высокомолекулярных соединениях	4
1.1. Особенности полимерного состояния вещества	4
1.1.1. Полимеры и наука о полимерах	4
1.1.2. Различия в свойствах высоко- и низкомолекулярных соединений... ..	5
1.1.3. Образование, получение и распространение полимеров..... ..	7
1.2. Классификация и номенклатура полимеров	19
1.2.1. Принципы классификации полимеров	19
1.2.2. Тривиальная, рациональная и систематическая номенклатура полимеров..... ..	24
1.2.3. Классификация и номенклатура сополимеров	32
1.3. Молекулярно-массовые характеристики полимеров	34
1.3.1. Распределение макромолекул по молекулярным массам	34
1.3.2. Моменты распределения и средние молекулярные массы	38
1.3.3. Параметр полидисперсности	39
1.4. Стереохимия полимеров	40
1.4.1. Химическая изомерия звеньев	40
1.4.2. Цис-, транс-изомерия	41
1.4.3. Стереоизомерия	42
Глава 2. Физика полимеров	48
2.1. Физика макромолекул	48
2.1.1. Идеальный клубок	48
2.1.2. Реальные цепи. Эффект исключенного объема	54
2.1.3. Гибкость цепи	60
2.2. Природа упругости полимеров	72
2.2.1. Термодинамические составляющие упругой силы	72
2.2.2. Упругость идеального газа	73
2.2.3. Упругость идеального клубка	74
2.2.4. Упругость полимерной сетки	76
2.3. Вязкоупругость полимерных систем	79
2.3.1. Модель Максвелла. Релаксация напряжения	79
2.3.2. Теория рептаций	81
2.3.3. Модель Кельвина. Ползучесть	85
2.3.4. Динамическая вязкоупругость	86
2.3.5. Релаксационные свойства полимеров. Принцип суперпозиции	89
Глава 3. Растворы полимеров	95
3.1. Термодинамика растворов полимеров	95
3.1.1. Используемые термодинамические понятия и величины	95
3.1.2. Принципы расчета энталпии и энтропии смешения	95
3.1.3. Теория Флори–Хаггинаса	97
3.1.4. Коллигативные свойства растворов полимеров. Осмотическое давление..... ..	102
3.1.5. Уравнение состояния. Термодинамическая характеристика раствора	107
3.1.6. Исключенный объем и термодинамические свойства раствора ..	110
3.1.7. Ограниченная растворимость. Фракционирование	112
3.2. Свойства растворов полимеров..... ..	113
3.2.1. Набухание. Гели	116
	116

3.2.2. Вязкость разбавленных растворов полимеров	118
3.2.3. Концентрированные растворы полимеров	122
3.3. Полиэлектролиты	124
3.3.1. Влияние зарядов на конформации макромолекул	124
3.3.2. Взаимодействие заряженных цепей с противоионами. Коллапс сеток	128
3.4. Жидкокристаллическое состояние полимеров.....	129
3.4.1. Природа жидкокристаллического состояния вещества	134
3.4.2. Влияние температуры и полей на жидкокристаллические системы	134
3.4.3. Вязкость растворов жидкокристаллических полимеров	139
3.4.4. Высокопрочные и высокомодульные волокна из жидкокристаллических полимеров	141
	142

Глава 4. Полимерные тела

4.1. Кристаллические полимеры	144
4.1.1. Условия кристаллизации. Строение полимерного кристалла	144
4.1.2. Кинетика кристаллизации	144
4.2. Три физических состояния аморфных полимеров	146
4.2.1. Термомеханическая кривая	147
4.2.2. Стеклообразное и высокоэластичное состояния полимеров	148
4.2.3. Вязкотекущее состояние полимеров	154
4.2.4. Пластификация полимеров	156
4.3. Механические свойства полимеров	158
4.3.1. Деформационные свойства полимеров. Ориентация	158
4.3.2. Теоретические и реальные прочность и упругость кристаллических и аморфных полимеров	163
4.3.3. Механика и механизм разрушения полимеров	168
4.3.4. Ударная прочность полимеров	171
4.3.5. Долговечность. Усталостная прочность полимеров	173
4.4. Электрические свойства полимеров	176
4.4.1. Полимерные диэлектрики	176
4.4.2. Релаксационные переходы	179
4.4.3. Синтетические металлы	181

Глава 5. Синтез полимеров методами цепной и ступенчатой полимеризации

5.1. Радикальная полимеризация	183
5.1.1. Инициирование радикальной полимеризации	183
5.1.2. Элементарные реакции и кинетика полимеризации	190
5.1.3. Молекулярно-массовое распределение при радикальной полимеризации	206
5.1.4. Влияние температуры и давления на радикальную полимеризацию	208
5.1.5. Диффузионная модель обрыва цепи. Гель-эффект	211
5.1.6. Каталитическая передача цепи	216
5.1.7. Псевдоживая радикальная полимеризация	221
5.1.8. Эмульсионная полимеризация	225
5.2. Катионная полимеризация	225
5.2.1. Элементарные реакции. Кинетика	230
5.2.2. Псевдокатионная и псевдоживая катионная полимеризации	365

5.2.3. Влияние растворителя и температуры	231
5.3. Анионная полимеризация	233
5.3.1. Основные реакции иницирования	233
5.3.2. Кинетика анионной полимеризации с обрывом цепи	235
5.3.3. Живая полимеризация. Блок-сополимеры	237
5.3.4. Полимеризация с переносом группы	238
5.3.5. Влияние температуры, растворителя и противоиона	240
5.4. Ионно-координационная полимеризация	242
5.4.1. Катализаторы Циглера – Натта. Исторический аспект	242
5.4.2. Полимеризация на гетерогенных катализаторах Циглера – Натта	243
5.4.3. Анионно-координационная полимеризация диенов	247
5.5. Синтез гетероцепных полимеров ионной полимеризацией	249
5.5.1. Карбонилсодержащие соединения	250
5.5.2. Полимеризация эфиров и эпоксидов с раскрытием цикла	251
5.5.3. Полимеризация лактамов и лактонов	253
5.5.4. Другие гетероциклы	255
5.6. Ступенчатая полимеризация	256
5.6.1. Равновесная и неравновесная поликонденсация	257
5.6.2. Кинетика поликонденсации	260
5.6.3. Молекуллярно-массовое распределение полимера при поликонденсации	263
5.6.4. Разветвленные и сшитые полимеры	264
5.6.5. Фенопласти, аминопласти	266
5.6.6. Полиамиды, полиэфиры, поликарбонаты	270
5.6.7. Полиуретаны. Полисилоксаны	271
5.6.8. Жесткоцепные ароматические полимеры	273
5.6.9. Сверхразветвленные полимеры	277
5.7. Общие вопросы синтеза полимеров	279
5.7.1. Термодинамика синтеза	279
5.7.2. Сопоставление ионной и радикальной полимеризации	283
5.7.3. Об общности процессов псевдоживой полимеризации	285
Глава 6. Цепная сополимеризация	288
6.1. Количественная теория сополимеризации	288
6.1.1. Кривые состава сополимера и относительные активности мономеров	288
6.1.2. Состав и микроструктура сополимера. Статистический подход	292
6.1.3. Многокомпонентная сополимеризация	298
6.1.4. Сополимеризация до глубоких конверсий	301
6.2. Радикальная сополимеризация	302
6.2.1. Скорость сополимеризации	302
6.2.2. Природа эффекта предконцевого звена	309
6.2.3. Влияние температуры и давления на радикальную сополимеризацию	310
6.2.4. Чередующаяся сополимеризация	312
6.2.5. Влияние реакционной среды	318
6.2.6. Связь строения мономера и радикала с реакционной способностью. Схема $Q-e$	320
6.3. Ионная сополимеризация	330

6.3.1. Катионная сополимеризация	330
6.3.2. Анионная сополимеризация	331
6.3.3. Сополимеризация на катализаторах Циглера – Натта	333
Глава 7. Химия полимеров	
7.1. Характерные особенности макромолекул как реагентов	334
7.1.1. Влияние соседних звеньев.....	334
7.1.2. Макромолекулярные и надмолекулярные эффекты	336
7.1.3. Кооперативные взаимодействия.....	337
7.2. Сшивание полимеров	340
7.2.1. Высыхание красок	341
7.2.2. Вулканизация каучуков	343
7.2.3. Отверждение эпоксидных смол	345
7.3. Деструкция полимеров	346
7.3.1. Термическая деструкция. Циклизация	346
7.3.2. Термоокислительная деструкция. Горение	353
7.3.3. Фотодеструкция. Фотоокисление	355
7.4. Полимераналогичные превращения	360
7.4.1. Поливиниловый спирт	360
7.4.2. Химические превращения целлюлозы	361
7.4.3. Структурная модификация целлюлозы	362
Литература	363

Учебное издание

Семчиков Юрий Денисович
ВЫСОКОМОЛЕКУЛЯРНЫЕ СОЕДИНЕНИЯ
Учебник

*Компьютерная верстка: Д. В. Федотов
Корректоры Л. С. Зенович, А. П. Сизова*

18060Р

Изд. № А-833. Подписано в печать 27.02.2003. Формат 70x100/16.
Гарнитура «Таймс». Печать офсетная. Бумага тип. № 2. Усл. печ. л. 23,0.
Тираж 2000 экз. Заказ №12296.

Лицензия ИД № 02025 от 13.06.2000. Издательский центр «Академия».
Санитарно-эпидемиологическое заключение № 77.99.02.953.Д.002682.05.01 от 18.05.2001.
117342, Москва, ул. Бутлерова, 17-Б, к. 223. Тел./факс: (095)334-8337, 330-1092.
Отпечатано на Саратовском полиграфическом комбинате.
410004, г. Саратов, ул. Чернышевского, 59.